HAL
open science

Île-de France, Essonne (91), Le Coudray-Montceaux, Les Haies Blanches 2, av. de Tournenfils et rue du Bois de l'Ecu. Occupations du Paléolithique moyen, néolithiques, de l'âge du Bronze, de l'âge du Fer et médiévale à moderne

Gilles Desrayaud, Grégory Bayle, Romana Blaser, Hélène Civalleri, Caroline Claude, Sophie Clément, Stéphane Durand, Philippe Lenhardt

To cite this version:

Gilles Desrayaud, Grégory Bayle, Romana Blaser, Hélène Civalleri, Caroline Claude, et al.. Île-de France, Essonne (91), Le Coudray-Montceaux, Les Haies Blanches 2, av. de Tournenfils et rue du Bois de l'Ecu. Occupations du Paléolithique moyen, néolithiques, de l'âge du Bronze, de l'âge du Fer et médiévale à moderne. [Rapport de recherche] Inrap Centre - Ile-de-France. 2017. hal-02895683

HAL Id: hal-02895683

https://inrap.hal.science/hal-02895683v1

Submitted on 10 Jul 2020

HAL is a multi-disciplinary open access archive for the deposit and dissemination of scientific research documents, whether they are published or not. The documents may come from teaching and research institutions in France or abroad, or from public or private research centers.

L'archive ouverte pluridisciplinaire **HAL**, est destinée au dépôt et à la diffusion de documents scientifiques de niveau recherche, publiés ou non, émanant des établissements d'enseignement et de recherche français ou étrangers, des laboratoires publics ou privés.

Rapport d'opération
Diagnostic archéologique

Institut national de recherches archéologiques préventives

Inrap

ÎLE-de-FRANCE, ESSONNE,
Le Coudray-Montceaux

Les Haies Blanches 2
av. de Tournenfils et rue du Bois de l'Ecu

Occupations du Paléolithique moyen, néolithiques, de l'âge du Bronze, de l'âge du Fer et médiévale à moderne

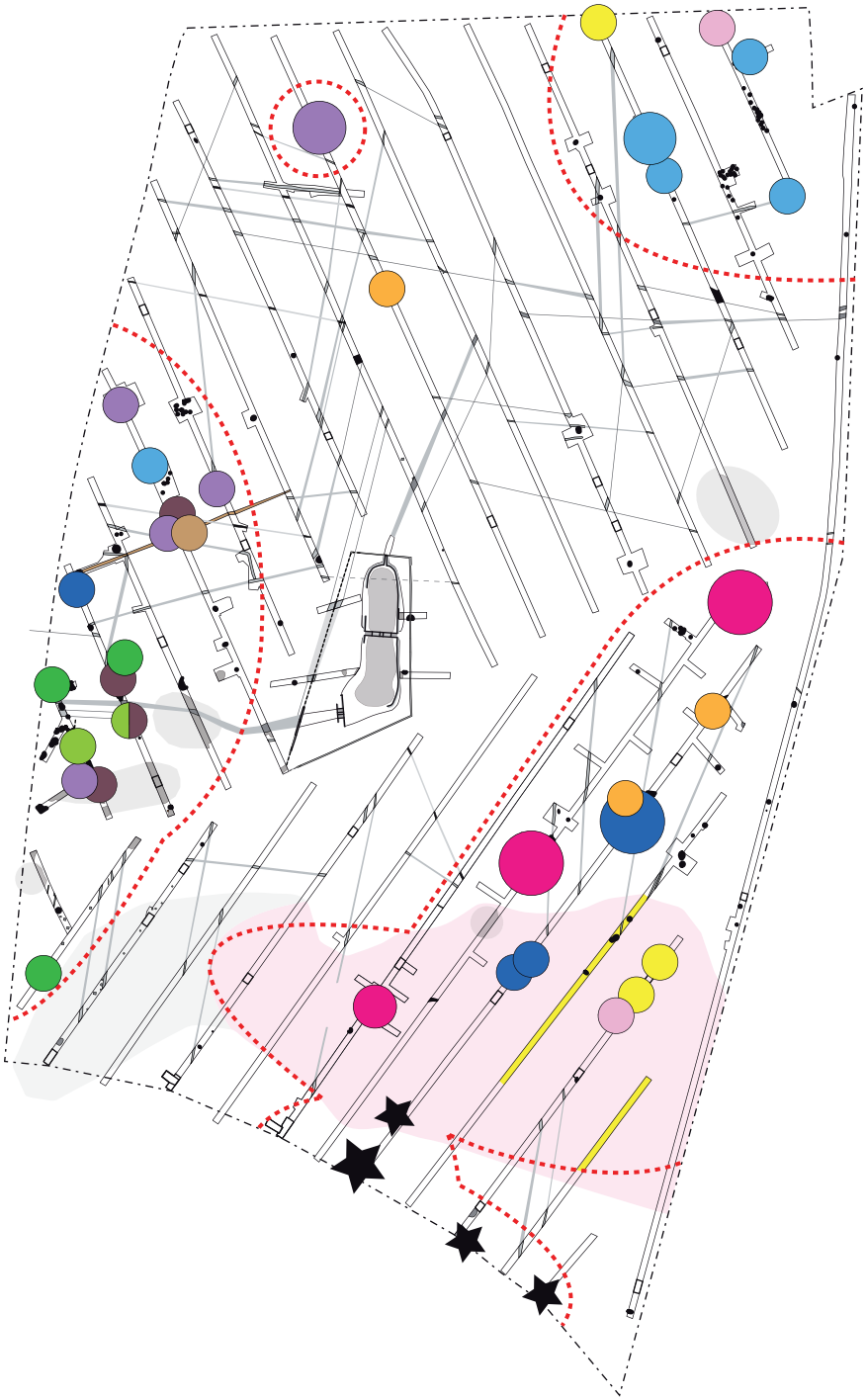

Sous la direction de
Gilles Desrayaud

par
Grégory Bayle
Romana Blaser
Hélène Civalleri
Caroline Claude
Sophie Clément
Gilles Desrayaud
Stéphane Durand
Philippe Lenhardt

avec la collaboration de
Eve Boitard
François-Xavier Cassan
Nicolas Le Maux
Florence Moret-Auger
Cécile Ollivier
Laurent Petit
Mohammad Rayati
Olivier Roncin
Emmanuelle Saron
Régis Touquet
Marc Viré

Inrap Centre / Île-de-France
Mai 2017

Institut national de recherches archéologiques préventives

Inrap

Rapport de diagnostic

Code INSEE 91179

N° opération SRA SD/CP/ [2016-980]

Arrêté de prescription SRA 2016-579

Code Inrap D114409

Île-de France, Essonne (91)
Le Coudray-Montceaux

Les Haies Blanches 2
av. de Tournenfils et rue du Bois de l'Ecu

Occupations du Paléolithique moyen, néolithiques, de l'âge du Bronze, de l'âge du Fer et médiévale à moderne

sous la direction de
Gilles Desrayaud

par
Grégory Bayle
Romana Blaser
Hélène Civalleri
Caroline Claude
Sophie Clément
Gilles Desrayaud
Stéphane Durand
Philippe Lenhardt

avec la collaboration de
Eve Boitard
François-Xavier Cassan
Nicolas Le Maux
Florence Moret-Auger
Cécile Ollivier
Laurent Petit
Mohammad Rayati
Olivier Roncin
Emmanuelle Saron
Régis Touquet
Marc Viré

Inrap Centre / Île-de-France
Immeuble "Les Diammants" - Bâtiment B
41, rue Delizy, 93692 Pantin Cedex
Tél. 01 41 83 75 30 / Fax 01 48 10 97 55
centre-ile-de-france@inrap.fr

Mai 2017

La consultation et l’utilisation de ce rapport s’effectuent dans le respect des dispositions du code de la propriété intellectuelle relatives aux droits des auteurs, ce qui emporte diverses contraintes auxquelles sont soumis tous les consultants et utilisateurs. Ainsi plus particulièrement, en application de l’article L.122-5 du code de la propriété intellectuelle :

-les prises de notes et les copies ou autres formes de reproduction sont autorisées dans la mesure où elles sont strictement réservées à l’usage privé du copiste et non destinées à une utilisation collective ;
-toute reproduction du texte, accompagnée ou non de photographies, cartes ou schémas, n’est possible que dans le cadre de courtes citations qui doivent être justifiées, par exemple par le caractère scientifique de l´oeuvre à laquelle elles sont

incorporées et sous réserve de l’indication claire du nom de l’auteur et de la source (références exactes et complètes de l’auteur, de son organisme d’appartenance et du rapport) ;

-la représentation ou la reproduction d’extraits est possible à des fins exclusives d’illustration dans le cadre de l’enseignement et de la recherche, dès lors que le public auquel elle est destinée est composé majoritairement d’élèves, d’étudiants, d’enseignants ou de chercheurs directement concernés et que son utilisation ne donne lieu à aucune exploitation commerciale.
Le non-respect de ces règles constitue le délit de contrefaçon prévu et sanctionné par les articles L.335-2, L.335-3 et suivants du code de la propriété intellectuelle.

SOMMAIRE

7 **I. DOSSIER D'OPÉRATION**

.. **1.1 Fiche signalétique**
.. **1.2 Mots clés DES THÉSAURUS**
.. **1.3 Liste des intervenants**
13 **1.4 Notice scientifique**
.. **1.5 Localisation de l'opération sur la carte IGN**
.. **1.6 Localisation de l'opération sur le cadastre**
.. **1.7 Copie de l'arrêté de prescription de diagnostic(SRA)**
.. **1.8 Copie de l'arrêté de désignation du responsable scientifique (SRA)**

21 **II. RÉSULTATS**

23 **2.1 Contextes d'opération**
.. **2.1.1 Circonstances de l'intervention**
.. **2.1.2 Contexte archéologique**
25 **2.1.3 Contextes géographique et sédimentaire**
.. 2.1.3.1 Contextes géographique et géologique généraux
.. 2.1.3.2 Contexte pédo-géologique local
27 **2.1.4 Moyens et méthodes mis en œuvre**

30 **2.2 PRESENTATION DES VESTIGES**

30 **2.2.1 SECTEUR SUD : Paléolithique moyen (Sophie CLEMENT, INRAP)**
.. 2.2.1.1 Contexte géomorphologique
.. 2.2.1.2 Etude du matériel lithique attribuable au Paléolithique moyen
.. 2.2.1.3 Site du paléolithique moyen
.. 2.2.1.4 Inventaire des pièces paléolithiques

38 **2.2.2 SECTEUR SUD EST : Néolithique et âge du Bronze final**
38 **2.2.2.1 SECTEUR SUD EST : habitat et occupation néolithique**
.. Secteur sud est : vestiges et maisons du Rubané récent / VSG ancien
.. Secteur sud est : Fosse 2145 et ramassage 2139, Néolithique moyen
.. Secteur sud est : ramassages 2156, 2158, 2183 et 2188, Néolithique final
43 **2.2.2.2 SECTEUR SUD EST : occupation du Bronze final**
.. Secteur sud est : fosse 2144, Bronze final I-IIa
.. Secteur sud est : faits 2151 et 2154, Bronze final

46 **2.2.3 SECTEUR NORD EST : Néolithique et Hallstatt (D1 ?)**
46 **2.2.3.1 SECTEUR NORD EST : fosse 2510, Néolithique final**
47 **2.2.3.2 SECTEUR NORD EST : habitat du Hallstatt (D1 ?)**

.. Sect. NE, FS2514, Hallstatt D1
.. Sect. NE, FC2515, Hallstatt D1
.. Sect. NE, FS2513, Protohistoire indéterminée
.. Sect. NE, groupes de trous de poteau (Hallstatt ?)

49 **2.2.4 Secteur nord ouest : Néolithique moyen et Protohistoire indéterminée**
50 **2.2.4.1 Fosse 2021 : Néolithique moyen**
50 **2.2.4.2 Fenêtre 02-A : ensemble de poteaux protohistoriques**

X **2.2.5 SECTEUR OUEST : Protohistoire indéterminée et occupation médiévale à moderne / contemporaine**
53 **2.2.5.1 SECTEUR OUEST : occupation protohistorique**
54 **2.2.5.2 Secteur ouest : fossé gallo-romain SFO2076**
54 **2.2.5.3 SECTEUR OUEST : ancienne ferme de Tournenfils, occupation médiévale à moderne / contemporaine**
.. Céramique médiévale à moderne (Caroline CLAUDE, INRAP)
.. Occupation médiévale de Tournenfils

59 **2.2.6 Fossés et murs "parcellaires" historiques**

64 **2.2.7 Pont sur la mare du Champtier du Chêne Mort (XIXe s.) (Philippe LENHARDT, avec la coll. de Marc VIRÉ, INRAP)**
.. 2.2.7.1 Exploitation de la cartographie ancienne
.. 2.2.7.2 Le pont à deux arches du Champtier du Chêne Mort

73 **2.3 Conclusion et perspectives**

75 **2.4 Références bibliographiques générales**

77 **III. ANNEXES**

79 **3.1 Annexe 1 : Etude du mobilier lithique néolithique (Romana BLASER, INRAP ; avec la coll. de Nicolas LE MAUX, Paris I)**
.. **3.1.1 Matières premières et environnement minéral**
80 **3.1.2 Lithique dans des maisons du Rubané final / VSG Ancien**
82 **3.1.3 Fosse 2145 : Néolithique moyen**
.. 3.1.3.1 Hache polie miniature de la fosse 2145 et divers (Nicolas Le Maux, Paris I)
86 **3.1.4 Conclusion**
.. 3.1.4.1 Rubané final / VSG ancien
.. 3.1.4.2 Néolithique moyen
.. **3.1.5 Références bibliographiques de l'annexe 1**
89 **3.1.6 Inventaire descriptif des pièces lithiques**

104 **3.2 Annexe 2 : Etude du mobilier céramique néolithique (Stéphane DURAND, INRAP)**
104 **3.2.1 Le Néolithique ancien**
.. 3.2.1.1 La fosse 2201 : fosse latérale de maison de type danubien (M1)
.. 3.2.1.2 La fosse 2611 : fosse latérale de maison de type danubien (M2)
.. 3.2.1.3 Le mobilier céramique néolithique de la tranchée 12
.. 3.2.1.4 Le mobilier céramique néolithique ancien de la tranchée 10
.. 3.2.1.5 Pour conclure sur le Néolithique ancien

107 **3.2.2 Le Néolithique moyen**
108 **3.2.3 Le Néolithique final**
.. 3.2.3.1 Le mobilier de la fosse 2510
.. 3.2.3.2 Le mobilier du sud est de la parcelle
.. 3.2.3.3 Pour conclure sur le Néolithique final
109 **3.2.4 Références bibliographiques de l'annexe 2**
111 **3.2.5 Planches illustrées de l'annexe 2**

116 **3.3 Annexe 3 : Céramique et objets en bronze protohistoriques**
(Hélène CIVALLERI, INRAP)
.. **3.3.1 Présentation du corpus**
.. **3.3.2 Les techniques de façonnage et la composition de la pâte**
117 **3.3.3 Le secteur sud est (Bronze final)**
.. 3.3.3.1 Fosse 2144 (Bronze final)
.. *3.3.3.1.1 Mobilier céramique de la FS2144*
.. *3.3.3.1.2 Mobilier métallique de la FS2144*
.. 3.3.3.2 L'excavation 2151 (Bronze final)
.. *3.3.3.2.1 Présentation du corpus céramique*
.. *3.3.3.2.2 EX2151 : comparaisons et proposition de datation*
.. 3.3.3.3 La fosse 2154
126 **3.3.4 Le secteur NO (Fen02-A ; Protohistoire indét.)**
.. 3.3.4.1 Le trou de poteau 2474
126 **3.3.5 Le secteur ouest (Protohistoire indét.)**
.. 3.3.5.1 Ramassage 2241 (TR21)
.. 3.3.5.2 Fosse 2312 (méd. à moderne)
.. 3.3.5.3 Fosse 2344
.. 3.3.5.4 Poteau 2345
127 **3.3.6 Le secteur nord est (Hallsatt –D1 ?)**
.. 3.3.6.1 Fosse 2514
.. *3.3.6.1.1 Présentation du corpus céramique*
.. *3.3.6.1.2 FS2514 : comparaisons et proposition de datation*
.. 3.3.6.2 Fosse complexe 2515
.. 3.3.6.3 Fosse 2513
.. 3.3.6.4 Poteau 2545
.. 3.3.6.5 Poteau 2570
130 **3.3.7 Conclusion**
.. 3.3.7.1 Occupation du Bronze final I-IIa
.. 3.3.7.2 Occupation du Hallstatt D1
131 **3.3.8 Références bibliographiques de l'annexe 3**
132 **3.3.9 Planches illustrées de l'annexe 3**

140 **3.4 Annexe 4 : Etude des restes osseux**
(Grégory BAYLE, INRAP)
.. 3.4.1 Secteur sud est, fosses 2611 et 2201 (Néolithique ancien)
.. 3.4.2 Secteur sud est, fosse 2144 (Bronze final)
.. 3.4.3 Secteur nord est, fosses 2513 et 2514 (Hallstatt – D1 ?)
.. 3.4.4 Secteur ouest, fosses 2091 et 2253 (médiévales à modernes)
.. 3.4.5 Vestiges non datés
.. 3.4.6 Secteur sud est, fait 2179, non daté, possible fond d'incinération ?

.. 3.4.7 Conclusion
143 3.4.8 Inventaire des restes osseux

144 **3.5 Annexe 5 : Monnaies Modernes (Florence MORET-AUGER, INRAP)**

145 **IV. INVENTAIRES TECHNIQUES**

147 **4.1 Inventaire des horizons et unités stratigraphiques**
180 **4.2 Liste des ensembles stratigraphiques par type**
182 **4.3 Tableau d'inventaire des mobiliers par n° d'Us**
186 **4.4 Inventaire de la documentation de l'opération**
.. 4.4.1 Documentation écrite (cahiers et carnets d'enregistrement)
.. 4.4.2 Documents graphiques (inventaire des relevés A3)
.. 4.4.3 Documents photographiques (inventaire des clichés)
.. 4.4.4 Documents numériques

195 **Liste des illustrations**

198 pages

PLAN JOINT

Plan général A0 du diagnostic à 1/750

I. Dossier d'opération

données administratives, techniques et scientifiques

1 Données administratives, techniques et scientifiques

1.1 FICHE SIGNALÉTIQUE

Localisation

Région : Île-de-France

Département
Essonne (91)

Commune :
Le Coudray-Montceaux

Adresse ou lieu-dit
Av. de Tournenfils et rue du Bois de l'Ecu.

Codes

Code INSEE : 91179

Numéro code opération SRA
SD/CP/ [2016-980]

Numéro de l'entité archéologique
non-communiqué

Coordonnées géographiques et altimétriques selon le système national de référence

LAMBERT 93 / IGN 69
X (East) : 1 660 675 / 1 661 100
Y (North) : 8 151 225 / 8 151 900
z : 83,00 / 86,00 m NGF

Références cadastrales

Commune : Coudray-Montceaux
Année : 2016
Section : 0C
Parcelles : n° 15p, 17, 18, 123p, 437
Section : ZA
Parcelle : n° 2

Statut du terrain au regard des législations sur le patrimoine et l'environnement

sans objet

Propriétaire du terrain

PANHARD DEVELOPPEMENT,
10, rue Roquépine
75008 Paris

Références de l'opération

Numéro de l'arrêté de prescription
2016-579 le 11/10/2016

Numéro de l'arrêté de désignation
2017-013 le 03/01/2017

Maître d'ouvrage des travaux d'aménagement

PANHARD DEVELOPPEMENT,
10, rue Roquépine
75008 Paris

Nature de l'aménagement

Construction de plateforme logistique

Opérateur d'archéologie

Inrap Cîf

Responsable scientifique de l'opération

Gilles Desrayaud, Inrap

Organisme de rattachement

Inrap Centre / Île-de-France
Immeuble "Les Diammants" - Bâtiment B ; 41, rue Delizy, 93692 Pantin Cedex

Centre Archéologique Inrap
32, rue Delizy
93694 Pantin Cedex

Dates d'intervention sur le terrain

Du 16-01 au 03-03-2017

Post-fouille

mars à mai 2017

Surface du projet d'aménagement

197 720 m^2

Surface sondée

Surface sondée : 24 542 m^2
Soit 12,4 % de l'emprise TOTALE

Moyens engagés

Préparation / Terrain :
131 jours / homme

Terrassements archéologiques :
30 jours pelle méca. 20/30 t

Post-Fouille :
100 jours / homme

1.2 MOTS CLÉS DES THÉSAURUS

Chronologie

- [x] **Paléolithique**
  - Inférieur
  - [x] Moyen
  - Supérieur
  - Mésolithique et Épipaléolithique
- [x] **Néolithique**
  - [x] Ancien
  - [x] Moyen
  - [x] Récent
- [x] **Protohistoire**
  - [x] Âge du Bronze
    - Ancien
    - Moyen
    - [x] Récent
  - [x] Âge du Fer
    - [x] Hallstatt (premier Âge du Fer)
    - La Tène (second Âge du Fer)
- [x] **Antiquité romaine (gallo-romain)**
  - République romaine
  - [x] Empire romain
    - Haut-Empire (jusqu'en 284)
    - Bas-Empire (de 285 à 476)
- [x] **Époque médiévale**
  - haut Moyen Âge
  - [x] Moyen Âge
  - [x] bas Moyen Âge
- [x] **Temps modernes**
- [x] **Époque contemporaine**
  - Ère industrielle

Sujets et thèmes

- Édifice public
- Édifice religieux
- Édifice militaire
- [x] Bâtiment
- Structure funéraire
- Voirie
- Hydraulique
- [x] Habitat rural
- Villa
- Bâtiment agricole
- [x] Structure agraire
- Urbanisme
- Maison
- Structure urbaine
- [x] Foyer
- [x] Fosse
- [x] Fossé
- Sépulture
- Grotte
- Abri
- Mégalithe
- Artisanat
- Argile : atelier
- Atelier
- Four à chaux
- St. indéterminée

Mobilier

- [x] Industrie lithique
- Industrie osseuse
- [x] Céramique
- Restes végétaux
- [x] Faune
- Flore
- [x] Objet métallique
- Arme
- Outil
- Parure
- Habillement
- Trésor
- [x] Monnaie
- Verre
- Mosaïque
- Peinture
- Sculpture
- Inscription
- Autres

Études annexes

- [x] Géologie
- [x] Pédologie
- [ ] Datation
- [ ] Anthropologie
- [ ] Paléontologie
- [x] Zoologie
- [ ] Botanique
- [ ] Palynologie
- [ ] Macro restes
- [x] An. de céramique
- [ ] An. de métaux
- [ ] Acq. des données
- [ ] Numismatique
- [ ] Conservation
- [ ] Restauration
- [x] Autre

1.3 LISTE DES INTERVENANTS

Intervenants scientifiques

Prénom Nom, organisme d'appartenance	Tâches génériques	Tâches affectées dans le cadre de l'opération
Christian Piozzoli, SRA ÎDF	**Conservateur du patrimoine**	**Prescription et contrôle scientifique**
OlivierBlin, INRAP ÎDF	**Directeur Adjoint Scientifique et Technique**	**Projet et contrôle scientifique**
Diana Casadei ; INRAP ÎDF	**Déléguée au DAST**	**Projet et contrôle scientifique**
Gilles Desrayaud, INRAP ÎDF	**Chargé d'étude**	**Responsable d'opération**

Intervenants administratifs

Prénom Nom, organisme d'appartenance	Tâches génériques	Tâches affectées dans le cadre de l'opération
Stéphane Deschamps, SRA ÎDF	**Conservateur régional**	**Prescription et contrôle scientifique**
Christian Piozzoli, SRA ÎDF	**Conservateur du patrimoine**	**Prescription et contrôle scientifique**
Marie-Christiane Casala, INRAP ÎDF	**Directrice interrégionale**	**Contrôle de l'opération**

Intervenants techniques

Prénom Nom, organisme d'appartenance	Tâches génériques	Tâches affectées dans le cadre de l'opération
GUINTOLI	**Terrassements mécaniques**	**Sondages archéologiques et rebouchage**
Ghislaine Epaud, INRAP ÎDF	**Assistante technique régionale**	**Préparation de l'opération**
Hervé Kuntz, INRAP ÎDF	**Assistant technique régional**	**Préparation de l'opération**
Vincent Damour, INRAP ÎDF	**Délégué à l'AT régional**	**Préparation de l'opération**

Aménageur

Prénom Nom, organisme d'appartenance	Tâches génériques	Tâches affectées dans le cadre de l'opération
Sylvie Miceli, PANHARD DEVEL.	**Directrice de la maîtrise d'ouvrage**	**Suivi de l'opération**
Alexandre Soubrié, PANHARD DEVEL.	**Chargé d'opérations**	**Suivi de l'opération**

Financement

Redevance archéologique (Inrap)

Équipe de fouille, Inrap

Prénom Nom	Tâches génériques	Tâches affectées dans le cadre de l'opération
Gilles Desrayaud	**Archéologue**	**Responsable d'Opération**
Romana Blaser	**Archéologue**	**Evaluation du site néolithique**
François-Xavier Cassan	**Archéologue**	**Technicien, détection des métaux**
Sophie Clément	**Archéologue**	**Evaluation du site paléolithique**
Philippe Lenhardt	**Topographe architecte**	**Topographie, étude architecturale**
Cécile Ollivier	**Archéologue**	**Technicienne**
Emmanuelle Saron	**Archéologue**	**Technicienne**
Mohammad Rayati	**Archéologue**	**Technicien**
Olivier Roncin	**Archéologue**	**Technicien**
Régis Touquet	**Topographe**	**Topographie**

Équipe de post-fouille, Inrap

Prénom Nom	Tâches génériques	Tâches affectées dans le cadre de l'opération
Gilles Desrayaud	**Archéologue**	**Responsable d'Opération**
Grégory Bayle	**Archéozoologue**	**Etude de faune**
Romana Blaser	**Spécialiste (Néolithique)**	**Etude lithique**
Eve Boitard	**Dessinatrice**	**Dessin lithique**
Hélène Civarelli	**Spécialiste (Protohistoire)**	**Etude céramique et des objets en alliage cuiv.**
Caroline Claude	**Spécialiste (Moy. Age et moderne)**	**Etude céramique**
Sophie Clément	**Spécialiste (Paléolithique)**	**Stratigraphie et étude lithique**
Stéphane Durand	**Spécialiste (Néolithique)**	**Etude céramique**
Philippe Lenhardt	**Topographe architecte**	**Topographie, DAO, étude architecturale**
Florence Moret-Auger	**Spécialiste (numismate)**	**Etude des monnaies**
Cécile Ollivier	**Archéologue**	**Traitement du mobilier**
Laurent Petit	**Archéologue, photographe**	**Photographie d'objets**
Régis Touquet	**Topographe**	**Topographie, DAO**
Marc Viré	**Archéologue**	**Etude lapidaire et architecturale**

Collaborations

Prénom Nom, organisme d'appartenance	Tâches génériques	Tâches affectées dans le cadre de l'opération
Nicolas Le Maux, Université de Paris I	**Doctorant**	**Etude de hache polie**

1.4 NOTICE SCIENTIFIQUE

Le développement du secteur de la ZAC des Haies Blanches dans la partie occidentale de la commune du Coudray-Montceaux (Essonne), a fait l'objet de suivis archéologiques sous l'égide du Service Régional de l'Archéologie d'Île de France (**Fig. 3** ; MAURY 2008 ; CLEMENT 2010).

Le projet de construction d'une nouvelle plateforme par la société *Panhard Developpement* a motivé la prescription d'une vingtaine d'hectares au lieudit "Le Champtier du Chêne Mort" (**cf. § 1.7 ; Fig. 1, 2 et 3-n°3**).

Le terrain diagnostiqué est sis sur le rebord septentrional du plateau limoneux de Beauce et du Hurepoix, légèrement en retrait de la confluence Seine-Essonne (**Fig. 4-5**).

Le sud de l'emprise borde la butte stampienne érodée dite "aux Prévôts", exploitée pour son sablon par une carrière encore en activité (**Fig. 3 et 5**).

34 tranchées linéaires de 3 m de large, espacées d'environ 24 m, ont été réalisées à la pelle mécanique, afin d'atteindre le niveau des sols en place sous labours, colluvions et remblais superficiels. Plusieurs fenêtres complémentaires de décapage et une quarantaine de sondages profonds ponctuels ont également été réalisés, afin d'évaluer la densité, la morphologie et la profondeur des vestiges archéologiques, ainsi que de collecter du matériel datant et de caractériser le faciès géo-pédologique de l'emprise (**Fig. 7** ; **plan joint**).

Environ 500 faits et Us ont été mis au jour (**cf. § 4.1**). Les terrains ont été sondés à hauteur de 12,4 %.

SECTEUR SUD, Paléolithique moyen

Au sud de l'emprise, une demi-douzaine de sondages profonds ont permis de mettre en relation la présence d'unités sédimentaires du Pléistocène et d'une vingtaine de vestiges lithiques, indiquant l'existence d'un site paléolithique moyen, dont l'extension potentielle au sein de la prescription de diagnostic peut-être estimé à environ 0,5 ha (**Fig. 10 et 57** ; **cf. § 2.2.1** : S. CLEMENT).

Il est intéressant de souligner que les éléments retrouvés plus au sud est, en 2009 (CLEMENT 2010), montrent une production distincte. Ceci confirme l'hypothèse de deux occupations différentes sur une même zone géographique très restreinte.

De telles sources d'informations, dans un contexte où la Préhistoire de l'Île-de-France n'est représentée que par une poignée de sites, sont capitales pour alimenter la recherche des périodes anciennes (**§ 2.2.1** : S. CLEMENT).

SECTEUR SUD EST, Néolithique et Bronze final

Au sud est des parcelles, des vestiges en creux et ramassages de mobiliers, sur environ 4,5 ha, témoignent de l'existence d'occupations du Néolithique ancien, moyen et final, ainsi que de l'âge du Bronze final (**Fig. 12 et 57** ; **cf. § 2.2.2** et **cf. § 3.1, 3.2 et 3.3** : R. BLASER, S. DURAND et H. CIVALLERI).

Pour la période du Rubané final / VSG ancien, la présence d'unités d'habitation à fosses latérales (**Fig. 14 à 19**), à la confluence Seine-Essonne, revêt un caractère exceptionnel et constitue un pôle de données archéologiques de première importance pour l'étude de la néolithisation de la région (**cf. § 3.2** : S. DURAND). Le site des Haies Blanches est l'un des rares sites découverts en plateau, les autres ensembles contemporains étant régionalement implantés dans la plaine alluviale (**cf. § 3.2** : R. BLASER**, Fig. 3.1.11**).

Pour le Néolithique moyen, le site occupe une place importante entre le site éponyme du Cerny, situé dans une commune limitrophe, et les sites fortifiés marqués par de grandes enceintes à Marolles-sur-Seine, Châtenay–sur-Seine, Balloy et Barbuise-Coutavant (**cf. § 3.2** : R. BLASER**, Fig. 3.1.12**).

L'ensemble des tessons du Néolithique final constitue un ensemble cohérent dans une zone délimitée. Les 340 tessons collectés sur un espace traversé d'une centaine de mètres de long résultent sans aucun doute d'une forme d'occupation, dont les modalités n'ont pas pu être décelées (**cf. § 3.2** : S. DURAND).

Pour le Bronze final, la richesse de l'assemblage céramique découvert dans le remplissage de la fosse 2144 et la présence de deux parures en alliage cuivreux laissent envisager l'existence d'une occupation domestique d'un statut tout à fait singulier dont on ne connaît pas encore d'équivalent

dans le département de l'Essonne (**cf. § 3.3** : H. CIVALLERI).

Par ailleurs, l'identification de mobilier probablement lié à la métallurgie mérite d'être soulignée dans la mesure où il est extrêmement rare d'observer de tels indices sur les sites de cette période (**cf. § 3.3** : H. CIVALLERI).

SECTEUR NORD EST, Néolithique et Hallstatt final (D1 ?)

Au nord est, une fosse du Néolithique final et quelques fragments lithiques, ainsi que des fosses utilitaires associées à des groupements de poteaux (une cinquantaine) attribuables à la fin du Ier âge du Fer, se répartissent sur environ 1,5 ha (**Fig. 24 et 57** ; **cf. § 2.2.3** et **cf. § 3.2, 3.3 et 3.4** : S. DURAND, H. CIVALLERI, G. BAYLE).

Les habitats de cette période demeurent mal connus et seuls une demi douzaine de site essonniens sont attestés à ce jour (**cf. 3.3** : H. CIVALLERI).

Secteur nord, Fenêtre 02-A, Protohistoire indéterminée

Au nord ouest du diagnostic (Fen02-A, env. 300 m^2), un groupe de trous de poteau semble appartenir à la Protohistoire (**Fig. 30 et 57** ; **cf. § 2.2.4** et **cf. § 3.3** : H. CIVALLERI). La faiblesse quantitative du mobilier récolté ne permet pas d'envisager de datation précise. Seule la découverte de nouveaux indices matériels plus discriminants permettrait, le cas échéant, de rattacher cet ensemble à l'une des occupations aux alentours (**cf. § 3.3** : H. CIVALLERI).

SECTEUR OUEST, Protohistoire indéterminée et périodes médiévale et moderne

A l'ouest des parcelles, des concentrations plus ou moins denses de vestiges en creux, sur environ 2 ha, correspondent à deux occupations diachroniques, protohistorique et médiévale à moderne (**Fig. 34, 35 et 57** ; **cf. § 2.2.5**).

Au nord de ce secteur, des groupes de trous de poteaux (une vingtaine de faits au total) et une douzaine de fosses plus ou moins charbonneuses, attribuables à la Protohistoire, se répartissent sur plus d'1 hectare (**Fig. 34** ; **cf. § 3.3** : H. CIVALLERI).

La présence de trous de poteaux dans la tranchée 32 du diagnostic de 2008 pourrait indiquer une extension du site vers l'ouest (MAURY 2008).

Au sud de ce secteur, sur environ 1 ha, de nombreux faits, notamment dans les tranchées 21 et 22, correspondent à l'extension orientale de l'ancienne ferme de Tournenfils, attestée par les textes depuis le XVIIe s. et abandonnée au début des années 1970 (**Fig. 35** ; MAURY 2008 : p.554-101).

La présence de tessons XIe-XIIe s. répartis sur l'ensemble de la partie méridionale du secteur ouest suggère une création de l'habitat de Tournenfils dés le Moyen Âge classique (**Fig. 57** ; **cf. § 2.2.5**, C. CLAUDE). Un tesson IXe-IXe s., collecté dans un fossé pendant le diagnostic de 2008, évoque une fondation remontant même à la fin de la période carolingienne (Fabienne RAVOIRE dans MAURY 2008 : p. 27, fig. 23).

Les éléments des XIIIe-XIVe et XVe-XVIe s. semblent indiquer une continuité d'occupation jusqu'à la période moderne (**Fig. 44 et 45** ; **cf. § 3.5**, F. MORET-AUGER).

La présence de vestiges en creux similaires est également perceptible dans les tranchées 27 à 30 du diagnostic de 2008 (**Fig. 57** ; **plan joint**).

Elle suggère un développement de l'occupation médiévale et moderne au sud, au nord et à l'est du corps de ferme principal figuré sur les plans des XVIIIe et XIXe s. (**Fig. 50** ; MAURY 2008 : fig. 23 à 29)

Pont à deux arches et aménagements de la mare du *Champtier du Chêne Mort* (XIXe s.)

Au centre de l'emprise, les aménagements de la mare du *Champtier du Chêne Mort* ont fait l'objet d'un levé topographique détaillé (**Fig. 51** ; **plan joint**).

Une étude de bâti sommaire, ainsi que des documents cartographiques et des sources écrites, a permis de situer la construction du pont d'agrément à deux arches et des aménagements annexes pendant l'intervalle 1823-1899 (**cf. § 2.2.7**, Ph. LENHARDT).

1.5 LOCALISATION DE L'OPERATION SUR LA CARTE IGN

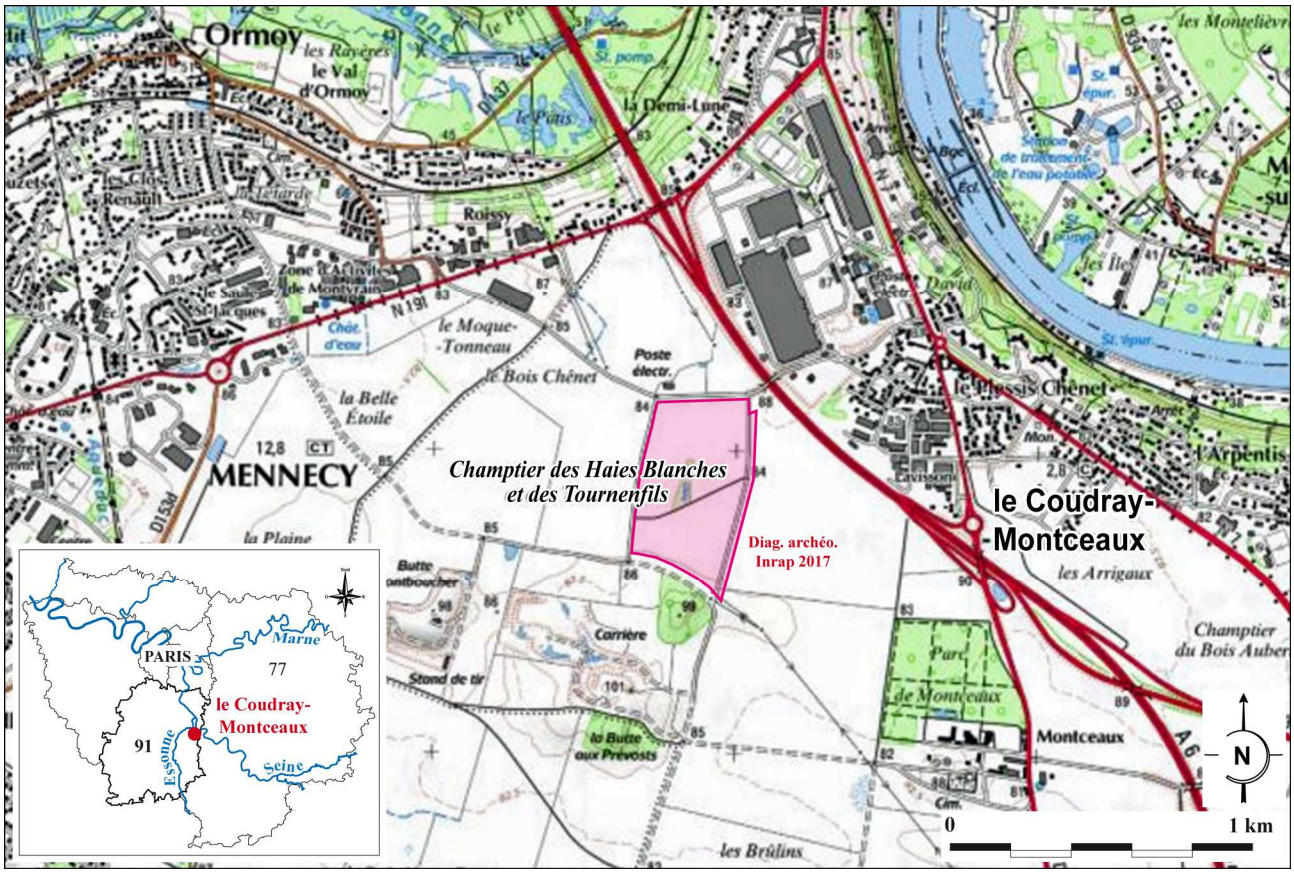

Fig 1 : Localisation de l'intervention sur le fond de carte IGN au 1/25000 (© IGN Paris 2004).

1.6 LOCALISATION DE L'OPERATION SUR LE CADASTRE

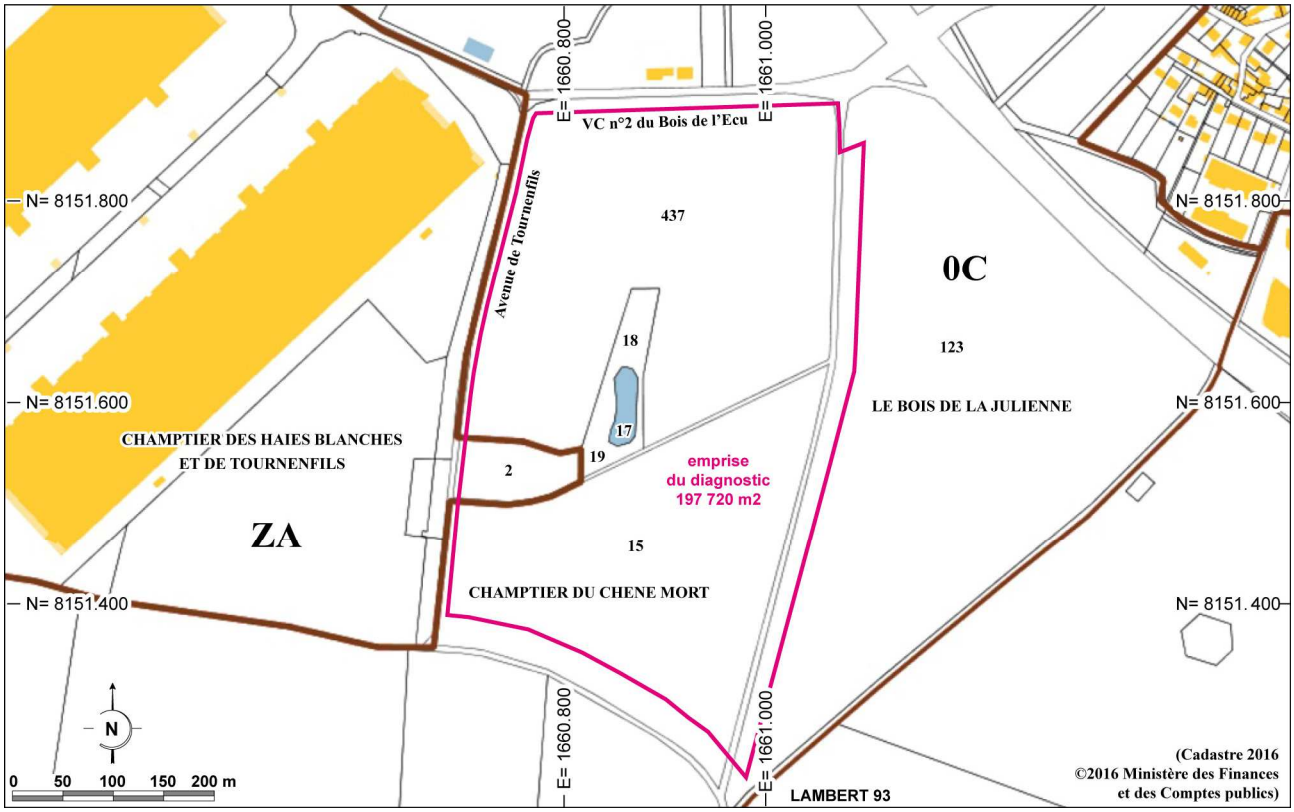

Fig 2 : Localisation de l'intervention sur le fond cadastral (© cadastre.gouv.fr 2017)

1.7 COPIE DE L'ARRÊTÉ DE PRESCRIPTION

Liberté • Égalité • Fraternité
RÉPUBLIQUE FRANÇAISE
PRÉFET DE LA RÉGION D'ILE-DE-FRANCE

15 NOV. 2016

Direction régionale
des affaires culturelles d'Ile-de-France

Affaire suivie par : Christian PIOZZOLI
Service régional de l'archéologie
Tél. : 01 56 06 51 81
Fax : 01 56 06 52 01
Mél : christian.piozzoli@culture.fr
Réf. SRA : SD/CP/ [2016-980] 2016 n°
Votre dossier réf.: 2016-11-SMI-JLTT

D 114 409

Arrêté n° : 2016-579

Le Préfet de la région d'Ile-de-France

VU le code du patrimoine, livre V ;

VU les décrets n° 2011-573 et 2011-574 du 24 mai 2011 relatifs à la partie réglementaire du code du patrimoine ;

VU le dossier adressé en date du 05/04/2016, référence 2016-11-SMI-JLTT, concernant des terrains situés à 91830 Coudray-Montceaux (Le), les Haies Blanches 2 - avenue de Tournenfils et rue du Bois de l'Ecu, par PANHARD DEVELOPPEMENT permettant d'établir les emprises du projet et de calculer les superficies soumises à diagnostic ; reçu à la Direction régionale des affaires culturelles - service régional de l'archéologie le 23/03/2016 ;

VU la saisine par courrier en date du 18/03/2016, par PANHARD DEVELOPPEMENT demandant en vertu des articles R 523-12 et R 523-14 du code du patrimoine la réalisation d'un diagnostic archéologique, reçue le 06/04/2016 à la Direction régionale des affaires culturelles - service régional de l'archéologie ;

VU l'arrêté de prescription de diagnostic n° 2016-196 en date du 11/04/2016 comportant des mentions erronées, l'emprise concernée par la précédente prescription ne faisant pas partie d'une Zac ;

CONSIDERANT que, en raison de leur localisation, les travaux envisagés sont susceptibles d'affecter des éléments du patrimoine archéologique. En effet,Tournenfils abrite un canal et un ponceau pouvant signaler un site médiéval ou moderne (maison-forte, autre ?). Des sites paléolithique et antique sont connus à proximité ;

CONSIDERANT qu'il est nécessaire de mettre en évidence et de caractériser la nature, l'étendue et le degré de conservation des vestiges archéologiques éventuellement présents afin de déterminer le type de mesures dont ils doivent faire l'objet ;

ARRETE

Article 1er : Un diagnostic archéologique sera réalisé sur le terrain faisant l'objet des aménagements, ouvrages ou travaux susvisés, sis en :

région : Ile-de-France
département : Essonne
commune : Coudray-Montceaux (Le
adresse : les Haies Blanches 2 - avenue de Tournenfils et rue du Bois de l'Ecu
cadastre : Section C - parc. 15p, 17, 18, 123p, 437 / Section ZA - parc. 2
propriétaire : PANHARD DEVELOPPEMENT

Le diagnostic archéologique comprend, outre une phase d'exploration du terrain, une phase d'étude qui s'achève par la remise du rapport sur les résultats obtenus.

Article 2 : Le diagnostic sera réalisé sous la maîtrise d'ouvrage de l'Institut National de Recherches Archéologiques Préventives. Les conditions de sa réalisation seront fixées contractuellement en application des articles R 523-30 à R 523-32 du code du patrimoine susvisé. Le demandeur devra s'assurer que les terrains sont en état d'être diagnostiqués. Entre autre, il devra avoir préalablement réglé les questions d'accessibilité et de sécurité et obtenu les autorisations du ou des propriétaires et ayant-droits.
Il sera exécuté conformément au projet d'opération élaboré par le maître d'ouvrage désigné pour réaliser le diagnostic archéologique sur la base des prescriptions suivantes :

Objectifs : mise en évidence de la présence ou de l'absence de vestiges archéologiques. Dans l'éventualité de présence de vestiges, l'opération devra caractériser lesdits vestiges : état de conservation, profondeur d'enfouissement, épaisseur des niveaux archéologiques, densité, attribution chronologique, surface concernée.

Principes méthodologiques : réalisation de tranchées d'évaluation ou de sondages ponctuels, adaptés à la morphologie et à la topographie du terrain, avec élargissements localisés autour des vestiges structurés. Dans la mesure du possible, les tranchées seront orientées à 45° par rapport au parcellaire visible sur le cadastre napoléonien. La surface ouverte en sondage doit être au minimum égale à 10 % de l'emprise du projet. Un quart des structures mises au jour doit être testé au minimum. Préalablement au démarrage sur le terrain de l'opération de diagnostic, le responsable scientifique désigné prendra contact avec l'agent du Service régional de l'archéologie chargé du suivi de cette opération, afin d'établir un premier bilan de la documentation existante sur l'environnement géologique, historique et archéologique.

Qualification du responsable scientifique : médiéviste

Article 3 : Le diagnostic portera sur une emprise de 197720 m² conformément au plan joint.

Article 4 : Le régime de propriété du mobilier archéologique sera établi, au terme de son étude scientifique et après remise du rapport d'opération au service régional de l'archéologie, conformément aux dispositions des articles L. 541-4 et L. 541-5 du code du patrimoine.

Article 5 : La Directrice régionale des affaires culturelles est chargée de l'exécution du présent arrêté, qui sera notifié à PANHARD DEVELOPPEMENT et à l'Institut National de Recherches Archéologiques Préventives.

Paris, le 11/10/2016
Pour le Préfet de Région, Préfet de Paris
et par délégation,
la directrice régionale des affaires culturelles
et par subdélégation,
le conservateur régional de l'archéologie d'Ile-de-France

Stéphane Deschamps

Original : Institut National de Recherches Archéologiques Préventives - Direction Centre / Ile-de-France - Immeuble Les Diamants, bat. B - 41, rue Delizy - 93692 Pantin
Copies : PANHARD DEVELOPPEMENT - à l'attention de M. Bouthors, - Directeur général - 10, rue Roquepine - 75008 Paris

Direction régionale des affaires culturelles d'Ile-de-France
47 rue Le Peletier 75009 Paris - standard 01 56 06 50 00 - telecopie 01 56 06 52 14
Adresse internet : http://www.culturecommunication.gouv.fr/Regions/DRAC-Ile-de-France

Le Coudray-Montceaux (91)

Zac des Haies Blanches

localisation et emprise du diagnostic archéologique
(secteur tramé en rouge)

Vu pour être annexé à l'arrêté de prescription de diagnostic archéologique 2016-579 du 03/11/2016

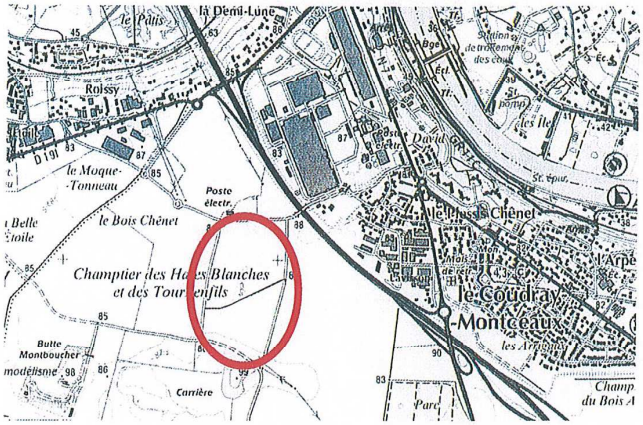

(extr. géoportail.gouv.fr)

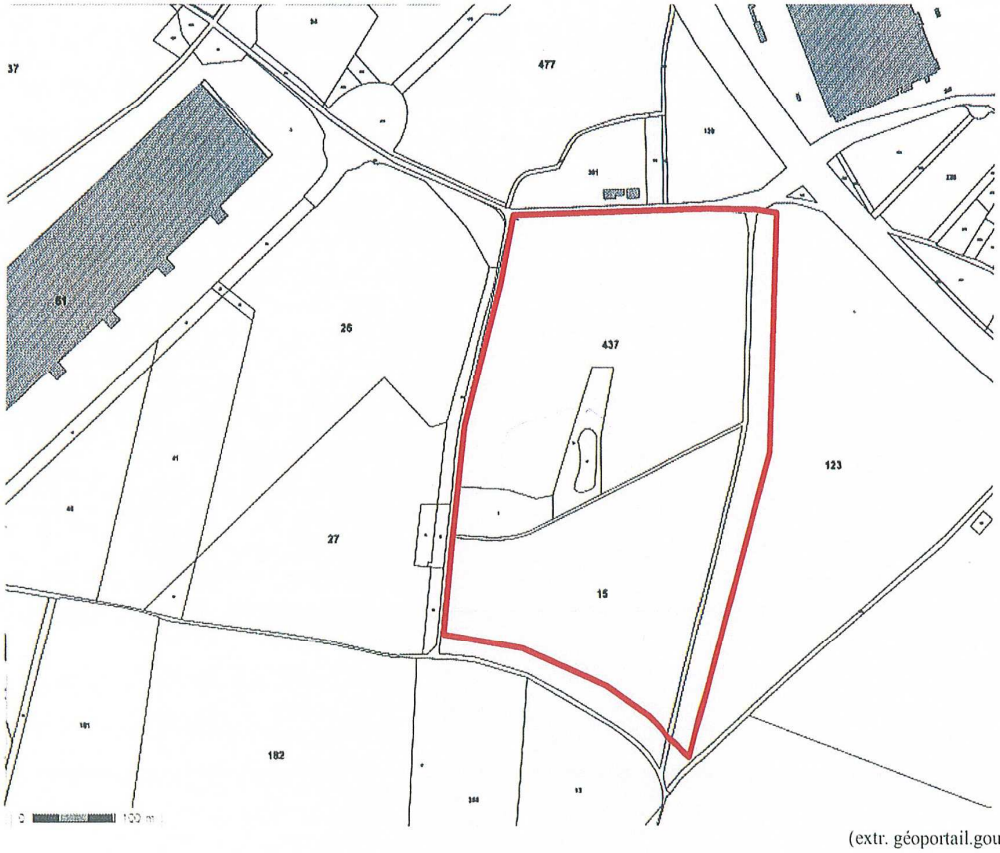

(extr. géoportail.gouv.fr)

1.8 ARRETE PORTANT DESIGNATION DU RESPONSABLE SCIENTIFIQUE

Liberté • Égalité • Fraternité
RÉPUBLIQUE FRANÇAISE
PRÉFET DE LA RÉGION D'ILE-DE-FRANCE

Direction régionale
des affaires culturelles d'Ile-de-France

Affaire suivie par : Christian PIOZZOLI
Service régional de l'archéologie
Tél. : 01 56 06 51 81
Fax : 01 56 06 52 01
Mél : christian.piozzoli@culture.fr
Réf. SRA : SD/CP/ [2016-980] 2017 n°
Votre dossier réf.: 2016-11-SMI-JLTT

Arrêté n°:2017-013

Le Préfet de la région d'Ile-de-France

VU le code du patrimoine, livre V ;
VU les décrets n° 2011-573 et 2011-574 du 24 mai 2011 relatifs à la partie réglementaire du code du patrimoine, notamment les articles R 522-1 et R 523-22 ;

Vu l'arrêté n° 2016-579 en date du 11/10/2016 portant prescription de diagnostic archéologique sur le terrain situé : les Haies Blanches 2 - avenue de Tournenfils et rue du Bois de l'Ecu à Coudray-Montceaux (Le ;

Vu la convention de diagnostic signée entre : PANHARD DEVELOPPEMENT et l'Institut National de Recherches Archéologiques Préventives reçue le 07/12/2016 ;

CONSIDERANT que, en raison de leur nature et de leur localisation, les travaux envisagés sont susceptibles d'affecter des éléments du patrimoine archéologique et qu'une opération de diagnostic doit être mise en place ;

ARRETE

Article 1 : L'opération sera réalisée sous la maîtrise d'ouvrage de l'Institut National de Recherches Archéologiques Préventives. Les conditions de sa réalisation sont fixées par convention.

Article 2 : Monsieur Gilles Desrayaud est désigné(e) comme responsable scientifique du diagnostic.

Article 3 : La Directrice régionale des affaires culturelles est chargée de l'exécution du présent arrêté, qui sera notifié à l'Institut National de Recherches Archéologiques Préventives.

Paris, le 03/01/2017
Pour le Préfet de Région, Préfet de Paris
et par délégation,
la directrice régionale des affaires culturelles
et par subdélégation,
le conservateur régional de l'archéologie d'Ile-de-France

Stéphane Deschamps

Original : Intéressé
Copies : Maître d'ouvrage et Opérateur
Préfecture de département
Gendarmerie
Mairie de Coudray-Montceaux (Le

Direction régionale des affaires culturelles d'Ile-de-France
47 rue Le Peletier 75009 Paris - standard 01 56 06 50 00 - télécopie 01 56 06 52 48
Adresse internet : http://www.culturecommunication.gouv.fr/Regions/DRAC-ile-de-france

II. Résultats

2 RESULTATS

2.1 CONTEXTES D'OPÉRATION

2.1.1 Circonstances de l'intervention

Le développement du secteur de la ZAC des Haies Blanches dans la partie occidentale de la commune du Coudray-Montceaux (Essonne), a fait l'objet de suivis archéologiques sous l'égide du Service Régional de l'Archéologie d'Île de France (**Fig. 3** ; MAURY 2008 ; CLEMENT 2010).

Le projet de construction d'une nouvelle plateforme par la société *Panhard Developpement* a motivé la prescription d'une vingtaine d'hectares au lieudit "Le Champtier du Chêne Mort" (**cf. § 1.7 ; Fig. 1, 2 et 3-n°3**).

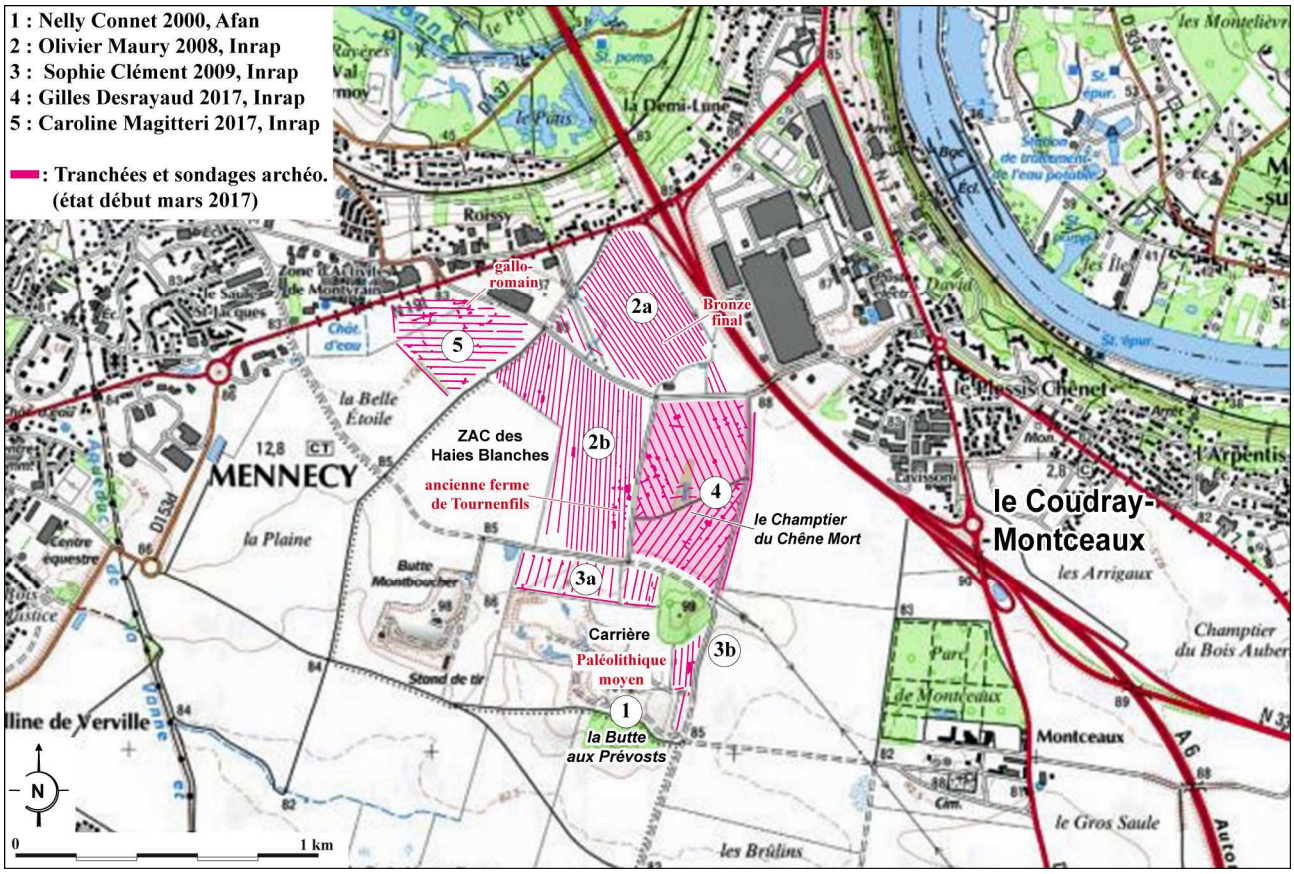

Fig 3 : Localisation des opérations archéologiques Afan / Inrap 2000-2017 sur le fond de carte IGN au 1/25000 (© IGN Paris 2004).

2.1.2 Contexte archéologique

Concernant le secteur de La ZAC des Haies Blanches, les principaux indices archéologiques issus de prospections pédestres et aériennes, ainsi que des sources historiques ont été présentés par Olivier Maury et Sophie Clément dans leurs rapports de 2008 et 2010 (MAURY 2008, p. 8-15 et fig. 4 ; CLEMENT 2010, p. 19-21).

Dans l'environnement immédiat du diagnostic du "Champtier du Chêne Mort", plusieurs opérations préventives ont été menées par l'Afan puis l'Inrap entre 2000 et 2009 (**Fig. 3**).

Au sud est de "la Butte aux Prévosts", deux sites du Paléolithique moyen ont été découverts en 2000 et 2009 par Nelly Connet et Sophie Clément (**Fig. 3-n°1 et 3b** ; CONNET 2000 ; CLEMENT 2010). Ils

ont fait l'objet respectivement d'une mise en réserve et d'une prescription de fouille.

A l'ouest, 44 hectares ont été diagnostiqués en 2008 sous la direction d'Olivier Maury (**Fig. 3-n°4** ; MAURY 2008). Une cinquantaine de pièces siliceuses attribuables au Paléolithique et au Néolithique ont été collectées en contextes secondaires. Une fosse du Bronze final et quelques vestiges en creux gallo-romains ont également été repérés.

En limite occidentale du diagnostic de 2017, à l'emplacement de l'ancienne ferme de Tournenfils (**plan joint**), abandonnée dans les années 1970, la présence de quelques tessons des IXe-X e s. et XVe-XVIe s. ap. J.-C. suggère une création ancienne de l'établissement.

Dans le cadre du rapport de 2008, une étude documentaire préliminaire du site de Tournensfils a été réalisée par Chantal Delomier (MAURY 2008, p. 54-101). Elle a permis notamment la mise à disposition d'un plan terrier du XVIIIe s.

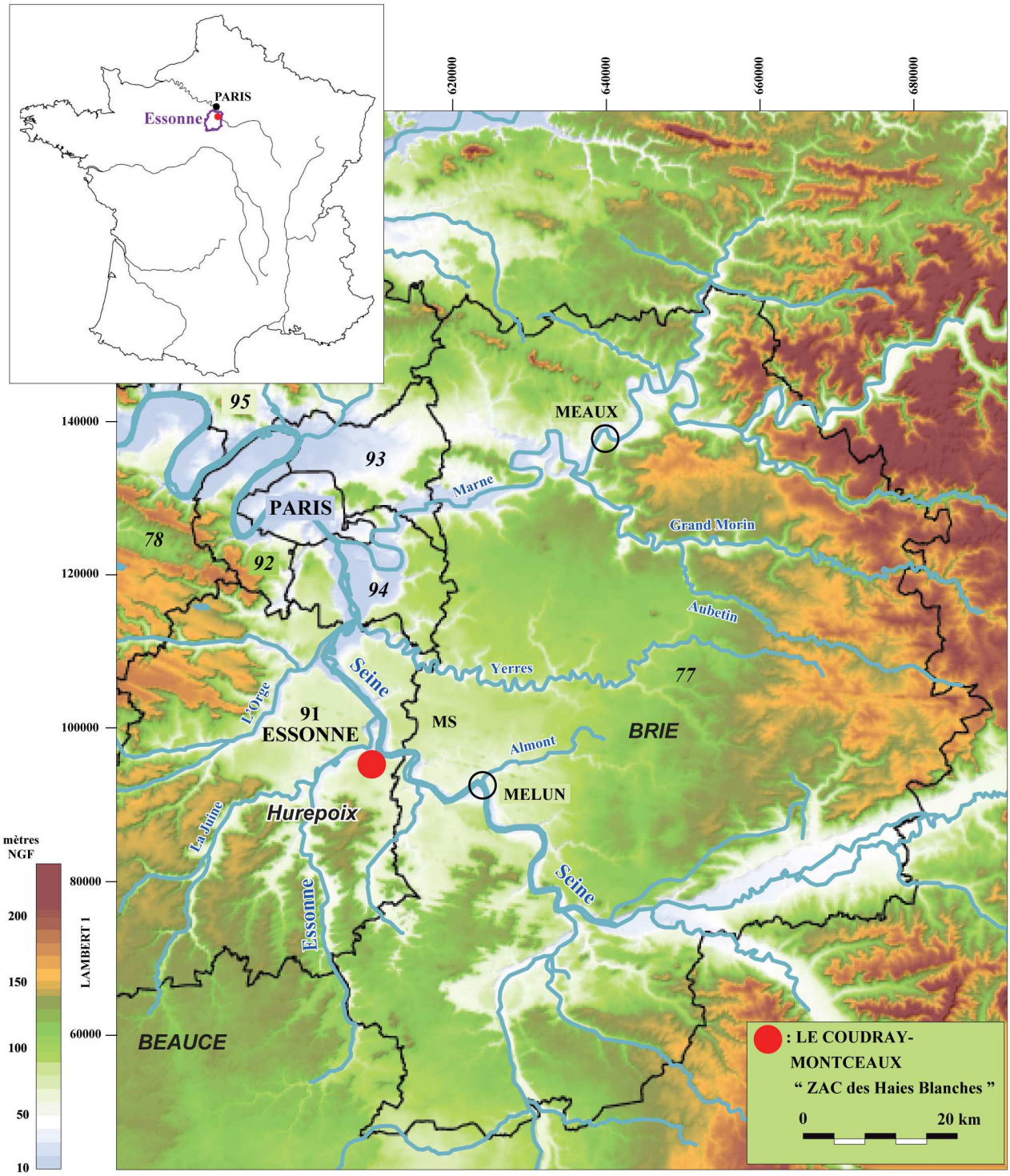

Fig 4 : Localisation et contexte géographique du diagnostic (© INRAP)

2.1.3 Contextes géographique et sédimentaire

2.1.3.1 Contextes géographique et géologique généraux

Le terrain diagnostiqué est sis sur le rebord septentrional du plateau limoneux de Beauce et du Hurepoix, légèrement en retrait de la confluence Seine-Essonne (**Fig. 4-5**).

Le sud de l'emprise borde la butte stampienne érodée dite "aux Prévôts", exploitée pour son sablon par une carrière encore en activité (**Fig. 3 et 5**).

« Le plateau de Beauce est façonné dans les séries du Tertiaire du Bassin parisien (*CARTE GEOLOGIQUE A 1/50000* 1969).

Le calcaire de Brie (g^{1b}) constitue l'entablement de l'extrémité est du plateau de Beauce. Mis en place au cours du Stampien inférieur/Sannoisien, entre 37 et 34 Ma BP, époque Eocène supérieur, il supporte localement des sables g^{2b}. Ces "sables de Fontainebleau" sont également rapportés au Stampien moyen et se sont déposés à l'Oligocène inférieur (34 – 28 Ma BP).

Les terrains plus anciens appartenant au Stampien inférieur (Argile verte) et au Bartonien moyen et supérieur (Marnes), et datés de 40 et 37 Ma BP, toujours à l'Eocène supérieur, ne sont dégagés qu'au niveau des versants des vallées de la Seine et de l'Essonne ; ils ont été mis en évidence lors du creusement progressif du réseau hydrographique au cours du Quaternaire (entre 2.6 Ma BP et l'Actuel).

La surface du plateau est nappée par une couverture limoneuse dite "lœssique" dans la notice de la carte géologique. Mise en place au cours du Quaternaire (2.6 Ma BP – Actuel), son étendue et son épaisseur sont très variables dans le bassin de Paris.

Sur les plateaux qui limitent au sud la vallée de la Seine, les lœss apparaissent sous la forme de placages d'envergure plurikilométrique, excédant rarement et en moyenne 2 m d'épaisseur. Localement, ils peuvent atteindre 5 à 6 m, souvent à la faveur d'irrégularités négatives du toit du substrat Tertiaire ou sur les versants exposés sous le vent (versants exposés globalement à l'est). » (C. CHAUSSÉ dans CLÉMENT 2010, p. 25-26).

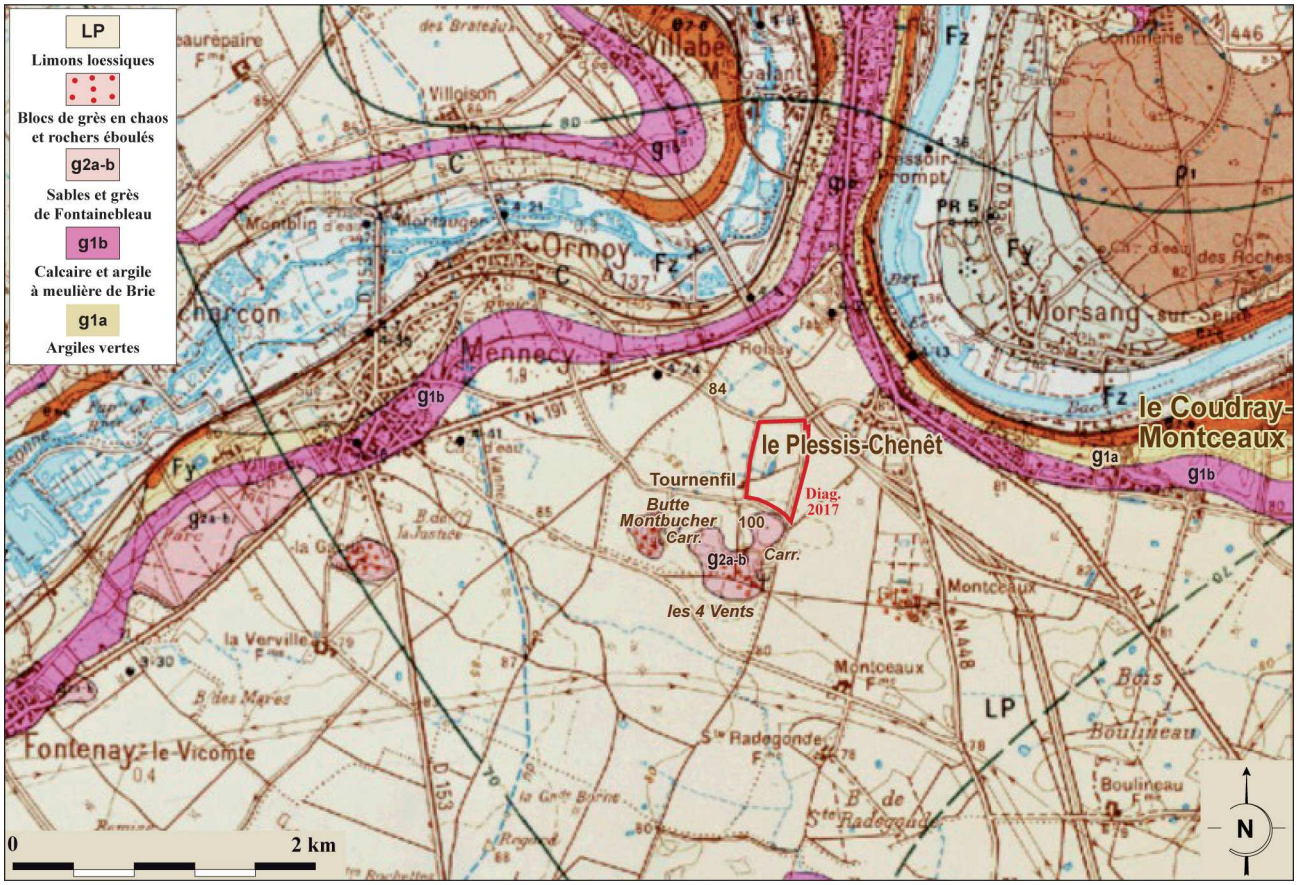

Fig 5 : Contexte géologique du diagnostic
(extrait de la *CARTE GÉOLOGIQUE À 1/50000*, 1969 ; source : *Info Terre*)

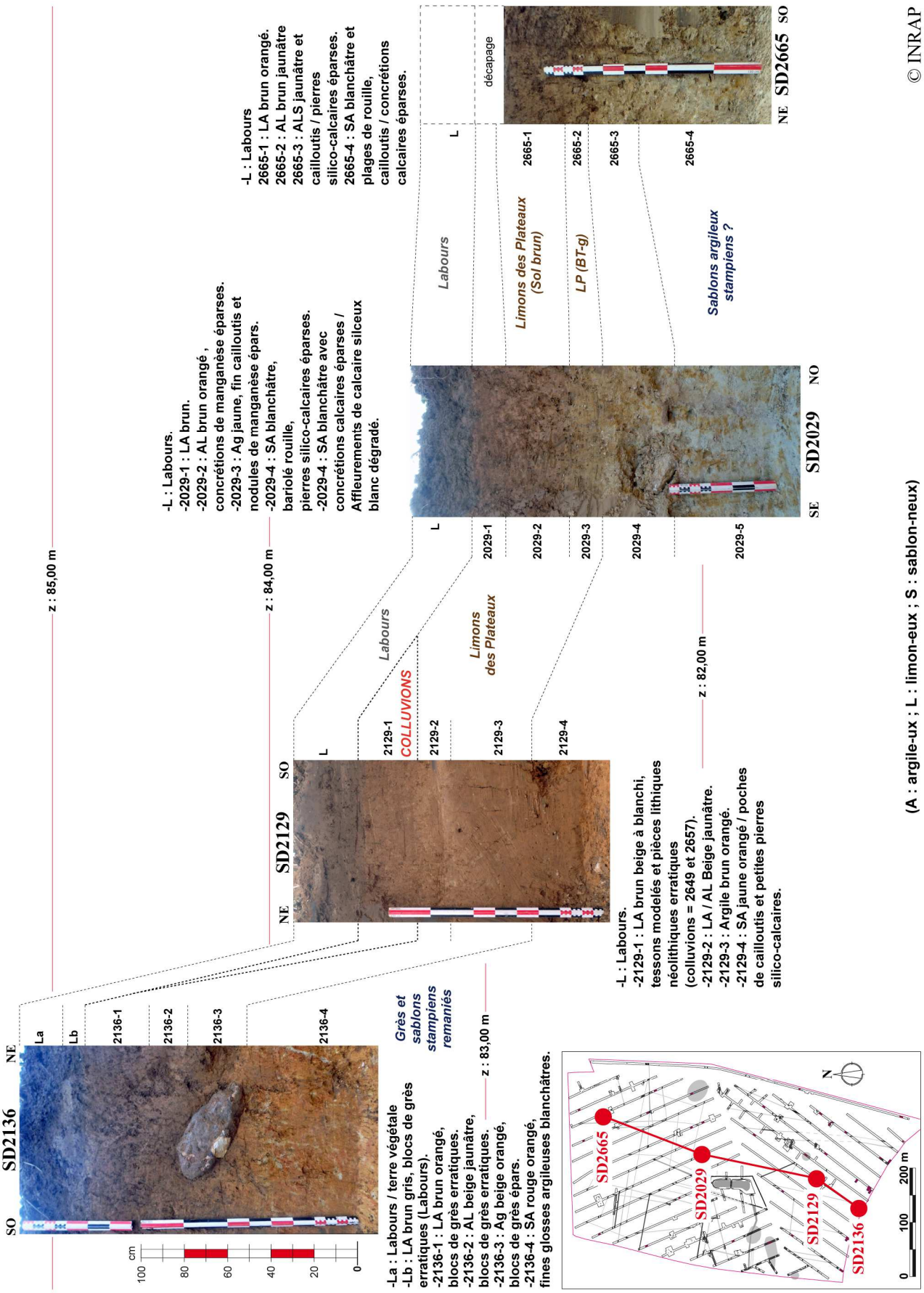

Fig 6 : Profil pédo-géologique SSO/NNE schématique de l'emprise de diagnostic (© INRAP : G. Desrayaud)

2.1.3.2 Contexte pédo-géologique local

Une quarantaine se sondages profonds répartis sur l'ensemble de l'emprise ont permis de caractériser la séquence sédimentaire quaternaire (**Fig. 6-7** ; **cf. § 4.1**).

Ces observations sont comparables et viennent compléter les études réalisées en 2008 et 2009 sur les parcelles attenantes (C. CHAUSSÉ et J. SAREL dans MAURY 2008, p. 17-19 et fig. 9-13 ; C. CHAUSSÉ dans CLÉMENT 2010, p. 25-35 ; **Fig. 3**).

Dans les deux tiers nord, les sols encaissants sous labours se caractérisent par la présence de limons argileux loessiques, dits "des plateaux", conservés sur une épaisseur inférieur au mètre (**LP : Sol brun et BT** ; **Fig. 5-6**).

Ils reposent sur des argiles avec inclusions de cailloutis et pierres silico-calcaires et sablons argilo-calcaires stampiens blanchâtres (**Fig. 6**).

Ce secteur du plateau se situe entre 83 m et 83,5 m NGF, sans microrelief particulier, à l'exception de deux légères dépressions à l'OSO (TR21-22) et à l'ENE (TR03 à 30 ; **Fig. 7** ; **plan joint**).
A l'ouest, le "creux" correspond à de grandes excavations liées à la ferme de Tournenfils, remblayées à la période moderne ou contemporaine.
A l'est, sur une bande d'environ 200 m de long pour 50 m de large, les sols encaissants superficiels présentent des altérations hydromorphes (blanchiment, bariolage concrétions ferro-manganiques… TR02 à 05 ; **Fig. 7 ; plan joint**).

Le tiers sud de l'emprise correspond à la base septentrionale de la butte "aux Prévôts", entre 83,5 m et 86 m NGF (**Fig. 5 à 7 ; plan joint**).

En bas de versant, sur environ 3 ha, un horizon colluvionné de limons argileux bruns à blanchis est perceptible sous labours sur une quarantaine de centimètres d'épaisseur maximum (**Fig. 7**). En partie orientale (TR10 à 14), il a livré des pièces lithiques et tessons modelés erratiques, principalement attribuables à la période néolithique (**cf. § 3.1 et 3.2**, BLASER et DURAND).

A partir de 84 m NGF, ce secteur est marqué par la présence de blocs de grès effondrés épars à erratiques enserrés dans les limons argileux des plateaux et des sablons argileux stampiens remaniés, sur environ 1,5 m à 2 m de profondeur maximum (**Fig. 7**).
7 sondages profonds ont été réalisés par Sophie Clément et ont permis de caractériser la séquence sédimentaire (voir **cf. § 2.2.1**, CLEMENT). A environ 1,5 m de profondeur, un horizon argilo-limoneux à sablonneux a livré une vingtaine de pièces siliceuses taillées attribuables au Paléolithique moyen, réparties sur quatre sondages.

2.1.4 Moyens et méthodes mis en œuvre

n° TR	m² (fenêtres incluses)
TR1	669,3
TR2	1184,8
TR3	1121
TR4	926,1
TR5	721,9
TR6	775,3
TR7	670,8
TR8	440,4
TR9	672,7
TR10	1119,7
TR11	1339,3
TR12	668,6
TR13	1938,4
TR14	376,4
TR15	847,5
TR16	1865,3
TR17	798,8
TR18	538,2
TR19	300,2
TR20	132,4
TR21	507,8
TR22	408,6
TR23	1251,5
TR24	665,9
TR25	1166,6
TR26	130,3
TR27	948,6
TR28	857,3
TR29	795,1
TR30	397,4
TR31	124,1
TR32	67,1
TR33	41
TR34	73,9
TOT. TR	**24 542,3 m²**
Emprise globale	**197 720 m²**
% sondé	**12,41 %**

34 tranchées linéaires de 3 m de large, espacées d'environ 24 m ont été réalisées à la pelle mécanique, afin d'atteindre le niveau des sols en place sous labours, colluvions et remblais

superficiels. Plusieurs fenêtres complémentaires de décapage et une quarantaine de sondages profonds ponctuels ont également été réalisés, afin d'évaluer la densité, la morphologie et la profondeur des vestiges archéologiques, ainsi que de collecter du matériel datant et de caractériser le faciès géo-pédologique de l'emprise (**Fig. 7** ; **plan joint**).

Environ 500 faits et Us ont été mis au jour (**cf. § 4.1**). Les terrains ont été sondés à hauteur de 12,4 %.

Le parcellaire actuel et les traces paysagères étant orientés N/S, les tranchées linéaires ont été implantées à environ 45° du nord géographique afin de les recouper. Certains fossés archéologiques ont été suivis ponctuellement, afin de révéler une possible organisation ancienne.

À l'issue de l'intervention sur le terrain, les tranchées ont été rebouchées en vue d'une remise en culture.

Les unités stratigraphiques (Us) et horizons pédologiques (Hz) ont été décrits et numérotés selon la méthodologie en vigueur (HARRIS 1989 ; BAIZE, JABIOL 1995 ; PY 1997).

Chaque entité possède un code numérique composé par le n° de zone suivi des trois chiffres séquentiels : 2 001 = zone 2, fait n° 001.

Une numérotation en continu a été respectée pour les opérations du secteur de la ZAC des Haies Blanches. Les numéros 1000 ont été réservés au diagnostic d'Olivier Maury de 2008 (zone 1 ; MAURY 2008), afin d'éviter d'éventuels doublons, notamment au niveau des vestiges de l'ancienne ferme de Tournenfils, présents sur les deux opérations. Le diagnostic de janvier-mars 2017 correspond donc à la zone n°2.

Afin de limiter la multiplication des numéros, chaque fait en creux a été enregistré en tant qu'Us composite : creusement + comblement-s.

Par commodité de lecture, les Us / Hz composant un fait sont notés en tant que subdivisions numériques ou alphabétiques (première Us du fait 2001 = FT2001-1 ou FT2001-a).

À chaque catégorie de faits correspond un code de deux lettres précédant le numéro (par. ex. : fosse 2514 = FS2514).

Selon la même méthode, les ensembles (regroupements de faits) possèdent un code à trois lettre (par ex. : bâtiment 2208 = BAT2208). En général, le fait possédant le numéro le moins élevé donne son nom à l'ensemble.

Fig 7 : Plan général du diagnostic
(© INRAP : G. Desrayaud, Ph. Lenhardt, R. Touquet)

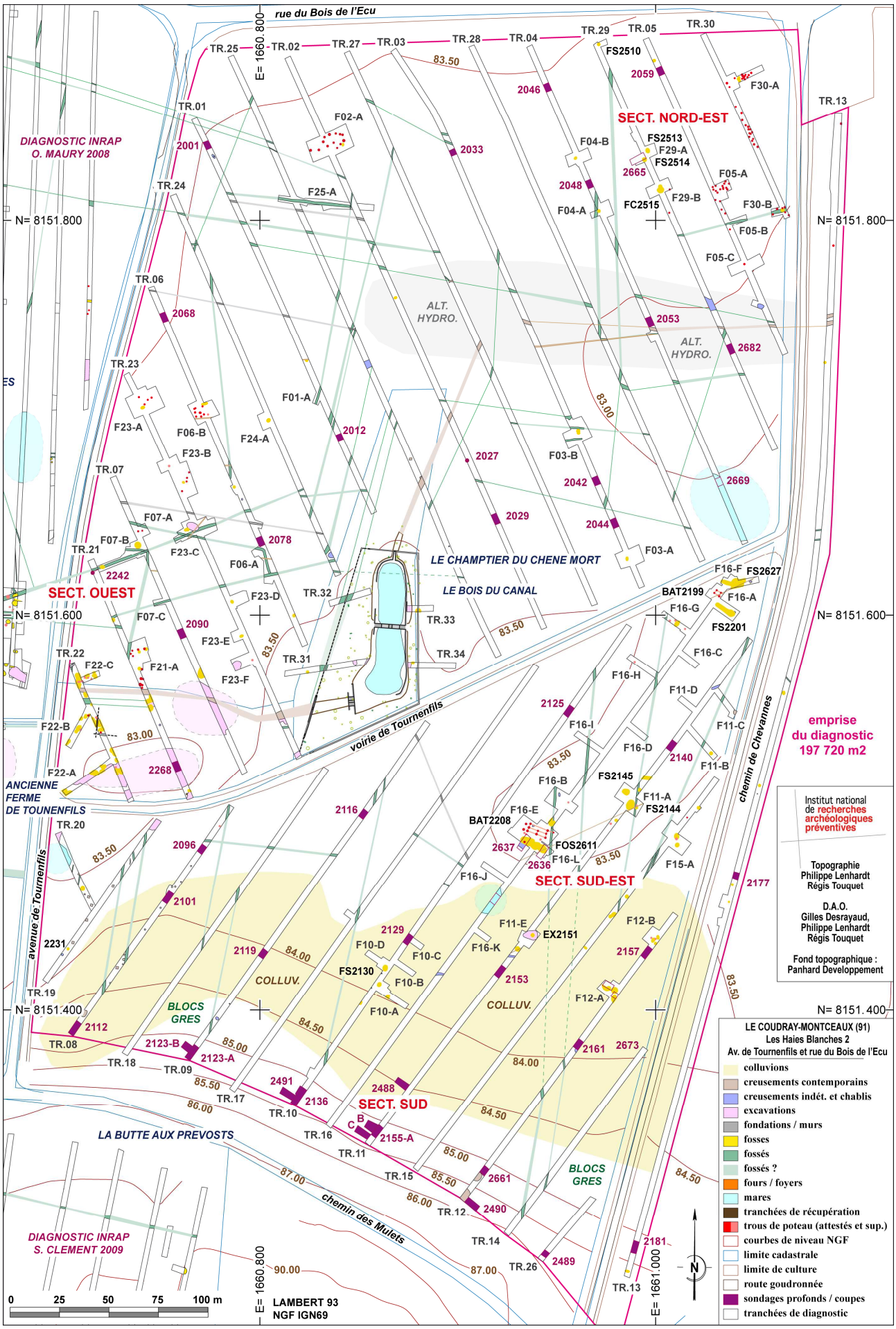
rue du Bois de l'Ecu
SECT. NORD-EST
SECT. OUEST
SECT. SUD-EST
SECT. SUD
DIAGNOSTIC INRAP O. MAURY 2008
DIAGNOSTIC INRAP S. CLEMENT 2009
ALT. HYDRO.
LE CHAMPTIER DU CHENE MORT
LE BOIS DU CANAL
voirie de Tournenfils
chemin de Chevannes
chemin des Mulets
avenue de Tournenfils
ANCIENNE FERME DE TOUNENFILS
LA BUTTE AUX PREVOSTS
COLLUV.
BLOCS GRES
emprise du diagnostic 197 720 m2
Institut national de recherches archéologiques préventives
Topographie Philippe Lenhardt Régis Touquet
D.A.O. Gilles Desrayaud, Philippe Lenhardt Régis Touquet
Fond topographique : Panhard Developpement
LE COUDRAY-MONTCEAUX (91)
Les Haies Blanches 2
Av. de Tournenfils et rue du Bois de l'Ecu
colluvions
creusements contemporains
creusements indét. et chablis
excavations
fondations / murs
fosses
fossés
fossés ?
fours / foyers
mares
tranchées de récupération
trous de poteau (attestés et sup.)
courbes de niveau NGF
limite cadastrale
limite de culture
route goudronnée
sondages profonds / coupes
tranchées de diagnostic
N= 8151.800
N= 8151.600
N= 8151.400
E= 1660.800
E= 1661.000
0 25 50 75 100 m
LAMBERT 93
NGF IGN69

2.2 PRESENTATION DES VESTIGES

Ne sont mentionnés ci-après que les vestiges datés et non datés remarquables.
La totalité des unités stratigraphiques, horizons pédologiques, faits et ensembles archéologiques est décrite dans les inventaires **§ 4.1 et 4.2** et le **plan joint**.
Les mobiliers et leurs analyses spécialisées sont présentés dans l'inventaire **§ 4.3** et les annexes **§ 3.1** à **3.5**.

2.2.1 SECTEUR SUD : Paléolithique moyen (Sophie CLEMENT, INRAP)

2.2.1.1 Contexte géomorphologique

La proximité de la butte stampienne "aux Prévôts" - zone topographique souvent propice à la conservation des formations pléistocènes - associée à la découverte de deux sites paléolithiques moyens déjà prescrits (CONNET 2000 ; CLÉMENT 2010), nous a conduit à effectuer une série de sondages profonds afin de diagnostiquer les niveaux stratigraphiques pouvant contenir des indices paléolithiques (**Fig. 5**).

Au regard des résultats précédents, la zone la plus propice, délimitée par les dernières courbes de niveaux de la butte stampienne, au sud de l'emprise de prescription a donc été choisie. En effet, sur le plateau, qui constitue la quasi-totalité du reste de l'opération, la stratigraphie n'est pas aussi développée et les niveaux recherchés ne sont plus présents (*supra* ; **Fig. 6**).

En tout, six sondages profonds ont été ouverts, relevés et rebouchés dans la foulée par raison de sécurité (2123-B, 2155-B & C, 2488, 2489, 2490 et 2491 ; **Fig. 7 et 10** ; **plan joint**).

L'étude géomorphologique de 2009, basée sur des coupes stratigraphiques réalisées à l'est et au nord de la "Butte aux Prévôts" ont permis de décrire l'unité sédimentaire dans laquelle les vestiges avaient été retrouvés comme une « *argile sableuse brun-rouille développée sur une quinzaine de centimètres d'épaisseur au mieux. Structure massive, relativement plastique. Présence d'une microporosité. Les vestiges préhistoriques ont été reconnus au sommet de cette unité. Certains artefacts sont au contact avec les éléments gréseux constitutifs de l'unité 4* ». (C. CHAUSSÉ dans CLÉMENT 2010).

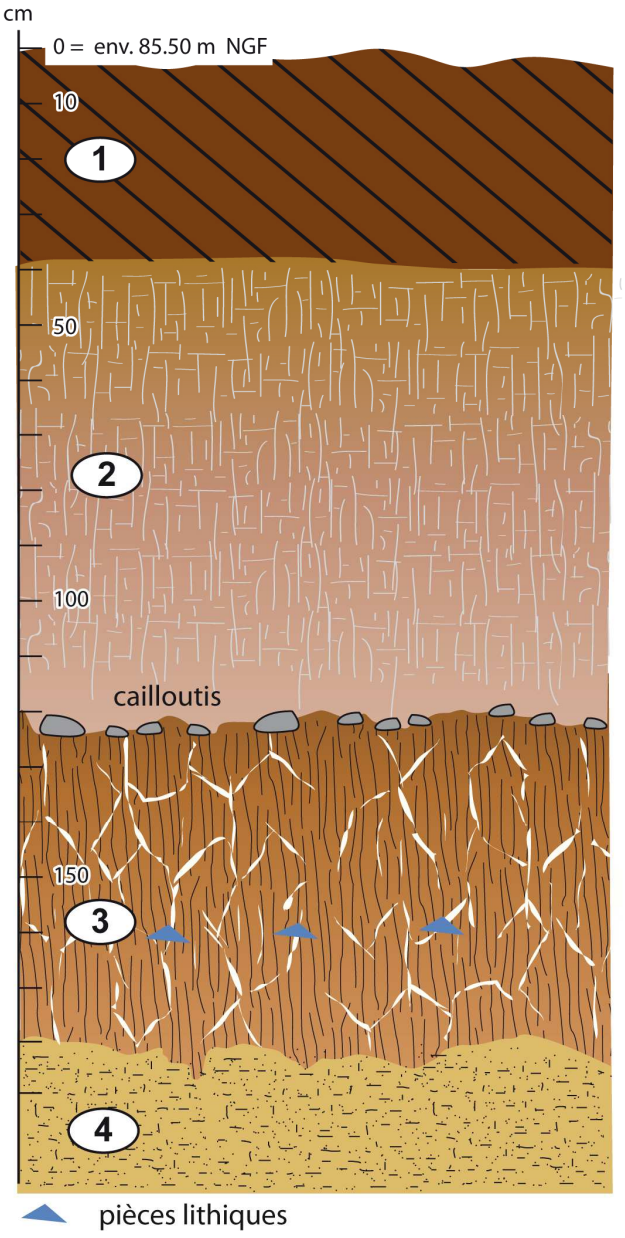

Fig 8 : Coupe synthétique des relevés des logs. NGF moyen. (© INRAP ; DAO Sophie Clément).

L'interprétation de ces observations suggérait la présence d'un probable niveau de sol rouge, altéré, soit d'âge Eémien, soit datant du Weichselien ancien (110 000 – 66 000 BP), correspondant au stade isotopique 5 (CLÉMENT 2010).

Les observations effectuées pour l'opération de la ZAC des Haies Blanches 2 sont en plusieurs points similaires. D'après la synthèse des relevés des six logs effectués dans chaque sondage profond (**cf. § 4.1**), on peut distinguer 4 unités sédimentaires, dont une se divise en trois (**Fig. 8**) :

- [1] Limon sablo-argileux brun foncé déstructuré, développé sur environ 40 cm. Limite inférieure tranchée. Il s'agit de l'horizon agricole actuel.
- [2] Limon argileux sableux brun beige homogène compact qui se divise en trois sous-unités :
    - Limon brun argileux grumeleux peu compact avec nodules de Mn, microporosité (35 cm)
    - Limon brun beige argileux avec nodules de Mn, Fe oxydé, très compact, polyédrique, Blocs de grès décimétriques (15 cm)
    - Limon brun/jaune/beige argileux avec beaucoup de nodules de Mn, hétérogène, compact, polyédrique, Blocs de grès décimétriques (30 cm)
- [3] Limon argilo-limoneux, plus ou moins sableux, riche en argile et rubéfié (couleur rouge/bordeaux). **Les pièces lithiques se trouvent dans cette unité**. Par comparaison avec l'étude précédente, on peut avancer l'hypothèse d'un sol de type BT, dégradé ici par un réseau de fentes à matériel sédimentaire déférifié, probablement lié au gel.
- [4] Sable moyen fin et massif, jaune clair à orangé, probablement stampien

Nous serions donc en présence de la même séquence que celle retrouvée en 2009, mais plus ramassée dans le temps, avec à sa base [3], un probable sol d'âge Eemien ou Weichselien ancien (OIS 5) dégradé par des processus cryogéniques (fentes blanches), rapporté à l'OIS 4. L'unité sédimentaire au-dessus correspond à l'holocène [2] (C. CHAUSSÉ, com.pers.).

Comme sur l'opération de 2009 qui concernait l'est de la butte, nombre des vestiges lithiques retrouvés se trouvent à la même position stratigraphique que les imposants blocs de grès issus d'un probable épisode d'érosion et de démantèlement de la butte (C. CHAUSSÉ dans CLÉMENT 2010). Par ailleurs, il faut souligner que les blocs de grès relevés en topographie dans les tranchées, correspondent aux dernières courbes de niveaux du nord de la butte. Quelques vestiges ont également été retrouvés dans les tranchées, dont deux associés à ces grès de grandes dimensions, ce qui indique que ces éléments gréseux ont probablement scellé ou en tout cas protégé le niveau stratigraphique corrélable au Paléolithique moyen. Les vestiges lithiques attribués au Paléolithique moyen retrouvés plus au nord ont probablement été déplacés par des phénomènes de colluvionnement liés à la pente.

2.2.1.2 Etude du matériel lithique attribuable au Paléolithique moyen

Quatre sondages sur six, répartis sur environ 0,5 ha, se sont révélés positifs et ont permis de récolter un matériel lithique bien conservé et homogène, tant au niveau de la matière première que dans la chaîne opératoire ou les caractéristiques techniques (2155-B & C, 2488, 2489 et 2490 ; **Fig. 7** ; **plan joint**).

La totalité des vestiges a été retrouvé dans la même position stratigraphique, sur une dilatation verticale pouvant aller de 15 à 20 cm. Des éléments de différente taille, jamais inférieure à 5 mm, laisse entrevoir une bonne conservation de chaque phase de la chaîne opératoire, de l'initiation du nucléus jusqu'à l'obtention du support. Nous n'avons pas retrouvés les très petits éléments comme les esquilles, mais il n'est pas possible, à ce stade, de déterminer si cette absence est liée à des phénomènes mécaniques (ruissellement, colluvionnement) ou à la méthode d'investigation (pelle mécanique).

Ainsi, les sondages 2155, 2488, 2489 et 2490 ont livré vingt deux éclats, tous en silex secondaire (**Fig. 9-10 et 11**). Dix pièces viennent du seul sondage 2155 et six du sondage adjacent 2488, ce qui délimite la zone la plus dense de pièces au m² (0,7 pièce au m², soit la moyenne des sites paléolithiques).

Matière première et conservation

Le silex, matière première exclusivement taillée pour la série étudiée, n'est pas une roche présente à proximité immédiate de la zone géographique. Il est donc fort probable qu'il ait été importé. La grande majorité des pièces garde des restes de cortex lisse, laissant entrevoir une origine alluviale de galets de plus ou moins grande dimension, qui ont été taillé sur place comme l'indique la présence d'éclats corticaux. La matière est de bonne qualité, avec un grain fin, sans inclusion ni diaclase. Ils comportent tous une patine blanche à jaunâtre qui n'altère en rien la lecture des pièces. Les arêtes et les tranchants sont vifs et sans émoussés. L'ensemble des pièces bénéficie d'une très bonne conservation.

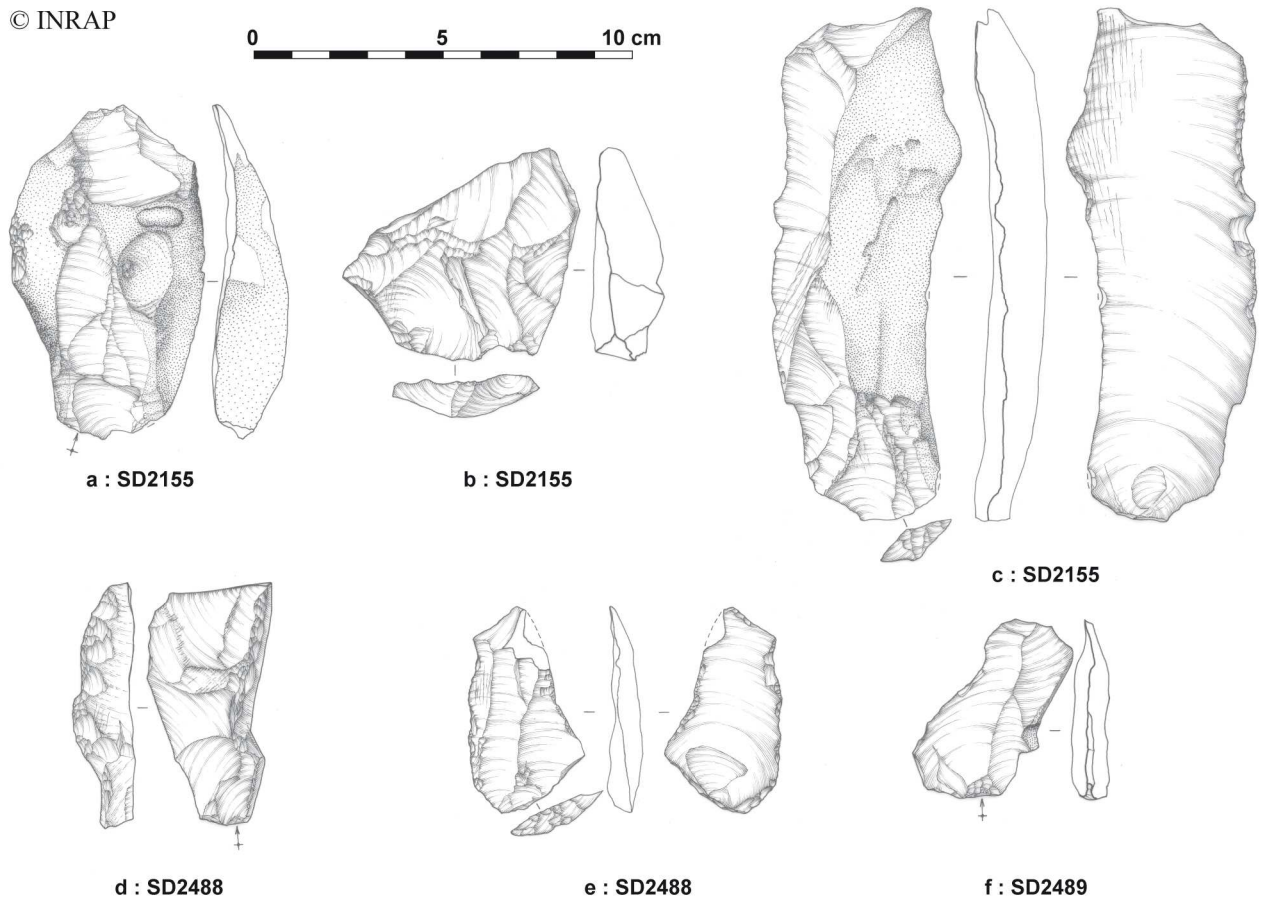

Fig 9 : Eclats caractéristiques du débitage Levallois des sondages 2155, 2488 et 2489
(© INRAP ; Dessins par Eve Boitard-Bidaut, Inrap)

TR11, SD 2155
a) Eclat semi cortical, talon lisse, percussion interne minérale, patine jaunâtre. Face sup, gestion des surfaces peut être centripètes, au moins bipolaire.

TR11, SD2155, 1.5 m de prof.
b) Eclat débordant, talon dièdre, percussion interne minérale, patine jaunâtre. Eclat visiblement destiné à effacer un rebroussé sur la surface de débitage. Gestion des convexités visibles.

c) Eclat allongé, semi cortical, talon lisse, percussion interne minérale, patine blanche. Face sup, gestion de surface peut être centripète, au moins bipolaire

TR11, SD 2488
d) Eclat débordant (?). Talon lisse, percussion interne minérale, patine blanche. Face sup, gestion centripète, bord droit diaclasé (?). Patine différentielle sur bord droit.

e) Eclat unipolaire récurrent parallèle, talon facetté, esquille bulbaire, percussion minérale interne. Face sup, gestion des convexités, unipolaire récurrent parallèle.

TR26, SD 2489, 1 m de prof.
f) Eclat (unipolaire récurrent parallèle 3), talon lisse, percussion interne minérale, patine blanche. Face sup, unipolaire récurrent parallèle.

La chaîne opératoire

Aucun nucléus ou outil n'a été retrouvé parmi les vestiges lithiques issus des sondages profonds.

Cependant, à la lecture de plusieurs éclats, il est permis d'affirmer que le concept Levallois au sens large était non seulement utilisé, mais largement maîtrisé. Six éclats sont particulièrement diagnostics de ce concept (**Fig. 9**). Certains d'entres eux sont caractéristiques d'un procédé spécifique appelé « débitage unipolaire récurrent parallèle » (BOËDA 1994). Cette modalité de débitage se retrouve tout au long du Paléolithique moyen (env. 100 000 à 35 000 ans B.P) et n'est pas vraiment caractéristique d'une période en particulier.

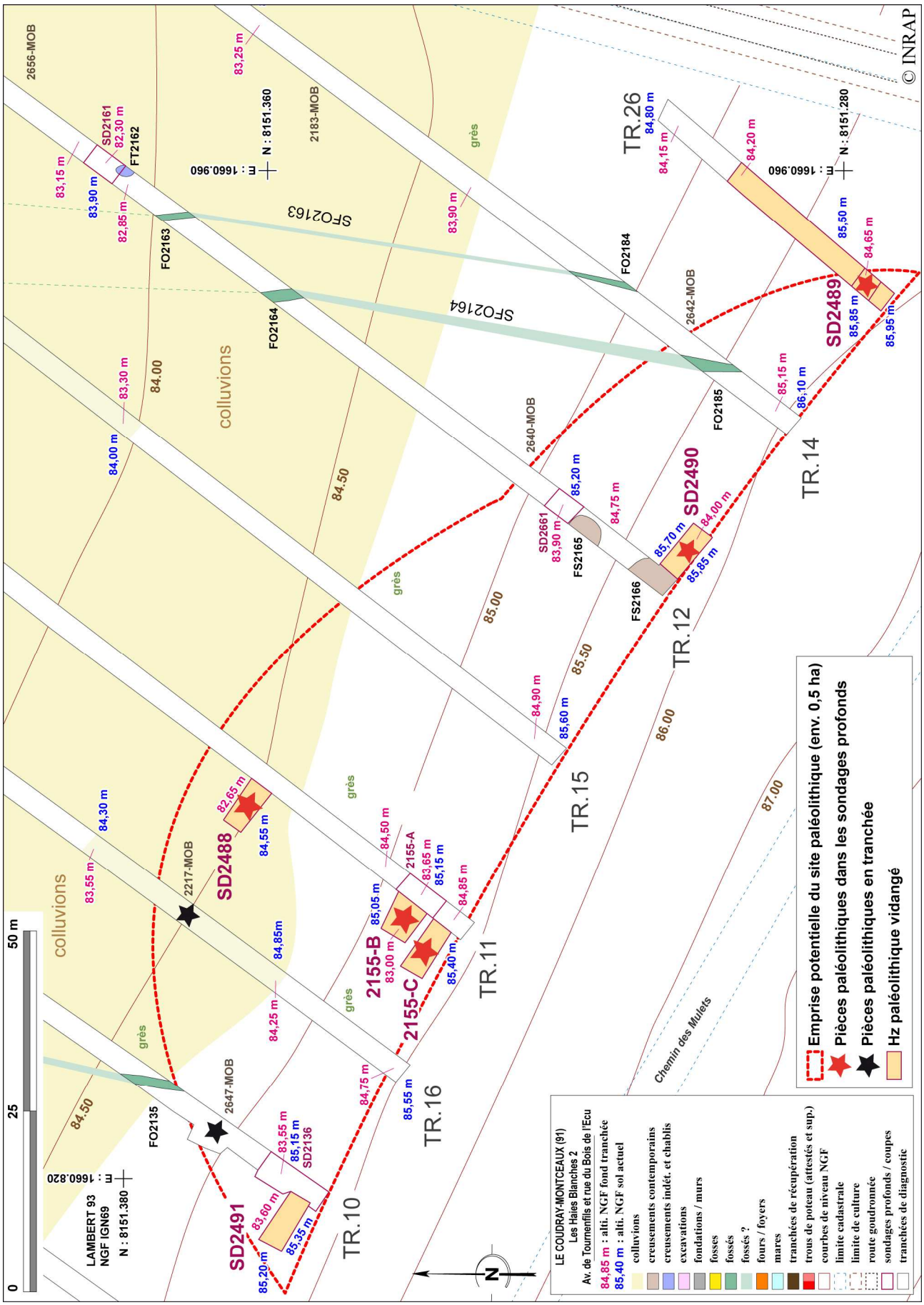

Fig 10 : Secteur sud, extension potentielle du site paléolithique moyen au sein de l'emprise de diagnostic (© INRAP : S. Clément, G. Desrayaud, Ph. Lenhardt, R. Touquet)

Les indices ramassés dans les tranchées

Ces vestiges, parfois proches de la butte, mais souvent un peu plus éloignés, témoignent d'un colluvionnement assez intense, qui a pu tronquer une partie du site (**Fig. 7** ; **plan joint**).

Néanmoins la densité de matériel autour des sondages 2155 et 2488, au sud de la tranchée 11, plaide en faveur d'une bonne conservation d'un site du Paléolithique moyen circonscrit.

TR10, ramassage 2647 (limon argileux entre blocs de grès)
Eclat débordant, talon lisse, percussion interne minérale, patine grise. Aménagement d'une coche sur la partie distale, par retouches inverses. L'éclat est probablement issu d'un schéma de débitage Levallois unipolaire récurrent parallèle.

TR10, SD2125 (limons argileux)
Eclat probablement entier mais le talon et les bords manquent, suite à un éclatement lié au feu. Patine blanche.

TR16, ramassage 2217 (colluvions)
Eclat, talon lisse, percussion interne minérale, patine blanche. Face sup, gestion centripète des surfaces.

TR29, 2511 (limons argileux)
Eclat, talon lisse, percussion interne minérale, patine blanche. Face sup, gestion centripète de la surface.

Les autres vestiges lithiques classés dans la catégorie paléolithique, ont été corrélés plus par la patine que par les éléments techniques, qui sont lisibles mais pas assez caractéristiques pour les attribuer formellement à cette période. Ils ont été enregistrés dans l'inventaire de la même façon que les autres.

2.2.1.3 Site du paléolithique moyen

Le site de la ZAC des Haies Blanches au Coudray-Montceaux démontre une fois encore que la zone géographique de la Butte aux Prévôts a été très attractive au cours du Paléolithique moyen.

La découverte d'une unité stratigraphique renfermant du matériel lithique en bonne état de conservation fait écho aux opérations précédentes de 2000 et 2009 (CONNET 2000, CLÉMENT 2010).

La grande homogénéité des pièces lithiques retrouvées (également avec celles des opérations précédentes), leur cohérence technique et technologique évoquent la présence d'un site de débitage du Paléolithique moyen, probablement du Weichselien ancien (stade isotopique 5).

Le caractère favorable à la conservation des formations pléistocènes de la zone topographique est vérifié sur de nombreux sites découverts autour de ces buttes tertiaires (Jossigny, Serris "*le parc de la Motte*", Vaux le Pénil "*le Tertre Chérizy*" -77-).

L'étude du mobilier permet d'attribuer les vestiges au Paléolithique moyen avec certitude.

Le débitage Levallois bien identifié, avec une préférence pour une modalité unipolaire récurrente parallèle ne permet cependant pas de replacer l'assemblage dans un technocomplexe spécifique. Néanmoins, il faut noter que cette modalité se retrouve de manière marquée sur le site paléolithique de Houdan (78 ; BRUTUS 2015 ; MASSOULIÉ 2016), potentiellement attribué au stade 4 ou 5.

Les sondages profonds permettant de corréler la présence des unités stratigraphiques du Pléistocène et des vestiges lithiques permettent de dessiner une extension potentielle du site, au sein de la prescription de diagnostic, d'environ 0,5 ha (**Fig. 10**).

Il est également intéressant de souligner que les vestiges lithiques retrouvés en 2009 montrent une production issue d'un débitage plutôt discoïde. Ceci confirme l'hypothèse de deux occupations différentes sur une même zone géographique très restreinte.

De telles sources d'informations, dans un contexte où la Préhistoire de l'Île-de-France n'est représentée que par une poignée de sites, sont capitales pour alimenter la recherche des périodes anciennes.

2.2.1.4 Inventaire des pièces paléolithiques

TR	Us	MP	type	Nature	Support	Frag.	L	l	E	Cortex %	Talon	Epais. talon	Perc.	patine	Commentaire
7	2643	Silex secondaire	fragment	semi-cortical	galet	mésial	76	19	15	40	absent	X	indet.	blanche	
10	2125	Silex secondaire	fragment	semi-cortical	galet	indet.	83	39	9	10	absent	X	indet.	blanche	brûlé
10	2125	Silex secondaire	éclat	semi-cortical	galet	entier	54	37	29	40	lisse	14	interne minérale	blanche	
10	2647	Silex secondaire	éclat	semi-cortical	galet	entier	48	33	10	10	lisse	10	interne minérale	blanche	Coche
11	2155	Silex secondaire	éclat	semi-cortical	galet	entier	135	50	13	50	lisse	8	interne minérale	blanche	
11	2155	Silex secondaire	éclat	débordant	galet	entier	54	59	21	10	dièdre	9	interne minérale	jaunâtre	
11	2155	Silex secondaire	éclat	semi-cortical	galet	entier	83	52	17	50	lisse	10	interne minérale	jaunâtre	
11	2155	Silex secondaire	éclat	brute	galet	entier	21	26	8	0	dièdre	4	interne minérale	grise	
11	2155	Silex secondaire	fragment	brute	galet	proximal	21	23	8	0	lisse	4	interne minérale	grise	
11	2155	Silex secondaire	fragment	semi-cortical	galet	distal	88	88	34	50	absent	X	indet.	jaunâtre	
11	2155	Silex secondaire	éclat	brute	galet	entier	18	23	6	0	lisse	6	interne minérale	blanche	
11	2155	Silex secondaire	casson	cortical	galet	indet.	28	16	10	100	absent	X	indet.	blanche	
11	2155	Silex secondaire	fragment	cortical	galet	distal	41	38	9	80	absent	X	indet.	blanche	
11	2155	Silex secondaire	fragment	cortical	galet	mésial	24	43	11	100	absent	X	indet.	jaunâtre	
11	2155	Silex secondaire	casson	semi-cortical	galet	indet.	70	47	20	20	absent	X	indet.	jaunâtre	
11	2155	Silex secondaire	casson	cortical	galet	indet.	80	64	27	100	absent	X	indet.	blanche	
11	2488	Silex secondaire	éclat	brute	galet	entier	62	32	13	0	lisse	6	interne minérale	blanche	
11	2488	Silex secondaire	éclat	brute	galet	entier	50	30	8	0	facetté	6	interne minérale	blanche	
11	2488	Silex secondaire	fragment	brute	galet	proximal	28	23	6	0	cassé	2	indet.	jaunâtre	
11	2488	Silex secondaire	fragment	semi-cortical	galet	indet.	14	18	6	0	absent	X	indet.	blanche	
11	2488	Silex secondaire	éclat	brute	galet	entier	17	16	2	0	cassé	2	indet.	jaunâtre	
11	2488	Silex secondaire	éclat	brute	galet	entier	48	70	16	0	cassé	X	interne minérale	blanche	
12	2490	Silex secondaire	fragment	brute	galet	proximal	32	18	9	0	lisse	7	interne minérale	blanche	
16	2217	Silex secondaire	éclat	brute	galet	proximal	73	58	18	0	lisse	14	interne minérale	blanche	
26	2489	Silex secondaire	éclat	brute	galet	entier	49	26	9	0	lisse	7	interne minérale	blanche	
28	2505	Silex secondaire	casson	cortical	galet	indet.	58	32	21	90	absent	X	indet.	jaunâtre	
28	2506	Silex secondaire	éclat	semi-cortical	galet	entier	85	60	10	60	lisse	8	interne minérale	blanche	
29	2511	Silex secondaire	éclat	brute	galet	entier	64	70	15	0	lisse	5	interne minérale	blanche	

Fig 11 : Inventaire des pièces paléolithiques
(© INRAP : S. Clément)

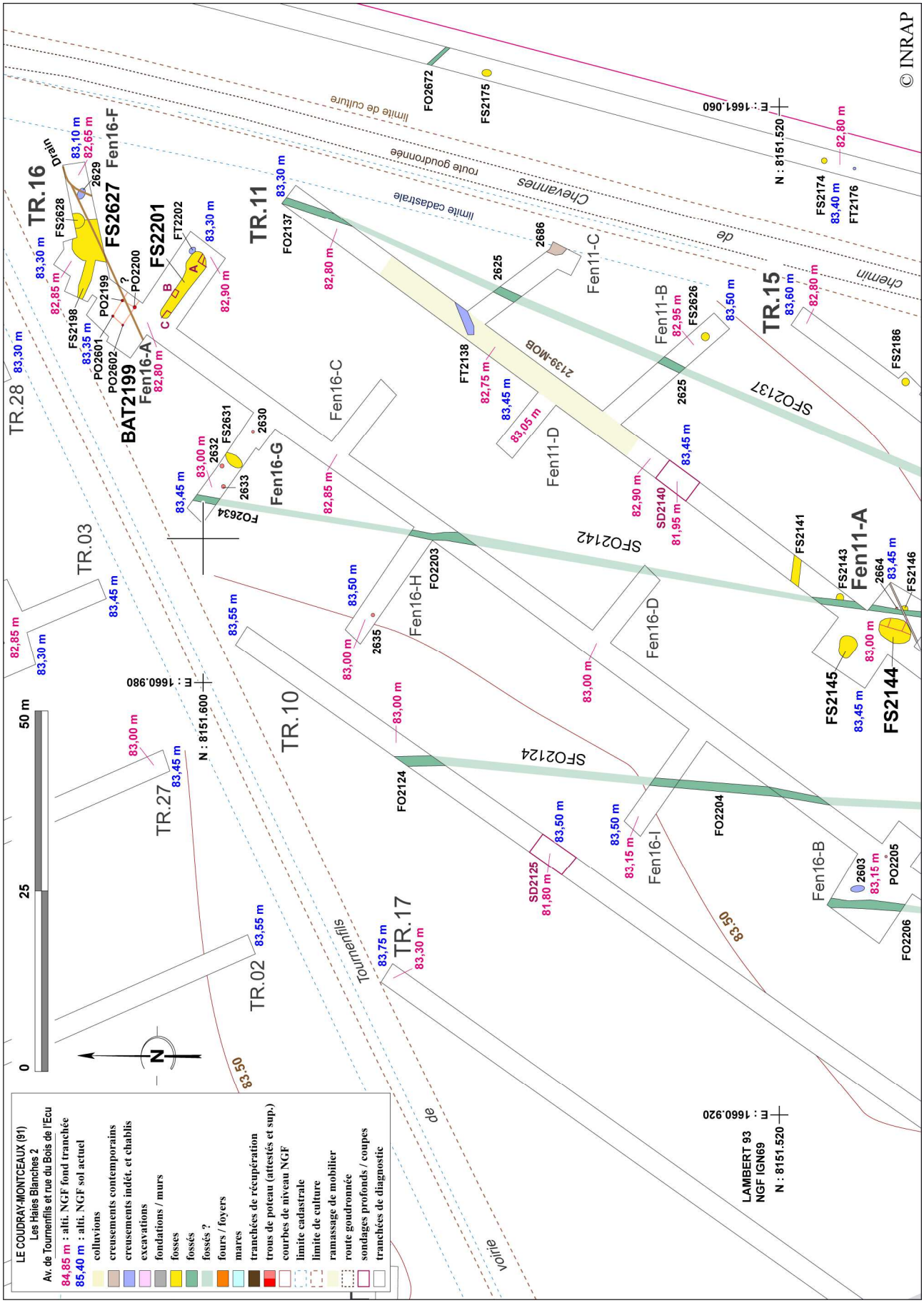

Fig 12a : Plan du SECTEUR SUD EST 1/2
(© INRAP : G. Desrayaud, Ph. Lenhardt, R. Touquet)

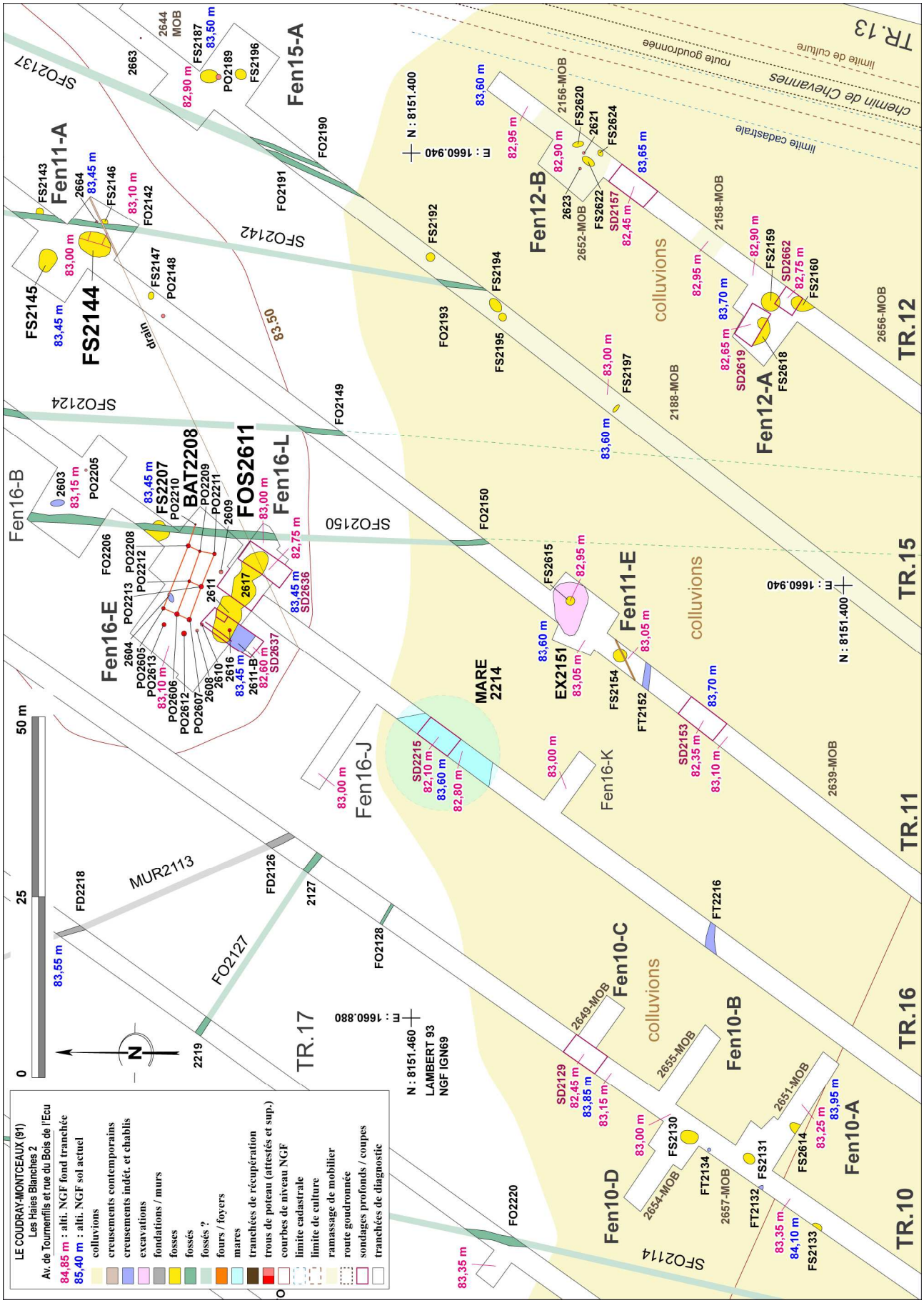

Fig 12b : Plan du SECTEUR SUD EST 2/2
(© INRAP : G. Desrayaud, Ph. Lenhardt, R. Touquet)

2.2.2 SECTEUR SUD EST : Néolithique et âge du Bronze final

(**Fig. 12a-b**)

2.2.2.1 SECTEUR SUD EST : habitat et occupation néolithique

Fait / Ens.	Us	Type	Identification	TR	CERAM		Lithique		FAUNE		Schiste		Torchis / TRub	
					NR	g	NR	g	Frag	g	NR	g	NR	g
vestiges en creux														
2130	2130	FS	Fosse	10-D			6	61					1	2
2131	2131	FS	Fosse	10	4	5	45	427			1	4		
2145	2145	FS	Fosse	11-A			8	34						
2159	2159	FS	Fosse	12	4	27	6	23					2	92
2176	2176	FT	Indét.	13			1	12						
2198	2198	FS	M1 : FOSSE LATERALE ?	16-F			1	3						
2201	2201	FS	M1 : FOSSE LATERALE 2201	16-A	118	410	72	192	28	26			23	1138
2208	2606	PO	M2 : BÂTIMENT 2208	16	7	3	1	5					5	7
	2607	PO		16	4	4								
2611	2611	FS	M2 : FOSSE LATERALE 2611	16	278	693	424	1241	24	17	1	3	141	1835
	2617													
	2636													
2614	2614	FS	Fosse	10	2	5	6	14						
2618	2618	FS	Fosse	12A									2	52
2620	2620	FS	Fosse	12	1	5	1	13						
2624	2624	FS	Fosse	12	1	5	1	6						
2627	2627	FS	M1 : FOSSE LATERALE ?	16-F	2	1	2	4						
TOTAL VESTIGES EN CREUX					421	1158	574	2035	52	43	2	7	174	3126
ramassages de mobiliers														
...	2118	Ram	colluvions	9	3	7	1	46						
...	2180	Ram	colluvions	13			5	64						
...	2217	Ram	colluvions	16			17	288						
...	2639	Ram	colluvions	11	1	12	2	22						
...	2648	Ram	colluvions	17			2	22						
...	2654	Ram	colluvions	10-D	2	13	8	162						
...	2655	Ram	colluvions	10B	6	64	7	116						
...	2656	Ram	colluvions	12	3	128	1	15						
??	2183	Ram	colluvions et limons	14	47	348	2	28						
??	2188	Ram	colluvions et limons	15	146	1015	6	96						
??	2651	Ram	colluvions et limons	10-A			4	50						
??	2652	Ram	colluvions et limons	12B	42	249	1	16						
??	2657	Ram	colluvions et limons	10	11	49	16	144			1	4		
?	2139	Ram	limons	11	2	32	8	309						
?	2156	Ram	limons	12	73	361	5	54						
?	2158	Ram	limons	12	32	185	1	10						
TOTAL RAMASSAGES					368	2463	86	1442			1	4		
TOTAL GLOBAL					789	3621	660	3477	52	43	3	11	174	3126

Fig 13 : SECTEUR SUD EST, inventaire des mobiliers néolithiques
(© INRAP : G. Desrayaud, C. Ollivier)

Au sud est de l'emprise, dans six tranchées (TR10 à TR14), 14 vestiges en creux et 16 zones de ramassages ont livrés des fragments lithiques taillés et tessons modelés attribuables à la période néolithique en relative abondance (**cf. § 3.1 et 3.2**, BLASER et DURAND ; **Fig. 12 et 13** ; **Fig. 57** ; plan joint).

Certains des ramassages, hors colluvions, semblent correspondre à des vestiges en creux qui n'ont pas été perçus, ou, pu être dissociés, étant donné les difficultés de "lecture" des limons argileux des plateaux dans des décapages restreints (**Fig. 6**, *supra*).

Secteur sud est : vestiges et maisons du Rubané récent / VSG ancien

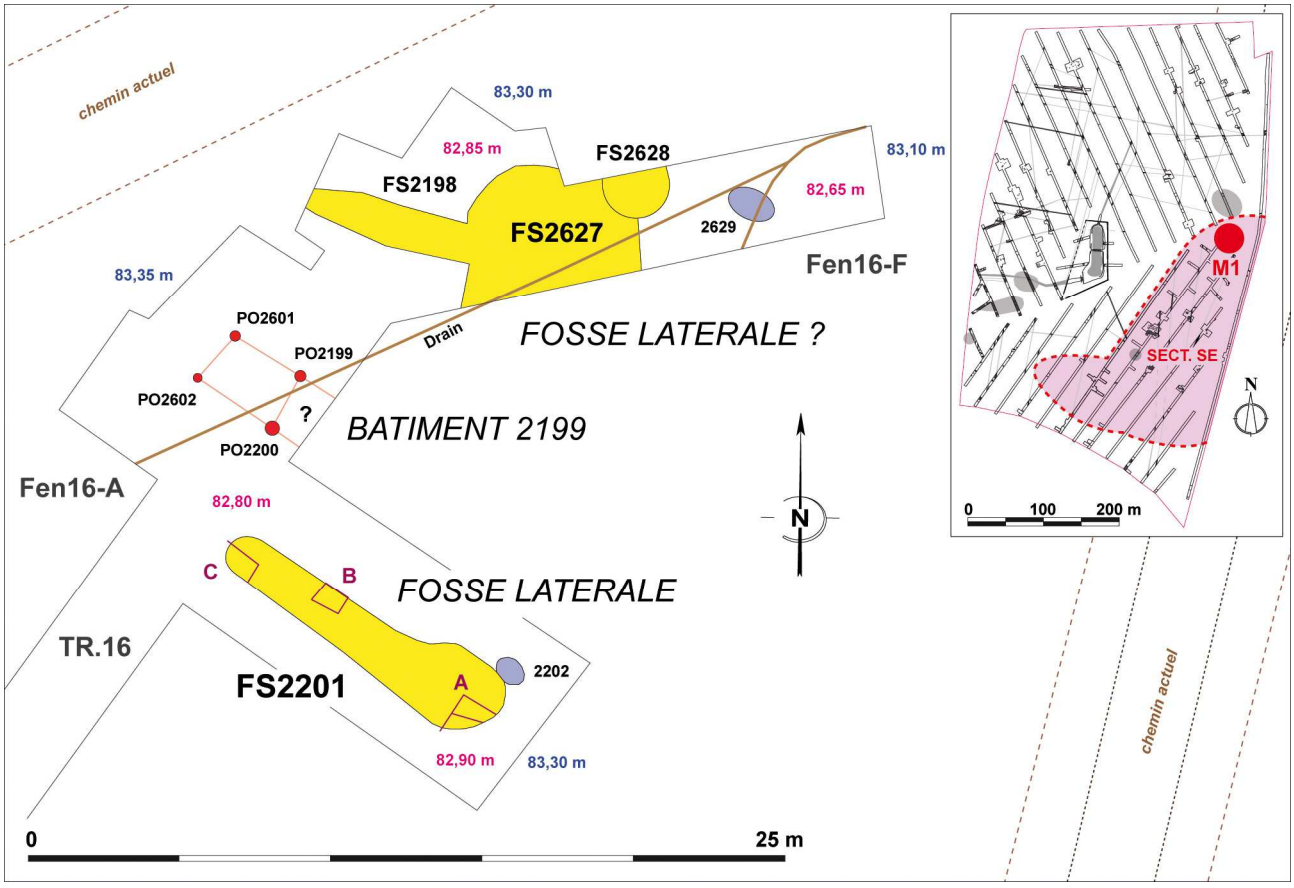

Fig 14 : Sect. SE, TR16, maison du Néolithique ancien supposée n°1
(© INRAP : G. Desrayaud, Ph. Lenhardt, R. Touquet)

Fig 15 : Sect. SE, TR16, fosse latérale du Néolithique ancien 2201 depuis le SSO
(mire de 4 m ; bords détourés à la peinture orange ; © INRAP : G. Desrayaud)

Fig 16 : Sect. SE, TR16, sondage partiel B dans la fosse latérale du Néolithique ancien 2201, depuis le NE. Rejets de fragments de terre chauffée/rubéfiée (© INRAP : E. Saron)

Maison n°1

A l'extrémité nord de la tranchée 16, un ensemble de grandes fosses et trous de poteaux, partiellement décapé, s'apparente à une unité d'habitation du Néolithique ancien (Maison n° 1 ; **Fig. 14** ; **cf. § 3.1.2 et 3.2**, BLASER et DURAND).

L'excavation oblongue 2201, de 10,5 m de long et 18 m^2, peut être identifiée comme une fosse latérale NO/SE sur le bord méridional du probable bâtiment 2199, matérialisé par la présence de quatre poteaux dans la fenêtre 10-A (**Fig. 14-15**).

Elle a fait l'objet de trois sondages manuels, représentant environ 10 % de sa surface. Ses comblements limono-argileux se caractérisent par la présence plus ou moins marquée de fragments de terre chauffée/rubéfiée noirs à rouges (**Fig. 16**).

Elle a livré 72 fragments lithiques et 118 tessons attribuables au Rubané récent / VSG ancien (env. 5000 av. J.-C. ; **Fig. 13** ; **cf. § 3.1.2 et 3.2.**, BLASER et DURAND : **Pl. 3.2.3**), ainsi que quelques restes de capriné et de bovin (**cf. § 3.4**, BAYLE).

Au nord est, dans la fenêtre 16-F, les excavations 2198 et 2627 semblent être synchrones. Elles n'ont pas été testées et ont livré quelques éléments mobiliers néolithiques (**Fig. 13**). Elles présentent des comblements avec fragments de terre chauffée comparables à ceux de la fosse 2201. Leurs localisations et orientations semblent correspondre à une ou plusieurs fosses latérales du bord septentrional du bâtiment 2199 (**Fig. 14**).

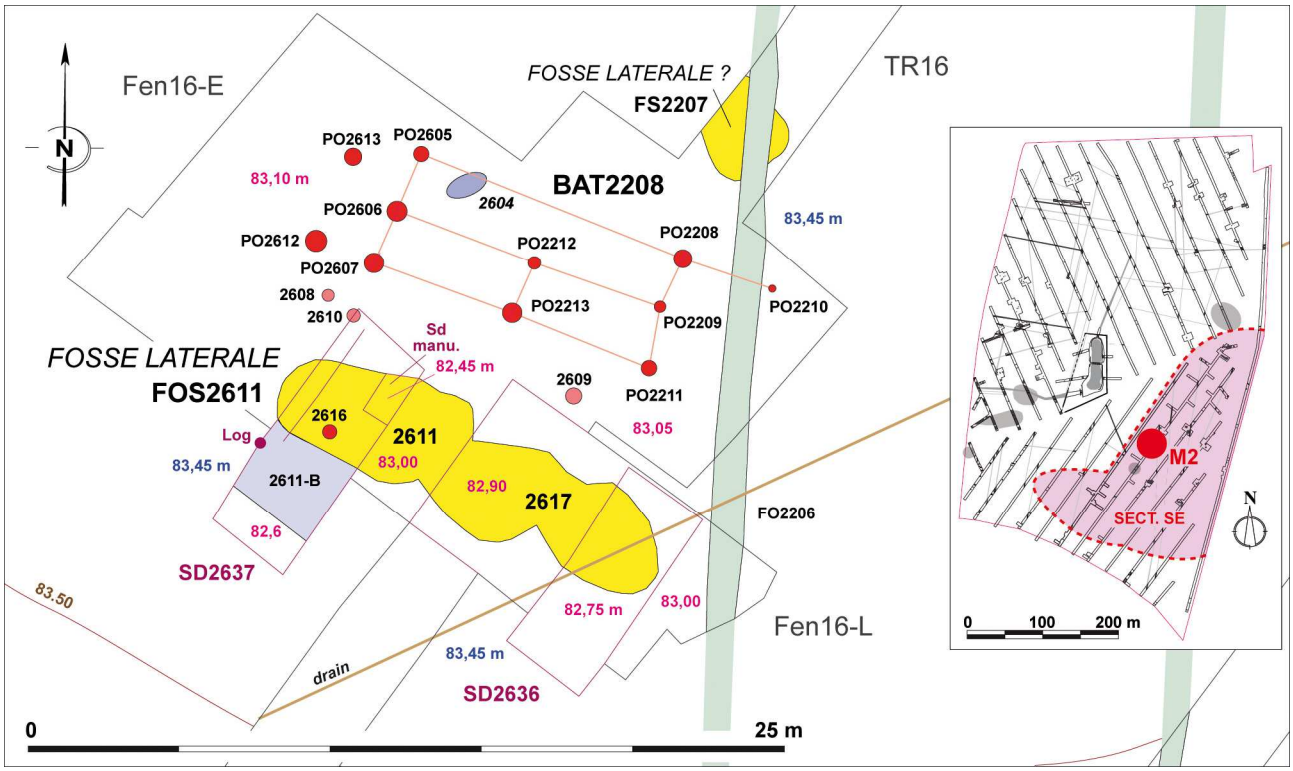

Fig 17 : Sect. SE, TR16, maison du Néolithique ancien supposée n°2 (© INRAP : G. Desrayaud, Ph. Lenhardt, R. Touquet)

Maison n°2

Au centre de la TR16, un deuxième ensemble de grandes fosses et bâtiment sur poteaux, partiellement décapé, s'apparente également à une unité d'habitation du Néolithique ancien (Maison n° 2 ; **Fig. 17** ; **cf. § 3.1.2 et 3.2.**, BLASER et DURAND).

L'excavation oblongue FOS2611 (2611 + 2617), de 14 m de long et 40 m^2, peut être identifiée comme une fosse latérale NO/SE sur le bord sud du bâtiment 2208, matérialisé par la présence d'une dizaine de poteaux attestés.

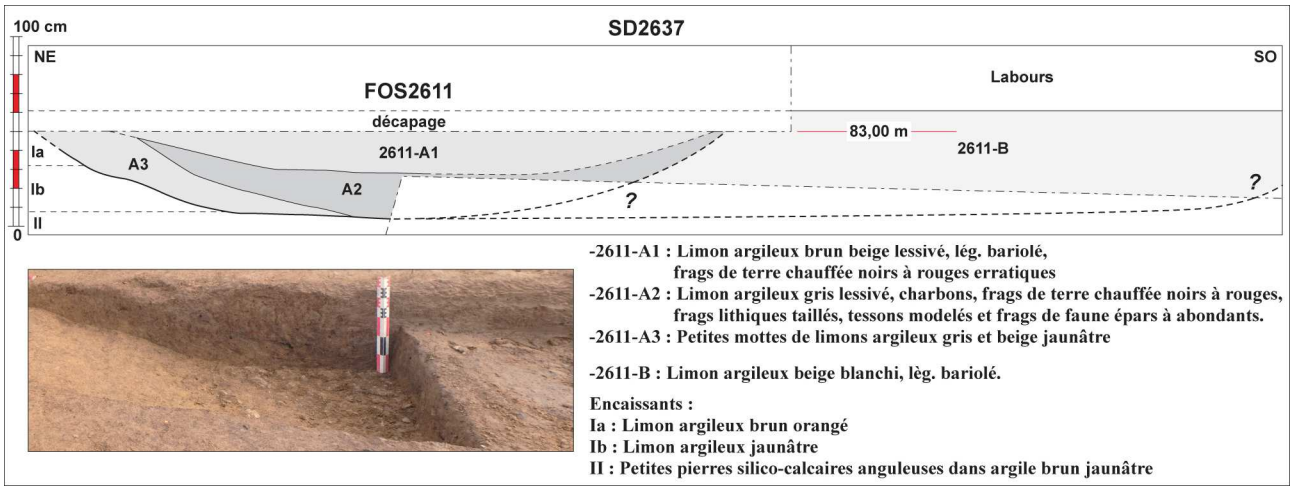

Fig 18 : Sect. SE, TR16, FOS2611, sondage 2637 coupe SE (© INRAP : G. Desrayaud, C. Ollivier, E. Saron)

La FOS2611 a fait l'objet de tests mécaniques de surface et d'un petit sondage manuel (**Fig. 17-18**), représentant moins de 10 % de son volume total. Comme pour la fosse 2201, plus au nord (*supra*), ses comblements limono-argileux se caractérisent par la présence plus ou moins marquée de fragments de terre chauffée/rubéfiée noirs à rouges.

Fig 19 : Fosse latérale 2611, sondage manuel 2637 en cours, Us 2611-A2, fragments de céramiques et de faune (© INRAP : C. Ollivier)

Elle a livré 424 fragments lithiques et 278 tessons attribuables au Rubané récent / VSG ancien (env. 5000 av. J.-C. ; **Fig. 13 et 19** ; **cf. § 3.1.2 et 3.2**, BLASER et DURAND : **Pl. 3.2.1 et 3.2.2**), ainsi que quelques restes de capriné et de bovin (**cf. § 3.4**, BAYLE).

Le bâtiment 2208 est approximativement parallèle à la fosse latérale 2611, à environ trois mètres de son bord septentrional.

Dans la zone décapée (**Fig. 17**), il se compose au moins en partie d'un corps subrectangulaire de 3,8 m par 9,5 m, marqué par deux séquences de trois poteaux à espacements réguliers. Son axe médian transversal est marqué par deux ancrages. Sur les côtés NO et SE, les poteaux 2612, 2613 et 2210 pourraient lui être associés. Certains vestiges ont également pu être oblitérés par le creusement du fossé historique 2206.

Les poteaux 2208, 2213, 2606 et 2607 ont été testés à 50 % (**cf. § 4.1**). Ils possèdent des profils sub-cylindriques conservés sur environ un demi-mètre de profondeur et des comblements de limons argileux gris à brun avec fragments erratiques à épars de terre chauffée. Les poteaux 2606 et 2607 ont livré un total de 7 tessons modelés et 1 élément lithique attribuables au néolithique (**Fig. 13**).

A environ 2,7 au nord du bâtiment 2208, en TR16, la fosse partiellement décapée 2207, présente un comblement de surface de limon argileux brun beige bariolé avec fragments de terre chauffée rouges et noirs épars, similaire à ceux de l'excavation 2611/2617. Il pourrait s'agir de la fosse latérale nord de l'unité d'habitation.

Fosses de la TR10

Dans la partie sud de la tranchée 10, à l'endroit des fenêtres 10-A à 10-D, les trois fosses groupées 2130, 2131 et 2614 ont livré un total de 57 fragments lithiques et 6 tessons modelés attribuables au Rubané récent / VSG ancien (**Fig. 12b-13 et 57** ; **cf. § 3.1.2 et 3.2**, BLASER et DURAND). Elles n'ont pas été sondées.

Secteur sud est : Fosse 2145 et ramassage 2139, Néolithique moyen

Dans la partie centrale du secteur sud est, dans la fenêtre 11-A, la fosse décapée non testée 2145 a livré 7 éléments lithiques taillés et une hache polie miniature (exceptionnelle) en fibrolite, attribuables au Néolithique moyen (Ve millénaire av. J.-C., Cerny ? ; **Fig. 12-13 et 57** ; **cf. § 3.1.3** BLASER et LE MAUX : **Fig. 3.1.7 et 3.1.9**).

Une soixantaine de mètres plus au nord-est, dans la tranchée 11, 8 fragments lithiques taillés de même période ont été collectés dans les limons argileux aux alentours du fait 2138 (**Fig. 12a-13** ; **cf. § 3.1.3** BLASER : **Fig. 3.1.8**). Ils pourraient être issus de vestiges en creux non perçus.

Secteur sud est : ramassages 2156, 2158, 2183 et 2188 Néolithique final

Au nord des tranchées 12 et 14, ainsi qu'au centre de la tranchée 15, les ramassages dans colluvions et limons 2156/2652, 2158, 2183 et 2188 ont livré 340 tessons modelés attribuables au Néolithique final (**Fig. 12b-13, 57** ; **cf. § 3.2.3.2**, DURAND : **Pl. 3.2.5**).

En tranchée 12, le ramassage 2156 correspond au décapage des fosses et poteaux 2620 à 2624 et le locus 2158, probablement à un ou plusieurs faits non perçus.

En tranchées 12 et 14, les mobiliers 2183 et 2188 sont issus de colluvions et limons argileux superficiels et n'ont pas pu être associés à des vestiges en creux (Hz 2153=2161=2673-1 et 2 ; **cf. § 4.1**).

Fig 20 : SECTEUR SUD EST, tranchées positives non rebouchées, vu depuis le SO, 02/03/2017
(© INRAP : G. Desrayaud)

2.2.2.2 SECTEUR SUD EST : occupation du Bronze final

Dans la partie sud est de l'emprise, dans quatre tranchées (TR10 à 12), une dizaine de faits en creux et ramassages a livré des tessons non tournés protohistoriques (**Fig. 57** ; **cf. § 3.3.3**, CIVALLERI : **Fig. 3.3.1**, *infra*)

Secteur sud est : fosse 2144, Bronze final I-IIa

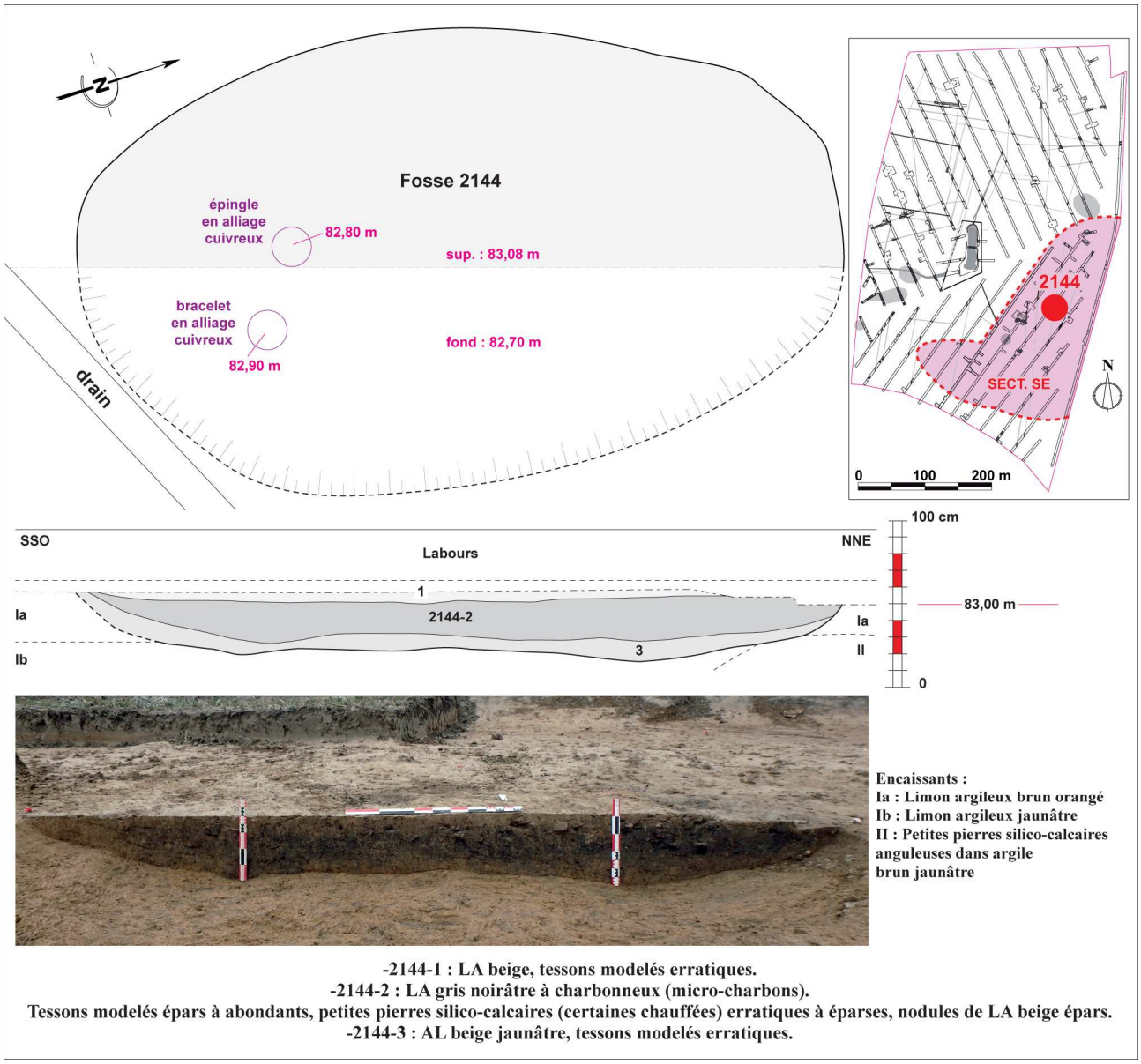

Fig 21 : Sect. SE, TR11, fosse du Bronze final 2144, coupe longitudinale
(© INRAP : G. Desrayaud, F.-X. Cassan, M. Rayati)

Au centre du secteur sud sud est, dans la fenêtre 11-A, la fosse ovalaire 2144 mesure 3 m par 4,5 m pour 0,4 de profondeur conservée (**Fig. 12, 21 et 23**).

Fouillée à 50 %, elle a livré un mobilier abondant et peu commun.

Plus de 1300 tessons modelés, totalisant plus de 18 kg et représentant plus d'une quarantaine de récipients, datés du Bronze final I-IIa ont été collectés (env. XIIe-XIe s. av. J.-C. ; **cf. § 3.3.3.1.1**, CIVALLERI : **Pl. 3.3.1 à 3.3.4**, *infra*).

7 fragments céramiques assimilables à un moule et un creuset évoquent une possible activité de métallurgie "base cuivre" sur site (**cf. § 3.3.3.1.1**, CIVALLERI : **Fig. 3.3.16 et 3.3.17**, *infra*).

Elle a également livré une épingle et un bracelet complets en alliage cuivreux, objets de parures peu

fréquents et évoquant un statut particulier (**Fig. 22** ; **cf. § 3.3.3.1.2**, CIVALLERI : **Fig. 3.3.18 et 3.3.19**, *infra*).

Fig 22 : Fosse 2144, bracelet en alliage cuivreux *in situ* (© INRAP : G. Desrayaud, F.-X. Cassan)

Malgré l'aspect *a priori* détritique des rejets dans la fosse, seuls deux restes dentaires de capriné et de bovin ont été collectés (**cf. § 3.4**, BAYLE).

Secteur sud est : faits 2151 et 2154, Bronze final

Au centre de la tranchée 11, dans la fenêtre 11-E, l'excavation ou cuvette de LA brun beige 2151, sous les colluvions 2153-1, mesure environ 5 m par 7,5 m sur 0,15 m de profondeur conservée (**Fig. 12b, 57** ; **cf. § 4.1**, *infra*).

Elle a été vidangée par passes mécaniques et a livré 124 tessons attribuables au Bronze final (**cf. § 3.3.3.2**, CIVALLERI : **Fig. 3.3.20 et Pl. 3.3.5**, *infra*).

En son centre, la fosse circulaire 2615, d'1,2 m de diamètre, semble lui être associée.

A environ 6 m vers le sud, dans la même tranchée, la fosse non fouillée 2154, d'1,9 m de diamètre a livré deux tessons de période similaire (**cf. § 3.3.3.3**, CIVALLERI : **Fig. 3.3.25 et Pl. 3.3.5**, *infra*).

Fig 23 : Sect. SE, TR11, fosse du Bronze final 2144 en cours de fouille, depuis l'ESE (© INRAP : G. Desrayaud, F.-X. Cassan)

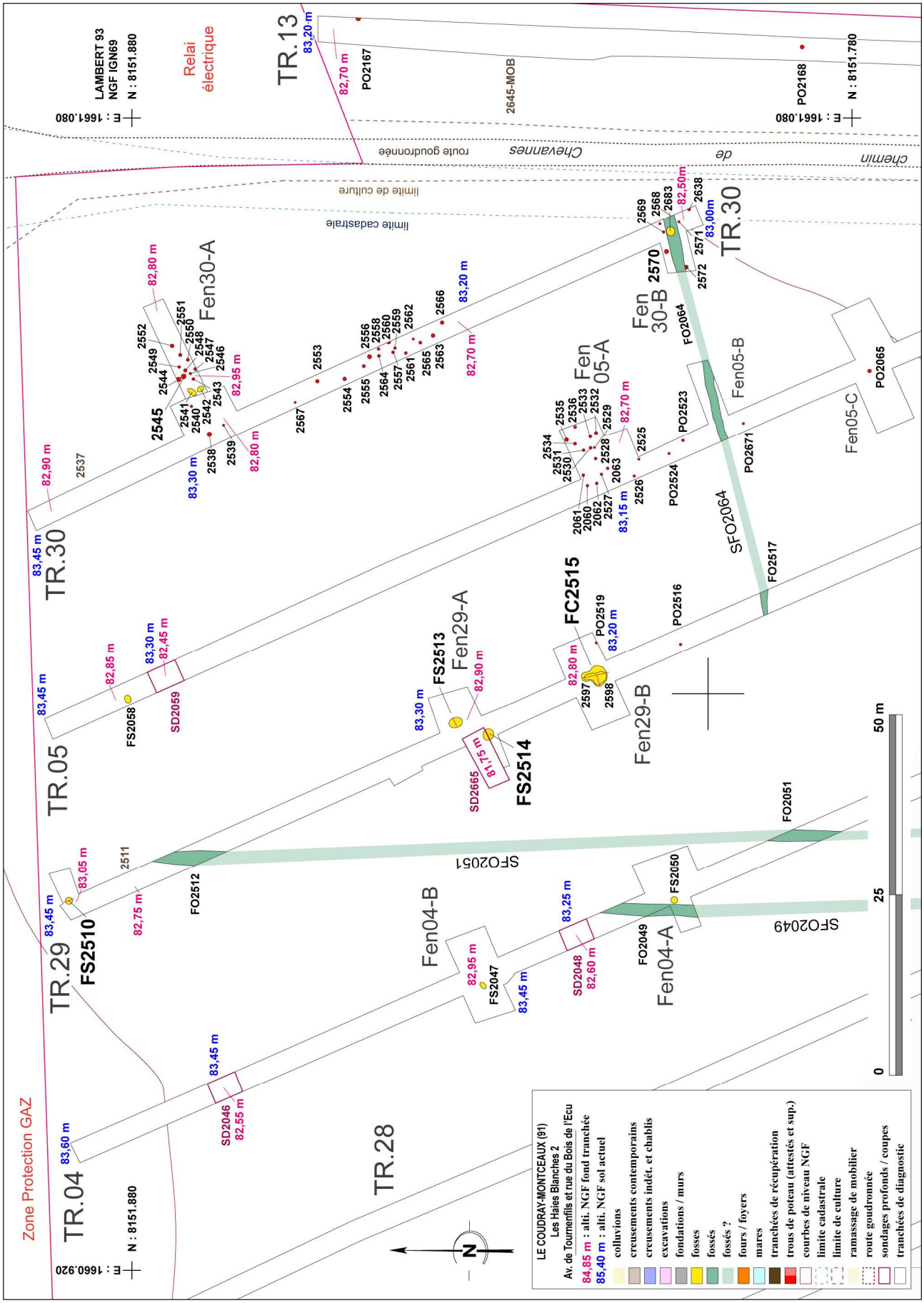

Fig 24 : Plan du SECTEUR NORD EST
(© INRAP : G. Desrayaud, Ph. Lenhardt, R. Touquet)

2.2.3 SECTEUR NORD EST : Néolithique et Hallstatt (D1 ?)

(**Fig. 24**)

ID	Us	remarque	n° TR	CERAM		Lithique		FAUNE	
				NR	g	NR	g	Frags	g
Ram	2505	ramassage dans limons	28			1	42		
Ram	2506	ramassage dans limons	28			1	57		
FS	2510	Fosse	29	150	2500				
Ram	2511	ramassage dans limons	29			1	56		
FS	2513	Fosse	29	90	394			10	11
FS	2514	Fosse	29	155	1356	1	20	120	401
FC	2515	fosse complexe	29	29	200	1	5		
PO ?	2516	Poteau ?	29			1	11		
FO	2517	Fossé	29	1	11				
PO	2523	Poteau	5	1	3				
MI	2537	ramassage dans limons	30			1	72		
PO	2545	Poteau	30	32	264				
PO ?	2570	Poteau ?	30	84	347				
PO	2638	Poteau	30	2	16				
Ram	2645	ramassage dans limons	13			1	23		
			TOTAL :	544	5091	8	286	130	412

Fig 25 : SECTEUR NORD EST, inventaire des mobiliers
(© INRAP : G. Desrayaud, C. Ollivier)

2.2.3.1 SECTEUR NORD EST : fosse 2510, Néolithique final

Fig 26 : Sect. NE, TR29, fosse 2510, nettoyage de surface, tessons modelés grossiers
(© INRAP : M. Rayati)

Au nord ouest de l'emprise, à l'extrémité nord de la tranchée 29, la fosse circulaire 2510, d'1 m de diamètre pour environ 0,1 m de profondeur, présente un comblement de limon argileux beige à brun peu dissociable de son encaissant (**Fig. 24 et 26**).

Fouillée à 100 %, elle a livré les restes fragmentaires d'un récipient en pâte modelée grossière attribuable au Néolithique final (env. IIIe millénaire avant J.-C. ; **Fig. 25 et 57** ; **cf. § 3.2.3.1**, DURAND : **Pl. 3.2.5**, *infra*).

2.2.3.2 SECTEUR NORD EST : habitat du Hallstatt (D1 ?)

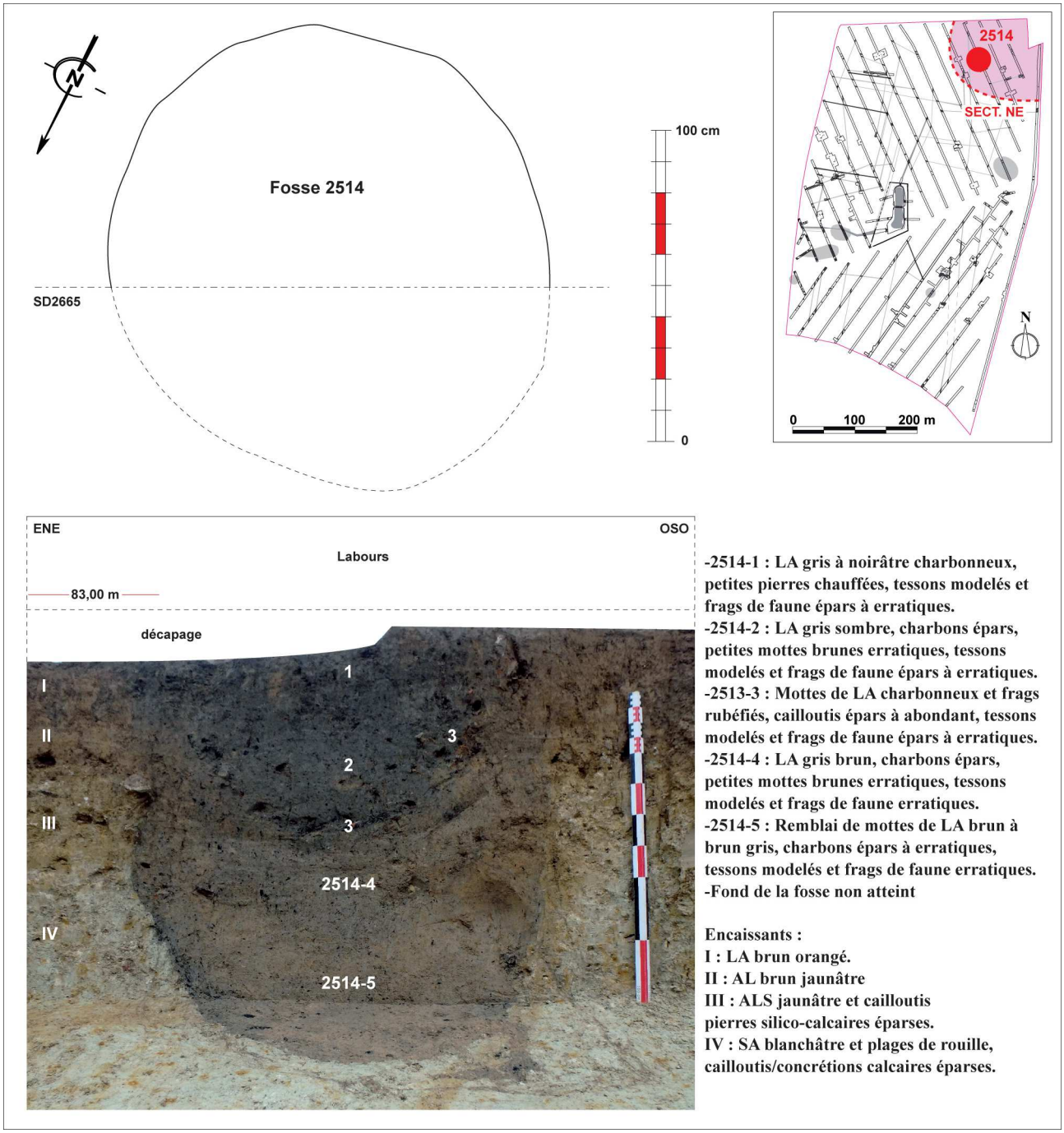

Fig 27 : Sect. NE, TR29, fosse 2514, coupe partielle (© INRAP : G. Desrayaud, F.-X. Cassan, C. Ollivier)

Sect. NE, FS2514, Hallstatt D1

Au nord est de l'emprise, dans la tranchée 29, la fosse profonde circulaire 2514 (silo ?), d'1,5 de diamètre, a été partiellement sondée jusqu'à 1,3 m de profondeur sous labours (**Fig. 24 et 27**).

Elle a livré environ 150 tessons modelés attribuables à la fin du premier âge du Fer (Hallstatt D1 -?- ; env. VIe s. av. J.-C. ; **cf. § 3.3.6.1**, CIVALLERI : **Pl. 3.3.7**, *infra*).

120 fragments fauniques de déchets culinaires ont également été collectés. Des restes de bœuf, de porc et de cheval ont été identifiés (**cf. § 3.4.3**, BAYLE).

A l'instar des fosses 2513 et 2515, toutes proches, les mobiliers détritiques semblent liés à un habitat matérialisé par des groupements de poteaux un peu plus à l'est (**Fig. 26**, **Fig. 57** ; *infra*).

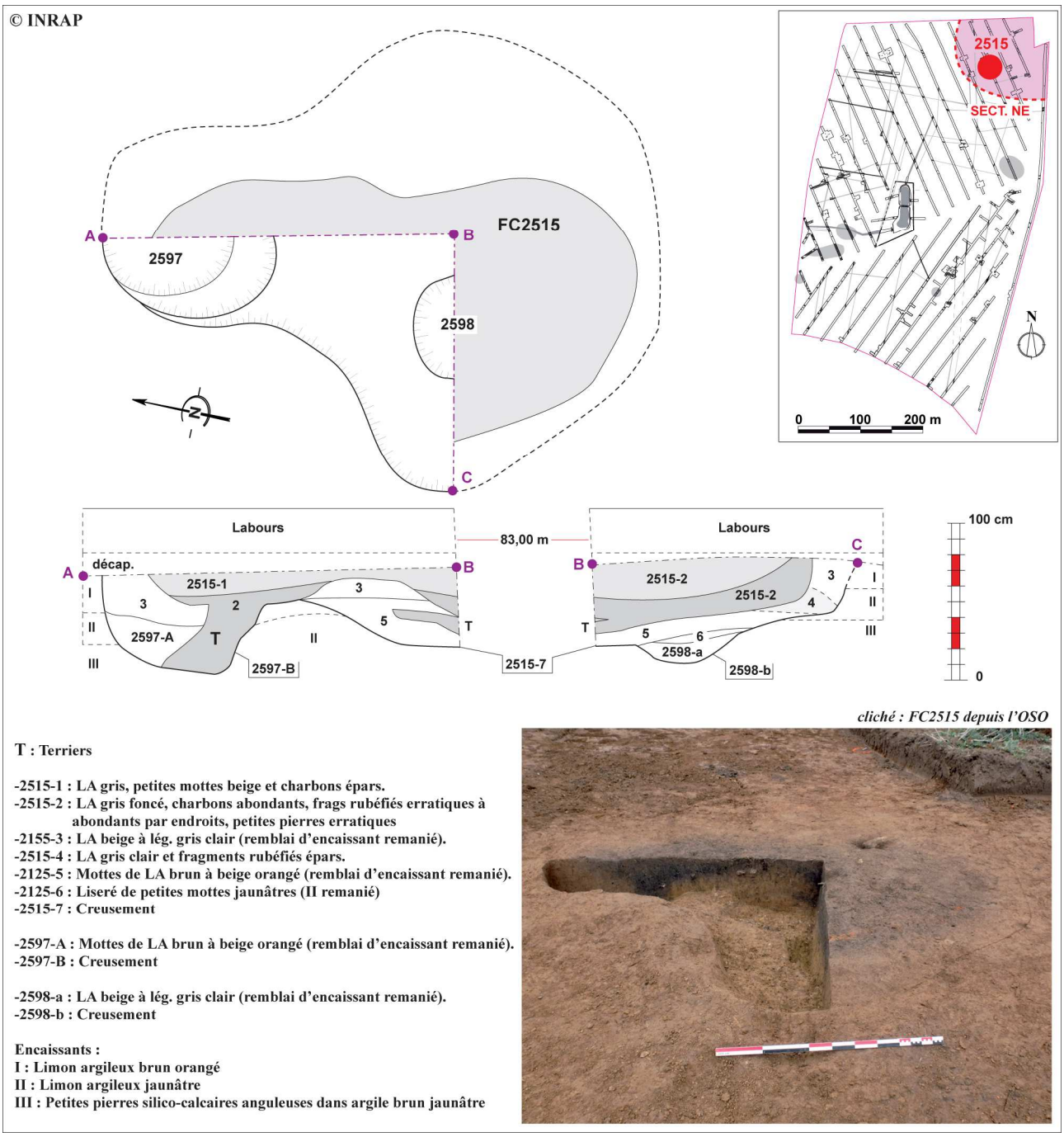

Fig 28 : Sect. NE, TR29, fosse complexe 2515, coupes partielles (© INRAP : G. Desrayaud, M. Rayati)

Sect. NE, FC2515, Hallstatt D1

Au nord est de l'emprise, dans la tranchée 29, à une quinzaine de mètre au SE de la fosse 2514 (*supra*), la fosse complexe 2515, d'environ 3 m par 3,5 m sur 0,7 m de profondeur maximum sous labours, a été partiellement sondée à un peu plus de 25 % (**Fig. 24 et 28**).

Elle a livré une trentaine de tessons modelés attribuables à la fin du premier âge du Fer (Hallstatt D1 -?- ; env. VIe s. av. J.-C. ; **cf. § 3.3.6.2**, CIVALLERI : **Pl. 3.3.8**, *infra*).

Fig 29 : Sect. NE, TR29, FS2513, en cours de fouille, depuis le SSE (© INRAP : M. Rayati)

Sect. NE, FS2513, Protohistoire indét.

Au nord est de l'emprise, dans la tranchée 29, à 3,5 mètre au NE de la fosse 2514 (*supra*), la fosse 2513, d'environ 1,4 m par 1,9 m sur 0,3 m de profondeur maximum sous labours, a été entièrement fouillée (**Fig. 24 et 29**).

Elle a livré environ 90 tessons modelés protohistoriques (Hallstatt D1 -?- **cf. § 3.3.6.3**, CIVALLERI : **Pl. 3.3.8**, *infra*).

10 fragments de faune ont également été collectés, correspondant à au moins deux molaires supérieures d'un bœuf adulte.

Sect. NE, groupes de trous de poteau (Hallstatt ?)

Dans l'angle nord est de l'emprise, dans les tranchées 05 et 30, plusieurs groupements de trous de poteaux ont été partiellement décapés : 18 individus au niveau de la fenêtre 05-A, 12 au niveau de la fenêtre 30-A, 15 au centre de la tranchée 30 et 6 au niveau de la fenêtre 30-B (soit une cinquantaine au total ; **Fig. 24** ; plan joint)

Les poteaux 2545 et 2570 ont livré respectivement 27 et 84 tessons non tournés attribuables au premier âge du Fer ou au début du second (**cf. § 3.3.6.4 et 5**, CIVALLERI : **Pl. 3.3.8**, *infra*)

2.2.4 Secteur nord ouest :
Néolithique moyen et Protohistoire indéterminée

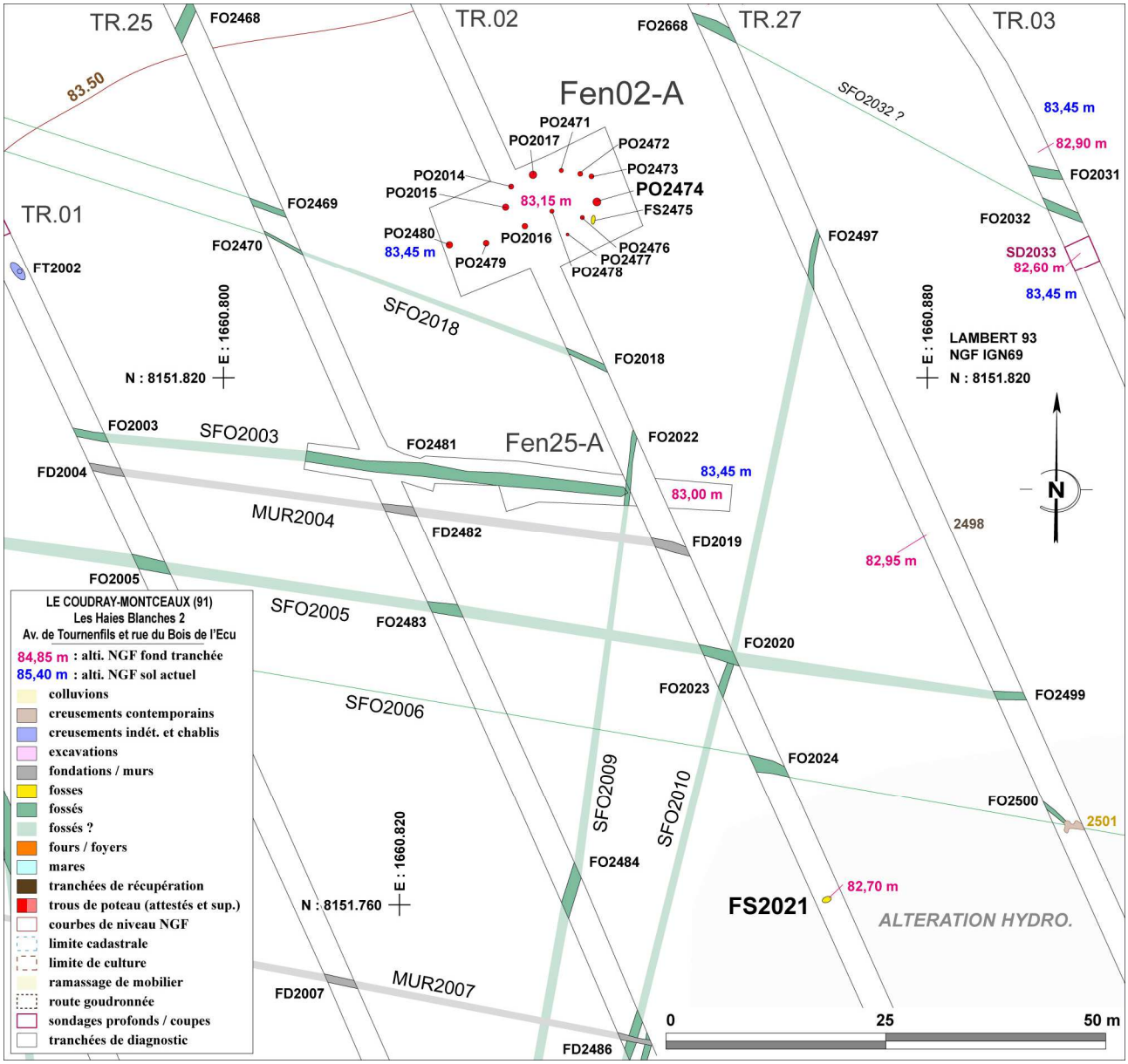

Fig 30 : Plan du secteur nord ouest (© INRAP : G. Desrayaud, Ph. Lenhardt, R. Touquet)

2.2.4.1 Fosse 2021 : Néolithique moyen

Dans la partie nord ouest de l'emprise, dans la tranchée 2, la fosse ovalaire 2021, de 0,6 m par 1 m sur 0,15 cm de profondeur sous labours, contenait les restes fragmentaires d'un vase à anses du Néolithique moyen (env. 4500-4000 av. J.-C. ; **Fig. 30-31** ; **cf. § 3.2.2**, DURAND : **Fig. 3.2.3 à 3.2.5**, *infra*).

Situés dans une zone d'altération hydromorphe des sols encaissants (**cf. § 3.1.3.2**, *supra*), les tessons ont été imprégnés d'oxydes ferreux au fil des millénaires.

Fig 31 : Fosse 2021, nettoyage de surface (© INRAP : E. Saron)

2.2.4.2 Fenêtre 02-A : ensemble de poteaux protohistoriques

Fig 32 : Fenêtre 02-A, poteau 2017 en cours de fouille (© INRAP : M. Rayati)

Fig 33 : Fenêtre 02-A, poteau 2474 fouillé à 50 % (© INRAP : M. Rayati)

Au nord ouest de l'emprise, dans la fenêtre 02-A, 13 trous de poteaux et une fosse ont été mis au jour sur une surface de 250 m^2.

Ils correspondent à au moins un bâtiment, dont le plan n'a pas pu être établi avec certitude (**Fig. 30** ; plan joint).

4 poteaux ont été fouillés à 50 % (2014, 2015, 2017 et 2474 ; **Fig. 32-33** ; **cf. § 4.1**).

Plusieurs comblements contiennent des micro-tessons de céramique modelée.

Le fait 2474 a livré deux fragments attribuables à la Protohistoire (**cf. § 3.3.4.1**, CIVALLERI : **Pl. 3.3.5**, *infra*).

Ce ou ces bâtiments se situent à environ 140 m entre les secteurs Hallstatt du nord est et protohistorique indéterminé de l'ouest (**Fig. 57** ; plan joint ; **cf. § 2.2.3.2**, *supra* et **cf. § 2.2.5.1**, *infra*). A environ 250 m au nord, une fosse du Bronze final a été repérée sur le diagnostic de 2008 (**Fig. 3** : n°2a, *supra* ; MAURY 2008 : p. 21-22, fig. 16-17).

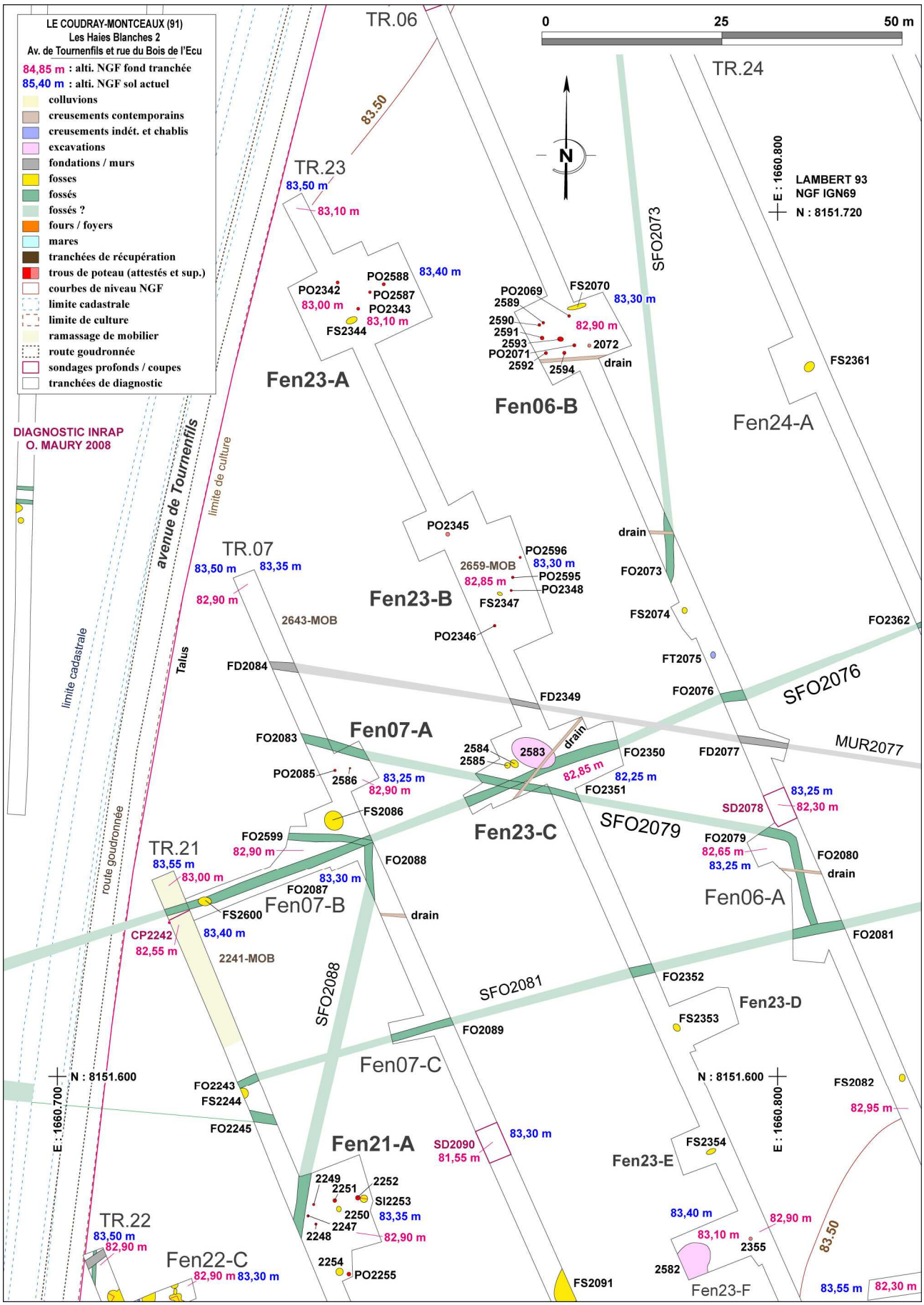

Fig 34 : Plan de la partie septentrionale du SECTEUR OUEST
(© INRAP : G. Desrayaud, Ph. Lenhardt, R. Touquet)

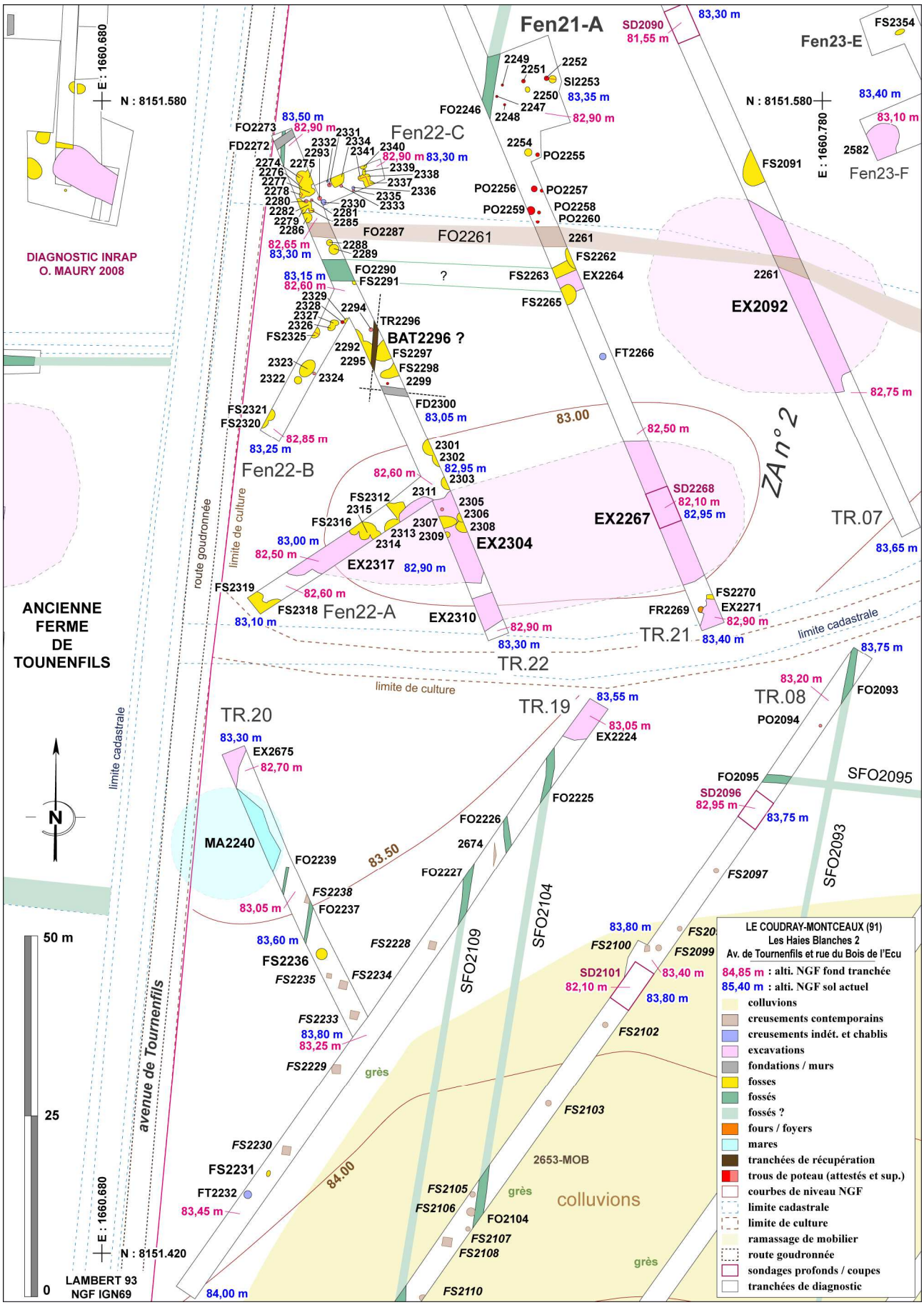

Fig 35 : Plan de la partie méridionale du SECTEUR OUEST
(© INRAP : G. Desrayaud, Ph. Lenhardt, R. Touquet)

2.2.5 SECTEUR OUEST :
Protohistoire indéterminée et occupation médiévale à moderne / contemporaine

(**Fig. 34-35**)

ID	Us	n° TR	CERAMIQUE				Lithique		FAUNE		TCA				METAL		
			MODELEE		TOURNEE						Tuil./Tub./Bri.		Torchis/TRub		Mo	Ferreux	
			NR	g	NR	g	NR	g	Frags	g	NR	g	NR	g	NR	NR	g
FS	2074	6			8	21											
FO	2087	7			13	166					5	257					
FO	2088	7			4	7	1	6									
EX	2091	7							4	35	2	185					
EX	2092	7			3	49											
FS	2102	8									1	103					
FO	2104	8									1	79					
EX	2224	19			1	1					3	579					
FS	2231	19			21	69											
Ram	2241	21	55	153													
FS	2253	21			11	108			89	127							
FS	2254	21			8	33											
PO	2256	21							3	88							
FS	2259	21			3	18	1	66									
FS	2265	21			7	48					2	140					
EX	2267	21									3	222				1	144
FS	2274	22			13	16											
FS	2276	22			2	40											
FS	2285	22			2	3											
PO	2294	22			14	73											
PO	2299	22			1	3											
FS	2303	22													1		
EX	2304	22													2		
FS	2306	22			2	27											
FS	2312	22	3	40	9	19											
FS	2327	22			1	3											
PO	2331	22									1	2					
FS	2341	22			3	12											
PO	2343	23											4	245			
FS	2344	23	1	5													
PO	2345	23	10	306													
FO	2350	23			97	1895											
EX	2583	23			1	27											
FS	2584	23	6	44													
Ram	2659	23					1	15									
TOTAL			75	548	222	2638	3	87	96	250	18	1567	4	245	3	1	144

Fig 36 : SECTEUR OUEST, inventaire des mobiliers collectés (© INRAP : G. Desrayaud, C. Ollivier)

2.2.5.1 SECTEUR OUEST : occupation protohistorique

A l'ouest de l'emprise, dans le secteur des fenêtres 06-B, 07-A et 23-A à E, des groupes de trous de poteaux (une vingtaine de faits au total) et une douzaine de fosses plus ou moins charbonneuses se répartissent sur plus d'un hectare (**Fig. 34** ; plan joint).

La plupart des comblements contiennent des micro-tessons modelés erratiques et des fragments de torchis et / ou de terre rubéfiée (**cf. § 4.1**).

Au nord de la tranchée 21, 53 tessons attribuables au Bronze final ou au Ier âge du Fer ont été collectés (ram. 2241 : **Fig. 34 et 36, 57** ; **cf. § 3.3.5.1**, CIVALLERI : **Pl. 3.3.6**, *infra*).

Au nord de la tranchée 23, les fosses 2074, 2344 et 2584 ont livré des éléments protohistoriques et le poteau 2345 un profil partiel de vase du Hallstatt final ou de La Tène ancienne (**Fig. 34 et 36, 57** ; **cf. § 3.3.5.3 et 4**, CIVALLERI : **Fig. 3.3.1** ; **Pl. 3.3.6**, *infra*).

Certains groupes de poteaux correspondent sans équivoque à des bâtiments, notamment celui de la fenêtre 06-B (**Fig. 34**).

La présence de céramique modelée au sein des vestiges médiévaux à contemporains de la TR22 pourrait indiquer une extension de l'occupation vers le sud (FS2312 ; **Fig. 35-36, 57** ; **cf. § 3.3.5.2**, CIVALLERI : **Pl. 3.3.6**, *infra*). La présence de trous de poteaux dans la tranchée 32 du diagnostic de 2008 pourrait indiquer une extension du site vers l'ouest (**Fig. 57** ; plan joint ; MAURY 2008).

2.2.5.2 Secteur ouest : fossé gallo-romain SFO2076

A l'ouest de l'emprise, la limite fossoyée SFO2076, orientée ENE/OSO, apparaît sur 170 m de longueur entre les tranchées 24 et 21 de 2017 et la tranchée 29 de 2008 (**Fig. 34 et 57** ; plan joint ; MAURY 2008).

Les décapages des tronçons 2087 et 2350 ont livré 110 tessons gallo-romains (**Fig. 36-37**). Dans la fenêtre 23-C (FO2350), les restes de quatre récipients ont été collectés, dont un grand gobelet, au 3/4 complet, à col tronconique inversé en céramique métallescente à engobe blanche et frise excisée de croix de Saint-André attribuable au IIIe ou IVe s. ap. J.-C. (voir SÉGUIER, MORIZE 1996 : fig. 7)

Ce mobilier n'a pas pu être mis en relation avec la présence d'autres vestiges antiques organisés à proximité immédiate, même si des tessons et fragments de tuiles gallo-romains erratiques sont disséminés sur l'ensemble du secteur ouest (**Fig. 37**).

ID	Us	Us	n° TR	*TPQ* mobilier	CERAM		*TEGULAE IMBRICES*	
					NR	g	NR	g
SFO	2076	2087	7	IIIe-IVe s. ap.	110	2061		
		2350	23					
SFO	2088	2088	7	IIIe-IVe s. ap.	5	38	2	218
		2246	21					
FO	2245	2245	21	GR			2	100
PO	2259	2259	21	GR	3	18		
FS	2276	2276	22	GR ou carolingien ?	2	40		
FS	2285	2285	22	GR	2	3		
FT	2294	2294	22	Haut-Empire	14	73		
FS	2312	2312	22	Haut-Empire et tuiles MED / MOD	12	59		
FS	2327	2327	22	GR	1	3		
FS	2341	2341	22	GR	3	12		
TOTAL					152	2307	4	318

Fig 37 : Sect. OUEST, inventaire des mobiliers gallo-romains collectés (© INRAP : C. Claude, G. Desrayaud)

2.2.5.3 SECTEUR OUEST : ancienne ferme de Tournenfils, occupation médiévale à moderne / contemporaine

A l'ouest de l'emprise, les tranchées 21 et 22 ont permis de révéler une dense concentration de vestiges correspondant à l'extension orientale de l'ancienne ferme de Tournenfils, attestée par les textes depuis le XVIIe s. et abandonnée au début des années 1970 (MAURY 2008 : p. 54-101).

Une vingtaine de trous de poteaux, plus d'une cinquantaine de fosses, quatre ou cinq grandes excavations, au moins deux fondations de mur et un foyer ou four ont été recensés dans ces deux tranchées, sur un secteur d'environ 70 m par 100 m (**Fig. 35, 38 et 57** ; **cf. § 4.1** ; plan joint).

Dans les tranchées alentours, 7, 19, 20 et 23, des vestiges similaires sont également présents, mais en densité bien moindre.

Malgré un fort recoupement par des creusements contemporains, certains éléments indiquent une occupation plus ancienne, dès le Moyen Âge.

Fig 38 : Sect. OUEST, TR 21, four/foyer 2269 et excavation 2271, depuis le NNO (© INRAP : G. Desrayaud)

TR	Us	NR Céra	description ceram	datation CERAM	TCA	*TPQ* Us
2	2020				1 éclat	
3	2037				1 fgt tegulae ?	
7	2091				2 fgts tuile plate MA ou Mod	Moyen Âge ou Moderne
7	2092	3	1 bord porcelaine, 1 panse marmite sableuse glaçure jaune marron, 1 anse	Fin XIXe première moitié XXe		Fin XIXe XXe
8	2102				1 fgt dalle ?	
8	2104				1 fgt tuile plate MA ou MOD	Moyen Âge ou Moderne
16	2214	1	fond sableuse rouge	Moyen Âge		Moyen Âge
19	2224	1	panse sableuse beige	Moyen Âge	3 fgts tuiles plates MA ou Mod	Moyen Âge
19	2225				3 fgts tuile plate Ma ou MOD	Moyen Âge ou Moderne
19	2231	21	élément d'une cruche à anse plate, en pâte beige foncé sableuse, parois érodées. Quelques tessons portent la trace d'un décor peint mais imprécis. La lèvre est saillante relevée.	XIe XIIe		XIe XIIe
21	2253	4	pâte sableuse claire à orangé	Moyen Âge		Moyen Âge, XIe XIIe ? Incertain
21		5	fond pâte sableuse beige foncé avec traces de feu	Moyen Âge, XIe XIIe		Moyen Âge, XIe XIIe ? Incertain
21		1	fond pâte sableuse beige orangé	Moyen Âge ou Moderne		Moyen Âge, XIe XIIe ? Incertain
21	2254	2	pâte sableuse fine	Moyen Âge ou moderne		Fin XVe début XVIe
21		4	panses pâte blanche rosée engobée	Fin XVe début XVIe		Fin XVe début XVIe
21	2265	6	1 anse pichet pâte beige glaçure verte, 3 panses pâte beige, 2 panses pâte beige flammule	Moyen Âge fin 13e 14e	1 fgt tuile plate fin Ma ou Mod	Fin Moyen Âge ou début Moderne? XVe ?
21	2265	1	panse pâte orangée, engobé ?, glaçure verte externe	XVe		Fin Moyen Âge ou début Moderne? XVe début XVIe?
21	2267				3 fgts tuile plate fin MA ou MOD	Fin Moyen Âge ou Mod
22	2274	6	panse pâte sableuse blanche et rosée, 2 avec traces de feu	XIe XIIe		XIe XIIe
22	2276	2	panse en pâte rugueuse gris clair, surface externe sombre, parois épaisses, surface interne altérée	HMA Caro ou Antique ?		HMA Caro ou Antique ?
22	2299	1	1 panse sableuse beige, glaçure jaune très fine, en tache	Moyen Âge, 14e ?		Moyen Âge, 14e ?
22	2306	2	1 panse gourde grès du Beauvaisis, 1 panse marmite pâte fine orangée glaçure verte externe	Fin XVe début XVIe		Fin XVe début XVIe
22	2331	1			1 éclat	
23	2583	1	anse, pâte blanche engobée, coquemar ?	Fin XVe début XVIe		Fin XVe début XVIe

Fig 39 : Sect. OUEST, Inventaire de la céramique médiévale à moderne collectée (© INRAP : C. Claude)

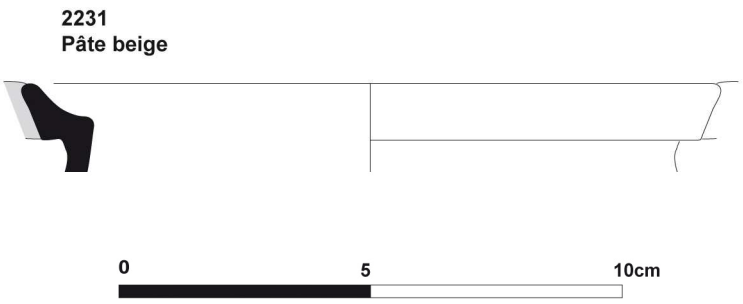

Fig 40 : Sect. OUEST, TR19, FS2231, bord de cruche des XIe-XIIe s. ap. J.-C. (© INRAP : C. Claude)

Céramique médiévale à moderne (Caroline CLAUDE, INRAP)

Pour le secteur ouest, 45 tessons relèvent du Moyen Âge (**Fig. 39**). Ils sont très érodés, très fragmentés et nous ne disposons que de très peu d'éléments caractéristiques.

Ainsi, seuls quelques uns peuvent être plus précisément datés (**Fig. 57**).

Pour les XIe et XIIe siècles, les plus significatifs correspondent à des éléments d'une cruche à une ou deux anses plates dans la fosse 2231 de la TR19 (**Fig. 40**). Ils sont en pâte sableuse beige foncé. Quelques uns portent la trace d'un décor peint. La lèvre, saillante relevée est caractéristique des XIe et XIIe siècles.

D'autres tessons provenant de l'Us 2274 (**Fig. 43**) pourraient également être datés de cette même période : ce sont de petites panses en pâte sableuse claire (blanche et rosée).

Un lot de 6 tessons découverts dans l'US 2265 est daté entre la fin du XIIIe et le XIVe siècle, dont une anse de pichet en pâte claire et glaçure verte et quelques panses à décor de flammules. Ils sont associés à un tesson plus récent, daté entre la fin du Moyen Âge et le début de l'époque moderne (panse en pâte orangée engobée avec de la glaçure verte externe).

Cette dernière période est représentée par 11 tessons, provenant notamment des Us 2254, 2306 et 2383. Ils sont principalement en pâte claire avec les surfaces engobées. Cette technique d'engobage est caractéristique de la Renaissance (fin XVe – début XVIe).

On note également un fragment de panse de gourde en grès du Beauvaisis (2306).

Quelques fragments de tuile plate ont été ramassés lors du diagnostic : ils sont, pour la plupart, très certainement à rattacher à cette période. L'une (Us 2267) est à crochet avec deux perforations (**Fig. 41**).

Fig 41 : Sect. OUEST, TR19, EX2267, fragments de tuile plate à crochet moderne (© INRAP : C. Claude)

Occupation médiévale de Tournenfils

La présence de tessons XIe-XIIe s. répartis sur l'ensemble de la partie sud du secteur ouest suggère une création de l'habitat de Tournenfils dés le Moyen Âge classique (**Fig. 57**). Un tesson IXe-IXe s., collecté dans un fossé pendant le diagnostic de 2008, évoque une fondation remontant même à la fin de la période carolingienne (Fabienne RAVOIRE dans MAURY 2008 : p. 27, fig. 23).

Les éléments des XIIIe-XIVe et XVe-XVIe s. semblent indiquer une continuité d'occupation jusqu'à la période moderne (voir plan terrier du XVIIIe s. –AN N4158– dans MAURY 2008 : fig. 29 ; monnaies : **cf. § 3.5**, MORET-AUGER).

Seule une quinzaine de faits a pu être testée.

Dans la tranchée 22, les vestiges sont assez fortement arasés et perturbés par la présence de grandes excavations modernes à contemporaines. Dans cette zone, marquée par une légère dépression, les argiles jaunâtres affleurent par endroits directement sous les labours (**Fig. 42-43**).

Dans la tranchée 21, les limons des plateaux sont mieux conservés et les creusements mieux préservés (**Fig. 44**).

Fig 42 : Sect. OUEST, vue de la partie sud de la TR22 (© INRAP : E. Saron)

Fig 43 : Sect. OUEST, TR22, fouille manuelle partielle de la fosse 2274 (© INRAP : G. Desrayaud)

Les concentrations de fosses et de poteaux, avec de probables bâtiments et silos (**Fig. 35 et 44**), évoquent un habitat structuré ancien.

La présence de vestiges en creux similaires est également perceptible dans les tranchées 27 à 30 du diagnostic de 2008 (**Fig. 57** ; plan joint).

Elle suggère un développement de l'occupation médiévale et moderne au sud, au nord et à l'est du corps de ferme principal figuré sur les plans des XVIIIe et XIXe s. (**Fig. 45, 46 et 50** ; MAURY 2008 : fig. 23 à 29)

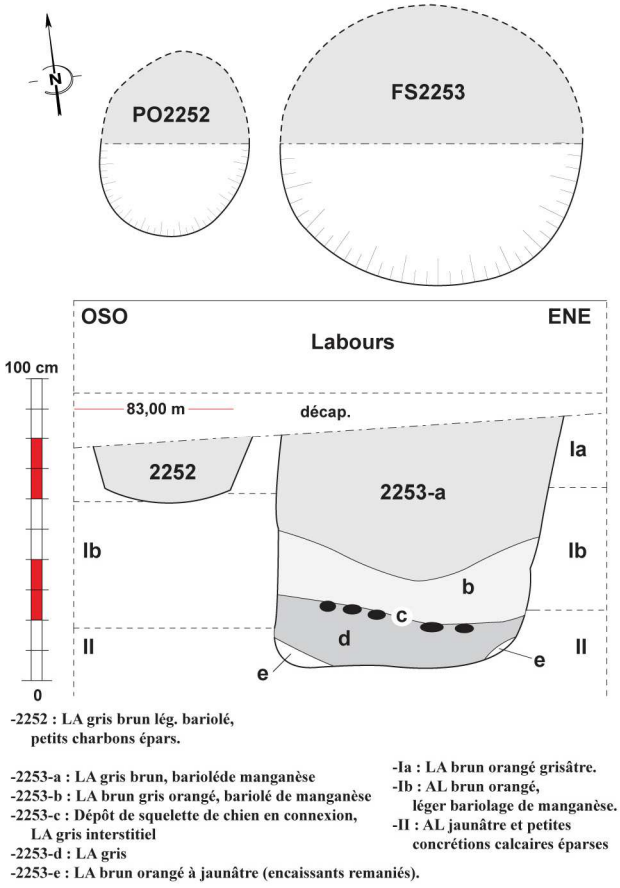

Fig 44 : Sect. OUEST, TR21, coupes du poteau 2252 et du silo probable 2253 (*TPQ* : XIe-XIIe s. ap. J.-C.) ; 2253-c : **cf. § 3.4**, BAYLE (© INRAP : G. Desrayaud)

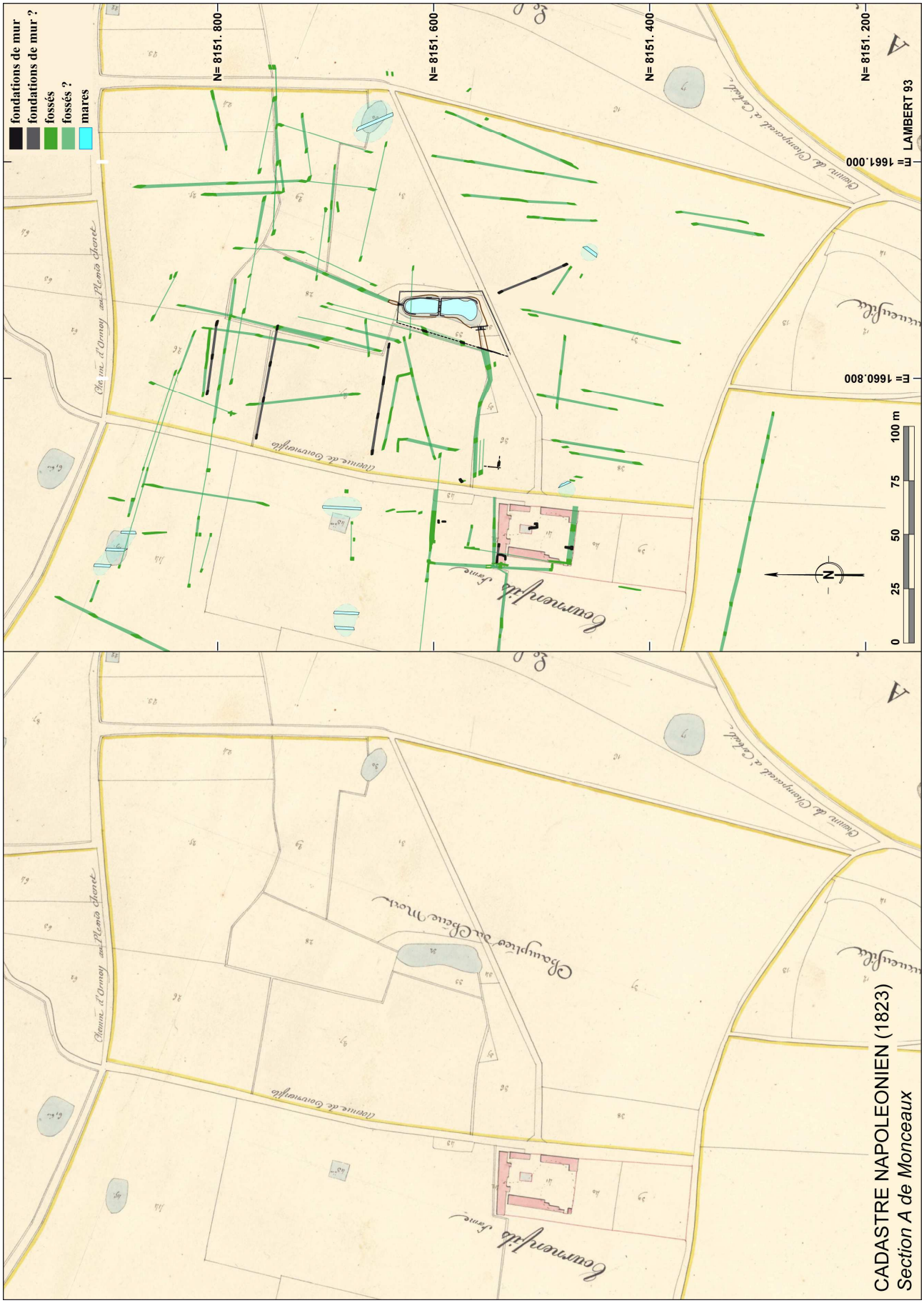

Fig 45 : Cadastre napoléonien de 1823, récolement des fossés, fondations de mur et mares modernes / contemporains et non datés (© INRAP : G. Desrayaud, Ph. Lenhardt, R. Touquet)

Fig 46 : Plan terrier du XVIIIe s., récolement approximatif des fossés, fondations de mur et mares modernes / contemporaines et non datés (© INRAP : G. Desrayaud, Ph. Lenhardt, R. Touquet)

2.2.6 Fossés et murs "parcellaires" historiques

Sect.	ID	Us	*TPQ*	CERAM		Lithique		FAUNE		TCA Tuil./Tub./Bri.	
				NR	g	NR	g	Frags	g	NR	g
	SFO	2020	*mod. / contemp. ?*	1	12					1	58
	FO	2028	*gallo-romain*							6	174
	FO	2035	*gallo-romain*							2	221
	FO	2037	*gallo-romain*	8	74					1	71
	FO	2038	*?*					4	94		
NE	SFO	2064	*gallo-romain*	1	11					3	427
	FO	2066	*gallo-romain*							2	276
O	SFO	2088	*gallo-romain*	5	38	1	6			2	218
O	SFO	2104	*mod. / contemp.*							5	281
	SFO	2124	*gallo-romain*	9	58						
	FO	2163	*gallo-romain*	5	31						
	FO	2169	*gallo-romain*	2	35					1	44
O	FO	2245	*gallo-romain*							2	100
	FO	2481	*gallo-romain*	6	105					2	26
	FO	2494	*mod. / contemp.*	3	36	1	3				
	FO	2497	*gallo-romain*							2	34

Fig 47 : Mobiliers collectés des fossés modernes à contemporains et non datés (© INRAP : G. Desrayaud, C. Ollivier)

Plus d'une quarantaine de vestiges linéaires en creux ou construits modernes à contemporains et non datés (fossés et murs ; **Fig. 7** ; **cf. § 4.2** ; plan joint), suivis sur plusieurs dizaines de mètres, s'apparentent à des limites "parcellaires". La plupart coïncident ou correspondent à des tracés figurés sur le plan terrier du XVIIIe s. et/ou le plan napoléonien de 1823 (**Fig. 45-46**). La présence de mobilier gallo-romain pourrait indiquer une origine plus ancienne pour certains d'entre eux (**Fig. 47**).

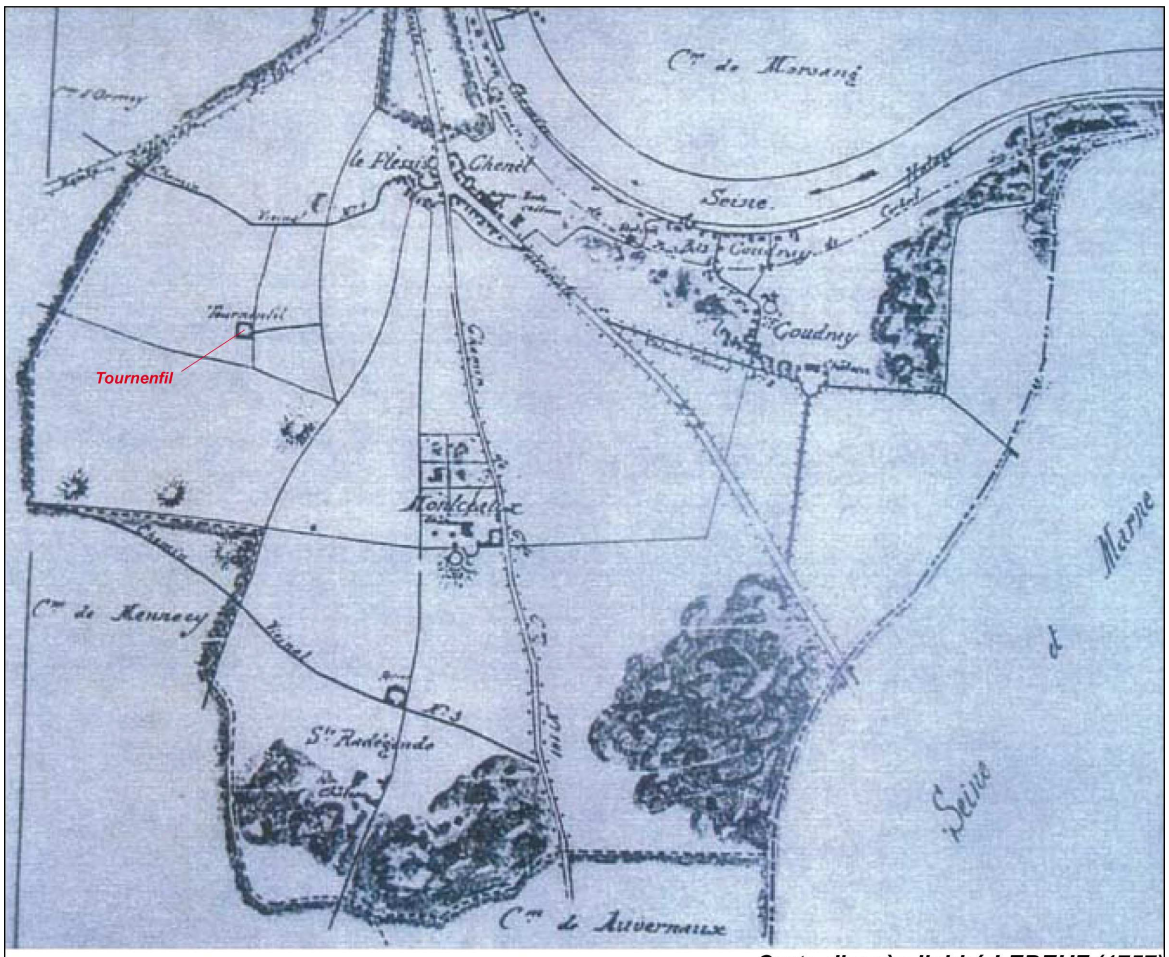

Carte d'après l'abbé LEBEUF (1757)

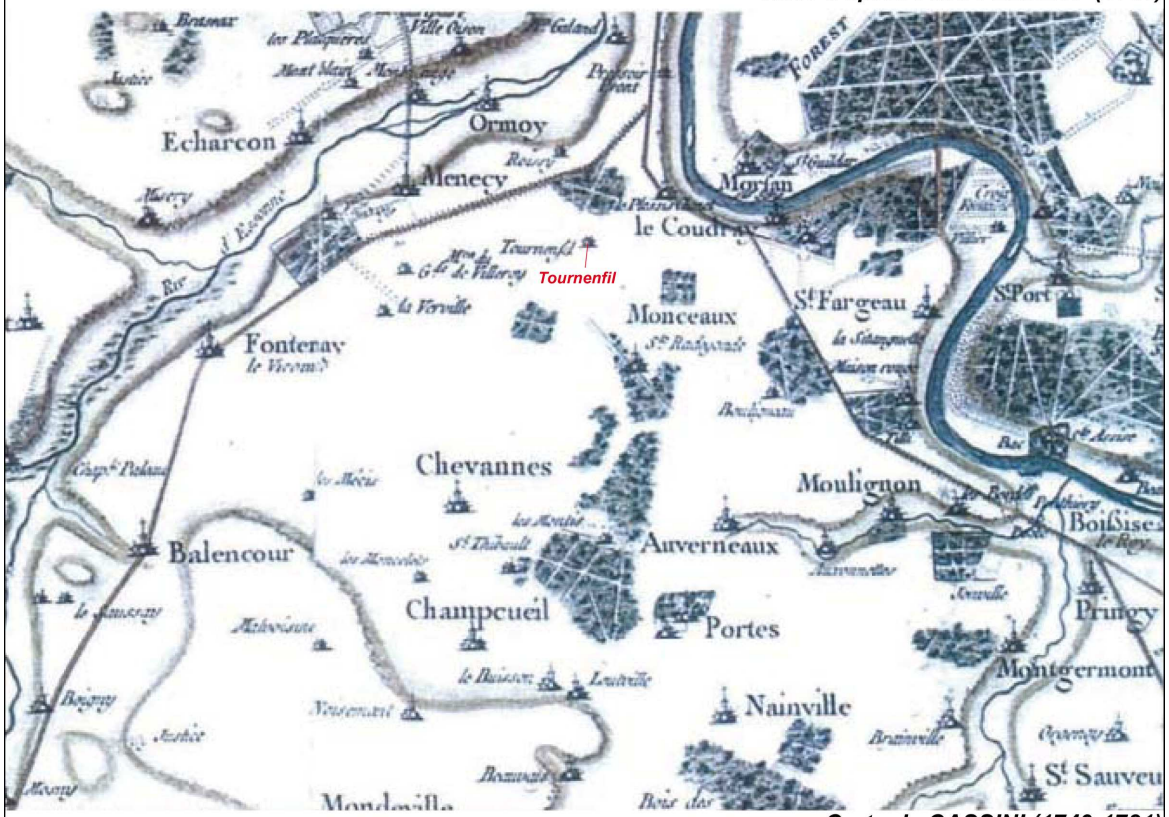

Carte de CASSINI (1749-1781)

Fig 48 : Localisation de la ferme de Tournenfil sur les cartes de l'abbé Lebeuf et de Cassini, XVIIIe s.
(© INRAP : Ph. Lenhardt)

Plan d'intendance (1776-1791)

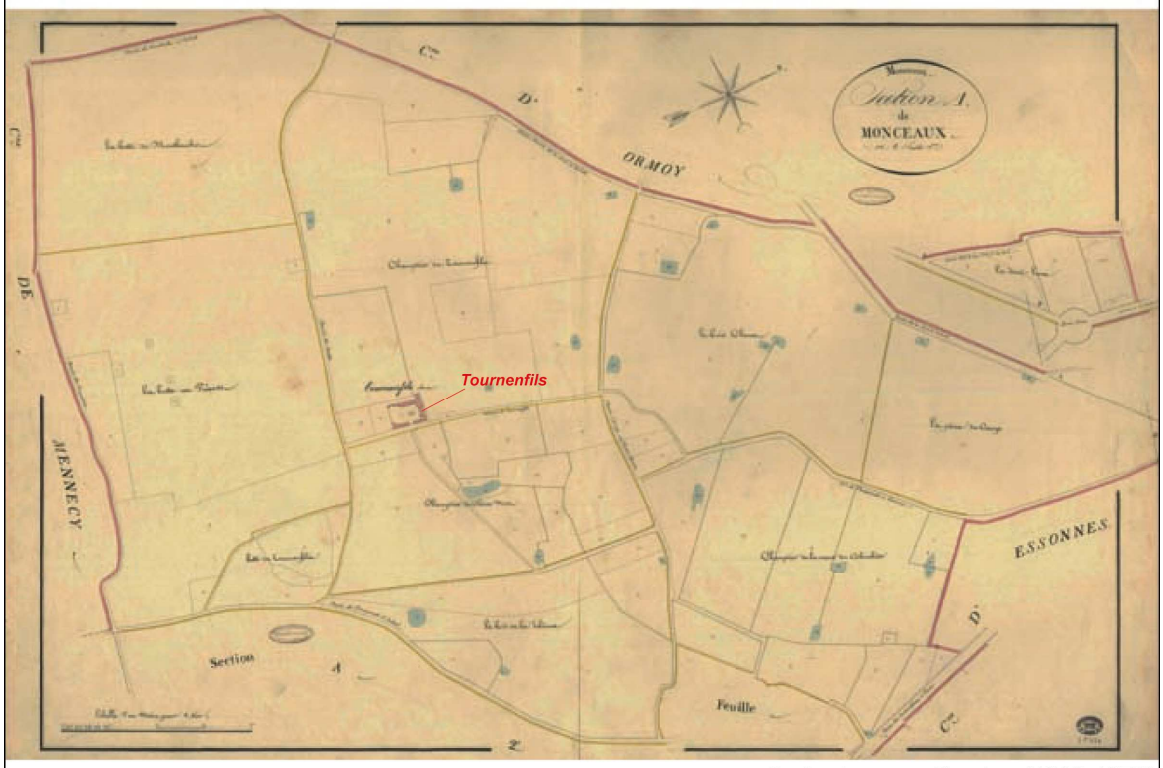

Cadastre napoléonien (1823-1850)

Fig 49 : Localisation de la ferme de Tournanfy / Tournenfils sur le Plan d'intendance et le Cadastre napoléonien (© INRAP : Ph. Lenhardt)

Carte d'après l'abbé LEBEUF (1757)

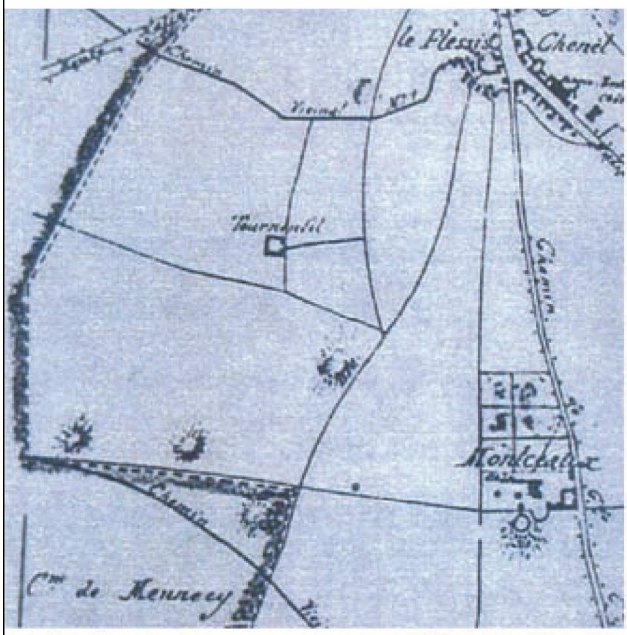

Carte de CASSINI (1749-1781)

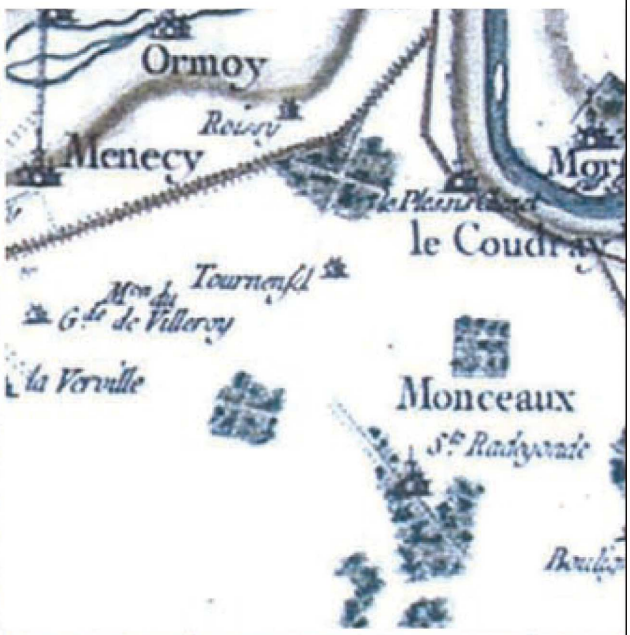

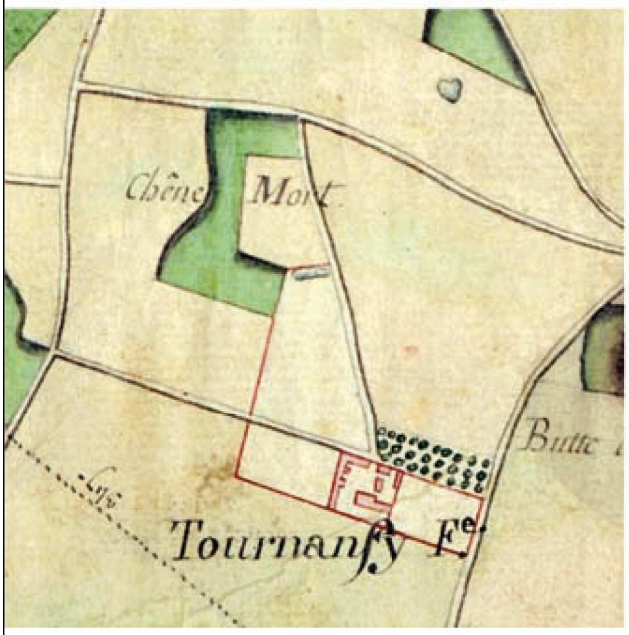

Plan d'intendance (1776-1791)

Cadastre napoléonien (1823-1850)

Cadastre actuel

Fig 50 : Evolution des abords de la ferme de Tournenfils depuis le milieu du XVIIIe s. à nos jours
(© INRAP : Ph. Lenhardt)

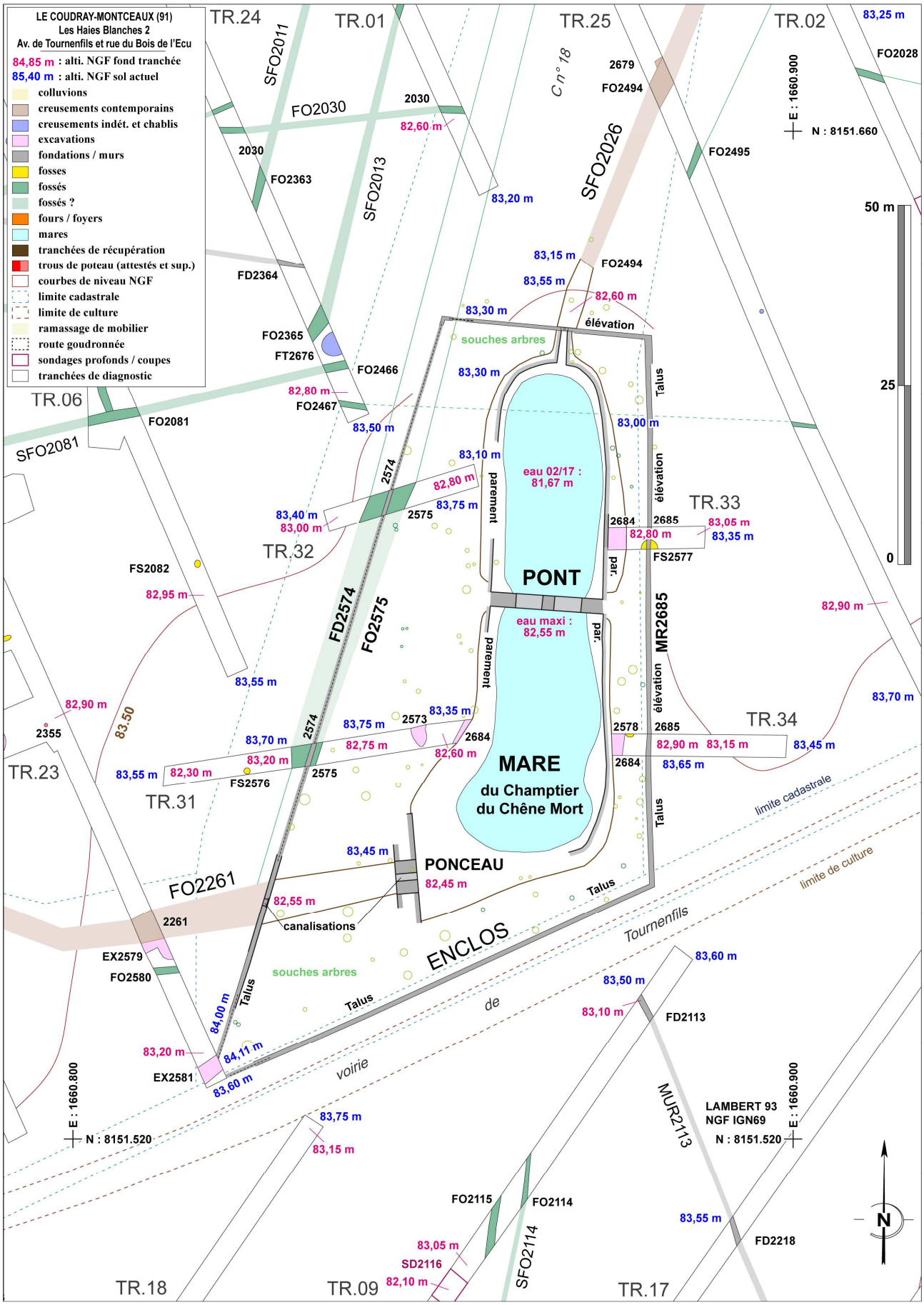

Fig 51 : Plan du secteur de la mare parementée et du pont à deux arches du *Champtier du Chêne Mort*
(© INRAP : G. Desrayaud, Ph. Lenhardt, R. Touquet)

2.2.7 Pont à deux arches sur la mare du *Champtier du Chêne Mort* (XIXe s.) et ferme de Tournenfils (Philippe LENHARDT, avec la coll. de Marc VIRÉ, INRAP)

Par sa localisation au "Champtier du Chêne Mort", le pont à double arche en pierre qui fait l'objet de cette notice se situait – avant un remembrement relativement récent - dans un environnement de petites parcelles qui se développaient autour d'une longue mare reliée à d'autres par un réseau de canaux (**Fig. 45-46**). Deux cents mètres à au sud-ouest, se situait l'ensemble de bâtiments de « Tournenphis » aujourd'hui démolis.

Au préalable de ce diagnostic archéologique, plus d'une centaine d'arbres situés autour de la mare ont été abattu. Il semblerait même que les inévitables vibrations au sol engendrées par cet abattage massif ait accéléré le processus de dégradation du pont, c'est ce que nous avons pu constater au cours de l'opération.

Il est important de signaler que deux diagnostics ont été conduits précédemment dans le secteur (MAURY 2008 ; CLEMENT 2010). Celui qui a été mené par Olivier Maury en 2008, en limite ouest du diagnostic actuel, a permis de mettre au jour certains bâtiments de l'ancienne ferme de « Tournenfils ».

En dehors de toute autre construction dans le secteur et à une relative proximité des vestiges des bâtiments de Tournenfils, le pont à double arche ne pouvait être qu'associé à l'ensemble des bâtiments mis au jour au cours des investigations archéologiques de 2008. C'est en particulier ce qui apparaît dans le rapport de diagnostic et il est même interprété comme étant le pont en pierre du XVIIe s. rendu par les archives : il y était explicitement mentionné « un pont de pierre qui franchit le canal daté du XVIIe s.».

C'est en effet un point qui a été souligné par l'excellente contribution de Chantal Delomier, archiviste de l'Inrap, dans le rapport d'Olivier Maury, qui sert également de support à la présente contribution (DELOMIER dans MAURY 2008).

Mais il reste de nombreuses interrogations quant à la confrontation de cette affirmation avec la cartographie ancienne.

En effet, il n'est fait aucune représentation de ce pont en pierre sur les cartes les plus détaillées, alors que certaines d'entre-elles – pour l'importance que cela pouvait signifier à l'époque – représentaient même les ponts détruits sous un graphisme particulier ou d'une façon générale, tout ce qui avait une valeur économique (COSTA, ROBERT 2008).

2.2.7.1 Exploitation de la cartographie ancienne.

(Fig. 48)
CARTE DE L'ABBE LEBEUF, 1757

Mention des bâtiments de Tournenfil et du chemin rural qui tangente la mare non représentée sur ce document.

CARTE DE CASSINI, 1749-1781,
(échelle 1/86400) **:**

Simplement la mention « Tournenfil » sans dessin car l'échelle de la carte ne permet pas de visualiser davantage de détail.

(Fig. 49)
PLAN D'INTENDANCE, 1776-1791
(échelle 1/6500-1/7200) **:**

Sur ces cartes, « …les bâtiments murs et clôtures en carmin, cours d'eau et étangs couleur d'eau, terrains communaux » sont entourés d'un liséré rouge. Par ailleurs : « Les ponts sont indiqués, les sources, fontaines, mares et abreuvoirs sont également indiqués ».

Alors, en effet, la mare est bien représentée sur le plan d'Intendance, et les murs de la ferme «Tournenfils» sont bien surlignés en rouge.

Mais il n'y a pas d'indication de pont sur la mare elle-même représentée couleur d'eau.

Donc, apparemment, le pont n'existe pas à cette période.

(Fig. 45 et 49)
CADASTRE NAPOLEONIEN, 1823-1850
(échelle 1/2500-1/1250-1/500-1/200) **:**

Le réseau viaire est représenté en tenant compte des vraies grandeurs en particulier pour les largeurs de voies.

Le réseau hydrographique est détaillé (les cours d'eau naturels ou artificiels quelle que soit leur importance sont représentés couleur d'eau).

Les parcelles construites se distinguent des non-construites par une couleur rosée. Certains détails architecturaux (contreforts) peuvent même apparaître.

Les limites construites en dur sont figurées en rouge ou rosé (Ferme de Tournenfils, environ 73 mètres par 58).

Les plans d'eau, mares, fontaines sont indiqués.

Les îles, ponts, bacs, embarcadères, etc sont indiqués, y compris certains ponts disparus.

Si la ferme est représentée conformément au bâti en couleur rosée, l'enclos de la ferme Tournenfils est cerné par une limite en dur (mur).

En revanche, aucune indication de bâti sur la mare cadastrée sous le numéro 32.

Par conséquent, le pont sur la grande mare n'existe pas encore en 1823 au Champtier du Chêne Mort.

Plus largement, une analyse plus minutieuse du plan fait apparaître une série de mares de dimensions plus réduites. En effet, le sous-sol silico-argileux du secteur retient les eaux et les multiples mares permettent de rendre les terres cultivables dans ce secteur très agricole.

Certaines d'entre-elles ont une forme géométrique qui laisse penser qu'elles ont été aménagées par l'homme.

Il faut noter que dans le secteur de la ferme Tournenfils, deux mares sont reliées entre elles par un fossé. Si la principale, celle qui fait l'objet de notre attention porte le numéro 32, la seconde est cadastrée sous le numéro 30.

Mais d'une façon générale, un réseau de fossés existe (bien visible sur le cadastre napoléonien) dans tout le secteur et les liens entre les multiples points d'eau sont évidents, ne serait-ce que par la nappe phréatique.

Le canal qui a une plus grande importance est précisément celui qui relie cette grande mare à la ferme Tournenfils. Il doit inévitablement traverser l'Avenue de Tournenphis et contourne le mur nord de la ferme pour se déployer vers l'est (**Fig. 50**).

Dans cette ferme, un bassin rectangulaire (environ 11,50 mètres par 7,50) est situé dans l'axe de la cour.

Un réseau hydrographique aménagé existe bel et bien dans ce secteur destiné à contrôler le surplus d'eau, mais il n'est apparemment (voir carte) pas, dans un premier temps, réalisé en maçonnerie, c'est ce qu'indique les légendes de la carte.

Une exception tout de même au sujet d'un inévitable pont qui devait permettre de circuler sur « l'Avenue de Tournenfils » pour rejoindre les bâtiments Tournenfils. Le canal franchissait forcément cette voie d'accès majeure et devait probablement être construit en maçonnerie pour supporter les charges de l'exploitation agricole.

Le plan de 1823 (napoléonien) montre en effet le croisement d'une voie de circulation, « l'Avenue de Tournenfils » et le passage du canal en provenance de la grande mare du Champtier du Chêne Mort.

(Fig. 50)

La consultation de la cartographie ancienne, en particulier la comparaison des Plan d'Intendance et du cadastre napoléonien fait apparaître des évolutions, en particulier dans la maîtrise de la gestion de l'eau (faire circuler et évacuer l'eau).

En effet, sur le plan le plus ancien, quelques mares existent déjà en ce terrain argileux mais il apparaît que sur le cadastre de 1823, davantage de mares apparaissent, ainsi qu'un important réseau de fossés qui les relient.

En revanche, la cartographie ne fourni aucun indice de pont en pierre à aucun endroit que ce soit, ni d'un côté, ni de l'autre. Le pont à deux arches n'existait donc pas à la fin du XVIIIe ni au début du XIXe s. Il ne peut donc s'agir du pont de pierre qui franchit le canal daté du XVIIe s. auquel il est fait référence dans les textes anciens.

D'ailleurs, il ne franchit pas le canal mais une mare !

2.2.7.2 Le pont à deux arches du *Champtier du Chêne Mort*

(Fig. 51 ; plan joint)

Ce pont à deux arches encore en place aujourd'hui est particulièrement spectaculaire par ses dimensions. Le niveau du tablier est au niveau des terres qui l'environnent de telle sorte qu'il n'est pas nécessaire de monter ou descendre pour l'emprunter. Et si le niveau d'eau devait être très haut, les terres cultivables seraient alors marécageuses et le pont deviendrait alors inutile.

Le dispositif complet dans lequel s'inscrit le pont est défini par les limites de l'enclos fermé par un mur périphérique.

Au sud, l'enclos reprend la direction du Chemin rural n°19 dit « voirie de Tournenfils ». A l'ouest, il est parallèle à la limite parcellaire de la parcelle 18 mais à 13 mètres en dedans. A l'est, il reprend sensiblement les limites de la parcelle 18 alors qu'au nord, le retour de mur est seulement à 5 mètres de l'extrémité de la mare.

Les dispositifs en maçonnerie que l'on peut encore percevoir aujourd'hui sont :

- Le pont en maçonnerie à deux arches avec un tablier assez étroit (2,00 mètres). S'il fallait y soustraire les parapets latéraux de 40 centimètres, dont les traces sont encore visibles sur l'un des côtés, la largeur de passage serait réduite à 1,20 mètre. On ne peut donc imaginer qu'un tel pont ait pu être destiné aux services agricoles, d'autant plus qu'il aurait été nettement plus économique

de construire un pont aux endroits les moins larges, c'est-à-dire au droit du canal.

Ce sont les raisons pour lesquelles l'hypothèse d'un pont privé, d'apparat, a toute sa vraisemblance dans cette situation :

- Un mur bajoyer permettant de consolider les rives inférieures de la mare sur l'ensemble de son périmètre (**Fig. 55 et 56-D**).
- Un canal d'amené au nord qui se jette dans la mare. Précisément à cette intersection, une **martelière*** est fixée dans le mur bajoyer pour réguler l'arrivée de l'eau (**Fig. 56-F**).
- Un second pont à une seule arche également en maçonnerie est présent au sud-ouest du bassin. La largeur du tablier est de 3,00 m. C'est donc un accès suffisamment large pour faire passer une charrette et pénétrer dans l'enclos que constitue cet ensemble. Sous le passage en surface, un canal souterrain voûté de 3 mètres de longueur pour une largeur d'intrados d'un mètre permet à l'eau de rejoindre un fossé de 18 mètres de longueur sur 5 de large pour une profondeur de 1 mètre (en l'état actuel).
  L'appareillage de l'arc de tête plein-cintre bien visible depuis la mare est constitué de moellons homogènes dressés et bloqués au mortier de chaux.
- A l'extrémité de ce fossé, une conduite de 20 centimètres de diamètre est engagée perpendiculairement dans le mur périphérique de l'enclos en direction de la ferme de Tournenfils. Nous ne savons sur quelle distance cette conduite souterraine s'est déployée et à quel endroit précisément elle a été remplacée par un fossé ouvert.

Il paraît vraisemblable que la construction du pont à deux arches – après 1823 – ait entraîné par la même occasion la consolidation de la mare par un mur bajoyer et d'une partie du réseau des fossés.

Et si le mur bajoyer vient buter sur le tablier du pont, c'est dans l'ordre normal de la construction, du plus massif au plus réduit.

En somme, ces travaux fournissaient l'occasion de rationnaliser la réserve d'eau mais aussi de contrôler son débit par l'installation de martelières.

Mais s'il fallait dater le pont d'après ses techniques de construction, cela semblerait assez difficile pour ne pas dire très incertain. En effet, il est construit avec des matériaux qui sont prélevés localement (calcaire de Brie meulièrisé) et l'aspect rustique de sa mise en œuvre, dépourvue de toute modénature, ne donne pas la possibilité d'identifier un style reconnaissable.

(Fig. 46, 52, 53 et 54)

Aujourd'hui, à l'exception du pont à deux arches situé un peu plus loin à l'est, il ne reste rien du hameau de « Tournenphis » puisque les anciennes fermes ont été démolies en 1970.

Bernard Malchère précise que « dans des lettres du mois de novembre 1308, confirmées par le roi » (Philippe IV le Bel), Tournenfils était appelé « manoir seigneurial » et, qu'en 1551, « le fief de Tournenfils près de Corbeil, appartenait au sieur de Beauvais, contrôleur de la ville de Paris. En 1875, Tournenfils a été vendu par le marquis de Persan au prieur de Pringy, le tout environ 25 hectares » (MALCHERE 1989).

En 1649, Jean de La Barre (chargé de la prévôté de Corbeil) écrivait : «Tournenfils, ce ne sont seulement deux fermes entourées de bocages, possédées par le sieur Chopin depuis 1620, qui est aussi Seigneur de Monceau et en partie du Plessis-Chenêt ». Là, il n'est pas fait mention d'un pont alors que nous sommes bien au XVIIe s.

Dans les sources publiées, les bâtiments « Tournenphils » (et tous les homonymes) apparaissent avec des mentions différentes que ce soit, fermes, manoir seigneurial, ancien manoir, seigneurie de Tournenfil et ancien prieuré de Tournenfils, là où il a été précisé par l'instituteur Frichot en 1899 : « A Tournenfils, sont encore visibles les vestiges de l'ancien prieuré, notamment un pont en pierres jeté sur les canaux qui l'entouraient » (FRICHOT 1899).

Les bâtiments « Tournenphis » (dont l'origine des bâtiments remonterait au XVIIe s.) existaient encore jusqu'en 1970 alors que le pont à deux arches était construit après 1823.

La présentation qui en est faite par la notice de l'instituteur datée de 1899 crée une confusion en amalgamant des constructions de périodes différentes, les seules encore présentes dans le secteur, les bâtiments et le pont (FRICHOT 1899).

***** ouvrage qui permet la distribution des eaux d'irrigation à partir d'un chenal d'amenée de cette eau. Elle est munie d'un batardeau mobile (c'est-à-dire une vanne) constitué d'un panneau vertical en bois ou métal. Ce batardeau, en raison de sa dimension, peut être réglable en hauteur par une vis sans fin mue par une manivelle. Dans sa forme la plus rustique, la martelière est munie d'un simple panneau glissant dans deux rainures verticales dans la pierre, et qui est retiré à la main à la demande, pendant le temps de l'irrigation.

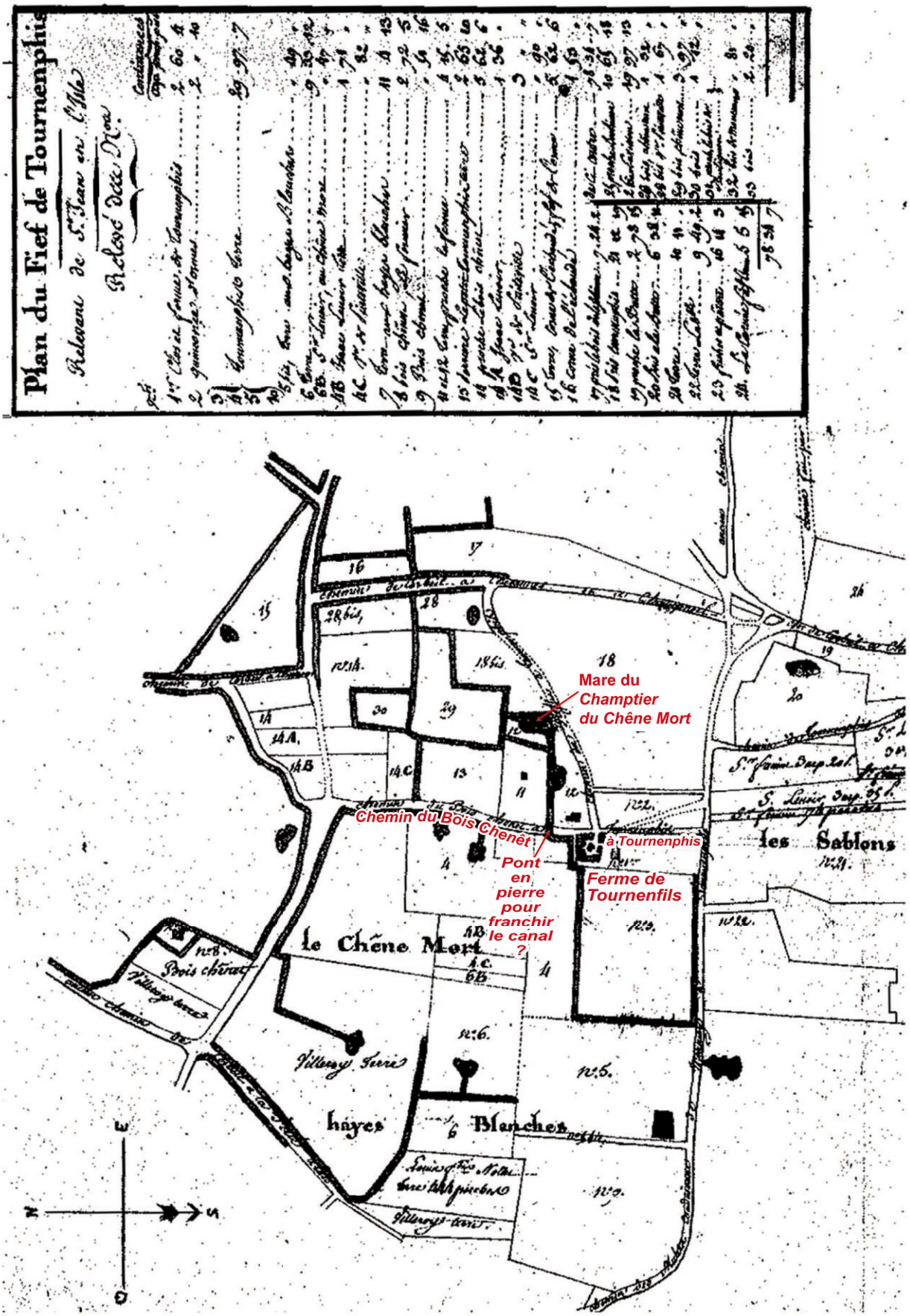

Fig 52 : « Plan du fief de Tournenphis », plan terrier de Tournenfils du XVIIIe s. – AN N4158- (© INRAP : Ph. Lenhardt)

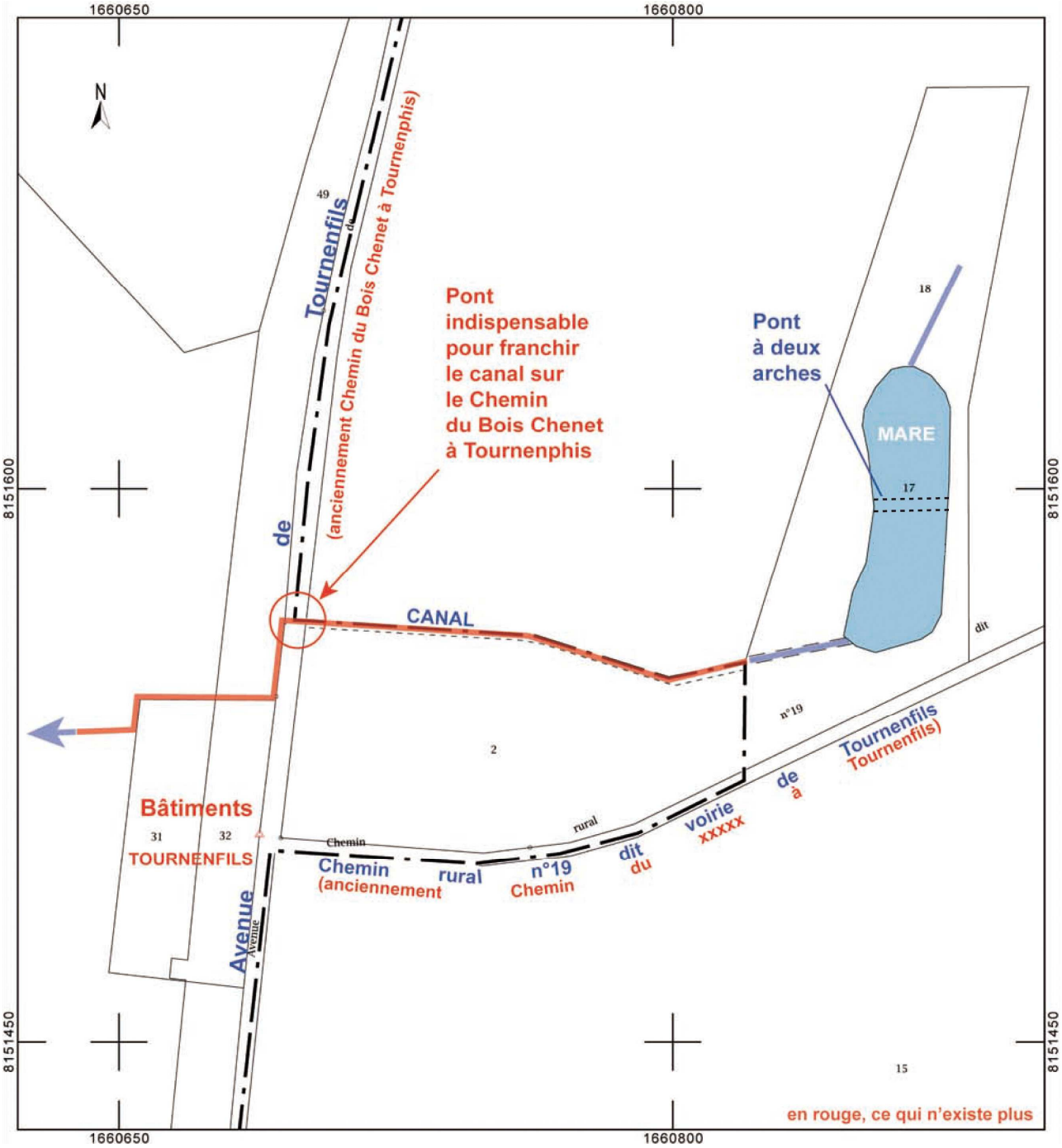

Fig 53 : *Tournenfils / Le Champtier du Chêne Mort*, localisation des anciennes installations, aujourd'hui disparues, sur le cadastre actuel (© INRAP : Ph. Lenhardt)

Mais pour les bâtiments, nous sommes bien en présence d'un ensemble unique qui s'est métamorphosé au cours du temps, probablement avec des adjonctions et des démolitions, mais aussi par les différents qualificatifs, la dernière utilisation étant une exploitation agricole.

S'il y avait un pont en pierre qui aurait pu être vu en même temps que les bâtiments, il s'agirait d'un pont qui permette de franchir le canal en provenance de la mare.

Le canal contourne ensuite les bâtiments Tournenfils.

En effet, l'avenue de Tournenfils (anciennement Chemin du Bois Chenet à Tournenphis) n'était pas une impasse qui menait simplement aux bâtiments ; elle s'inscrit au contraire dans un réseau de voiries multiples. La nécessité d'un pont à cet endroit là est donc évidente. Pour supporter les charges des convois agricoles, il devait être construit en pierre.

Pont à deux arches du *Champtier du Chêne Mort* (cliché par Marius Courtin le 12 juin 1976)

Les fermes de Tournenfils ont été démolies en 1970

Fig 54: Vues du pont à deux arches du *Champtier du Chêne Mort* et des fermes de Tournenfils (© INRAP : Ph. Lenhardt)

Au cours des deux diagnotics dont la ligne de jonction était précisément l'avenue de Tournenfils, elle-même épargnée, il était indispensable de respecter une distance afin de ne pas compromettre la stabilité de cette voie. C'est probablement la raison pour laquelle il n'a pas été possible de vérifier la présence de vestiges là où pourrait se situer un autre pont de pierre.

(Fig. 55 et 56)

Au sujet du pont en pierre à deux arches, la présence d'un petit bois, d'une mare de taille relativement grande, pas très loin de l'établissement de Tournenfils (la dernière avant la ferme), étaient propices à la réalisation d'une structure en maçonnerie élégante afin de créer un pôle bâti pour rendre cet endroit privé pittoresque.

En effet, aujourd'hui, le pont est toujours là pour retenir notre attention.

Dans le même temps, au milieu de ces champs gorgés d'eau, sans arbres, il n'était pas négligeable d'aménager un espace destiné à l'agrément.

Cette construction – le pont à deux arches - s'apparente à un pont de jardin à caractère ornemental, pittoresque qui participe à la composition du jardin à la manière d'une fabrique (terme employé pour le jardin à partir du XVIIIe s. qui désignait à l'origine « tous les bâtiments d'effet et toutes les constructions que l'industrie humaine ajoute à la nature, pour l'embellissement des jardins » ; BENETIERE 2006).

Sans pouvoir en dire davantage, il a été construit après 1823 pour être mentionné en 1899 dans une notice d'instituteur (FRICHOT 1899).

Fig 55: Vues du pont à deux arches de la mare du *Champtier du Chêne Mort*, février et mars 2017
(© INRAP : G. Desrayaud, Ph. Lenhardt)

Fig 56: Vues du pont à deux arches et des aménagements de la mare parementée du *Champtier du Chêne Mort*, 21 mars 2017 (© INRAP : Ph. Lenhardt)

A : Culée orientale du pont à deux arches, depuis l'ENE.
B : Culée occidentale et pile centrale du pont à deux arches, depuis l'OSO.
C : Tablier du pont à deux arches, depuis l'O.
D : Angle entre le parement de la mare et la culée occidentale du pont à deux arches, depuis le SSE.
E : Ponceau à une arche et parapet du sud ouest de la mare parementée, depuis l'ESE.
F : Fossé en partie empierré 2494 et mur d'enclos septentrional de la mare, depuis le N.

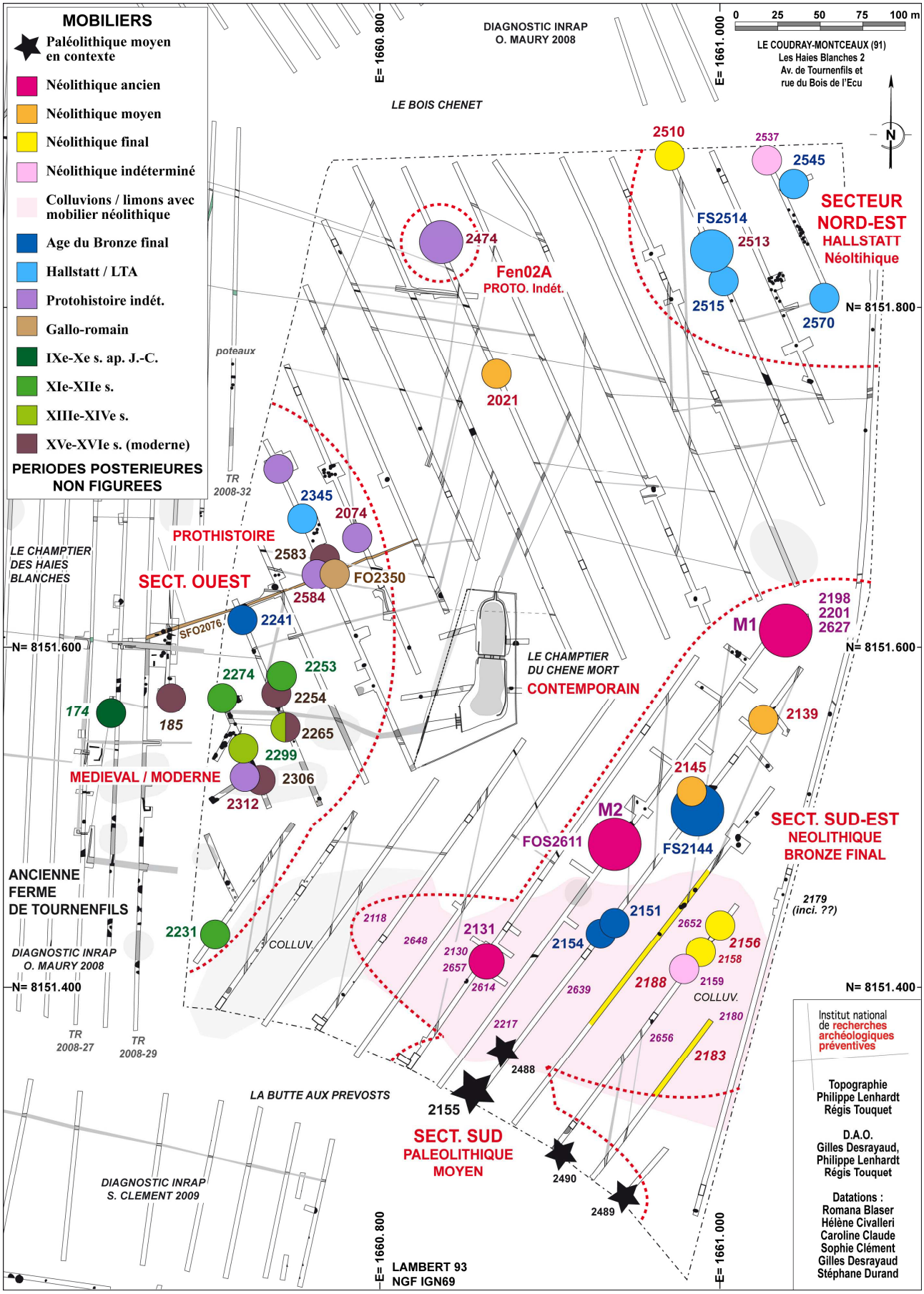

Fig 57: Plan de répartition des indices de datation et secteurs archéologiques
(© INRAP : G. Desrayaud)

2.3 CONCLUSION ET PERSPECTIVES
(Fig. 57)

SECTEUR SUD, Paléolithique moyen

Au sud de l'emprise, une demi-douzaine de sondages profonds ont permis de mettre en relation la présence d'unités sédimentaires du Pléistocène et d'une vingtaine de vestiges lithiques, indiquant l'existence d'un site du Paléolithique moyen, dont l'extension potentielle au sein de la prescription de diagnostic peut être estimée à environ 0,5 ha (**Fig. 10 et 57** ; **cf. § 2.2.1** : S. CLEMENT).

Il est intéressant de souligner que les éléments retrouvés plus au sud est, en 2009 (CLEMENT 2010), montrent une production distincte. Ceci confirme l'hypothèse de deux occupations différentes sur une même zone géographique très restreinte.

De telles sources d'informations, dans un contexte où la Préhistoire de l'Île-de-France n'est représentée que par une poignée de sites, sont capitales pour alimenter la recherche des périodes anciennes (**§ 2.2.1** : S. CLEMENT).

SECTEUR SUD EST, Néolithique et Bronze final

Au sud est des parcelles, des vestiges en creux et ramassages de mobiliers, sur environ 4,5 ha, témoignent de l'existence d'occupations du Néolithique ancien, moyen et final, ainsi que de l'âge du Bronze final (**Fig. 12 et 57** ; **cf. § 2.2.2** et **cf. § 3.1, 3.2 et 3.3** : R. BLASER, S. DURAND et H. CIVALLERI).

Pour la période du Rubané final / VSG ancien, la présence d'unités d'habitation à fosses latérales (**Fig. 14 à 19**), à la confluence Seine-Essonne, revêt un caractère exceptionnel et constitue un pôle de données archéologiques de première importance pour l'étude de la néolithisation de la région (**cf. § 3.2** : S. DURAND). Le site des Haies Blanches est l'un des rares sites découverts en plateau, les autres ensembles contemporains étant régionalement implantés dans la plaine alluviale (**cf. § 3.2** : R. BLASER**, Fig. 3.1.11**).

L'extension de cet habitat est difficile à cerner précisément à l'issue du diagnostic : l'existence d'une troisième maison est pressentie, et rien n'exclut l'hypothèse de plusieurs autres… Des mobiliers du Néolithique ancien ont été collectés sur l'ensemble du secteur sud est (**cf. § 3.1, 3.2** : R. BLASER, S. DURAND).

Pour le Néolithique moyen, le site occupe une place importante entre le site éponyme du Cerny, situé dans une commune limitrophe, et les sites fortifiés marqués par de grandes enceintes à Marolles-sur-Seine, Châtenay–sur-Seine, Balloy et Barbuise-Coutavant (**cf. § 3.2** : R. BLASER**, Fig. 3.1.12**).

L'ensemble des tessons du Néolithique final constitue un ensemble cohérent dans une zone délimitée. Les 340 tessons collectés sur un espace traversé d'une centaine de mètres de long résultent sans aucun doute d'une forme d'occupation, dont les modalités n'ont pas pu être décelées (**cf. § 3.2** : S. DURAND).

Pour le Bronze final, la richesse de l'assemblage céramique découvert dans le remplissage de la fosse 2144 et la présence de deux parures en alliage cuivreux laissent envisager l'existence d'une occupation domestique d'un statut tout à fait singulier dont on ne connaît pas encore d'équivalent dans le département de l'Essonne (**cf. § 3.3** : H. CIVALLERI).

Par ailleurs, l'identification de mobilier probablement lié à la métallurgie mérite d'être soulignée, dans la mesure où il est extrêmement rare d'observer de tels indices sur les sites de cette période (**cf. § 3.3** : H. CIVALLERI).

SECTEUR NORD EST, Néolithique et Hallstatt final (D1 ?)

Au nord est, une fosse du Néolithique final et quelques fragments lithiques, ainsi que des fosses utilitaires associées à des groupements de poteaux (une cinquantaine) attribuables à la fin du Ier âge du

Fer, se répartissent sur environ 1,5 ha (**Fig. 24 et 57** ; **cf. § 2.2.3** et **cf. § 3.2, 3.3 et 3.4** : S. DURAND , H. CIVALLERI, G . BAYLE).

Cette dernière période demeure mal connue et seuls une demi douzaine de site essonniens sont attestés à ce jour (**cf. 3.3** : H. CIVALLERI).

Secteur nord, Fenêtre 02-A, Protohistoire indéterminée

Au nord ouest du diagnostic (Fen02-A, env. 300 m^2), un groupe de trous de poteau semble appartenir à la Protohistoire (**Fig. 30 et 57** ; **cf. § 2.2.4** et **cf. § 3.3** : H. CIVALLERI). La faiblesse quantitative du mobilier récolté ne permet pas d'envisager de datation précise. Seule la découverte de nouveaux indices matériels plus discriminants permettrait, le cas échéant, de rattacher cet ensemble à l'une des occupations aux alentours (**cf. § 3.3** : H. CIVALLERI).

SECTEUR OUEST, Protohistoire indéterminée et périodes médiévale et moderne

A l'ouest des parcelles, des concentrations plus ou moins denses de vestiges en creux, sur environ 2 ha, correspondent à deux occupations diachroniques protohistorique et médiévale à moderne (**Fig. 34, 35 et 57** ; **cf. § 2.2.5**).

Au nord de ce secteur, des groupes de trous de poteaux (une vingtaine de faits au total) et une douzaine de fosses plus ou moins charbonneuses, attribuables à la Protohistoire, se répartissent sur plus d'1 hectare (**Fig. 34** ; **cf. § 3.3** : H. CIVALLERI).

La présence de trous de poteaux dans la tranchée 32 du diagnostic de 2008 pourrait indiquer une extension du site vers l'ouest (MAURY 2008).

Au sud de ce secteur, sur environ 1 ha, de nombreux faits, notamment dans les tranchées 21 et 22, correspondent à l'extension orientale de l'ancienne ferme de Tournenfils, attestée par les textes depuis le XVIIe s. et abandonnée au début des années 1970 (**Fig. 35** ; MAURY 2008 : p.554-101).

La présence de tessons XIe-XIIe s. répartis sur l'ensemble de la partie méridionale du secteur ouest suggère une création de l'habitat de Tournenfils dés le Moyen Âge classique (**Fig. 57** ; **cf. § 2.2.5**, C. CLAUDE). Un tesson IXe-IXe s., collecté dans un fossé pendant le diagnostic de 2008, évoque une fondation remontant même à la fin de la période carolingienne (Fabienne RAVOIRE dans MAURY 2008 : p. 27, fig. 23).

Les éléments des XIIIe-XIVe et XVe-XVIe s. semblent indiquer une continuité d'occupation jusqu'à la période moderne (**Fig. 44 et 45** ; **cf. § 3.5**, F. MORET-AUGER).

La présence de vestiges en creux similaires est également perceptible dans les tranchées 27 à 30 du diagnostic de 2008 (**Fig. 57** ; **plan joint**).

Elle suggère un développement de l'occupation médiévale et moderne au sud, au nord et à l'est du corps de ferme principal figuré sur les plans des XVIIIe et XIXe s. (**Fig. 50** ; MAURY 2008 : fig. 23 à 29)

Pont à deux arches et aménagements de la mare du *Champtier du Chêne Mort* (XIXe s.)

Au centre de l'emprise, les aménagements de la mare du *Champtier du Chêne Mort* ont fait l'objet d'un levé topographique détaillé (**Fig. 51** ; **plan joint**).

Une étude de bâti sommaire, ainsi que des documents cartographiques et des sources écrites, a permis de situer la construction du pont d'agrément à deux arches et des aménagements annexes pendant l'intervalle 1823-1899 (**cf. § 2.2.7**, Ph. LENHARDT).

2.4 Références bibliographiques générales

BAIZE D., JABIOL B. (1995) – *Guide pour la description des sols*. Paris : INRA, éditions [Techniques et pratiques], 375 p.

BÉNETIÈRE M.-H. (2006) – *Jardin. Principes d'analyse scientifique. Vocabulaire typologique et technique*. Ouvrage publié sous la direction du ministère de la Culture et de la communication, direction de l'Architecture et du Patrimoine, sous Direction des Etudes, de la Documentation et de l'Inventaire. Editions du Patrimoine

BOËDA E. (1994) – *Le concept Levallois : variabilité des méthodes*. Monographie du CRA, Ed. CNRS, 9, 280 p.

BRULEY E. (1928) – *Seine-et-Oise*. Collection des départements et pays de France. Paris, Albin Michel

BRUTUS F. (2015) – *Houdan (Yvelines), Route de Champagne, lots A et B : occupations du Paléolithique moyen, bâtiments agricoles et gallo-romains et implantations du haut Moyen Âge en fond de vallée de l'Opton : rapport de fouille*. Sous la direction de Fabrice Brutus par Sophie Clément, Aurélia Alligri, Emmanuelle du Bouëtiez-de-Kerorguen... [et al.] avec la collaboration de Hélène Civalleri, Céline Crochet, Victor Da Veiga Semedo... [et al.].- Pantin : Inrap CIF, 2015.- 2 vol. (394, 469 p.) : ill. en noir et en coul., couv. ill. en coul. ; 30 cm + 1 plan

CARTE GÉOLOGIQUE À 1/50000 (1969) - *feuille XXIII-16, ETAMPES*, coord. Ch. Pomerol. Bureau des Recherches Géologiques et Minières, Direction du Service Géologique et des Laboratoires, Orléans.

CLÉMENT S. (2010) – *Le Coudray-Montceaux (Essonne), La Butte aux Prévôts : rapport de diagnostic*. Par Sophie Clément, Christine Chaussé, Nicolas Samuélian, Fabrice Marti.- Pantin : Inrap CIF, 2010.- 1 vol. (89 p.) : 35 fig., ill. en noir et en coul., couv. ill. ; 30 cm + 1 plan

CONNET N. (2001) – *« La Butte aux Prévôts », carrière MEL de Mennecy et le Coudray-Montceaux (Essonne)*. DFS d'évaluation archéologique, Paris : SRA, Pantin : AFAN, 26 p.

COSTA L., ROBERT S. (2008) – Guide de lecture des cartes anciennes. Editions Errance. Paris.

FRICHOT (1899) – *Monographies sommaires en ligne*. Par l'instituteur Frichot en poste au Coudray-Montceaux entre1888 et 1900.Archives Départementales de l'Essonne (*http://portailweb.cg91.mnesys.fr*))

HARRIS E. C. (1989) – Principles of Archaeological Stratigraphy, London & New-York : Academic Press. Second Edition, 136 p.

MALCHERE B. (1989) – *Le Coudray-Montceaux (Département de l'Essonne)*. Ouvrage imprimé avec la participation de la Caisse d'Epargne d'Evry-Corbeil

MAURY O. (2008) – *Coudray-Montceaux (Essonne), "ZAC des Haies Blanches" : 1ère phase : rapport de diagnostic*. Par Olivier Maury et Sophie Benhaddou avec la collaboration de Josette Sarel et Chantal Delomier.- Pantin : Inrap CIF, 2008.- 1 vol. (90 p.) : 12 fig., ill. en noir et en coul. ; 30 cm

MASSOULIÉ M. (2016) – *Une industrie du Paléolithique moyen dans le Bassin parisien à travers son étude technologique*. Mémoire de Master 2, ss dir. Soriano S., Université Paris Ouest La Défense, 83 p. + annexes.

PÉROUSE DE MONTCLOS J.-M. (2004) – Architecture. Principes d'analyse scientifique. Méthode et vocabulaire. Editions du Patrimoine

PY M. (1997) - SYSLAT 3.1. Système d'Information Archéologique. Manuel de référence, *LATTARA*, 10, CEDAR, Lattes, ARALO, AFAN, 384 p.

SÉGUIER J.-M., MORIZE D. (1996) – « Les céramiques à revêtement argileux de Jaulges-Villiers-Vineux (Yonne) : éléments de typo-chronologie et approche de la diffusion d'après les données d'Île-de-France », dans : *S.F.E.C.A.G., Actes du Congrès de Dijon. Les productions céramiques gallo-romaines en Bourgogne*, p. 155-179.

RATHAUX B. (2011) – *Histoire de mon village. Le Plessis-Chenêt, commune du Coudray-Montceaux*. Editeur : La Compagnie Littéraire – Brédys.

III. Annexes

3 ANNEXES

3.1 ANNEXE 1 : ETUDE DU MOBILIER LITHIQUE NEOLITHIQUE (Romana BLASER, INRAP ; avec la coll. de Nicolas LE MAUX, Paris I)

Le mobilier lithique est particulièrement présent dans le secteur sud est de la parcelle diagnostiquée (**Fig. 12a-b** ; **Fig. 57**).

Il provient essentiellement du décapage sommital des structures en creux présentes au centre de la tranchée 16 (**Tabl. 3.1.1**) : 403 pièces ont été recueillies dans le sondage de la fosse 2611, alors qu'au nord, 71 pièces proviennent des trois sondages de la fosse 2201 (**Tabl. 3.1.2**).

427 pièces lithiques sur 515 proviennent de tests ponctuels effectués sur les deux unités d'habitation identifiées. Ce test a été mécanique sur une trentaine de m² et manuel sur 3 à 5 m².

Les vestiges lithiques sont présentés en fonction de l'organisation spatiale de l'occupation perçue sur le terrain qui oppose un espace interne lié à l'habitat et un espace externe.

SECTEUR	n° TR	nb
SE	**TR.16**	**515**
SE	**TR.10**	**96**
SE	**TR.11**	**25**
SE	**TR.12**	**19**
SE	**TR.13**	**6**
SE	**TR.15**	**7**
SE	**TR.14**	**3**
NE	TR.29	3
-	TR.17	2
O	TR.23	1
-	TR.25	1
-	TR.27	1
NE	TR.30	1
-	TR.9	1
O	TR.7	1
	total	**682**

Tabl.3.1.1 : Répartition des pièces lithiques par tranchée

Secteur sud est, TR.16		
Fosse	**2198**	**1**
Fosse	**2201**	**71**
colluvions	2217	15
Poteau	2606	1
Fosse	**2611**	**403**
Fosse	**2617**	**6**
	2636	**18**
total		**515**

Tabl. 3.1.2 : Répartition des pièces lithiques, TR.16 (en gras mobilier dans des fosses latérales supposées)

3.1.1 Matières premières et l'environnement minéral

Les ressources minérales les plus proches se situent à moins d'1 km pour le silex secondaire de la vallée de la Seine. Des matériaux gréseux sont présents un peu plus haut sur le site (**Fig. 5**).

Le silex d'origine secondaire est représenté par plusieurs blocs de colorations et de textures variées. Le silex de couleur miel à brun gris, à grain fin et translucide est le plus employé (**Fig. 3.1.1**).

Fig. 3.1.1 : Silex secondaire, fosse 2611 (© INRAP : Romana Blaser)

Le silex tertiaire est également présent en moindre quantité. Ses lieux de provenance les plus proches se situent autour des vallées de l'Yerres (DURAND 2008) et de la Seine (LE JEUNE, OLIVE 2010 ; **Tabl. 3.1.3**).

secondaire	627
tertiaire	25
grés	16
quartz	3
fibrolite	1
indéterminé	10
total	**682**

Tabl. 3.1.3 : Matières premières

La sélection des matières premières semble variée entre unités d'habitations et entre la partie nord et sud du site néolithique du secteur est (**Fig. 12a** : nord et **Fig. 12b** : sud).

Au nord, la part du silex tertiaire est significative, tout comme l'absence de matériaux gréseux.

Au sud, la présence de silex tertiaire est sporadique alors que les matériaux gréseux prennent de l'importance (**Tabl. 3.1.4**)

Nord Sect. SE (TR.16)	
secondaire	64
tertiaire	7
total	**71**
Sud Sect. SE (TR.16)	
secondaire	410
tertiaire	1
grès	15
quartz	1
total	**427**

Tabl. 3.1.4 : Matières premières, comparaison entre les deux habitations supposées, TR.16

Les travaux pionniers menés autour du site d'Etiolles (MAUGER 1985) révèlent les difficultés et les limites d'une identification des sources d'approvisionnement minéral, particulièrement pour le silex secondaire. Le silex secondaire du Coudray-Montceaux diffère de celui identifié sur le proche plateau de Sénart où un « silex châtain roux, ou jaunâtre, plus au moins roulés, allongés, cassés ou entiers » (LABOUGUIGNE, TURLAND 2000) est prépondérant sur les sites néolithiques (BLASER *et al.* 1999). Les lieux d'acquisition pour le silex secondaire du Coudray-Montceaux semblent être la vallée située en contre bas du plateau, au sein des formations résiduelles des hautes et moyennes terrasses (PLATEAUX 1990).

frais	613
brûlé	40
patiné	13
voilé	10
gélif	6
total	**682**

Tabl. 3.1.5 Etat de surface

Aucune altération post-dépositionnelle n'est visible, en dehors d'un taux important de silex brûlé (**Tabl.5**).

3.1.2 Lithique dans des maisons du Rubané final / VSG Ancien

Maison 1 : 2201 et 2198,
Maison 2 : 2611, 2617 et 2636
(Fig. 14 à 17)

Les deux maisons identifiées ont livré des productions lithiques proches dans leur composition. Les éclats de plein débitage bruts dominent la série (**Tabl. 3.1.6 et 3.1.7**). Ils témoignent, comme les nucléus, d'une recherche de support/éclat de dimension réduite. Les douze nucléus, dont cinq fragmentés, ont été débités jusqu'à exhaustion ce qui ne permet pas une identification des schémas opératoires employés.

M1 : 2201 et 2198	
éclat cortical	2
éclat semi cortical	2
éclat à dos cortical	4
éclat de plein débitage	27
lame	5
lamelle	2
fragment de nucleus	1
pièce façonné	1
débris	2
fragment	26
total	**72**

Tabl. 3.1.6 : Catégories technologiques, fosses 2201 et 2198

M2 : 2611, 2617, 2636	
bloc brut	1
éclat cortical	7
éclat semi cortical	24
éclat à dos cortical	10
éclat de plein débitage	128
nucleus	7
fragment de nucleus	4
lame	26
lamelle	17
esquille	175
fragment	23
débris	5
total	**427**

Tabl. 3.1.7 : Catégories technologiques, fosses 2611, 2617 et 2636

Les éclats ont une dimension moyenne de 29 x 24 x 5 mm. Leur épaisseur les distingue des autres séries contemporaines de la confluence Seine-Yonne, où les éclats sont courts et épais (AUGEREAU 2004). La percussion dure domine sur des plans de frappe lisses ou facettés.

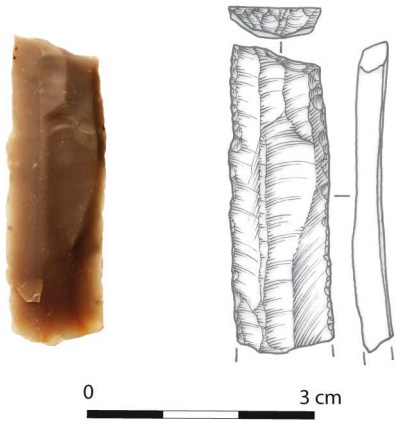

Fig. 3.1.2 : Lame, ram. 2639, colluvions 2153-1, TR11 (© INRAP : Laurent Petit, Eve Boitard)

Fig. 3.1.3 : Lames, fosse latérale 2611, TR16 (© INRAP : Laurent Petit)

Deux produits lamino-lamellaire sont obtenues par percussion indirecte. Les supports laminaires sont de taille réduite, en moyenne 33 x 13 x 3 mm (**Fig. 3.1.2 et 3.1.3**), et la plus grande lame mesure 50 mm.

Ces dimensions évoquent celles des productions Rubanée connues régionalement (ALLARD, BOSTYN 2006).

L'absence de nucleus laminaire caractérise cette série. Trois tablettes de ravivage (2611 et 2636) et quatre lames à crête, toutes situées au sud (2611 et 2639), témoignent des phases de préparation (**Fig. 3.1.4**).

Fig. 3.1.4 : Lame à crête, fosse latérale 2611, TR16 (© INRAP : Laurent Petit)

Outillage

L'outillage est semblable dans les deux ensembles, composé de grattoirs, de microburins, de pièces esquillées et d'armatures (**Tabl. 3.1.8 et 3.1.9**). Eclats et lames sont sélectionnés dans des proportions équivalentes pour confectionner ces outils.

Pour les grattoirs, trois sont réalisés sur des éclats semi-corticaux, trois sur des éclats de plein de débitage et trois sur des lames. Les pièces esquillées sont réalisées sur des éclats et des débris.

Deux supports laminaires et quatre éclats ont servi à confectionner des microburins (**Fig. 3.1.5**).

Deux armatures, une géométrique et une perçante, proviennent vraisemblablement de supports laminaires (**Fig. 3.1.6**). La coexistence de deux types d'armature confirme les modèles établis sur les processus de néolithisation et l'influence des traditions mésolithiques. L'armature perçante est obtenue par la technique du micro-burin, ce qui peut indiquer des transferts techniques des derniers mésolithiques (MARCHAND 2003).

Les produits laminaires sont également retouchés : trois lames sont transformées en grattoir, une est retouchée sur deux bords et deux sur un seul.

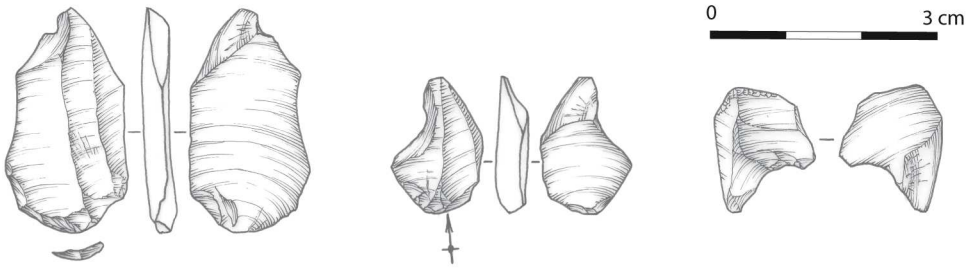

Fig. 3.1.5 : Microburins, secteur sud-est (© INRAP : Eve Boitard)

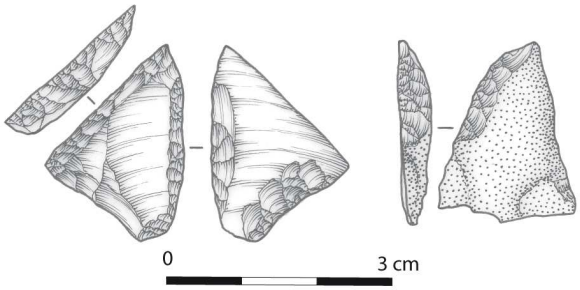

Fig. 3.1.6 : Armatures, secteur sud-est (© INRAP : Eve Boitard)

M 1 : Outils	
micro-burin	2
grattoir	1
armature	1
total	**4**

Tabl. 3.1.8 : Outils de la fosse latérale FS2201

M2 : 2611, 2617, 2636	
Micro-burin	10
Grattoir	8
Racloir	1
Coche	1
pièce esquillée	6
Perçoir	1
Percuteur	2
Armature	1
Total	**30**

Tabl. 3.1.9 : Outils de la fosse latérale FOS2611 (2611, 2617, 2636)

Une structuration a été observée à 100 mètres plus au sud de la seconde unité d'habitation (fenêtres 10A à 10D, TR10 ; **Fig. 12b**). Les vestiges lithiques (96) proviennent du décapage mécanique d'au moins quatre fosses (notamment 2131). Les produits laminaires sont obtenus par percussion indirecte, comme dans les fosses latérales 2201 et 2611. L'outillage comprend deux pièces esquillées et un grattoir. Le rattachement à l'ensemble situé plus au nord reste hypothétique en l'absence d'armatures et de micro-burins.

TR10	
éclat cortical	2
éclat semi cortical	12
éclat à dos cortical	7
éclat de plein débitage	19
Hache	1
Lame	4
Lamelle	1
Nucleus	6
fragment de nucleus	3
Esquille	20
Débris	10
Fragment	11
Total	**96**

Tabl. 3.1.10 : Catégories technologiques, TR.10

3.1.3 Fosse 2145 : Néolithique moyen

Au centre du secteur sud est, la fosse 2145 a livré neuf pièces lithiques, dont une hache polie et des éclats (Fen11-A ; **Fig. 12**).

Les éclats sont principalement des supports de plein débitage obtenus par percussion dure. Deux fragments proximaux de même dimension correspondent à des mises en forme d'armatures tranchantes (**Fig. 3.1.7**).

Fig. 3.1.7 : Armatures tranchantes, en cours de fabrication, FS2145 (© INRAP : Romana Blaser)

Fig. 3.1.8 : Lames et nucléus, ramassage 2139, TR11 (© INRAP : Romana Blaser)

En tranchée 11, les pièces lithiques à proximité (ram. 2139, **Fig. 12a**) diffèrent des productions rubanées. Les supports laminaires sont de plus grande dimension, débités par percussion dure tendre (**Fig. 3.1.8**).

Le nucleus se distingue aussi par son organisation unipolaire et son peu de préparation, en conformité avec les industries du Néolithique moyen (AUGEREAU 2004).

3.1.3.1 Hache polie miniature de la fosse 2145 et divers (Nicolas Le Maux, Paris I)

Sollicités pour expertise, nous présentons ici les premiers éléments de caractérisation archéologique et minéralogique d'une hache miniature trouvée dans l'emprise sud-orientale du diagnostic du site de la ZAC des Haies Blanches 2 du Coudray-Montceaux. Elle a précisément été recueillie dans une fosse sub-ovalaire, nommée 2145, décapée à l'occasion de l'ouverture de la fenêtre 11-A(**Fig. 12**). Cette fosse est située à quelques mètres d'une structure semblable à une unité d'habitation (BAT2208, FOS2611, TR16). L'extension de ce secteur se caractérise par la présence de quelques unités domestiques qui semblent, selon le plan, caractéristiques d'occupations danubiennes (trous de poteaux et fosses latérales parallèles ; **Fig. 12** ; **plan joint**).

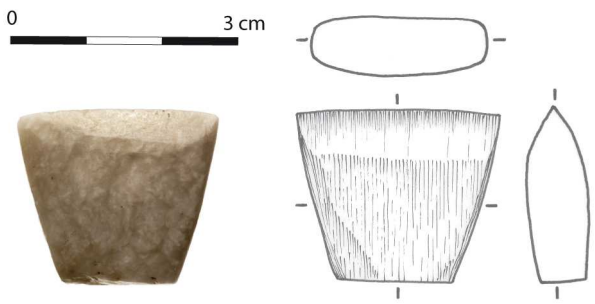

Fig. 3.1.9 : Hache miniature de la fosse 2145 (© INRAP, Laurent Petit, Eve Boitard)

La roche dont est composée cet outil lithique poli présente une teinte laiteuse blanc crème, intensément marbrée de passées grisâtres-brunâtres claires. Sa structure est de type filandreuse, presque saccharoïde et elle présente en surface des reflets luisants et nacrés. Le grain de la roche est très fin comme on peut l'apprécier sur le talon qui présente une surface brute, à peine égrisée par polissage (**Fig. 3.1.9**). De plus, on aperçoit de très nombreuses stries de polissage nettement marquées à la surface de l'objet, et plus particulièrement vers le tranchant, témoin de la faible rugosité du matériau.

Il s'agit de la variété fibreuse d'une roche sillimanitique (néo-sillicate d'alumine de formule $Al_2O(SiO_4)$ en bouquets de fibres accolées, couramment désignée en tant que fibrolite dans la littérature archéologique.

En dehors de la Péninsule ibérique où ce matériau est abondamment employé pour la confection de haches, des gisements bien plus proches du site du Coudray-Montceaux sont à retenir comme source d'approvisionnement de cette hachette.

On connaît des gîtes primaires et secondaires dans la frange orientale du Massif central, et plus particulièrement dans les formations métamorphiques de la haute vallée de l'Allier (Haute-Loire) et de la basse vallée de l'Alagnon (Cantal). D'autres amas ont également été reconnus dans le secteur de Saint-Ours et de Pontgibaud en Puy-de-Dôme, et les alluvions des hautes terrasses de l'Allier contiennent également des gîtes fibrolitiques jusqu'en Bourbonnais (SURMELY *et al.*, 2001). Mais comme le relate E. Thriraut, les haches en fibrolite issues des gîtes du Massif central ne diffusent cependant guère au-delà de 150 kilomètres, tout du moins vers l'Est, en vallée du Rhône (2004).

D'autres gisements localisés en Péninsule armoricaine, correspondraient selon toute vraisemblance à la source de matière première de cette hache. Les travaux sur ces matériaux montrent qu'il existait deux principales types de concentrations de fibrolite en Armorique (GUIAVARC'H, QUERRÉ 2012). Ainsi, on retrouve premièrement la fibrolite de type "Plouguin" (nord-ouest du Finistère), de couleurs et d'aspects variés qui se présente sous la forme de blocs massifs jusqu'à la taille de plusieurs décimètres. Cependant, les fibrolites que l'on rencontre à Arzon (Morbihan) présentent les mêmes caractéristiques macroscopiques que celle de type Plouguin. Des inclusions minérales sont seules susceptibles de différencier ces deux gîtes de fibrolite. Alors que les roches de Plouguin présentent des taches vertes, constituées de micas et de rutile, qui sont caractéristiques de ce gisement, la spécificité des fibrolites d'Arzon consiste en des inclusions de grains de biotite et de feldspaths.

Enfin, d'autres fibrolites sont caractéristiques d'un autre gisement dans la presqu'île du Conquet (Finistère), et plus spécifiquement à Kermorvan. Cette fibrolite de type « Kermorvan » se caractérise par des très petits blocs bruts sous forme de plaquettes atteignant le centimètre en épaisseur, et le

plus souvent, moins de 5 cm de longueur. Elles sont généralement blanchâtres à grisâtres et parfois marbrées de brun. L'étude pétrographique de cette variété de fibrolite montre une roche constituée par de longues fibres, parallèles les unes des autres, ce qui leur donne cet aspect filandreux. Il n'y a peu ou pas d'inclusion dans cette variété de fibrolite. Enfin, d'autres sources ont éventuellement été exploitées au Néolithique dans d'autres secteurs du Massif armoricain, comme par exemple, des affleurements du Finistère sud ou bien encore, aux environs de Saint-Malo en Côtes-d'Armor.

L'exemplaire retrouvé dans la fosse 2145 du Coudray-Montceaux (Essonne) s'apparente plutôt à une fibrolite de type Kermorvan originaire de la pointe nord-occidentale du Finistère. Mais en l'absence d'une caractérisation d'éventuelles inclusions, on ne peut toutefois exclure une origine depuis la source d'Arzon en Morbihan. Et bien que cette première identification macroscopique soit tout à fait pertinente, elle constitue un premier jalon puisque des analyses physico-chimiques par spectroscopie infrarouge (FTIR-RS), strictement non destructives et conduites sous notre contrôle au MNHN, sont d'ores et déjà prévues.

Il s'agit donc d'une hache en matériau clairement exogène, dont l'approvisionnement lointain depuis les gîtes du Massif armoricain s'échelonne sur des distances comprises entre 400 kilomètres pour l'hypothèse d'Arzon en Morbihan, jusqu'à plus de 530 kilomètres dans le cas de Kermovan en Finistère.

Afin d'étayer la datation de cette hache, il faut maintenant se tourner du côté de sa typologie permettant de recenser des éléments comparables. Cette hachette est de forme trapézoïdale à tranchant droit et à section de tendance quadrangulaire. Elle ne mesure que 23 mm de long sur 26,5 mm de largeur (pour 15,5 mm de large au talon) et 8 mm d'épaisseur (**Fig. 3.1.9**). Ses dimensions ainsi que le matériau qui la constitue lui confèrent un statut tout particulier. Il s'agit en effet d'un exemplaire de hachette miniature, que certains considèrent d'ailleurs comme de véritables bijoux ou comme des biens d'échange fortement valorisés. On ne peut cependant nier le caractère fonctionnel de cette hachette une fois emmanchée dans son dispositif de gaine en bois de cerf, ligatures et manche. Une utilisation en tant que ciseau ou gouge, dans une action de percussion directe et posée, peut d'ailleurs être soulevée pour cet individu.

Sa présence est un fait extrêmement rare pour le centre du Bassin parisien. En effet, on n'en connaît que de très rares exemplaires disséminés ça et là en vallée de la Seine, qui ont d'ailleurs été recueillis en dehors de tout contexte archéologique structuré et daté (LE MAUX 2007 et 2010). Les seuls éléments de comparaison en contexte que nous ayons en val de Seine proviennent de sépultures collectives du Néolithique récent/final, comme par exemple à Argenteuil *Le Désert*, et à Vauréal *Le Cimetière des Anglais* (Val-d'Oise). Cependant, ces éléments de comparaison ne sont pas les plus adéquats puisqu'il s'agit de haches-pendeloques dont les extrémités proximales sont perforées. Elles constituent une autre catégorie de mobilier à classer au sein des parures.

C'est dans le cadre extra-régional que se trouvent les plus proches éléments de comparaison. D'autres petites hachettes, ou haches miniatures aux formes quadrangulaires, triangulaires ou trapézoïdales, sont en effet connues dans des contextes datés du Néolithique moyen I et II en dehors d'Île-de-France, et plus particulièrement en Loire-Atlantique et en Basse-Normandie.

Le site de *La Grande Grée* de Sandun à Guérande (Loire-Atlantique) a livré deux hachettes en fibrolite similaires à l'exemplaire du Coudray-Montceaux. Elles ont été trouvées lors d'une campagne de fouilles de sauvetage programmée entreprise de 1987 à 1988 sur une surface d'environ 3000 m^2. Elles ont mis en évidence un ensemble de fosses, incluses dans un important retranchement doublement fossoyé et palissadé (LETTERLÉ 1990, p. 299). Si l'occupation débute au Néolithique moyen I, ce sont surtout les structures et les vestiges du Néolithique moyen II qui sont le plus représentés sur le site.Le second exemple provient du paléosol qui se trouvait sous dolmen de Cairon *La Pierre Tourneresse* (Calvados) (Ghesquière et Marcigny 2011). Sur les trois petites hachettes quadrangulaires en fibrolite que contenait ce sol ancien, deux sont clairement contenues dans cette occupation attribuée à la fin du Néolithique moyen I et du tout début du Néolithique moyen II.Le troisième élément de comparaison provient des fouilles programmées de La Burette de Banvillle, où G. Kerdivel a récemment recueilli deux hachettes identiques au sein de structures fossoyées et attribuées au Néolithique moyen II. Le site contient néanmoins quelques structures fugaces datant du Néolithique moyen I (information G. Kerdiel, *inédit*). Enfin, un grand nombre de hachettes en fibrolite aux dimensions et de matériau analogues proviennent de prospection de surface menées à Banville *La Fougère* et également à *La Burette*. Ils constituent de probables dépôts laminés par les labours, toujours dans une

ambiance relative au Néolithique moyen I et II (LE MAUX 2014 et 2015).

On ne peut tout de même pas exclure l'emploi de ce matériau pour la fin du Néolithique ancien. Mais après nos vérifications minéralogiques (LE MAUX, CASSEN, *à paraître* 2017), les uniques cas avérés d'outillage lithique poli en fibrolite de cette époque concernent quelques éléments trouvés lors de la fouille de l'habitat Villeneuve-Saint-Germain du *Haut-Mée* à Saint-Étienne-en-Coglès (Ille-et-Vilaine) (CASSEN *et al.* 1998). Cependant, ils n'ont ni la forme ni le gabarit caractéristiques de la hache miniature présentée ici, et qui, par sa typologie singulière, ne s'apparente en rien aux exemplaires du Néolithique ancien.

La fosse 2145 du site du Coudray-Montceaux comprend donc un élément lithique poli très atypique dans l'horizon néolithique francilien. Constituée dans une fibrolite issue d'un approvisionnent clairement extra-régional de sphère lointaine, cette hachette miniature constitue en soit un élément exceptionnel pour nos contrées. Les comparaisons typologiques avec d'autres sites indiquent que nous sommes en présence d'un élément lithique qui se situerait plutôt en plein Néolithique moyen. Il conviendra d'étayer la datation absolue et/ou relative de la fosse en question, ainsi que de mieux comprendre sa relation dans la succession des unités d'habitation et l'occupation globale du site par une fouille extensive que nous espérons conduite par la suite.

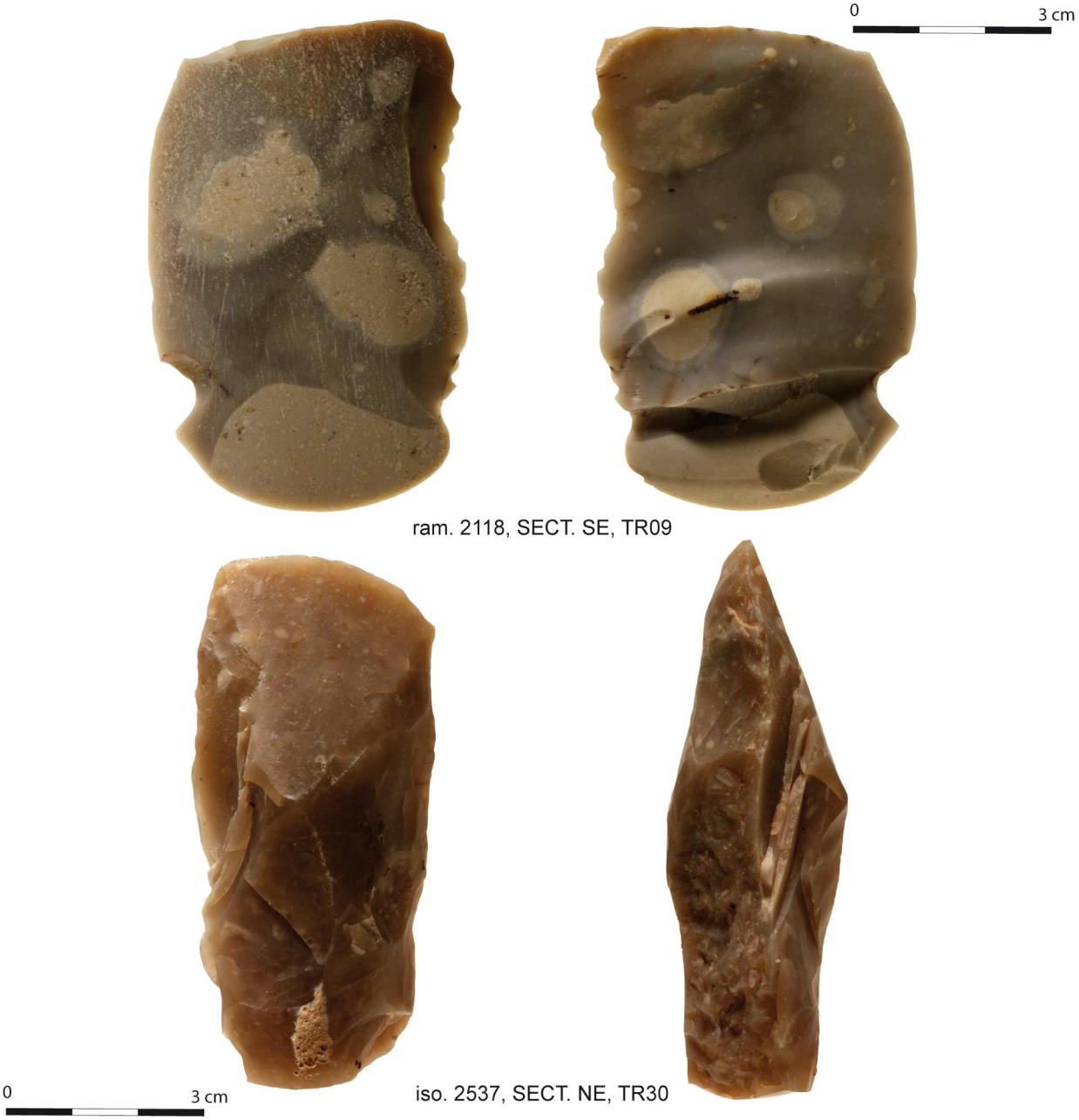

Fig. 3.1.10 : Fragments de haches 2118 et 2537 (© INRAP, Laurent Petit)

Deux fragments de hache polie en silex secondaire témoignent d'une occupation diachronique de la zone (**Fig. 3.1.10**).

La première (ram. 2118, TR09 ; **plan joint**) se trouve à l'ouest de l'occupation du Néolithique ancien. Il s'agit d'un fragment de hache de taille moyenne, recyclée en nucléus et qui porte des traces d'écrasement sur les bords.

La deuxième (iso 2537, TR30 ; **Fig. 57**, **plan joint**) au nord, possède un tranchant très vif et une encoche sur le bord droit.

3.1.4 Conclusion

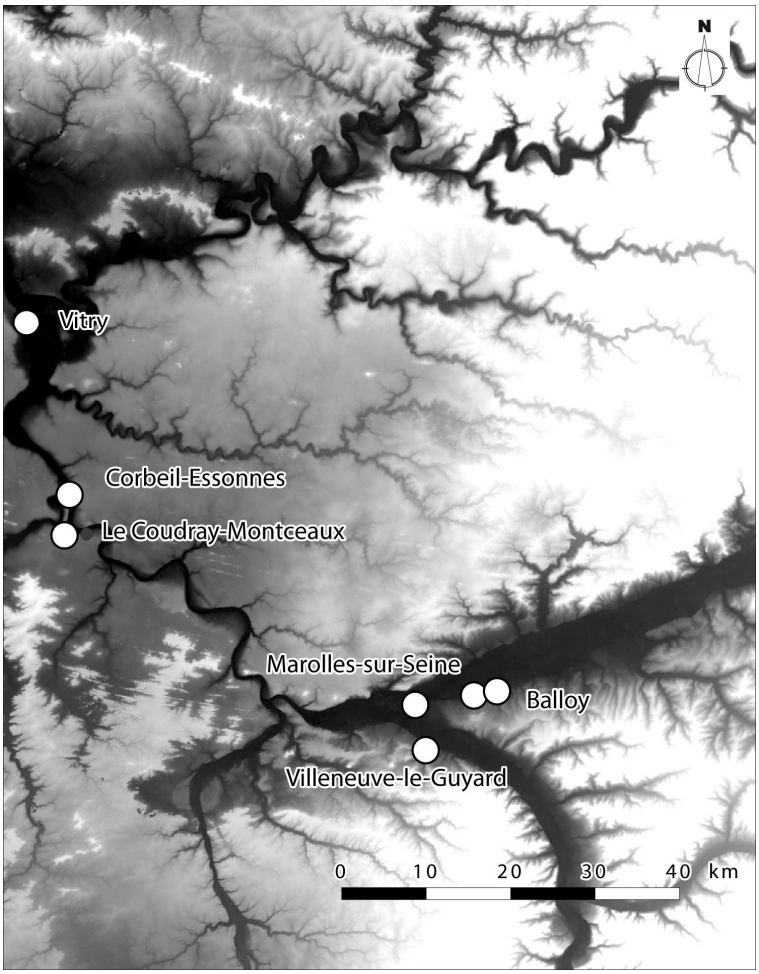

Fig. 3.1.11 : Carte des sites Rubané final / VSG ancien dans le secteur proche du Coudray-Montceaux (© INRAP, Romana Blaser)

3.1.4.1 Rubané final / VSG ancien

Le mobilier lithique issu des fosses latérales renvoie au Rubané, par ses traits techniques et son outillage. Les produits laminaires débités par percussion indirecte, correspondent aux modules métriques établis régionalement (ALLARD, BOSTYN 2006). Les déchets de taille liés à leur production (tablettes, lames à crêtes) sont aussi caractéristiques. Le taux élevé de microburins (12) et la présence de deux armatures confèrent à ce site le statut très particulier de lieu de fabrication d'armatures. D'autres outils, comme les pièces esquillées et les grattoirs, forment le fonds commun (ALLARD, BOSTYN 2006). La comparaison avec les sites de la confluence Seine –Yonne montre une particularité dans l'outillage, malgré la différence de contexte d'intervention (grandes fouilles *vs* quatre sondages de diagnostic) (**Tabl. 3.1.11**). Le Coudray-Montceaux est un des rares sites en plateau, les autres ensembles contemporains étant régionalement implantés dans la plaine alluviale (**Fig. 3.1.11**).

Outils	**Confluence Seine-Yonne** (en moyenne)	**Coudray-Montceaux**
Microburin	4	12
Armatures	6,2	2
Grattoirs	159	9

Tabl. 3.1.11 : Comparaison des outillages des sites de la confluence Seine-Yonne (Balloy, Barbey, Passy, Villeneuve la Guyard) avec le site du Coudray Montceaux (d'après AUGEREAU 2004, p. 91 et p. 117)

3.1.4.2 Néolithique moyen

Des indices du Néolithique moyen sont aussi présents aux alentours de la fosse 2145. La présence d'une hache polie miniature en fibrolite a peu d'équivalence sur le territoire francilien. Les deux armatures tranchantes à partir de fragments proximaux d'éclats, les supports laminaires et les fragments de haches polies rattachent cet ensemble au Cerny ou à des phases plus tardives du Néolithique moyen II.

Le site du Coudray occupe une place importante entre le site éponyme du Cerny, situé dans la commune limitrophe, et les sites fortifiés marqués par de grandes enceintes à Marolles-sur-Seine (BLANCHARD *et al.* 2016), Châtenay–sur-Seine (MORDANT 1989), Balloy (MORDANT 1992) et Barbuise-Coutavant (PIETTE 1989 ; **Fig. 3.1.12**).

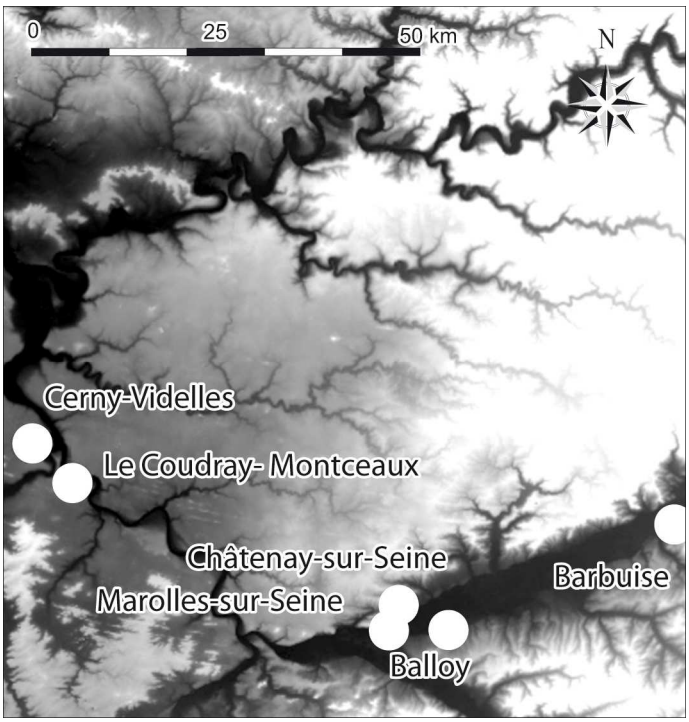

Fig. 3.1.12 : Carte des sites Cerny dans le secteur proche du Coudray-Montceaux (© INRAP, Romana Blaser)

3.1.5 Références bibliographiques de l'Annexe 3.1

Allard, Bostyn 2006
ALLARD (P.), BOSTYN (F.) – Genèse et évolution des industries lithiques danubiennes du Basin parisien, 28 – 60 p., *In :* Allard P., Bostyn F., Zimmermann A., Contribution des matériaux lithiques dans la chronologie du Néolithique ancien et moyen en France et dans les régions limitrophes, Session de l'EAA, BAR International Series 1494, 28- 60 p

Augereau 2004
AUGEREAU (A.) – L'industrie du silex du Ve au IV e millénaire dans le sud-est du Bassin parisien, dAF 97, 2004,p. 221

Blanchard *et al.* 2016
BLANCHARD (A.), DUFOURNET (A.), MOREAU (C.), GANDIA (D.), FOUCRAS (S.) – L'enceinte Cerny des Janchères à Marrolles-sur-Seine (Seine-et- Marne), Internéo 11, 2016, p. 49-58

Blaser *et al.* 1999
BLASER (R.), IRRIBARRIA (R.), WUSCHER (P.), BLASER (F.),
SARON (E.), MONCHABLON (C.) et WATTEZ (J.) - Acquisition et production des ressources minérales sur plateau au Néolithique ancien : données récentes du sud d'Île de France à Moissy-Cramayel et Tigery *In :* LOUBOUTIN (C.), VERJUX (C.)(dir.), Zones de production et organisation des territoires au Néolithique, *Actes du 30e Colloque Interrégional sur le Néolithique*, Tours – Le Grand-Pressigny, 7-9 octobre 2011,51e supplément à la Revue Archéologique du Centre de la France, 2014 p. 43-56

Cassen *et al.* 1998
CASSEN (S.), AUDREN (C.), HINGUANT (S.), LANNUZEL (G.) et MARCHAND (G.)– L'habitat Villeneuve-Saint-Germain du Haut-Mée (Saint-Étienne-en-Coglès, Ille-et-Vilaine). Bulletin de la Société préhistorique française, 95-1, 1998, p. 41-76.

Duhamel, Prestreau 1987
DUHAMEL (P.), PRESTREAU (M.) – Les population néolithiques du Bassin parisien, *Archeologia*, n°230, 1987, p. 54- 65.

Durand 2008
DURAND (J.) - Le néolithique sur le plateau de Sénart *Dynamique d'évolution du plateau de Sénart*, Rapport de PAS 2009, Inrap, 68-78 p.

Laburguigne, Turland 2000
LABURGUIGNE (J.), TURLAND (M.) - Notice carte géologique Melun, BRGM, 29 p.

Le Jeune, Olive 2010
LE JEUNE (Y.), OLIVE (M.)- La taphonomie des occupations tardiglaciaires dans la vallée de la Seine autour d'Étiolles :

l'achèvement d'un programme, *Etiolles, rapport d'activité 2010*, UMR 7041

Ghesquiere, Marcigny 2011
GHESQUIERE (E.) et MARCIGNY (C.) (*dir.*), – *Cairon. Vivre et mourir au Néolithique. La Pierre Tourneresse en Calvados.* Presses Universitaires de Rennes, Coll. Archéologie et Culture, 2011,200 p.

Guiavarc'h ,Querré 2012
GUIAVARC'H (M.) et QUERRE (G.) – La fibrolite du Massif armoricain. Etat des recherches sur les gisements et la caractérisation des haches polies néolithiques. *In*, MARCHAND G. et QUERRÉ G. (*dir.*), *Roches et Sociétés de la Préhistoire. Entre massifs cristallins et bassins sédimentaires*. 2012, Coll.Archéologie et Culture, Presses Universitaires de Rennes, p. 291-306, pl. couleurs XLIV-XLV.

Guerin , en cours
GUERIN (S.) – Vitry –sur-Seine, Rapport de fouille, Inrap, en cours

Le Maux 2007
LE MAUX (N.) - Les lames de hache polies en roches tenaces et en grès-quartzite de la Basse vallée de la Seine (de Paris au Havre) du Néolithique Ancien à l'Âge du Bronze. *Mémoire de Master II de l'Université de Paris I (Panthéon-Sorbonne)*, 2 t, 2007,178 p.

Le Maux 2010
LE MAUX (N.) - Les lames de hache en roches tenaces et en grès-quartzite de la Basse vallée de la Seine (de Paris au Havre), *in*, Billard C. et Legris M., (dir.), Premiers néolithiques de l'Ouest. Cultures, réseaux, échanges des premières sociétés néolithiques à leur expansion. Actes du colloque interrégional sur la Néolithique du Havre, Novembre 2007. *Presses Universitaires de Rennes*, Archéologie et Culture, 2010, p. 237-271.

Le Maux 2014
LE MAUX N., avec la collaboration de PIEL-DESRUISSEAUX (J.-L.), – Grandes haches en « jades » d'origine alpine en Basse-Normandie – Etat des lieux, relations et interprétations sociales. *In*, R.-M. Arbogast et A. Greffier-Richard, (*dir.*), *Entre Archéologie et Écologie, une Préhistoire de tous les milieux. Mélanges offerts à Pierre Pétrequin*. Besançon, Annales littéraires de l'Université de Franche-Comté, Presses Universitaires de Franche-Comté, 2014, p. 173-186.

Le Maux 2015
LE MAUX (N.) – Les lames de haches taillées et polies néolithiques en roches tenaces de Basse-Normandie - typologie, production, minéralogie, circulations et chronologie. Rapport pluriannuel d'activité scientifique de la région Basse-Normandie – années 2011 à 2015. Section inventaires, prospections thématiques et analyses : Synthèse régionale. Ministère de la Culture et de la Communication – Architecture et Patrimoines. Direction Régionale des Affaires Culturelles de Basse-Normandie. Service Régional de l'Archéologie. Conseil Général de l'Orne. 2 tomes, 2015,351 p., 168 fig., 28 tabl. et 3 annexes.

Le Maux *et al. à paraître* 2017
LE MAUX (N.) et CASSEN (S.), avec la collaboration de DURAND (J.), LAROCHE (M.), LE GOUESTRE (D.) et VIGIER (E.)– Production et diffusion de parures néolithiques en séricite et autres micas en quart nord-ouest de la France dans son contexte européen. *In*, CASSEN (S.), QUERRE (G.) et VIGIER (E.) (*dir.*), *La parure en callaïs (variscite, turquoise) du Néolithique européen. Nature, origine, exploitation, circulation, utilisation*. Actes du colloque international Callaïs de Carnac, 1er et 2 Avril 2015. 17 p., 8 fig., 1 tab. *à paraître* 2017

Letterlé 1990
LETTERLE (F.), avec la collaboration de LE GOUESTRE (D.), et LE MEUR (N.) – Le site d'habitat ceinturé du Néolithique moyen armoricain de Sandun à Guérande (Loire-Atlantique). Essai d'analyse des structures. *In :* CAHEN (D.), et OTEE (M.) (éds), Rubané et Cardial. Actes du colloque de Liège, Nov. 1988. Éd. Études et recherches archéologiques de l'Université de Liège, 1990, p. 299-314.

Mauger 1985
MAUGER (M.) - Les minéraux siliceux utilisés au Paléolithique supérieur en Ile-de-France. Occupation du territoire, déplacements et approche des mouvements saisonniers, *Thèse de doctorat de l'Univerisité de Paris I***,** 294. p.

Mordant 1989
MORDANT (D.) – Noyen et les enceintes de la Bassée : approche des questions culturelles
In : Le Néolithique dans l'Est de France, 1989, p. 119 -127.

Mordant 1991
MORDANT (D.) – Le site des Réaudins à Balloy (Seine-et-Marne) : premières résultats *In* : Actes du XVe colloque interrégional sur le Néolithique, Châlons-sur- Marne, 1991, p. 33-43

Mordant 1992
MORDANT (D.) – Balloy , Les Réaudins : enceinte du Néolithique moyen, culture de Cerny : programme d'intervention archéologique dans les carrières de granulats de la Bassée (Seine-et-Marne), Service départemental du patrimoine de Seine-et-Marne, 1992, p.108

Piette 1989
PIETTE (J.) – Le camp néolithique moyen (Cerny) de Barbuise-Courtavant (Aube), *In* Pistré- et Protohistoire de l'Aube , 1989, p.123- 133.

Plateaux 1990
PLATEAUX (M.) – Quelques données sur l'évolution des industries du Néolithique danubien de la vallée de l'Aisne, In : *Rubané et Cardial*, Actes du colloque de Liège, E.R.A.U.L n°39, 239-255 p.

Renaud, Gauge 1992
RENAUD (S.), GAUGE (P.) – Barbey « Le Chemin de Montereau, Le Buisson Rond : carrière de la Compagnie des Sablières de la Seine : 10 millénaires d'occupations humains : rapport de synthèse, Service départemental du patrimoine de Seine-et-Marne, 1992, p. 149.

Samuelian 2017
SAMUELIAN (N.) – Marrolles –sur-Seine « La Belle-Epine, Le Trou Collinet » carrière SNB, Phase 5, Rapport de diagnostic, 2017, p.105

Sarel *et al.* 2011
SAREL (J.), CHAUSSE (C.), LAWRENCE-DUBOVAC (P.), COTTIAUX (R.), DRWILLA (G.), GOSSELIN (R.), VOELTZEL (B.) – Une sépulture néolithique à Corbeil-Essonnes (Essonne), *Revue archéologique d'Ile-de- France*, 3, p. 47- 61.

Surmely *et al.* 2001
SURMELY (F.), de GOËR De HERVE (A.), ERRERA (M.), D'AMICO (C.), SANTALLIER (D.), FORESTIER (F.-H.) et RIALLAND (Y.)– Circulation des haches polies en Auvergne au Néolithique. Bulletin de la Société préhistorique française, tome 98, n°4, 2001, p. 675-691.

Thirault 2004
THIRAULT – *Echanges Néolithiques : les haches alpines*. Préhistoire 10, Editions Monique Mergoil Montagnac, 2004.

3.1.6 Inventaire descriptif des pièces lithiques

n° Us	TR	etat	mp	cat.	percu.	talon	fragm.	long.	larg.	ép.	retouche	outil	contexte
2088	7	frais	secondaire	éclat semi cortical	dure	lisse		33	21	4	oui	grattoir	
2118	9	frais	secondaire	hache			dist	71	46	9			
2125	10	patiné	secondaire	éclat semi cortical	dure			80	40	12			Paléo. Sup?
2125	10	patiné	tertaire	éclat semi cortical	dure	lisse		44	47	26			M3 ?
2130	10	frais	secondaire	éclat à dos cortical	dure	lisse		39	38	12			fosse M3 ?
2130	10	frais	secondaire	éclat de plein débitage	dure	lisse		36	44	17			fosse M3 ?
2130	10	frais	tertaire	lame	indirecte		mésial		21	6			fosse M3 ?
2130	10	frais	secondaire	fragment			dist						fosse M3 ?
2130	10	frais	secondaire	fragment			dist						fosse M3 ?
2130	10	frais	secondaire	éclat de plein débitage	dure	lisse		19	32	4			fosse M3 ?
2130	10	frais	secondaire	éclat de plein débitage	dure	lisse		27	38	9			fosse M3 ?
2130	10	frais	secondaire	éclat semi cortical			dist						fosse M3 ?
2130	10	brûlé	secondaire	éclat de plein débitage			dist						fosse M3 ?
2130	10	frais	secondaire	lamelle			dist		12	3			fosse M3 ?
2130	10	frais	secondaire	éclat semi cortical				28	37	4			fosse M3 ?
2130	10	frais	secondaire	fragment de nucleus				35	24	10			fosse M3 ?
2130	10	frais	secondaire	éclat à dos cortical	dure	facette		30	17	3			fosse M3 ?
2130	10	brûlé	secondaire	débris									fosse M3 ?
2130	10	frais	secondaire	fragment de nucleus	indirecte			21	26	15			fosse M3 ?
2130	10	frais	secondaire	lame	indirecte		prox		15	4			fosse M3 ?
2130	10	frais	secondaire	esquille									fosse M3 ?
2130	10	frais	secondaire	esquille									fosse M3 ?
2130	10	frais	secondaire	esquille									fosse M3 ?
2130	10	frais	secondaire	esquille									fosse M3 ?
2130	10	brûlé	secondaire	fragment			dist						fosse M3 ?
2130	10	brûlé	secondaire	fragment			indét						fosse M3 ?
2130	10	frais	secondaire	esquille									fosse M3 ?
2130	10	frais	secondaire	esquille									fosse M3 ?
2130	10	brûlé	secondaire	fragment			indét.						fosse M3 ?
2130	10	frais	secondaire	éclat de plein débitage	dure	lisse		21	13	5			fosse M3 ?
2130	10	frais	secondaire	fragment			indét						fosse M3 ?
2130	10	frais	secondaire	fragment			indét						fosse M3 ?
2130	10	frais	secondaire	éclat semi cortical	dure	lisse		27	17	6			fosse M3 ?
2130	10	frais	secondaire	fragment			nucl.						fosse M3 ?
2130	10	frais	secondaire	fragment			indét						fosse M3 ?
2130	10	frais	secondaire	fragment			dist						fosse M3 ?
2130	10	frais	secondaire	esquille									fosse M3 ?
2131	10	frais	secondaire	éclat de plein débitage	dure	lisse		29	25	7			fosse M3 ?
2131	10	frais	secondaire	lame	dure			56	24	5			fosse M3 ?
2131	10	frais	secondaire	éclat cortical	dure	lisse		34	44	30			fosse M3 ?
2131	10	frais	secondaire	nucleus				23	34	24			fosse M3 ?
2131	10	frais	grés	éclat de plein débitage	dure	lisse		64	38	9			fosse M3 ?
2131	10	frais	secondaire	débris								p.esquil.	fosse M3 ?
2131	10	frais	secondaire	débris									fosse M3 ?
2131	10	frais	secondaire	éclat à dos cortical	dure	facette		48	43	12			fosse M3 ?

n° Us	TR	etat	mp	cat.	percu.	talon	fragm.	long.	larg.	ép.	retouche	outil	contexte
2131	10	brûlé	secondaire	nucleus				27	25	37			fosse M3 ?
2131	10	frais	secondaire	éclat semi cortical	dure	corticale		30	45	15		p.esquil.	fosse M3 ?
2131	10	frais	tertaire	éclat de plein débitage			dist					ut.	fosse M3 ?
2131	10	frais	secondaire	éclat de plein débitage	dure	lisse		48	39	14			fosse M3 ?
2131	10	frais	secondaire	éclat à dos cortical	dure	lisse		32	45	13			fosse M3 ?
2131	10	frais	tertaire	éclat semi cortical			dist						fosse M3 ?
2131	10	patiné	secondaire	débris									fosse M3 ?
2131	10	voilé	secondaire	débris									fosse M3 ?
2131	10	brûlé	secondaire	débris									fosse M3 ?
2131	10	frais	secondaire	éclat cortical	dure	lisse		13	28	10			fosse M3 ?
2139	11	patiné	secondaire	bloc testé				79	63	32			
2139	11	frais	secondaire	nucleus				53	50	18			
2139	11	gélif	secondaire	non taillé									
2139	11	voilé	secondaire	éclat semi cortical	dure			44	23	9			
2139	11	frais	secondaire	éclat cortical				39	15	5			
2139	11	frais	secondaire	fragment			dist						
2139	11	frais	secondaire	lame	tendre			60	31	6			
2139	11	frais	secondaire	lame	tendre			53	29	6	oui	grattoir	
2144	11	gélif	secondaire	non taillé									fosse proto?
2144	11	gélif	secondaire	non taillé									fosse proto?
2144	11	gélif	secondaire	non taillé									fosse proto?
2144	11	patiné	indétermine	non taillé									fosse proto?
2144	11	voilé	secondaire	éclat de plein débitage	dure	lisse		38	22	10			fosse proto?
2144	11	frais	tertaire	éclat à dos cortical				70	26	13			fosse proto?
2145	11	frais	quartz	hache polie				23	26	7			fosse
2145	11	frais	secondaire	éclat semi cortical	dure	corticale		35	19	12			fosse
2145	11	frais	secondaire	éclat de plein débitage	dure	facette		15	23	4		tranchante?	fosse
2145	11	frais	secondaire	esquille	dure	facette		18	19	6		tranchante?	fosse
2145	11	frais	secondaire	éclat de plein débitage	dure	facette		21	22	4			fosse
2145	11	frais	secondaire	éclat de plein débitage	dure	lisse		28	20	3			fosse
2145	11	frais	secondaire	éclat de plein débitage	dure	lisse		33	19	6			fosse
2145	11	frais	secondaire	éclat de plein débitage	dure	corticale		25	25	6			fosse
2145	11	gélif	secondaire	non taillé									fosse proto?
2156	12	frais	tertaire	pièce façonné				57	28	15		tranchet/ pic ?	
2156	12	frais	secondaire	éclat de plein débitage				50	34	6	oui	foliacé ?	
2156	12	frais	secondaire	éclat de plein débitage				40	36	8	oui	foliacé	
2156	12	frais	secondaire	fragment									
2156	12	brûlé	secondaire	fragment									
2158	12	patiné	secondaire	éclat cortical			dist						
2159	12	brûlé	indétermine	fragment									
2159	12	frais	secondaire	éclat de plein débitage	dure	facette		31	29	6			
2159	12	voilé	secondaire	lame				55	20	6			
2159	12	frais	secondaire	éclat cortical	dure	corticale		20	19	12			
2159	12	frais	secondaire	esquille									
2159	12	frais	secondaire	esquille									
2176	13	frais	secondaire	éclat cortical				53	19	13			
2180	13	frais	secondaire	éclat de plein débitage	dure	corticale		53	39	15	oui	p.esqu.	
2180	13	frais	secondaire	débris									

n° Us	TR	etat	mp	cat.	percu.	talon	fragm.	long.	larg.	ép.	retouche	outil	contexte
2180	13	voilé	secondaire	éclat semi cortical			dist						
2180	13	brûlé	indétermine	fragment									
2180	13	brûlé	indétermine	fragment									
2183	14	frais	secondaire	éclat hache				41	30	15		nucl.	
2183	14	frais	secondaire	éclat semi cortical			dist				oui	esq.	
2188	15	frais	tertaire	éclat de plein débitage	dure	diedre	prox						
2188	15	frais	tertaire	éclat de plein débitage	dure	lisse		50	27	6			
2188	15	frais	secondaire	débris									
2188	15	frais	secondaire	éclat hache				17	28	7		meplat	
2188	15	patiné	secondaire	éclat de plein débitage	dure	lisse		32	28	9		PM	
2188	15	patiné	secondaire	éclat de plein débitage	dure	facette		37	26	4		PM	
2198	16	frais	secondaire	éclat de plein débitage	dure	facette		31	24	5			fosse latérale M1
2201	16	frais	secondaire	piéce façonné				58	30	22			fosse latérale 2 M1, sd C
2201	16	frais	secondaire	débris									fosse latérale 2 M1, sd C
2201	16	frais	secondaire	éclat de plein débitage	dure	facette		30	19	5			fosse latérale 2 M1, sd C
2201	16	frais	secondaire	éclat de plein débitage				33	23	4		troncature	fosse latérale 2 M1, sd C
2201	16	frais	secondaire	éclat de plein débitage	dure	lisse		32	21	3			fosse latérale 2 M1, sd C
2201	16	frais	secondaire	éclat de plein débitage	tendre		prox	21	18	2			fosse latérale 2 M1, sd C
2201	16	frais	secondaire	éclat de plein débitage				17	18	4			fosse latérale 2 M1, sd C
2201	16	frais	secondaire	lame	indirecte			38	14	4			fosse latérale 2 M1, sd C
2201	16	frais	secondaire	lame			distale		13	5	oui	bd	fosse latérale 2 M1, sd C
2201	16	frais	secondaire	éclat à dos cortical	tendre	corticale		21	29	7	oui	grattoir	fosse latérale 2 M1
2201	16	frais	secondaire	éclat de plein débitage	dure	facette		35	42	9			fosse latérale 2 M1, sd A
2201	16	frais	secondaire	éclat à dos cortical	dure	lisse		32	30	3			fosse latérale 2 M1, sd A
2201	16	frais	secondaire	éclat de plein débitage	dure	facette		32	34	6			fosse latérale 2 M1, sd A
2201	16	frais	secondaire	fragment			indét.						fosse latérale 2 M1, sd A
2201	16	frais	secondaire	fragment de nucleus									fosse latérale 2 M1, sd A
2201	16	frais	secondaire	éclat de plein débitage	dure	lisse		18	13	5			fosse latérale 2 M1, sd A
2201	16	frais	secondaire	éclat cortical	dure	facette		25	30	6			fosse latérale 2 M1, sd A
2201	16	frais	secondaire	fragment			indét.						fosse latérale 2 M1, sd A
2201	16	frais	secondaire	fragment			indét.						fosse latérale 2 M1, sd A
2201	16	frais	secondaire	fragment			indét.						fosse latérale 2 M1, sd A
2201	16	frais	secondaire	fragment			indét.						fosse latérale 2 M1, sd A
2201	16	frais	secondaire	fragment			indét.						fosse latérale 2 M1, sd A
2201	16	frais	secondaire	fragment			prox						fosse latérale 2 M1, sd A
2201	16	frais	secondaire	fragment			distale						fosse latérale 2 M1, sd A
2201	16	brûlé	secondaire	fragment			distale						fosse latérale 2 M1, sd A
2201	16	frais	tertaire	éclat de plein débitage	dure	lisse		22	20	6			fosse latérale 2 M1, sd A
2201	16	frais	tertaire	éclat de plein débitage	dure	lisse		15	13	1			fosse latérale 2 M1, sd A
2201	16	frais	tertaire	éclat de plein débitage			distale						fosse latérale 2 M1, sd A
2201	16	frais	secondaire	éclat de plein débitage	dure	lisse		13	15	4			fosse latérale 2 M1, sd A
2201	16	frais	secondaire	éclat semi cortical			distale						fosse latérale 2 M1, sd A
2201	16	frais	secondaire	éclat à dos cortical			prox						fosse latérale 2 M1, sd A
2201	16	frais	secondaire	éclat de plein débitage	dure	facette		30	20	3			fosse latérale 2 M1, sd A
2201	16	frais	secondaire	éclat de plein débitage			prox						fosse latérale 2 M1, sd A
2201	16	frais	secondaire	fragment			distale						fosse latérale 2 M1, sd A
2201	16	frais	secondaire	fragment			distale						fosse latérale 2 M1, sd A
2201	16	frais	secondaire	fragment			indét.						fosse latérale 2 M1, sd A

n° Us	TR	etat	mp	cat.	percu.	talon	fragm.	long.	larg.	ép.	retouche	outil	contexte
2201	16	frais	secondaire	débris									fosse latérale 2 M1, sd A
2201	16	frais	secondaire	lame	indirecte			29	9	5			fosse latérale 2 M1, sd A
2201	16	frais	tertaire	éclat de plein débitage	dure	facette		28	34	15			fosse latérale 2 M1, sd A
2201	16	frais	tertaire	éclat de plein débitage	dure	facette		20	26	6			fosse latérale 2 M1, sd B
2201	16	frais	tertaire	éclat de plein débitage	tendre	facette		20	18	2			fosse latérale 2 M1, sd B
2201	16	frais	secondaire	fragment			prox						fosse latérale 2 M1, sd B
2201	16	frais	secondaire	fragment			prox						fosse latérale 2 M1, sd B
2201	16	frais	secondaire	lame			mésial				oui	part	fosse latérale 2 M1, sd B
2201	16	frais	secondaire	éclat cortical			distale	21	17	3	oui	armature en cours, perçante	fosse latérale 2 M1, sd B
2201	16	frais	secondaire	lamelle à dos			mésial		9	3			fosse latérale 2 M1, sd B
2201	16	frais	secondaire	fragment			distale						fosse latérale 2 M1, sd B
2201	16	frais	secondaire	fragment			indét.						fosse latérale 2 M1, sd B
2201	16	frais	secondaire	fragment			distale						fosse latérale 2 M1, sd B
2201	16	brûlé	secondaire	fragment			indét.						fosse latérale 2 M1, sd B
2201	16	brûlé	secondaire	fragment			indét.						fosse latérale 2 M1, sd B
2201	16	brûlé	secondaire	fragment			distale						fosse latérale 2 M1, sd B
2201	16	frais	secondaire	fragment			prox						fosse latérale 2 M1, sd B
2201	16	frais	secondaire	fragment			indét.						fosse latérale 2 M1, sd B
2201	16	frais	secondaire	fragment			indét.						fosse latérale 2 M1, sd B
2201	16	frais	secondaire	éclat de plein débitage			distale		13	4			fosse latérale 2 M1, sd B
2201	16	frais	secondaire	éclat de plein débitage			prox	19	18	4			fosse latérale 2 M1, sd B
2201	16	frais	secondaire	éclat de plein débitage	tendre			16	16	2			fosse latérale 2 M1, sd B
2201	16	frais	secondaire	éclat semi cortical	tendre			21	10	2			fosse latérale 2 M1, sd B
2201	16	frais	secondaire	éclat de plein débitage	dure	lisse		13	12	4			fosse latérale 2 M1, sd B
2201	16	frais	secondaire	lamelle	indirecte			17	7	2			fosse latérale 2 M1, sd B
2201	16	frais	secondaire	éclat de plein débitage	tendre	lisse		16	8	3			fosse latérale 2 M1, sd B
2201	16	frais	secondaire	éclat à dos cortical	tendre	corticale		14	10	2			fosse latérale 2 M1, sd B
2201	16	brûlé	secondaire	fragment			indét.						fosse latérale 2 M1, sd B
2201	16	frais	secondaire	éclat de plein débitage	tendre			11	10	3			fosse latérale 2 M1, sd B
2201	16	frais	secondaire	éclat de plein débitage	tendre			11	13	1		éclat de retouche	fosse latérale 2 M1, sd B
2201	16	frais	secondaire	fragment			indét.						fosse latérale 2 M1, sd B
2201	16	frais	secondaire	fragment			prox						fosse latérale 2 M1, sd B
2201	16	brûlé	secondaire	lame	indirecte		distale		14	3			fosse latérale 2 M1, sd B
2201	16	frais	secondaire	éclat de plein débitage				9	4	2		microburin	fosse latérale 2 M1, sd B
2201	16	frais	tertaire	éclat de plein débitage	tendre			16	10	3		microburin	fosse latérale 2 M1, sd B
2217	16	frais	tertaire	éclat de plein débitage	dure	lisse		30	55	12			mi
2217	16	frais	secondaire	éclat de plein débitage	dure	lisse		58	38	10			mi
2217	16	frais	secondaire	éclat semi cortical	dure	facette		67	23	17			mi
2217	16	frais	secondaire	fragment de nucleus				30	35	19			mi
2217	16	frais	secondaire	éclat semi cortical	dure	lisse		41	34	16			mi
2217	16	frais	secondaire	éclat semi cortical	dure	lisse		39	19	4			mi
2217	16	frais	secondaire	éclat de plein débitage	dure	lisse		25	19	7			mi
2217	16	frais	secondaire	fragment			indét.						mi
2217	16	brûlé	secondaire	fragment			indét.						mi
2217	16	frais	secondaire	fragment			indét.						mi
2217	16	frais	tertaire	éclat semi cortical	dure	lisse		72	57	30			mi
2217	16	frais	secondaire	éclat de plein débitage				29	21	7	oui	grattoir	mi
2217	16	brûlé	secondaire	débris									mi

n° Us	TR	etat	mp	cat.	percu.	talon	fragm.	long.	larg.	ép.	retouche	outil	contexte
2217	16	brûlé	secondaire	éclat de plein débitage	dure	facette		38	17	7	oui	racloir	mi
2217	16	patiné	secondaire	débris									fosse latérale 2 M1, sd C
2494	25	brûlé	indétermine	débris									
2498	27	frais	secondaire	éclat de plein débitage	dure	lisse		43	35	8	oui	grattoir	
2514	29	gélif	secondaire	débris									
2515	29	voilé	secondaire	lame	indirecte			41	17	5			
2516	29	frais	secondaire	nucleus			fragment						
2537	30	frais	secondaire	hache				77	35	25	oui	bifaciale	
2606	16	brûlé	secondaire	éclat de plein débitage			distale		17	6		grattoir	TP M1
2611	16	frais	secondaire	éclat de plein débitage	dure	lisse		57	27	11	oui	grattoir	fosse latérale M2, de 0,70 a 0,80 cm
2611	16	frais	secondaire	éclat de plein débitage	dure	lisse		29	30	10			fosse latérale M2, de 0,70 a 0,80 cm
2611	16	frais	secondaire	éclat semi cortical	dure	corticale		54	33	13		p.esquil.	fosse latérale M2, de 0,70 a 0,80 cm
2611	16	frais	secondaire	débris				78	37	19	oui	p.esquil.	fosse latérale M2, de 0,70 a 0,80 cm
2611	16	frais	secondaire	éclat de plein débitage									fosse latérale M2, de 0,70 a 0,80 cm
2611	16	frais	secondaire	éclat de plein débitage	tendre			34	18	4			fosse latérale M2, de 0,70 a 0,80 cm
2611	16	frais	secondaire	éclat de plein débitage	dure	facette		33	22	7	oui	percoir	fosse latérale M2, de 0,70 a 0,80 cm
2611	16	frais	secondaire	éclat de plein débitage	dure	lisse		30	22	6			fosse latérale M2, de 0,70 a 0,80 cm
2611	16	frais	secondaire	éclat de plein débitage	dure	facette		18	25	6			fosse latérale M2, de 0,70 a 0,80 cm
2611	16	brûlé	secondaire	éclat de plein débitage	dure	lisse		21	14	8			fosse latérale M2, de 0,70 a 0,80 cm
2611	16	frais	secondaire	éclat de plein débitage								éclat de retouche	fosse latérale M2, de 0,70 a 0,80 cm
2611	16	frais	secondaire	éclat de plein débitage			distale						fosse latérale M2, de 0,70 a 0,80 cm
2611	16	frais	secondaire	éclat cortical			distale						fosse latérale M2, de 0,70 a 0,80 cm
2611	16	frais	secondaire	éclat de plein débitage	tendre	facette		25	26	9		éclat de retouche	fosse latérale M2, de 0,70 a 0,80 cm
2611	16	frais	secondaire	éclat de plein débitage			prox						fosse latérale M2, de 0,70 a 0,80 cm
2611	16	patiné	secondaire	éclat de plein débitage			prox						fosse latérale M2, de 0,70 a 0,80 cm
2611	16	frais	secondaire	éclat semi cortical	dure	lisse		52	37	15			fosse latérale M2, de 0,70 a 0,80 cm
2611	16	frais	secondaire	éclat de plein débitage			distale						fosse latérale M2, de 0,70 a 0,80 cm
2611	16	frais	secondaire	fragment			indét.						fosse latérale M2, de 0,70 a 0,80 cm
2611	16	frais	secondaire	éclat de plein débitage			distale						fosse latérale M2, de 0,70 a 0,80 cm
2611	16	frais	secondaire	éclat de plein débitage	tendre			21	22	8		éclat de retouche	fosse latérale M2, de 0,70 a 0,80 cm
2611	16	frais	secondaire	éclat de plein débitage			prox						fosse latérale M2, de 0,70 a 0,80 cm
2611	16	frais	secondaire	éclat semi cortical	indirecte	facette		35	27	10			fosse latérale M2, de 0,70 a 0,80 cm
2611	16	frais	secondaire	éclat à dos cortical	tendre		prox						fosse latérale M2, de 0,70 a 0,80 cm
2611	16	frais	secondaire	éclat de plein débitage			distale						fosse latérale M2, de 0,70 a 0,80 cm
2611	16	frais	secondaire	éclat cortical	dure	lisse		28	17	7			fosse latérale M2, de 0,70 a 0,80 cm
2611	16	frais	secondaire	éclat semi cortical	dure	facette		25	19	6			fosse latérale M2, de 0,70 a 0,80 cm
2611	16	frais	secondaire	éclat cortical				11	22	5			fosse latérale M2, de 0,70 a 0,80 cm
2611	16	frais	secondaire	éclat de plein débitage	tendre	facette		17	24	3	oui	part.	fosse latérale M2, de 0,70 a 0,80 cm
2611	16	frais	secondaire	éclat de plein débitage	indirecte		tablette	29	22	5			fosse latérale M2, de 0,70 a 0,80 cm
2611	16	frais	secondaire	éclat de plein débitage	dure	facette		23	19	5			fosse latérale M2, de 0,70 a 0,80 cm
2611	16	frais	secondaire	éclat de plein débitage			tablette						fosse latérale M2, de 0,70 a 0,80 cm
2611	16	frais	secondaire	éclat de plein débitage			distale						fosse latérale M2, de 0,70 a 0,80 cm
2611	16	voilé	secondaire	éclat de plein débitage			indét.						fosse latérale M2, de 0,70 a 0,80 cm
2611	16	frais	secondaire	éclat cortical	indirecte			18	18	2			fosse latérale M2, de 0,70 a 0,80 cm
2611	16	frais	secondaire	éclat semi cortical				15	28	6			fosse latérale M2, de 0,70 a 0,80 cm
2611	16	frais	secondaire	éclat de plein débitage		facette		18	16	4			fosse latérale M2, de 0,70 a 0,80 cm
2611	16	frais	secondaire	lamelle	indirecte			17	13	3			fosse latérale M2, de 0,70 a 0,80 cm
2611	16	frais	secondaire	éclat de plein débitage		facette	prox						fosse latérale M2, de 0,70 a 0,80 cm

n° Us	TR	etat	mp	cat.	percu.	talon	fragm.	long.	larg.	ép.	retouche	outil	contexte
2611	16	frais	secondaire	éclat de plein débitage		lisse	prox						fosse latérale M2, de 0,70 a 0,80 cm
2611	16	frais	secondaire	éclat de plein débitage		lisse	prox						fosse latérale M2, de 0,70 a 0,80 cm
2611	16	frais	secondaire	éclat de plein débitage			indét.						fosse latérale M2, de 0,70 a 0,80 cm
2611	16	frais	secondaire	éclat de plein débitage		facette		12	16	2			fosse latérale M2, de 0,70 a 0,80 cm
2611	16	frais	secondaire	éclat de plein débitage	indirecte		prox						fosse latérale M2, de 0,70 a 0,80 cm
2611	16	frais	secondaire	éclat semi cortical				22	16	5			fosse latérale M2, de 0,70 a 0,80 cm
2611	16	brûlé	secondaire	éclat de plein débitage			indét.						fosse latérale M2, de 0,70 a 0,80 cm
2611	16	frais	secondaire	fragment			indét.						fosse latérale M2, de 0,70 a 0,80 cm
2611	16	frais	secondaire	fragment			indét.						fosse latérale M2, de 0,70 a 0,80 cm
2611	16	frais	secondaire	fragment									fosse latérale M2, de 0,70 a 0,80 cm
2611	16	frais	secondaire	fragment			indét.						fosse latérale M2, de 0,70 a 0,80 cm
2611	16	frais	secondaire	fragment			distale						fosse latérale M2, de 0,70 a 0,80 cm
2611	16	frais	secondaire	esquille									fosse latérale M2, de 0,70 a 0,80 cm
2611	16	frais	secondaire	esquille									fosse latérale M2, de 0,70 a 0,80 cm
2611	16	frais	secondaire	esquille									fosse latérale M2, de 0,70 a 0,80 cm
2611	16	frais	secondaire	esquille									fosse latérale M2, de 0,70 a 0,80 cm
2611	16	frais	secondaire	esquille									fosse latérale M2, de 0,70 a 0,80 cm
2611	16	frais	secondaire	esquille									fosse latérale M2, de 0,70 a 0,80 cm
2611	16	frais	secondaire	esquille									fosse latérale M2, de 0,70 a 0,80 cm
2611	16	frais	secondaire	esquille									fosse latérale M2, de 0,70 a 0,80 cm
2611	16	frais	secondaire	esquille									fosse latérale M2, de 0,70 a 0,80 cm
2611	16	frais	secondaire	esquille									fosse latérale M2, de 0,70 a 0,80 cm
2611	16	frais	secondaire	esquille									fosse latérale M2, de 0,70 a 0,80 cm
2611	16	frais	secondaire	esquille									fosse latérale M2, de 0,70 a 0,80 cm
2611	16	frais	secondaire	esquille									fosse latérale M2, de 0,70 a 0,80 cm
2611	16	frais	secondaire	esquille									fosse latérale M2, de 0,70 a 0,80 cm
2611	16	frais	secondaire	esquille									fosse latérale M2, de 0,70 a 0,80 cm
2611	16	frais	secondaire	esquille									fosse latérale M2, de 0,70 a 0,80 cm
2611	16	frais	secondaire	esquille									fosse latérale M2, de 0,70 a 0,80 cm
2611	16	frais	secondaire	esquille									fosse latérale M2, de 0,70 a 0,80 cm
2611	16	frais	secondaire	esquille									fosse latérale M2, de 0,70 a 0,80 cm
2611	16	frais	secondaire	esquille									fosse latérale M2, de 0,70 a 0,80 cm
2611	16	frais	secondaire	esquille									fosse latérale M2, de 0,70 a 0,80 cm
2611	16	frais	secondaire	esquille									fosse latérale M2, de 0,70 a 0,80 cm
2611	16	frais	secondaire	esquille									fosse latérale M2, de 0,70 a 0,80 cm
2611	16	frais	secondaire	esquille									fosse latérale M2, de 0,70 a 0,80 cm
2611	16	frais	secondaire	esquille									fosse latérale M2, de 0,70 a 0,80 cm
2611	16	frais	secondaire	esquille									fosse latérale M2, de 0,70 a 0,80 cm
2611	16	frais	secondaire	esquille									fosse latérale M2, de 0,70 a 0,80 cm
2611	16	frais	secondaire	esquille									fosse latérale M2, de 0,70 a 0,80 cm
2611	16	frais	secondaire	esquille									fosse latérale M2, de 0,70 a 0,80 cm
2611	16	frais	secondaire	esquille									fosse latérale M2, de 0,70 a 0,80 cm
2611	16	frais	secondaire	esquille									fosse latérale M2, de 0,70 a 0,80 cm

n° Us	TR	etat	mp	cat.	percu.	talon	fragm.	long.	larg.	ép.	retouche	outil	contexte
2611	16	frais	secondaire	esquille									fosse latérale M2, de 0,70 a 0,80 cm
2611	16	frais	secondaire	esquille									fosse latérale M2, de 0,70 a 0,80 cm
2611	16	frais	secondaire	esquille									fosse latérale M2, de 0,70 a 0,80 cm
2611	16	frais	secondaire	esquille									fosse latérale M2, de 0,70 a 0,80 cm
2611	16	frais	secondaire	esquille									fosse latérale M2, de 0,70 a 0,80 cm
2611	16	frais	secondaire	esquille									fosse latérale M2, de 0,70 a 0,80 cm
2611	16	frais	secondaire	esquille									fosse latérale M2, de 0,70 a 0,80 cm
2611	16	frais	secondaire	esquille									fosse latérale M2, de 0,70 a 0,80 cm
2611	16	frais	secondaire	esquille									fosse latérale M2, de 0,70 a 0,80 cm
2611	16	frais	secondaire	éclat de plein débitage		facette		19	14	3	oui	microburin	fosse latérale M2, de 0,70 a 0,80 cm
2611	16	frais	secondaire	nucleus				37	30	22		esquill.	fosse latérale M2, de 0,70 a 0,80 cm
2611	16	frais	secondaire	nucleus				17	20	10			fosse latérale M2, de 0,70 a 0,80 cm
2611	16	frais	secondaire	lame	indirecte	lisse		36	10	3			fosse latérale M2, de 0,70 a 0,80 cm
2611	16	frais	secondaire	lame	indirecte	lisse		25	10	2			fosse latérale M2, de 0,70 a 0,80 cm
2611	16	frais	secondaire	lame	dure	facette		41	14	4			fosse latérale M2, de 0,70 a 0,80 cm
2611	16	frais	secondaire	lame	indirecte			27	17	3			fosse latérale M2, de 0,70 a 0,80 cm
2611	16	frais	secondaire	lame			distale		13	3			fosse latérale M2, de 0,70 a 0,80 cm
2611	16	frais	secondaire	lamelle	indirecte	lisse		35	7	6			fosse latérale M2, de 0,70 a 0,80 cm
2611	16	frais	secondaire	lamelle	indirecte			21	7	3			fosse latérale M2, de 0,70 a 0,80 cm
2611	16	frais	secondaire	lamelle	indirecte		prox		5	1			fosse latérale M2, de 0,70 a 0,80 cm
2611	16	frais	secondaire	esquille									fosse latérale M2, de 0,70 a 0,80 cm
2611	16	frais	secondaire	lame	indirecte		prox		21	5	oui	grattoir	fosse latérale M2, de 0,70 a 0,80 cm
2611	16	frais	secondaire	lame	indirecte		dist		17	4	oui	bg	fosse latérale M2, de 0,70 a 0,80 cm
2611	16	frais	secondaire	éclat semi cortical				31	15	5	oui	grattoir	fosse latérale M2, de 0,70 a 0,80 cm
2611	16	frais	secondaire	lame	indirecte			47	13	5	oui	ut.	fosse latérale M2, de 0,70 a 0,80 cm
2611	16	frais	secondaire	lamelle	indirecte		dist		9	2	oui	ut.	fosse latérale M2, de 0,70 a 0,80 cm
2611	16	frais	secondaire	lamelle	indirecte		dist		6	4	oui	bd et bg	fosse latérale M2, de 0,70 a 0,80 cm
2611	16	frais	grés	fragment			indét.						fosse latérale M2, de 0,70 a 0,80 cm
2611	16	frais	grés	éclat de plein débitage	dure	lisse		32	31	7			fosse latérale M2, de 0,70 a 0,80 cm
2611	16	frais	grés	éclat de plein débitage	dure	lisse		35	37	14			fosse latérale M2, de 0,70 a 0,80 cm
2611	16	frais	grés	éclat de plein débitage	dure	lisse		32	27	9			fosse latérale M2, de 0,50 a 0,70 cm
2611	16	frais	secondaire	nucleus				45	49	27			fosse latérale M2, de 0,50 a 0,70 cm
2611	16	frais	secondaire	lame	indirecte			27	14	3		microburin	fosse latérale M2, de 0,50 a 0,70 cm
2611	16	frais	tertaire	éclat de plein débitage				56	31	14	oui	esquill.	fosse latérale M2, de 0,50 a 0,70 cm
2611	16	patiné	secondaire	éclat de plein débitage	dure	facette		31	27	5			fosse latérale M2, de 0,50 a 0,70 cm
2611	16	frais	secondaire	éclat semi cortical	dure	lisse		43	36	10	oui	grattoir	fosse latérale M2, de 0,50 a 0,70 cm
2611	16	frais	secondaire	éclat semi cortical			dist	56	34	12	oui	grattoir	fosse latérale M2, de 0,50 a 0,70 cm
2611	16	frais	secondaire	nucleus				42	41	14			fosse latérale M2, de 0,50 a 0,70 cm
2611	16	frais	secondaire	éclat semi cortical	dure	facette		28	22	10			fosse latérale M2, de 0,50 a 0,70 cm
2611	16	frais	secondaire	éclat de plein débitage			dist						fosse latérale M2, de 0,50 a 0,70 cm
2611	16	frais	secondaire	fragment de nucleus				27	33	21			fosse latérale M2, de 0,50 a 0,70 cm
2611	16	frais	secondaire	débris				35	38	16		p.esquil.	fosse latérale M2, de 0,50 a 0,70 cm
2611	16	voilé	secondaire	fragment de nucleus				26	44	11			fosse latérale M2, de 0,50 a 0,70 cm
2611	16	frais	secondaire	éclat semi cortical	indirecte			24	24	10			fosse latérale M2, de 0,50 a 0,70 cm
2611	16	frais	secondaire	éclat semi cortical			dist						fosse latérale M2, de 0,50 a 0,70 cm
2611	16	frais	secondaire	éclat à dos cortical	dure	corticale		19	18	6			fosse latérale M2, de 0,50 a 0,70 cm
2611	16	frais	secondaire	éclat à dos cortical	tendre	lisse		20	20	5			fosse latérale M2, de 0,50 a 0,70 cm
2611	16	frais	secondaire	éclat de plein débitage	tendre	lisse		14	28	3			fosse latérale M2, de 0,50 a 0,70 cm

n° Us	TR	etat	mp	cat.	percu.	talon	fragm.	long.	larg.	ép.	retouche	outil	contexte
2611	16	frais	secondaire	éclat de plein débitage	dure	facette		23	13	3			fosse latérale M2, de 0,50 a 0,70 cm
2611	16	frais	secondaire	lame	indirecte		mésial		16	3			fosse latérale M2, de 0,50 a 0,70 cm
2611	16	frais	secondaire	lame			indét.						fosse latérale M2, de 0,50 a 0,70 cm
2611	16	frais	secondaire	éclat de plein débitage			prox						fosse latérale M2, de 0,50 a 0,70 cm
2611	16	frais	secondaire	esquille									fosse latérale M2, de 0,50 a 0,70 cm
2611	16	frais	secondaire	esquille									fosse latérale M2, de 0,50 a 0,70 cm
2611	16	frais	secondaire	esquille									fosse latérale M2, de 0,50 a 0,70 cm
2611	16	frais	secondaire	esquille									fosse latérale M2, de 0,50 a 0,70 cm
2611	16	frais	secondaire	esquille									fosse latérale M2, de 0,50 a 0,70 cm
2611	16	frais	secondaire	esquille									fosse latérale M2, de 0,50 a 0,70 cm
2611	16	frais	secondaire	esquille									fosse latérale M2, de 0,50 a 0,70 cm
2611	16	frais	secondaire	lame a crête	indirecte		dist.		14	7			fosse latérale M2, de 0,50 a 0,70 cm
2611	16	frais	secondaire	lamelle			prox						fosse latérale M2, de 0,50 a 0,70 cm
2611	16	frais	secondaire	éclat de plein débitage			dist.				oui	fragment d'aramture ?	fosse latérale M2, de 0,50 a 0,70 cm
2611	16	frais	secondaire	nucleus				42	22	20	rem 1	percuteur	fosse latérale M2, de 0,50 a 0,70 cm
2611	16	frais	secondaire	éclat de plein débitage	dure	facette		27	19	11	rem 1		fosse latérale M2, de 0,50 a 0,70 cm
2611	16	frais	secondaire	éclat de plein débitage				33	33	11		percuteur	fosse latérale M2, de 0,50 a 0,70 cm
2611	16	frais	secondaire	nucleus				45	38	16			fosse latérale M2, sd manuel
2611	16	frais	secondaire	éclat semi cortical			nucl.	36	31	14			fosse latérale M2, sd manuel
2611	16	frais	secondaire	éclat semi cortical			dist						fosse latérale M2, sd manuel
2611	16	brûlé	secondaire	débris									fosse latérale M2, sd manuel
2611	16	frais	secondaire	éclat de plein débitage	dure	facette		28	12	9			fosse latérale M2, sd manuel
2611	16	frais	secondaire	éclat de plein débitage	dure	facette		19	22	5	oui	part.	fosse latérale M2, sd manuel
2611	16	frais	secondaire	nucleus				28	28	13			fosse latérale M2, sd manuel
2611	16	frais	secondaire	fragment de nucleus				17	16	10			fosse latérale M2, sd manuel
2611	16	frais	secondaire	éclat de plein débitage	dure	facette		16	12	4			fosse latérale M2, sd manuel
2611	16	frais	secondaire	éclat de plein débitage	dure	facette		15	22	3			fosse latérale M2, sd manuel
2611	16	frais	secondaire	éclat semi cortical			prox						fosse latérale M2, sd manuel
2611	16	frais	secondaire	éclat de plein débitage	dure	lisse		31	25	7			fosse latérale M2, sd manuel
2611	16	frais	secondaire	éclat de plein débitage			dist						fosse latérale M2, sd manuel
2611	16	frais	secondaire	éclat de plein débitage	dure	facette		26	28	4			fosse latérale M2, sd manuel
2611	16	brûlé	secondaire	débris									fosse latérale M2, sd manuel
2611	16	brûlé	secondaire	débris									fosse latérale M2, sd manuel
2611	16	frais	secondaire	éclat de plein débitage	dure	facette	prox						fosse latérale M2, sd manuel
2611	16	frais	secondaire	lame	indirecte			22	14	4			fosse latérale M2, sd manuel
2611	16	frais	secondaire	éclat de plein débitage			dist						fosse latérale M2, sd manuel
2611	16	frais	secondaire	éclat de plein débitage	tendre			22	19	3			fosse latérale M2, sd manuel
2611	16	frais	secondaire	éclat de plein débitage			dist						fosse latérale M2, sd manuel
2611	16	frais	secondaire	éclat de plein débitage			dist						fosse latérale M2, sd manuel
2611	16	frais	secondaire	éclat de plein débitage	dure	facette		16	19	2			fosse latérale M2, sd manuel
2611	16	brûlé	secondaire	éclat de plein débitage	dure	facette		27	25	6			fosse latérale M2, sd manuel
2611	16	frais	secondaire	éclat de plein débitage	dure	corticale		35	25	10	oui	ut.	fosse latérale M2, sd manuel
2611	16	frais	secondaire	éclat cortical	dure	facette		35	21	10			fosse latérale M2, sd manuel
2611	16	frais	secondaire	éclat de plein débitage	dure	facette		34	15	4		ut.	fosse latérale M2, sd manuel
2611	16	frais	secondaire	éclat de plein débitage			dist						fosse latérale M2, sd manuel
2611	16	frais	secondaire	éclat de plein débitage	tendre			21	27	4			fosse latérale M2, sd manuel
2611	16	frais	secondaire	éclat de plein débitage	dure	lisse	prox						fosse latérale M2, sd manuel
2611	16	brûlé	secondaire	éclat de plein débitage	dure	facette		40	26	6			fosse latérale M2, sd manuel

n° Us	TR	etat	mp	cat.	percu.	talon	fragm.	long.	larg.	ép.	retouche	outil	contexte
2611	16	frais	secondaire	éclat de plein débitage	dure	facette		20	24	9			fosse latérale M2, sd manuel
2611	16	brûlé	secondaire	éclat à dos cortical			dist						fosse latérale M2, sd manuel
2611	16	frais	secondaire	éclat semi cortical			dist						fosse latérale M2, sd manuel
2611	16	frais	secondaire	éclat de plein débitage	dure	facette		28	18	2			fosse latérale M2, sd manuel
2611	16	frais	secondaire	éclat de plein débitage			dist	18	18	5	oui	bd et bg	fosse latérale M2, sd manuel
2611	16	frais	secondaire	éclat de plein débitage			dist						fosse latérale M2, sd manuel
2611	16	frais	secondaire	lame			mésial		16	4			fosse latérale M2, sd manuel
2611	16	frais	secondaire	éclat de plein débitage	dure	lisse		15	22	7			fosse latérale M2, sd manuel
2611	16	frais	secondaire	éclat semi cortical			dist						fosse latérale M2, sd manuel
2611	16	frais	secondaire	esquille									fosse latérale M2, sd manuel
2611	16	frais	secondaire	esquille									fosse latérale M2, sd manuel
2611	16	frais	secondaire	esquille									fosse latérale M2, sd manuel
2611	16	frais	secondaire	esquille									fosse latérale M2, sd manuel
2611	16	frais	secondaire	esquille									fosse latérale M2, sd manuel
2611	16	frais	secondaire	esquille									fosse latérale M2, sd manuel
2611	16	frais	secondaire	esquille									fosse latérale M2, sd manuel
2611	16	frais	secondaire	esquille									fosse latérale M2, sd manuel
2611	16	frais	secondaire	esquille									fosse latérale M2, sd manuel
2611	16	frais	secondaire	esquille									fosse latérale M2, sd manuel
2611	16	frais	secondaire	esquille									fosse latérale M2, sd manuel
2611	16	frais	secondaire	esquille									fosse latérale M2, sd manuel
2611	16	frais	secondaire	esquille									fosse latérale M2, sd manuel
2611	16	frais	secondaire	éclat semi cortical			dist						fosse latérale M2, sd manuel
2611	16	frais	secondaire	esquille									fosse latérale M2, sd manuel
2611	16	frais	secondaire	éclat de plein débitage			dist						fosse latérale M2, sd manuel
2611	16	frais	secondaire	éclat de plein débitage			dist						fosse latérale M2, sd manuel
2611	16	frais	secondaire	éclat de plein débitage	dure	facette	prox						fosse latérale M2, sd manuel
2611	16	frais	secondaire	éclat de plein débitage	dure	lisse		13	20	3			fosse latérale M2, sd manuel
2611	16	frais	secondaire	éclat de plein débitage			dist						fosse latérale M2, sd manuel
2611	16	frais	secondaire	éclat de plein débitage	dure	lisse		27	15	3			fosse latérale M2, sd manuel
2611	16	frais	secondaire	éclat de plein débitage	dure	lisse		25	19	4			fosse latérale M2, sd manuel
2611	16	frais	secondaire	éclat de plein débitage	indirecte	facette		27	16	5			fosse latérale M2, sd manuel
2611	16	frais	secondaire	éclat à dos cortical	dure			29	22	5			fosse latérale M2, sd manuel
2611	16	frais	secondaire	éclat de plein débitage			dist						fosse latérale M2, sd manuel
2611	16	frais	secondaire	éclat de plein débitage			dist						fosse latérale M2, sd manuel
2611	16	frais	secondaire	éclat de plein débitage			dist						fosse latérale M2, sd manuel
2611	16	frais	secondaire	éclat de plein débitage				19	9	2			fosse latérale M2, sd manuel
2611	16	frais	secondaire	éclat de plein débitage			dist						fosse latérale M2, sd manuel
2611	16	frais	secondaire	éclat de plein débitage	dure	facette		25	11	4			fosse latérale M2, sd manuel
2611	16	frais	secondaire	éclat de plein débitage		lisse		19	15	3			fosse latérale M2, sd manuel
2611	16	frais	secondaire	éclat de plein débitage			dist						fosse latérale M2, sd manuel
2611	16	frais	secondaire	éclat de plein débitage		facette		18	15	1			fosse latérale M2, sd manuel
2611	16	frais	secondaire	éclat de plein débitage			lat.						fosse latérale M2, sd manuel
2611	16	frais	secondaire	éclat de plein débitage				23	12	2			fosse latérale M2, sd manuel
2611	16	frais	secondaire	éclat de plein débitage			prox						fosse latérale M2, sd manuel
2611	16	frais	secondaire	éclat de plein débitage			dist						fosse latérale M2, sd manuel
2611	16	frais	secondaire	éclat de plein débitage			dist						fosse latérale M2, sd manuel
2611	16	frais	secondaire	éclat semi cortical			dist						fosse latérale M2, sd manuel

n° Us	TR	etat	mp	cat.	percu.	talon	fragm.	long.	larg.	ép.	retouche	outil	contexte
2611	16	frais	secondaire	éclat de plein débitage		lisse		19	15	4			fosse latérale M2, sd manuel
2611	16	frais	secondaire	éclat à dos cortical	dure	facette		26	13	4			fosse latérale M2, sd manuel
2611	16	frais	secondaire	éclat de plein débitage			prox						fosse latérale M2, sd manuel
2611	16	frais	secondaire	éclat de plein débitage			dist						fosse latérale M2, sd manuel
2611	16	frais	secondaire	esquille									fosse latérale M2, sd manuel
2611	16	frais	secondaire	esquille									fosse latérale M2, sd manuel
2611	16	frais	secondaire	éclat de plein débitage	tendre	lisse		38	17	2			fosse latérale M2, sd manuel
2611	16	frais	secondaire	éclat cortical				46	18	4			fosse latérale M2, sd manuel
2611	16	frais	secondaire	lamelle	indirecte			26	9	3			fosse latérale M2, sd manuel
2611	16	frais	secondaire	éclat à dos cortical				22	14	2			fosse latérale M2, sd manuel
2611	16	frais	secondaire	éclat semi cortical	dure	lisse		24	15	3			fosse latérale M2, sd manuel
2611	16	frais	secondaire	éclat de plein débitage			dist						fosse latérale M2, sd manuel
2611	16	frais	secondaire	éclat à dos cortical		lisse		25	17	4			fosse latérale M2, sd manuel
2611	16	frais	secondaire	éclat de plein débitage	dure	facette		22	17	4			fosse latérale M2, sd manuel
2611	16	frais	secondaire	éclat de plein débitage			dist						fosse latérale M2, sd manuel
2611	16	frais	secondaire	esquille									fosse latérale M2, sd manuel
2611	16	frais	secondaire	esquille									fosse latérale M2, sd manuel
2611	16	frais	secondaire	esquille									fosse latérale M2, sd manuel
2611	16	frais	secondaire	éclat de plein débitage		lisse		16	20	6			fosse latérale M2, sd manuel
2611	16	frais	secondaire	éclat cortical			indét.	23	17	9	oui	p.esquil.	fosse latérale M2, sd manuel
2611	16	frais	secondaire	éclat de plein débitage			dist						fosse latérale M2, sd manuel
2611	16	frais	secondaire	éclat de plein débitage	tendre	lisse		19	18	3			fosse latérale M2, sd manuel
2611	16	frais	secondaire	éclat de plein débitage	dure	lisse		23	17	3			fosse latérale M2, sd manuel
2611	16	frais	secondaire	éclat de plein débitage			prox						fosse latérale M2, sd manuel
2611	16	frais	secondaire	fragment			indét.						fosse latérale M2, sd manuel
2611	16	frais	secondaire	éclat de plein débitage	dure	lisse		19	10	1			fosse latérale M2, sd manuel
2611	16	frais	secondaire	fragment			indét.						fosse latérale M2, sd manuel
2611	16	frais	secondaire	éclat semi cortical			dist						fosse latérale M2, sd manuel
2611	16	frais	secondaire	éclat de plein débitage			prox						fosse latérale M2, sd manuel
2611	16	frais	secondaire	éclat de plein débitage			dist						fosse latérale M2, sd manuel
2611	16	frais	secondaire	éclat de plein débitage			dist						fosse latérale M2, sd manuel
2611	16	frais	secondaire	éclat de plein débitage			dist						fosse latérale M2, sd manuel
2611	16	frais	secondaire	éclat de plein débitage	dure	lisse		22	14	3			fosse latérale M2, sd manuel
2611	16	frais	secondaire	éclat semi cortical			dist				oui	part	fosse latérale M2, sd manuel
2611	16	frais	secondaire	esquille									fosse latérale M2, sd manuel
2611	16	frais	secondaire	esquille									fosse latérale M2, sd manuel
2611	16	frais	secondaire	esquille									fosse latérale M2, sd manuel
2611	16	frais	secondaire	esquille									fosse latérale M2, sd manuel
2611	16	frais	secondaire	esquille									fosse latérale M2, sd manuel
2611	16	frais	secondaire	esquille									fosse latérale M2, sd manuel
2611	16	frais	secondaire	éclat de plein débitage				25	18	4	oui	armature	fosse latérale M2, sd manuel
2611	16	frais	secondaire	esquille									fosse latérale M2, sd manuel
2611	16	frais	secondaire	esquille									fosse latérale M2, sd manuel
2611	16	frais	secondaire	esquille									fosse latérale M2, sd manuel
2611	16	frais	secondaire	esquille									fosse latérale M2, sd manuel
2611	16	frais	secondaire	esquille									fosse latérale M2, sd manuel
2611	16	frais	secondaire	esquille									fosse latérale M2, sd manuel
2611	16	frais	secondaire	esquille									fosse latérale M2, sd manuel

n° Us	TR	etat	mp	cat.	percu.	talon	fragm.	long.	larg.	ép.	retouche	outil	contexte
2611	16	frais	secondaire	esquille									fosse latérale M2, sd manuel
2611	16	frais	secondaire	esquille									fosse latérale M2, sd manuel
2611	16	frais	secondaire	esquille									fosse latérale M2, sd manuel
2611	16	frais	secondaire	esquille									fosse latérale M2, sd manuel
2611	16	frais	secondaire	esquille									fosse latérale M2, sd manuel
2611	16	frais	secondaire	esquille									fosse latérale M2, sd manuel
2611	16	frais	secondaire	esquille									fosse latérale M2, sd manuel
2611	16	frais	secondaire	esquille									fosse latérale M2, sd manuel
2611	16	frais	secondaire	esquille									fosse latérale M2, sd manuel
2611	16	frais	secondaire	esquille									fosse latérale M2, sd manuel
2611	16	frais	secondaire	esquille									fosse latérale M2, sd manuel
2611	16	frais	secondaire	esquille									fosse latérale M2, sd manuel
2611	16	frais	secondaire	esquille									fosse latérale M2, sd manuel
2611	16	frais	secondaire	esquille									fosse latérale M2, sd manuel
2611	16	frais	secondaire	esquille									fosse latérale M2, sd manuel
2611	16	frais	secondaire	esquille									fosse latérale M2, sd manuel
2611	16	frais	secondaire	esquille									fosse latérale M2, sd manuel
2611	16	frais	secondaire	esquille									fosse latérale M2, sd manuel
2611	16	frais	secondaire	esquille									fosse latérale M2, sd manuel
2611	16	frais	secondaire	esquille									fosse latérale M2, sd manuel
2611	16	frais	secondaire	esquille									fosse latérale M2, sd manuel
2611	16	frais	secondaire	esquille									fosse latérale M2, sd manuel
2611	16	frais	secondaire	esquille									fosse latérale M2, sd manuel
2611	16	frais	secondaire	esquille									fosse latérale M2, sd manuel
2611	16	frais	secondaire	esquille									fosse latérale M2, sd manuel
2611	16	frais	secondaire	esquille									fosse latérale M2, sd manuel
2611	16	frais	secondaire	esquille									fosse latérale M2, sd manuel
2611	16	frais	secondaire	esquille									fosse latérale M2, sd manuel
2611	16	frais	secondaire	esquille									fosse latérale M2, sd manuel
2611	16	frais	secondaire	esquille									fosse latérale M2, sd manuel
2611	16	frais	secondaire	esquille									fosse latérale M2, sd manuel
2611	16	frais	secondaire	esquille									fosse latérale M2, sd manuel
2611	16	frais	secondaire	esquille									fosse latérale M2, sd manuel
2611	16	frais	secondaire	esquille									fosse latérale M2, sd manuel
2611	16	frais	secondaire	esquille									fosse latérale M2, sd manuel
2611	16	frais	secondaire	esquille									fosse latérale M2, sd manuel
2611	16	frais	secondaire	esquille									fosse latérale M2, sd manuel
2611	16	frais	secondaire	esquille									fosse latérale M2, sd manuel
2611	16	frais	secondaire	esquille									fosse latérale M2, sd manuel
2611	16	frais	secondaire	esquille									fosse latérale M2, sd manuel
2611	16	frais	secondaire	esquille									fosse latérale M2, sd manuel
2611	16	frais	secondaire	esquille									fosse latérale M2, sd manuel
2611	16	frais	secondaire	esquille									fosse latérale M2, sd manuel
2611	16	frais	secondaire	esquille									fosse latérale M2, sd manuel
2611	16	frais	secondaire	esquille									fosse latérale M2, sd manuel
2611	16	frais	secondaire	esquille									fosse latérale M2, sd manuel
2611	16	frais	secondaire	esquille									fosse latérale M2, sd manuel
2611	16	frais	secondaire	esquille									fosse latérale M2, sd manuel
2611	16	frais	secondaire	esquille									fosse latérale M2, sd manuel
2611	16	frais	secondaire	esquille									fosse latérale M2, sd manuel
2611	16	frais	secondaire	esquille									fosse latérale M2, sd manuel
2611	16	frais	secondaire	esquille									fosse latérale M2, sd manuel

n° Us	TR	etat	mp	cat.	percu.	talon	fragm.	long.	larg.	ép.	retouche	outil	contexte
2611	16	frais	secondaire	esquille									fosse latérale M2, sd manuel
2611	16	frais	secondaire	esquille									fosse latérale M2, sd manuel
2611	16	frais	secondaire	esquille									fosse latérale M2, sd manuel
2611	16	frais	secondaire	esquille									fosse latérale M2, sd manuel
2611	16	frais	secondaire	esquille									fosse latérale M2, sd manuel
2611	16	frais	secondaire	esquille									fosse latérale M2, sd manuel
2611	16	frais	secondaire	esquille									fosse latérale M2, sd manuel
2611	16	frais	secondaire	esquille									fosse latérale M2, sd manuel
2611	16	frais	secondaire	esquille									fosse latérale M2, sd manuel
2611	16	frais	secondaire	esquille									fosse latérale M2, sd manuel
2611	16	frais	secondaire	esquille									fosse latérale M2, sd manuel
2611	16	frais	secondaire	esquille									fosse latérale M2, sd manuel
2611	16	frais	secondaire	esquille									fosse latérale M2, sd manuel
2611	16	frais	secondaire	esquille									fosse latérale M2, sd manuel
2611	16	frais	secondaire	esquille									fosse latérale M2, sd manuel
2611	16	frais	secondaire	esquille									fosse latérale M2, sd manuel
2611	16	frais	secondaire	esquille									fosse latérale M2, sd manuel
2611	16	frais	secondaire	esquille									fosse latérale M2, sd manuel
2611	16	frais	secondaire	esquille									fosse latérale M2, sd manuel
2611	16	frais	secondaire	esquille									fosse latérale M2, sd manuel
2611	16	frais	secondaire	esquille									fosse latérale M2, sd manuel
2611	16	frais	secondaire	esquille									fosse latérale M2, sd manuel
2611	16	frais	secondaire	esquille									fosse latérale M2, sd manuel
2611	16	frais	secondaire	esquille									fosse latérale M2, sd manuel
2611	16	frais	secondaire	esquille									fosse latérale M2, sd manuel
2611	16	frais	secondaire	esquille									fosse latérale M2, sd manuel
2611	16	frais	secondaire	esquille									fosse latérale M2, sd manuel
2611	16	frais	secondaire	esquille									fosse latérale M2, sd manuel
2611	16	frais	secondaire	esquille									fosse latérale M2, sd manuel
2611	16	frais	secondaire	esquille									fosse latérale M2, sd manuel
2611	16	frais	secondaire	esquille									fosse latérale M2, sd manuel
2611	16	frais	secondaire	esquille									fosse latérale M2, sd manuel
2611	16	frais	secondaire	esquille									fosse latérale M2, sd manuel
2611	16	frais	secondaire	esquille									fosse latérale M2, sd manuel
2611	16	frais	secondaire	esquille									fosse latérale M2, sd manuel
2611	16	frais	secondaire	esquille									fosse latérale M2, sd manuel
2611	16	frais	secondaire	esquille									fosse latérale M2, sd manuel
2611	16	frais	secondaire	esquille									fosse latérale M2, sd manuel
2611	16	frais	secondaire	esquille									fosse latérale M2, sd manuel
2611	16	frais	secondaire	lame	indirecte	lisse		50	16	5	oui	bg et dist	fosse latérale M2, sd manuel
2611	16	frais	secondaire	éclat de plein débitage	dure	facette		42	27	7	oui	racloir	fosse latérale M2, sd manuel
2611	16	frais	secondaire	lame	indirecte	diedre		48	15	4	oui	ut.	fosse latérale M2, sd manuel
2611	16	frais	secondaire	lame	indirecte	lisse		31	14	4	oui	grattoir	fosse latérale M2, sd manuel
2611	16	frais	secondaire	fragment							oui	outil indét	fosse latérale M2, sd manuel
2611	16	frais	secondaire	fragment			indét.				oui	coche microbrurin	fosse latérale M2, sd manuel
2611	16	frais	secondaire	éclat de plein débitage			dist					part	fosse latérale M2, sd manuel
2611	16	frais	secondaire	lame	indirecte	lisse		30	11	4			fosse latérale M2, sd manuel
2611	16	frais	secondaire	lame	indirecte		prox		14	5			fosse latérale M2, sd manuel

n° Us	TR	etat	mp	cat.	percu.	talon	fragm.	long.	larg.	ép.	retouche	outil	contexte
2611	16	frais	secondaire	lame	indirecte		prox		14	4			fosse latérale M2, sd manuel
2611	16	frais	secondaire	lamelle	indirecte		prox		9	1			fosse latérale M2, sd manuel
2611	16	frais	secondaire	lame	indirecte		dist		14	2	oui	ut.	fosse latérale M2, sd manuel
2611	16	frais	secondaire	lamelle	indirecte		mésial		10	2			fosse latérale M2, sd manuel
2611	16	frais	secondaire	lame a crête	indirecte		prox		18	5			fosse latérale M2, sd manuel
2611	16	frais	secondaire	lamelle	indirecte		prox		10	3			fosse latérale M2, sd manuel
2611	16	frais	secondaire	lamelle	indirecte		dist		7	1			fosse latérale M2, sd manuel
2611	16	frais	secondaire	lamelle à dos	indirecte		dist		13	5			fosse latérale M2, sd manuel
2611	16	frais	secondaire	lamelle à crête	indirecte			25	5	2			fosse latérale M2, sd manuel
2611	16	frais	secondaire	lame a crête	indirecte			32	7	5			fosse latérale M2, sd manuel
2611	16	frais	secondaire	éclat de plein débitage	dure	lisse		15	14	3	oui	microburin	fosse latérale M2, sd manuel
2611	16	frais	secondaire	fragment			indét.	16	13	4	oui	microburin	fosse latérale M2, sd manuel
2611	16	frais	secondaire	fragment			indét.	17	11	3	oui	microburin	fosse latérale M2, sd manuel
2611	16	frais	secondaire	esquille				16	6	2	oui	chute	fosse latérale M2, sd manuel
2611	16	frais	secondaire	esquille							oui	microburin,chute	fosse latérale M2, sd manuel
2611	16	frais	secondaire	esquille	dure						oui	microburin,chute	fosse latérale M2, sd manuel
2611	16	frais	grés	éclat de plein débitage	dure	lisse		52	48	19			fosse latérale M2, sd manuel
2611	16	frais	grés	éclat de plein débitage			indét.						fosse latérale M2, sd manuel
2611	16	frais	grés	éclat de plein débitage	dure	lisse		47	45	17			fosse latérale M2, sd manuel
2611	16	frais	grés	éclat de plein débitage	dure	lisse		49	38	13			fosse latérale M2, sd manuel
2611	16	frais	grés	fragment			indét.						fosse latérale M2, sd manuel
2611	16	frais	grés	fragment			indét.						fosse latérale M2, sd manuel
2611	16	frais	grés	fragment			indét.						fosse latérale M2, sd manuel
2611	16	frais	grés	fragment			indét.						fosse latérale M2, sd manuel
2611	16	frais	grés	fragment			indét.						fosse latérale M2, sd manuel
2611	16	frais	grés	fragment			indét.						fosse latérale M2, sd manuel
2611	16	brûlé	grés	éclat de plein débitage	dure	lisse		48	43	20			fosse latérale M2, sd manuel
2611	16	frais	quartz	bloc brut									fosse latérale M2, sd manuel
2614	10	brûlé	indétermine	esquille									M3 ?
2614	10	frais	indétermine	éclat de plein débitage	dure	lisse		26	22	6			M3 ?
2614	10	frais	secondaire	éclat semi cortical	dure	lisse		40	20	8			M3 ?
2614	10	frais	secondaire	esquille									M3 ?
2614	10	frais	secondaire	esquille									M3 ?
2617	16	frais	secondaire	éclat de plein débitage			distale	19	27	4			fosse latérale M2
2617	16	frais	secondaire	éclat à dos cortical	dure	lisse		28	15	6			fosse latérale M2
2617	16	frais	secondaire	éclat à dos cortical	dure	lisse		32	40	6			fosse latérale M2
2617	16	voilé	secondaire	éclat de plein débitage			distale						fosse latérale M2
2617	16	frais	secondaire	lamelle	tendre	lisse		24	13	3			fosse latérale M2
2617	16	frais	secondaire	éclat de plein débitage	tendre	facette		14	24	5			fosse latérale M2
2620	12	frais	secondaire	éclat semi cortical	dure	lisse		38	30	10	oui	microdent	fosse
2624	12	frais	secondaire	éclat de plein débitage	dure	lisse		36	20	7			
2627	12	frais	secondaire	éclat de plein débitage	tendre			22	18	2			
2627	12	frais	secondaire	éclat cortical	tendre			30	19	4			
2636	16	frais	secondaire	lame			prox	16	15	4			fosse latérale M2
2636	16	frais	secondaire	éclat de plein débitage	indirecte			26	16	2			fosse latérale M2
2636	16	brûlé	secondaire	fragment			distale						fosse latérale M2
2636	16	frais	secondaire	fragment			indét.						fosse latérale M2
2636	16	frais	secondaire	éclat de plein débitage	dure	facette		18	32	7			fosse latérale M2

n° Us	TR	etat	mp	cat.	percu.	talon	fragm.	long.	larg.	ép.	retouche	outil	contexte
2636	16	frais	secondaire	éclat de plein débitage	dure	lisse		36	23	5			fosse latérale M2
2636	16	frais	secondaire	éclat semi cortical			distale	24	36	9			fosse latérale M2
2636	16	frais	secondaire	éclat de plein débitage	dure	facette		21	22	6			fosse latérale M2
2636	16	frais	secondaire	fragment de nucleus				33	22	6			fosse latérale M2
2636	16	frais	secondaire	fragment			tablette						fosse latérale M2
2636	16	frais	secondaire	éclat de plein débitage	dure	facette		25	33	8	oui	part	fosse latérale M2
2636	16	frais	secondaire	éclat de plein débitage	tendre			9	14	2		éclat de retouche	fosse latérale M2
2636	16	frais	secondaire	lamelle				17	4	2			fosse latérale M2
2636	16	frais	secondaire	fragment			indét.						fosse latérale M2
2636	16	frais	secondaire	lamelle				23	9	3	oui	coche	fosse latérale M2
2636	16	frais	secondaire	éclat semi cortical	tendre			16	12	3		microburin	fosse latérale M2
2636	16	frais	secondaire	lame	indirecte			39	13	3	oui	ret.	fosse latérale M2
2636	16	frais	secondaire	lame	indirecte		distale		14	3	oui	grattoir	fosse latérale M2
2639	11	frais	secondaire	lame	dure	lisse		54	20	8	oui	bg	
2639	11	frais	tertaire	lame a crête	dure	lisse		53	23	14			
2642	14	frais	secondaire	lame	indirecte			67	29	9			
2644	15	frais	secondaire	éclat de plein débitage				26	27	3	oui	armature NF	
2648	17	frais	secondaire	éclat semi cortical	dure	lisse		34	23	6	oui	grattoir	
2648	17	frais	secondaire	éclat de plein débitage	dure	lisse		43	33	12			
2649	10	frais	quartz	éclat de plein débitage				30	43	10			M3 ?
2651	10	frais	secondaire	éclat de plein débitage	dure	lisse		38	43	12			M3 ?
2651	10	brûlé	secondaire	éclat semi cortical			dist						M3 ?
2651	10	brûlé	indétermine	débris									M3 ?
2651	10	brûlé	indétermine	débris									M3 ?
2652	12	frais	secondaire	éclat à dos cortical	dure	lisse		51	29	14	oui	coche	
2652	12	patiné	tertaire	éclat de plein débitage				63	29	7			
2654	10	frais	secondaire	éclat à dos cortical	dure	lisse		29	27	13			M3 ?
2654	10	frais	secondaire	éclat de plein débitage	dure	facette		28	20	6			M3 ?
2654	10	frais	secondaire	éclat de plein débitage	dure	lisse		26	48	12	oui	esqu.	M3 ?
2654	10	frais	tertaire	nucleus				55	54	33			M3 ?
2654	10	frais	tertaire	éclat semi cortical	dure	lisse		29	22	11			M3 ?
2654	10	frais	tertaire	éclat semi cortical			dist						M3 ?
2654	10	brûlé	indétermine	nucleus				32	29	19			M3 ?
2654	10	patiné	indétermine	non taillé									M3 ?
2655	10	frais	secondaire	éclat de plein débitage	dure	lisse		34	23	8	oui	grattoir	M3 ?
2655	10	frais	tertaire	éclat à dos cortical			dist						M3 ?
2655	10	frais	secondaire	éclat semi cortical	dure	facette		50	25	15			M3 ?
2655	10	frais	secondaire	fragment de nucleus	dure	lisse		48	38	19			M3 ?
2655	10	frais	secondaire	nucleus				44	54	19			M3 ?
2655	10	frais	secondaire	esquille									M3 ?
2655	10	frais	secondaire	éclat de plein débitage			dist						M3 ?
2655	10	frais	secondaire	esquille									M3 ?
2655	10	frais	secondaire	esquille									M3 ?
2656	12	frais	secondaire	éclat hache	dure	facette		32	52	8			
2657	10	brûlé	secondaire	nucleus				32	38	20			M3 ?
2657	10	frais	secondaire	éclat de plein débitage	indirecte		tablette	52	13	9			M3 ?
2657	10	frais	secondaire	débris									M3 ?
2657	10	frais	tertaire	éclat de plein débitage	dure	lisse	prox						M3 ?

n° Us	TR	etat	mp	cat.	percu.	talon	fragm.	long.	larg.	ép.	retouche	outil	contexte
2657	10	brûlé	secondaire	hache				49	41	24		nuc. Esquil.	M3 ?
2657	10	frais	secondaire	éclat à dos cortical	dure	lisse		34	34	10			M3 ?
2657	10	frais	secondaire	éclat de plein débitage			dist						M3 ?
2657	10	frais	secondaire	fragment			indét.						M3 ?
2657	10	brûlé	secondaire	lame	indirecte			36	14				M3 ?
2657	10	frais	secondaire	esquille									M3 ?
2657	10	frais	secondaire	esquille									M3 ?
2657	10	frais	secondaire	esquille									M3 ?
2657	10	frais	secondaire	esquille									M3 ?
2657	10	frais	secondaire	esquille									M3 ?
2657	10	frais	secondaire	esquille									M3 ?
2657	10	frais	secondaire	esquille									M3 ?
2659	23	voilé	secondaire	éclat de plein débitage	dure	facette		37	28	11	oui	grattoir	

3.2 ANNEXE 2 : ETUDE DU MOBILIER CERAMIQUE NEOLITHIQUE (Stéphane DURAND, INRAP)

Le mobilier céramique prélevé lors du diagnostic se compose de 1110 tessons pour un poids total de 8315 g.

Ce mobilier céramique se répartit comme suit au sein des trois périodes du Néolithique représentées sur la parcelle étudiée :

période du Néolithique	NR	g	g/NR
indéterminé	12	12	1,0
ancien	425	1254	3,0
moyen 1	183	2391	13,1
final	490	4658	9,5

Fig. 3.2.1 : Mobilier céramique néolithique par période chronologique (© INRAP, Stéphane Durand)

Nous présentons ici ce mobilier du plus ancien au plus récent, par structure, en tenant compte de l'organisation des vestiges. La numérotation des individus vases ou des lots de panse est constituée du numéro d'enregistrement sur le terrain suivi du numéro d'enregistrement céramologique.

Les vestiges dont il question ici sont mis en exergue sur le plan de la **Fig. 57**.

3.2.1 Le Néolithique ancien

Les 425 tessons attribués au Néolithique ancien sont issus des tranchées 10 et 16, toutes situées dans le secteur sud-est de l'emprise. Le mobilier provient à plus 90% de structures en creux, et pour l'essentiel des structures 2201 et 2611, distantes d'environ 140 m dans la tranchée 16.

3.2.1.1 La fosse 2201 : une fosse latérale de maison de type danubien (M1)

La fosse 2201 se situe au nord de la tranchée 16, à l'angle des chemins ruraux de Tourmenfils et de Chevannes (**Fig. 12a et 14**). La fosse 2201 est longue d'environ dix mètres pour une largeur d'un mètre et demi à deux mètres. Cette longue structure est une fosse latérale sud de maison de type Rubané, du Néolithique ancien, associée à quatre trous de poteaux et aux fosses 2627- 2198 qui constituent les ou la fosse(s) latérale(s) nord.

Trois sondages de fouille (A, B et C) situés aux extrémités et au centre de la fosse totalisent une surface d'environ deux mètres carrés, soit moins de dix pourcents de la surface de la fosse. Au total, 118 tessons de céramique (soit 410 g) ont été recueillis.

2201-1 (**Pl. 3.2.3, n°5**)
Il s'agit d'un bord en céramique fine foncée, décoré de fines incisions verticales tous les centimètres environ. Les surfaces sont endommagées, mais il semble que le décor se poursuivait à l'origine jusqu'à la lèvre. Un second petit tesson orné appartient au même vase. La pâte contient peu d'inclusions, un sable très fin contenant de rares grains plus gros (1 mm environ).

2201-2 (**Pl. 3.2.3, n°6**)
Il s'agit d'un bord et de 35 fragments appartenant au même individu. Les surfaces sont très fortement érodées et les tessons ont une teinte gris-vert ; on soupçonne une recuisson. Le bord est rectiligne, la lèvre arrondie. Malgré le manque de remontages, un fragment de panse montre une courbure faible, qui ne peut correspondre qu'à une forme très ouverte. L'épaisseur de la paroi est de 6-7 mm près du bord et passe progressivement à 8-9 mm, le tesson le plus épais (fond ?) atteint 11 mm. La pâte contient peu d'inclusions, un sable très fin contenant de rares grains plus gros (environ 1 mm).
Les modestes informations dont nous disposons sur la forme correspondent mal avec les formes des poteries du Néolithique ancien. Le seul type de vase suffisamment ouvert connu, qui pourrait donc correspondre, est la coupe à pied. Ces coupes sont notamment connues en contexte Rubané/Villeneuve-Saint-Germain ancien dans le secteur de la confluence Seine-Essonnes à Marolles *Le Chemin de Sens* (77), maison 1, structure 100, à Balloy *les Réaudins*, maison 2, structure 13. Elles sont systématiquement décorées, ce qui n'est pas vérifiable sur nos tessons érodés. Des exemplaires plus tardifs du VSG sont également connus, notamment dans la vallée de la Marne à Mareuil-les-Meaux (77).

2201-3
Cinq tessons appartenant sans doute au même vase en céramique fine foncée, presque noire.

2201-4 (**Pl. 3.2.3, n°2**)
Un petit bord fin (5 mm, peu d'inclusions) à lèvre ronde, aux surfaces érodées, de teintes grise à beige, provenant d'une forme légèrement fermée ou droite.

2201-4 (**Pl. 3.2.3, n°4**)
C'est un petit bord de forme fermée, à profil en S et à lèvre ronde. Les surfaces sont érodées.

2201-5 (**Pl. 3.2.3, n°1**)
Petit bord de forme fermée, à profil en S et à lèvre ronde. Les surfaces sont érodées.

2201-6
Il s'agit d'un petit fragment de bord de forme fermée, à profil en léger S et à lèvre ronde. Les surfaces sont érodées.

2201-7 (**Pl. 3.2.3, n°3**)
Ce vase est représenté par plusieurs fragments de panse d'un petit pot muni de petites anses verticales simples. Sa couleur claire et la disparition de ses surfaces laissent supposer que le pot a recuit.

2201-8
C'est un petit tesson très fin (4 mm) et extrêmement peu dégraissé, aux surfaces noires polies.

Lots 2201-9 et 10
Il s'agit de lots de panses peu caractéristiques. On note la présence de cinq micro-tessons en céramique fine et foncée.

3.2.1.2 La fosse 2611 : fosse latérale de maison de type danubien (M2)

Tout comme la fosse 2201, la fosse 2611 (tr. 16) est une fosse latérale sud de maison danubienne (**Fig. 12b et 14**). Elle mesure environ quatorze mètres de long pour trois à quatre de large ; deux alvéoles de cette fosse ont été mises en évidence lors du diagnostic (n°2617 à l'est et n° 2611 à l'ouest, où un sondage manuel a été pratiqué). Immédiatement au nord de la fosse, pas moins de 14 trous de poteau semblent faire partie des vestiges du bâtiment néolithique, au nord duquel se trouve la fosse 2207, vraisemblablement une fosse latérale (non testée lors du diagnostic).

La mise au jour de la fosse et le sondage de fouille manuelle ont permis de récolter 273 tessons, pour un poids total de 687 g. À l'instar de la fosse 2201, le sondage est relativement modeste et explique la faible quantité de mobilier exhumé.

Au vu de la configuration des vestiges immobiliers, il est probable que la fosse 2207 soit une fosse latérale nord de la maison du Néolithique ancien.

2611-1 à 3 (**Pl. 3.2.1, n°1 à 3**)
Un premier petit tesson de bord en céramique fine (épaisseur de 5mm, inclusions rares de sable fin), a des surfaces noires qui, bien qu'érodées, laissent apparaitre sous le bord un fin décor de deux lignes parallèles imprimées avec un poinçon à deux dents (**Pl. 3.2.1, n°1**). Les deux autres tessons, également très petits et érodés, portent aussi des marques de poinçon à deux dents : ces trois tessons semblent provenir du même vase.

2611-4 (**Pl. 3.2.1, n°4**)
Ce vase est représenté par un petit tesson de panse, d'environ trois centimètres sur deux, en céramique fine foncée (rares inclusions sableuses fines, épaisseur de la pâte de cinq millimètres). Les surfaces quelque peu altérées étaient couvertes de sédiments fins indurés qui les masquaient presque entièrement ; un nettoyage mécanique sous la loupe binoculaire (X10) a été nécessaire pour dégager un fin décor incisé. Bien qu'incomplet, le décor semble se composer de triangles superposés, dont un sur deux est rempli d'incisions obliques.

2611-5 (**Pl. 3.2.1, n°5**)
L'individu 2611-5 est un très petit tesson de céramique fine, aux surfaces érodées laissant malgré tout apparaître un motif en échelle, incisé ou imprimé finement.

2611-6 (**Pl. 3.2.1, n°6**)
Ce pot est représenté par un fragment d'anse en céramique fine, foncée, portant un décor d'au moins une bande de triangles incisés dont un sur deux est rempli de hachures assez sommaires.

2611-7
Il s'agit d'un fragment de bord provenant d'une forme droite ou légèrement fermée, à inflexion, dont le diamètre à l'embouchure se situe entre dix-neuf et vingt-et-un centimètres (**Pl. 3.2.2, n°1**). Le sable fin est assez abondant dans cette pâte fine de seulement quatre millimètres ; il faut néanmoins considérer qu'une partie de l'épaisseur a disparu en même temps que les surfaces du pot.

2611-8
C'est un bord provenant d'une forme à inflexion simple, en céramique fine foncée. Les inclusions de sable fin sont peu abondantes dans cette pâte de cinq à six millimètres d'épaisseur (**Pl. 3.2.2, n°2**). La surface externe est assez bien conservée, il y subsiste une sorte d'engobe qui a été soigneusement lissée. Le diamètre du pot est inconnu.

2611-9
C'est une anse simple de 4,5 cm de haut pour 1,5 à environ de large, en céramique fine (très peu d'inclusions, pâte de 5 à 6 mm d'épaisseur), plutôt dure, noire, dont la surface est polie (**Pl. 3.2.2, n°3**).

2611-10
Il s'agit des fragments d'une petite anse verticale simple, d'une hauteur estimée à 4,5 cm pour une

largeur de 1,4 cm, montée sur une panse de 4 à 6 mm d'épaisseur (**Pl. 3.2.2, n°4**). Les inclusions de sable fin sont rares. La surface, dans les rares endroits où elle est conservée, est lisse et d'un noir brillant.

2611-11

L'individu 2611-11 (**Pl. 3.2.2, n° 5**) est un petit pot à profil en S presque complet, avec trois petites anses verticales simples, mais en 104 morceaux, qui ne remontent pas tous ! Ce pot très fragmenté a également perdu une bonne partie de ses surfaces (desquamation). Cette forme droite ou très légèrement fermée est faite dans une pâte fine de 4 à 5 mm, contenant peu d'inclusions, du sable fin avec de gros éléments (de 2 à 5 mm) épars de silice et de quartz. Les couleurs sont très variables, certains tessons ont des teintes brun-orangé et noires ; l'état général des tessons laisse penser que le pot a recuit.

Le reste du mobilier est composé de tessons de panses dont l'aspect est tout à fait comparable à celui des individus décrits plus haut.

Certaines structures ne contiennent que peu de mobilier céramique ; on peut toutefois rapprocher ces vestiges de tessons mieux conservés sur le site. C'est ainsi qu'ont été attribué au Néolithique ancien les tessons de 2131, 2159, 2655 et 2657 (**Fig. 57**).

3.2.1.3 Le mobilier céramique néolithique de la tranchée 12

Le mobilier néolithique ancien de la tranchée 12 correspond à la fosse circulaire 2159 (**Fig. 12b**). Elle a été testée en surface et a livré quatre petits tessons de panse néolithiques érodés, à inclusions sableuses, six pièces lithiques et deux fragments de torchis. Les tessons pourraient dater du Néolithique ancien, mais cette attribution se base sur l'aspect des pâtes, et aucun argument typologique ou technologique fort ne peut confirmer cette proposition. Les fragments de torchis brûlé paraissent quant à eux similaires aux fragments trouvés dans les fosses latérales des maisons M1 et M2. En effet, les fosses latérales 2201 et 2611, et en moindre quantité, la fosse 2159 et le trou de poteau 2606, recèlent dans leurs comblements respectifs de nombreux nodules de torchis (terres malaxées au sens large) rougis par le feu. Impossible à l'heure actuelle de déterminer s'il s'agit de fragments de parois de maison(s) ou de structures annexes comme des fours, en revanche, ils ont tous les mêmes teintes orangées et le même aspect, une structure fine semblable, qui permettent de les distinguer des torchis protohistoriques qui proviennent pourtant de la même zone. Ils viennent ici en appui de l'attribution chronologique.

TR	fait	n°	torchis NR	torchis g
12	FS	2159	2	92
16	PO	2606	5	7
16	Fosse latérale	2617	18	392
16	Fosse latérale	2201	23	1138
16	Fosse latérale	2611	128	1450
TOTAL			**176**	**3079**

Fig. 3.2.2 : Secteur SE, quantité et provenance des torchis prélevés (© INRAP, Stéphane Durand)

3.2.1.4 Le mobilier céramique néolithique ancien de la tranchée 10

L'ensemble du mobilier céramique issu de la tranchée 10, soit une quarantaine de tessons (236 g), a été découvert dans la même zone, à moins de cent mètres au sud-ouest de la maison M2 (**Fig. 12b**). Six tessons proviennent de la surface des structures en creux (FS 2131 et FS 2614) mises en évidence, les trente-quatre autres sont issus du niveau archéologique.

Quatre petits tessons de panse fins en céramique foncée (gris-noir) sont issus de la fosse 2131. Les surfaces sont érodées, les inclusions sableuses peu présentes. L'aspect des tessons les rapproche des productions du Néolithique ancien du site. Il en est de même pour les deux tessons de panse de la structure 2614. La présence d'un fragment de bracelet en roche dans la fosse 2131, attribut du VSG, vient confirmer l'attribution chronologique au Néolithique ancien.

Les tessons de panses issus du décapage de la zone 2657, soit au sud du poteau 2129, sont tous érodés, et semblent provenir de deux vases différents. Les pâtes sont assez similaires quant aux inclusions, peu abondantes et composées de sable (sable fin avec de gros grains épars). L'aspect de ces tessons les rapproche des productions du Néolithique ancien identifiées sur le site.

La zone de décapage 2655 a livré 6 tessons correspondant à deux anses, dont l'une est complète, qui proviennent d'une même céramique fine (5-6 mm) contenant très peu d'inclusions. La surface externe est orangée et craquelée, les cassures des tessons sont arrondies, l'érosion est marquée et nous soupçonnons que le vase a recuit. L'anse, ronde et ramassée, de dimension modeste, est un bouton perforé. L'élément date du Néolithique ancien.

La découverte de deux fosses et de deux locus de mobilier dans un espace relativement réduit laisse penser que d'autres structures se trouvent sans doute à proximité et, au vu du contexte général des vestiges, pourquoi pas une maison supplémentaire M3. Comme il a déjà été démontré (DUBOULOZ

2002), l'espace entre les tranchées de sondage est amplement suffisant pour en masquer les vestiges.

3.2.1.5 Pour conclure sur le Néolithique ancien

L'emploi de poinçon fin à deux dents et le motif en échelle sont communs au RRBP et au VSG ancien. On ne peut pas ne pas remarquer l'absence de décor modelé, caractéristique normalement présente dans les deux cultures. La finesse de la céramique et la qualité de ses traitements de surface (quand ils sont conservés) comme le polissage, renvoient plutôt au RRBP. Enfin, l'incision fine et les rangées de triangles hachurés renvoient au RRBP, même si on ne peut totalement les exclure du VSG.

Le bilan chronologique de la céramique renvoie à la fin de la période Rubané, avec sans doute une étendue chronologique vers le Villeneuve-Saint-Germain ancien. La conservation des vestiges d'au moins deux maisons du Néolithique régional le plus ancien semble excellente, avec de nombreux trous de poteau de tierce, mais aussi parfois de parois, associés à des fosses latérales détritiques. L'extension de cet habitat est difficile à cerner précisément à l'issue du diagnostic : l'existence d'une troisième maison est pressentie, et rien n'exclut l'hypothèse de l'existence d'autres maisons encore non découvertes dans ce secteur. La présence de la structure 2159 dans la tranchée 12 atteste également d'une extension des vestiges du Néolithique ancien.

De fait, la découverte d'un habitat Rubané au sud de la confluence Seine-Essonne constitue un pôle de données archéologiques de première importance pour l'étude de la néolithisation de la région, de ses modalités aux marges de l'extension Rubané.

3.2.2 Le Néolithique moyen

C'est dans la tranchée 2, à environ cent trente mètres au nord de la mare située au centre des parcelles diagnostiquées, qu'est apparue l'unique structure qui a livré du mobilier céramique du Néolithique moyen (**Fig. 30**). Cette modeste structure 2021 ne contenait aucun autre mobilier que la céramique, soit 183 tessons pour 2390 g.

Les tessons, qui étaient pris dans une gangue de sédiments indurés, sont tous très érodés. En outre, la céramique est littéralement imprégnée d'oxydes ferreux contenus dans les sédiments qui ont migré et se sont infiltrés dans tous les interstices possibles, jusqu'à former par endroit une véritable gangue, comme on le voit sur la **Fig. 3.2.3**. La céramique comporte peu d'inclusions, elle est de teintes brun-rouge en surface et brun foncé ou noir à cœur.

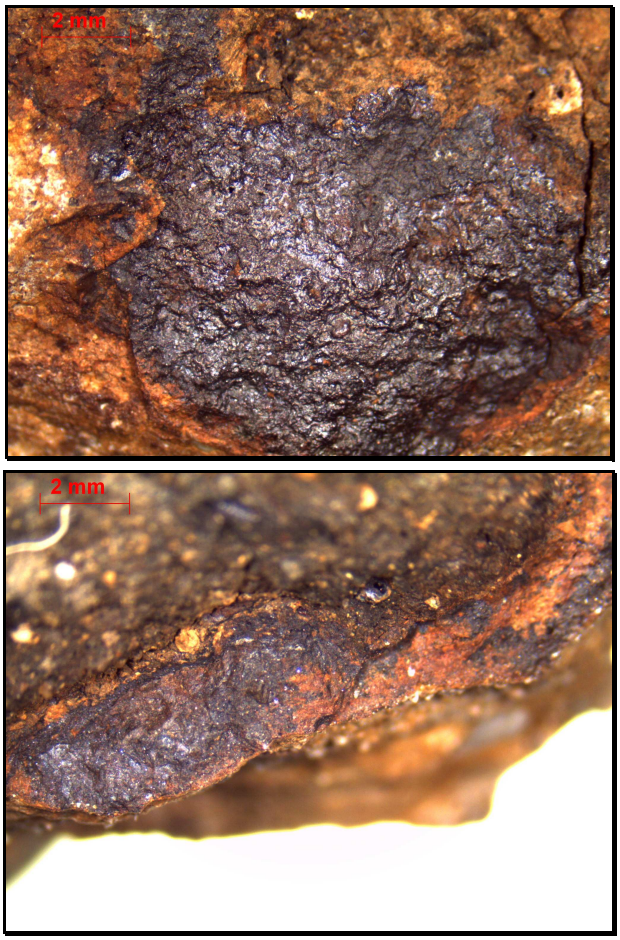

Fig. 3.2.3 : Matière ferreuse en surface et sur la tranche d'un tesson de la céramique de la fosse 2021 (© INRAP, Stéphane Durand)

Fig. 3.2.4 : Fragment d'anse de la céramique de la fosse 2021 (© INRAP, Stéphane Durand)

Fig. 3.2.5 : Fragments d'anse de la céramique de la fosse 2021 (© INRAP, Stéphane Durand)

Tous les tessons proviennent d'un seul et unique vase, mais hélas les remontages sont très difficiles et trop peu nombreux pour restituer un profil. Nous disposons cependant de plusieurs éléments morphologiques qui nous permettent d'identifier une bouteille. Les fragments de bord sont éversés et à lèvre ronde.

Des tessons accusant une double courbure sont des fragments de col. Les fragments de panse sont nombreux, les tessons du fond rond sont à peine plus épais. Enfin, plusieurs tessons proviennent d'au moins trois grosses anses dont les extrémités (supérieures ?) sont ornées d'un gros bouton (**Fig. 3.2.4 et 3.2.5**).

Ce type de vase, muni d'anses surmontées de décors, n'est connu dans la région qu'au Néolithique moyen 1, culture de Cerny. En effet, cette bouteille évoque celles de Marolles *Les Gours aux Lions* (77 – MORDANT C ET MORDANT D., 1970), de Balloy *Les* Réaudins (77 -) ou encore celle de Videlles *Les Roches* (91 - BAILLOUD ET COIFFARD, 1967).

Pourquoi une bouteille a-t-elle été enfouie, est-ce un phénomène isolé, est-ce le signe d'autres découvertes potentielles du Néolithique moyen 1 sur la parcelle ? Ce type de découverte est connu dans la région, bien que les objets rencontrés semblent dater plutôt de la période antérieure.

3.2.3 Le Néolithique final

Les tessons du Néolithique final se répartissent en deux endroits distincts de la parcelle diagnostiquée. De nombreux tessons ont été découverts au sud-est de la parcelle, dans les tranchées 15, 12 et 14, ne paraissant pas tous associés à des structures en creux, et à l'extrémité de nord de la parcelle, tout au bout de la tranchée 29, dans la structure 2510.

3.2.3.1 Le mobilier de la fosse 2510

Située tout au nord de la parcelle diagnostiquée (tranchée 29 ; **Fig. 24**), la fosse 2510 est la seule structure qui ait livré uniquement de la céramique. Les cent cinquante tessons exhumés (soit 2 500 g) appartiennent tous au même individu-vase (**Pl. 3.2.4**).

Les tessons sont très érodés, les petits fragments sont nombreux, et le remontage n'a pas permis d'obtenir un profil complet du vase. On dispose toutefois de plusieurs éléments morphologiques : un bord rentrant, des boutons de préhension situés haut sur la panse, relativement près du bord, une panse plutôt rectiligne et un fond plat épaissi d'une plaque à l'intérieur du pot, le tout dans une pâte épaisse et irrégulière, aux inclusions grossières apparentes sur les surfaces aux teintes rouge sombre. À cœur, la pâte est noire.

Ces éléments permettent d'identifier une forme du Néolithique final. Les préhensions en position haute renvoient plutôt à la première moitié du IIIe millénaire, elles ont tendance ensuite à descendre sur la panse, on gardera donc une réserve sur cette datation qui ne peut formellement exclure la seconde moitié du IIIe millénaire. La forme elle-même du vase pourrait renvoyer à une époque plus tardive encore, mais la qualité de la pâte nous conduit à écarter l'hypothèse de l'âge du Bronze.

3.2.3.2 Le mobilier du sud-est de la parcelle

C'est dans l'extrême sud-est de la parcelle, dans les tranchées 15, 12 et 14, qu'ont été exhumés 2158 g de céramique du Néolithique final, soit 340 tessons, dont les éléments les plus caractéristiques sont illustrés dans la **Pl. 3.2.5**.

La céramique de la tranchée 15

Enregistrés sous le numéro 2188, 146 tessons (1015 g) ont été récoltés sur une centaine de mètres de la tranchée 15, soit sur une surface d'environ 300 m² (**Fig. 12b** ; **Fig. 57** ; **plan adjoint**)

La plupart des tessons sont des fragments panse relativement épais. On trouve parmi ces tessons érodés des fragments provenant de deux fonds plats, différents dans leur forme et leur épaisseur (figure 5, n°1 et 2). Dans les deux cas, des sables fins et grossiers abondants sont inclus à la pâte. Les éléments grossiers sont visibles en surface des tessons. On note également la présence de la moitié d'une fusaïole de forme hémisphérique (figure 5, n°3). Dans la pâte, les inclusions de sable fin accompagné de gros grains épars (2 à 4 mm) sont assez abondantes. La pâte est noire à l'intérieur comme à l'extérieur, sauf pour un bon quart de la surface sphérique qui est orangée sur près de 2 mm d'épaisseur.

La céramique de la tranchée 12

Dans le tiers nord de la tranchée 12, près de 150 tessons (147 tessons soit 795 g) ont été découverts çà et là, sur une quarantaine de mètres de long, sur les locus 2156, 2158 et 2652 (**Fig. 12b** ; **Fig. PHAS** ; **plan adjoint**).

2156

Il s'agit de nombreux fragments d'un même cul de pot à fond plat. Le fond d'au moins 20 mm est surépaissi d'une plaque. La céramique est très érodée et très fragmentée (trop peu de remontages possibles). La pâte est noire à cœur, mais les surfaces sont orangées sur près de 2 mm d'épaisseur. Des sables fins contenant de plus gros grains en moindre quantité sont inclus à la pâte. Enfin, les tessons ont un aspect "savonneux" au toucher.

2158

Ces fragments de panse sont relativement épais, et possèdent des inclusions fines et grossières assez abondantes. Ces tessons proviennent de deux vases différents, peut-être trois. Attribuables au Néolithique, ces éléments sont difficiles à dater plus finement, toutefois, leur aspect épais et relativement "dégraissé" évoque bien le Néolithique final.

2652

Un fond plat et divers tessons épais évoquent le Néolithique final, quelques tessons sont plus ubiquistes. Un tesson est dégraissé d'os pilé, ce qui renvoie au Néolithique ancien ou moyen 1.

La céramique de la tranchée 14

Dans la tranchée 14 enfin, à nouveau sur une quarantaine de mètres de longueur, 47 tessons (soit 348 g) sont issus d'un niveau archéologique (ram. 2183 ; **Fig. 57** ; **plan adjoint**). Outre les tessons de panse, on note la présence de fragments de fond plat, surépaissi, également caractérisé par l'attention particulière portée au pourtour de la base, qui est constitué de l'ajout d'un colombin plat assurant la liaison entre le dessous du pot et la base de la paroi. D'autres tessons appartiennent à un autre fond plat épais (18 mm) orangé en surface et noir à cœur. Les inclusions à la pâte, plutôt abondantes, sont des sables fins à grossiers. Enfin, on signale la présence d'une assez grosse anse verticale, d'environ 7,5 cm de haut pour une largeur de 2,5 cm, décollée de la paroi du vase. Ses surfaces sont totalement érodées, sa teinte est brun-orangé. On soupçonne une recuisson. Les inclusions à la pâte sont peu abondantes (sable fin avec grains grossiers épars).

3.2.3.3 Pour conclure sur le Néolithique final

L'ensemble de ces tessons se rapporte au mobilier du Néolithique final et constitue un ensemble cohérent dans une zone délimitée dans le sud-est de la parcelle diagnostiquée. Les 340 tessons collectés sur un espace traversé d'une centaine de mètres de long résultent sans aucun doute d'une forme d'occupation…

3.2.4 Références bibliographiques de l'annexe 2

Augereau, Anne, et Sandrine Bonnardin. « Marolles-sur-Seine "Le Chemin de Sens" (Seine-et-Marne) et la fabrication de la parure en calcaire au Néolithique ancien ». *Bulletin de la Société Préhistorique Française* 95, n° 1 (1998): 23–40. doi:10.3406/bspf.1998.10733.

Bostyn, Françoise, Valérie Beugnier, Emmanuelle Martial, Fabienne Médard, Cécile Monchablon, et Ivan Praud. « Habitat et économie au Néolithique final : l'exemple du site de Raillencourt-Sainte-Olle (Nord) entre activités domestiques et productions artisanales ». *Bulletin de la Société Préhistorique Française* Tome 111, n° 4 (octobre 2014): 679 726.

Brunet, P., Ch. Charamond, C. Charamond, R. Cottiaux, D. Couturier, V. Delattre, J.-C. Durand, et al. « De la fin du Campaniforme à l'aube du Bronze moyen dans la basse

vallée de la Marne ». *Bulletin de la Société Préhistorique Française* 106 (2009): 329 56.

Brunet, Paul, Marie-France André, Céline Bemilli, Eve Boitard, Véronique Brunet, Renaud Gosselin, Caroline Hamon, Yann Le Jeune, Yolaine Maigrot, et Rémi Martineau. « La fosse 264 du Néolithique récent de Vignely "La Noue Fenard " (Seine-et-Marne) ». In *La fin du IVe millénaire dans le bassin parisien. Le Néolithique récent entre Seine, Oise et Marne (3500-2900 avant notre ère). Sous la direction de Cottiaux Richard et Salanova Laure*, 93 136. RAIF, RAE, 2014.

Brunet, Paul, Marie-France André, Céline Bemilli, Véronique Brunet, Richard Cottiaux, Juliette Durand, Renaud Gosselin, Yann Le Jeune, et Caroline Renard. « Deux sites de la fin du Néolithique en vallée de Marne : Lesches "Les Près du Refuge" et Meaux "Route de Varreddes" (Seine-et-Marne), résultats préliminaires ». In *Internéo, n° 5, journée d'information*, 101–114. Paris: Société Préhistorique Française, 2004.

Brunet, Paul, Richard Cottiaux, Marie-France André, Bénédicte Bécu, Céline Bémilli, Christophe Bertrand, Eve Boitard, et al. « Meaux "Route de Varreddes, Chemin de Flandres" (77), Occupations du Néolithique sur "Les Coteaux de la Justice" ». Rapport Final d'Opération de fouille. INRAP, CIF DRAC Ile-de-France, 2006.

Cottiaux, Richard, et Laure Salanova. *La fin du IVe millénaire dans le bassin parisien. Le Néolithique récent entre Seine, Oise et Marne (3500-2900 avant notre ère).* RAIF, RAE. RAE, RAIF, 34è suppl / 1er suppl., 2014. http://rae.revues.org/7461.

Cottiaux, Richard, Laure Salanova, Paul Brunet, Tony Hamon, Fabien Langry-François, Audrey Maingaud, Rémy Martineau, et al. « Le Néolithique récent dans le Bassin parisien (3600-2900 avant notre ère) : périodisation et faciès régionaux ». In *La fin du IVe millénaire dans le bassin parisien. Le Néolithique récent entre Seine, Oise et Marne (3500-2900 avant notre ère). Sous la direction de R. Cottiaux et L. Salanova*, 455 529. RAIF, RAE, 2014.

Dubouloz, J. « Évaluation des méthodes de diagnostic : simulation sur des sites réels ». *Les Nouvelles de l'Archéologie* 91 (2003): 46‑50.

Dubouloz, J., M. Chartier, L. Hachem, et M. Ilett. « Terroirs et territoires au Néolithique Rubané ». In *Archéologie du Bassin parisien. Réseaux de sites et réseaux d'acteurs*, édité par P. Brun et P. Soulier, 19‑27. Rapport des années 2004-2005. Nanterre: Maison de l'Archéologie et de l'Ethnologie « René Ginouvès », UMR 7041 « ArScAn », 2007.

Gomart, Louise, Lamys Hachem, Caroline Hamon, François Giligny, et Michael Ilett. « Household integration in Neolithic villages: A new model for the Linear Pottery Culture in west-central Europe ». *Journal of Anthropological Archaeology* 40 (2015): 230 49. doi:http://dx.doi.org/10.1016/j.jaa.2015.08.003.

Ilett, M. « Le Néolithique ancien dans le nord de la France ». In *La France préhistorique*, édité par J. Clottes, 281‑307. Paris: Gallimard, 2010.

Ilett, M. « Maisons et villages du Néolithique rubané de la vallée de l'Aisne ». 3e Congrès franco-ukrainien d'Archéologie, Paris, 1-3 octobre 2009., 2009.

Irribarria, R., F. Dupont, et J. Liagre. « Sours (28), un site Rubané récent en région Centre ». In *Premiers néolithiques de l'ouest. Cultures, réseaux, échanges des premières sociétés néolithiques à leur expansion. Actes du 28e colloque interrégional sur le Néolithique (Le Havre, 9-10 novembre 2007)*, édité par C. Billard et M Legris, 75‑100. Collection " Archéologie et Culture ". Rennes: Presses Universitaires de Rennes, 2010.

Lanchon, Y., G. Allenet de Ribemont, M.-F. AndrÉ, S. Bonnardin, F. Bostyn, L. Boulanger, P. Brunet, et al. « Action collective de recherche : "Le Néolithique ancien dans la Basse Vallée de Marne". Rapport d'activité (1ère année) », 2005.

Lanchon, Y., G. Allenet de Ribemont, M.-F. AndrÉ, L. Bedault, E. Boitard, S. Bonnardin, F. Bostyn, et al. « Action collective de recherche : "Le Néolithique ancien dans la Basse Vallée de Marne". Rapport d'activité (2e année) », 2006.

Lanchon, Yves, Françoise Bostyn, Gisèle Allenet de Ribemont, Lisandre Bedault, Sandrine Bonnardin, Fabien Convertini, Marie-France Dietsch-Sellami, et al. *Un hameau du Néolithique ancien. Le Pré des Bateaux à Luzancy (Seine-et-Marne)*. CNRS éditions-Inrap. collection Recherches archéologiques 6. Paris: Y. Lanchon et F. Bostyn dir., 2013.

Liétar, Claira. « Territoires et ressources des sociétés néolithiques du Bassin parisien : le cas du Néolithique moyen (4500-3600 av. J.C.) ». Université de Paris1-Panthéon Sorbonne (Giligny, dir), 2014.

Meunier, K. « La céramique Villeneuve-Saint-Germain de Barbey " Le Chemin de Montereau " (Seine-et-Marne) : entre normes et variations stylistiques ». *Bulletin de la Société Préhistorique Française* 100/1, 2003 (2003): 85‑99.

Meunier, K. « Documentation des impressions au peigne de la céramique rubanée ». In *ACR L'implantation du néolithique rubané dans la vallée de l'Aisne*, édité par M. Ilett, L. Hachem, et A. Coudart, 2006.

Meunier, K. « La céramique du Néolithique ancien dans le sud-est du Bassin parisien ». Thèse de doctorat, Université de Paris 1 Panthéon-Sorbonne, 2008.

Mordant Claude, Mordant Daniel. « Le site néolithique des Gours-aux-Lions à Marolles-sur-Seine (Seine-et-Marne) ». In: *Bulletin de la Société préhistorique française. Études et travaux*, tome 67, n°1, 1970. pp. 345-370.

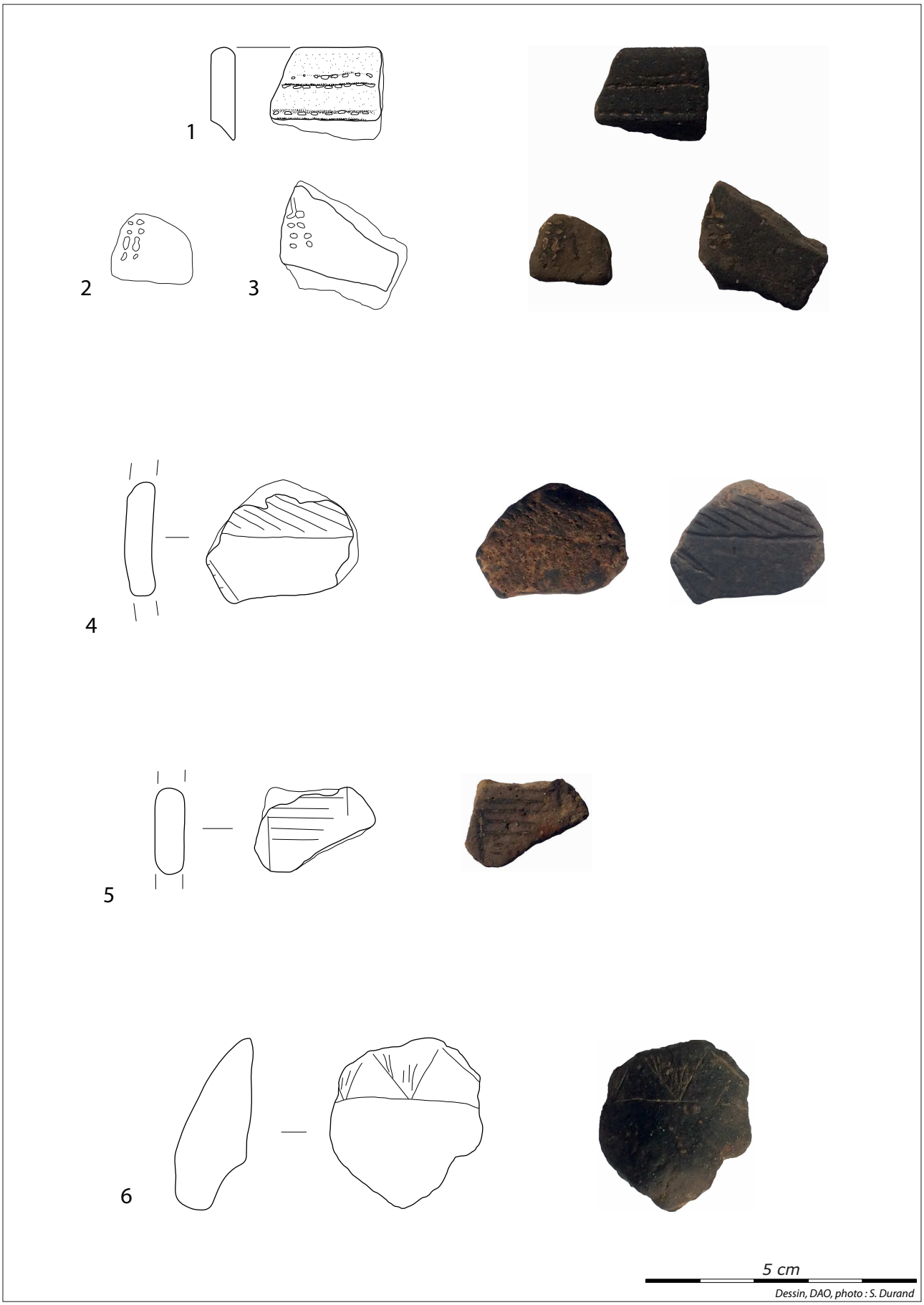

Planche 3.2.1 : Tranchée 16, céramique décorée de la fosse latérale 2611 ;
1 à 3 : sondage manuel 2637 ; 4 à 6 : décapage (© INRAP, Stéphane Durand)

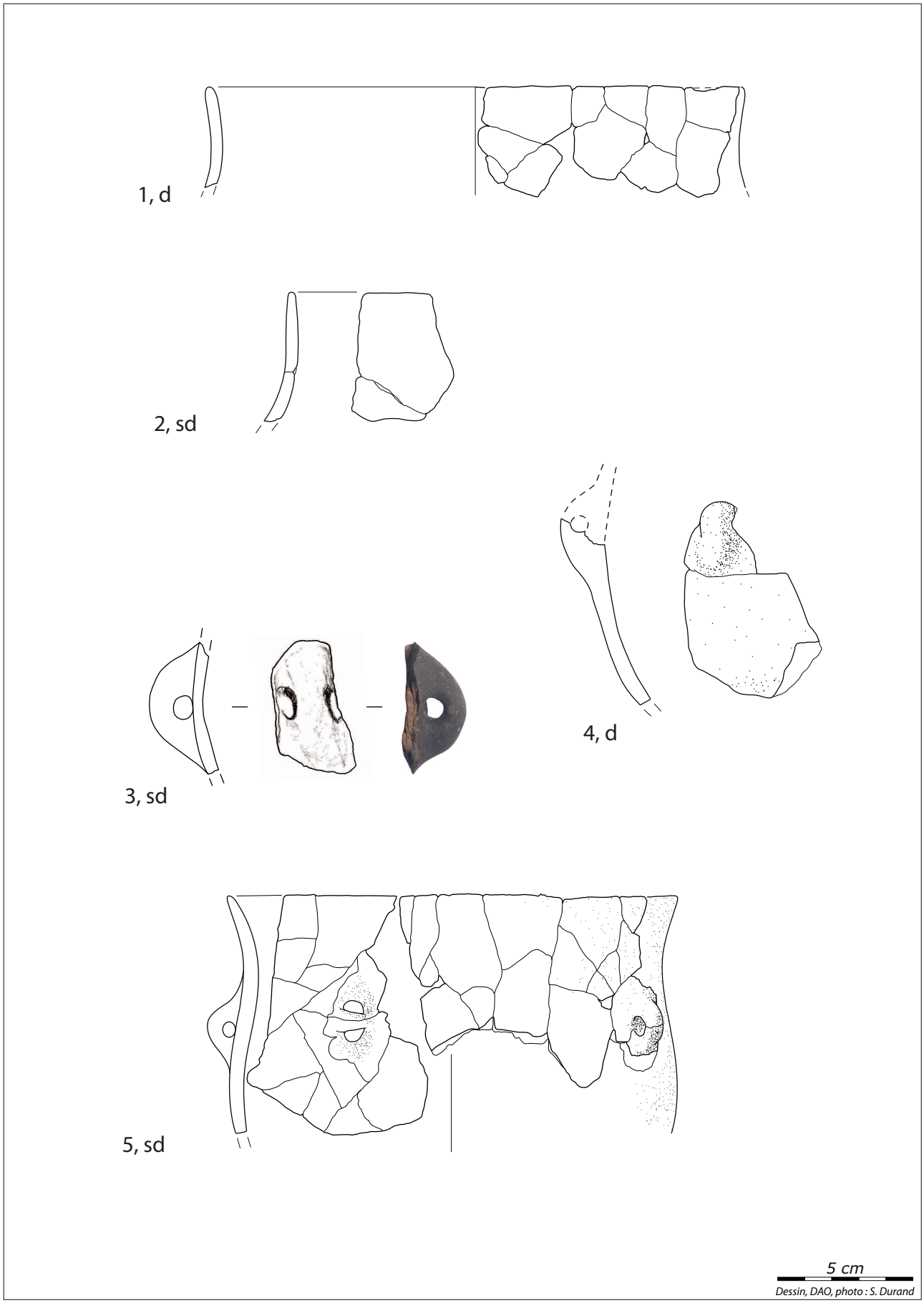

Planche 3.2.2 : Tranchée 16, céramique de la fosse latérale 2611 ;
sd : sondage manuel 2637 ; d : décapage (© INRAP, Stéphane Durand)

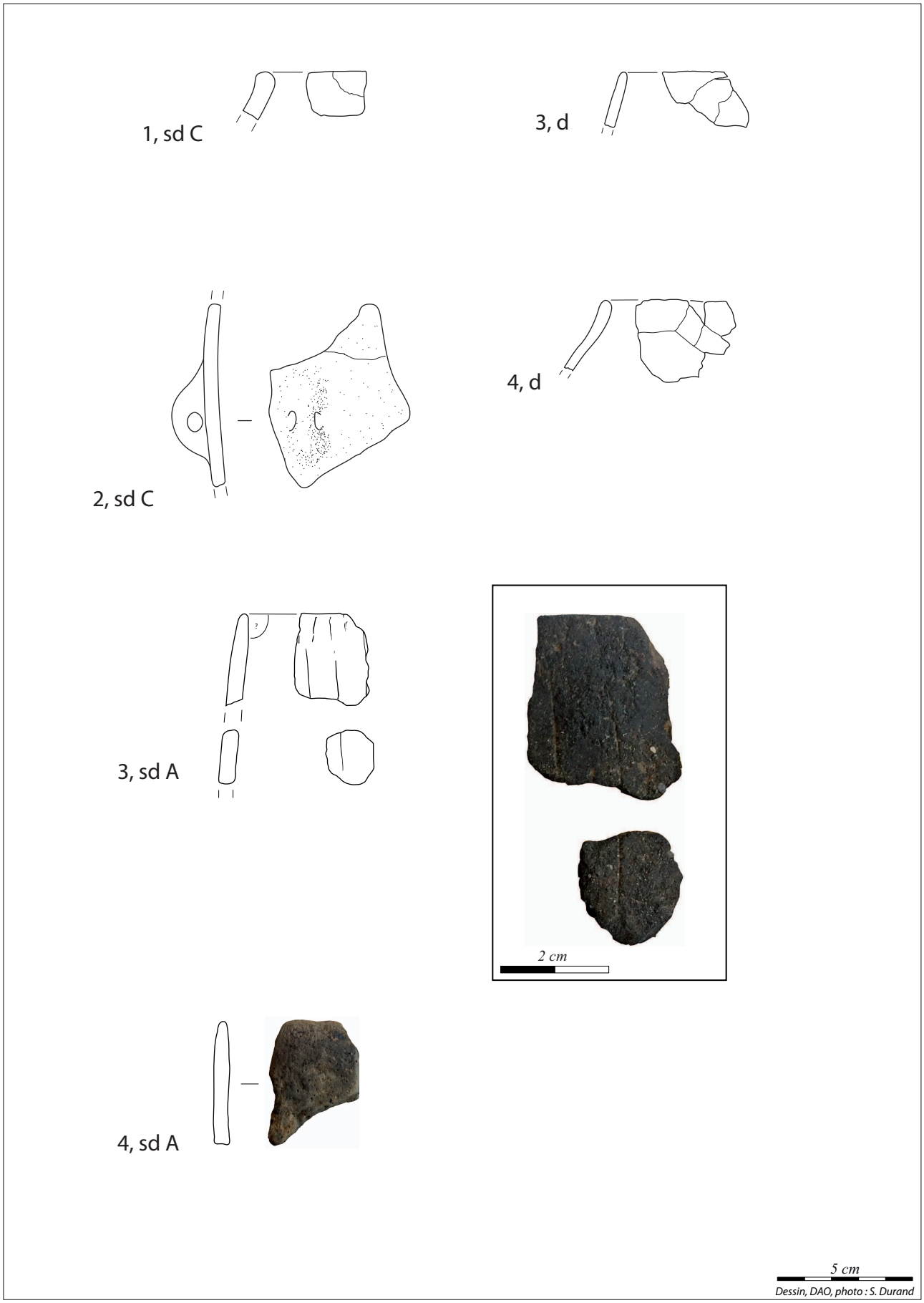

Planche 3.2.3 : Tranchée 16, céramique de la fosse latérale 2201 ;
sd : sondage et son numéro ; d : décapage (© INRAP, Stéphane Durand)

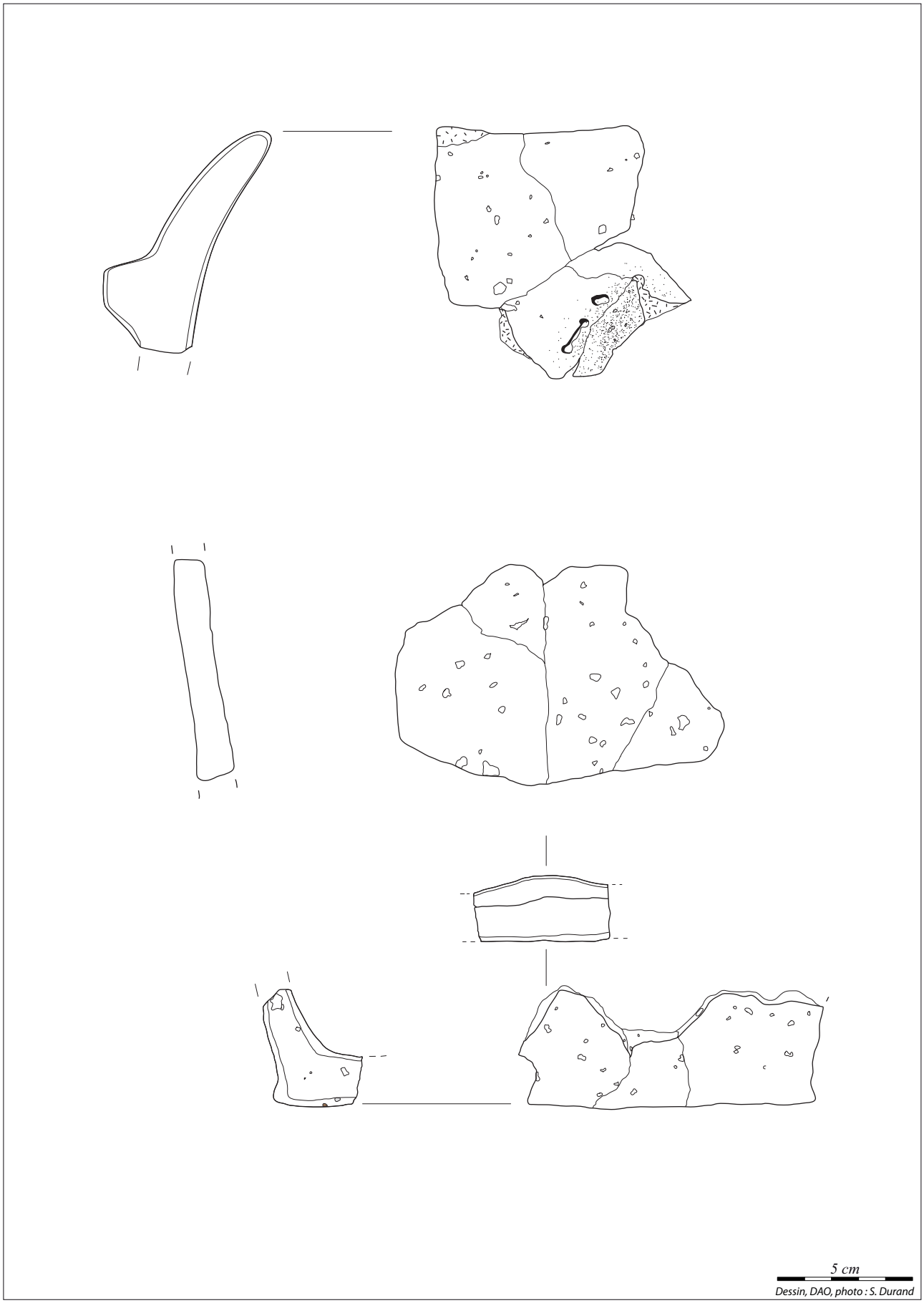

Planche 3.2.4 : Tranchée 29, céramique de la fosse 2510 (© INRAP, Stéphane Durand)

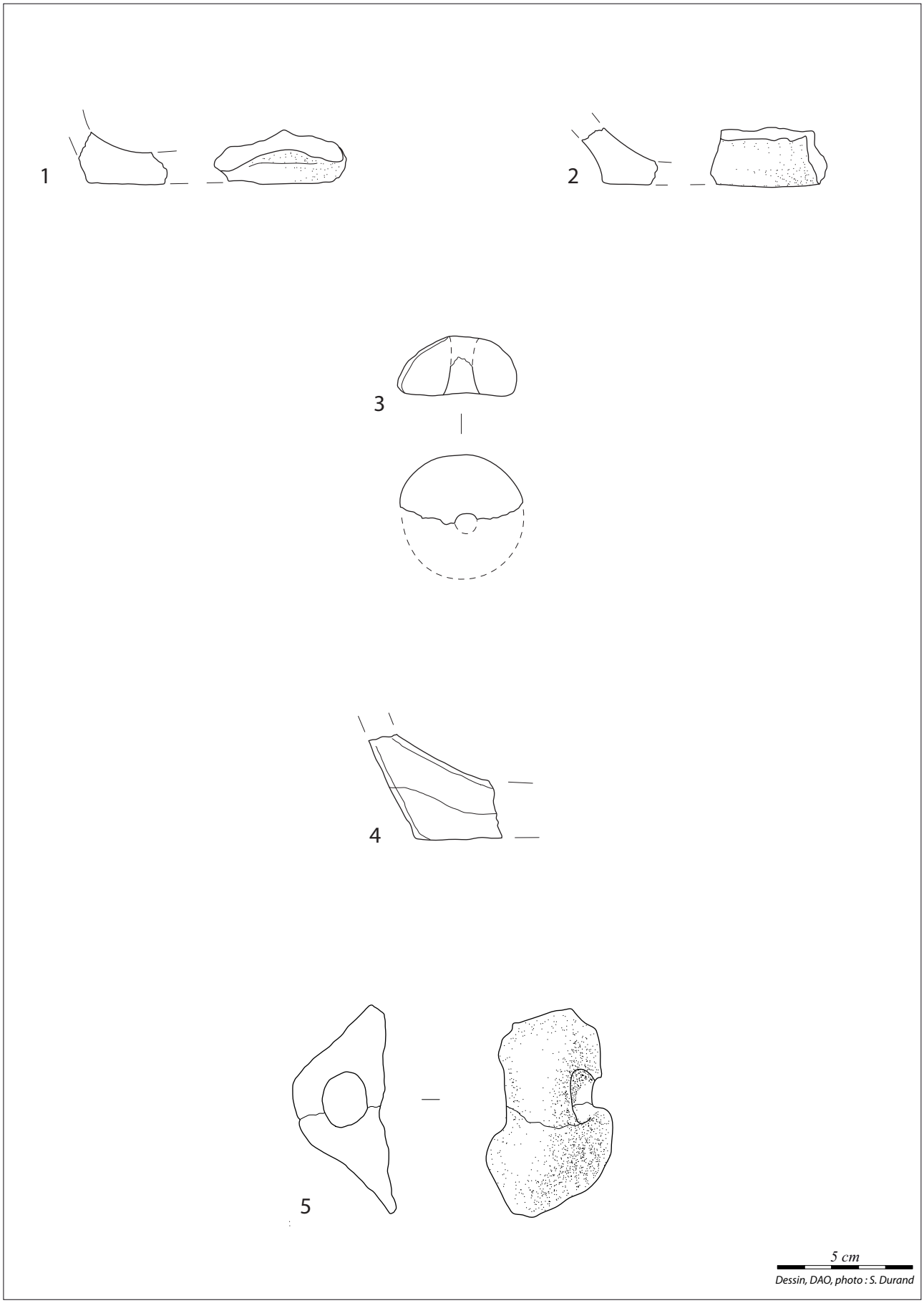

Planche 3.2.5 : Secteur nord-est, ramassage de tessons.
1 à 3 : ram. 2188, TR15 ; 4 : ram. 2156, TR12 ; 5 : ram. 2183, TR14 (© INRAP, Stéphane Durand)

3.3 ANNEXE 3 : EXPERTISE DU MOBILIER CERAMIQUE ET DES OBJETS EN BRONZE DES PERIODES PROTOHISTORIQUES (Hélène CIVALLERI, INRAP)

3.3.1 Présentation du corpus

L'ensemble céramique conséquent collecté sur le site représente 1960 tessons pour un poids total de 22,635 kg. Il provient de 20 structures en creux et du ramassage de six occurrences en tant que mobilier isolé.

Le corpus a fait l'objet d'un inventaire détaillé par structure, en poids et en nombre de reste (NR), ainsi qu'en fonction du type de pâte (pâte grossière : PG, pâte semi-fine : PSF, pâte fine : PF ; **Fig. 3.3.1**).

Secteur	TR	n° Us	PF : NR	PF : g	PSF : NR	PSF : g	PG : NR	PG : g	Tot. : NR	Tot. : g
nord-est	29	2513	4	12	11	55	74	300	**89**	**367**
nord-est	29	2514	9	25	26	198	116	985	**151**	**1208**
nord-est	29	2515	3	12	12	69	13	90	**28**	**171**
nord-est	29	2517	0	0	0	0	1	11	**1**	**11**
nord-est	5	2523	1	3	0	0	0	0	**1**	**3**
nord-est	30	2545	1	10	15	180	11	65	**27**	**255**
nord-est	30	2570	0	0	3	20	81	335	**84**	**355**
nord-est	30	2638	0	0	0	0	2	16	**2**	**16**
nord-ouest	2	2474	0	0	0	0	2	26	**2**	**26**
ouest	6	2074	0	0	0	0	7	20	**7**	**20**
ouest	21	2241	0	0	0	0	53	152	**53**	**152**
ouest	22	2312	0	0	1	20	2	20	**3**	**40**
ouest	23	2344	0	0	1	5	0	0	**1**	**5**
ouest	23	2345	0	0	0	0	10	366	**10**	**366**
ouest	23	2584	0	0	0	0	6	44	**6**	**44**
ouest	8	2653	0	0	0	0	8	64	**8**	**64**
sud-est	11	2139	0	0	0	0	2	30	**2**	**30**
sud-est	11	2144	149	751	203	2370	968	15172	**1320**	**18293**
sud-est	11	2146	1	3	15	55	8	75	**24**	**133**
sud-est	11	2151	4	8	4	30	116	848	**124**	**886**
sud-est	11	2154	1	0	6	0	1	20	**8**	**20**
sud-est	15	2186	0	0	0	0	2	10	**2**	**10**
sud-est	12	2624	0	0	0	0	1	5	**1**	**5**
sud-est	11	2639	0	0	0	0	1	12	**1**	**12**
sud-est	10-d	2654	0	0	0	0	2	15	**2**	**15**
sud-est	12	2656	0	0	0	0	3	128	**3**	**128**
TOTAL			**173**	**824**	**297**	**3002**	**1490**	**18809**	**1960**	**22635**

Fig. 3.3.1 : Inventaire général de la céramique protohistorique (© INRAP, Hélène Civalleri)

Le mobilier céramique est globalement fragmenté avec un poids moyen par tesson de 11,54 g. Ce taux de fragmentation s'inscrit cependant dans la norme des sites d'habitat protohistoriques franciliens.

Les bords, les décors ou les formes spécifiques ont été isolés et dessinés, déterminant un total de 76 individus, lesquels proviennent de treize structures différentes. Les fonds n'ont pas été dessinés ni comptabilisés. Seule une base issue du poteau 2474 fait exception dans la mesure où elle constitue le seul élément identifiable.

Il convient de pondérer ici l'importance de la céramique récoltée sur le site puisqu'environ 18 kg (soit 80% du corpus) proviennent exclusivement de la fouille partielle de la structure 2144. À cela vient s'ajouter la découverte de deux objets en bronze, exhumés au sein de cette même structure et qui seront étudiés conjointement à la céramique.

3.3.2 Les techniques de façonnage et la composition de la pâte

En l'absence d'analyses pétrographiques ou physico-chimiques nous nous limiterons aux observations pouvant être effectuées à l'œil nu.

Fig. 3.3.2 : Gros fragments de chamotte visibles dans la tranche de la céramique 2144-36 (© INRAP, cliché H. Civalleri)

Fig. 3.3.3 : Inclusions de quartz visibles en surface de la céramique 2144-27 (© INRAP, cliché H. Civalleri)

Faute de temps, seules les observations génériques sur les techniques de façonnage ont été effectuées. L'ensemble de la céramique est non tourné, et une grande partie des récipients semble être montée aux colombins (la présence de lignes de fractures horizontales vient corroborer cette hypothèse).

Une distinction entre pâte fine, pâte semi-fine et pâte grossière a été établie en fonction de l'épaisseur des vases, des traitements de surface reconnus et de la granulométrie des dégraissants employés.

Ces derniers correspondent à des grains de sable fin, de quartz, de silex, de chamotte, de nodules ferreux et de matériaux organiques (**Fig. 3.3.2 à 3.3.4**).Il est à noter que l'utilisation du silex comme dégraissant n'a été observée que sur les pâtes grossières provenant de la structure 2144.

Les pâtes grossières sont majoritaires au sein du corpus avec un peu plus de 18 kg de céramique (**Fig. 3.3.1**). Le fait que les récipients de plus grande contenance soient réalisés dans ce type de pâte explique cette surreprésentation, finalement assez traditionnelle dans les corpus de ces périodes. Ce constat doit être relativisé lorsqu'on étudie le nombre d'individus identifiés en fonction de la pâte. En effet le ratio s'équilibre alors, avec une très légère prépondérance pour les céramiques en pâte grossière et semi-fine.

Nous avons choisi de présenter en détail le corpus par structure en le rassemblant par secteurs tels qu'ils ont été identifiés au cours du diagnostic : le secteur sud-est, le secteur nord-ouest, le secteur ouest et le secteur nord-est. Les fosses n'ayant livré aucun élément caractéristique figurent uniquement dans le tableau d'inventaire général.

Fig. 3.3.4 : Inclusions de silex visibles en surface de la céramique 2144-35 (© INRAP, cliché H. Civalleri)

3.3.3 Le secteur sud est (Bronze final)

3.3.3.1 Fosse 2144 (Bronze final)

3.3.3.1.1 Mobilier céramique de la FS2144

Présentation du corpus.

La fosse 2144, fouillée par moitié au cours du diagnostic, contient le lot mobilier le plus important avec un peu plus de 18 kg de céramique (**Fig. 12 et 21** ; **Fig. 3.3.5**).

Elle a aussi livré un bracelet et une épingle en alliage cuivreux.

Compte tenu de l'importance du mobilier céramique provenant de cette fosse et de son taux de fragmentation assez élevé, un peu plus de deux jours ont été consacrés au remontage.

Ce travail a permis la reconstitution graphique complète d'un individu et la reconstitution graphique partielle de 17 autres, pour un total de 44 individus identifiés (**Pl. 3.3.1 à 3.3.4**).

N° Us	N° ind.	Pâte	N.R	g	Etat	Etat du récipient
2144	1	fine	3	85	bon	reconstitutable graphiquement en partie
2144	2	fine	4	15	mauvais	reconstitutable graphiquement en partie
2144	5	fine	8	55	moyen	reconstitutable graphiquement en partie
2144	6	fine	6	50	moyen	reconstitutable graphiquement en partie
2144	7	fine	9	50	mauvais	reconstitutable graphiquement en partie
2144	8	fine	13	85	moyen	reconstitutable graphiquement en partie
2144	9	fine	2	10	mauvais	fragmentaire
2144	10	fine	1	10	moyen	fragmentaire
2144	11	fine	1	10	moyen	reconstitutable graphiquement en partie
2144	12	fine	8	30	moyen	reconstitutable graphiquement en partie
2144	13	fine	4	35	mauvais	reconstitutable graphiquement en partie
2144	32	fine	2	10	mauvais	fragmentaire
2144	38	fine	1	4	moyen	fragmentaire
2144	39	fine	1	4	moyen	fragmentaire
2144	40	fine	1	4	mauvais	fragmentaire
2144	41	fine	1	4	moyen	fragmentaire
2144	45	fine	5	50	moyen	reconstitutable graphiquement en partie
2144	Non dessinés	fines	79	240		
Total céramique fine			**149**	**751**		
2144	3	semi fine	13	120	moyen	reconstituable graphiquement en entier
2144	4	semi fine	5	70	bon	reconstitutable graphiquement en partie
2144	14	semi fine	2	75	moyen	reconstitutable graphiquement en partie
2144	16	semi fine	1	20	moyen	reconstitutable graphiquement en partie
2144	20	semi fine	2	25	moyen	fragmentaire
2144	23	semi fine	11	175	moyen	reconstitutable graphiquement en partie
2144	28	semi fine	1	5	moyen	fragmentaire
2144	29	semi fine	1	10	moyen	fragmentaire
2144	30	semi fine	1	5	moyen	fragmentaire
2144	31	semi fine	4	30	bon	fragmentaire
2144	34	semi fine	1	10	moyen	fragmentaire
2144	44	semi fine	21	180	moyen	fragmentaire
2144	46	semi fine	2	20	moyen	reconstitutable graphiquement en partie
2144	Non dessinés	semi fines	132	1485		
Total céramique semi-fine			**197**	**2230**		
2144	15	grossière	5	185	moyen	reconstitutable graphiquement en partie
2144	17	semi fine	6	140	moyen	reconstitutable graphiquement en partie
2144	18	grossière	4	902	moyen	reconstitutable graphiquement en partie
2144	19	grossière	19	135	mauvais	reconstitutable graphiquement en partie
2144	21	grossière	5	105	moyen	fragmentaire
2144	22	grossière	3	140	moyen	fragmentaire
2144	24	grossière	7	220	moyen	reconstitutable graphiquement en partie
2144	25	grossière	1	65	moyen	fragmentaire
2144	26	grossière	1	20	moyen	fragmentaire
2144	27	grossière	2	75	moyen	fragmentaire
2144	33	grossière	1	50	moyen	fragmentaire
2144	35	grossière	2	55	moyen	fragmentaire
2144	36	grossière	16	435	mauvais	fragmentaire
2144	37	grossière	13	300	mauvais	fragmentaire
2144	42	grossière	1	55	moyen	fragmentaire
2144	43	grossière	2	15	moyen	reconstitutable graphiquement en partie
2144	Non dessinés	grossières	886	12415		
Total céramique grossière			**974**	**15312**		
TOTAL général			**1320**	**18293**		

Fig. 3.3.5 : Fosse 2144, inventaire général de la céramique (© INRAP, Hélène Civalleri)

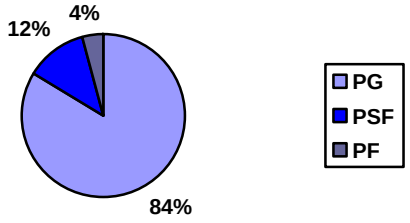

% du poids par type de pâtes

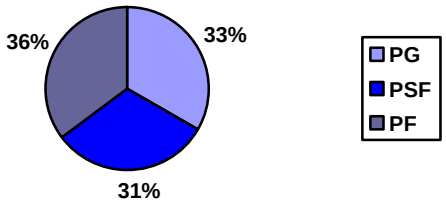

% du NMI par type de pâte

Fig. 3.3.6 : FS2144, graphiques comparatifs des pourcentages observés en fonction des poids et NMI par type de pâtes (© INRAP, Hélène Civalleri)

Si les pâtes grossières sont majoritaires avec un peu plus de 15 kg, elles ne sont pas les plus représentées en nombre d'individus. En effet, ce sont les récipients en pâtes fines qui avec 17 individus identifiés sont les plus fréquents (contre 16 pour les pâtes grossières et 13 pour les pâtes semi-fines) (**Fig. 3.3.6**).

Les céramiques fines :

Fig. 3.3.7 : Altération de la surface externe de l'individu 2144-13 (© INRAP, cliché H. Civalleri)

Fig. 3.3.8 : Altération de surface de l'individu 2144-13 (© INRAP, cliché H. Civalleri)

Les céramiques fines sont majoritairement de couleur noire pour les surfaces externes et internes, et grises à cœur. Les dégraissants sont peu ou pas visibles à l'œil nu. Les récipients présentent une finition soignée avec un lissage fin voire un polissage. Cependant l'altération des surfaces ne permet pas toujours une observation complète du traitement superficiel des céramiques (**Fig. 3.3.7 et 3.3.8).**

Les formes observées sont variées (**Pl. 3.3.1**). Ont notamment été distingués une tasse (individu 5), des gobelets (individus 1, 7 et 8), une assiette (individu 13) ou encore des pots (individus 2 et 12).

Fig. 3.3.9 : Décor de cannelures plus ou moins visible en fonction des tessons sur l'individu 2144-7 (© INRAP, cliché H. Civalleri)

Fig. 3.3.10 : Décor de cannelures sur l'individu 2144-10 (© INRAP, cliché H. Civalleri)

Les décors, présents sur quatre céramiques, sont exclusivement constitués de cannelures, le plus souvent horizontales. Seul l'individu 7 présente un décor associant cannelures verticales et horizontales. Comme nous l'avons vu précédemment les surfaces sont assez altérées et les décors assez peu lisibles ; ils peuvent être plus ou moins bien conservés en fonction des tessons sur un même individu (**Fig. 3.3.9 et 3.3.10**).

Les céramiques semi-fines :

Les céramiques semi-fines possèdent majoritairement des surfaces, externes comme internes, de couleur noire, alors que leur cœur est

plutôt de couleur rougeâtre. Leurs épaisseurs dépassent les 9 mm et les dégraissants sont souvent plus gros que dans les céramiques fines. Ils peuvent atteindre des tailles allant jusqu'à 6 mm.

Lorsqu'ils ont pu être observés, les traitements de surface sont soignés et s'apparentent à un lissage fin. Comme pour les céramiques fines, de nombreux éléments sont altérés en surface et la conservation varie d'un récipient à l'autre voire au sein d'un même récipient (**Fig. 3.3.11 et 3.3.12).**

Fig. 3.3.11 : Conservation différenciée de la surface interne de l'individu 2144-44 (© INRAP, cliché H. Civalleri)

Fig. 3.3.12 : Conservation différenciée de la surface externe de l'individu 2144-44 (© INRAP, cliché H. Civalleri)

Les formes reconnues dans le corpus sont constituées de coupes ou jattes (individus 3, 4 et 44) et de pots (individus 14, 17 et 23 ; **Pl. 3.3.2**).

Les décors, relativement diversifiés, sont présents sur sept individus du corpus. On retrouve l'utilisation de la cannelure sur les individus 23, 29 et 44. D'autres techniques sont aussi attestées. Le décor d'impressions réalisées au doigt ou à l'aide d'un bâtonnet, se déploie sur les individus 20 et 34. La technique du décor estampé est utilisée sur la panse de l'individu 28 et dessine une frise en forme de gouttelettes. Seul l'individu 16 associe deux techniques décoratives : des lignes d'impressions figurent sur la lèvre et à la jonction col-panse. Cette dernière est également soulignée par la présence d'une cannelure fine qui surmonte les digitations.

Les céramiques grossières :

Fig. 3.3.13 : Gros nodules de dégraissant de quartz et de chamotte utilisés dans la confection de l'individu 2144-21 (© INRAP, cliché H. Civalleri)

Les céramiques grossières présentent des cuissons plus irrégulières et les couleurs des surfaces comme des cœurs varient d'un vase à l'autre comme au sein d'un même vase. Les dégraissants peuvent être très nombreux et peuvent dépasser le centimètre (**Fig. 3.3.13)**. Les surfaces sont, là aussi, assez mal conservées. Cependant, des traces techniques sont encore visibles sur certains vases et témoignent d'une finition peu soignée.

Fig. 3.3.14 : Traces d'égalisation au doigt observables en dépit de la mauvaise conservation de la surface externe du récipient 2144-17 (© INRAP, cliché H. Civalleri)

Des traces d'égalisation au doigt sont encore observables sur le récipient 17 (**Fig. 3.3.14**). Les récipients 22, 35 et 37 présentent des traces de doigt

très ténues à la jonction col panse. Plus qu'un décor nous proposons d'y voir ici les stigmates liés au façonnage du vase et à la mise en place de l'inflexion du bord et de la lèvre (**Fig. 3.3.15**).

Fig. 3.3.15 : Traces de façonnage à la jonction col panse de l'individu 2144-37 ? (© INRAP, cliché H. Civalleri)

Les formes reconnues au sein de l'ensemble sont uniquement des pots dont les diamètres à l'ouverture varient de 17 à 30 centimètres.

Quatre individus, dont trois présentant un décor, ont pu faire l'objet d'une reconstitution graphique partielle (**Pl. 3.3.3**).

Les décors reconnus sur ces céramiques sont de deux natures : l'impression, réalisée au doigt, et, de façon beaucoup plus anecdotique, le cordon.

Les motifs imprimés sont exclusivement déployés sur le haut du vase et plus particulièrement sur le bord ou à la jonction col-panse, plus rarement sur la lèvre. On les retrouve sur cinq récipients (individus 15, 18, 24, 25 et 27). Le cordon n'apparait qu'une fois dans notre corpus ; il s'agit ici d'un cordon lisse soulignant l'inflexion de la panse de l'individu 21.

Des indices de métallurgie ?

Plusieurs restes céramiques (individus 46 et 47) présentant des caractères morphologiques et techniques particuliers ont attiré notre attention.

L'individu 46, constitué de trois fragments ne remontant pas ensemble, présente une coloration variant du brun-clair au gris. Le dégraissant employé - majoritairement du quartz et de la chamotte - n'excède pas les trois millimètres. Les surfaces sont lisses. Le fond épais (14 mm) est plat et le bord à lèvre amincie ne s'élève que d'un peu plus d'un centimètre au-dessus de la base. Ce type d'objet n'est pas sans évoquer les moules découverts à Saint-Pathus (Seine-et-Marne ; NALLIER *in* HURARD 2011) ou à Aubervilliers (Seine-Saint-Denis ; NALLIER *in* CAPARROS 2009).

Malheureusement, l'individu 46 reste très fragmenté et ne conserve aucune empreinte identifiable en négatif. De surcroît, il ne présente pas la coloration typique des moules. La mauvaise conservation des surfaces d'utilisation peut expliquer cette lacune et ne facilite pas le travail de reconnaissance (**Fig. 3.3.16**).

Fig. 3.3.16 : Individu 2144-46. Face interne des trois fragments pouvant appartenir à un moule et vue de profil d'un des fragments (© INRAP, cliché H. Civalleri)

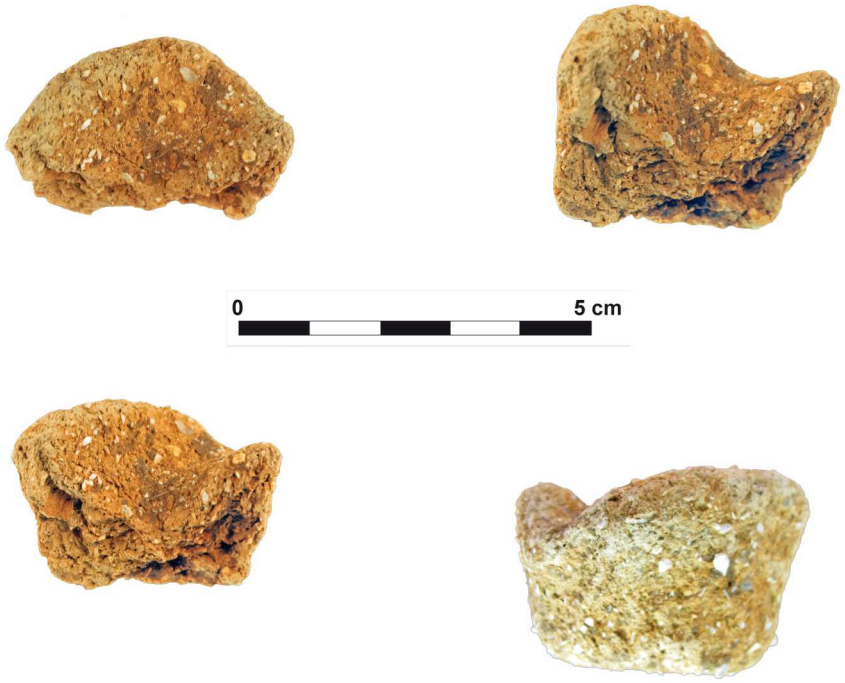

Fig. 3.3.17 : L'individu 2144-47. Les restes d'un creuset ? (© INRAP, cliché H. Civalleri)

L'individu 47, très poreux présente une coloration beige uniforme sur toutes ses surfaces. Les dégraissants ajoutés sont nombreux. Ils sont majoritairement constitués de quartz et de chamotte et sans doute de résidus organiques. L'objet en question, fragmentaire mais archéologiquement complet, présente une courbure et une inflexion sur sa lèvre qui rappellent la forme d'un creuset. Aucune trace liée à la métallurgie n'est visible en surface. Cette absence peut être expliquée par une forte érosion des surfaces utiles. Nous pouvons aussi supposer que l'objet en question a été fracturé avant son utilisation et jeté dans la fosse dépotoir (**Fig. 3.3.17**).

Ces quelques indices évoquent assurément le travail des alliages base cuivre. Combinés à la découverte de deux objets en bronze dans la même fosse (*cf. infra*), ces témoins matériels permettent de supposer la proximité d'un atelier de bronzier.

Comparaisons et proposition de datation

La grande quantité de mobilier mise au jour et la diversité typologique des récipients provenant du comblement de la fosse 2144 permettent d'établir aisément des comparaisons régionales et de préciser la datation de l'assemblage.

Les gobelets à panse globuleuse et bord individualisés, qu'ils soient décorés ou non de cannelures, sont comparables à ceux découverts à Morangis (Essonne) au « Clos de Louans » (BRUNET *in* ADAM 2009) dans les fosses 1 et 3, lesquelles sont datées du Bronze final I-IIa. On y retrouve aussi des pots à panse globuleuse et à bord individualisé divergent, ainsi qu'un fragment de pot à cordon lisse comparable à celui qui orne l'individu 21.

À Tigery (Essonne), « Zac de Tigery Est, secteur 1 et 2 » (BRUNET *in* SARON 2011) les fosses 123.10, 125.10 156.05, 149.10 et 149.26 ont livré un mobilier analogue à celui mis au jour au Coudray-Montceaux. Les pots à panse globuleuse ou biconique et à bord individualisé, les décors de cannelures ainsi que le décor de cordon lisse ont là aussi été identifiés. Encore une fois, les datations proposées sont centrées sur le Bronze final I-IIa.

En vallée de Marne, les gobelets à panse globuleuse et bords divergents, ornés de cannelures verticales et horizontales, et les pots à panse globuleuse et bords divergents très prononcés, constituent d'ailleurs les marqueurs privilégiés d'une phase évoluée de l'étape initiale du Bronze final (BRUNET 2006).

Toujours en Île-de-France, les gobelets décorés de cannelures se retrouvent fréquemment associés à de grandes urnes à bords facettés et divergents dans les sépultures à incinération de l'étape initiale du Bronze final. C'est notamment le cas dans la nécropole de « La Croix-Saint-Jacques » à Marolles-sur-Seine (Seine-et-Marne ; PEAKE *et al*. 2015, fig. 23 p. 58) où la sépulture 23 a livré un assemblage de

gobelets, d'assiettes et de pots biconiques ou à épaulement qui renvoient pleinement aux formes et aux décors mis en évidence dans la fosse 2144 (*ibid*., fig. 30 à 34 p. 120-125).

3.3.3.1.2 Mobilier métallique de la FS2144

Deux objets en alliage cuivreux ont été mis au jour dans cette même fosse. Il s'agit d'un bracelet et d'une épingle.

Le bracelet (**Fig. 3.3.18**)

Le bracelet est fortement altéré et la surface semble avoir complètement disparu. Son diamètre maximal externe est de 63 mm. Il s'agit d'un bracelet filiforme ouvert, confectionné à partir d'une tige métallique enroulée dont l'une des extrémités est tronquée tandis que l'autre apparaît davantage effilée. La section est aplatie aux extrémités alors qu'elle montre un renflement dans sa partie médiane (avec une épaisseur maximale de 4 mm).

Ce type d'objet est attesté durant tout l'âge du Bronze. Il n'est donc pas suffisamment discriminant d'un point de vue strictement chronologique. Tout au plus peut-on rappeler qu'il est fréquemment représenté au sud-est du Bassin parisien, dans des contextes bien documentés du Bronze final I.

En témoignent les nombreux exemplaires du dépôt de Villethierry (Yonne ; MORDANT *et al.* 1976) ainsi que ceux issus de plusieurs ensembles funéraires du Nogentais et de l'interfluve Seine-Yonne, datés des XIVe et XIIIe siècles avant notre ère (PIETTE *et al*. 2012, p. 85).

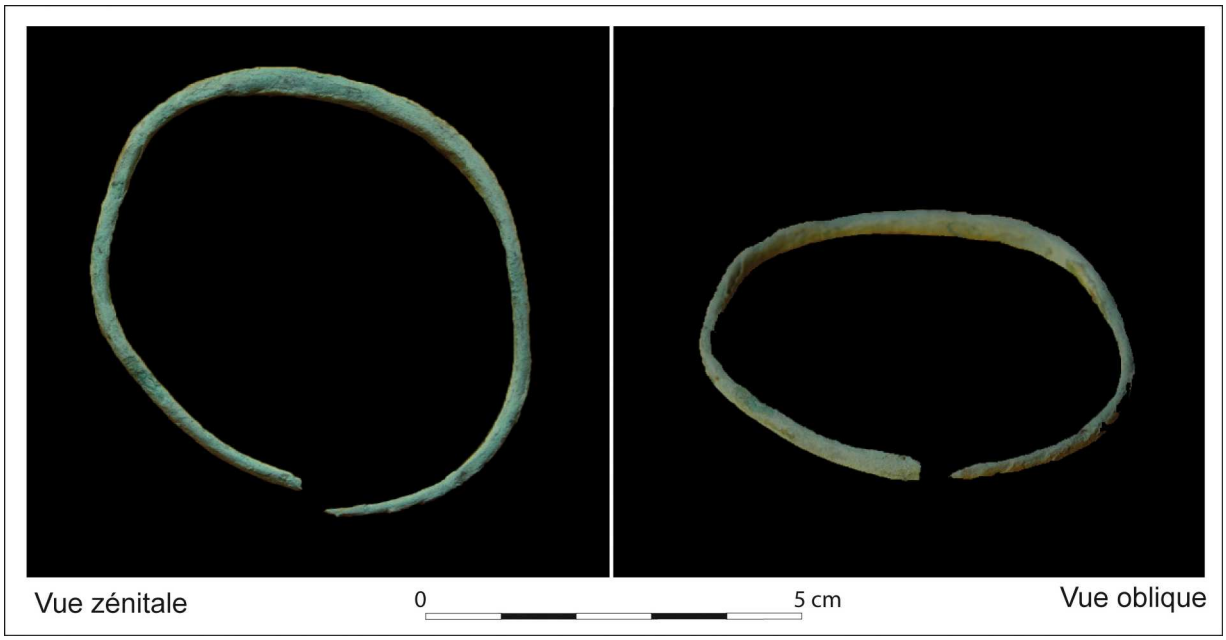

Fig. 3.3.18 : Bracelet en alliage cuivreux provenant de la fosse 2144 (© INRAP, cliché H. Civalleri)

L'épingle (**Fig. 3.3.19**)

L'épingle mesure environ 22 cm de long. Elle présente une patine verte, altérée sporadiquement. La tige, de section circulaire, est légèrement pliée au niveau du premier et du deuxième tiers de sa hauteur. Son diamètre oscille entre 3 et 4 mm.

Les deux extrémités de l'objet sont manquantes. Compte tenu de sa forme générale et de sa taille, on peut supposer que les lacunes sont modestes et restituer une épingle ne mesurant pas plus de 23-24 cm de longueur.

Le fût montre un renflement dans son tiers supérieur (de 5,4 mm de diamètre) sur lequel se développe un décor de fines nervures horizontales. Un léger bourrelet est également perceptible à quelques millimètres de l'extrémité proximale de l'épingle.

Même si la tête est manquante il semble possible d'attribuer cet objet au groupe des épingles à tête évasée et à renflement fusiforme non perforé (AUDOUZE, GAUCHER 1981 p. 61).

Celles-ci sont caractérisées par une « *tête évasée lisse, tronconique ou en trompette, un col non décoré plus ou moins long, un segment orné plus ou moins long, le plus souvent renflé* […]. *Le décor est constitué d'une seule série d'éléments horizontaux équidistants* ».

Ce type d'épingle, d'influence nord-alpine, se retrouve majoritairement dans l'axe rhodanien et la vallée de la Saône et s'est répandu au cours du Bronze final I.

Fig. 3.3.19 : Epingle en alliage cuivreux provenant de la fosse 2144 (© INRAP, cliché H. Civalleri)

N° Us	N° individu	Type de pâte	N.R	Poids en g.	Conservation	Etat du récipient
2151	47	fine	1	3	moyen	fragmentaire
2151	non dessinés	fines	3	5		
Total céramique fine			**4**	**8**		
2151	48	semi fine	1	10	moyen	fragmentaire
2151	non dessinés	semi fines	3	20		
Total céramique semi-fine			**4**	**30**		
2151	49	grossière	1	3	moyen	fragmentaire
2151	50	grossière	1	30	moyen	fragmentaire
2151	51	grossière	5	40	moyen	fragmentaire
2151	52	grossière	3	30	moyen	fragmentaire
2151	non dessinés	grossières	106	745		
Total céramique grossière			**116**	**848**		
Total général			**124**	**886**		

Fig. 3.3.20 : Fosse 2151. Inventaire général de la céramique (© INRAP, H. Civalleri)

3.3.3.2 L'excavation 2151 (Bronze final)

3.3.3.2.1 Présentation du corpus céramique

La cuvette 2151 a livré un peu moins d'un kilo de céramique pour 124 tessons (**Fig. 12b** ; **Fig. 3.3.20**). La forte fragmentation du corpus (moy. de7,14 g par tesson) n'a pas permis de reconstituer de forme. Six individus présentant des critères discriminants ont toutefois été dessinés (**Pl. 3.3.5**).

Les céramiques fines :

Elles sont peu nombreuses et exclusivement constituées de fragments de panse à l'exception d'un bord à lèvre facettée (individu 47). La pâte, de couleur noire sur les faces interne et externe, est rouge à cœur. La surface externe présente une forte altération, alors que la surface interne est beaucoup mieux conservée (**Fig. 3.3.21 et 3.3.22**).

Les céramiques semi-fines :

Elles aussi sont peu représentées au sein du corpus avec seulement trois fragments de panse et un fragment d'anse (individu 48). La forte altération de ce dernier et la disparition des surfaces utiles ne permettent pas de connaitre le degré de finition de cette céramique. Les dégraissants sont nombreux et sont majoritairement constitués de petits grains de quartz.

Fig. 3.3.21 : Face externe de l'individu 2151-47 (© INRAP, cliché H. Civalleri)

Fig. 3.3.22 : Face interne de l'individu 2151-47 (© INRAP, cliché H. Civalleri)

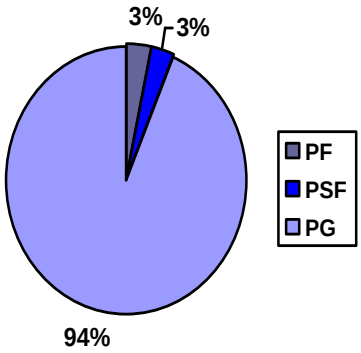

Fig. 3.3.23 : EX2151. Fréquence du type de pâte en fonction du nombre de reste (© INRAP, H. Civalleri)

Les céramiques grossières :

Elles sont majoritaires au sein de cet ensemble avec plus de 90 % du corpus (**Fig. 3.3.23**). À l'instar de ce qui a été relevé sur le matériel de la fosse 2144, les cuissons sont irrégulières et les couleurs des pâtes sont diverses. Les dégraissants sont nombreux et de taille généralement importante (**Fig. 3.3.24**).

Fig. 3.3.24 : Individu 2151-52. Détail des dégraissants (© INRAP, cliché H. Civalleri).

Quatre individus ont été distingués. Il s'agit de trois bords appartenant à des pots de grand volume et d'un fragment de panse, décoré d'un cordon lisse triangulaire.

3.3.3.2.2 EX2151 : comparaisons et proposition de datation

Aucune forme n'a pu être clairement identifiée au sein de ce lot. On peut cependant noter que la composition des pâtes et que les modes de cuisson sont très proches de ceux observés sur les céramiques de la fosse 2144, attribuées au Bronze final IIa.

De plus, les bords clairement individualisés des pots et le décor de cordon lisse sont des traits distinctifs des productions de l'étape I du Bronze final. En témoignent les assemblages céramiques issus des opérations déjà mentionnées de Tigery et de Morangis (BRUNET 2011 et 2009).

L'absence de céramique fine et l'extrême rareté des décors ne permettent pas de proposer une datation précise. Il semble toutefois judicieux de rattacher cet ensemble à la phase d'occupation à laquelle appartient la fosse 2144.

3.3.3.3 La fosse 2154

Deux tessons ont été récoltés lors du décapage de la fosse 2154 (**Pl. 3.3.5** ; **Fig. 3.3.25**). Il s'agit d'un fragment de panse en céramique grossière et d'un bord de gobelet en céramique fine à pâte beige. Le bord oblique indirect à face plane interne se retrouve dans les productions du Bronze final et du Hallstatt ancien. L'absence de critères réellement discriminants et l'indigence du mobilier récolté ne permettent pas d'affiner davantage la datation.

N° Us	N° individu	Type de pâte	N.R	Poids en g.	Conservation	Etat du récipient
2154	54	fine	1	6	moyen	fragmentaire
Total céramique fine			**1**	**6**		
2154	non dessinés	grossières	1	20		
Total céramique grossière			**1**	**20**		
Total général			**2**	**26**		

Fig. 3.3.25 : Fosse 2154 inventaire de la céramique (© INRAP, H. Civalleri)

3.3.4 Le secteur NO (Fen02-A ; Protohistoire indét.)

3.3.4.1 Le trou de poteau 2474

Au sein de l'ensemble d'une quinzaine de trous de poteau de la fenêtre 02-A (**Fig. 30**), seuls deux tessons en céramique grossière proviennent du fait 2474. Il s'agit d'un fond plat et d'un fragment de panse à décor digité (**Fig. 3.3.26** ; **Pl. 3.3.5**). Les pâtes de couleur brun-rougeâtre à brun sur les faces externe et interne, et brun-violacé à cœur, sont similaires.

Ces deux tessons semblent provenir d'un seul et même individu.

Le caractère ubiquiste du fond plat et du décor digité sur la panse permet simplement de l'attribuer à la Protohistoire *lato-sensu*.

N° Us	N° individu	Type de pâte	N.R	Poids en g.	Conservation	Etat du récipient
2474	53	grossière	1	10	moyen	fragmentaire
2474	53 bis	grossière	1	16	moyen	fragmentaire
Total céramique grossière			2	26		

Fig. 3.3.26 : PO2474, inventaire de la céramique (© INRAP, H. Civalleri)

3.3.5 Le secteur ouest (Protohistoire indét.)

(**Fig. 34-35**)

N° Us	N° individu	Type de pâte	N.R	Poids en g.	Conservation	Etat du récipient
2241	75	grossière	1	4	moyen	fragmentaire
	76	grossière	1	5	moyen	fragmentaire
	non dessiné	grossière	51	143		
2241	**Total céramique grossière**		**53**	**152**		
2312	57	semi fine	1	20	moyen	fragmentaire
	Total céramique semi-fine		**1**	**20**		
	non dessiné	grossière	2	20		
	Total céramique grossière		**2**	**20**		
2312	**Total général**		**3**	**40**		
2345	55	grossière	10	306	mauvais	fragmentaire
2345	**Total céramique grossière**		**10**	**306**		
TOTAL SECT. OUEST			**66**	**498**		

Fig. 3.3.27 : SECT. OUEST. Inventaire de la céramique modelée des Us 2241, 2312 et 2345 (© INRAP, H. Civalleri)

3.3.5.1 Ramassage 2241 (TR21)

Le matériel récolté lors du décapage de la zone est exclusivement constitué de récipients réalisés en pâte grossière (**Fig. 3.3.27** ; **Pl. 3.3.6**). La fragmentation importante des vases n'a pas permis la reconstitution de formes typologiques. Seuls deux tessons présentent des caractères morphologiques discriminants : en dehors d'un bord court et individualisé dont la surface est altérée, a également été isolé un fragment de panse, décoré d'une cannelure fine.

Les dégraissants employés et les modes de cuisson évoquent ceux observés sur les céramiques provenant de la fosse 2144. La morphologie du bord et le décor de cannelure coïncident avec les productions du Bronze final. Ce type de récipients perdure cependant au premier Âge du Fer et nous ne pouvons exclure une datation plus récente.

3.3.5.2 Fosse 2312 (méd. à moderne)

Seulement trois tessons ont été récoltés dans ce secteur (**Fig. 3.3.27** ; **Pl. 3.3.6**). Le fragment de récipient à bord légèrement éversé, réalisé en pâte semi-fine, ne permet pas de proposer de datation précise. Il évoque aussi bien des productions du Bronze final que du premier Âge du Fer.

3.3.5.3 Fosse 2344

Un seul tesson de 5 g provient de cette structure. Il s'agit d'un bord à légère inflexion divergente, réalisé en céramique semi-fine (**Pl. 3.3.6**). Les faces externe et interne présentent une coloration beige alors que la pâte est grise à cœur. Le caractère ubiquiste de ce fragment permet tout au plus de l'attribuer à la Protohistoire.

3.3.5.4 Poteau 2345

La fouille a livré dix tessons appartenant à un seul et même vase dont nous avons pu réaliser une reconstitution graphique partielle (**Fig. 3.3.27** ; **Pl. 3.3.6**). Il s'agit d'un pot à ressaut, à bord légèrement éversé et à lèvre biseautée vers l'intérieur. S'il appartient de par l'épaisseur de ses parois à la céramique grossière, les dégraissants employés sont, quant à eux, de petite taille. En outre, la surface de la céramique a subi un lissage relativement soigné, évoquant plutôt le vaisselier réalisé en pâte semi-fine ou fine. Les surfaces interne et externe sont beige-orangées alors que la pâte est grise à cœur.

On rencontre des exemplaires morphologiquement proches, régulièrement décorés d'impressions digitées, sur plusieurs gisements franciliens. Dans le département de l'Essonne, les vases comparables mis au jour à Wissous « Le Pérou » constituent les meilleurs parallèles. Ils sont datés du Hallstatt final (BERGOT 2007, BARDEL 2012, p. 978 et 981).

Plus largement, ce type de pot est attesté du Hallstatt D1 à La Tène A (BARDEL 2012, p. 120) ce qui ne permet pas de proposer de datation fine.

3.3.6 Le secteur nord est (Hallsatt –D1 ?)

(**Fig. 24**)

N°Us	N° individu	Type de pâte	N.R	Poids en g.	Conservation	Etat du récipient
2514	67	fine	1	15	moyen	fragmentaire
2514	73		3	5	moyen	fragmentaire
2514	non dessiné		4	5		
Total céramique fine			**8**	**25**		
2514	69	semi fine	1	5	bon	fragmentaire
2514	70		2	15	moyen	fragmentaire
2514	72		1	4	moyen	fragmentaire
2514	74		1	4	moyen	entier
2514	non dessiné		21	170		
Total céramique semi-fine			**26**	**198**		
2514	66	grossière	4	100	moyen	fragmentaire
2514	68	grossière	1	5	moyen	fragmentaire
2514	71	grossière	1	15	bon	fragmentaire
2514	non dessiné	grossière	110	865		
Total céramique grossière			**116**	**985**		
Total général			**150**	**1208**		

Fig. 3.3.28 : Fosse 2514, inventaire de la céramique (© INRAP, H. Civalleri)

3.3.6.1 Fosse 2514

3.3.6.1.1 Présentation du corpus céramique

Cette fosse, fouillée par moitié lors du diagnostic, a livré 1,20 kg de céramique pour 150 fragments, soit un lot assez important de céramique (**Fig. 3.3.28** ; **Pl. 3.3.7**). La fragmentation élevée du matériel n'a pas permis de restitution complète ou partielle de formes. Il a cependant été possible de comptabiliser neuf individus présentant des morphologies discriminantes.

<u>La céramique fine :</u>

Cette catégorie est peu représentée en nombre de tessons, mais a cependant livré deux vases différents (individus 67 et 73).

Les couleurs des pâtes sont variables. Elles peuvent être de couleur noire en surface et à cœur, à l'image de l'individu 67. Mais on observe aussi des modes de cuisson plus hétérogènes, avec des pâtes de couleur brune pour les faces interne et externe, et un cœur de type sandwich où alternent des teintes noires et orangées. L'intérieur et l'extérieur des récipients sont soigneusement lissés. Les

dégraissants employés sont fins, mais restent visibles à l'œil nu.

L'individu 67 appartient sans doute à une forme ouverte de type jatte ou bol. Il présente un décor de trois cannelures horizontales qui soulignent le bord du récipient. L'individu 73 appartient lui aussi certainement à une forme ouverte de type jatte ou bol, à carène haute et à bord droit aplati.

La céramique semi-fine :

Les pâtes présentent généralement sur leurs faces interne et externe une coloration brune à brun-orangé et un cœur sombre ou de type sandwich. Les dégraissants utilisés ne dépassent pas les quelques millimètres et sont peu abondants. Les surfaces présentent une finition soignée.

Quatre bords appartenant à des récipients différents ont pu être dessinés (individus 69, 70, 72 et 74). Seul l'individu 72 est orné d'impressions digitées qui se développent sur la lèvre. Il s'agit vraisemblablement de bords peu ou pas individualisés, continués par des lèvres aux morphologies variées : biseautée et aplatie vers l'intérieur pour l'individu 70, aplatie pour l'individu 69, et légèrement en gouttière pour l'individu 74.

La céramique grossière :

Majoritaire en poids et en nombre de restes, la céramique grossière est matérialisée par trois individus seulement (individus 66, 68 et 71). Les surfaces présentent des teintes beiges à orangées, et les cœurs sont de couleur sombre. Les cuissons semblent assez homogènes et les dégraissants employés restent plutôt fins à moyens.

Tous les récipients sont décorés d'impressions appliquées sur la lèvre. L'individu 66 – un fragment de pot à ressaut – présente un décor supplémentaire, réalisé à l'ongle, qui souligne l'épaulement.

3.3.6.1.2 FS2514 : comparaisons et proposition de datation

Comme nous l'avons déjà mentionné, les pots à ressauts perdurent pendant tout le Hallstatt D et jusqu'au début de La Tène A (BARDEL 2012, p. 120). Ils ne permettent pas une datation précise. Seul l'individu 67, bien que très fragmentaire, permet d'affiner cette chronologie. En effet, la forme ouverte, le bord non individualisé et la présence de cannelures soulignant le haut du vase sont des caractéristiques récurrentes au sein des ensembles datés du Hallstatt D1. Les corpus céramiques de référence pour le Hallstatt D1 en Bassée et autour du confluent Seine-Yonne proposent d'ailleurs des exemplaires proches des individus décrits plus haut (PEAKE *et al*. 2010, fig. 8 st. 56.1, fig. 15 st. 1). De plus les décors d'impressions digito-unguéales réalisés sur les lèvres ou sur l'inflexion de la panse sont fréquents dans ces mêmes ensembles. Ils se rapprochent sensiblement de ce qui a été mis en évidence au Coudray-Montceaux.

Dans sa thèse consacrée à la céramique du Hallstatt D à La Tène A, D. Bardel souligne la prépondérance du décor cannelé dans les corpus du Hallstatt D1. Il ajoute que ce type de décor est peu à peu abandonné et se raréfie dans les faciès plus récents (BARDEL 2012, p. 156 et 159). Le corpus découvert au sein de la fosse 2514 coïncide avec les formes et les décors caractéristiques qu'il a mis en évidence pour l'étape 1 de sa périodisation (Hallstatt D1 ; BARDEL 2012, fig. 114 à 117, p. 187 à 190).

N° Us	N° individu	Type de pâte	N.R	Poids en g.	Conservation	Etat du récipient
2515	63	fine	1	4	mauvais	fragmentaire
2515	64	fine	1	5	moyen	fragmentaire
2515	non dessinés	fine	1	3		
Total céramique fine			**3**	**12**		
2515	61	semi fine	2	5	moyen	reconstituable en partie
2515	62	semi fine	1	4	moyen	fragmentaire
2515	non dessinés	semi fine	9	60		
Total céramique semi-fine			**12**	**69**		
2515	non dessinés	grossière	13	90		
Total céramique grossière			**13**	**90**		
Total général			**28**	**171**		

Fig. 3.3.29 : Fosse complexe 2515, inventaire de la céramique (© INRAP, H. Civalleri)

3.3.6.2 Fosse complexe 2515

Avec un peu moins de 200 g de céramique, la fosse 2515 a livré assez peu de mobilier (**Fig. 3.3.29** ; **Pl. 3.3.8**). Les pâtes présentent les mêmes caractéristiques que celles décrites pour l'assemblage de la structure 2514. Les dégraissants sont fins à moyens, y compris pour les formes les plus épaisses, et les cuissons relativement homogènes.

Nous avons pu discriminer quatre formes au sein de ce lot (individus 61, 62, 63 et 64). Ils sont tous issus de productions fines ou semi fines et montrent une finition soignée. Seul l'individu 61 – une jatte à bord rentrant – a pu faire l'objet d'une proposition de

restitution graphique partielle. L'individu 62, très fragmentaire, porte un décor d'impressions sur sa lèvre. Les individus 63 et 64 ont été dessinés en raison de leur intérêt stylistique ou morphologique. Sur le premier, bien que la surface soit très altérée, on peut encore deviner un décor de cannelures horizontales. Le deuxième présente une inflexion marquée sur la panse permettant de le rattacher à la catégorie typologique des jattes ou écuelles carénées.

L'indigence des formes reconnues ne permet pas une attribution ferme et définitive de ce lot. La jatte à bord rentrant fait partie des formes ubiquistes et trouve des comparaisons couvrant l'ensemble du Hallstatt D et le début de La Tène. Cependant, la présence du décor de cannelures pourrait indiquer une chronologie plutôt ancienne, centrée sur le Hallstatt D1. Le décor d'impressions de l'individu 62 évoque ceux rencontrés dans la fosse 2514. La proximité géographique des deux structures, la similarité des caractères technologiques et stylistiques des vases qui en sont issus semblent indiquer la relative contemporanéité de deux lots étudiés. Ceux-ci peuvent être attribués au Hallstatt D1.

N° Us	N° individu	Type de pâte	N.R	Poids en g.	Conservation	Etat du récipient
2513	non dessiné	fine	4	12		
Total céramique fine			**4**	**12**		
2513	59	semi fine	1	20	moyen	fragmentaire
2513	non dessiné		10	35		
Total céramique semi-fine			**11**	**55**		
2513	60	grossière	1	5	moyen	fragmentaire
2513		grossière	73	295		
Total céramique grossière			**74**	**300**		
Total général			**89**	**367**		

Fig. 3.3.30 : Fosse 2513, inventaire de la céramique (© INRAP, H. Civalleri)

3.3.6.3 Fosse 2513

Bien qu'ayant livré presque 400 g de céramique, seuls deux éléments présentant des caractères discriminants ont été identifiés (**Fig. 3.3.30** ; **Pl. 3.3.8**). Il s'agit d'un tesson en céramique grossière, orné d'impressions soulignant l'inflexion de la panse (individu 60), et d'un fragment de récipient à bord droit, présentant un décor d'impressions sur la lèvre et confectionné en céramique semi-fine (individu 59). Les colorations des pâtes des deux individus sont identiques.

Les décors d'impressions et les bords droits ne sont pas des marqueurs chronologiques fiables. Cependant la proximité immédiate de la fosse 2514 et la similarité des caractéristiques techniques et morphologiques avec les éléments mis au jour dans cette dernière peuvent indiquer une contemporanéité des deux structures.

N° Us	N° individu	Type de pâte	N.R	Poids en g.	Conservation	Etat du récipient
2545	non dessiné	fine	1	10		
Total céramique fine			**1**	**10**		
2545	58	semi fine	15	180	bon	reconstituable en partie
Total céramique semi-fine			**15**	**180**		
2545	non dessiné	grossière	11	65		
Total céramique grossière			**11**	**65**		
Total général			**27**	**255**		

Fig. 3.3.31 : Poteau 2545, inventaire de la céramique (© INRAP, H. Civalleri)

3.3.6.4 Poteau 2545

Plus de la moitié du mobilier céramique mis au jour dans le comblement de ce poteau appartient à une jatte à bord droit et lèvre arrondie, réalisée en céramique semi-fine de couleur beige (**Fig. 3.3.31** ; **Pl. 3.3.8**). La bonne conservation de ces fragments a permis la reconstitution graphique partielle de cette forme dont le diamètre à l'ouverture a été estimé à 30 cm.

Un seul tesson en céramique fine a été mis au jour dans le poteau. Il présente des stigmates ténus de peinture rouge, appliquée semble-t-il en aplat sur toute la surface.

La jatte à bord droit est une forme ubiquiste dans les vaisseliers du premier et du début du second Âge du Fer. La présence de peinture rouge ne permet pas d'affiner davantage la datation.

3.3.6.5 Poteau 2570

Les éléments mis au jour dans cette structure sont presque exclusivement constitués de fragments de panse, réalisés en céramique grossière ne permettant pas de proposer de datation (**Fig. 3.3.32**).

Un seul tesson confectionné en céramique semi-fine a fait l'objet d'un dessin. Il s'agit d'un bord présentant une légère inflexion vers l'extérieur et à lèvre biseautée et étirée vers l'intérieur (**Pl. 3.3.8**).

L'absence de critère morphologique ou stylistique discriminant ne nous permet pas de proposer une datation plus précise que le premier âge du Fer et le début du second.

N° Us	N° individu	Type de pâte	N.R	Poids en g.	Conservation	Etat du récipient
2570	65	semi fine	3	20	mauvais	fragmentaire
Total céramique semi-fine			**3**	**20**		
2570	non dessiné	grossière	81	335		
Total céramique grossière			**81**	**335**		
Total général			**84**	**355**		

Fig. 3.3.32 : Poteau 2570, inventaire de la céramique (© INRAP, H. Civalleri)

3.3.7 Conclusion

(**Fig. 57**)

L'étude du mobilier céramique et métallique attribuable à la Protohistoire a permis de mettre en évidence au moins deux grandes phases d'occupation. La première est assurément centrée sur la transition entre les XIIIe et XIIe siècles avant notre ère ; la seconde, plus tardive, prend place à la charnière du Hallstatt moyen et du Hallstatt final.

3.3.7.1 Occupation du Bronze final I-IIa

Les vestiges d'une occupation de l'étape initiale du Bronze final ont été clairement identifiés dans les secteurs ouest et sud-est. Ce dernier concentre cependant la majorité des structures ayant livré du mobilier caractéristique de cette période. La richesse de l'assemblage céramique découvert dans le remplissage de la fosse 2144 et la présence de deux parures en alliage cuivreux laissent envisager l'existence d'une occupation domestique d'un statut tout à fait singulier dont on ne connaît pas encore d'équivalent dans le département de l'Essonne.

Par ailleurs, l'identification de vestiges liés à la métallurgie mérite d'être soulignée dans la mesure où il est extrêmement rare d'observer de tels indices sur les sites du Bronze final. À l'échelle intra-site, cela signale la présence probable d'un atelier de bronzier, impliqué dans la production d'objets en alliage cuivreux dont la nature n'a malheureusement pas pu être déterminée. Au niveau supra-local, cela permet de considérer cet habitat comme une occupation d'un rang supérieur, sans doute intégrée à un réseau de sites dont on ne connaît évidemment pas les ramifications.

Au-delà, le mobilier mis au jour au Coudray-Montceaux contribue à alimenter les réflexions en cours sur l'évolution des vaisseliers de l'étape initiale du Bronze final dans un secteur de l'Île-de-France souffrant d'un déficit documentaire criant. Les habitats du Bronze final I-IIa sont effectivement peu nombreux dans cette zone située aux confins occidentaux du complexe nord-alpin (NALLIER 2004) alors même que les trouvailles d'objets métalliques isolés laissent supposer un important dynamisme des communautés locales dès la seconde moitié du XIVe siècle avant notre ère. De ce point de vue, la poursuite des investigations permettrait non seulement d'abonder les corpus de référence en cours de constitution, mais encore d'affiner les connaissances relatives à l'évolution de la frontière entre les complexes culturels atlantique et nord-alpin à l'aube du Bronze final.

3.3.7.2 Occupation du Hallstatt D1

Les structures appartenant au premier âge du Fer se concentrent plus particulièrement dans les secteurs nord-est et ouest. Celles ayant livré le matériel le plus discriminant sont localisées dans le secteur nord-est et peuvent être datées du Hallstatt D1.

Force est de constater que les comparaisons locales demeurent peu abondantes. De façon générale, la transition entre le Hallstatt moyen et le Hallstatt final est peu ou pas connue dans ce secteur géographique. Les travaux récents de D. BARDEL (2012) sur les occupations du Hallstatt D à La Tène A dans le Centre-Est de la France illustrent ce hiatus puisque seuls trois sites essonniens – tous datés du Hallstatt final – sont recensés. À ce corpus viennent s'ajouter les fouilles récentes réalisées à Wissous en 2012 et 2013 (CIVALLERI *in* QUENEZ 2014 ; LOUESDON *in* BLANCHARD 2015), qui ont mis en évidence des sites domestiques plutôt occupés entre le Ha D2-3 et La Tène A.

Un dernier secteur, localisé au nord du diagnostic (tranchée 2), a livré un petit ensemble de structures appartenant à la Protohistoire. La faiblesse quantitative du mobilier récolté ne permet pas d'envisager de datation précise. Seule la découverte de nouveaux indices matériels plus discriminants permettrait, le cas échéant, de rattacher cet ensemble à l'une ou l'autre des occupations déjà mentionnées.

3.3.8 Références bibliographiques de l'annexe 3

Adam *et al.* 2009 : ADAM (S.) – Morangis (Essonne), « Clos de Louant ». Rapport de diagnostic, Pantin Inrap CIF, 2009.

Audouze et Gaucher (1981) : AUDOUZE (f.), GAUCHER (g.) – Typologie des objets de l'âge du bronze en France, fasc. 6 : épingles . - Paris : Société Préhistorique Française, 1981. - Fiches, 114 p.

Bardel 2012 : BARDEL (D.) - *Société, économie et territoires à l'âge du Fer dans le Centre-Est de la France*. Analyse des corpus céramiques des habitats du Hallstatt D-La Tène A (VIIe-Ve siècle av. J.-C.), Thèse de doctorat Université de Bourgogne.

Bergot *et al.* (2007) : BERGOT (E.), AUXIETTE (G.), BARDEL (D.), BERTIN (P.) –Wissous (Essonne), "ZAC des Hauts de Wissous" : Le Tartre, Le Pérou : rapport de fouille ; Pantin : Inrap CIF, 2007.

Blanchard *et al.* (2015) : BLANCHARD (J.), ROYER-PEREZ (N.), BAYLE (G.), BOULEN (M.), BUQUET-MARCON (C.), CORNU (J.), CHAOUI-DERRIEUX (D.), DERREUMAUX (M.), LECONTE (L.), LEFEVRE (A.), LE GOFF (C.), LEPAREUX-COUTURIER(S.), LOUESDON (E.), SEGUIER (J.-M.),VALLAT (P.) – Wissous et Paray-Vieille-Poste (Essonne), Zone nord-ouest de la plateforme aéroportuaire d'Orly Voie des Morvilliers, Rapport de fouille, Pantin Inrap CIF, 2015

Brunet (2006) : BRUNET (P.) – La céramique du Bronze final et du début du premier Âge du Fer en vallée de Marne, état des recherches in *Bulletin de la S.P.F*. 2006, tome 103 pp. 313-322.

Caparos (2009) : CAPAROS (T.), FRANEL (Y.), WATEZ (J.), NALLIER (R.), RENEL (F.) – Aubervilliers. Rue du Port- rue du Chemin vert, Ilot de la clinique de la Roseraie (Seine-Saint-Denis), rapport de diagnostic, Pantin Inrap CIF, 2009.

Hurard *et al.* (2011): HURARD (S.), BRULEY-CHABOT (G.) ,BOJARSKI (M.), BRUNET (P.), NALLIER (R.), Saint- Pathus, (Seine-et-Marne), Les Petits Ormes- Les Rouges Chaperons, Rapport de fouille, Pantin Inrap CIF, 2011.

Mordant *et al.* (1976) : MORDANT (C.), MORDANT (D.), PRAMPART (J.-Y). – *Le dépôt de bronze de Villethierry (Yonne)*, Paris, Éditions du CNRS (IXe supplément à Gallia Préhistoire, 233 p.

Piete *et al.* (2012) : PIETTE (J.), MORDANT (C.), ROTTIER (S. – Le mobilier métallique : étude typochronologique, *in* ROTTIER S., PIETTE J., MORDANT C. (dir.), *Archéologie funéraire du Bronze final dans les vallées de l'Yonne et de la haute Seine : les nécropoles de Barbey, Barbuise et La Saulsotte*, Dijon, Éditions universitaires de Dijon (Collection Art, Archéologie et Patrimoine), p. 75-142.

Nallier (2004) : NALLIER (R.) –Nature et évolution de la frontière entre les complexes culturels atlantique et nord-alpin dans le Bassin parisien au cours du Bronze final. Mémoire de DEA sous la direction de P. Brun, 2003-2004, Université de Paris I Panthéon-Sorbonne.

Peake et Delattre (2015) : PEAKE (R.), DELATTRE (V.), PRADAT (B.) – La nécropole de « la Croix-Saint-Jacques » à Marolles-sur-Seine (Seine et Marne) et l'étape initiale du Bronze final à l'interfluve Seine-Yonne. Mémoires de la Société préhistorique française 60 Paris, Société préhistorique française, 2015.

Peake *et al.* 2010 : PEAKE (R.), ISSENMANN (R.), RIMBAULT (S.), VALERO (C.) – Ensembles céramiques caractéristiques du Hallstatt D1 de la Bassée et de la confluence Seine-Yonne (Seine-et-Marne), Revue archéologique d'Île-de-France, tome 3, 2010, pp.85.105

Quenez *et al.* (2014) : QUENEZ (J.-P.), CIVALLERI (H.), AUXIETTE (G.) DELATTRE (V.), LEPAREUX-COUTURIER(S.), SEGUIER (J.-M.) – Wissous (Essonne) aéroport d'Orly Zone sud-est Les Soixante Arpents - L'entrée des Champs Bussins, Rapport intermédiaire de fouille, Pantin, Inrap CIF, 2014

Saron *et al.* (2011) : SARON (E.), BLASER (F.), BLASER (R.), BRUNET (P.) – Tigery (Essonne), ZAC de Tigery Est : secteurs 1 et 2 : Le Plessis Saucourt, rapport de diagnostic, Pantin, Inrap CIF, 2011.

Secteur sud-est
Fosse 2144

Le Coudray Montceaux (91)
Zac des Haies Blanches (D114409)
Diagnostic 2017

Individu 5

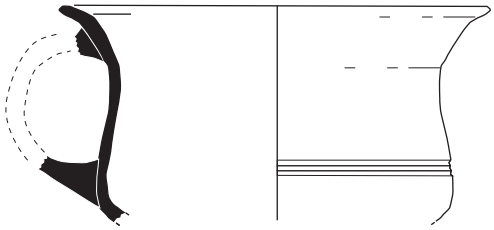

Individu 1

Individu 7

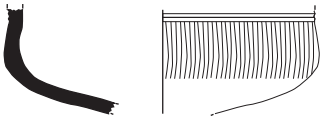

Individu 8

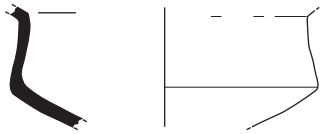

Individu 6

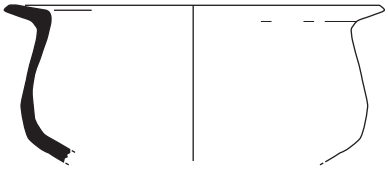

Individu 11

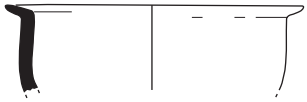

Individu 9

Individu 38

Individu 41

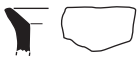

Individu 39

Individu10

Individu 13

Individu 44

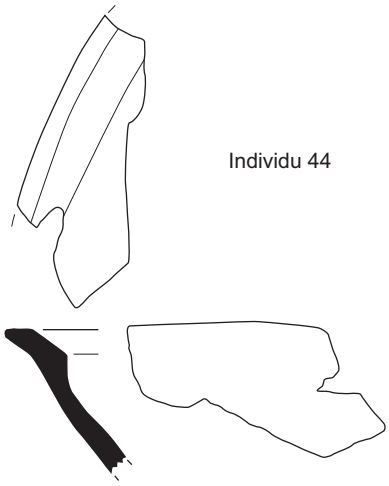

0 5 10 cm

Planche 3.3.1

(Dessins et DAO H.Civalleri)

Secteur sud-est
Fosse 2144

Le Coudray Montceaux (91) 2017
Zac des Haies Blanches (D114409)
Diagnostic 2017

Individu 3

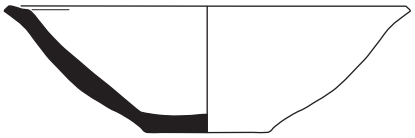

Individu 4

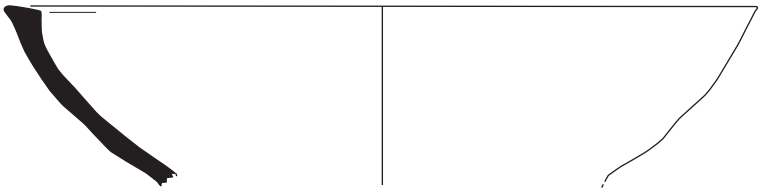

Individu 2

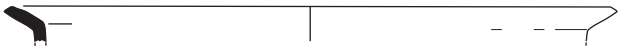

Individu 16

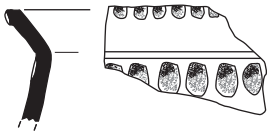

Individu 12

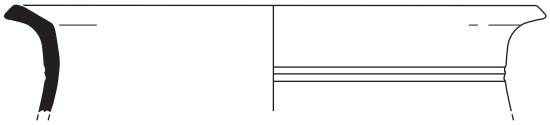

Individu 29

Individu 14

Individu 31

Individu 32

Individu 17

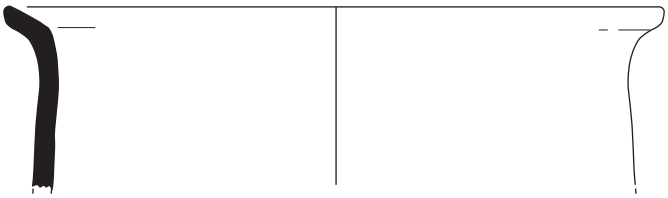

Individu 40

Individu 23

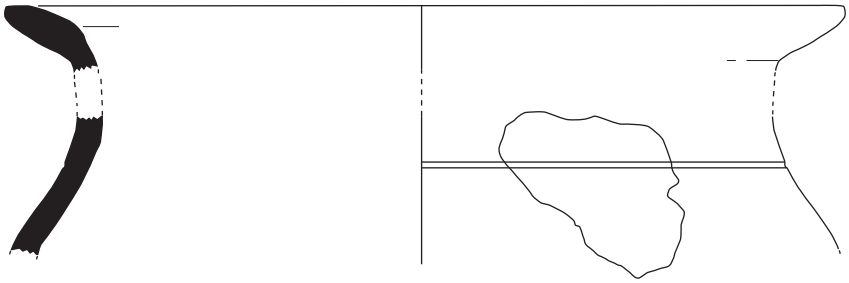

0 5 10 cm

Planche 3.3.2

(Dessins et DAO H.Civalleri)

Secteur sud-est
Fosse 2144

Le Coudray Montceaux (91)
Zac des Haies Blanches (D114409)
Diagnostic 2017

Individu 15

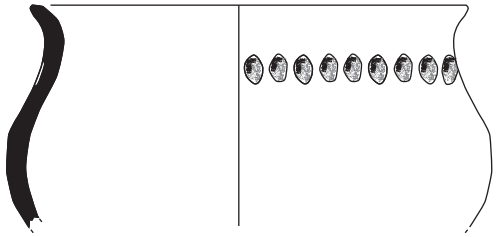

Individu 18

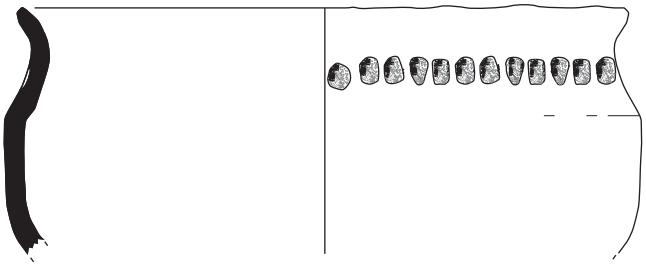

Individu 19

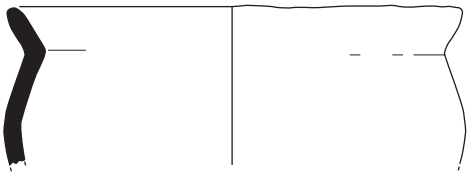

Individu 24

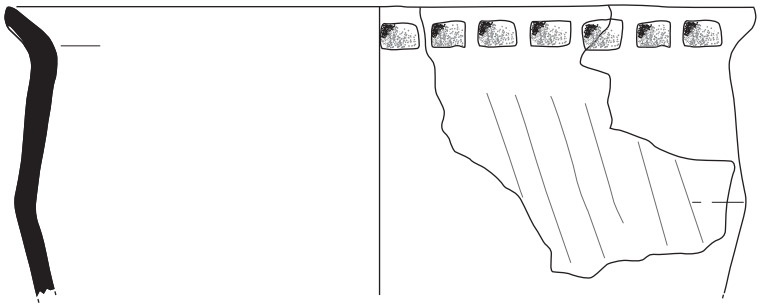

0 5 10 cm

Planche 3.3.3

(Dessins et DAO H.Civalleri)

Le Coudray Montceaux (91)
Zac des Haies Blanches (D114409)
Diagnostic 2017

Secteur sud-est
Fosse 2144

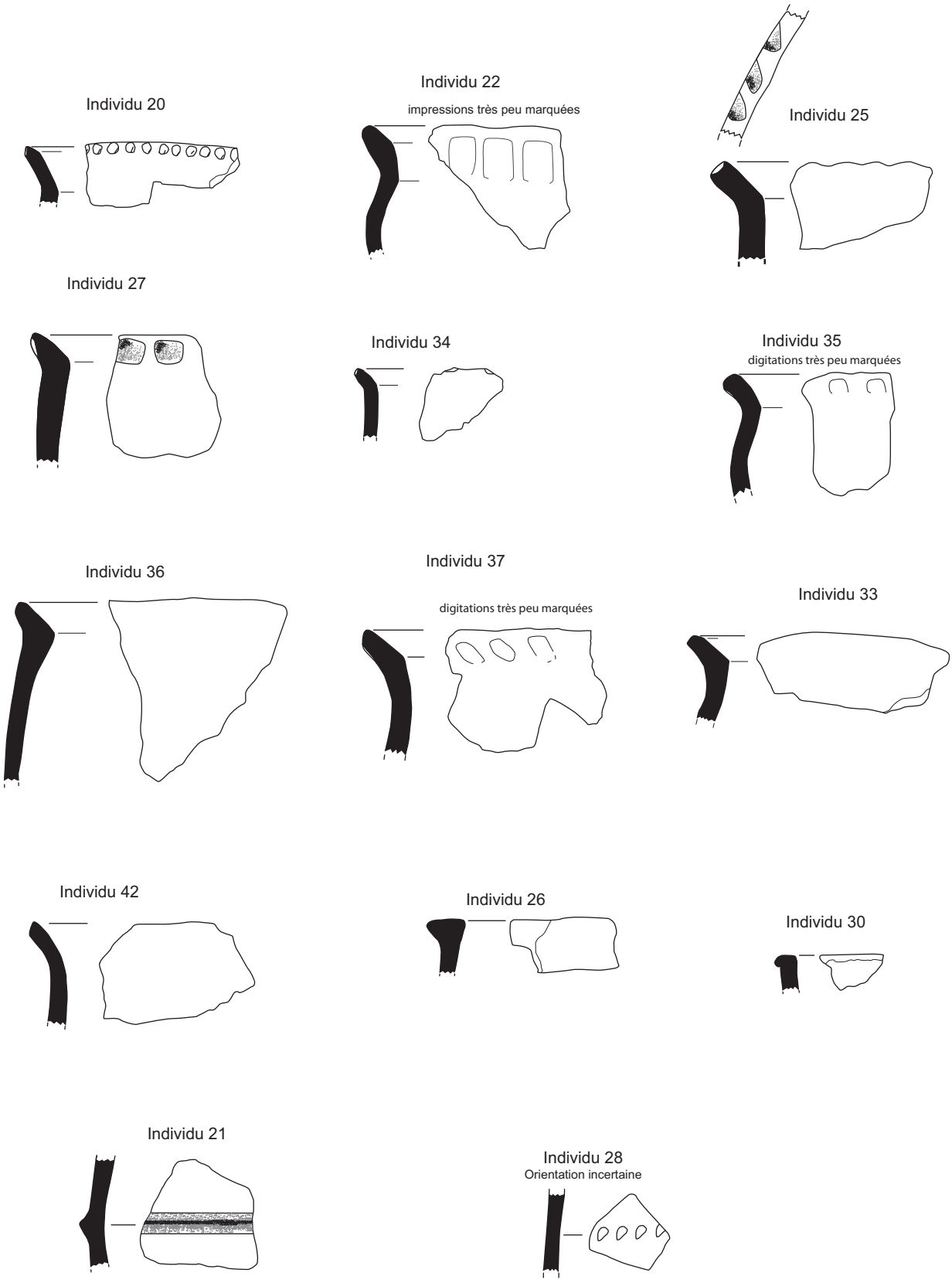

0 5 10 cm

Planche 3.3.4

(Dessins et DAO H.Civalleri)

Le Coudray Montceaux (91)
Zac des Haies Blanches (D114409)
Diagnostic 2017

Secteur sud-est
Fosse 2151

Individu 47

Individu 48

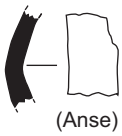

(Anse)

Individu 49

Individu 50

Individu 51

Individu 52

Secteur sud-est
Fosse 2154

Individu 54

Secteur nord-ouest
TP 2474

Individu 53

orientation
incertaine

0 5 10 cm

Planche 3.3.5

(Dessins et DAO H.Civalleri)

Le Coudray Montceaux (91)
Zac des Haies Blanches (D114409)
Diagnostic 2017

Secteur ouest ramassage 2241

Individu 76

Individu 75

Secteur ouest Fosse 2344

Individu 56

Secteur ouest fosse historique 2312

Individu 57

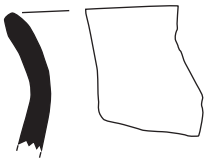

Secteur ouest Poteau 2345

Individu 55

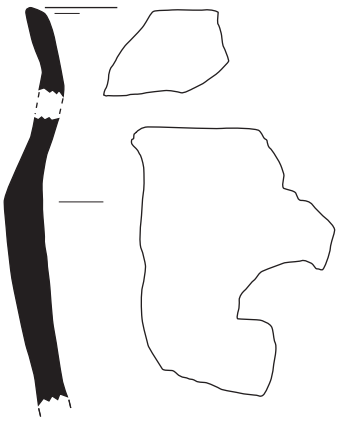

0 5 10 cm

Planche 3.3.6

(Dessins et DAO H.Civalleri)

Secteur nord-est
Fosse 2514

Le Coudray Montceaux (91)
Zac des Haies Blanches (D114409)
Diagnostic 2017

Individu 67

Individu 73

Individu 74

Individu 69

Individu 70

Individu 68

Individu 71

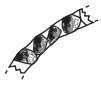

Individu 72

Individu 66

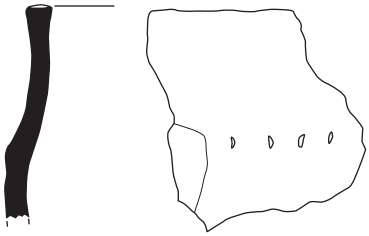

0 5 10 cm

Planche 3.3.7

(Dessins et DAO H.Civalleri)

Le Coudray Montceaux (91)
Zac des Haies Blanches (D114409)
Diagnostic 2017

Secteur nord est
PO 2545

Individu 58

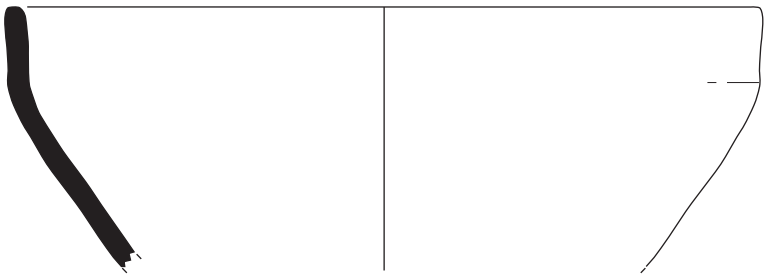

Secteur nord est
Fosse 2513

Individu 60

Orientation inceratine

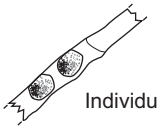

Individu 59

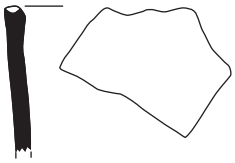

Secteur nord-est
PO 2570

Individu 65

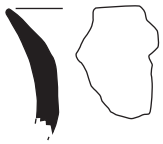

Secteur nord est
Fosse 2515

Individu 61

Individu 62

Individu 63

Orientation incertaine

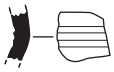

Cannelures à peine marquées

Individu 64

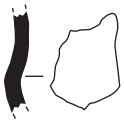

0 5 10 cm

Planche 3.3.8

(Dessins et DAO H.Civalleri)

3.4 ANNEXE 4 : ETUDE DES RESTES OSSEUX (Grégory BAYLE, INRAP)

Le diagnostic réalisé au Coudray-Montceaux, ZAC des Haies Blanches (91) en 2017 (responsable d'opération : Gilles Desrayaud, Inrap CIF) a livré quelques restes osseux d'animaux. Au vu de l'emprise, 20 ha, et de la surface diagnostiquée, 12,4 %, ces restes osseux ne sont pas nombreux. On compte en effet un total de 34 restes pour une masse de 710 grammes (hors restes d'un chien en connexion ; **Fig. 3.4.4**, *infra*).

Plusieurs raisons peuvent expliquer ce faible effectif.

La première concerne le nombre réduit de structures ayant livré de la faune. Sur environ 500 Us et faits mises au jour lors de ce diagnostic, 9 ont livré des restes fauniques. Il faut cependant signaler que sur la totalité des structures mises au jour, seules une vingtaine ont fait l'objet de sondage. Cela suppose donc que d'autres, non testées, peuvent livrer des restes fauniques.

La deuxième raison est le pourcentage fouillé des structures testées et le mode de collecte des vestiges. Plusieurs d'entre elles n'ont été en effet que ponctuellement testées, à la pelle mécanique ou manuellement. Cela a une forte incidence sur le volume et la représentativité des lots de restes collectés. La plupart de ces lots sont constitués de quelques restes seulement.

Enfin, une troisième raison peut être envisagée, celle de conditions défavorables à la conservation des restes osseux. Plusieurs vestiges ont en effet livré des restes très dégradés. Pour certains, les lots collectés sont constitués de restes dentaires dont il ne reste plus que l'émail. Il s'avère que la surface de ces ossements est assez bien conservée dans l'ensemble, puisque des stries fines de découpe ont pu être observées, mais la matière osseuse a très mal réagit à l'exhumation, au lavage et au séchage (fragmentation et exfoliation importante).

Parmi les restes collectés, ce sont des éléments résistants de grands mammifères, diaphyses et de dents qui ont été déterminés principalement. Si le mode de collecte à la pelle mécanique peut favoriser ces gros éléments, des conditions de conservation défavorables peuvent également avoir joué un rôle important.

Ces différents facteurs doivent être ici pris en considération pour expliquer ce faible effectif osseux qui limite les analyses et les interprétations. Cette limite est par ailleurs accentuée par une dispersion spatiale et chronologique de ces restes (**Fig. 3.4.1**).

Tranchées	Faits	Type	Attribution chronologique	Bœuf	Caprinés	Porc	Cheval	Cerf	Indéterminé	Total
16	2201	Fosse	Néolithique ancien	2	1				3	6
16	2611	Fosse	Néolithique ancien	1	2				2	5
11	2144	Fosse	Âge du Bronze final	1	1					2
29	2513	Fosse	Hallstatt (D1 ?)	2						2
29	2514	Fosse	Hallstatt (D1 ?)	7		2	1		4	14
7	2091	Excavation	Médiéval / Moderne					1		1
3	2038	Fossé	Indéterminée				1			1
21	2256	TP	Indéterminée	2					1	3
TOTAL				15	4	2	2	1	10	34

Fig. 3.4.1 : Répartition des restes osseux par fait
(hors squelette de chien et restes calcinés des Us 2253 et 2179 ; © INRAP, G. Bayle)

3.4.1 Secteur sud est, fosses 2611 et 2201 (Néolithique ancien

Deux fosses, FS2611 et FS2201 dans la tranchée 16, ont livré des restes de faune.

Dans le sondage manuel de la FS2611, fouillée à moins de 10 % (**Fig. 17 à 19**), des restes de molaires supérieures très mal conservées d'un capriné (deux molaires) et d'un bovin (une molaire) ont été collectées (**Fig. 3.4.2**). Ces dents sont associés à deux restes indéterminés, dont un calciné.

La fosse 2201 a été fouillée manuellement à environ 10 %. Les restes collectés dans le sondage A (**Fig. 14 à 16**) se composent un fragment d'une tête de fémur d'un capriné calciné et de trois indéterminés ; ceux issus du sondage C de fragments d'émail d'au moins deux molaires supérieures d'un bovin de moins de 4 ans.

Fig. 3.4.2 : Secteur sud est, TR16, fosse du Néolithique ancien 2611, restes fauniques en cours de fouille dans le sondage manuel 2637 (© INRAP, Cécile Olivier)

3.4.2 Secteur sud est, fosse 2144 (Bronze final)

La fosse 2144 (**Fig. 21**), mise au jour dans la tranchée 11 et fouillée à 50 %, a livré deux restes dentaires : une molaire inférieure de capriné et une molaire supérieure de bovin.

3.4.3 Secteur nord est, fosses 2513 et 2514 (Hallstatt – D1 ?)

Dans la tranchée 29, deux fosses relativement proches, FS2513 et 2514, ont livré des restes osseux.

Dans la fosse 2513 (**Fig. 29**), fouillée à 100 %, des restes très mal conservés d'au moins deux molaires supérieures d'un bœuf adulte ont été collectés.

La fosse 2514 (**Fig. 27**), fouillée à moins de 50 %, a en revanche livré plus de restes osseux, 14 au total.

Le bœuf est représenté par une mandibule d'un individu âgé d'un à deux ans, une molaire inférieure d'un veau, une côte, une vertèbre thoracique, un atlas (première vertèbre cervicale), une portion distale d'un radius d'un individu adulte et une partie d'un coxal.

Deux dents, une canine et une incisive appartiennent à un porc et un humérus a été attribué à un cheval.

Parmi les quatre restes indéterminés, une *scapula* pourrait provenir d'un cheval ; une autre à du petit bétail (capriné ou porc).

La surface de ces restes est bien conservée. Nous avons pu observer des traces de découpe sur deux restes de bœuf et sur l'humérus de cheval.

L'ensemble permet d'interpréter ce lot comme des déchets culinaires.

3.4.4 Secteur ouest, fosses 2091 et 2253 (médiévales à modernes)

La fosse 2091 (**Fig. 35**), dans la tranchée 7, partiellement décapée et non fouillée, a livré un fragment de diaphyse distale d'un métatarse de cerf élaphe, sans trace apparente de traitement.

Le sondage manuel du probable silo 2253 à 50 % (**Fig. 35 et 44**), dans la tranchée 21, a permis de mettre au jour un squelette en connexion d'un chien adulte, d'après la soudure des épiphyses. Les éléments de ce squelette ont été partiellement collectés (absence de la tête, des pieds, des côtes, de plusieurs vertèbres, etc.). Aucun indice ne permet d'identifier l'origine de sa mort. Les radius et ulnas présentent des traces de pathologie osseuse (exostose au niveau de la diaphyse proximale). Ce silo a également livré des restes d'un crâne de mammifère de taille moyenne (os pariétal de capriné ?)*****, probablement remaniés.

3.4.5 Vestiges non datés

Dans le secteur ouest (**Fig. 35**), le trou de poteau 2256 de la tranchée 21, fouillé moins de 50 %, a livré trois restes osseux bien conservés, dont deux restes de bœuf (un radio-ulna et un fragment de mandibule brûlé) et un fragment d'humérus de grand mammifère (probablement aussi du bœuf). La présence de traces de découpe sur le radio-ulna et sur l'humérus permet d'envisager des déchets culinaires.

Au centre nord occidental de l'emprise, le fossé historique 2038 (**plan adjoint**), dans la tranchée 3, a livré en surface un reste d'humérus de cheval très dégradé.

3.4.6 Secteur sud est, fait 2179, non daté, possible fond d'incinération ?

Dans le secteur sud est, le petit fait circulaire 2179, dans la tranchée 13 (**Fig. 57 ; plan adjoint**), a livré des restes calcinés très fragmentés (**Fig. 3.4.3**).

Un prélèvement de 1,1 kg de sédiment correspondant à l'intégralité du comblement a fait l'objet d'un tamisage avec une maille de 1 mm. Sur les 108 g du refus de tamis obtenus, 25 g correspondent à des petites esquilles d'os calcinés, difficiles à quantifier (> 300 sans remontage).

La forte fragmentation et la dégradation des surfaces osseuses ne permettent pas d'identifier un taxon.

On peut observer néanmoins des restes d'os longs (éclats de diaphyse), de côtes et probablement de vertèbres d'un mammifère de taille moyenne à grande. Dans ces conditions, cet assemblage qui présente un profil particulier (os calcinés) n'a pu être caractérisé*.

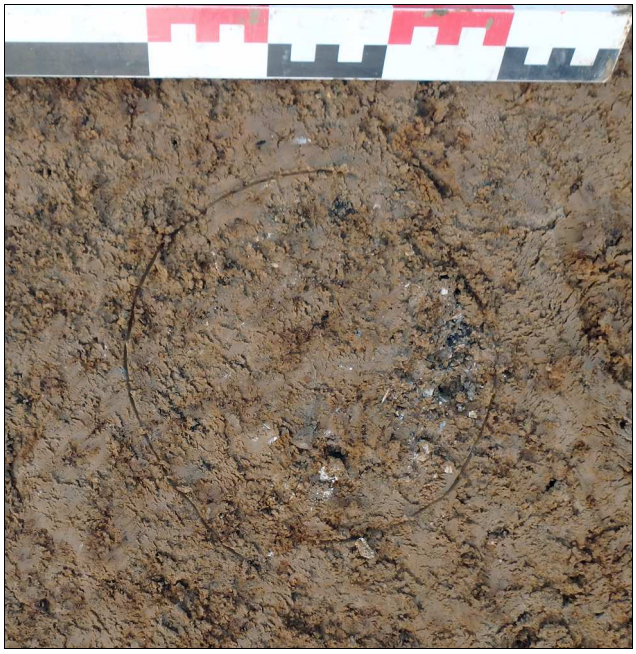

Fig. 3.4.3 : Secteur sud est, TR13, fait non daté 2179 avant fouille (© INRAP, G. Desrayaud)

3.4.7 Conclusion

Ce diagnostic a livré des restes osseux d'animaux provenant de différents contextes qui renseignent d'occupations néolithiques, protohistoriques (âge du Bronze final et Hallstatt) et médiévale / moderne.

Les effectifs sont cependant trop restreints et les restes parfois mal conservés pour permettent de caractériser correctement les assemblages.

Les restes de contextes néolithiques sont les plus problématiques (mauvaises conservations, effectifs très réduits). Cependant, au vu de du pourcentage fouillé et de l'échantillonnage, il est possible que ces structures puissent livrer des vestiges plus significatifs.

Les restes de contextes protohistoriques, et notamment ceux attribués au Hallstatt, semblent témoigner de rejets domestiques (culinaires). Les effectifs et leur état de conservation laissent supposer des assemblages plus conséquents pour mieux caractériser l'occupation.

Enfin, les restes issus des contextes médiévaux/modernes présentent quelques particularités (présence d'un reste de cerf élaphe et d'un squelette de chien) qui méritent attention et demande un approfondissement de la recherche archéologique dans ce secteur.

*Nous remercions Paulette Lawrence-Dubovac et Cécile Buquet, anthropologues à l'Inrap CIF (Pantin), pour avoir eu la gentillesse d'examiner les restes du crâne indéterminé du silo 2253 et les restes calcinés du FT2179 (restes humains non identifiés mais non exclus !).

3.4.8 Inventaire des restes osseux

Sect.	Tr	Fait	rem.	Période	ID	NR	g	Elément anatomique	Taxon
SE	11	2144		Bronze final	Fs	1	1	Jugale inférieure	Capriné
SE	11	2144		Bronze final	Fs	1	1	Jugale supérieure	Bœuf
SE	13	2179	vrac 1,1 kg	?	Ft	>300	25	Indéterminé	Indéterminé
SE	16	2201	A	Néolithique	Fs	1	1	Fémur	Capriné
SE	16	2201	A	Néolithique	Fs	3	1	Indéterminé	Indéterminé
SE	16	2201	C	Néolithique	Fs	2	24	Série jugales supérieures	Bovin
SE	16	2611	sd manuel	Néolithique	Fs	2	4	Série jugales supérieures	Capriné
SE	16	2611	sd manuel	Néolithique	Fs	1	9	Jugale supérieure	Bœuf
SE	16	2611	sd manuel	Néolithique	Fs	1	2	Indéterminé	Indéterminé
SE	16	2611	sd manuel	Néolithique	Fs	1	1	Indéterminé	Indéterminé
O	7	2091		Médiéval/Moderne	Ex	1	35	Métatarse	Cerf élaphe
O	21	2253		Médiéval/Moderne	Si	1	117	Squelette partiel	Chien
O	21	2253		Médiéval/Moderne	Si	1	6	Crâne	Indéterminé
O	21	2256	Partie noire	?	Po	1	51	Radio-ulna	Bœuf
O	21	2256	Partie noire	?	Po	1	14	Humérus	Indéterminé
O	21	2256	Partie noire	?	Po	1	16	Hémi-mandibule	Bœuf
NE	29	2513		Hallstatt ?	Fs	2	1	Série jugales supérieures	Bœuf
NE	29	2514		Hallstatt ?	Fs	1	76	Humérus	Cheval
NE	29	2514		Hallstatt ?	Fs	1	90	Radio-ulna	Bœuf
NE	29	2514		Hallstatt ?	Fs	1	14	Os long	Indéterminé
NE	29	2514		Hallstatt ?	Fs	1	66	Coxal	Bœuf
NE	29	2514		Hallstatt ?	Fs	1	21	Vtb cervicale	Bœuf
NE	29	2514		Hallstatt ?	Fs	1	5	Vtb thoracique	Bœuf
NE	29	2514		Hallstatt ?	Fs	1	5	Côte	Bœuf
NE	29	2514		Hallstatt ?	Fs	1	67	Hémi-mandibule	Bœuf
NE	29	2514		Hallstatt ?	Fs	1	9	Jugale inférieure	Bœuf
NE	29	2514		Hallstatt ?	Fs	1	1	Indéterminé	Indéterminé
NE	29	2514		Hallstatt ?	Fs	1	2	Scapula	Indéterminé
NE	29	2514		Hallstatt ?	Fs	1	1	Incisive inférieure	Porc
NE	29	2514		Hallstatt ?	Fs	1	1	Canine inférieure	Porc
NE	29	2514		Hallstatt ?	Fs	1	99	Scapula	Indéterminé
-	3	2038		?	Fo	1	92	Humérus	Cheval

Fig. 3.4.4 : Inventaire des restes osseux par secteur et fait
(© INRAP, G. Bayle).

3.5 ANNEXE 5 : MONNAIES MODERNES (FLORENCE MORET-AUGER, INRAP)

2057
TR04, mare 2057,
espèce moderne non identifiable
Poids : 2,17 g.
Etat – très forte usure ; très forte corrosion et points de concrétions.
Sans référence.

2303
Secteur ouest, TR22, FS2303,
double tournois probable, non datable
D/ [ ], revers illisible, corrosions.
R/ [ ], revers illisible, corrosions.
Poids : 1,36 g.
Etat – très forte usure ; corrosion et concrétions.
Sans référence.

2304-1
Secteur ouest, TR22, EX2304, iso 1,
double tournois, non datable (XIVe-XVIIIe s.)
D/ [ ], revers illisible, corrosions.
R/ [ ], 3 lis posées 2 et 1.
Poids : 2,36 g.
Etat – très forte usure ; corrosion importante.
Sans référence.

2304-2
Secteur ouest, TR22, EX2304, iso 2,
double tournois, non datable (XIVe-XVIIIe s.)
D/ D.BVILLON [ ], revers illisible, corrosions.
R/ DOVBLE [ ], revers illisible, corrosions.
Poids : 2,30 g.
Etat – très forte usure ; corrosion et concrétions.
Sans référence.

IV. Inventaires techniques

4 INVENTAIRES

4.1 INVENTAIRE DES HORIZONS ET UNITES STRATIGRAPHIQUES

***Hz / Us :** 2001 ; ***Fait :** SD2001 ; ***TR :** 01 ; ***Type :** technique ; ***ID :** sondage ; ***Tech. :** mécanique ; ***Z. sup. :** 83,45 ; ***Dim. en m (Ø ou L / l et/ou P) :** 1
***Combl. :** -0-20 cm : Labours
-20-50 cm : LA brun (sol brun)
-50-90 cm : Ag jaune orangé, bariolé rouille, poches de cailloutis silico-calcaire / calcaire blanc dégradé
+ 90 cm : Sablon argileux blanchâtre à gris clair, bariolé rouille, cailloutis silico-calcaire erratique

***Hz / Us :** 2002 ; ***Fait :** FT2002 ; ***TR :** 01 ; ***Type :** composite (combl. + creus.) ; ***ID :** creusement indéterminé ; ***Tech. :** non fouillé ; ***Z. sup. :** 83,00 ; ***Dim. en m (Ø ou L / l et/ou P) :** 2,5 ; 1 ; ***Forme :** oblong(ue)
***Combl. :** A : poche de LA gris avec charbons épars (Ø : 0,5 m)
B : LA gris blanchi (2,5 X 1 m)

***Hz / Us :** 2003 ; ***Fait :** FO2003 ; ***ENS :** SFO2003 ; ***TR :** 01 ; ***Type :** composite (combl. + creus.) ; ***ID :** fossé ; ***Tech. :** non fouillé ; ***Z. sup. :** 83,00 ; ***Dim. en m (Ø ou L / l et/ou P) :** 3,8 ; 1 ; ***Forme :** linéaire
***Combl. :** LA gris beige blanchi, bariolé rouille
***Egal. :** 2481

***Hz / Us :** 2004 ; ***Fait :** FD2004 ; ***ENS :** MUR2004 ; ***TR :** 01 ; ***Type :** composite (combl. + creus.) ; ***ID :** fondation de mur ; ***Tech. :** non fouillé ; ***Z. sup. :** 83,05 ; ***Dim. en m (Ø ou L / l et/ou P) :** 3,7 ; 0,9 ; ***Forme :** linéaire
***Combl. :** -Vrac de pierres silico-calcaires anguleuses et de grés (Ø < 0,4 m), LA beige lég. gris interstitiel
***Egal. :** 2019, 2482

***Hz / Us :** 2005 ; ***Fait :** FO2005 ; ***ENS :** SFO2005 ; ***TR :** 01 ; ***Type :** composite (combl. + creus.) ; ***ID :** fossé ; ***Tech. :** non fouillé ; ***Z. sup. :** 83,00 ; ***Dim. en m (Ø ou L / l et/ou P) :** 3,9 ; 1,2 ; ***Forme :** linéaire
***Combl. :** -1 : au centre, LA gris clair, bariolé rouille
-2 : LA beige blanchi
***Egal. :** 2020, 2356, 2483, 2499

***Hz / Us :** 2006 ; ***Fait :** FO2006 ; ***ENS :** SFO2006 ; ***TR :** 01 ; ***Type :** composite (combl. + creus.) ; ***ID :** fossé ; ***Tech. :** non fouillé ; ***Z. sup. :** 83,00 ; ***Dim. en m (Ø ou L / l et/ou P) :** 4 ; 1,3 ; ***Forme :** linéaire
***Combl. :** LA beige, lég. bariolé, cailloutis et petites pierres éparses
***Synch. :** 2035 ? ; 2507 ? ; ***Egal. :** 2024 ?

***Hz / Us :** 2007 ; ***Fait :** FD2007 ; ***ENS :** MUR2007 ; ***TR :** 01 ; ***Type :** composite (combl. + creus.) ; ***ID :** fondation de mur / (canalisation ?) ; ***Tech. :** non fouillé ; ***Z. sup. :** 83,00 ; ***Dim. en m (Ø ou L / l et/ou P) :** 3,5 ; 0,85 ; ***Forme :** linéaire
***Combl. :** Dalles silico-calcaires anguleuses à plat (Ø < 0,8 m), LA beige jaunâtre interstitiel
***Egal. :** 2067, 2360, 2486

***Hz / Us :** 2008 ; ***Fait :** FS2008 ; ***TR :** 01 ; ***Type :** composite (combl. + creus.) ; ***ID :** fosse ; ***Tech. :** non fouillé ; ***Z. sup. :** 83,00 ; ***Dim. en m (Ø ou L / l et/ou P) :** 0,9 ; ***Forme :** circulaire
***Combl. :** LA gris à beige, lég. bariolé, charbons et nodules rubéfiés épars à erratiques
***Sous :** drain

***Hz / Us :** 2009 ; ***Fait :** FO2009 ; ***ENS :** SFO2009 ; ***TR :** 01 ; ***Type :** composite (combl. + creus.) ; ***ID :** fossé ; ***Tech. :** non fouillé ; ***Z. sup. :** 82,85 ; ***Dim. en m (Ø ou L / l et/ou P) :** 9,5 ; 1,1 ; ***Forme :** linéaire
***Combl. :** -2009-a : 0 à 0,1 m sous labours, LA beige blanchi ; 2009-b : LA gris, charbons épars à abondants en partie SO, petites pierres / cailloutis épars
***Egal. :** 2022, 2484

***Hz / Us :** 2010 ; ***Fait :** FO2010 ; ***ENS :** SFO2010 ; ***TR :** 01 ; ***Type :** composite (combl. + creus.) ; ***ID :** fossé ; ***Tech. :** non fouillé ; ***Z. sup. :** 82,60 ; ***Dim. en m (Ø ou L / l et/ou P) :** 4,7 ; 2,3 ; ***Forme :** linéaire
***Combl. :** LA beiges à gris blanchis, lég. bariolés, charbons épars
***Egal. :** 2023, 2485, 2497

***Hz / Us :** 2011 ; ***Fait :** FO2011 ; ***ENS :** SFO2011 ; ***TR :** 01 ; ***Type :** composite (combl. + creus.) ; ***ID :** fossé ; ***Tech. :** non fouillé ; ***Z. sup. :** 82,65 ; ***Dim. en m (Ø ou L / l et/ou P) :** 4,8 ; 0,9 ; ***Forme :** linéaire
***Combl. :** LA gris clair blanchi, bariolé rouille
***Egal. :** 2363, 2487

***Hz / Us :** 2012 ; ***Fait :** SD2012 ; ***TR :** 01 ; ***Type :** technique ; ***ID :** sondage ; ***Tech. :** mécanique ; ***Z. sup. :** 83,20 ; ***Dim. en m (Ø ou L / l et/ou P) :** 0,7
***Combl. :** -0-30 cm : Labours
-30-50 cm : LA gris beige, bariolé rouille
-50-70 cm : AL jaunâtre blanchi, bariolé manganèse. ; + 70 cm : Affleurement silico-calcaire (meulière) dégradé, nodules de manganèse épars

***Hz / Us :** 2013 ; ***Fait :** FO2013 ; ***ENS :** SFO2013 ; ***TR :** 01 ; ***Type :** composite (combl. + creus.) ; ***ID :** fossé ; ***Tech. :** non fouillé ; ***Z. sup. :** 82,60 ; ***Dim. en m (Ø ou L / l et/ou P) :** 4,3 ; 0,9 ; ***Forme :** linéaire
***Combl. :** LA beige à blanchi, lég. bariolé
***Egal. :** 2365, 2666 ?

***Hz / Us :** 2014 ; ***Fait :** PO2014 ; ***TR :** 02 ; ***Type :** composite (combl. + creus.) ; ***ID :** trou de poteau ; ***Loc :** Bâtiment-s sur poteaux de la fenêtre 02-A ; ***Tech. :** non fouillé ; ***Z. sup. :** 83,15 ; ***Dim. en m (Ø ou L / l et/ou P) :** 0,6 ; 0,15 ; ***Forme :** circulaire ; ***Profil :** évasé à fond plat
***Combl. :** LA gris beige à gris, bariolé, charbons épars

***Hz / Us :** 2015 ; ***Fait :** PO2015 ; ***TR :** 02 ; ***Type :** composite (combl. + creus.) ; ***ID :** trou de poteau ; ***Loc :** Bâtiment-s sur poteaux de la fenêtre 02-A ; ***Tech. :** non fouillé ; ***Z. sup. :** 83,15 ; ***Dim. en m (Ø ou L / l et/ou P) :** 0,7 ; 0,15 ***Forme :** circulaire ; ***Profil :** évasé à fond plat
***Combl. :** LA gris beige à gris, bariolé, charbons épars

***Hz / Us :** 2016 ; ***Fait :** PO2016 ; ***TR :** 02 ; ***Type :** composite (combl. + creus.) ; ***ID :** trou de poteau ; ***Loc :** Bâtiment-s sur poteaux de la fenêtre 02-A ; ***Tech. :** non fouillé ; ***Z. sup. :** 83,05 ; ***Dim. en m (Ø ou L / l et/ou P) :** 0,65 ;
***Forme :** circulaire
***Combl. :** LA gris beige à gris, bariolé, charbons épars

***Hz / Us :** 2017 ; ***Fait :** PO2017 ; ***TR :** 02 ; ***Type :** composite (combl. + creus.) ; ***ID :** trou de poteau ; ***Loc :** Bâtiment-s sur poteaux de la fenêtre 02-A ; ***Tech. :** manuelle ; *** % :** 50 ; ***Z. sup. :** 83,05 ; ***Dim. en m (Ø ou L / l et/ou P) :** 0,85 ; 0,5 ; ***Forme :** circulaire ; ***Profil :** évasé fond arrondi
***Combl. :** LA gris beige à gris, bariolé, charbons épars, pierres plates silico-calcaires éparses en partie inférieure

***Hz / Us :** 2018 ; ***Fait :** FO2018 ; ***ENS :** SFO2018 ; ***TR :** 02 ; ***Type :** composite (combl. + creus.) ; ***ID :** fossé ; ***Tech. :** non fouillé ; ***Z. sup. :** 83,00 ; ***Dim. en m (Ø ou L / l et/ou P) :** 4,7 ; 0,7 ; ***Forme :** linéaire
***Combl. :** LA beige blanchi, bariolé rouille
***Egal. :** 2470

***Hz / Us :** 2019 ; ***Fait :** FD2019 ; ***ENS :** MUR2004 ; ***TR :** 02 ; ***Type :** composite (combl. + creus.) ; ***ID :** fondation de mur ; ***Tech. :** non fouillé ; ***Z. sup. :** 83,05 ; ***Dim. en m (Ø ou L / l et/ou P) :** 4,1 ; 1,1 ; ***Forme :** linéaire
***Combl. :** -Vrac de pierres silico-calcaires anguleuses et de grés (Ø < 0,4 m), LA beige lég. gris interstitiel
***Egal. :** 2004, 2482

***Hz / Us :** 2020 ; ***Fait :** FO2020 ; ***ENS :** SFO2005 ; ***TR :** 02 ; ***Type :** composite (combl. + creus.) ; ***ID :** fossé ; ***Tech. :** non fouillé ; ***Z. sup. :** 82,85 ; ***Dim. en m (Ø ou L / l et/ou P) :** 4 ; 1,3 ; ***Forme :** linéaire
***Combl. :** LA beige blanchi bariolé rouille, 1 frag. de tuile plate (mod./contemp. ?)
***Sur :** 2023 ; ***Egal. :** 2005, 2356, 2483, 2499

***Hz / Us :** 2021 ; ***Fait :** FS2021 ; ***TR :** 02 ; ***Type :** composite (combl. + creus.) ; ***ID :** fosse ; ***Tech. :** manuelle ; *** % :** 100 ; ***Z. sup. :** 82,70 ; ***Dim. en m (Ø ou L / l et/ou P) :** 1 ; 0,6 ; 0,1 ; ***Forme :** ovalaire ; ***Profil :** cuvette
***Combl. :** -LA blanchi bariolé rouille (limites de creusement floues), frags de céramique non-tournée abondants à épars (Néolithique moyen ?). Dans cailloutis meulière/calcaire et Ag

***Hz / Us :** 2022 ; ***Fait :** FO2022 ; ***ENS :** SFO2009 ; ***TR :** 02 ; ***Type :** composite (combl. + creus.) ; ***ID :** fossé ; ***Loc :** TR02 et Fen25-A ; ***Tech. :** non fouillé ; ***Z. sup. :** 83,00 ; ***Dim. en m (Ø ou L / l et/ou P) :** 8,7 ; 0,55 ; ***Forme :** linéaire
***Combl. :** LA beige blanchi, bariolé rouille, cailloutis silico-calcaire épars
***Egal. :** 2009, 2484 ***Rel. indét. :** 2481

***Hz / Us :** 2023 ; ***Fait :** FO2023 ; ***ENS :** SFO2010 ; ***TR :** 02 ; ***Type :** composite (combl. + creus.) ; ***ID :** fossé ; ***Tech. :** non fouillé ; ***Z. sup. :** 82,85 ; ***Dim. en m (Ø ou L / l et/ou P) :** 4,6 ; 1 ; ***Forme :** linéaire
***Combl. :** LA beige blanchi, bariolé rouille
***Sous :** 2020 ; ***Egal. :** 2023, 2485, 2497

***Hz / Us :** 2024 ; ***Fait :** FO2024 ; ***ENS :** SFO2006 ; ***TR :** 02 ; ***Type :** composite (combl. + creus.) ; ***ID :** fossé ; ***Tech. :** non fouillé ; ***Z. sup. :** 82,85 ; ***Dim. en m (Ø ou L / l et/ou P) :** 4 ; 1,6 ; ***Forme :** linéaire
***Combl. :** LA gris blanchi, bariolé rouille
***Synch. :** 2035 ? ; 2507 ? ; ***Egal. :** 2006 ?

***Hz / Us :** 2025 ; ***Fait :** FO2025 ; ***TR :** 02 ; ***Type :** composite (combl. + creus.) ; ***ID :** fossé ; ***Tech. :** non fouillé ; ***Z. sup. :** 82,70 ; ***Dim. en m (Ø ou L / l et/ou P) :** 3,5 ; 0,55 ;
***Forme :** linéaire
***Combl. :** LA gris
***Egal. :** 2037 ?

***Hz / Us :** 2026 ; ***Fait :** FO2026 ; ***ENS :** SFO2026 ; ***TR :** 02 ; ***Type :** composite (combl. + creus.) ; ***ID :** fossé ; ***Tech. :** non fouillé ; ***Z. sup. :** 82,65 ; ***Dim. en m (Ø ou L / l et/ou P) :** 3,95 ; 1,7 ; ***Forme :** linéaire
***Combl. :** Fossé contemporain
-a : Au centre, sablon argileux beige orangé
-b : Sur bords, limon gris et bois/végétaux décomposés
***Egal. :** 2494, 2502

***Hz / Us :** 2027 ; ***Fait :** CP2027 ; ***TR :** 02 ; ***Type :** technique ; ***ID :** coupe ; ***Loc :** Bord SO de la TR02 ; ***Tech. :** mécanique ; ***Z. sup. :** 83,25 ; ***Dim. en m (Ø ou L / l et/ou P) :** 0,9
***Combl. :** -0-35 cm : Labours
-35-65 cm : LA beige blanchi, lég. bariolé
-65-90 cm : AL beige jaunâtre compacte, bariolée rouille
+ 90 cm : Ag jaunâtre, concrétions de manganèse éparses, affleurements de pierres/cailloutis silico-calcaires

***Hz / Us :** 2028 ; ***Fait :** FO2028 ; ***ENS :** SFO2028 ; ***TR :** 02 ; ***Type :** composite (combl. + creus.) ; ***ID :** fossé ; ***Tech. :** non fouillé ; ***Z. sup. :** 82,60 ; ***Dim. en m (Ø ou L / l et/ou P) :** 4 ; 0,8 ; ***Forme :** linéaire
***Combl. :** LA beige à jaunâtre bariolé. 2 frags de tuile-s gallo-romaine
***Egal. :** 2667 ?

***Hz / Us :** 2029 ; ***Fait :** SD2029 ; ***TR :** 02 ; ***Type :** technique ; ***ID :** sondage ; ***Tech. :** mécanique ; ***Z. sup. :** 83,35 ; ***Dim. en m (Ø ou L / l et/ou P) :** 1,7
***Combl. :** -0-30 cm : Labours
-30-45 cm : LA brun
-45-75 cm : AL brun orangé , concrétions de manganèse éparses
-75-90 cm : Ag jaune, fin cailloutis et nodules de manganèse épars
-90-120 cm : Sablon argileux blanchâtre, bariolé rouille, pierres silico-calcaires éparses
-120-170 cm : Sablon argileux blanchâtre avec concrétions calcaires éparses / Affleurement de calcaire silceux blanc dégradé
-170 cm : fond du sondage

***Hz / Us :** 2030 ; ***Fait :** FO2030 ; ***TR :** 01 et 24 ; ***Type :** composite (combl. + creus.) ; ***ID :** fossé ; ***Tech. :** non fouillé ; ***Z. sup. :** 82,75 ; ***Dim. en m (Ø ou L / l et/ou P) :** 34 ; 1 ;
***Forme :** linéaire
***Combl. :** -LA gris blanchi, bariolé rouille, charbons et frags de tuile-s erratiques

***Hz / Us :** 2031 ; ***Fait :** FO2031 ; ***TR :** 03 ; ***Type :** composite (combl. + creus.) ; ***ID :** fossé ; ***Tech. :** non fouillé ; ***Z. sup. :** 82,95 ; ***Dim. en m (Ø ou L / l et/ou P) :** 3,6 ; 1 ;
***Forme :** linéaire
***Combl. :** LA gris beige bariolé, petites pierres erratiques

***Hz / Us :** 2032 ; ***Fait :** FO2032 ; ***ENS :** SFO2032 ; ***TR :** 03 ; ***Type :** composite (combl. + creus.) ; ***ID :** fossé ; ***Tech. :** non fouillé ; ***Z. sup. :** 82,95 ; ***Dim. en m (Ø ou L / l et/ou P) :** 4,6 ; 1 ; ***Forme :** linéaire
***Combl. :** LA gris beige bariolé, petites pierres erratiques
***Egal. :** 2668 ?

***Hz / Us :** 2033 ; ***Fait :** SD2033 ; ***TR :** 03 ; ***Type :** technique ; ***ID :** sondage ; ***Tech. :** mécanique ; ***Z. sup. :** 83,45 ; ***Dim. en m (Ø ou L / l et/ou P) :** 0,85
***Combl. :** -0-35 cm : Labours
-35-55 cm : LA beige
-55-85 cm : AL/Ag orangé bariolé. ; + 85 cm : Poches de calcaire siliceux et calcaire blanc dégradés dans Ag orangée

***Hz / Us :** 2034 ; ***Fait :** FO2034 ; ***TR :** 03 ; ***Type :** composite (combl. + creus.) ; ***ID :** fossé ; ***Tech. :** non fouillé ; ***Z. sup. :** 82,65 ; ***Dim. en m (Ø ou L / l et/ou P) :** 8,2 ; 1,3 ; ***Forme :** linéaire
***Combl. :** LA gris beige, lég. bariolage rouille
***Egal. :** 2503 ?

***Hz / Us :** 2035 ; ***Fait :** FO2035 ; ***ENS :** SFO2006 ; ***TR :** 03 ; ***Type :** composite (combl. + creus.) ; ***ID :** fossé ; ***Tech. :** non fouillé ; ***Z. sup. :** 82,65 ; ***Dim. en m (Ø ou L / l et/ou P) :** 4,5 ; 1,5 ; ***Forme :** linéaire
***Combl. :** LA gris clair blanchi, lég. bariolage rouille, petites plages charbonneuses éparses, frags. tuile-s gallo-romaines erratiques
***Synch. :** 2006 ? ; 2024 ? ; ***Egal. :** 2507

***Hz / Us :** 2036 ; ***Fait :** FO2036 ; ***ENS :** SFO2036 ; ***TR :** 03 ; ***Type :** composite (combl. + creus.) ; ***ID :** fossé ; ***Tech. :** non fouillé ; ***Z. sup. :** 82,60 ; ***Dim. en m (Ø ou L / l et/ou P) :** 5,5 ; 1,8 ; ***Forme :** linéaire
***Combl. :** Fossé moderne à contemporain ; LA gris beige, pierres / cailloutis silico-calcaires et de grès erratiques
***Synch. :** 2170 ; ***Egal. :** 2054 ; 2521

***Hz / Us :** 2037 ; ***Fait :** FO2037 ; ***TR :** 03 ; ***Type :** composite (combl. + creus.) ; ***ID :** fossé ; ***Tech. :** non fouillé ; ***Z. sup. :** 82,70 ; ***Dim. en m (Ø ou L / l et/ou P) :** 3,5 ; 1,2 ; ***Forme :** linéaire
***Combl. :** Fossé avec excroissance semi-ovalaire sur bord sud (Ø ± 1 m). LA beige à blanchi bariolé rouille à jaunâtre. Tessons erratiques (gallo-romains ?)
***Egal. :** 2025 ?

***Hz / Us :** 2038 ; ***Fait :** FO2038 ; ***ENS :** SFO2038 ; ***TR :** 03 et 28 ; ***Type :** composite (combl. + creus.) ; ***ID :** fossé ; ***Tech. :** non fouillé ; ***Z. sup. :** 82,70 ; ***Dim. en m (Ø ou L / l et/ou P) :** 41 ; 1 ; ***Forme :** linéaire
***Combl. :** LA beige, lég. bariolé
***Egal. :** 2504

***Hz / Us :** 2039 ; ***Fait :** FS2039 ; ***TR :** 03 ; ***Type :** composite (combl. + creus.) ; ***ID :** fosse ; ***Tech. :** non fouillé ; ***Z. sup. :** 82,70 ; ***Dim. en m (Ø ou L / l et/ou P) :** 1,25 ; ***Forme :** circulaire
***Combl. :** LA gris brun à noirâtre, petits charbons épars

***Hz / Us :** 2040 ; ***Fait :** FS2040 ; ***TR :** 03 ; ***Type :** composite (combl. + creus.) ; ***ID :** fosse ; ***Tech. :** non fouillé ; ***Z. sup. :** 82,70 ; ***Dim. en m (Ø ou L / l et/ou P) :** 1 ; 0,7 ; ***Forme :** ovalaire
***Combl. :** LA gris brun, pierres silico-calcaires éparses

***Hz / Us :** 2041 ; ***Fait :** FO2041 ; ***TR :** 03 ; ***Type :** composite (combl. + creus.) ; ***ID :** fossé ; ***Tech. :** non fouillé ; ***Z. sup. :** 82,70 ; ***Dim. en m (Ø ou L / l et/ou P) :** 8,8 ; 1 ; ***Forme :** ovalaire
***Combl. :** LA gris brun, pierres silico-calcaires éparses

***Hz / Us :** 2042 ; ***Fait :** SD2042 ; ***TR :** 03 ; ***Type :** technique ; ***ID :** sondage ; ***Tech. :** mécanique ; ***Z. sup. :** 83,20 ; ***Dim. en m (Ø ou L / l et/ou P) :** 0,8
***Combl. :** -0-30 cm : Labours
-30-50 cm : LA beige à brun
-50-80 cm : AL/Ag brune à orangée, petit cailloutis et nodules de manganèse épars. ; + 80 cm : Ag jaunâtre, nodules de manganèse épars, poches de calcaire siliceux dégradé

***Hz / Us :** 2043 ; ***Fait :** FO2043 ; ***TR :** 03 ; ***Type :** composite (combl. + creus.) ; ***ID :** fossé ; ***Tech. :** non fouillé ; ***Z. sup. :** 82,70 ; ***Dim. en m (Ø ou L / l et/ou P) :** 6,5 ; 1,5 ; ***Forme :** linéaire
***Combl. :** LA gris beige
***Egal. :** 2509 ?

***Hz / Us :** 2044 ; ***Fait :** SD2044 ; ***TR :** 03 ; ***Type :** technique ; ***ID :** sondage ; ***Tech. :** mécanique ; ***Z. sup. :** 83,30 ; ***Dim. en m (Ø ou L / l et/ou P) :** 0,9
***Combl. :** -0-30 cm : Labours
-30-50 cm : LA brun beige
-50-80 cm : AL/Ag brun orangé, manganèse et cailloutis épars
-80-90 cm : Ag jaunâtre, manganèse et cailloutis siliceux épars
+ 90 cm : Sablon argileux jaune beige, petites pierres silico-calcaires et cailloutis siliceux anguleux épars

***Hz / Us :** 2045 ; ***Fait :** FS2045 ; ***TR :** 03 ; ***Type :** composite (combl. + creus.) ; ***ID :** fosse ; ***Tech. :** non fouillé ; ***Z. sup. :** 82,85 ; ***Dim. en m (Ø ou L / l et/ou P) :** 1,45 ; 0,7 ; ***Forme :** ovalaire
***Combl. :** Petites mottes de LA beige jaunâtre, poches de charbons et petites pierres éparses

***Hz / Us :** 2046 ; ***Fait :** SD2046 ; ***TR :** 04 ; ***Type :** technique ; ***ID :** sondage ; ***Tech. :** mécanique ; ***Z. sup. :** 83,45 ; ***Dim. en m (Ø ou L / l et/ou P) :** 0,9
***Combl. :** -0-40 cm : Labours
-40-60 cm : LA brun beige, manganèse épars
-60-75 cm : AL brun beige, manganèse épars
-75-90 cm : Ag brun orangé à jaune, concrétions de manganèse en limite inférieure
+ 90 cm : Poches de cailloutis silico-clacaire

***Hz / Us :** 2047 ; ***Fait :** FS2047 ; ***TR :** 04 ; ***Type :** composite (combl. + creus.) ; ***ID :** fosse ; ***Tech. :** non fouillé ; ***Z. sup. :** 82,95 ; ***Dim. en m (Ø ou L / l et/ou P) :** 1 ; 0,65 ; ***Forme :** ovalaire
***Combl. :** LA gris à gris brun, charbons et petites pierres silico-calcaires éparses

***Hz / Us :** 2048 ; ***Fait :** SD2048 ; ***TR :** 04 ; ***Type :** technique ; ***ID :** sondage ; ***Tech. :** mécanique ; ***Z. sup. :** 83,25 ; ***Dim. en m (Ø ou L / l et/ou P) :** 0,65
***Combl. :** -0-25 cm : Labours
-25-45 cm : LA brun beige à orangé;
-45-65 cm : AL/Ag brun orangé à jaunâtre en partie inférieure. ; + 65 cm : Ag jaune orangé, manganèse épars et poches de calcaire siliceux dégradé

***Hz / Us :** 2049 ; ***Fait :** FO2049 ; ***ENS :** SFO2049 ; ***TR :** 04 ; ***Type :** composite (combl. + creus.) ; ***ID :** fossé ; ***Tech. :** non fouillé ; ***Z. sup. :** 82,75 ; ***Dim. en m (Ø ou L / l et/ou P) :** 14 ; 1,7 ; ***Forme :** linéaire
***Combl. :** LA gris beige bariolé
***Egal. :** 2508

***Hz / Us :** 2050 ; ***Fait :** FS2050 ; ***TR :** 04 ; ***Type :** composite (combl. + creus.) ; ***ID :** fosse ; ***Tech. :** non fouillé ; ***Z. sup. :** 82,70 ; ***Dim. en m (Ø ou L / l et/ou P) :** 0,95 ; ***Forme :** circulaire
***Combl. :** LA gris beige, gros charbons épars

***Hz / Us :** 2051 ; ***Fait :** FO2051 ; ***ENS :** SFO2051 ; ***TR :** 04 ; ***Type :** composite (combl. + creus.) ; ***ID :** fossé ; ***Tech. :** non fouillé ; ***Z. sup. :** 82,60 ; ***Dim. en m (Ø ou L / l et/ou P) :** 11 ; 1,6 ; ***Forme :** linéaire
***Combl. :** LA gris beige à blanchi bariolé
***Egal. :** 2043 ? 2509 2512

***Hz / Us :** 2052 ; ***Fait :** FO2052 ; ***ENS :** SFO2052 ; ***TR :** 04 ; ***Type :** composite (combl. + creus.) ; ***ID :** fossé ; ***Tech. :** non fouillé ; ***Z. sup. :** 82,50 ; ***Dim. en m (Ø ou L / l et/ou P) :** 4,6 ; 1,7 ; ***Forme :** linéaire
***Combl. :** LA gris clair bariolé, charbons erratiques
***Egal. :** 2066 ?

***Hz / Us :** 2053 ; ***Fait :** SD2053 ; ***TR :** 04 ; ***Type :** technique ; ***ID :** sondage ; ***Tech. :** mécanique ; ***Z. sup. :** 82,80 ; ***Dim. en m (Ø ou L / l et/ou P) :** 0,7
***Combl. :** -0-30 cm : Labours
-30-45 cm : LA beige blanchi bariolé
-45-65 cm : AL/Ag brun orangé blanchie, manganèse épars. ; + 65 cm : Ag orangée à brune, pierres et poches de cailloutis silico-calcaires et calcaires éparses

***Hz / Us :** 2054 ; ***Fait :** FO2054 ; ***ENS :** SFO2036 ; ***TR :** 04 ; ***Type :** composite (combl. + creus.) ; ***ID :** fossé ; ***Tech. :** non fouillé ; ***Z. sup. :** 82,30 ; ***Dim. en m (Ø ou L / l et/ou P) :** 4,2 ; 1,7 ; ***Forme :** linéaire
***Combl. :** Fossé moderne à contemporain ; LA beige à brun, frags. de tuyaux céramiques épars
***Synch. :** 2170 ? ; ***Egal. :** 2036 ; 2066 ; 2521

***Hz / Us :** 2055 ; ***Fait :** FO2055 ; ***TR :** 04 et 28 ; ***Type :** composite (combl. + creus.) ; ***ID :** fossé ; ***Tech. :** non fouillé ; ***Z. sup. :** 82,60 ; ***Dim. en m (Ø ou L / l et/ou P) :** 30 ; 1,3 ; ***Forme :** linéaire
***Combl. :** LA gris clair bariolé. Tracé repris par drain contemporain
***Sous :** drain

***Hz / Us :** 2056 ; ***Fait :** FO2056 ; ***ENS :** SFO2056 ; ***TR :** 04 ; ***Type :** composite (combl. + creus.) ; ***ID :** fossé ; ***Tech. :** non fouillé ; ***Z. sup. :** 82,45 ; ***Dim. en m (Ø ou L / l et/ou P) :** 3,2 ; 1,4 ; ***Forme :** linéaire
***Combl. :** LA gris beige à blanchi bariolé
***Sous :** drain ; ***Egal. :** 2522 2670 ?

***Hz / Us :** 2057 ; ***Fait :** MA2057 ; ***TR :** 04 ; ***Type :** composite (combl. + creus.) ; ***ID :** Mare ; ***Tech. :** non fouillé ; ***Z. sup. :** 82,60 ; ***Dim. en m (Ø ou L / l et/ou P) :** 40 ; > 1 ; ***Forme :** indéterminée, partiellement décapé
***Combl. :** Mare figurée sur le cadastre napoléonien de 1823 ; Divers horizons / litages de LA beiges à gris hydromorphes, avec plages d'amas de pierres de grès. Plus d'un mètre de profondeur sous labours (SD2669)

***Hz / Us :** 2058 ; ***Fait :** FS2058 ; ***TR :** 05 ; ***Type :** composite (combl. + creus.) ; ***ID :** fosse ; ***Tech. :** non fouillé ; ***Z. sup. :** 82,90 ; ***Dim. en m (Ø ou L / l et/ou P) :** 1,1 ; 0,9 ; ***Forme :** ovalaire
***Combl. :** LA brun beige, frags de terre chauffée rouges à noirs épars

***Hz / Us :** 2059 ; ***Fait :** SD2059 ; ***TR :** 05 ; ***Type :** technique ; ***ID :** sondage ; ***Tech. :** mécanique ; ***Z. sup. :** 83,30 ; ***Dim. en m (Ø ou L / l et/ou P) :** 0,85
***Combl. :** -0-25 cm : Labours
-25-35 cm : LA beige
-35-55 cm : LA brun orangé, points de manganèse épars
-55-65 cm : AL/Ag brun jaune, manganèse épars. ; + 65 cm : Ag jaune et poches de cailloutis de calcaire siliceux

***Hz / Us :** 2060 ; ***Fait :** PO2060 ; ***TR :** 05 ; ***Type :** composite (combl. + creus.) ; ***ID :** trou de poteau ; ***Loc :** Au niveau de la fenêtre 05-B ; ***Tech. :** non fouillé ; ***Z. sup. :** 82,75 ; ***Dim. en m (Ø ou L / l et/ou P) :** 0,4 ; ***Forme :** circulaire
***Combl. :** LA brun gris à lég. charbonneux

***Hz / Us :** 2061 ; ***Fait :** PO2061 ; ***TR :** 05 ; ***Type :** composite (combl. + creus.) ; ***ID :** trou de poteau ; ***Loc :** Au niveau de la fenêtre 05-B ; ***Tech. :** non fouillé ; ***Z. sup. :** 82,75 ; ***Dim. en m (Ø ou L / l et/ou P) :** 0,4 ; ***Forme :** circulaire
***Combl. :** LA brun gris sombre à noirâtre, charbons épars

***Hz / Us :** 2062 ; ***Fait :** PO2062 ; ***TR :** 05 ; ***Type :** composite (combl. + creus.) ; ***ID :** trou de poteau ; ***Loc :** Au niveau de la fenêtre 05-B ; ***Tech. :** non fouillé ; ***Z. sup. :** 82,75 ; ***Dim. en m (Ø ou L / l et/ou P) :** 0,4 ; ***Forme :** circulaire
***Combl. :** LA brun gris sombre à noirâtre, charbons épars

***Hz / Us :** 2063 ; ***Fait :** PO2063 ; ***TR :** 05 ; ***Type :** composite (combl. + creus.) ; ***ID :** trou de poteau ; ***Loc :** Au niveau de la fenêtre 05-B ; ***Tech. :** non fouillé ; ***Z. sup. :** 82,75 ; ***Dim. en m (Ø ou L / l et/ou P) :** 0,4 ; ***Forme :** circulaire
***Combl. :** LA brun gris sombre à noirâtre, charbons épars

***Hz / Us :** 2064 ; ***Fait :** FO2064 ; ***ENS :** SFO2064 ; ***TR :** 05 et 30 ; ***Type :** composite (combl. + creus.) ; ***ID :** fossé ; ***Tech. :** non fouillé ; ***Z. sup. :** 82,50 ; ***Dim. en m (Ø ou L / l et/ou P) :** 32 ; 1,7 ; ***Forme :** linéaire
***Combl. :** LA brun à beige gris, frags. de tuiles gallo-romaines erratiques
***Egal. :** 2517

***Hz / Us :** 2065 ; ***Fait :** PO2065 ; ***TR :** 05 ; ***Type :** composite (combl. + creus.) ; ***ID :** trou de poteau ; ***Tech. :** non fouillé ; ***Z. sup. :** 82,45 ; ***Dim. en m (Ø ou L / l et/ou P) :** 0,5 ; ***Forme :** circulaire
***Combl. :** LA gris brun à gris sombre, charbons épars

***Hz / Us :** 2066 ; ***Fait :** FO2066 ; ***ENS :** SFO2052 ; ***TR :** 05 ; ***Type :** composite (combl. + creus.) ; ***ID :** fossé ; ***Tech. :** non fouillé ; ***Z. sup. :** 82,20 ; ***Dim. en m (Ø ou L / l et/ou P) :** 4 ; 0,75 ; ***Forme :** linéaire
***Combl. :** LA gris clair bariolé, frags. de tegulae épars
***Egal. :** 2052 ? ***Rel. indét. :** 2518

***Hz / Us :** 2067 ; ***Fait :** FD2067 ; ***ENS :** MUR2007 ; ***TR :** 06 ; ***Type :** composite (combl. + creus.) ; ***ID :** fondation de mur ; ***Tech. :** non fouillé ; ***Z. sup. :** 83,20 ; ***Dim. en m (Ø ou L / l et/ou P) :** 4 ; 0,7 ; ***Forme :** linéaire
***Combl. :** Dalles silico-calcaires anguleuses à plat (Ø < 0,8 m), LA beige jaunâtre interstitiel
***Egal. :** 2007 2360 2486

***Hz / Us :** 2068 ; ***Fait :** SD2068 ; ***TR :** 06 ; ***Type :** technique ; ***ID :** sondage ; ***Tech. :** mécanique ; ***Z. sup. :** 83,55 ; ***Dim. en m (Ø ou L / l et/ou P) :** 1,55
***Combl. :** -0-30 cm : Labours
-30-50 cm : LA brun beige
-50-70 cm : LA brun orangé (Sol brun), points de manganèse épars
-70-110 cm : LAS jaunâtre, cailloutis silco-calcaire en partie inférieure

-110-130 cm : Sablon argileux gris blanchâtre avec plages de rouille couvrantes
-130-155 cm : Sablon gris blanc, bariolé rouille, poches de pierres / cailloutis silico-calcaires, pierres de grès erratiques
-155 cm : fond sondage

***Hz / Us :** 2069 ; ***Fait :** PO2069 ; ***TR :** 06 ; ***Type :** composite (combl. + creus.) ; ***ID :** trou de poteau ; ***Loc :** Ensemble de trous de poteau de la fenêtre 06 ; ***Tech. :** non fouillé ; ***Z. sup. :** 82,85 ; ***Dim. en m (Ø ou L / l et/ou P) :** 0.4 ; ***Forme :** circulaire
***Combl. :** LA brun gris, charbons erratiques

***Hz / Us :** 2070 ; ***Fait :** FS2069 ; ***TR :** 06 ; ***Type :** composite (combl. + creus.) ; ***ID :** fosse ; ***Loc :** Associée à l'ensemble de trous de poteau de la fenêtre 06 (sablière basse ?) ; ***Tech. :** non fouillé ; ***Z. sup. :** 82,85 ; ***Dim. en m (Ø ou L / l et/ou P) :** 2,5 ; 0,6 ; ***Forme :** oblong(ue)
***Combl. :** LA gris brun à noirâtre, charbons abondants, frags / nod. rubéfiés épars

***Hz / Us :** 2071 ; ***Fait :** PO2071 ; ***TR :** 06 ; ***Type :** composite (combl. + creus.) ; ***ID :** trou de poteau ; ***Loc :** Ensemble de trous de poteau de la fenêtre 06 ; ***Tech. :** non fouillé ; ***Z. sup. :** 82,85 ; ***Dim. en m (Ø ou L / l et/ou P) :** 0,45 ; ***Forme :** circulaire
***Combl. :** LA brun gris, charbons et nodules rubéfiés épars

***Hz / Us :** 2072 ; ***Fait :** PO2072 ; ***TR :** 06 ; ***Type :** composite (combl. + creus.) ; ***ID :** trou de poteau ? ; ***Loc :** Ensemble de trous de poteau de la fenêtre 06 ; ***Tech. :** non fouillé ; ***Z. sup. :** 82,85 ; ***Dim. en m (Ø ou L / l et/ou P) :** 0,45 ; ***Forme :** circulaire
***Combl. :** LA brun beige. Peu visible

***Hz / Us :** 2073 ; ***Fait :** FO2073 ; ***ENS :** SFO2073 ; ***TR :** 06 ; ***Type :** composite (combl. + creus.) ; ***ID :** fossé ; ***Tech. :** non fouillé ; ***Z. sup. :** 82,60 ; ***Dim. en m (Ø ou L / l et/ou P) :** 9,3 ; 1,3 ; ***Forme :** linéaire
***Combl. :** LA brun beige, cailloutis erratique
***Egal. :** 2359

***Hz / Us :** 2074 ; ***Fait :** FS2074 ; ***TR :** 06 ; ***Type :** composite (combl. + creus.) ; ***ID :** fosse ; ***Tech. :** non fouillé ; ***Z. sup. :** 82,65 ; ***Dim. en m (Ø ou L / l et/ou P) :** 0,8 ; 0,7 ; ***Forme :** ovalaire
***Combl. :** LA beige, tessons NT erratiques

***Hz / Us :** 2075 ; ***Fait :** FT2075 ; ***TR :** 06 ; ***Type :** composite (combl. + creus.) ; ***ID :** creusement indéterminé ; ***Tech. :** non fouillé ; ***Z. sup. :** 82,70 ; ***Dim. en m (Ø ou L / l et/ou P) :** 1 ; 0,65 ; ***Forme :** ovalaire
***Combl. :** LA beige bariolé, charbons épars à erratiques (limites peu visibles)

***Hz / Us :** 2076 ; ***Fait :** FO2076 ; ***ENS :** SFO2076 ; ***TR :** 06 ; ***Type :** composite (combl. + creus.) ; ***ID :** fossé ; ***Tech. :** non fouillé ; ***Z. sup. :** 82,70 ; ***Dim. en m (Ø ou L / l et/ou P) :** 3,3 ; 1,5 ; ***Forme :** linéaire
***Combl. :** LA beige
***Egal. :** 2087 2350 2362

***Hz / Us :** 2077 ; ***Fait :** FD2077 ; ***ENS :** MUR2077 ; ***TR :** 06 ; ***Type :** composite (combl. + creus.) ; ***ID :** fondation de mur ; ***Tech. :** non fouillé ; ***Z. sup. :** 83,00 ; ***Dim. en m (Ø ou L / l et/ou P) :** 7,2 ; 0,9 ; ***Forme :** linéaire
***Combl. :** Vrac de pierres silico-calcaires et de grès (Ø < 0.3 m), cailloutis et LA beige interstitiel
***Egal. :** 2084 2349 2364

***Hz / Us :** 2078 ; ***Fait :** SD2078 ; ***TR :** 06 ; ***Type :** technique ; ***ID :** sondage ; ***Tech. :** mécanique ; ***Z. sup. :** 83,25 ; ***Dim. en m (Ø ou L / l et/ou P) :** 0,95
***Combl. :** -0-30 cm : Labours
-30-50 cm : LA brun beige
-50-90 cm : AL orangée, manganèse épars. ; + 90 cm : Ag orangée et poches de calcaire siliceux

***Hz / Us :** 2079 ; ***Fait :** FO2079 ; ***ENS :** SFO2079 ; ***TR :** 06 ; ***Type :** composite (combl. + creus.) ; ***ID :** fossé ; ***Tech. :** non fouillé ; ***Z. sup. :** 82,75 ; ***Dim. en m (Ø ou L / l et/ou P) :** 4,6 ; 1,3 ; ***Forme :** linéaire
***Combl. :** LA beige et plages de vrac de pierres silico-calcaires et de grès (Ø < 0.3 m)
***Synch. :** 2080 ; ***Egal. :** 2083 2351

***Hz / Us :** 2080 ; ***Fait :** FO2080 ; ***TR :** 06 ; ***Type :** composite (combl. + creus.) ; ***ID :** fossé ; ***Tech. :** non fouillé ; ***Z. sup. :** 82,85 ; ***Dim. en m (Ø ou L / l et/ou P) :** 13 ; 1,1 ; ***Forme :** linéaire
***Combl. :** LA beige et plages de vrac de pierres silico-calcaires et de grès (Ø < 0.3 m)
***Synch. :** 2079 ; 2081

***Hz / Us :** 2081 ; ***Fait :** FO2081 ; ***ENS :** SFO2081 ; ***TR :** 06 ; ***Type :** composite (combl. + creus.) ; ***ID :** fossé / fondation de mur ? ; ***Tech. :** non fouillé ; ***Z. sup. :** 82,95 ; ***Dim. en m (Ø ou L / l et/ou P) :** 7,5 ; 1,4 ; ***Forme :** linéaire
***Combl. :** Vrac de pierres silico-calcaires et de grès (Ø < 0.3 m)
***Synch. :** 2079 ; 2080 ; ***Egal. :** 2089 2243 2352 2466

***Hz / Us :** 2082 ; ***Fait :** FS2082 ; ***TR :** 06 ; ***Type :** composite (combl. + creus.) ; ***ID :** fosse ; ***Tech. :** non fouillé ; ***Z. sup. :** 82,95 ; ***Dim. en m (Ø ou L / l et/ou P) :** 0,95 ; 0,8 ; ***Forme :** ovalaire
***Combl. :** LA brun beige, nodules rubéfiés et de céramique modelée, charbons erratiques

***Hz / Us :** 2083 ; ***Fait :** FO2083 ; ***ENS :** SFO2079 ; ***TR :** 07 ; ***Type :** composite (combl. + creus.) ; ***ID :** fossé ; ***Tech. :** non fouillé ; ***Z. sup. :** 83,05 ; ***Dim. en m (Ø ou L / l et/ou P) :** 10 ; 1,3 ; ***Forme :** linéaire
***Combl. :** LA beige, lég. bariolé, plages éparses de vrac de pierres silico-calcaires et de grès (Ø < 0.3 m)
***Egal. :** 2079 2351

***Hz / Us :** 2084 ; ***Fait :** FD2084 ; ***ENS :** MUR2077 ; ***TR :** 07 ; ***Type :** composite (combl. + creus.) ; ***ID :** fondation de mur ; ***Tech. :** non fouillé ; ***Z. sup. :** 83,00 ; ***Dim. en m (Ø ou L / l et/ou P) :** 4 ; 1,3 ; ***Forme :** linéaire
***Combl. :** Grandes dalles silico-calcaires à plat (Ø : < 0,8 m), vrac de petites pierres silico-calcaires et LA brun interstitiel
***Egal. :** 2077, 2349, 2364

***Hz / Us :** 2085 ; ***Fait :** PO2085 ; ***TR :** 07 ; ***Type :** composite (combl. + creus.) ; ***ID :** trou de poteau ; ***Loc :** Fen07-A ; ***Tech. :** non fouillé ; ***Z. sup. :** 82,90 ; ***Dim. en m (Ø ou L / l et/ou P) :** 0,35 ; ***Forme :** circulaire
***Combl. :** LA brun gris, nodules rubéfiés et charbons épars à erratiques

***Hz / Us :** 2086 ; ***Fait :** FS2086 ; ***TR :** 07 ; ***Type :** composite (combl. + creus.) ; ***ID :** fosse ; ***Tech. :** non fouillé ; ***Z. sup. :** 82,80 ; ***Dim. en m (Ø ou L / l et/ou P) :** 2,7 ; 2,5 ; ***Forme :** ovalaire
***Combl. :** LA beige blanchi, lég. bariolé

***Hz / Us :** 2087 ; ***Fait :** FO2087 ; ***ENS :** SFO2076 ; ***TR :** 07 et 21 ; ***Type :** composite (combl. + creus.) ; ***ID :** fossé ; ***Loc :** Fen07-B ; ***Tech. :** non fouillé ; ***Z. sup. :** 82,90 ; ***Dim. en m (Ø ou L / l et/ou P) :** 30,5 ; 1,4 ; ***Forme :** linéaire
***Combl. :** LA beige, lég. bariolé, tessons gallo-romains erratiques
***Egal. :** 2076, 2350, 2362

***Hz / Us :** 2088 ; ***Fait :** FO2088 ; ***ENS :** SFO2088 ; ***TR :** 07 ; ***Type :** composite (combl. + creus.) ; ***ID :** fossé ; ***Tech. :** non fouillé ; ***Z. sup. :** 82,70 ; ***Dim. en m (Ø ou L / l et/ou P) :** 8,6 ; 1,2 ; ***Forme :** linéaire
***Combl. :** LA beige, lég. bariolé, tessons gallo-romains erratiques
***Synch. :** 2599 ? ; ***Egal. :** 2246

***Hz / Us :** 2089 ; ***Fait :** FO2089 ; ***ENS :** SFO2081 ; ***TR :** 07 ; ***Type :** composite (combl. + creus.) ; ***ID :** fossé / fondation de mur ? ; ***Tech. :** non fouillé ; ***Z. sup. :** 82,95 ; ***Dim. en m (Ø ou L / l et/ou P) :** 9 ; 1,2 ; ***Forme :** linéaire
***Combl. :** -0-30 cm : Labours ; 30-40 cm : LA beige. ; + 40 cm : Vrac de pierres silico-calcaires et de grès (Ø < 0.3 m)
***Egal. :** 2081, 2243, 2352, 2466

***Hz / Us :** 2090 ; ***Fait :** SD2090 ; ***TR :** 07 ; ***Type :** technique ; ***ID :** sondage ; ***Tech. :** mécanique ; ***Z. sup. :** 83,30 ; ***Dim. en m (Ø ou L / l et/ou P) :** 1,75
***Combl. :** -0-30 cm : Labours
-30-50 cm : LA brun beige
-50-90 cm : LA brun orangé (Sol brun), points de manganèse épars
-90-120 cm : LA / AL jaunâtre (loessique)
-120-155 cm : Sablon argileux gris clair, plages de rouille
-155-175 cm : Litages de sablons argileux blanchâtres, plages de rouille, conrétions calcaires et pierres silicico-calcaires erratiques
-175 cm : Fond sondage, nappe temporaire

***Hz / Us :** 2091 ; ***Fait :** FS2091 ; ***TR :** 07 ; ***Type :** composite (combl. + creus.) ; ***ID :** fosse ; ***Tech. :** non fouillé ; ***Z. sup. :** 82,75 ; ***Dim. en m (Ø ou L / l et/ou P) :** >4,75 ; 3,65 ; ***Forme :** indéterminée, partiellement décapé
***Combl. :** LA brun foncé. Frags de tuiles plates méd./mod./contemp. erratiques

***Hz / Us :** 2092 ; ***Fait :** EX2092 ; ***TR :** 07 ; ***Type :** composite (combl. + creus.) ; ***ID :** excavation ; ***Tech. :** non fouillé ; ***Z. sup. :** 82,75 ; ***Dim. en m (Ø ou L / l et/ou P) :** 29,5 ; ***Forme :** indéterminée, partiellement décapé
***Combl. :** LA bruns à gris sombres hydromorphes (litages et/ou faits ?). Tessons XIXe-XXe s. erratiques

***Hz / Us :** 2093 ; ***Fait :** FO2093 ; ***ENS :** SFO2093 ; ***TR :** 08 ; ***Type :** composite (combl. + creus.) ; ***ID :** fossé ; ***Tech. :** non fouillé ; ***Z. sup. :** 83,20 ; ***Dim. en m (Ø ou L / l et/ou P) :** 8 ; 1,2 ; ***Forme :** linéaire
***Combl. :** LA beige, lég. bariolé, 1 frag. de métal ferreux
***Egal. :** 2223

***Hz / Us :** 2094 ; ***Fait :** PO2094 ; ***TR :** 08 ; ***Type :** composite (combl. + creus.) ; ***ID :** trou de poteau ? ; ***Tech. :** non fouillé ; ***Z. sup. :** 83,20 ; ***Dim. en m (Ø ou L / l et/ou P) :** 0,4 ; ***Forme :** circulaire
***Combl. :** LA brun gris, petits charbons erratiques

***Hz / Us :** 2095 ; ***Fait :** FO2095 ; ***ENS :** SFO2095 ; ***TR :** 08 ; ***Type :** composite (combl. + creus.) ; ***ID :** fossé ; ***Tech. :** non fouillé ; ***Z. sup. :** 83,25 ; ***Dim. en m (Ø ou L / l et/ou P) :** 4 ; 1,2 ; ***Forme :** linéaire
***Combl. :** LA beige, lég. bariolé, pierres silico-calcaires et de grès (Ø < 0,3 m) éparses en surface
***Egal. :** 2117 2221

***Hz / Us :** 2096 ; ***Fait :** SD2096 ; ***TR :** 08 ; ***Type :** technique ; ***ID :** sondage ; ***Tech. :** mécanique ; ***Z. sup. :** 83,75 ; ***Dim. en m (Ø ou L / l et/ou P) :** 0,8
***Combl. :** -0-30 cm : Labours
-30-55 cm : LA brun
-55-75 cm : AL/Ag brun orangé
+ 75 cm : Ag brune à jaunâtre, poches de calcaire siliceux dégradé

***Hz / Us :** 2097 ; ***Fait :** FS2097 ; ***TR :** 08 ; ***Type :** composite (combl. + creus.) ; ***ID :** fosse (de plantation ?) ; ***Tech. :** non fouillé ; ***Z. sup. :** 83,25 ; ***Dim. en m (Ø ou L / l et/ou P) :** 0,7 ; ***Forme :** circulaire
***Combl. :** -LA beige blanchi, lég. bariolé

***Hz / Us :** 2098 ; ***Fait :** FS2098 ; ***TR :** 08 ; ***Type :** composite (combl. + creus.) ; ***ID :** fosse (de plantation ?) ; ***Tech. :** non fouillé ; ***Z. sup. :** 83,30 ; ***Dim. en m (Ø ou L / l et/ou P) :** 0,7 ; ***Forme :** circulaire
***Combl. :** -LA beige blanchi, lég. bariolé

***Hz / Us :** 2099 ; ***Fait :** FS2099 ; ***TR :** 08 ; ***Type :** composite (combl. + creus.) ; ***ID :** fosse (de plantation ?) ; ***Tech. :** non fouillé ; ***Z. sup. :** 83,40 ; ***Dim. en m (Ø ou L / l et/ou P) :** 0,8 ; ***Forme :** circulaire
***Combl. :** -LA beige blanchi, lég. bariolé

***Hz / Us :** 2100 ; ***Fait :** FS2100 ; ***TR :** 08 ; ***Type :** composite (combl. + creus.) ; ***ID :** fosse de plantation ; ***Tech. :** non fouillé ; ***Z. sup. :** 83,40 ; ***Dim. en m (Ø ou L / l et/ou P) :** 0,85 ; 0,75 ; ***Forme :** quadrangulaire
***Combl. :** -LA beige blanchi, lég. bariolé

***Hz / Us :** 2101 ; ***Fait :** SD2101 ; ***TR :** 08 ; ***Type :** technique ; ***ID :** sondage ; ***Tech. :** mécanique ; ***Z. sup. :** 83,80 ; ***Dim. en m (Ø ou L / l et/ou P) :** 1,7
***Combl. :** -0-40 cm : Labours
-40-60 cm : LA brun à beige blanchi, petits tessons modelés erratiques (colluvions = 2653)
-60-90 cm : AL brun orangé, points de manganèse épars (Sol brun)
-90-110 cm : Ag brun orangé vif, points de manganèse épars
-110-120 cm : Ag brun orangé vif, points de manganèse épars, pierres silico-calcaires et de grès éparses, litage de cailloutis en limite inférieure
-120-160 cm : AS jaune orangé, glosses blanchies et plages de rouille
-160-170 cm : Sablon argileux jaunâtre, glosses blanchies et plages de rouille
-170 cm : fond du sondage

***Hz / Us :** 2102 ; ***Fait :** FS2102 ; ***TR :** 08 ; ***Type :** composite (combl. + creus.) ; ***ID :** fosse (de plantation ?) ; ***Tech. :** non fouillé ; ***Z. sup. :** 83,35 ; ***Dim. en m (Ø ou L / l et/ou P) :** 0,8 ; ***Forme :** circulaire
***Combl. :** -LA beige blanchi, lég. bariolé. 1 frag. de tuile mod./comtemp

***Hz / Us :** 2103 ; ***Fait :** FS2103 ; ***TR :** 08 ; ***Type :** composite (combl. + creus.) ; ***ID :** fosse (de plantation ?) ; ***Tech. :** non fouillé ; ***Z. sup. :** 83,55 ; ***Dim. en m (Ø ou L / l et/ou P) :** 0,8 ; ***Forme :** circulaire
***Combl. :** -LA beige blanchi, lég. bariolé

***Hz / Us :** 2104 ; ***Fait :** FO2104 ; ***ENS :** SFO2104 ; ***TR :** 08 ; ***Type :** composite (combl. + creus.) ; ***ID :** fossé ; ***Tech. :** non fouillé ; ***Z. sup. :** 83,70 ; ***Dim. en m (Ø ou L / l et/ou P) :** 9 ; 1,3 ; ***Forme :** linéaire
***Combl. :** LA beige foncé, petits pierres erratiques, frags. de tuiles plates mod./contemp. erratiques
***Egal. :** 2225

***Hz / Us :** 2105 ; ***Fait :** FS2105 ; ***TR :** 08 ; ***Type :** composite (combl. + creus.) ; ***ID :** fosse (de plantation ?) ; ***Tech. :** non fouillé ; ***Z. sup. :** 83,70 ; ***Dim. en m (Ø ou L / l et/ou P) :** 0,8 ; ***Forme :** circulaire
***Combl. :** -LA beige blanchi, lég. bariolé

***Hz / Us :** 2106 ; ***Fait :** FS2106 ; ***TR :** 08 ; ***Type :** composite (combl. + creus.) ; ***ID :** fosse (de plantation ?) ; ***Tech. :** non fouillé ; ***Z. sup. :** 83,75 ; ***Dim. en m (Ø ou L / l et/ou P) :** 1,15 ; ***Forme :** circulaire
***Combl. :** -LA beige, cailloutis de grès épars
***Rel. indét. :** 2104

***Hz / Us :** 2107 ; ***Fait :** FS2107 ; ***TR :** 08 ; ***Type :** composite (combl. + creus.) ; ***ID :** fosse (de plantation ?) ; ***Tech. :** non fouillé ; ***Z. sup. :** 83,75 ; ***Dim. en m (Ø ou L / l et/ou P) :** 0,6 ; ***Forme :** circulaire
***Combl. :** -LA beige, cailloutis de grès épars

***Hz / Us :** 2108 ; ***Fait :** FS2108 ; ***TR :** 08 ; ***Type :** composite (combl. + creus.) ; ***ID :** fosse de plantation ; ***Tech. :** non fouillé ; ***Z. sup. :** 83,80 ; ***Dim. en m (Ø ou L / l et/ou P) :** 1,4 ; 1,15 ; ***Forme :** quadrangulaire
***Combl. :** -LA beige

***Hz / Us :** 2109 ; ***Fait :** FO2109 ; ***ENS :** SFO2109 ; ***TR :** 08 ; ***Type :** composite (combl. + creus.) ; ***ID :** fossé ; ***Tech. :** non fouillé ; ***Z. sup. :** 83,90 ; ***Dim. en m (Ø ou L / l et/ou P) :** 8,5 ; 1,5 ; ***Forme :** linéaire
***Combl. :** LA beige, pierres de grès éparses à erratiques
***Egal. :** 2227

***Hz / Us :** 2110 ; ***Fait :** FS2110 ; ***TR :** 08 ; ***Type :** composite (combl. + creus.) ; ***ID :** fosse (de plantation ?) ; ***Tech. :** non fouillé ; ***Z. sup. :** 83,80 ; ***Dim. en m (Ø ou L / l et/ou P) :** 1 ; ***Forme :** indéterminée, partiellement décapé
***Combl. :** -LA beige, pierres de grès éparses

***Hz / Us :** 2111 ; ***Fait :** FS2111 ; ***TR :** 08 ; ***Type :** composite (combl. + creus.) ; ***ID :** fosse ; ***Tech. :** non fouillé ; ***Z. sup. :** 84,25 ; ***Dim. en m (Ø ou L / l et/ou P) :** 3,7 ; ***Forme :** indéterminée, partiellement décapé
***Combl. :** LA beige, pierres de grès éparses à erratiques (extraction de bloc-s de grès ?)

***Hz / Us :** 2112 ; ***Fait :** SD2112 ; ***TR :** 08 ; ***Type :** technique ; ***ID :** sondage ; ***Tech. :** mécanique ; ***Z. sup. :** 84,80 ; ***Dim. en m (Ø ou L / l et/ou P) :** 1,3
***Combl. :** -0-30 cm : Labours
-30-45 cm : LA brun à beige blanchi (colluvions)
-45-60 cm : AL/Ag brun orangé, points de manganèse épars (Sol brun), blocs de grès épars
-60-70 cm : Ag brun jaunâtre, points de manganèse épars, , blocs de grès épars
-70-85 cm : Ag brun orangé, pierres silico-calcaires et de grès éparses, poches de cailloutis épars à abondants
-85-120 cm : AS jaune orangé, glosses blanchies et plages de rouille, cailloutis erratique
-120 cm : Fond du sondage

***Hz / Us :** 2113 ; ***Fait :** FD2113 ; ***ENS :** MUR2113 ; ***TR :** 09 ; ***Type :** composite (combl. + creus.) ; ***ID :** fondation de mur ; ***Tech. :** non fouillé ; ***Z. sup. :** 83,20 ; ***Dim. en m (Ø ou L / l et/ou P) :** 4 ; 0,8 ; ***Forme :** linéaire
***Combl. :** Vrac de petites pierres silico-calcaires (Ø < 0,15 cm), LA brun interstitiel
***Egal. :** 2126 2218

***Hz / Us :** 2114 ; ***Fait :** FO2114 ; ***ENS :** SFO2114 ; ***TR :** 09 ; ***Type :** composite (combl. + creus.) ; ***ID :** fossé ; ***Tech. :** non fouillé ; ***Z. sup. :** 83,00 ; ***Dim. en m (Ø ou L / l et/ou P) :** 7,5 ; 0,75 ; ***Forme :** linéaire
***Combl. :** LA beige foncé à grisâtre, lég. bariolé
***Egal. :** 2135 2220

***Hz / Us :** 2115 ; ***Fait :** FO2115 ; ***TR :** 09 ; ***Type :** composite (combl. + creus.) ; ***ID :** fossé ; ***Tech. :** non fouillé ; ***Z. sup. :** 83,10 ; ***Dim. en m (Ø ou L / l et/ou P) :** 9 ; 1 ; ***Forme :** linéaire
***Combl. :** a : Bande centrale de vrac de petites pierres silico-calcaires et de grès (Ø < 0,3 m) ; b : Sur bords, LA beige

***Hz / Us :** 2116 ; ***Fait :** SD2116 ; ***TR :** 09 ; ***Type :** technique ; ***ID :** sondage ; ***Tech. :** mécanique ; ***Z. sup. :** 83,45 ; ***Dim. en m (Ø ou L / l et/ou P) :** 1,40
***Combl. :** -0-35 cm : Labours
-35-50 cm : LA brun
-50-70 cm : AL/Ag brun orangé, points de manganèse
-70-100 cm : Ag brun jaunâtre, points de manganèse épars
-100-115 cm : Ag jaunâtre, cailloutis anguleux silico-calcaire et de grès épars
-115-140 cm : AS blanchâtre, glosses de rouille
-140 cm : Fond du sondage

***Hz / Us :** 2117 ; ***Fait :** FO2117 ; ***ENS :** SFO2095 ; ***TR :** 09 ; ***Type :** composite (combl. + creus.) ; ***ID :** fossé ; ***Tech. :** non fouillé ; ***Z. sup. :** 83,20 ; ***Dim. en m (Ø ou L / l et/ou P) :** 4,5 ; 1,2 ; ***Forme :** linéaire
***Combl. :** LA beige foncé, cailloutis erratique
***Egal. :** 2095 2221

***Hz / Us :** 2118 ; ***TR :** 09 ; ***Type :** comblement et ramassage de mobilier ; ***ID :** colluvions ; ***Tech. :** mécanique ;
***Combl. :** LA brun beige à blanchi sous labours, nodules de céramique modelée erratiques (voir SD2119)
***Egal. :** 2653

***Hz / Us :** 2119 ; ***Fait :** SD2119 ; ***TR :** 09 ; ***Type :** technique ; ***ID :** sondage ; ***Tech. :** mécanique ; ***Z. sup. :** 84,10 ; ***Dim. en m (Ø ou L / l et/ou P) :** 1,45
***Combl. :** -0-40 cm : Labours
-40-60 cm : LA brun à beige blanchi, petits tessons modelés erratiques (colluvions = 2118)
-60-95 cm : AL/Ag brun jaunâtre, léger bariolage (Sol brun)
-95-115 cm : Ag brun orangé, pierres silico-calcaires et de grès éparses, cailloutis silico-calcaire épars à abondant
-115-145 cm : AS jaune orangé, glosses blanchies
-145 cm : Fond du sondage

***Hz / Us :** 2120 ; ***Fait :** FT2120 ; ***TR :** 09 ; ***Type :** composite (combl. + creus.) ; ***ID :** creusement indéterminé ; ***Tech. :** non fouillé ; ***Z. sup. :** 84,10 ; ***Dim. en m (Ø ou L / l et/ou P) :** 0,5 ; ***Forme :** circulaire
***Combl. :** Plages de charbons épars et nodules rubéfiés erratiques dans LA brun (limites peu visibles)

***Hz / Us :** 2121 ; ***Fait :** FT2121 ; ***TR :** 09 ; ***Type :** composite (combl. + creus.) ; ***ID :** creusement indéterminé ;

***Tech. :** non fouillé ; ***Z. sup. :** 84,25 ; ***Dim. en m (Ø ou L / l et/ou P) :** 0,5 ; 1,8 ; 1,4 ; ***Forme :** ovalaire
***Combl. :** LA beige foncé (bloc de grès arraché ?)

***Hz / Us :** 2122 ; ***Fait :** FO2122 ; ***ENS :** SFO2122 ; ***TR :** 09 ; ***Type :** composite (combl. + creus.) ; ***ID :** fossé ; ***Tech. :** non fouillé ; ***Z. sup. :** 84,45 ; ***Dim. en m (Ø ou L / l et/ou P) :** 8,5 ; 1 ; ***Forme :** linéaire
***Combl. :** LA beige, lég. bariolé
***Egal. :** 2222

***Hz / Us :** 2123 ; ***Fait :** SD2123 ; ***TR :** 09 ; ***Type :** technique ; ***ID :** sondage ; ***Tech. :** mécanique ; ***Z. sup. :** 85,15 ;
***Combl. :**
Sondage 2123-A :
-0-30 cm : Labours
-30-60 cm : AL/Ag brun à brun orangé, points de manganèse épars (Sol brun), blocs de grès épars
-60-75 cm : Ag brun jaunâtre, pierres silico-calcaires et de grès éparses, cailloutis anguleux épars à abondant
-75-135 cm : AS orangée rougeâtre à jaune orangé, glosses de cailloutis erratique
-135 cm : Fond du sondage
Sondage 2123-B : étude par Sophie Clément :
-1 - Terre végétale (30 cm)
-2 - Limon brun beige argilo-sableux hétérogène avec poches de sables jaune (colluvions ?) (60 cm)
-3 - Limon sablo-argileux jaune (10 cm)
-4 - Limon rouge/bordeaux argilo-sableux très compact homogène avec gloss argileux beige (40 cm)
-5 - Cailloutis d'environ 10/15 cm de diamètre (10 cm)
-6 - Limon jaune orangé sablo-argileux, tâches rouges, homogène, peu compact (20 cm)
-7 - Cailloutis d'environ 10/15 cm de diamètre (10 cm)
-8 - Sables stampiens jaunes parfois blanc (décarbonatation ?) (de Fontainebleau ?) (??)

***Hz / Us :** 2124 ; ***Fait :** FO2124 ; ***ENS :** SFO2124 ; ***TR :** 10 ; ***Type :** composite (combl. + creus.) ; ***ID :** fossé ; ***Tech. :** non fouillé ; ***Z. sup. :** 83,00 ; ***Dim. en m (Ø ou L / l et/ou P) :** 7,5 ; 1,4 ; ***Forme :** linéaire
***Combl. :** LA beige, lég. bariolé
***Synch. :** 2163 ? ; ***Egal. :** 2149 2204

***Hz / Us :** 2125 ; ***Fait :** SD2125 ; ***TR :** 10 ; ***Type :** technique ; ***ID :** sondage ; ***Tech. :** mécanique ; ***Z. sup. :** 83,50 ; ***Dim. en m (Ø ou L / l et/ou P) :** 1,7
***Combl. :** -0-30 cm : Labours
-30-45 cm : LA brun beige
-45-75 cm : LA/AL brun orangé (Sol brun)
-75-90 cm : AL/AG brun jaunâtre
-90-105 cm : LAS jaunâtre et petites concrétions calcaires blanchâtres éparses
-105-125 cm : LAS jaunâtre, concrétions calcaires blanchâtres et cailloutis silico-calcaire abondant
-125-170 cm : Sablon argileux blanchâtre, glosses de rouille
-170 cm : Fond du sondage

***Hz / Us :** 2126 ; ***Fait :** FD2126 ; ***ENS :** MUR2113 ; ***TR :** 10 ; ***Type :** composite (combl. + creus.) ; ***ID :** fondation de mur ; ***Tech. :** non fouillé ; ***Z. sup. :** 83,00 ; ***Dim. en m (Ø ou L / l et/ou P) :** 4 ; 1 ; ***Forme :** linéaire
***Combl. :** Vrac de petites pierres silico-calcaires (Ø < 0,15 cm), LA brun interstitiel
***Egal. :** 2113 2218

***Hz / Us :** 2127 ; ***Fait :** FO2127 ; ***TR :** 10 et 17 ; ***Type :** composite (combl. + creus.) ; ***ID :** fossé ; ***Tech. :** non fouillé ; ***Z. sup. :** 83,25 ; ***Dim. en m (Ø ou L / l et/ou P) :** 30,5 ; 0,9 ; ***Forme :** linéaire
***Combl. :** a : Bande centrale de vrac de petites pierres silico-calcaires et de grès (Ø < 0,3 m) ; b : Sur bords, LA beige
***Synch. :** 2115 ? ; ***Egal. :** 2219

***Hz / Us :** 2128 ; ***Fait :** FO2128 ; ***TR :** 10 ; ***Type :** composite (combl. + creus.) ; ***ID :** fossé ; ***Tech. :** non fouillé ; ***Z. sup. :** 83,00 ; ***Dim. en m (Ø ou L / l et/ou P) :** 3,2 ; 0,45 ; ***Forme :** linéaire
***Combl. :** a : Bande centrale de vrac de petites pierres silico-calcaires et de grès (Ø < 0,3 m) ; b : Sur bords, LA beige

***Hz / Us :** 2129 ; ***Fait :** SD2129 ; ***TR :** 10 ; ***Type :** technique ; ***ID :** sondage ; ***Tech. :** mécanique ; ***Z. sup. :** 83,85 ; ***Dim. en m (Ø ou L / l et/ou P) :** 1,4
***Combl. :** -0-30 cm : Labours
-2129-1 : 30-60 cm : LA brun beige à blanchi, tessons modelés et pièces lithiques néolithiques erratiques (colluvions = 2649 et 2657)
-2129-2 : 60-80 cm : LA / AL Beige jaunâtre
-2129-3 : 80-110 cm : Ag brun orangé
-2129-4 : 110-140 cm : Sablon argileux jaune orangé / poches de cailloutis et petites pierres silico-calcaires
-140 cm : Fond du sondage

***Hz / Us :** 2130 ; ***Fait :** FS2130 ; ***TR :** 10 ; ***Type :** composite (combl. + creus.) ; ***ID :** fosse ; ***Loc :** Fen10-D ; ***Tech. :** non fouillé ; ***Z. sup. :** 83,05 ; ***Dim. en m (Ø ou L / l et/ou P) :** 2,5 ; 1,9 ; ***Forme :** ovalaire
***Combl. :** LA beige à brun gris, pièces lithiques néolithiques, cailloutis, charbons et nodules rubéfiés erratiques à épars
***Sous :** 2129-1 ; ***Sur :** 2129-3

***Hz / Us :** 2131 ; ***Fait :** FS2131 ; ***TR :** 10 ; ***Type :** composite (combl. + creus.) ; ***ID :** fosse ; ***Loc :** Fen10-A ; ***Tech. :** non fouillé ; ***Z. sup. :** 83,30 ; ***Dim. en m (Ø ou L / l et/ou P) :** 1,7 ; 1,35 ; ***Forme :** ovalaire
***Combl. :** LA beige à brun gris, tessons modelés, pièces lithiques néolithiques et nodules rubéfiés erratiques à épars
***Sous :** 2129-1 ; ***Sur :** 2129-2

***Hz / Us :** 2132 ; ***Fait :** FT2132 ; ***TR :** 10 ; ***Type :** composite (combl. + creus.) ; ***ID :** creusement indéterminé ; ***Tech. :** non fouillé ; ***Z. sup. :** 83,30 ; ***Dim. en m (Ø ou L / l et/ou P) :** 0,65 ; ***Forme :** indéterminée, partiellement décapé
***Combl. :** LA beige à brun gris (poteau ?)
***Sous :** 2129-1 ; ***Sur :** 2129-2

***Hz / Us :** 2133 ; ***Fait :** FS2133 ; ***TR :** 10 ; ***Type :** composite (combl. + creus.) ; ***ID :** fosse ; ***Tech. :** non fouillé ; ***Z. sup. :** 83,35 ; ***Dim. en m (Ø ou L / l et/ou P) :** 1,5 ; ***Forme :** indéterminée, partiellement décapé
***Combl. :** LA brun beige, charbons erratiques
***Sous :** 2129-1 ; ***Sur :** 2129-2

***Hz / Us :** 2134 ; ***Fait :** FT2134 ; ***TR :** 10 ; ***Type :** composite (combl. + creus.) ; ***ID :** creusement indéterminé ; ***Tech. :** non fouillé ; ***Z. sup. :** 83,35 ; ***Dim. en m (Ø ou L / l et/ou P) :** 0,45 ; ***Forme :** circulaire
***Combl. :** LA brun beige (poteau ?)
***Sous :** 2129-1 ; ***Sur :** 2129-3

***Hz / Us :** 2135 ; ***Fait :** FO2135 ; ***ENS :** SFO2114 ; ***TR :** 10 ; ***Type :** composite (combl. + creus.) ; ***ID :** fossé ; ***Tech. :** non fouillé ; ***Z. sup. :** 84,10 ; ***Dim. en m (Ø ou L / l et/ou P) :** 7,5 ; 0,75 ; ***Forme :** linéaire
***Combl. :** LA beige foncé pulvérulent, pierres de grès erratiques (moderne à contemporain ?)

***Egal. :** 2114 2220

***Hz / Us :** 2136 ; ***Fait :** SD2136 ; ***TR :** 10 ; ***Type :** technique ; ***ID :** sondage ; ***Tech. :** mécanique ; ***Z. sup. :** 85,35 ; ***Dim. en m (Ø ou L / l et/ou P) :** 1,6
***Combl. :** -0-20 cm : Labours / terre végétale
-20-35 cm : LA brun gris, blocs de grès erratiques (Labours)
-35-60 cm : LA brun orangé, blocs de grès erratiques
-60-85 cm : AL beige jaunâtre, blocs de grès erratiques
-85-120 cm : Ag beige orangé, blocs de grès épars
-120-160 cm : AS rouge orangé, fines glosses argileuses blanchâtres
-160 cm : Fond du sondage
***Synch. :** 2491

***Hz / Us :** 2137 ; ***Fait :** FO2137 ; ***ENS :** SFO2137 ; ***TR :** 11 ; ***Type :** composite (combl. + creus.) ; ***ID :** fossé ; ***Tech. :** non fouillé ; ***Z. sup. :** 82,80 ; ***Dim. en m (Ø ou L / l et/ou P) :** 10,5 ; 1 ; ***Forme :** linéaire
***Combl. :** LA beige, lég. bariolé
***Egal. :** 2190 2191 2625

***Hz / Us :** 2138 ; ***Fait :** FT2138 ; ***TR :** 11 ; ***Type :** composite (combl. + creus.) ; ***ID :** creusement indéterminé ; ***Tech. :** non fouillé ; ***Z. sup. :** 82,75 ; ***Dim. en m (Ø ou L / l et/ou P) :** >4,7 ; 1,15 ; ***Forme :** oblong(ue)
***Combl. :** LA brun beige, petits frags de céramique modelée erratiques

***Hz / Us :** 2139 ; ***TR :** 11 ; ***Type :** ramassage mobilier ; ***Loc :** Sud TR11, aux alentours du FT2138 ; ***Tech. :** mécanique ; ***Z. sup. :** 82,15 ; ***Dim. en m (Ø ou L / l et/ou P) :** 0,4
***Combl. :** Pièces lithiques et tessons modelés dans LA brun beige (0-40 cm sous labours. colluvions ? Faits en creux non perçus ?)

***Hz / Us :** 2140 ; ***Fait :** SD2140 ; ***TR :** 11 ; ***Type :** technique ; ***ID :** sondage ; ***Tech. :** mécanique ; ***Z. sup. :** 83,45 ; ***Dim. en m (Ø ou L / l et/ou P) :** 1,5
***Combl. :** -0-35 cm : Terre végétalé et labours
-35-45 cm : LA brun beige
-45-70 cm : AL brun orangé, bariolé manganèse (Sol brun)
-70-95 cm : AL/Ag brun beige jaunâtre, points de manganèse épars
-95-110 cm : Ag beige jaunâtre, poches de cailloutis silico-calcaire épars à abondant
-110-150 cm : Sablon argileux blanchâtre, glosses/plages de rouille
-150 : Fond du sondage

***Hz / Us :** 2141 ; ***Fait :** FS2141 ; ***TR :** 11 ; ***Type :** composite (combl. + creus.) ; ***ID :** fosse ; ***Tech. :** non fouillé ; ***Z. sup. :** 82,85 ; ***Dim. en m (Ø ou L / l et/ou P) :** > 4 ; 1,2 ; ***Forme :** oblong(ue)
***Combl. :** Partiellement décapée. LA brun beige, frags. de terre chauffée rouges et noirs épars. Limites peu visibles

***Hz / Us :** 2142 ; ***Fait :** FO2142 ; ***ENS :** SFO2142 ; ***TR :** 11 ; ***Type :** composite (combl. + creus.) ; ***ID :** fossé ; ***Tech. :** non fouillé ; ***Z. sup. :** 83,00 ; ***Dim. en m (Ø ou L / l et/ou P) :** 18 ; 0,9 ; ***Forme :** linéaire
***Combl. :** LA beige, cailloutis erratique
***Sur :** 2146 ; 2664 ; ***Egal. :** 2193, 2203, 2634 ***Rel. indét. :** 2143

***Hz / Us :** 2143 ; ***Fait :** FS2143 ; ***TR :** 11 ; ***Type :** composite (combl. + creus.) ; ***ID :** fosse ; ***Tech. :** non fouillé ; ***Z. sup. :** 82,95 ; ***Dim. en m (Ø ou L / l et/ou P) :** 1 ; ***Forme :** circulaire
***Combl. :** LA beige, cailloutis erratique (similaire à 2142)
***Rel. indét. :** 2142

***Hz / Us :** 2144 ; ***Fait :** FS2144 ; ***TR :** 11 ; ***Type :** composite (combl. + creus.) ; ***ID :** fosse ; ***Loc :** Fen11-A ; ***Tech. :** manuelle ; *** % :** 50 ; ***Z. sup. :** 83,10 ; ***Dim. en m (Ø ou L / l et/ou P) :** 4,5 ; 3 ; 0,4 ; ***Forme :** ovalaire ; ***Profil :** évasé fond irrégulier
***Combl. :** Fosse de l'âge du Bronze final :
-2144-1 : LA beige, tessons modelés erratiques
-2144-2 : LA gris noirâtre à charbonneux (micro-charbons). Tessons modelés épars à abondants, petites pierres silico-calcaires (certaines chauffées) erratiques à éparses, nodules de LA beige épars
-2144-3 : AL beige jaunâtre, tessons modelés erratiques. ; ;
Encaissants :
-Ia : Limon argileux brun orangé
-Ib : Limon argileux jaunâtre
-II : Petites pierres silico-calcaires anguleuses dans argile brun jaunâtre
***Sous :** drain

***Hz / Us :** 2145 ; ***Fait :** FS2145 ; ***TR :** 11 ; ***Type :** composite (combl. + creus.) ; ***ID :** fosse ; ***Loc :** Fen11-A ; ***Tech. :** non fouillé ; ***Z. sup. :** 83,00 ; ***Dim. en m (Ø ou L / l et/ou P) :** 3,2 ; 2,5 ; ***Forme :** ovalaire
***Combl. :** LA brun à brun gris, frags rubefiés erratiques, pièces lithiques néolithiques éparses (hache polie miniature en "marbre" blanc)

***Hz / Us :** 2146 ; ***Fait :** FS2146 ; ***TR :** 11 ; ***Type :** composite (combl. + creus.) ; ***ID :** fosse ; ***Loc :** Fen11-A ; ***Tech. :** non fouillé ; ***Z. sup. :** 83,05 ; ***Dim. en m (Ø ou L / l et/ou P) :** 1 ; ***Forme :** circulaire
***Combl. :** Tronquée par FO2142 et drain. LA beige foncé, tessons modelés épars
***Sous :** 2142 ; drain

***Hz / Us :** 2147 ; ***Fait :** FS2147 ; ***TR :** 11 ; ***Type :** composite (combl. + creus.) ; ***ID :** fosse ; ***Tech. :** non fouillé ; ***Z. sup. :** 82,85 ; ***Dim. en m (Ø ou L / l et/ou P) :** 1 ; 0,8 ; ***Forme :** ovalaire
***Combl. :** LA brun beige à orangé, petits tessons modelés erratiques. Limites peu visibles

***Hz / Us :** 2148 ; ***Fait :** PO2148 ; ***TR :** 11 ; ***Type :** composite (combl. + creus.) ; ***ID :** trou de poteau ? ; ***Tech. :** non fouillé ; ***Z. sup. :** 82,80 ; ***Dim. en m (Ø ou L / l et/ou P) :** 0,5 ; ***Forme :** circulaire
***Combl. :** LA brun beige

***Hz / Us :** 2149 ; ***Fait :** FO2149 ; ***ENS :** SFO2124 ; ***TR :** 11 ; ***Type :** composite (combl. + creus.) ; ***ID :** fossé ; ***Tech. :** non fouillé ; ***Z. sup. :** 82,90 ; ***Dim. en m (Ø ou L / l et/ou P) :** 7,5 ; 0,85 ; ***Forme :** linéaire
***Combl. :** LA brun orangé, charbons erratiques, tessons gallo-romains erratiques
***Synch. :** 2163 ? ; ***Egal. :** 2124 2204

***Hz / Us :** 2150 ; ***Fait :** FO2150 ; ***ENS :** SFO2150 ; ***TR :** 11 ; ***Type :** composite (combl. + creus.) ; ***ID :** fossé ; ***Tech. :** non fouillé ; ***Z. sup. :** 82,90 ; ***Dim. en m (Ø ou L / l et/ou P) :** 5,5 ; 0,85 ; ***Forme :** linéaire
***Combl. :** LA brun gris, charbons erratiques
***Synch. :** 2164 ? ; ***Egal. :** 2206

***Hz / Us :** 2151 ; ***Fait :** EX2151 ; ***TR :** 11 ; ***Type :** composite (combl. + creus.) ; ***ID :** Cuvette / excavation ? ; ***Loc :** Fen11-E ; ***Tech. :** mécanique ; *** % :** 100 ; ***Z. sup. :** 83,10 ; ***Dim. en m (Ø ou L / l et/ou P) :** 7,5 ; 5 ; 0,15 ;
***Forme :** irrégulière
***Combl. :** Sous colluvions 2153-1. "Cuvette" de LA brun beige avec tessons modelés épars à erratique. Liée à la fosse 2615
***Sous :** 2153-1 ; ***Synch. :** 2615

***Hz / Us :** 2152 ; ***Fait :** FT2152 ; ***TR :** 11 ; ***Type :** composite (combl. + creus.) ; ***ID :** creusement indéterminé ; ***Tech. :** non fouillé ; ***Z. sup. :** 83,05 ; ***Dim. en m (Ø ou L / l et/ou P) : *Forme :** oblong(ue)
***Combl. :** Fossé ? LA brun beige, pierres silico-calcaires et de grès éparses
***Sous :** 2153-1

***Hz / Us :** 2153 ; ***Fait :** SD2153 ; ***TR :** 11 ; ***Type :** technique ; ***ID :** sondage ; ***Tech. :** mécanique ; ***Z. sup. :** 83,70 ; ***Dim. en m (Ø ou L / l et/ou P) :** 1,35
***Combl. :** -0-35 cm : Labours
-2153-1 : 35-60 cm : LA brun beige bariolé (colluvions = 2639)
-2153-2 : 60-75 cm : AL beige jaunâtre bariolé
-2153-3 : 75-130 cm : Ag brun orangé, blocs de grès erratiques
-2153-4 : + 130 cm : Sablon argileux orangé

***Hz / Us :** 2154 ; ***Fait :** FS2154 ; ***TR :** 11 ; ***Type :** composite (combl. + creus.) ; ***ID :** fosse ; ***Tech. :** non fouillé ; ***Z. sup. :** 83,05 ; ***Dim. en m (Ø ou L / l et/ou P) :** 1,9 ;
***Forme :** circulaire
***Combl. :** LA beige gris, petits tessons modelés erratiques
***Sous :** 2153-1

***Hz / Us :** 2155 ; ***Fait :** SD2155 ; ***TR :** 11 ; ***Type :** technique ; ***ID :** sondage ; ***Loc :** Trois sondages "paléo." à l'extrémité SO de la TR11 ; ***Tech. :** mécanique ; ***Dim. en m (Ø ou L / l et/ou P) :** 1,5
***Combl. :**
*SD2155-A (sup. 85,15 m NGF) :
-0-40 cm : Terre végétale et labours
-40-70 cm : LA brun orangé, blocs de grès erratiques
-70-90 cm : AL beige orangé, blocs de grès erratiques
-90-130 cm : Ag brun clair orangé, poches jaunâtres en partie inférieur, blocs de grès erratiques ; +130 cm : Sablon argileux jaune orangé, blocs de grès épars.
*SD2155-B (sup. 85,40 m NGF) : étude par Sophie Clément
-1 - Terre végétale (40 cm)
-2 - Limon brun argilo-sableux grumeleux peu compact, avec charbons centimétriques homogène (30 cm)
-3 - Limon brun argilo-sableux compact hétérogène avec boulettes beige, micro-charbon (mm), bioporosité entre le milieu et la base (35 cm)
-4 - Limon beige brun argilo-sableux hétérogène, très peu de charbon (mm), structure polyèdrique (35 cm)
-5 - Blocs de grès décimétriques à métriques
-6 - Limon sableux argileux tacheté (jaune/gris/beige), feuilleté et avec microporosité. Silex taillés (20 cm)
-7 - Limon sableux argileux tacheté rouge/beige, très peu de microporosité. Peu feuilleté (50 cm)
-8 - Limon sableux tacheté rouge/beige, beaucoup microporosité, pas feuilleté. Un terrier de 6 cm de diamètre (30 cm)
-9 - Sables stampiens (de Fontainebleau ?) (??)

***Hz / Us :** 2156 ; ***TR :** 12 ; ***Type :** ramassage mobilier ; ***Tech. :** mécanique ;
***Combl. :** Ramassage de tessons modelés et pièces lithiques au niveau de la fenêtre 12-A, à l'interface des Hz 2157-2 et 2157-3. Mobilier issu des fosses et trous de poteau 2620 à 2624 ?

***Hz / Us :** 2157 ; ***Fait :** SD2157 ; ***TR :** 12 ; ***Type :** technique ; ***ID :** sondage ; ***Tech. :** mécanique ; ***Z. sup. :** 83,65 ; ***Dim. en m (Ø ou L / l et/ou P) :** 1,2
***Combl. :** -0-30 cm : Labours
-2157-1 : 30-55 cm : LA brun beige à blanchi (colluvions)
-2157-2 : 55-70 cm : AL beige jaunâtre, points de manganèse épars
-2157-3 : 70-110 cm : Ag brun clair orangé, points de manganèse épars
-2157-4 : + 110 cm : Pierres silico-calcaires et AS jaune orangé

***Hz / Us :** 2158 ; ***TR :** 12 ; ***Type :** ramassage mobilier / Us composite ? ; ***ID :** Fosse ? ; ***Tech. :** non fouillé ; ***Z. sup. :** 82,95 ; ***Dim. en m (Ø ou L / l et/ou P) :** 3,8 ; ***Forme :** indéterminée, partiellement décapé
***Combl. :** Tessons modelés épars dans LA beige en surface de l'Us 2157-3 : Fosse ?
***Sous :** 2158-1

***Hz / Us :** 2159 ; ***Fait :** FS2159 ; ***TR :** 12 ; ***Type :** composite (combl. + creus.) ; ***ID :** fosse ; ***Loc :** Fen12-A ; ***Tech. :** non fouillé ; ***Z. sup. :** 82,95 ; ***Dim. en m (Ø ou L / l et/ou P) :** 2,6 ; ***Forme :** circulaire
***Combl. :** LA brun beige, charbons, nodules rubéfiés , tessons modelés, pièces lithiques erratiques à épars
***Sous :** 2157-1

***Hz / Us :** 2160 ; ***Fait :** FS2160 ; ***TR :** 12 ; ***Type :** composite (combl. + creus.) ; ***ID :** fosse ; ***Loc :** Fen12-A ; ***Tech. :** non fouillé ; ***Z. sup. :** 82,90 ; ***Dim. en m (Ø ou L / l et/ou P) :** 3,2 ? ; 2,2 ? ; ***Forme :** indéterminée, partiellement décapé
***Combl. :** LA brun beige, charbons et nodules rubéfiés erratiques
***Sous :** 2157-1

***Hz / Us :** 2161 ; ***Fait :** SD2161 ; ***TR :** 12 ; ***Type :** technique ; ***ID :** sondage ; ***Tech. :** mécanique ; ***Z. sup. :** 83,90 ; ***Dim. en m (Ø ou L / l et/ou P) :** 1,6
***Combl. :** -0-30 cm : Labours
-2161-1 : 30-55 cm : LA brun à beige (colluvions = 2157-1)
-2161-2 : 55-85 cm : LA/AL brun orangé bariolé
-2161-3 : 85-140 cm : AS brun clair orangé, points de manganèse épars
-2161-4 : + 140 cm : SA jaune orangé, pierres silico-calcaires erratiques
-160 cm : Fond du sondage

***Hz / Us :** 2162 ; ***Fait :** FT2162 ; ***TR :** 12 ; ***Type :** composite (combl. + creus.) ; ***ID :** creusement indéterminé ; ***Tech. :** non fouillé ; ***Z. sup. :** 82,85 ; ***Dim. en m (Ø ou L / l et/ou P) :** 2,6 ? ; 1,6 ? ; ***Forme :** indéterminée, partiellement décapé
***Combl. :** LA beige orangé, charbons erratiques
***Sous :** 2161-1

***Hz / Us :** 2163 ; ***Fait :** FO2163 ; ***ENS :** SFO2163 ; ***TR :** 12 ; ***Type :** composite (combl. + creus.) ; ***ID :** fossé ; ***Tech. :** non fouillé ; ***Z. sup. :** 83,10 ; ***Dim. en m (Ø ou L / l et/ou P) :** 6 ; 0,9 ; ***Forme :** linéaire
***Combl. :** LA gris clair, tessons tournés erratiques (gallo-romains ?)
***Synch. :** 2149 ? ; ***Egal. :** 2184

***Hz / Us :** 2164 ; ***Fait :** FO2164 ; ***ENS :** SFO2164 ; ***TR :** 12 ; ***Type :** composite (combl. + creus.) ; ***ID :** fossé ; ***Tech. :** non fouillé ; ***Z. sup. :** 83,50 ; ***Dim. en m (Ø ou L / l et/ou P) :** 6 ; 1,6 ; ***Forme :** linéaire
***Combl. :** LA beige à gris clair, rares charbons

***Synch. :** 2150 ? ; ***Egal. :** 2185

***Hz / Us :** 2165 ; ***Fait :** FS2165 ; ***TR :** 12 ; ***Type :** composite (combl. + creus.) ; ***ID :** fosse ; ***Tech. :** non fouillé ; ***Z. sup. :** 84,70 ; ***Dim. en m (Ø ou L / l et/ou P) :** 5 ;
***Forme :** indéterminée, partiellement décapé
***Combl. :** LA beige, amas de pierres anguleuses de grès (Ø < 0,3 m) sur bord NE ("débitage" de bloc de grès ?)

***Hz / Us :** 2166 ; ***Fait :** FS2166 ; ***TR :** 12 ; ***Type :** composite (combl. + creus.) ; ***ID :** fosse ; ***Tech. :** non fouillé ; ***Z. sup. :** 85,00 ; ***Dim. en m (Ø ou L / l et/ou P) :** > 5,7 ;
***Forme :** indéterminée, partiellement décapé
***Combl. :** LA beige, pierres anguleuses de grès éparses (Ø < 0,3 m ; "débitage" de bloc de grès ?)

***Hz / Us :** 2167 ; ***Fait :** PO2167 ; ***TR :** 13 ; ***Type :** composite (combl. + creus.) ; ***ID :** trou de poteau ; ***Tech. :** non fouillé ; ***Z. sup. :** 82,65 ; ***Dim. en m (Ø ou L / l et/ou P) :** 0,7 ; ***Forme :** circulaire
***Combl. :** LA brun gris, frags. rubéfiés épars, charbons erratiques

***Hz / Us :** 2168 ; ***Fait :** PO2168 ; ***TR :** 13 ; ***Type :** composite (combl. + creus.) ; ***ID :** trou de poteau ; ***Tech. :** non fouillé ; ***Z. sup. :** 82,40 ; ***Dim. en m (Ø ou L / l et/ou P) :** 0,5 ; ***Forme :** circulaire
***Combl. :** LA brun gris, charbons épars

***Hz / Us :** 2169 ; ***Fait :** FO2169 ; ***TR :** 13 ; ***Type :** composite (combl. + creus.) ; ***ID :** fossé ; ***Tech. :** non fouillé ; ***Z. sup. :** 82,30 ; ***Dim. en m (Ø ou L / l et/ou P) :** 3,5 ; 2 ;
***Forme :** linéaire
***Combl. :** LA beige orangé, frags de céramique et tuile mod./contemp. erratiques

***Hz / Us :** 2170 ; ***Fait :** FO2170 ; ***TR :** 13 ; ***Type :** composite (combl. + creus.) ; ***ID :** fossé ; ***Tech. :** non fouillé ; ***Z. sup. :** 82,20 ; ***Dim. en m (Ø ou L / l et/ou P) :** 3,5 ; 2,5 ;
***Forme :** linéaire
***Combl. :** LA brun clair, charbons erratiques
***Synch. :** 2521 ?

***Hz / Us :** 2171 ; ***Fait :** FS2171 ; ***TR :** 13 ; ***Type :** composite (combl. + creus.) ; ***ID :** fosse ; ***Tech. :** non fouillé ; ***Z. sup. :** 82,25 ; ***Dim. en m (Ø ou L / l et/ou P) :** 0,7 ;
***Forme :** circulaire
***Combl. :** LA beige gris, plage charbonneuse

***Hz / Us :** 2172 ; ***Fait :** FO2172 ; ***TR :** 13 ; ***Type :** composite (combl. + creus.) ; ***ID :** fossé ; ***Tech. :** non fouillé ; ***Z. sup. :** 82,80 ; ***Dim. en m (Ø ou L / l et/ou P) :** 3,2 ; 0,6 ; < 0,05 ; ***Forme :** linéaire
***Combl. :** Petit fossé bordier dans le prolongement du chemin de Tournenfils ?
***Synch. :** 2173 ? ; LA gris et pierres erratiques

***Hz / Us :** 2173 ; ***Fait :** FO2173 ; ***TR :** 13 ; ***Type :** composite (combl. + creus.) ; ***ID :** fossé ; ***Tech. :** non fouillé ; ***Z. sup. :** 82,85 ; ***Dim. en m (Ø ou L / l et/ou P) :** 3,2 ; 0,7 ; < 0,05 ; ***Forme :** linéaire
***Combl. :** Petit fossé bordier dans le prolongement du chemin de Tournenfils ?
***Synch. :** 2172 ? ; LA gris et pierres erratiques

***Hz / Us :** 2174 ; ***Fait :** FS2174 ; ***TR :** 13 ; ***Type :** composite (combl. + creus.) ; ***ID :** fosse ; ***Tech. :** non fouillé ; ***Z. sup. :** 82,90 ; ***Dim. en m (Ø ou L / l et/ou P) :** 0,8 ;
***Forme :** circulaire
***Combl. :** LA brun gris bariolé, charbons épars

***Hz / Us :** 2175 ; ***Fait :** FS2175 ; ***TR :** 13 ; ***Type :** composite (combl. + creus.) ; ***ID :** fosse ; ***Tech. :** non fouillé ; ***Z. sup. :** 82,90 ; ***Dim. en m (Ø ou L / l et/ou P) :** 1,3 ; 1 ;
***Forme :** ovalaire
***Combl. :** LA brun bariolé manganèse, nodules rubéfiés et charbons erratiques

***Hz / Us :** 2176 ; ***Fait :** FT2176 ; ***TR :** 13 ; ***Type :** composite (combl. + creus.) ; ***ID :** creusement indéterminé ; ***Tech. :** non fouillé ; ***Z. sup. :** 82,85 ; ***Dim. en m (Ø ou L / l et/ou P) :** 0,4 ; ***Forme :** circulaire
***Combl. :** LA brun beige, 1 pièce lithique

***Hz / Us :** 2177 ; ***Fait :** SD2177 ; ***TR :** 13 ; ***Type :** technique ; ***ID :** sondage ; ***Tech. :** mécanique ; ***Z. sup. :** 83,35 ; ***Dim. en m (Ø ou L / l et/ou P) :** 0,8
***Combl. :** -Affleurements de calcaire siliceux dégradé à 0,8 m de profondeur sous le niveau de sol actuel

***Hz / Us :** 2178 ; ***Fait :** FS2178 ; ***TR :** 13 ; ***Type :** composite (combl. + creus.) ; ***ID :** fosse ; ***Tech. :** non fouillé ; ***Z. sup. :** 82,85 ; ***Dim. en m (Ø ou L / l et/ou P) :** 0,65 ;
***Forme :** circulaire
***Combl. :** LA gris beige, lég. bariolé, charbons épars

***Hz / Us :** 2179 ; ***Fait :** FT2179 ; ***TR :** 13 ; ***Type :** composite (combl. + creus.) ; ***ID :** creusement indéterminé ; ***Tech. :** manuelle ; *** % :** 100 ; ***Z. sup. :** 82,80 ; ***Dim. en m (Ø ou L / l et/ou P) :** 0,25 ; 0,05 ; ***Forme :** circulaire ; ***Profil :** cuvette
***Combl. :** Plages de petits fragments d'os brûlés dans LA brun beige bariolé

***Hz / Us :** 2180 ; ***TR :** 13 ; ***Type :** ramassage de mobilier et colluvions ; ***Loc :** Partie sud de la TR13 ; ***Tech. :** mécanique ; ***Dim. en m (Ø ou L / l et/ou P) :** 0,4
***Combl. :** Limons argileux beige (colluvions), pièces lithiques erratiques : environ -30-70 cm sous sol actuel

***Hz / Us :** 2181 ; ***Fait :** SD2181 ; ***TR :** 13 ; ***Type :** technique ; ***ID :** sondage ; ***Tech. :** mécanique ; ***Z. sup. :** 85,35 ; ***Dim. en m (Ø ou L / l et/ou P) :** 1,4
***Combl. :** -0-20 cm : Terre végétale / Labours
-20-50 cm : LA brun beige, blocs de grès épars
-50-70 cm : AL brune avec cailloutis . petites pierres silico-calcaires épars à abondants?
-70-140 cm : AS et SA jaune orangé
-140 cm : fond du sondage

***Hz / Us :** 2182 ; ***Fait :** FS2182 ; ***TR :** 13 ; ***Type :** composite (combl. + creus.) ; ***ID :** fosse ; ***Tech. :** non fouillé ; ***Z. sup. :** 85,20 ; ***Dim. en m (Ø ou L / l et/ou P) :** 1,8 ; 0,6 ;
***Forme :** ovalaire
***Combl. :** LA gris beige bariolé, poche avec charbons et frags rubéfiés épars

***Hz / Us :** 2183 ; ***TR :** 14 ; ***Type :** ramassage mobilier ; ***Loc :** moitié nord de la TR14 ; ***Tech. :** mécanique ;
***Combl. :** Ramassage de tessons modelés et pièces lithiques entre -40 cm et -90 à 100 cm de prof. sous le niveau de sol actuel (Hz 2673-1 et 2673-2). Voir CP2673

***Hz / Us :** 2184 ; ***Fait :** FO2184 ; ***ENS :** SFO2163 ; ***TR :** 14 ; ***Type :** composite (combl. + creus.) ; ***ID :** fossé ; ***Tech. :** non fouillé ; ***Z. sup. :** 84,50 ; ***Dim. en m (Ø ou L / l et/ou P) :** 10 ; 0,85 ; ***Forme :** linéaire
***Combl. :** LA beige foncé, lég. bariolé

***Egal. :** 2163

***Hz / Us :** 2185 ; ***Fait :** FO2185 ; ***ENS :** SFO2164 ; ***TR :** 14 ; ***Type :** composite (combl. + creus.) ; ***ID :** fossé ; ***Tech. :** non fouillé ; ***Z. sup. :** 85 ; ***Dim. en m (Ø ou L / l et/ou P) :** 8,8 ; 1,7 ; ***Forme :** linéaire
***Combl. :** LA beige à gris clair, rares charbons
***Egal. :** 2164

***Hz / Us :** 2186 ; ***Fait :** FS2186 ; ***TR :** 15 ; ***Type :** composite (combl. + creus.) ; ***ID :** fosse ; ***Tech. :** non fouillé ; ***Z. sup. :** 82,95 ; ***Dim. en m (Ø ou L / l et/ou P) :** 1 ; ***Forme :** circulaire
***Combl. :** LA brun beige, cailloutis calcaire, charbons et petits tessons modelés erratiques

***Hz / Us :** 2187 ; ***Fait :** FS2187 ; ***TR :** 15 ; ***Type :** composite (combl. + creus.) ; ***ID :** fosse ; ***Tech. :** non fouillé ; ***Z. sup. :** 82,90 ; ***Dim. en m (Ø ou L / l et/ou P) :** 2,5 ; 1,8 ; ***Forme :** ovalaire
***Combl. :** LA brun beige à beige gris, lég. bariolé, frags de terre chauffée rouges et noirs épars. Limites peu visibles

***Hz / Us :** 2188 ; ***TR :** 15 ; ***Type :** ramassage mobilier ; ***Tech. :** mécanique ;
***Combl. :** Ramassage de tessons modelés et pièces lithiques dans les colluvions sous labours et limons argileux à environ -40 cm à -80 cm de profondeur depuis le niveau de sol actuel
***Egal. :** 2639 2656

***Hz / Us :** 2189 ; ***Fait :** PO2189 ; ***TR :** 15 ; ***Type :** composite (combl. + creus.) ; ***ID :** trou de poteau ? ; ***Tech. :** non fouillé ; ***Z. sup. :** 82,90 ; ***Dim. en m (Ø ou L / l et/ou P) :** 0,7 ; ***Forme :** circulaire
***Combl. :** LA gris beige, petits charbons erratiques
***Sur :** 2187

***Hz / Us :** 2190 ; ***Fait :** FO2190 ; ***ENS :** SFO2137 ; ***TR :** 15 ; ***Type :** composite (combl. + creus.) ; ***ID :** fossé ; ***Tech. :** non fouillé ; ***Z. sup. :** 83,00 ; ***Dim. en m (Ø ou L / l et/ou P) :** 12 ; 0,6 ; ***Forme :** linéaire
***Combl. :** LA beige
***Synch. :** 2191 ? ; ***Egal. :** 2137 2625

***Hz / Us :** 2191 ; ***Fait :** FO2191 ; ***ENS :** SFO2137 ; ***TR :** 15 ; ***Type :** composite (combl. + creus.) ; ***ID :** fossé ; ***Tech. :** non fouillé ; ***Z. sup. :** 83,00 ; ***Dim. en m (Ø ou L / l et/ou P) :** 15 ; 0,7 ; ***Forme :** linéaire
***Combl. :** LA beige
***Synch. :** 2190 ? ; ***Egal. :** 2137 2625

***Hz / Us :** 2192 ; ***Fait :** FS2192 ; ***TR :** 15 ; ***Type :** composite (combl. + creus.) ; ***ID :** fosse ; ***Tech. :** non fouillé ; ***Z. sup. :** 82,90 ; ***Dim. en m (Ø ou L / l et/ou P) :** 1,2 ; ***Forme :** circulaire
***Combl. :** LA brun beige blanchi
***Sous :** colluv

***Hz / Us :** 2193 ; ***Fait :** FO2193 ; ***ENS :** SFO2142 ; ***TR :** 15 ; ***Type :** composite (combl. + creus.) ; ***ID :** fossé ; ***Tech. :** non fouillé ; ***Z. sup. :** 83,05 ; ***Dim. en m (Ø ou L / l et/ou P) :** 7,5 ; 0,85 ; ***Forme :** linéaire
***Combl. :** LA brun gris
***Egal. :** 2142 2203 2634

***Hz / Us :** 2194 ; ***Fait :** FS2194 ; ***TR :** 15 ; ***Type :** composite (combl. + creus.) ; ***ID :** fosse ; ***Tech. :** non fouillé ; ***Z. sup. :** 83,0 ; ***Dim. en m (Ø ou L / l et/ou P) :** 2,2 ; 1,4 ; ***Forme :** ovalaire
***Combl. :** LA brun gris, petits charbons épars, nodules de céramique modelée erratiques
***Sous :** colluv

***Hz / Us :** 2195 ; ***Fait :** FS2195 ; ***TR :** 15 ; ***Type :** composite (combl. + creus.) ; ***ID :** fosse ; ***Tech. :** non fouillé ; ***Z. sup. :** 83,0 ; ***Dim. en m (Ø ou L / l et/ou P) :** 1,4 ; ***Forme :** circulaire
***Combl. :** LA brun gris, petits charbons épars, nodules de céramique modelée erratiques
***Sous :** colluv

***Hz / Us :** 2196 ; ***Fait :** FS2196 ; ***TR :** 15 ; ***Type :** composite (combl. + creus.) ; ***ID :** fosse ; ***Tech. :** non fouillé ; ***Z. sup. :** 82,95 ; ***Dim. en m (Ø ou L / l et/ou P) :** 1,6 ; 1,4 ; ***Forme :** ovalaire
***Combl. :** LA brun à brun gris, petits charbons épars, nodules de céramique modelée erratiques
***Sous :** colluv

***Hz / Us :** 2197 ; ***Fait :** FS2197 ; ***TR :** 15 ; ***Type :** composite (combl. + creus.) ; ***ID :** fosse ; ***Tech. :** non fouillé ; ***Z. sup. :** 83,00 ; ***Dim. en m (Ø ou L / l et/ou P) :** 1,3 ; 0,5 ; ***Forme :** ovalaire
***Combl. :** LA brun beige, petits charbons épars, nodules de céramique modelée erratiques
***Sous :** colluv

***Hz / Us :** 2198 ; ***Fait :** FS2198 ; ***TR :** 16 ; ***Type :** composite (combl. + creus.) ; ***ID :** fosse ; ***Loc :** Fen16-F ; ***Tech. :** non fouillé ; ***Z. sup. :** 82,90 ; ***Dim. en m (Ø ou L / l et/ou P) :** 5,5 ; 1,4 ; ***Forme :** oblong(ue)
***Combl. :** LA brun à brun orangé, frags de terre chauffée rouges à noirs épars. Limites peu visibles
***Synch. :** 2627

***Hz / Us :** 2199 ; ***Fait :** PO2199 ; ***ENS :** BAT2199 ; ***TR :** 16 ; ***Type :** composite (combl. + creus.) ; ***ID :** trou de poteau ; ***Loc :** Fen16-F ; ***Tech. :** non fouillé ; ***Z. sup. :** 82,85 ; ***Dim. en m (Ø ou L / l et/ou P) :** 0,35 ; ***Forme :** circulaire
***Combl. :** LA brun, petits frags de terre chauffée rouges à noirs épars
***Synch. :** 2200 ; 2601 ; 2602

***Hz / Us :** 2200 ; ***Fait :** PO2200 ; ***ENS :** BAT2199 ; ***TR :** 16 ; ***Type :** composite (combl. + creus.) ; ***ID :** trou de poteau ; ***Loc :** Fen16-F ; ***Tech. :** manuelle ; *** % :** 50 ; ***Z. sup. :** 82,80 ; ***Dim. en m (Ø ou L / l et/ou P) :** 0,35 ; 0,2 ; ***Forme :** circulaire ; ***Profil :** vertical fond arrondi
***Combl. :** LA brun à brun gris, petits frags de terre chauffée rouges à noirs erratiques
***Synch. :** 2199 ; 2601 ; 2602

***Hz / Us :** 2201 ; ***Fait :** FS2201 ; ***TR :** 16 ; ***Type :** composite (combl. + creus.) ; ***ID :** fosse ; ***Loc :** Fen16-A ; ***Tech. :** tests manuels ; *** % :** 10 ; ***Z. sup. :** 82,90 ; ***Dim. en m (Ø ou L / l et/ou P) :** 10,5 ; 2,6 ; 0,35 ? ; ***Forme :** oblong(ue) ; ***Profil :** cuvette
***Combl. :** Grande fosse néolithique de 18 m2
*Sdge A : (1 m2) fond partiellement atteint ; profil en cuvette (P. : 0,35 m)
-2201-A1 : LA beige, frags de terre chauffée rouges à noirs épars à abondants, tessons modelés et pièces lithiques épars à erratiques
-2201-A2 : LA gris sombre bariolé, frags rubéfiés, tessons modelés et pièces lithiques épars à erratiques.
*Sdge B : (0,6 m2) fouille partielle
-2201-B1 : (fouillée, ép. : 0,15 m) LA beige à gris bariolé, frags rubéfiés, tessons modelés et pièces lithiques épars à erratiques

-2201-B2 : (non fouillée) LA beige à gris bariolé, frags rubéfiés abondants. ; *Sdge C : (0,75 m2) fond en cuvette (P. : 0,3 m)
-2201-C : LA beige, frags de terre chauffée rouges à noirs et cailloutis erratiques, tessons modelés et pièces lithiques épars à erratiques

***Hz / Us :** 2202 ; ***Fait :** FT2202 ; ***TR :** 16 ; ***Type :** composite (combl. + creus.) ; ***ID :** creusement indéterminé ; ***Loc :** Fen16-A ; ***Tech. :** non fouillé ; ***Z. sup. :** 82,9 ; ***Dim. en m (Ø ou L / l et/ou P) :** 1 ; 0,75 ; ***Forme :** ovalaire
***Combl. :** Fosse ? Limites peu visibles. LA brun beige, petits frags de terre chauffée épars à erratiques
***Rel. indét. :** 2201

***Hz / Us :** 2203 ; ***Fait :** FO2203 ; ***ENS :** SFO2142 ; ***TR :** 16 ; ***Type :** composite (combl. + creus.) ; ***ID :** fossé ; ***Tech. :** non fouillé ; ***Z. sup. :** 83 ; ***Dim. en m (Ø ou L / l et/ou P) :** 9,5 ; 1,2 ; ***Forme :** linéaire
***Combl. :** LA brun beige, lég. bariolé ; ***Egal. :** 2142 2193 2634

***Hz / Us :** 2204 ; ***Fait :** FO2204 ; ***ENS :** SFO2124 ; ***TR :** 16 ; ***Type :** composite (combl. + creus.) ; ***ID :** fossé ; ***Loc :** Fen16-I ; ***Tech. :** non fouillé ; ***Z. sup. :** 83 ; ***Dim. en m (Ø ou L / l et/ou P) :** 25 ; 1,3 ; ***Forme :** linéaire
***Combl. :** LA beige ; ***Egal. :** 2124 2149

***Hz / Us :** 2205 ; ***Fait :** PO2205 ; ***TR :** 16 ; ***Type :** composite (combl. + creus.) ; ***ID :** trou de poteau ? ; ***Tech. :** non fouillé ; ***Z. sup. :** 83,15 ; ***Dim. en m (Ø ou L / l et/ou P) :** 0,35 ; ***Forme :** circulaire
***Combl. :** LA brun gris, petits frags rubéfiés épars

***Hz / Us :** 2206 ; ***Fait :** FO2206 ; ***ENS :** SFO2150 ; ***TR :** 16 ; ***Type :** composite (combl. + creus.) ; ***ID :** fossé ; ***Tech. :** non fouillé ; ***Z. sup. :** 83,15 ; ***Dim. en m (Ø ou L / l et/ou P) :** 35 ; 1,25 ; ***Forme :** linéaire
***Combl. :** LA brun beige ; ***Sur :** 2207 ; ***Egal. :** 2150

***Hz / Us :** 2207 ; ***Fait :** FS2207 ; ***TR :** 16 ; ***Type :** composite (combl. + creus.) ; ***ID :** fossé ; ***Tech. :** non fouillé ; ***Z. sup. :** 83,05 ; ***Dim. en m (Ø ou L / l et/ou P) :** > 2,8 ; 2,7 ? ; ***Forme :** indéterminée, partiellement décapé
***Combl. :** LA brun beige bariolé, frags de terre chauffée rouges et noirs épars, limites peu visibles ; ***Sous :** 2206 ; ***Synch. :** 2611 ? ; 2617 ?

***Hz / Us :** 2208 ; ***Fait :** PO2208 ; ***ENS :** BAT2208 ; ***TR :** 16 ; ***Type :** composite (combl. + creus.) ; ***ID :** trou de poteau ; ***Loc :** Ensemble de trous de poteau de la fenêtre 16-E ; ***Tech. :** manuelle ; *** % :** 50 ; ***Z. sup. :** 83,05 ; ***Dim. en m (Ø ou L / l et/ou P) :** 0,6 ; 0,3 ; ***Forme :** circulaire ; ***Profil :** évasé fond plat
***Combl. :** -2208-a : LA gris beige, petits frags rubéfiés et charbons épars à erratiques
-2208-b : LA beige à gris

***Hz / Us :** 2209 ; ***Fait :** PO2209 ; ***ENS :** BAT2208 ; ***TR :** 16 ; ***Type :** composite (combl. + creus.) ; ***ID :** trou de poteau ; ***Loc :** Ensemble de trous de poteau de la fenêtre 16-E ; ***Tech. :** non fouillé ; ***Z. sup. :** 83,10 ; ***Dim. en m (Ø ou L / l et/ou P) :** 0,4 ; ***Forme :** circulaire
***Combl. :** LA brun beige, petits frags rubéfiés et charbons erratiques

***Hz / Us :** 2210 ; ***Fait :** PO2210 ; ***ENS :** BAT2208 ; ***TR :** 16 ; ***Type :** composite (combl. + creus.) ; ***ID :** trou de poteau ; ***Loc :** Ensemble de trous de poteau de la fenêtre 16-E ; ***Tech. :** non fouillé ; ***Z. sup. :** 83,00 ; ***Dim. en m (Ø ou L / l et/ou P) :** 0,25 ; ***Forme :** circulaire
***Combl. :** LA brun sombre, petits frags de terre chauffée et charbons épars ; ***Sous :** 2206

***Hz / Us :** 2211 ; ***Fait :** PO2211 ; ***ENS :** BAT2208 ; ***TR :** 16 ; ***Type :** composite (combl. + creus.) ; ***ID :** trou de poteau ; ***Loc :** Ensemble de trous de poteau de la fenêtre 16-E ; ***Tech. :** non fouillé ; ***Z. sup. :** 83,10 ; ***Dim. en m (Ø ou L / l et/ou P) :** 0,5 ; ***Forme :** circulaire
***Combl. :** LA brun beige, petits frags rubéfiés et charbons erratiques

***Hz / Us :** 2212 ; ***Fait :** PO2212 ; ***ENS :** BAT2208 ; ***TR :** 16 ; ***Type :** composite (combl. + creus.) ; ***ID :** trou de poteau ; ***Loc :** Ensemble de trous de poteau de la fenêtre 16-E ; ***Tech. :** non fouillé ; ***Z. sup. :** 83,10 ; ***Dim. en m (Ø ou L / l et/ou P) :** 0,4 ; ***Forme :** circulaire
***Combl. :** LA brun beige, petits frags rubéfiés et charbons erratiques

***Hz / Us :** 2213 ; ***Fait :** PO2213 ; ***ENS :** BAT2208 ; ***TR :** 16 ; ***Type :** composite (combl. + creus.) ; ***ID :** trou de poteau ; ***Loc :** Ensemble de trous de poteau de la fenêtre 16-E ; ***Tech. :** manuelle ; *** % :** 50 ; ***Z. sup. :** 83,05 ; ***Dim. en m (Ø ou L / l et/ou P) :** 0,65 ; 0,4 ; ***Forme :** circulaire ; ***Profil :** cylindrique
***Combl. :** LA gris brun à beige, petits charbons épars

***Hz / Us :** 2214 ; ***Fait :** MA2214 ; ***TR :** 16 ; ***Type :** composite (combl. + creus.) ; ***ID :** mare ; ***Tech. :** test méca ; *** % :** ? ; ***Z. sup. :** 83,20 ; ***Dim. en m (Ø ou L / l et/ou P) :** > 16 ; > 1,2 ; ***Forme :** indéterminée, partiellement décapé
***Combl. :** LA beiges à blanchis très bariolés de manganèse, 1 tesson tourné (SD2215)

***Hz / Us :** 2215 ; ***Fait :** SD2215 ; ***TR :** 16 ; ***Type :** technique ; ***ID :** sondage ; ***Tech. :** mécanique ; ***Z. sup. :** 83,60 ; ***Dim. en m (Ø ou L / l et/ou P) :** 1,5 ; ***Forme :** indéterminée, partiellement décapé
***Combl. :** Test mécanique partiel sur la mare 2214, fond non atteint

***Hz / Us :** 2216 ; ***Fait :** FT2216 ; ***TR :** 16 ; ***Type :** composite (combl. + creus.) ; ***ID :** creusement indéterminé ; ***Tech. :** non fouillé ; ***Z. sup. :** 83,45 ; ***Dim. en m (Ø ou L / l et/ou P) :** > 4 ; 1,4 ; ***Forme :** oblong(ue)
***Combl. :** LA beige, pierres meulières éparses à abondantes

***Hz / Us :** 2217 ; ***TR :** 16 ; ***Type :** ramassage mobilier ; ***ID :** colluvions ; ***Loc :** Partie nord de la TR16 ; ***Tech. :** mécanique ; ***Dim. en m (Ø ou L / l et/ou P) :** 33 ; 0,4
***Combl. :** Pièces lithiques erratiques dans colluvions limono-argileuses beiges (env. 0-40 cm sous labours)

***Hz / Us :** 2218 ; ***Fait :** FD2218 ; ***ENS :** MUR2113 ; ***TR :** 17 ; ***Type :** composite (combl. + creus.) ; ***ID :** fondation de mur ; ***Tech. :** non fouillé ; ***Z. sup. :** 83,30 ; ***Dim. en m (Ø ou L / l et/ou P) :** 3,75 ; 0,75 ; ***Forme :** linéaire
***Combl. :** Vrac de petites pierres silico-calcaires (Ø < 0,15 cm), LA brun interstitiel ; ***Egal. :** 2113 2126

***Hz / Us :** 2219 ; ***Fait :** FO2127 ; ***TR :** 10 et 17 ; ***Type :** DOUBLON ; ***ID :** fossé ; ***Tech. :** non fouillé ; ***Z. sup. :** 83,25 ; ***Dim. en m (Ø ou L / l et/ou P) :** 30,5 ; 0,9 ; ***Forme :** linéaire
***Combl. :** a : Bande centrale de vrac de petites pierres silico-calcaires et de grès (Ø < 0,3 m) ; b : Sur bords, LA beige ; ***Synch. :** 2115 ? ; ***Egal. :** 2127

***Hz / Us :** 2220 ; ***Fait :** FO2220 ; ***ENS :** SFO2114 ; ***TR :** 17 ; ***Type :** composite (combl. + creus.) ; ***ID :** fossé ; ***Tech. :**

non fouillé ; ***Z. sup. :** 83,35 ; ***Dim. en m (Ø ou L / l et/ou P) :** 8,75 ; 1,25 ; ***Forme :** linéaire
***Combl. :** LA beige foncé à grisâtre, lég. bariolé ; ***Egal. :** 2114 2135

***Hz / Us :** 2221 ; ***Fait :** FO2221 ; ***ENS :** SFO2095 ; ***TR :** 18 ; ***Type :** composite (combl. + creus.) ; ***ID :** fossé ; ***Tech. :** non fouillé ; ***Z. sup. :** 83,35 ; ***Dim. en m (Ø ou L / l et/ou P) :** 3,5 ; 1,15 ; ***Forme :** linéaire
***Combl. :** LA beige, lég. bariolé, pierres silico-calcaires et de grès (Ø < 0,3 m) éparses en surface ; ***Egal. :** 2095 2117

***Hz / Us :** 2222 ; ***Fait :** FO2222 ; ***ENS :** SFO2122 ; ***TR :** 18 ; ***Type :** composite (combl. + creus.) ; ***ID :** fossé ; ***Tech. :** non fouillé ; ***Z. sup. :** 83,35 ; ***Dim. en m (Ø ou L / l et/ou P) :** 8,5 ; 1,3 ; ***Forme :** linéaire
***Combl. :** LA beige, lég. bariolé, pierres silico-calcaires erratiques ; ***Egal. :** 2122

***Hz / Us :** 2223 ; ***Fait :** FO2223 ; ***ENS :** SFO2093 ; ***TR :** 18 ; ***Type :** composite (combl. + creus.) ; ***ID :** fossé ; ***Tech. :** non fouillé ; ***Z. sup. :** 83,50 ; ***Dim. en m (Ø ou L / l et/ou P) :** 8 ; 0,65 ; ***Forme :** linéaire
***Combl. :** LA beige, lég. bariolé ; ***Egal. :** 2093

***Hz / Us :** 2224 ; ***Fait :** EX2224 ; ***TR :** 19 ; ***Type :** composite (combl. + creus.) ; ***ID :** excavation ; ***Tech. :** non fouillé ; ***Z. sup. :** 83,05 ; ***Dim. en m (Ø ou L / l et/ou P) :** > 6,5 ; ***Forme :** indéterminée, partiellement décapé
***Combl. :** LA brun gris, frags de tuiles plates méd./mod./contemp. erratiques

***Hz / Us :** 2225 ; ***Fait :** FO2225 ; ***ENS :** SFO2104 ; ***TR :** 19 ; ***Type :** composite (combl. + creus.) ; ***ID :** fossé ; ***Tech. :** non fouillé ; ***Z. sup. :** 83,00 ; ***Dim. en m (Ø ou L / l et/ou P) :** 9 ; 1,2 ; ***Forme :** linéaire
***Combl. :** LA gris, petites pierres silico-calcaires et de grès abondantes, frags. de tuiles plates mod./contemp. erratiques ; ***Egal. :** 2104

***Hz / Us :** 2226 ; ***Fait :** FO2226 ; ***TR :** 19 ; ***Type :** composite (combl. + creus.) ; ***ID :** fossé ; ***Tech. :** non fouillé ; ***Z. sup. :** 83,15 ; ***Dim. en m (Ø ou L / l et/ou P) :** 4,5 ; 0,85 ; ***Forme :** linéaire
***Combl. :** LA brun gris, petites pierres silico-calcaires abondantes

***Hz / Us :** 2227 ; ***Fait :** FO2227 ; ***ENS :** SFO2109 ; ***TR :** 19 ; ***Type :** composite (combl. + creus.) ; ***ID :** fossé ; ***Tech. :** non fouillé ; ***Z. sup. :** 83,15 ; ***Dim. en m (Ø ou L / l et/ou P) :** 9 ; 1,1 ; ***Forme :** linéaire
***Combl. :** LA gris brun bariolé, petites pierres silico-calcaires erratiques ; ***Egal. :** 2109

***Hz / Us :** 2228 ; ***Fait :** FS2228 ; ***TR :** 19 ; ***Type :** composite (combl. + creus.) ; ***ID :** fosse de plantation ; ***Tech. :** non fouillé ; ***Z. sup. :** 83,15 ; ***Dim. en m (Ø ou L / l et/ou P) :** 1,1 ; 1 ; ***Forme :** quadrangulaire
***Combl. :** LA beige blanchi

***Hz / Us :** 2229 ; ***Fait :** FS2229 ; ***TR :** 19 ; ***Type :** composite (combl. + creus.) ; ***ID :** fosse de plantation ; ***Tech. :** non fouillé ; ***Z. sup. :** 83,35 ; ***Dim. en m (Ø ou L / l et/ou P) :** 1,25 ; 1,25 ; ***Forme :** quadrangulaire
***Combl. :** Mottes de LA brun et brun orangé à gris

***Hz / Us :** 2230 ; ***Fait :** FS2230 ; ***TR :** 19 ; ***Type :** composite (combl. + creus.) ; ***ID :** fosse de plantation ; ***Tech. :** non fouillé ; ***Z. sup. :** 83,40 ; ***Dim. en m (Ø ou L / l et/ou P) :** 1,2 ; 1,2 ; ***Forme :** quadrangulaire
***Combl. :** Mottes de LA brun et brun orangé à gris

***Hz / Us :** 2231 ; ***Fait :** FS2231 ; ***TR :** 19 ; ***Type :** composite (combl. + creus.) ; ***ID :** fosse ; ***Tech. :** non fouillé ; ***Z. sup. :** 83,40 ; ***Dim. en m (Ø ou L / l et/ou P) :** 0,9 ; 0,5 ; ***Forme :** ovalaire
***Combl. :** LA beige, tessons XIe-XIIe s. ap. J.-C. épars

***Hz / Us :** 2232 ; ***Fait :** FT2232 ; ***TR :** 19 ; ***Type :** composite (combl. + creus.) ; ***ID :** creusement indéterminé ; ***Tech. :** non fouillé ; ***Z. sup. :** 83,45 ; ***Dim. en m (Ø ou L / l et/ou P) :** 1 ; ***Forme :** circulaire
***Combl. :** LA beige blanchi, lég. bariolé (bloc de grès arraché ?)

***Hz / Us :** 2233 ; ***Fait :** FS2233 ; ***TR :** 20 ; ***Type :** composite (combl. + creus.) ; ***ID :** fosse de plantation ; ***Tech. :** non fouillé ; ***Z. sup. :** 83,20 ; ***Dim. en m (Ø ou L / l et/ou P) :** 1,3 ; 1,15 ; ***Forme :** quadrangulaire
***Combl. :** LA brun beige foncé, charbons erratiques

***Hz / Us :** 2234 ; ***Fait :** FS2234 ; ***TR :** 20 ; ***Type :** composite (combl. + creus.) ; ***ID :** fosse de plantation ; ***Tech. :** non fouillé ; ***Z. sup. :** 83,20 ; ***Dim. en m (Ø ou L / l et/ou P) :** 1,15 ; 1,15 ; ***Forme :** quadrangulaire
***Combl. :** Mottes de LA brun et brun orangé à gris

***Hz / Us :** 2235 ; ***Fait :** FS2235 ; ***TR :** 20 ; ***Type :** composite (combl. + creus.) ; ***ID :** fosse de plantation ; ***Tech. :** non fouillé ; ***Z. sup. :** 83,20 ; ***Dim. en m (Ø ou L / l et/ou P) :** 0,7 ; 0,6 ; ***Forme :** quadrangulaire
***Combl. :** LA beige blanchi, bariolé manganèse

***Hz / Us :** 2236 ; ***Fait :** FS2236 ; ***TR :** 20 ; ***Type :** composite (combl. + creus.) ; ***ID :** fosse ; ***Tech. :** non fouillé ; ***Z. sup. :** 83,20 ; ***Dim. en m (Ø ou L / l et/ou P) :** 1,5 ; ***Forme :** circulaire
***Combl. :** Vrac de pierres silico-calcaires (Ø < 0,3 m), LA brun interstitiel, 1 frag. de tuile ronde

***Hz / Us :** 2237 ; ***Fait :** FO2237 ; ***TR :** 20 ; ***Type :** composite (combl. + creus.) ; ***ID :** fossé ; ***Tech. :** mécanique ; ***Z. sup. :** 83,15 ; ***Dim. en m (Ø ou L / l et/ou P) :** > 6,5 ; 0,5 ; < 0,2 ; ***Forme :** linéaire ; ***Profil :** cuvette
***Combl. :** LA beige blanchi ; ***Rel. indét. :** 2238

***Hz / Us :** 2238 ; ***Fait :** FS2238 ; ***TR :** 20 ; ***Type :** composite (combl. + creus.) ; ***ID :** fosse de plantation ; ***Tech. :** non fouillé ; ***Z. sup. :** 83,05 ; ***Dim. en m (Ø ou L / l et/ou P) :** 1,3 ; ? ; ***Forme :** quadrangulaire
***Combl. :** LA beige blanchi ; ***Rel. indét. :** 2238

***Hz / Us :** 2239 ; ***Fait :** FO2239 ; ***TR :** 20 ; ***Type :** composite (combl. + creus.) ; ***ID :** fossé ; ***Tech. :** mécanique ; ***Z. sup. :** 83,15 ; ***Dim. en m (Ø ou L / l et/ou P) :** > 3,8 ; 0,35 ; < 0,2 ; ***Forme :** linéaire ; ***Profil :** cuvette
***Combl. :** LA beige blanchi

***Hz / Us :** 2240 ; ***Fait :** MA2240 ; ***TR :** 20 ; ***Type :** composite (combl. + creus.) ; ***ID :** mare ; ***Tech. :** non fouillé ; ***Z. sup. :** 83,00 ; ***Dim. en m (Ø ou L / l et/ou P) :** ? ; > 13 ; ***Forme :** indéterminée, partiellement décapé
***Combl. :** LA beige blanchi, fort bariolage manganèse / rouille

***Hz / Us :** 2241 ; ***TR :** 21 ; ***Type :** ramassage mobilier ; ***Loc :** Extrémite NO de la TR21 ; ***Tech. :** mécanique ; ***Combl. :** Ramassage de tessons modelés et frags de tuiles dans Hz 2242-A et 2242-B (vestiges en creux non perçus ?)

***Hz / Us :** 2242 ; ***TR :** 21 ; ***Type :** technique ; ***ID :** coupe ; ***Loc :** Bord SO de l'extrémite NO de la TR21 ; ***Tech. :** mécanique ; ***Z. sup. :** 83,40 ; ***Dim. en m (Ø ou L / l et/ou P) :** 0,85
***Combl. :** -0-30 cm : Labours
-2242-A : 30-50 cm, LA beige
-2242-B : 50-70 cm, LA brun à beige
-2242-C : 70-85 cm, AL brun orangé à jaunâtre
-85 cm : Fond sondage

***Hz / Us :** 2243 ; ***Fait :** FO2243 ; ***ENS :** SFO2081 ; ***TR :** 21 ; ***Type :** composite (combl. + creus.) ; ***ID :** fossé ; ***Tech. :** non fouillé ; ***Z. sup. :** 82,80 ; ***Dim. en m (Ø ou L / l et/ou P) :** 3 ; 1,2 ; ***Forme :** linéaire
***Combl. :** LA gris beige lég. bariolé, en partie SO : vrac de pierres silico-calcaires et de grès (Ø < 0.3 m) ; ***Synch. :** 2079 ; 2080 ; ***Egal. :** 2081 2089 2352 2466

***Hz / Us :** 2244 ; ***Fait :** FS2244 ; ***TR :** 21 ; ***Type :** composite (combl. + creus.) ; ***ID :** fosse ; ***Tech. :** non fouillé ; ***Z. sup. :** 82,75 ; ***Dim. en m (Ø ou L / l et/ou P) :** 1,5 ; ***Forme :** circulaire, tronquée
***Combl. :** LA gris beige, lég. bariolé ; ***Rel. indét. :** 2243

***Hz / Us :** 2245 ; ***Fait :** FO2245 ; ***TR :** 21 ; ***Type :** composite (combl. + creus.) ; ***ID :** fossé ; ***Tech. :** non fouillé ; ***Z. sup. :** 82,75 ; ***Dim. en m (Ø ou L / l et/ou P) :** > 3,8 ; 1,45 ; ***Forme :** linéaire
***Combl. :** LA brun gris, pierres silico-calcaires et frags. de tuiles (GR) épars

***Hz / Us :** 2246 ; ***Fait :** FO2246 ; ***ENS :** SFO2088 ; ***TR :** 21 ; ***Type :** composite (combl. + creus.) ; ***ID :** fossé ; ***Tech. :** non fouillé ; ***Z. sup. :** 82,85 ; ***Dim. en m (Ø ou L / l et/ou P) :** 9,5 ; 1,5 ; ***Forme :** linéaire
***Combl. :** LA beige foncé, petites pierres silico-calcaires éparses à erratiques et frags. de tuiles (GR) erratiques ; ***Egal. :** 2088

***Hz / Us :** 2247 ; ***Fait :** PO2247 ; ***TR :** 21 ; ***Type :** composite (combl. + creus.) ; ***ID :** trou de poteau ; ***Loc :** Ensemble de poteaux de le fenêtre 21-A ; ***Tech. :** non fouillé ; ***Z. sup. :** 82,85 ; ***Dim. en m (Ø ou L / l et/ou P) :** 0,35 ; ***Forme :** circulaire
***Combl. :** LA brun beige, charbons et nodule rubéfiés épars

***Hz / Us :** 2248 ; ***Fait :** PO2248 ; ***TR :** 21 ; ***Type :** composite (combl. + creus.) ; ***ID :** trou de poteau ; ***Loc :** Ensemble de poteaux de le fenêtre 21-A ; ***Tech. :** mécanique ; *** % :** 100 ; ***Z. sup. :** 83,10 ; ***Dim. en m (Ø ou L / l et/ou P) :** 0,35 ; 0,2 ; ***Forme :** circulaire ; ***Profil :** cylindrique
***Combl. :** LA brun beige, charbons et nodule rubéfiés épars

***Hz / Us :** 2249 ; ***Fait :** PO2249 ; ***TR :** 21 ; ***Type :** composite (combl. + creus.) ; ***ID :** trou de poteau ; ***Loc :** Ensemble de poteaux de le fenêtre 21-A ; ***Tech. :** non fouillé ; ***Z. sup. :** 82,85 ; ***Dim. en m (Ø ou L / l et/ou P) :** 0,3 ; ***Forme :** circulaire
***Combl. :** LA brun gris

***Hz / Us :** 2250 ; ***Fait :** FS2250 ; ***TR :** 21 ; ***Type :** composite (combl. + creus.) ; ***ID :** fosse ; ***Loc :** Fenêtre 21-A ; ***Tech. :** non fouillé ; ***Z. sup. :** 82,85 ; ***Dim. en m (Ø ou L / l et/ou P) :** 0,8 ; 0,6 ; ***Forme :** ovalaire
***Combl. :** LA brun gris

***Hz / Us :** 2251 ; ***Fait :** PO2251 ; ***TR :** 21 ; ***Type :** composite (combl. + creus.) ; ***ID :** trou de poteau ; ***Loc :** Ensemble de poteaux de le fenêtre 21-A ; ***Tech. :** non fouillé ; ***Z. sup. :** 82,85 ; ***Dim. en m (Ø ou L / l et/ou P) :** 0,5 ; ***Forme :** circulaire
***Combl. :** LA brun gris, petites pierres silico-calcaires éparses

***Hz / Us :** 2252 ; ***Fait :** PO2252 ; ***TR :** 21 ; ***Type :** composite (combl. + creus.) ; ***ID :** trou de poteau ; ***Loc :** Ensemble de poteaux de le fenêtre 21-A ; ***Tech. :** manuelle ; *** % :** 50 ; ***Z. sup. :** 82,85 ; ***Dim. en m (Ø ou L / l et/ou P) :** 0,5 ; 0,2 ; ***Forme :** subcirculaire
***Combl. :** LA gris brun lég. bariolé, petits charbons épars

***Hz / Us :** 2253 ; ***Fait :** SI2253 ; ***TR :** 21 ; ***Type :** composite (combl. + creus.) ; ***ID :** silo ; ***Loc :** Fenêtre 21-A ; ***Tech. :** manuelle ; *** % :** 50 ; ***Z. sup. :** 82,95 ; ***Dim. en m (Ø ou L / l et/ou P) :** 1 ; 0,8 ; ***Forme :** circulaire ; ***Profil :** cylindrique
***Combl. :** -2253-a : LA gris brun, bariolé de manganèse
-2253-b : LA brun gris orangé, bariolé de manganèse
-2253-c : Dépôt de squelette de chien en connexion, LA gris interstitiel
-2253-d : LA gris
-2253-e : LA brun orangé à jaunâtre (encaissants remaniés).
-Encaissants :
-Ia : LA brun orangé grisâtre.
-Ib : AL brun orangé, léger bariolage de manganèse.
-II : AL jaunâtre et petites concrétions calcaires éparses

***Hz / Us :** 2254 ; ***Fait :** FS2254 ; ***TR :** 21 ; ***Type :** composite (combl. + creus.) ; ***ID :** fosse ; ***Loc :** Fenêtre 21-A ; ***Tech. :** manuelle ; *** % :** 100 ; ***Z. sup. :** 82,85 ; ***Dim. en m (Ø ou L / l et/ou P) :** 1 ; 0,15 ; ***Forme :** circulaire ; ***Profil :** cuvette
***Combl. :** LA gris sombre à noirâtre, charbons et cailloutis épars

***Hz / Us :** 2255 ; ***Fait :** PO2255 ; ***TR :** 21 ; ***Type :** composite (combl. + creus.) ; ***ID :** trou de poteau ; ***Loc :** Fenêtre 21-A ; ***Tech. :** non fouillé ; ***Z. sup. :** 82,85 ; ***Dim. en m (Ø ou L / l et/ou P) :** 0,55 ; ***Forme :** circulaire
***Combl. :** -2255-a : Négatif (Ø : 0,2 m) de LA brun gris, charbons et petites pierres épars
-2255-b : Avant-trou (Ø : 0,55 m) de LA brun beige

***Hz / Us :** 2256 ; ***Fait :** PO2256 ; ***TR :** 21 ; ***Type :** composite (combl. + creus.) ; ***ID :** trou de poteau ; ***Tech. :** manuelle ; *** % :** 40 ; ***Z. sup. :** 82,75 ; ***Dim. en m (Ø ou L / l et/ou P) :** 0,85 ; > 0,3 ; ***Forme :** circulaire ; ***Profil :** cuvette
***Combl. :** -2256-a : Négatif cylindrique (Ø : 0,25 m) de LA brun, charbons abondants
-2256-b : Avant-trou (Ø : 0,85 m) de LA brun gris

***Hz / Us :** 2257 ; ***Fait :** PO2257 ; ***TR :** 21 ; ***Type :** composite (combl. + creus.) ; ***ID :** trou de poteau ; ***Tech. :** non fouillé ; ***Z. sup. :** 82,80 ; ***Dim. en m (Ø ou L / l et/ou P) :** 0,5 ; ***Forme :** circulaire
***Combl. :** LA brun gris, pierres silico-calcaires abondantes, 1 frag. de tegula

***Hz / Us :** 2258 ; ***Fait :** PO2258 ; ***TR :** 21 ; ***Type :** composite (combl. + creus.) ; ***ID :** trou de poteau ; ***Tech. :** non fouillé ; ***Z. sup. :** 82,70 ; ***Dim. en m (Ø ou L / l et/ou P) :** 0,45 ; ***Forme :** circulaire
***Combl. :** LA brun gris

***Hz / Us :** 2259 ; ***Fait :** PO2259 ; ***TR :** 21 ; ***Type :** composite (combl. + creus.) ; ***ID :** trou de poteau ; ***Tech. :** manuelle ; *** % :** 75 ; ***Z. sup. :** 82,70 ; ***Dim. en m (Ø ou L / l et/ou P) :** 1,15 ; 0,3 ; ***Forme :** circulaire

***Combl. :** -2259-a : Négatif ovalaire en cuvette (0,7 X 0,6 X 0,3 m), LA gris, pierres silico-calcaires et charbons épars
-2259-b : Avant-trou (Ø : 1,15 ; P : 0,2 m), petites mottes de LA beige jaunâtre

***Hz / Us :** 2260 ; ***Fait :** PO2260 ; ***TR :** 21 ; ***Type :** composite (combl. + creus.) ; ***ID :** trou de poteau ; ***Tech. :** non fouillé ; ***Z. sup. :** 82,65 ; ***Dim. en m (Ø ou L / l et/ou P) :** 0,45 ; ***Forme :** circulaire
***Combl. :** LA gris brun, charbons épars

***Hz / Us :** 2261 ; ***Fait :** FO2261 ; ***TR :** 22 à 23 ; ***Type :** composite (combl. + creus.) ; ***ID :** fossé ; ***Tech. :** non fouillé ; ***Z. sup. :** 83,45 ; ***Dim. en m (Ø ou L / l et/ou P) :** 142 ; 5,5 ; > 1 ; ***Forme :** linéaire
***Combl. :** Fossé contemporain suivant la limite cadastrale entre les parcelles ZA n°2 et C n°437, entre la mare empierrée du Champtier du Chêne Mort jusqu'à l'avenue de Tournenfils. Encore partiellement "ouvert" entre le ponceau et le mur d'enclos occidentaux ; Comblements contemporains de remblais sabloneux à charbonneux. ; ***Egal. :** 2287

***Hz / Us :** 2262 ; ***Fait :** FS2262 ; ***TR :** 21 ; ***Type :** composite (combl. + creus.) ; ***ID :** fosse ; ***Tech. :** non fouillé ; ***Z. sup. :** 82,70 ; ***Dim. en m (Ø ou L / l et/ou P) :** > 3 ;
***Forme :** indéterminée, partiellement décapé
***Combl. :** LA gris brun, petites pierres, charbons et nod. rubéfiés épars ; ***Sur :** 2263 ; 2264

***Hz / Us :** 2263 ; ***Fait :** FS2263 ; ***TR :** 21 ; ***Type :** composite (combl. + creus.) ; ***ID :** fosse ; ***Tech. :** non fouillé ; ***Z. sup. :** 82,60 ; ***Dim. en m (Ø ou L / l et/ou P) :** > 3 ; 1,6 ; ***Forme :** oblong(ue)
***Combl. :** LA brun beige foncé, cailloutis/petites pierres épars ; ***Sous :** 2262 ; ***Sur :** 2264 ?

***Hz / Us :** 2264 ; ***Fait :** EX2264 ; ***TR :** 21 ; ***Type :** composite (combl. + creus.) ; ***ID :** excavation ; ***Tech. :** non fouillé ; ***Z. sup. :** 82,60 ; ***Dim. en m (Ø ou L / l et/ou P) :** > 3 ; 2,75 ; ***Forme :** indéterminée, partiellement décapé
***Combl. :** LA brun, limite peu visible avec 2263 ; ***Sous :** 2262 ; 2264 ? ; 2265

***Hz / Us :** 2265 ; ***Fait :** FS2265 ; ***TR :** 21 ; ***Type :** composite (combl. + creus.) ; ***ID :** fosse ; ***Tech. :** non fouillé ; ***Z. sup. :** 82,55 ; ***Dim. en m (Ø ou L / l et/ou P) :** ? ; 2,5 ;
***Forme :** circulaire, tronquée
***Combl. :** LA gris brun, pierres silico-calcaires et de grès abondantes ; ***Sur :** 2264

***Hz / Us :** 2266 ; ***Fait :** FT2266 ; ***TR :** 21 ; ***Type :** composite (combl. + creus.) ; ***ID :** creusement indéterminé ; ***Tech. :** non fouillé ; ***Z. sup. :** 82,50 ; ***Dim. en m (Ø ou L / l et/ou P) :** 0,9 ; ***Forme :** circulaire
***Combl. :** LA brun dans encaissant argilo-limoneux jaunâtre

***Hz / Us :** 2267 ; ***Fait :** EX2267 ; ***TR :** 21 ; ***Type :** composite (combl. + creus.) ; ***ID :** excavation ; ***Tech. :** sondé méca ; *** % :** ? ; ***Z. sup. :** 82,45 ; ***Dim. en m (Ø ou L / l et/ou P) :** ? ; 21,5 ; 0,4 ; ***Forme :** indéterminée, partiellement décapé ; ***Profil :** fond plat
***Combl. :** SD2268, cpe SO
-2267a : LA brun, pierres éparses à abondantes
-2267-b : LA gris foncé hydromorphe, frags de tuiles plates mod./contemp. abondants, petites pierres éparses
***Egal. :** 2304 ? 2310 ?

***Hz / Us :** 2268 ; ***Fait :** SD2268 ; ***TR :** 21 ; ***Type :** technique ; ***ID :** sondage ; ***Tech. :** mécanique ; ***Z. sup. :** 82,95 ; ***Dim. en m (Ø ou L / l et/ou P) :** 0,85
***Combl. :** CPE SO :
-0-30 cm : Labours
-2267-a : 30-50 cm , LA brun, pierres éparses à abondantes
-2267-b : 50-70 cm, LA gris foncé hydromorphe, frags de tuiles plates mod./contemp. abondants, petites pierres éparses
+ 70 cm : Sablon argileux blanchâtre avec plages de rouille
***Sur :** 2267

***Hz / Us :** 2269 ; ***Fait :** FR2269 ; ***TR :** 21 ; ***Type :** composite (combl. + creus.) ; ***ID :** four / foyer ; ***Tech. :** non fouillé ; ***Z. sup. :** 82,80 ; ***Dim. en m (Ø ou L / l et/ou P) :** 0,85 ; ***Forme :** circulaire
***Combl. :** -2269-a : comblement, LA gris clair bariolé rouille, charbons et nodules rubéfiés erratiques
-2269-b : Sole rubéfiée (ép. : 3 à 4 cm) dans encaissant de LA brun orangé
***Synch. :** 2271 ?

***Hz / Us :** 2270 ; ***Fait :** FS2270 ; ***TR :** 21 ; ***Type :** composite (combl. + creus.) ; ***ID :** fosse ; ***Tech. :** non fouillé ; ***Z. sup. :** 82,80 ; ***Dim. en m (Ø ou L / l et/ou P) :** > 1,1 ; 0,65 ; ***Forme :** sub-rectangulaire
***Combl. :** LA gris brun, charbons et nodules rubéfiés abondants, grosses pierres silico-calcaires et de grès abondantes (Ø < 0,5 m) ;
***Sur :** 2271

***Hz / Us :** 2271 ; ***Fait :** EX2271 ; ***TR :** 21 ; ***Type :** composite (combl. + creus.) ; ***ID :** excavation ; ***Tech. :** non fouillé ; ***Z. sup. :** 82,90 ; ***Dim. en m (Ø ou L / l et/ou P) :** > 4 ; > 3 ; ***Forme :** indéterminée, partiellement décapé
***Combl. :** Liée au four 2269 ? ; LA brun gris à gris clair, pierres silico-calcaires et de grès éparses à abondantes
***Sous :** 2270 ; ***Synch. :** 2269 ?

***Hz / Us :** 2272 ; ***Fait :** FD2272 ; ***TR :** 22 ; ***Type :** composite (combl. + creus.) ; ***ID :** fondation de mur ; ***Tech. :** non fouillé ; ***Z. sup. :** 82,80 ; ***Dim. en m (Ø ou L / l et/ou P) :** > 3,2 ; 1,25 ; ***Forme :** linéaire
***Combl. :** Vrac de pierres silico-calcaires et de grès (Ø : 0,3 m), LA gris brun interstitiel
***Sur :** 2273

***Hz / Us :** 2273 ; ***Fait :** FO2273 ; ***TR :** 22 ; ***Type :** composite (combl. + creus.) ; ***ID :** fossé ; ***Tech. :** non fouillé ; ***Z. sup. :** 82,90 ; ***Dim. en m (Ø ou L / l et/ou P) :** > 5,5 ; 0,55 ; ***Forme :** linéaire
***Combl. :** LA gris brun, petites pierres éparses, frags de tuiles erratiques ; ***Sous :** 2272

***Hz / Us :** 2274 ; ***Fait :** FS2274 ; ***TR :** 22 ; ***Type :** composite (combl. + creus.) ; ***ID :** fosse ; ***Tech. :** manuelle ; *** % :** 25 ? ; ***Z. sup. :** 82,90 ; ***Dim. en m (Ø ou L / l et/ou P) :** 1,9 ; 0,2 ; ***Forme :** circulaire, tronquée ; ***Profil :** évasé fond plat
***Combl. :** LA gris lég. bariolé, cailloutis / petites pierres, charbons / nod. rubéfiés et frags de tuiles erratiques à épars
***Rel. indét. :** 2275, 2276

***Hz / Us :** 2275 ; ***Fait :** FS2275 ; ***TR :** 22 ; ***Type :** composite (combl. + creus.) ; ***ID :** fosse ; ***Tech. :** non fouillé ; ***Z. sup. :** 82,80 ; ***Dim. en m (Ø ou L / l et/ou P) :** ? ; 2 ;
***Forme :** indéterminée, partiellement décapé
***Combl. :** LA gris lég. bariolé, cailloutis / petites pierres, charbons / nod. rubéfiés et frags de tuiles erratiques à épars
***Rel. indét. :** 2274 2276

***Hz / Us :** 2276 ; ***Fait :** FS2276 ; ***TR :** 22 ; ***Type :** composite (combl. + creus.) ; ***ID :** fosse ; ***Tech. :** non fouillé ; ***Z. sup. :** 82,80 ; ***Dim. en m (Ø ou L / l et/ou P) :** ? ; 1,7 ;
***Forme :** indéterminée, partiellement décapé
***Combl. :** LA gris lég. bariolé, cailloutis / petites pierres, charbons / nod. rubéfiés et frags de tuiles erratiques à épars ;
***Rel. indét. :** 2274, 2275, 2277, 2278

***Hz / Us :** 2277 ; ***Fait :** FS2277 ; ***TR :** 22 ; ***Type :** composite (combl. + creus.) ; ***ID :** fosse ; ***Tech. :** non fouillé ; ***Z. sup. :** 82,80 ; ***Dim. en m (Ø ou L / l et/ou P) :** 1,5 ? ; 0,85 ? ; ***Forme :** ovalaire
***Combl. :** LA gris lég. bariolé, cailloutis / petites pierres, charbons / nod. rubéfiés et frags de tuiles erratiques à épars ;
***Rel. indét. :** 2276 2278

***Hz / Us :** 2278 ; ***Fait :** FS2278 ; ***TR :** 22 ; ***Type :** composite (combl. + creus.) ; ***ID :** fosse ; ***Tech. :** manuelle ; *** % :** 25 ? ; ***Z. sup. :** 82,80 ; ***Dim. en m (Ø ou L / l et/ou P) :** 0,95 ; 0,15 ; ***Forme :** circulaire, tronquée ; ***Profil :** cuvette
***Combl. :** LA gris lég. bariolé, cailloutis / petites pierres, charbons / nod. rubéfiés et frags de tuiles erratiques à épars ;
***Rel. indét. :** 2276 2277

***Hz / Us :** 2279 ; ***Fait :** FS2279 ; ***TR :** 22 ; ***Type :** composite (combl. + creus.) ; ***ID :** fosse ; ***Tech. :** non fouillé ; ***Z. sup. :** 82,80 ; ***Dim. en m (Ø ou L / l et/ou P) :** 2,15 ; > 0,95 ; ***Forme :** indéterminée, partiellement décapé
***Combl. :** LA gris lég. bariolé, cailloutis / petites pierres, charbons / nod. rubéfiés et frags de tuiles erratiques à épars ;
***Rel. indét. :** 2282

***Hz / Us :** 2280 ; ***Fait :** PO2280 ; ***TR :** 22 ; ***Type :** composite (combl. + creus.) ; ***ID :** trou de poteau ? ; ***Tech. :** non fouillé ; ***Z. sup. :** 82,80 ; ***Dim. en m (Ø ou L / l et/ou P) :** 0,5 ; ***Forme :** circulaire
***Combl. :** LA gris brun sombre, cailloutis épars à erratique ;
***Sur :** 2282

***Hz / Us :** 2281 ; ***Fait :** PO2281 ; ***TR :** 22 ; ***Type :** composite (combl. + creus.) ; ***ID :** trou de poteau ? ; ***Tech. :** non fouillé ; ***Z. sup. :** 82,80 ; ***Dim. en m (Ø ou L / l et/ou P) :** 0,4 ; ***Forme :** circulaire
***Combl. :** LA gris brun, charbons erratiques

***Hz / Us :** 2282 ; ***Fait :** FS2282 ; ***TR :** 22 ; ***Type :** composite (combl. + creus.) ; ***ID :** fosse ; ***Tech. :** non fouillé ; ***Z. sup. :** 82,80 ; ***Dim. en m (Ø ou L / l et/ou P) :** 1 ;
***Forme :** subcirculaire
***Combl. :** LA gris lég. bariolé, cailloutis / petites pierres, charbons / nod. rubéfiés et frags de tuiles erratiques à épars ;
***Sous :** 2280 ; ***Rel. indét. :** 2279

***Hz / Us :** 2283 ; ***TR :** 22 ; ***Type :** anomalie / non-retenu ; ***ID :** néant/annulé ;

***Hz / Us :** 2284 ; ***TR :** 22 ; ***Type :** anomalie / non-retenu ; ***ID :** néant/annulé ;

***Hz / Us :** 2285 ; ***Fait :** FS2285 ; ***TR :** 22 ; ***Type :** composite (combl. + creus.) ; ***ID :** fosse ; ***Tech. :** manuelle ; *** % :** 50 ; ***Z. sup. :** 82,70 ; ***Dim. en m (Ø ou L / l et/ou P) :** 0,8 ; 0,6 ; 0,15 ; ***Forme :** ovalaire ; ***Profil :** cuvette
***Combl. :** LA brun gris, cailloutis épars

***Hz / Us :** 2286 ; ***Fait :** FS2286 ; ***TR :** 22 ; ***Type :** composite (combl. + creus.) ; ***ID :** fosse ; ***Tech. :** non fouillé ; ***Z. sup. :** 82,70 ; ***Dim. en m (Ø ou L / l et/ou P) :** 1,5 ;
***Forme :** circulaire
***Combl. :** LA brun, cailloutis épars

***Hz / Us :** 2287 ; ***Fait :** FO2261 ; ***TR :** 22 ; ***Type :** DOUBLON ; ***ID :** fossé ; ***Tech. :** non fouillé ; ***Z. sup. :** 82,65 ; ***Dim. en m (Ø ou L / l et/ou P) :** > 3,5 ; 2,05 ;
***Forme :** linéaire
***Combl. :** Fossé contemporain, limon brun noir, pierres et charbons

***Hz / Us :** 2288 ; ***Fait :** FS2288 ; ***TR :** 22 ; ***Type :** composite (combl. + creus.) ; ***ID :** fosse ; ***Tech. :** non fouillé ; ***Z. sup. :** 82,60 ; ***Dim. en m (Ø ou L / l et/ou P) :** 0,85 ;
***Forme :** circulaire
***Combl. :** LA brun

***Hz / Us :** 2289 ; ***Fait :** FS2289 ; ***TR :** 22 ; ***Type :** composite (combl. + creus.) ; ***ID :** fosse ; ***Tech. :** non fouillé ; ***Z. sup. :** 82,60 ; ***Dim. en m (Ø ou L / l et/ou P) :** 1,4 ;
***Forme :** circulaire
***Combl. :** LA brun

***Hz / Us :** 2290 ; ***Fait :** FO2290 ; ***TR :** 22 ; ***Type :** composite (combl. + creus.) ; ***ID :** fossé ; ***Tech. :** non fouillé ; ***Z. sup. :** 82,60 ; ***Dim. en m (Ø ou L / l et/ou P) :** > 4 ; 3 ;
***Forme :** linéaire
***Combl. :** LA brun gris sombre, charbons et nodules rubéfiés épars ; ***Egal. :** 2263 ? 2264 ?

***Hz / Us :** 2291 ; ***Fait :** FS2291 ; ***TR :** 22 ; ***Type :** composite (combl. + creus.) ; ***ID :** fosse ; ***Tech. :** non fouillé ; ***Z. sup. :** 82,60 ; ***Dim. en m (Ø ou L / l et/ou P) :** 0,6 ;
***Forme :** circulaire, tronquée
***Combl. :** LA gris sombre, charbons et nodules rubéfiés épars ;
***Sous :** 2290

***Hz / Us :** 2292 ; ***Fait :** FS2292 ; ***TR :** 22 ; ***Type :** composite (combl. + creus.) ; ***ID :** fosse ; ***Tech. :** non fouillé ; ***Z. sup. :** 82,60 ; ***Dim. en m (Ø ou L / l et/ou P) :** > 2 ; > 0,5 ;
***Forme :** indéterminée, partiellement décapé
***Combl. :** LA gris sombre, petites pierres et charbons épars ;
***Rel. indét. :** 2295

***Hz / Us :** 2293 ; ***Fait :** PO2293 ; ***TR :** 22 ; ***Type :** composite (combl. + creus.) ; ***ID :** trou de poteau ? ; ***Tech. :** manuelle ; *** % :** 50 ; ***Z. sup. :** 82,85 ; ***Dim. en m (Ø ou L / l et/ou P) :** 0,6 ; 0,1 ; ***Forme :** circulaire ; ***Profil :** cuvette
***Combl. :** LA brun gris à gris

***Hz / Us :** 2294 ; ***Fait :** PO2294 ; ***TR :** 22 ; ***Type :** composite (combl. + creus.) ; ***ID :** trou de poteau ? ; ***Tech. :** non fouillé ; ***Z. sup. :** 82,60 ; ***Dim. en m (Ø ou L / l et/ou P) :** 0,55 ; ***Forme :** circulaire
***Combl. :** LA brun, cailloutis épars, tessons antiques épars

***Hz / Us :** 2295 ; ***Fait :** FS2295 ; ***TR :** 22 ; ***Type :** composite (combl. + creus.) ; ***ID :** fosse ; ***Tech. :** non fouillé ; ***Z. sup. :** 82,60 ; ***Dim. en m (Ø ou L / l et/ou P) :** > 3,2 ; > 1,3 ; ***Forme :** indéterminée, partiellement décapé
***Combl. :** LA gris sombre à noirâtre, petites pierres silico-calcaires éparses à abondantes ; ***Sous :** 2296 ; ***Rel. indét. :** 2292 2297

***Hz / Us :** 2296 ; ***Fait :** TR2296 ; ***ENS :** BAT2296 ? ; ***TR :** 22 ; ***Type :** composite (combl. + creus.) ; ***ID :** tranchée de récupération ; ***Loc :** Bâtiment possible 2296 ? Figuré sur plan terrier du XVIIIe s. (Maury 2009) ? ; ***Tech. :** non fouillé ;

***Z. sup. :** 82,60 ; ***Dim. en m (Ø ou L / l et/ou P) :** > 7,2 ; 0,75 ; ***Forme :** linéaire
***Combl. :** Remblai supérieur d'argile jaunâtre et cailloutis (encaissant remanié) ; LA brun, frags. de tuiles plates mod./contemp. épars ; ***Sur :** 2295 ; 2297

***Hz / Us :** 2297 ; ***Fait :** FS2297 ; ***TR :** 22 ; ***Type :** composite (combl. + creus.) ; ***ID :** fosse ; ***Tech. :** non fouillé ; ***Z. sup. :** 82,70 ; ***Dim. en m (Ø ou L / l et/ou P) :** >2,75 ; >2,15 ; ***Forme :** indéterminée, partiellement décapé
***Combl. :** LA gris sombre, petites pierres silico-calcaires éparses ; ***Sous :** 2296 ; ***Rel. indét. :** 2295

***Hz / Us :** 2298 ; ***Fait :** FS2298 ; ***TR :** 22 ; ***Type :** composite (combl. + creus.) ; ***ID :** fosse ; ***Tech. :** non fouillé ; ***Z. sup. :** 82,70 ; ***Dim. en m (Ø ou L / l et/ou P) :** >2,45 ; 1,95 ; ***Forme :** indéterminée, partiellement décapé
***Combl. :** LA brun, cailloutis et charbons erratiques

***Hz / Us :** 2299 ; ***Fait :** PO2299 ; ***TR :** 22 ; ***Type :** composite (combl. + creus.) ; ***ID :** trou de poteau ; ***Tech. :** non fouillé ; ***Z. sup. :** 82,70 ; ***Dim. en m (Ø ou L / l et/ou P) :** 0,35 ; ***Forme :** circulaire
***Combl. :** LA brun à brun gris, 1 tesson (médiéval ?)

***Hz / Us :** 2300 ; ***Fait :** FD2300 ; ***ENS :** BAT2296 ? ; ***TR :** 22 ; ***Type :** composite (combl. + creus.) ; ***ID :** fondation de mur ; ***Loc :** Bâtiment possible 2296 ? Figuré sur plan terrier du XVIIIe s. (Maury 2009) ? ; ***Tech. :** mécanique ; *** % :** ? ; ***Z. sup. :** 82,90 ; ***Dim. en m (Ø ou L / l et/ou P) :** >4,25 ; 1 ; 0,2 ; ***Forme :** linéaire
***Combl. :** Double rangée de pierres / dalles silico-calcaires à plat, LA brun interstitiel

***Hz / Us :** 2301 ; ***Fait :** FS2301 ; ***TR :** 22 ; ***Type :** composite (combl. + creus.) ; ***ID :** fosse ; ***Tech. :** non fouillé ; ***Z. sup. :** 82,70 ; ***Dim. en m (Ø ou L / l et/ou P) :** 2,4 ; > 1,2 ; ***Forme :** indéterminée, partiellement décapé
***Combl. :** Vrac de petites pierres silico-calacaires, LA gris sombre à noirâtre

***Hz / Us :** 2302 ; ***Fait :** FS2302 ; ***TR :** 22 ; ***Type :** composite (combl. + creus.) ; ***ID :** fosse ; ***Tech. :** non fouillé ; ***Z. sup. :** 82,70 ; ***Dim. en m (Ø ou L / l et/ou P) :** >2,1 ; >0,6 ; ***Forme :** indéterminée, partiellement décapé
***Combl. :** LA noirâtre charbonneux, cailloutis et frags. de tuiles erratiques

***Hz / Us :** 2303 ; ***Fait :** FS2303 ; ***TR :** 22 ; ***Type :** composite (combl. + creus.) ; ***ID :** fosse ; ***Tech. :** non fouillé ; ***Z. sup. :** 82,70 ; ***Dim. en m (Ø ou L / l et/ou P) :** >2 ; >0,8 ; ***Forme :** indéterminée, partiellement décapé
***Combl. :** LA gris brun sombre, petites pierres silico-calcaires abondantes

***Hz / Us :** 2304 ; ***Fait :** EX2304 ; ***TR :** 22 ; ***Type :** composite (combl. + creus.) ; ***ID :** excavation ; ***Tech. :** non fouillé ; ***Z. sup. :** 82,70 ; ***Dim. en m (Ø ou L / l et/ou P) :** ? ; 13,5 ; ***Forme :** indéterminée, partiellement décapé
***Combl. :** LA brun à gris brun, petites pierres et frags de tuiles plates mod./contemp. éparses ; ***Sous :** 2306 ; 2307 ; 2308 ; ***Egal. :** 2267 ?

***Hz / Us :** 2305 ; ***Fait :** PO2305 ; ***TR :** 22 ; ***Type :** composite (combl. + creus.) ; ***ID :** trou de poteau ? ; ***Tech. :** non fouillé ; ***Z. sup. :** 82,60 ; ***Dim. en m (Ø ou L / l et/ou P) :** 0,45 ; ***Forme :** circulaire
***Combl. :** LA gris brun à noirâtre, petites pierres éparses ; ***Sur :** 2304

***Hz / Us :** 2306 ; ***Fait :** FS2306 ; ***TR :** 22 ; ***Type :** composite (combl. + creus.) ; ***ID :** fosse ; ***Tech. :** non fouillé ; ***Z. sup. :** 82,60 ; ***Dim. en m (Ø ou L / l et/ou P) :** 1,35 ; ***Forme :** circulaire, tronquée
***Combl. :** LA noirâtre charbonneux, petites pierres abondantes, frags. de tuiles erratiques ; ***Sur :** 2304 ; 2308

***Hz / Us :** 2307 ; ***Fait :** FS2307 ; ***TR :** 22 ; ***Type :** composite (combl. + creus.) ; ***ID :** fosse ; ***Tech. :** non fouillé ; ***Z. sup. :** 82,60 ; ***Dim. en m (Ø ou L / l et/ou P) :** >2,2 ; 1,75 ; ***Forme :** indéterminée, partiellement décapé
***Combl. :** LA gris sombre à noirâtre, pierres silico-calcaires éparses à abondantes, frags. de tuiles plates (mod./contemp. ?) erratiques ; ***Sur :** 2304

***Hz / Us :** 2308 ; ***Fait :** FS2308 ; ***TR :** 22 ; ***Type :** composite (combl. + creus.) ; ***ID :** fosse ; ***Tech. :** non fouillé ; ***Z. sup. :** 82,60 ; ***Dim. en m (Ø ou L / l et/ou P) :** 2 ; ***Forme :** circulaire, tronquée
***Combl. :** LA brun sombre, pierres silico-calcaires éparses à abondantes, frags. de tuiles plates (mod./contemp. ?) erratiques ; ***Sous :** 2306 ; ***Sur :** 2304

***Hz / Us :** 2309 ; ***Fait :** FS2309 ; ***TR :** 22 ; ***Type :** composite (combl. + creus.) ; ***ID :** fosse ; ***Tech. :** non fouillé ; ***Z. sup. :** 82,65 ; ***Dim. en m (Ø ou L / l et/ou P) :** 0,8 ; ***Forme :** circulaire, tronquée
***Combl. :** LA brun sombre, pierres silico-calcaires éparses à abondantes, frags. de tuiles plates (mod./contemp. ?) erratiques ; ***Sur :** 2304

***Hz / Us :** 2310 ; ***Fait :** EX2310 ; ***TR :** 22 ; ***Type :** composite (combl. + creus.) ; ***ID :** excavation ; ***Tech. :** non fouillé ; ***Z. sup. :** 82,65 ; ***Dim. en m (Ø ou L / l et/ou P) :** 5 ; > 3 ; ***Forme :** indéterminée, partiellement décapé
***Combl. :** LA brun sombre, pierres silico-calcaires et de grès abondantes (Ø < 0,4) ; ***Egal. :** 2267 ?

***Hz / Us :** 2311 ; ***Fait :** EX2311 ; ***TR :** 22 ; ***Type :** composite (combl. + creus.) ; ***ID :** excavation ; ***Loc :** Fenêtre 22-A ; ***Tech. :** non fouillé ; ***Z. sup. :** 82,60 ; ***Dim. en m (Ø ou L / l et/ou P) :** >5,5 ; > 1,4 ; ***Forme :** indéterminée, partiellement décapé
***Combl. :** LA beige blanchi, frags abondants de tuiles plates (mod./contemp.) plus ou moins posés à plat, pierres éparses ; ***Egal. :** 2304 ?

***Hz / Us :** 2312 ; ***Fait :** FS2312 ; ***TR :** 22 ; ***Type :** composite (combl. + creus.) ; ***ID :** excavation ; ***Loc :** Fenêtre 22-A ; ***Tech. :** non fouillé ; ***Z. sup. :** 82,65 ; ***Dim. en m (Ø ou L / l et/ou P) :** >2,5 ; 2 ; ***Forme :** indéterminée, partiellement décapé
***Combl. :** LA gris brun, mottes de sablon argileux blanchâtre éparses, petites pierres et frags de tuiles plates (mod./contemp.) épars ; ***Sous :** 2311 ? ; ***Rel. indét. :** 2313

***Hz / Us :** 2313 ; ***Fait :** FS2313 ; ***TR :** 22 ; ***Type :** composite (combl. + creus.) ; ***ID :** fosse ; ***Loc :** Fenêtre 22-A ; ***Tech. :** non fouillé ; ***Z. sup. :** 82,70 ; ***Dim. en m (Ø ou L / l et/ou P) :** 2,5 ; > 1 ; ***Forme :** indéterminée, partiellement décapé
***Combl. :** LA gris brun, petites pierres éparses à abondantes ; ***Sous :** 2311 ? ; ***Rel. indét. :** 2312

***Hz / Us :** 2314 ; ***Fait :** FS2314 ; ***TR :** 22 ; ***Type :** composite (combl. + creus.) ; ***ID :** fosse ; ***Loc :** Fenêtre 22-A ; ***Tech. :** non fouillé ; ***Z. sup. :** 82,70 ; ***Dim. en m (Ø ou L / l et/ou P) :** 1,4 ; ***Forme :** circulaire

***Combl. :** LA brun sombre à noirâtre, petites pierres abondantes ; ***Sur :** 2317 ? ; ***Rel. indét. :** 2315

***Hz / Us :** 2315 ; ***Fait :** FS2315 ; ***TR :** 22 ; ***Type :** composite (combl. + creus.) ; ***ID :** fosse ; ***Loc :** Fenêtre 22-A ; ***Tech. :** non fouillé ; ***Z. sup. :** 82,60 ; ***Dim. en m (Ø ou L / l et/ou P) :** 2,5 ; 1,6 ; ***Forme :** ovalaire
***Combl. :** LA brun sombre à noirâtre, petites pierres abondantes, frags de tuiles plates mod. / contemp. épars ; ***Sur :** 2317 ; ***Rel. indét. :** 2314 2316

***Hz / Us :** 2316 ; ***Fait :** FS2316 ; ***TR :** 22 ; ***Type :** composite (combl. + creus.) ; ***ID :** fosse ; ***Loc :** Fenêtre 22-A ; ***Tech. :** non fouillé ; ***Z. sup. :** 82,60 ; ***Dim. en m (Ø ou L / l et/ou P) :** 1,3 ? ; ***Forme :** indéterminée, partiellement décapé
***Combl. :** LA brun sombre à noirâtre, petites pierres abondantes ; ***Sur :** 2317 ; ***Rel. indét. :** 2315

***Hz / Us :** 2317 ; ***Fait :** EX2317 ; ***TR :** 22 ; ***Type :** composite (combl. + creus.) ; ***ID :** excavation ; ***Loc :** Fenêtre 22-A ; ***Tech. :** non fouillé ; ***Z. sup. :** 82,70 ; ***Dim. en m (Ø ou L / l et/ou P) :** 12,2 ; > 3 ; ***Forme :** indéterminée, partiellement décapé
***Combl. :** LA bruns à brun sombre à gris brun, cailloutis, frgs de tuiles plates mod. / contemp. et charbons épars ; ***Sous :** 2315 ; 2316

***Hz / Us :** 2318 ; ***Fait :** FS2318 ; ***TR :** 22 ; ***Type :** composite (combl. + creus.) ; ***ID :** fosse ; ***Loc :** Fenêtre 22-A ; ***Tech. :** non fouillé ; ***Z. sup. :** 82,70 ; ***Dim. en m (Ø ou L / l et/ou P) :** 3,4 ? ; > 0,9 ; ***Forme :** indéterminée, partiellement décapé
***Combl. :** LA brun sombre, pierres erratiques ; ***Rel. indét. :** 2319

***Hz / Us :** 2319 ; ***Fait :** FS2319 ; ***TR :** 22 ; ***Type :** composite (combl. + creus.) ; ***ID :** fosse ; ***Loc :** Fenêtre 22-A ; ***Tech. :** non fouillé ; ***Z. sup. :** 82,70 ; ***Dim. en m (Ø ou L / l et/ou P) :** > 2 ; > 1,9 ; ***Forme :** indéterminée, partiellement décapé
***Combl. :** LA brun sombre, pierres erratiques ; ***Rel. indét. :** 2318

***Hz / Us :** 2320 ; ***Fait :** FS2320 ; ***TR :** 22 ; ***Type :** composite (combl. + creus.) ; ***ID :** fosse ; ***Loc :** Fenêtre 22-B ; ***Tech. :** non fouillé ; ***Z. sup. :** 82,85 ; ***Dim. en m (Ø ou L / l et/ou P) :** 1,5 ; > 0,5 ; ***Forme :** indéterminée, partiellement décapé
***Combl. :** LA brun, pierres éparses ; ***Rel. indét. :** 2321

***Hz / Us :** 2321 ; ***Fait :** FS2321 ; ***TR :** 22 ; ***Type :** composite (combl. + creus.) ; ***ID :** fosse ; ***Loc :** Fenêtre 22-B ; ***Tech. :** non fouillé ; ***Z. sup. :** 82,85 ; ***Dim. en m (Ø ou L / l et/ou P) :** 1,7 ; > 0,9 ; ***Forme :** indéterminée, partiellement décapé
***Combl. :** LA brun, cailloutis épars ; ***Rel. indét. :** 2320

***Hz / Us :** 2322 ; ***Fait :** FS2322 ; ***TR :** 22 ; ***Type :** composite (combl. + creus.) ; ***ID :** fosse ; ***Loc :** Fenêtre 22-B ; ***Tech. :** non fouillé ; ***Z. sup. :** 82,75 ; ***Dim. en m (Ø ou L / l et/ou P) :** 1 ; ***Forme :** circulaire
***Combl. :** LA brun

***Hz / Us :** 2323 ; ***Fait :** FS2323 ; ***TR :** 22 ; ***Type :** composite (combl. + creus.) ; ***ID :** fosse ; ***Loc :** Fenêtre 22-B ; ***Tech. :** non fouillé ; ***Z. sup. :** 82,75 ; ***Dim. en m (Ø ou L / l et/ou P) :** 2,7 ; 1,8 ; ***Forme :** ovalaire
***Combl. :** LA brun sombre à gris sombre, frags de tuiles plates mod. / contemp. abondants

***Hz / Us :** 2324 ; ***Fait :** PO2324 ; ***TR :** 22 ; ***Type :** composite (combl. + creus.) ; ***ID :** trou de poteau ? ; ***Loc :** Fenêtre 22-B ; ***Tech. :** non fouillé ; ***Z. sup. :** 82,75 ; ***Dim. en m (Ø ou L / l et/ou P) :** 0,4 ; ***Forme :** circulaire
***Combl. :** LA brun

***Hz / Us :** 2325 ; ***Fait :** FS2325 ; ***TR :** 22 ; ***Type :** composite (combl. + creus.) ; ***ID :** fosse ; ***Loc :** Fenêtre 22-B ; ***Tech. :** manuelle ; *** % :** 25 ? ; ***Z. sup. :** 82,75 ; ***Dim. en m (Ø ou L / l et/ou P) :** 1,6 ; 0,15 ; ***Forme :** circulaire, tronquée ; ***Profil :** évasé fond irrégulier
***Combl. :** LA gris sombre à noirâtre, petits charbons épars

***Hz / Us :** 2326 ; ***Fait :** FS2326 ; ***TR :** 22 ; ***Type :** composite (combl. + creus.) ; ***ID :** fosse ; ***Loc :** Fenêtre 22-B ; ***Tech. :** non fouillé ; ***Z. sup. :** 82,70 ; ***Dim. en m (Ø ou L / l et/ou P) :** 1,15 ; 0,8 ; ***Forme :** ovalaire
***Combl. :** LA gris sombre à noirâtre, petits charbons épars ; ***Rel. indét. :** 2327

***Hz / Us :** 2327 ; ***Fait :** FS2327 ; ***TR :** 22 ; ***Type :** composite (combl. + creus.) ; ***ID :** fosse ; ***Loc :** Fenêtre 22-B ; ***Tech. :** non fouillé ; ***Z. sup. :** 82,70 ; ***Dim. en m (Ø ou L / l et/ou P) :** 1,2 ; 0,8 ; ***Forme :** ovalaire
***Combl. :** LA gris sombre à noirâtre, petits charbons épars ; ***Rel. indét. :** 2326

***Hz / Us :** 2328 ; ***Fait :** PO2328 ; ***TR :** 22 ; ***Type :** composite (combl. + creus.) ; ***ID :** trou de poteau ; ***Loc :** Fenêtre 22-B ; ***Tech. :** non fouillé ; ***Z. sup. :** 82,60 ; ***Dim. en m (Ø ou L / l et/ou P) :** 0,45 ; ***Forme :** circulaire
***Combl. :** LA gris sombre charbonneux

***Hz / Us :** 2329 ; ***Fait :** FS2329 ; ***TR :** 22 ; ***Type :** composite (combl. + creus.) ; ***ID :** fosse ; ***Loc :** Fenêtre 22-B ; ***Tech. :** non fouillé ; ***Z. sup. :** 82,60 ; ***Dim. en m (Ø ou L / l et/ou P) :** 0,8 ; ***Forme :** circulaire
***Combl. :** LA gris sombre charbonneux

***Hz / Us :** 2330 ; ***Fait :** FT2330 ; ***TR :** 22 ; ***Type :** composite (combl. + creus.) ; ***ID :** creusement indéterminé ; ***Loc :** Fenêtre 22-C ; ***Tech. :** non fouillé ; ***Z. sup. :** 82,90 ; ***Dim. en m (Ø ou L / l et/ou P) :** 0,7 ; ***Forme :** circulaire
***Combl. :** LA gris brun et mottes de LA brun

***Hz / Us :** 2331 ; ***Fait :** PO2331 ; ***TR :** 22 ; ***Type :** composite (combl. + creus.) ; ***ID :** trou de poteau ? ; ***Loc :** Fenêtre 22-C ; ***Tech. :** manuelle ; *** % :** 50 ; ***Z. sup. :** 82,80 ; ***Dim. en m (Ø ou L / l et/ou P) :** 0,55 ; 0,1 ; ***Forme :** circulaire ; ***Profil :** cuvette
***Combl. :** LA gris brun, petits charbons épars, nodules rubéfiés erratiques

***Hz / Us :** 2332 ; ***Fait :** FT2332 ; ***TR :** 22 ; ***Type :** composite (combl. + creus.) ; ***ID :** creusement indéterminé ; ***Loc :** Fenêtre 22-C ; ***Tech. :** non fouillé ; ***Z. sup. :** 82,85 ; ***Dim. en m (Ø ou L / l et/ou P) :** 0,3 ; ***Forme :** circulaire
***Combl. :** LA gris lég. bariolé

***Hz / Us :** 2333 ; ***Fait :** PO2333 ; ***TR :** 22 ; ***Type :** composite (combl. + creus.) ; ***ID :** trou de poteau ? ; ***Loc :** Fenêtre 22-C ; ***Tech. :** non fouillé ; ***Z. sup. :** 82,80 ; ***Dim. en m (Ø ou L / l et/ou P) :** 0,4 ; ***Forme :** circulaire
***Combl. :** LA gris brun, petits charbons épars, nodules rubéfiés erratiques

***Hz / Us :** 2334 ; ***Fait :** FS2334 ; ***TR :** 22 ; ***Type :** composite (combl. + creus.) ; ***ID :** fosse ; ***Loc :** Fenêtre 22-C ;

***Tech. :** non fouillé ; ***Z. sup. :** 82,80 ; ***Dim. en m (Ø ou L / l et/ou P) :** 2 ; > 1,4 ; ***Forme :** indéterminée, partiellement décapé
***Combl. :** LA brun gris, pierres et frags de tuiles erratiques

***Hz / Us :** 2335 ; ***Fait :** PO2335 ; ***TR :** 22 ; ***Type :** composite (combl. + creus.) ; ***ID :** trou de poteau ? ; ***Loc :** Fenêtre 22-C ; ***Tech. :** manuelle ; *** % :** 50 ; ***Z. sup. :** 82,85 ; ***Dim. en m (Ø ou L / l et/ou P) :** 0,35 ; 0,15 ; ***Forme :** circulaire ; ***Profil :** évasé fond plat
***Combl. :** LA gris brun, petits charbons épars, nodules rubéfiés erratiques

***Hz / Us :** 2336 ; ***Fait :** FT2336 ; ***TR :** 22 ; ***Type :** composite (combl. + creus.) ; ***ID :** creusement indéterminé ; ***Loc :** Fenêtre 22-C ; ***Tech. :** manuelle ; *** % :** 50 ; ***Z. sup. :** 82,85 ; ***Dim. en m (Ø ou L / l et/ou P) :** 0,35 ; 0,05 ; ***Forme :** circulaire ; ***Profil :** cuvette
***Combl. :** LA gris brun, petits charbons épars, nodules rubéfiés erratiques

***Hz / Us :** 2337 ; ***Fait :** FS2337 ; ***TR :** 22 ; ***Type :** composite (combl. + creus.) ; ***ID :** fosse ; ***Loc :** Fenêtre 22-C ; ***Tech. :** manuelle ; *** % :** ? ; ***Z. sup. :** 82,90 ; ***Dim. en m (Ø ou L / l et/ou P) :** 1,4 ; > 0,8 ; > 0,2 ; ***Forme :** indéterminée, partiellement décapé
***Combl. :** -2337-a : LA gris brun (ép. : 15 cm) ; ***Rel. indét. :** 2338
-2337-b : Vrac de petites pierres silico-calcaires

***Hz / Us :** 2338 ; ***Fait :** FS2338 ; ***TR :** 22 ; ***Type :** composite (combl. + creus.) ; ***ID :** fosse ; ***Loc :** Fenêtre 22-C ; ***Tech. :** manuelle ; *** % :** ? ; ***Z. sup. :** 82,90 ; ***Dim. en m (Ø ou L / l et/ou P) :** 1,2 ; > 0,2 ; ***Forme :** subcirculaire
***Combl. :** LA gris brun ; ***Sous :** 2339 ; ***Rel. indét. :** 2337, 2341

***Hz / Us :** 2339 ; ***Fait :** FS2339 ; ***TR :** 22 ; ***Type :** composite (combl. + creus.) ; ***ID :** fosse ; ***Loc :** Fenêtre 22-C ; ***Tech. :** non fouillé ; ***Z. sup. :** 82,90 ; ***Dim. en m (Ø ou L / l et/ou P) :** 0,8 ; 0,5 ; ***Forme :** ovalaire
***Combl. :** LA brun gris, petites pierres abondantes ; ***Sur :** 2338

***Hz / Us :** 2340 ; ***Fait :** FS2340 ; ***TR :** 22 ; ***Type :** composite (combl. + creus.) ; ***ID :** fosse ; ***Loc :** Fenêtre 22-C ; ***Tech. :** non fouillé ; ***Z. sup. :** 82,90 ; ***Dim. en m (Ø ou L / l et/ou P) :** 1 ? ; ***Forme :** indéterminée, partiellement décapé
***Combl. :** LA brun gris

***Hz / Us :** 2341 ; ***Fait :** FS2341 ; ***TR :** 22 ; ***Type :** composite (combl. + creus.) ; ***ID :** fosse ; ***Loc :** Fenêtre 22-C ; ***Tech. :** manuelle ; *** % :** 30 ; ***Z. sup. :** 82,90 ; ***Dim. en m (Ø ou L / l et/ou P) :** 0,7 ; 0,15 ; ***Forme :** circulaire, tronquée ; ***Profil :** cuvette
***Combl. :** LA brun gris, charbons erratiques ; ***Rel. indét. :** 2338

***Hz / Us :** 2342 ; ***Fait :** PO2342 ; ***TR :** 23 ; ***Type :** composite (combl. + creus.) ; ***ID :** trou de poteau ; ***Loc :** Ensemble de poteaux de la fenêtre 23-A ; ***Tech. :** non fouillé ; ***Z. sup. :** 83,00 ; ***Dim. en m (Ø ou L / l et/ou P) :** 0,4 ; ***Forme :** circulaire
***Combl. :** LA gris brun, charbons épars

***Hz / Us :** 2343 ; ***Fait :** PO2343 ; ***TR :** 23 ; ***Type :** composite (combl. + creus.) ; ***ID :** trou de poteau ; ***Loc :** Ensemble de poteaux de la fenêtre 23-A ; ***Tech. :** non fouillé ; ***Z. sup. :** 82,95 ; ***Dim. en m (Ø ou L / l et/ou P) :** 0,4 ; ***Forme :** circulaire
***Combl. :** LA brun, frags de grès chauffés et rubéfiés épars

***Hz / Us :** 2344 ; ***Fait :** FS2344 ; ***TR :** 23 ; ***Type :** composite (combl. + creus.) ; ***ID :** fosse ; ***Loc :** Liée à l'ensemble de poteaux de la fenêtre 23-A ? ; ***Tech. :** non fouillé ; ***Z. sup. :** 82,95 ; ***Dim. en m (Ø ou L / l et/ou P) :** 1,6 ; 0,9 ; ***Forme :** ovalaire
***Combl. :** LA gris brun, petits charbons erratiques, 1 tesson modelé

***Hz / Us :** 2345 ; ***Fait :** PO2345 ; ***TR :** 23 ; ***Type :** composite (combl. + creus.) ; ***ID :** trou de poteau ? ; ***Loc :** Ensemble de poteaux de la fenêtre 23-B ; ***Tech. :** non fouillé ; ***Z. sup. :** 82,85 ; ***Dim. en m (Ø ou L / l et/ou P) :** 0,55 ; ***Forme :** circulaire
***Combl. :** LA gris brun, petits charbons erratiques, tessons modelés

***Hz / Us :** 2346 ; ***Fait :** PO2346 ; ***TR :** 23 ; ***Type :** composite (combl. + creus.) ; ***ID :** trou de poteau ; ***Loc :** Ensemble de poteaux de la fenêtre 23-B ; ***Tech. :** non fouillé ; ***Z. sup. :** 82,85 ; ***Dim. en m (Ø ou L / l et/ou P) :** 0,4 ; ***Forme :** circulaire
***Combl. :** LA gris brun sombre, charbons erratiques

***Hz / Us :** 2347 ; ***Fait :** FS2347 ; ***TR :** 23 ; ***Type :** composite (combl. + creus.) ; ***ID :** fosse ; ***Loc :** Liée à l'ensemble de poteaux de la fenêtre 23-B ? ; ***Tech. :** non fouillé ; ***Z. sup. :** 82,85 ; ***Dim. en m (Ø ou L / l et/ou P) :** 0,7 ; 0,45 ; ***Forme :** ovalaire
***Combl. :** LA gris noirâtres, petits charbons et nodules rubéfiés épars à erratiques

***Hz / Us :** 2348 ; ***Fait :** PO2348 ; ***TR :** 23 ; ***Type :** composite (combl. + creus.) ; ***ID :** trou de poteau ; ***Loc :** Ensemble de poteaux de la fenêtre 23-B ; ***Tech. :** non fouillé ; ***Z. sup. :** 82,85 ; ***Dim. en m (Ø ou L / l et/ou P) :** 0,3 ; ***Forme :** circulaire
***Combl. :** LA gris brun sombre

***Hz / Us :** 2349 ; ***Fait :** FD2349 ; ***ENS :** MUR2077 ; ***TR :** 23 ; ***Type :** composite (combl. + creus.) ; ***ID :** fondation de mur ; ***Tech. :** non fouillé ; ***Z. sup. :** 82,90 ; ***Dim. en m (Ø ou L / l et/ou P) :** 4,5 ; 0,7 ; ***Forme :** linéaire
***Combl. :** Vrac de pierres silico-calcaires, de grès et de calcaire blanc (Ø < 0.3 m), cailloutis et LA brun interstitiel ; ***Egal. :** 2077, 2084, 2364

***Hz / Us :** 2350 ; ***Fait :** FO2350 ; ***ENS :** SFO2076 ; ***TR :** 23 ; ***Type :** composite (combl. + creus.) ; ***ID :** fossé ; ***Loc :** Fen23-C ; ***Tech. :** non fouillé ; ***Z. sup. :** 83,00 ; ***Dim. en m (Ø ou L / l et/ou P) :** 23 ; 1,5 ; ***Forme :** linéaire
***Combl. :** LA brun beige lég. bariolé, pots céramiques fragmentés gallo-romains épars ; ***Sous :** 2583 ; ***Egal. :** 2076, 2087, 2362 ***Rel. indét. :** 2351

***Hz / Us :** 2351 ; ***Fait :** FO2351 ; ***ENS :** SFO2079 ; ***TR :** 23 ; ***Type :** composite (combl. + creus.) ; ***ID :** fossé ; ***Tech. :** non fouillé ; ***Z. sup. :** 82,90 ; ***Dim. en m (Ø ou L / l et/ou P) :** 15 ; 1 ; ***Forme :** linéaire
***Combl. :** LA brun beige, lég. bariolé, pierres de grès erratiques à éparses ; ***Synch. :** 2080 ; ***Egal. :** 2079, 2083

***Hz / Us :** 2352 ; ***Fait :** FO2352 ; ***ENS :** SFO2081 ; ***TR :** 23 ; ***Type :** composite (combl. + creus.) ; ***ID :** fossé ; ***Tech. :** non fouillé ; ***Z. sup. :** 82,85 ; ***Dim. en m (Ø ou L / l et/ou P) :** 3,5 ; 1,4 ; ***Forme :** linéaire

***Combl. :** Pierres silico-calcaires et de grès abondantes (Ø < 0,4 m) et LA brun gris ; ***Synch. :** 2079 ; 2080 ; ***Egal. :** 2081, 2089, 2243, 2466

***Hz / Us :** 2353 ; ***Fait :** FS2353 ; ***TR :** 23 ; ***Type :** composite (combl. + creus.) ; ***ID :** fosse ; ***Tech. :** non fouillé ; ***Z. sup. :** 82,85 ; ***Dim. en m (Ø ou L / l et/ou P) :** 1,15 ; 0,85 ; ***Forme :** ovalaire
***Combl. :** LA brun gris, frags. rubéfiés épars

***Hz / Us :** 2354 ; ***Fait :** FS2354 ; ***TR :** 23 ; ***Type :** composite (combl. + creus.) ; ***ID :** fosse ; ***Tech. :** non fouillé ; ***Z. sup. :** 83,00 ; ***Dim. en m (Ø ou L / l et/ou P) :** 1,4 ; 0,7 ; ***Forme :** ovalaire
***Combl. :** LA brun beige, petits frags. rubéfiés épars à erratiques

***Hz / Us :** 2355 ; ***Fait :** PO2355 ; ***TR :** 23 ; ***Type :** composite (combl. + creus.) ; ***ID :** trou de poteau ? ; ***Tech. :** non fouillé ; ***Z. sup. :** 82,90 ; ***Dim. en m (Ø ou L / l et/ou P) :** 0,5 ; ***Forme :** circulaire
***Combl. :** LA brun beige, petits frags. rubéfiés et charbons épars à erratiques

***Hz / Us :** 2356 ; ***Fait :** FO2356 ; ***ENS :** SFO2005 ; ***TR :** 24 ; ***Type :** composite (combl. + creus.) ; ***ID :** fossé ; ***Tech. :** non fouillé ; ***Z. sup. :** 83,00 ; ***Dim. en m (Ø ou L / l et/ou P) :** 4,4 ; 1 ; ***Forme :** linéaire
***Combl. :** LA gris beige, bariolé rouille ; ***Egal. :** 2005, 2020, 2483, 2499

***Hz / Us :** 2357 ; ***Fait :** FO2357 ; ***TR :** 24 ; ***Type :** composite (combl. + creus.) ; ***ID :** fossé ; ***Tech. :** non fouillé ; ***Z. sup. :** 83,00 ; ***Dim. en m (Ø ou L / l et/ou P) :** 3,9 ; 0,7 ; ***Forme :** linéaire
***Combl. :** LA brun beige, lég. bariolé, cailloutis erratique ; ***Sur :** 2358

***Hz / Us :** 2358 ; ***Fait :** FO2358 ; ***TR :** 24 ; ***Type :** composite (combl. + creus.) ; ***ID :** fossé ; ***Tech. :** non fouillé ; ***Z. sup. :** 83,00 ; ***Dim. en m (Ø ou L / l et/ou P) :** 6,5 ; 0,9 ; ***Forme :** linéaire
***Combl. :** LA brun beige blanchi bariolé, petites pierres erratiques ; ***Sous :** 2357

***Hz / Us :** 2359 ; ***Fait :** FO2359 ; ***ENS :** SFO2073 ; ***TR :** 24 ; ***Type :** composite (combl. + creus.) ; ***ID :** fossé ; ***Tech. :** non fouillé ; ***Z. sup. :** 83,00 ; ***Dim. en m (Ø ou L / l et/ou P) :** 11,5 ; 1,3 ; ***Forme :** linéaire
***Combl. :** LA beige blanchi bariolé rouille, rares charbons ; ***Egal. :** 2073

***Hz / Us :** 2360 ; ***Fait :** FD2360 ; ***ENS :** MUR2007 ; ***TR :** 24 ; ***Type :** composite (combl. + creus.) ; ***ID :** fondation de mur ; ***Tech. :** non fouillé ; ***Z. sup. :** 83,05 ; ***Dim. en m (Ø ou L / l et/ou P) :** 4,2 ; 0,7 ; ***Forme :** linéaire
***Combl. :** 1 à 2 rangées de dalles silico-calcaires anguleuses à plat (Ø < 0,8 m), petites pierres et LA brun beige interstitiel ; ***Egal. :** 2007, 2067, 2486

***Hz / Us :** 2361 ; ***Fait :** FS2361 ; ***TR :** 24 ; ***Type :** composite (combl. + creus.) ; ***ID :** fosse ; ***Tech. :** non fouillé ; ***Z. sup. :** 82,85 ; ***Dim. en m (Ø ou L / l et/ou P) :** 1,6 ; 1,2 ; ***Forme :** ovalaire
***Combl. :** LA gris brun à gris sombre, petits charbons épars

***Hz / Us :** 2362 ; ***Fait :** FO2362 ; ***ENS :** SFO2076 ; ***TR :** 24 ; ***Type :** composite (combl. + creus.) ; ***ID :** fossé ; ***Tech. :** non fouillé ; ***Z. sup. :** 82,70 ; ***Dim. en m (Ø ou L / l et/ou P) :** 3 ; 0,7 ; ***Forme :** linéaire
***Combl. :** LA beige blanchi bariolé ; ***Egal. :** 2076, 2087, 2350

***Hz / Us :** 2363 ; ***Fait :** FO2363 ; ***ENS :** SFO2011 ; ***TR :** 24 ; ***Type :** composite (combl. + creus.) ; ***ID :** fossé ; ***Tech. :** non fouillé ; ***Z. sup. :** 82,95 ; ***Dim. en m (Ø ou L / l et/ou P) :** 6,8 ; 1,25 ; ***Forme :** linéaire
***Combl. :** LA gris beige à beige ; ***Egal. :** 2011, 2487

***Hz / Us :** 2364 ; ***Fait :** FD2364 ; ***ENS :** MUR2077 ; ***TR :** 24 ; ***Type :** composite (combl. + creus.) ; ***ID :** fondation de mur ; ***Tech. :** non fouillé ; ***Z. sup. :** 83,00 ; ***Dim. en m (Ø ou L / l et/ou P) :** 4,2 ; 0,8 ; ***Forme :** linéaire
***Combl. :** Vrac de pierres silico-calcaires, de grès et calcaire blanc (Ø < 0,4 m), cailloutis et LA brun interstitiel ; ***Egal. :** 2077, 2084, 2349

***Hz / Us :** 2365 ; ***Fait :** FO2365 ; ***ENS :** SFO2013 ; ***TR :** 24 ; ***Type :** composite (combl. + creus.) ; ***ID :** fossé ; ***Tech. :** non fouillé ; ***Z. sup. :** 82,95 ; ***Dim. en m (Ø ou L / l et/ou P) :** 5 ; 2,4 ; ***Forme :** linéaire
***Combl. :** LA beige à blanchi, lég. bariolé, cailloutis et frags de tuiles erratiques ; ***Egal. :** 2013, 2666 ?

***Hz / Us :** 2466 ; ***Fait :** FO2466 ; ***ENS :** SFO2081 ; ***TR :** 24 ; ***Type :** composite (combl. + creus.) ; ***ID :** fossé / fondation de mur ? ; ***Tech. :** non fouillé ; ***Z. sup. :** 82,90 ; ***Dim. en m (Ø ou L / l et/ou P) :** 3,2 ; 1,2 ; ***Forme :** linéaire
***Combl. :** Bande de dalles de pierres plates et de pierres silico-calcaires (Ø < 0.3 m), LA brun beige interstitiel ; ***Synch. :** 2079 ; 2080 ; ***Egal. :** 2081, 2089, 2243 2352

***Hz / Us :** 2467 ; ***Fait :** FO2467 ; ***TR :** 24 ; ***Type :** composite (combl. + creus.) ; ***ID :** fossé ; ***Tech. :** non fouillé ; ***Z. sup. :** 82,80 ; ***Dim. en m (Ø ou L / l et/ou P) :** 4,5 ; 0,85 ; ***Forme :** linéaire
***Combl. :** LA brun beige lég. bariolé ; ***Synch. :** 2677 ? ; ***Egal. :** 2677 ?

***Hz / Us :** 2468 ; ***Fait :** FO2468 ; ***TR :** 25 ; ***Type :** composite (combl. + creus.) ; ***ID :** fossé ; ***Tech. :** non fouillé ; ***Z. sup. :** 83,25 ; ***Dim. en m (Ø ou L / l et/ou P) :** 4,6 ; 1,4 ; ***Forme :** linéaire
***Combl. :** LA brun beige ; ***Synch. :** 2358 ? ; ***Egal. :** 2358 ?

***Hz / Us :** 2469 ; ***Fait :** FO2469 ; ***TR :** 25 ; ***Type :** composite (combl. + creus.) ; ***ID :** fossé ; ***Tech. :** non fouillé ; ***Z. sup. :** 83,20 ; ***Dim. en m (Ø ou L / l et/ou P) :** 4,5 ; 0,6 ; ***Forme :** linéaire
***Combl. :** LA beige blanchi bariolé. Equiv. / synch. avec le fossé n°157 de MAURY 2009 ?

***Hz / Us :** 2470 ; ***Fait :** FO2470 ; ***TR :** 25 ; ***Type :** composite (combl. + creus.) ; ***ID :** fossé ; ***Tech. :** non fouillé ; ***Z. sup. :** 83,15 ; ***Dim. en m (Ø ou L / l et/ou P) :** 5,1 ; 0,35 ; ***Forme :** linéaire
***Combl. :** LA gris beige, lég. bariolé. Equiv. / synch. avec le fossé n°156 de MAURY 2009 ? ; ***Egal. :** 2018

***Hz / Us :** 2471 ; ***Fait :** PO2471 ; ***TR :** 02 ; ***Type :** composite (combl. + creus.) ; ***ID :** trou de poteau ; ***Loc :** Ensemble de poteaux de la fenêtre 02-A ; ***Tech. :** non fouillé ; ***Z. sup. :** 83,15 ; ***Dim. en m (Ø ou L / l et/ou P) :** 0,45 ; ***Forme :** circulaire
***Combl. :** LA brun gris, charbons et nodules rubéfiés erratiques

***Hz / Us :** 2472 ; ***Fait :** PO2472 ; ***TR :** 02 ; ***Type :** composite (combl. + creus.) ; ***ID :** trou de poteau ; ***Loc :**

Ensemble de poteaux de la fenêtre 02-A ; ***Tech. :** non fouillé ; ***Z. sup. :** 83,20 ; ***Dim. en m (Ø ou L / l et/ou P) :** 0,55 ; ***Forme :** circulaire
***Combl. :** LA brun gris, charbons et nodules rubéfiés erratiques

***Hz / Us :** 2473 ; ***Fait :** PO2473 ; ***TR :** 02 ; ***Type :** composite (combl. + creus.) ; ***ID :** trou de poteau ; ***Loc :** Ensemble de poteaux de la fenêtre 02-A ; ***Tech. :** non fouillé ; ***Z. sup. :** 83,15 ; ***Dim. en m (Ø ou L / l et/ou P) :** 0,55 ; ***Forme :** circulaire
***Combl. :** LA brun gris, charbons et nodules rubéfiés erratiques

***Hz / Us :** 2474 ; ***Fait :** PO2474 ; ***TR :** 02 ; ***Type :** composite (combl. + creus.) ; ***ID :** trou de poteau ; ***Loc :** Ensemble de poteaux de la fenêtre 02-A ; ***Tech. :** manuelle ; *** % :** 50 ; ***Z. sup. :** 83,15 ; ***Dim. en m (Ø ou L / l et/ou P) :** 0,8 ; 0,25 ; ***Forme :** circulaire ; ***Profil :** cuvette
***Combl. :** LA gris foncé, charbons épars, 1 tesson modelé

***Hz / Us :** 2475 ; ***Fait :** FS2475 ; ***TR :** 02 ; ***Type :** composite (combl. + creus.) ; ***ID :** fosse ; ***Loc :** Liée à l'ensemble de poteaux de la fenêtre 02-A ? ; ***Tech. :** non fouillé ; ***Z. sup. :** 83,10 ; ***Dim. en m (Ø ou L / l et/ou P) :** 1 ; 0,45 ; ***Forme :** circulaire ; ***Profil :** cuvette
***Combl. :** LA brun gris, charbons et nodules rubéfiés erratiques

***Hz / Us :** 2476 ; ***Fait :** PO2476 ; ***TR :** 02 ; ***Type :** composite (combl. + creus.) ; ***ID :** trou de poteau ; ***Loc :** Ensemble de poteaux de la fenêtre 02-A ; ***Tech. :** non fouillé ; ***Z. sup. :** 83,15 ; ***Dim. en m (Ø ou L / l et/ou P) :** 0,45 ; ***Forme :** circulaire
***Combl. :** LA brun gris, charbons erratiques, pierres silico-calcaires éparses

***Hz / Us :** 2477 ; ***Fait :** PO2477 ; ***TR :** 02 ; ***Type :** composite (combl. + creus.) ; ***ID :** trou de poteau ; ***Loc :** Ensemble de poteaux de la fenêtre 02-A ; ***Tech. :** non fouillé ; ***Z. sup. :** 83,15 ; ***Dim. en m (Ø ou L / l et/ou P) :** 0,45 ; ***Forme :** circulaire
***Combl. :** LA brun gris, charbons et nodules rubéfiés erratiques

***Hz / Us :** 2478 ; ***Fait :** PO2478 ; ***TR :** 02 ; ***Type :** composite (combl. + creus.) ; ***ID :** trou de poteau ; ***Loc :** Ensemble de poteaux de la fenêtre 02-A ; ***Tech. :** non fouillé ; ***Z. sup. :** 83,15 ; ***Dim. en m (Ø ou L / l et/ou P) :** 0,45 ; ***Forme :** circulaire
***Combl. :** LA brun gris, charbons et nodules rubéfiés erratiques

***Hz / Us :** 2479 ; ***Fait :** PO2479 ; ***TR :** 02 ; ***Type :** composite (combl. + creus.) ; ***ID :** trou de poteau ; ***Loc :** Ensemble de poteaux de la fenêtre 02-A ; ***Tech. :** non fouillé ; ***Z. sup. :** 83,15 ; ***Dim. en m (Ø ou L / l et/ou P) :** 0,65 ; ***Forme :** circulaire
***Combl. :** LA brun gris, charbons et nodules rubéfiés erratiques

***Hz / Us :** 2480 ; ***Fait :** PO2480 ; ***TR :** 02 ; ***Type :** composite (combl. + creus.) ; ***ID :** trou de poteau ; ***Loc :** Ensemble de poteaux de la fenêtre 02-A ; ***Tech. :** non fouillé ; ***Z. sup. :** 83,10 ; ***Dim. en m (Ø ou L / l et/ou P) :** 0,75 ; ***Forme :** circulaire
***Combl. :** LA gris beige, pierres de grès abondantes, charbons épars

***Hz / Us :** 2481 ; ***Fait :** FO2481 ; ***ENS :** SFO2003 ; ***TR :** 25 ; ***Type :** composite (combl. + creus.) ; ***ID :** fossé ; ***Loc :** Fenêtre 25-A ; ***Tech. :** non fouillé ; ***Z. sup. :** 83,10 ; ***Dim. en m (Ø ou L / l et/ou P) :** 36,3 ; 1,5 ; ***Forme :** circulaire
***Combl. :** LA gris beige à beige bariolé, cailloutis silico-calcire épars. En TR25, plage de gros charbons épars ; ***Egal. :** 2003
***Rel. indét. :** 2022

***Hz / Us :** 2482 ; ***Fait :** FD2482 ; ***ENS :** MUR2004 ; ***TR :** 25 ; ***Type :** composite (combl. + creus.) ; ***ID :** fondation de mur ; ***Tech. :** non fouillé ; ***Z. sup. :** 83,10 ; ***Dim. en m (Ø ou L / l et/ou P) :** 4,2 ; 1 ; ***Forme :** linéaire
***Combl. :** Vrac de pierres silico-calcaires anguleuses et de grés (Ø < 0,4 m), LA gris brun interstitiel ; ***Egal. :** 2004 2019

***Hz / Us :** 2483 ; ***Fait :** FO2483 ; ***ENS :** SFO2005 ; ***TR :** 25 ; ***Type :** composite (combl. + creus.) ; ***ID :** fossé ; ***Tech. :** non fouillé ; ***Z. sup. :** 83,05 ; ***Dim. en m (Ø ou L / l et/ou P) :** 4,2 ; 1,3 ; ***Forme :** linéaire
***Combl. :** LA gris beige bariolé ; ***Sur :** 2023 ; ***Egal. :** 2005, 2020, 2356, 2499

***Hz / Us :** 2484 ; ***Fait :** FO2484 ; ***ENS :** SFO2009 ; ***TR :** 25 ; ***Type :** composite (combl. + creus.) ; ***ID :** fossé ; ***Loc :** TR02 et Fen25-A ; ***Tech. :** non fouillé ; ***Z. sup. :** 82,95 ; ***Dim. en m (Ø ou L / l et/ou P) :** 6,5 ; 1,3 ; ***Forme :** linéaire
***Combl. :** LA beige bariolé ; ***Egal. :** 2009 2022

***Hz / Us :** 2485 ; ***Fait :** FO2485 ; ***ENS :** SFO2010 ; ***TR :** 25 ; ***Type :** composite (combl. + creus.) ; ***ID :** fossé ; ***Tech. :** non fouillé ; ***Z. sup. :** 83,00 ; ***Dim. en m (Ø ou L / l et/ou P) :** 5,5 ; 1 ; ***Forme :** linéaire
***Combl. :** LA beige foncé, petites pierres éparses ; ***Sous :** 2486 ; ***Egal. :** 2010, 2023, 2497

***Hz / Us :** 2486 ; ***Fait :** FD2486 ; ***ENS :** MUR2007 ; ***TR :** 25 ; ***Type :** composite (combl. + creus.) ; ***ID :** fondation de mur ; ***Tech. :** non fouillé ; ***Z. sup. :** 83,00 ; ***Dim. en m (Ø ou L / l et/ou P) :** 4,5 ; 0,7 ; ***Forme :** linéaire
***Combl. :** Pierres silico-calcaires anguleuses à plat (Ø < 0,3 m), petites pierres et LA brun beige interstitiel ; ***Egal. :** 2007 2067 2360

***Hz / Us :** 2487 ; ***Fait :** FO2487 ; ***ENS :** SFO2011 ; ***TR :** 25 ; ***Type :** composite (combl. + creus.) ; ***ID :** fossé ; ***Tech. :** non fouillé ; ***Z. sup. :** 82,95 ; ***Dim. en m (Ø ou L / l et/ou P) :** 6 ; 0,75 ; ***Forme :** linéaire
***Combl. :** LA beige blanchi bariolé rouille ; ***Egal. :** 2011 2363

***Hz / Us :** 2488 ; ***Fait :** SD2488 ; ***TR :** 11 ; ***Type :** technique ; ***ID :** sondage ; ***Tech. :** mécanique ; ***Z. sup. :** 84,55 ; ***Dim. en m (Ø ou L / l et/ou P) :** 1,9
***Combl. :** Sondage "paléo." : étude par Sophie Clément
-1 - Terre végétale (30 cm)
-2 - Limon brun argileux grumeleux, structure polyédrique, homogène et peu compact (30 cm)
-3 - Limon brun beige argilo-sableux hétérogène et très compact, avec micro-charbons (mm), structure polyèdrique (50 cm)
-4 - Limon beige jaune sablo-argileux hétérogène compact avec nodules de Mn, qq graviers (mm), conduits racinaires de la couches du dessus (50 cm)
-5 - Limon orange/rouge argilo-sableux hétérogène et compact, avec tâches brun/beige, conduits racinaires de la couche du dessus (20 cm)
-6 - Limon jaune orangé sablo-argileux, avec tâches brun/beige, compact, silex taillés (30 cm)
-7 - Début de réseau de fentes métriques et décimétriques
-8 - Sables stampiens beige et brun lités, feuilletés, blocs de grès décimétriques (??)

***Hz / Us :** 2489 ; ***Fait :** SD2489 ; ***TR :** 26 ; ***Type :** technique ; ***ID :** sondage ; ***Tech. :** mécanique ; ***Z. sup. :** 85,85 ; ***Dim. en m (Ø ou L / l et/ou P) :** 1,2

***Combl. :** Sondage "paléo." : étude par Sophie Clément
-1 - Terre végétale (40 cm)
-2 - Limon brun argilo-sableux, grumeleux, compact avec nodules de Mn, microporosité (30 cm)
-3 - Blocs de grès métriques et décimétriques
-4 - Limon jaune orangé brun/beige argileux sableux compact hétérogène, beaucoup de nodules de Mn (20 cm)
-5 - Cailloutis centimétriques et millimétriques
-6 - Limon orangé rouge argilo-sableux compact hétérogène avec tâches brun/beige, conduits racinaires de la couche du dessus (20 cm)
-7 - Blocs de grès métriques et décimétriques
-8 - Limon orangé sableux argileux avec tâches brun/beige compact hétérogène, conduits racinaires de la couche 4. Silex taillés (20 cm)
-9 - Sables stampiens orangé, beige, jaune (??)

***Hz / Us :** 2490 ; ***Fait :** SD2490 ; ***TR :** 12 ; ***Type :** technique ; ***ID :** sondage ; ***Tech. :** mécanique ; ***Z. sup. :** 85,85 ; ***Dim. en m (Ø ou L / l et/ou P) :** 1,8
***Combl. :** Sondage "paléo." : étude par Sophie Clément
-1 - Terre végétale (40 cm)
-2 - Limon brun argileux grumeleux peu compact avec nodules de Mn, microporosité (35 cm)
-3 - Limon brun beige argileux avec nodules de Mn, Fe oxydé, très compact, polyédrique, Blocs de grès décimétriques (15 cm)
-4 - Limon brun/jaune/beige argileux avec beaucoup de nodules de Mn, hétérogène, compact, polyédrique, Blocs de grès décimétriques (30 cm)
-5 - Ligne de cailloutis centimétriques
-6 - Limon orangé/rouge/beige/brun argilo-sableux très compact avec conduits racinaires de la couche du dessus. Un silex taillé à la base (40 cm)
-7 - Limon sablo argileux orangé/jaune/beige compact avec qq cailloutis (cm). (30 cm)
-8 - Sables stampiens orangés lités et feuilletés (??)

***Hz / Us :** 2491 ; ***Fait :** SD2491 ; ***TR :** 10 ; ***Type :** technique ; ***ID :** sondage ; ***Tech. :** mécanique ; ***Z. sup. :** 85,35 ; ***Dim. en m (Ø ou L / l et/ou P) :** 1,6
***Combl. :** Sondage "paléo." : étude par Sophie Clément
-1 - Terre végétale (30 cm)
-2 - Limon brun argileux grumeleux peu compact avec gros blocs de grès métriques, nodules de Mn (50 cm)
-3 - Limon rouge/bordeaux/beige/brun argilo sableux compact hétérogène, avec beaucoup de cailloutis (cm) (10 cm)
-4 - Limon orangé rouge/beige/jaune argilo sableux très compact. Conduits racinaires de la couche du dessus en forme de S (niveau compressé ?). Beaucoup de cailloutis (cm) (50 cm)
-5 - Sables stampiens jaunes orangés lités et feuilletés (??)

***Hz / Us :** 2492 ; ***Fait :** FO2492 ; ***TR :** 25 ; ***Type :** composite (combl. + creus.) ; ***ID :** fossé ; ***Tech. :** non fouillé ; ***Z. sup. :** 82,65 ; ***Dim. en m (Ø ou L / l et/ou P) :** > 5,2 ; 0,8 ; ***Forme :** linéaire
***Combl. :** LA beige, charbons épars ; ***Synch. :** 2493 ? ; 2575 ?

***Hz / Us :** 2493 ; ***Fait :** FO2493 ; ***TR :** 25 ; ***Type :** composite (combl. + creus.) ; ***ID :** fossé ; ***Tech. :** non fouillé ; ***Z. sup. :** 82,65 ; ***Dim. en m (Ø ou L / l et/ou P) :** > 5 ; 0,7 ; ***Forme :** linéaire
***Combl. :** LA gris beige ; ***Synch. :** 2492 ? ; 2575 ?

***Hz / Us :** 2494 ; ***Fait :** FO2494 ; ***ENS :** SFO2026 ; ***TR :** 25 ; ***Type :** composite (combl. + creus.) ; ***ID :** fossé ; ***Tech. :** non fouillé ; ***Z. sup. :** 83,50 ; ***Dim. en m (Ø ou L / l et/ou P) :** 45 ; > 1 ; ***Forme :** linéaire
***Combl. :** Fossé contemporain encore "ouvert" et partiellement empierré au contact avec la mare du Champtier du Chêne Mort ; Remblais de limons beiges à gris, plages charbonneuses ;
***Egal. :** 2026 2502

***Hz / Us :** 2495 ; ***Fait :** FO2495 ; ***TR :** 25 ; ***Type :** composite (combl. + creus.) ; ***ID :** fossé ; ***Tech. :** non fouillé ; ***Z. sup. :** 82,95 ; ***Dim. en m (Ø ou L / l et/ou P) :** > 5 ; 1 ; ***Forme :** linéaire
***Combl. :** LA gris beige ; ***Synch. :** 2503 ? ; ***Egal. :** 2503 ?

***Hz / Us :** 2496 ; ***Fait :** FT2496 ; ***TR :** 25 ; ***Type :** composite (combl. + creus.) ; ***ID :** creusement indéterminé ; ***Tech. :** non fouillé ; ***Z. sup. :** 83,00 ; ***Dim. en m (Ø ou L / l et/ou P) :** 0,55 ; ***Forme :** circulaire
***Combl. :** LA gris beige, bariolé de manganèse

***Hz / Us :** 2497 ; ***Fait :** FO2497 ; ***ENS :** SFO2010 ; ***TR :** 27 ; ***Type :** composite (combl. + creus.) ; ***ID :** fossé ; ***Tech. :** non fouillé ; ***Z. sup. :** 83,10 ; ***Dim. en m (Ø ou L / l et/ou P) :** 7 ; 0,8 ; ***Forme :** linéaire
***Combl. :** LA gris beige, frags. de tuiles erratiques ; ***Egal. :** 2010 2023 2485

***Hz / Us :** 2498 ; ***TR :** 27 ; ***Type :** ramassage mobilier ; ***ID :** pièce lithique ; ***Z. sup. :** 82,95 ;
***Combl. :**

***Hz / Us :** 2499 ; ***Fait :** FO2499 ; ***ENS :** SFO2005 ; ***TR :** 27 ; ***Type :** composite (combl. + creus.) ; ***ID :** fossé ; ***Tech. :** non fouillé ; ***Z. sup. :** 82,85 ; ***Dim. en m (Ø ou L / l et/ou P) :** 3,5 ; 1 ; ***Forme :** linéaire
***Combl. :** LA gris brun ; ***Egal. :** 2005 2020 2356 2483

***Hz / Us :** 2500 ; ***Fait :** FO2500 ; ***TR :** 27 ; ***Type :** composite (combl. + creus.) ; ***ID :** fossé ; ***Tech. :** non fouillé ; ***Z. sup. :** 83,00 ; ***Dim. en m (Ø ou L / l et/ou P) :** > 3,5 ; 0,5 ; ***Forme :** linéaire
***Combl. :** LA gris beige ; ***Sous :** 2501

***Hz / Us :** 2501 ; ***Fait :** FS2501 ; ***TR :** 27 ; ***Type :** composite (combl. + creus.) ; ***ID :** fosse ; ***Tech. :** non fouillé ; ***Z. sup. :** 82,90 ; ***Dim. en m (Ø ou L / l et/ou P) :** > 2,2 ; 1,4 ; ***Forme :** irrégulière
***Combl. :** Fosse irrégulière contemporaine, LA brun à charbonneux, frags de tuiles, de céramique et ferreux ; ***Sous :** 2501

***Hz / Us :** 2502 ; ***Fait :** FO2502 ; ***ENS :** SFO2026 ; ***TR :** 27 ; ***Type :** composite (combl. + creus.) ; ***ID :** fossé ; ***Tech. :** non fouillé ; ***Z. sup. :** 82,60 ; ***Dim. en m (Ø ou L / l et/ou P) :** 4,5 ; 1,8 ; ***Forme :** linéaire
***Combl. :** Fossé contemporain ; LA brun gris, pierres éparses ;
***Egal. :** 2026 2494

***Hz / Us :** 2503 ; ***Fait :** FO2503 ; ***TR :** 27 ; ***Type :** composite (combl. + creus.) ; ***ID :** fossé ; ***Tech. :** non fouillé ; ***Z. sup. :** 82,70 ; ***Dim. en m (Ø ou L / l et/ou P) :** > 6 ; 0,8 ; ***Forme :** linéaire
***Combl. :** LA brun beige bariolé rouille ; ***Egal. :** 2034 ?

***Hz / Us :** 2504 ; ***Fait :** FO2504 ; ***ENS :** SFO2038 ; ***TR :** 27 ; ***Type :** composite (combl. + creus.) ; ***ID :** fossé ; ***Tech. :** non fouillé ; ***Z. sup. :** 82,75 ; ***Dim. en m (Ø ou L / l et/ou P) :** 4 ; 0,55 ; ***Forme :** linéaire
***Combl. :** LA brun gris ; ***Egal. :** 2038

***Hz / Us :** 2505 ; ***TR :** 28 ; ***Type :** ramassage mobilier ; ***ID :** pièce lithique ; ***Z. sup. :** 82,85 ;
***Combl. :**

***Hz / Us :** 2506 ; ***TR :** 28 ; ***Type :** ramassage mobilier ;
***ID :** pièce lithique ; ***Z. sup. :** 82,65 ;
***Combl. :**

***Hz / Us :** 2507 ; ***Fait :** FO2507 ; ***ENS :** SFO2006 ; ***TR :** 28 ; ***Type :** composite (combl. + creus.) ; ***ID :** fossé ; ***Tech. :** non fouillé ; ***Z. sup. :** 82,60 ; ***Dim. en m (Ø ou L / l et/ou P) :** 5 ; 1,9 ; ***Forme :** linéaire
***Combl. :** LA gris bariolé de manganèse, charbons épars, pierres erratiques ; ***Synch. :** 2006 ? ; 2024 ? ; ***Egal. :** 2035

***Hz / Us :** 2508 ; ***Fait :** FO2508 ; ***ENS :** SFO2049 ; ***TR :** 28 ; ***Type :** composite (combl. + creus.) ; ***ID :** fossé ; ***Tech. :** non fouillé ; ***Z. sup. :** 82,70 ; ***Dim. en m (Ø ou L / l et/ou P) :** 10 ; 1,2 ; ***Forme :** linéaire
***Combl. :** LA beige à gris clair, pierres silico-calcaires erratiques ; ***Egal. :** 2049 ***Rel. indét. :** 2055

***Hz / Us :** 2509 ; ***Fait :** FO2509 ; ***ENS :** SFO2051 ; ***TR :** 28 ; ***Type :** composite (combl. + creus.) ; ***ID :** fossé ; ***Tech. :** non fouillé ; ***Z. sup. :** 82,50 ; ***Dim. en m (Ø ou L / l et/ou P) :** 7,5 ; 1,4 ; ***Forme :** linéaire
***Combl. :** LA gris clair, lég. bariolé de manganèse ; ***Egal. :** 2043 ? 2051, 2512 ***Rel. indét. :** 2670

***Hz / Us :** 2510 ; ***Fait :** FS2510 ; ***TR :** 29 ; ***Type :** composite (combl. + creus.) ; ***ID :** fosse ; ***Tech. :** manuelle ; *** % :** 100 ; ***Z. sup. :** 83,05 ; ***Dim. en m (Ø ou L / l et/ou P) :** 1 ; 0,1 ; ***Forme :** circulaire ; ***Profil :** cuvette
***Combl. :** LA beige à gris clair, tessons modelés grossiers abondants

***Hz / Us :** 2511 ; ***TR :** 29 ; ***Type :** ramassage mobilier ;
***ID :** pièce lithique ; ***Z. sup. :** 82,75 ;
***Combl. :**

***Hz / Us :** 2512 ; ***Fait :** FO2512 ; ***ENS :** SFO2051 ; ***TR :** 29 ; ***Type :** composite (combl. + creus.) ; ***ID :** fossé ; ***Tech. :** non fouillé ; ***Z. sup. :** 82,80 ; ***Dim. en m (Ø ou L / l et/ou P) :** 10,7 ; 2,2 ; ***Forme :** linéaire
***Combl. :** LA brun gris, pierres et nodules de céramique modelée erratiques ; ***Egal. :** 2043 ? 2051 2509

***Hz / Us :** 2513 ; ***Fait :** FS2513 ; ***TR :** 29 ; ***Type :** composite (combl. + creus.) ; ***ID :** fosse ; ***Loc :** Fenêtre 29-A ; ***Tech. :** manuelle ; *** % :** 100 ; ***Z. sup. :** 82,90 ; ***Dim. en m (Ø ou L / l et/ou P) :** 1,9 ; 1,35 ; 0,25 ; ***Forme :** ovalaire ; ***Profil :** évasé fond plat
***Combl. :** -2513-1 : LA gris à noirâtre charbonneux, petites pierres chauffées, tessons modelés et frags de faune épars
-2513-2 : LA brun gris. ; ; Encaissants : ; I : LA brun orangé. ; II : AL brun jaunâtre

***Hz / Us :** 2514 ; ***Fait :** FS2514 ; ***TR :** 29 ; ***Type :** composite (combl. + creus.) ; ***ID :** fosse ; ***Loc :** Fenêtre 29-A ; ***Tech. :** méc. + man ; *** % :** 40 ? ; ***Z. sup. :** 82,95 ; ***Dim. en m (Ø ou L / l et/ou P) :** 1,5 ; > 1,2 ; ***Forme :** circulaire ; ***Profil :** vertical fond arrondi
***Combl. :** -2514-1 : LA gris à noirâtre charbonneux, petites pierres chauffées, tessons modelés et frags de faune épars à erratiques
-2514-2 : LA gris sombre, charbons épars, petites mottes brunes erratiques, tessons modelés et frags de faune épars à erratiques
-2513-3 : Mottes de LA charbonneux et frags. rubéfiés, cailloutis épars à abondant, tessons modelés et frags de faune épars à erratiques
-2514-4 : LA gris brun, charbons épars, petites mottes brunes erratiques, tessons modelés et frags de faune erratiques
-2514-5 : Remblai de mottes de LA brun à brun gris, charbons épars à erratiques, tessons modelés et frags de faune erratiques
-Fond de la fosse non atteint (+ 120 cm). ; ; Encaissants : (depuis niveau de décapage) ; I : (-0-25 cm) LA brun orangé. ; II : (25-40 cm) AL brun jaunâtre ; III : (40-70 cm) ALS jaunâtre et cailloutis pierres silico-calcaires éparses. ; IV : (70-120) SA blanchâtre et plages de rouille, cailloutis/concrétions calcaires éparses
-120 cm : fond sondage 2665

***Hz / Us :** 2515 ; ***Fait :** FC2515 ; ***TR :** 29 ; ***Type :** composite (combl. + creus.) ; ***ID :** fosse complexe ; ***Loc :** Fenêtre 29-B ; ***Tech. :** manuelle ; *** % :** 25 ; ***Z. sup. :** 82,80 ; ***Dim. en m (Ø ou L / l et/ou P) :** 3,5 ; 2,8 ; 0,65 ; ***Forme :** polylobée ; ***Profil :** irrégulier
***Combl. :** Fosse complexe 2515 avec au moins deux subdivisions : 2597 et 2598.
-2515-1 : LA gris, petites mottes beige et charbons épars.
-2515-2 : LA gris foncé, charbons abondants, frags rubéfiés erratiques à abondants par endroits, petites pierres erratiques
-2155-3 : LA beige à lég. gris clair (remblai d'encaissant remanié).
-2515-4 : LA gris clair et fragments rubéfiés épars.
-2125-5 : Mottes de LA brun à beige orangé (remblai d'encaissant remanié).
-2125-6 : Liseré de petites mottes jaunâtres (II remanié)
-2515-7 : Creusement
-2597-A : Mottes de LA brun à beige orangé (remblai d'encaissant remanié).
-2597-B : Creusement
-2598-a : LA beige à lég. gris clair (remblai d'encaissant remanié).
-2598-b : Creusement
-Encaissants :
I : Limon argileux brun orangé
II : Limon argileux jaunâtre
III : Petites pierres silico-calcaires
anguleuses dans argile
brun jaunâtre
***Egal. :** 2597 ; 2598

***Hz / Us :** 2516 ; ***Fait :** PO2516 ; ***TR :** 29 ; ***Type :** composite (combl. + creus.) ; ***ID :** trou de poteau ; ***Tech. :** non fouillé ; ***Z. sup. :** 82,70 ; ***Dim. en m (Ø ou L / l et/ou P) :** 0,35 ; ***Forme :** circulaire
***Combl. :** LA brun gris, charbons erratiques

***Hz / Us :** 2517 ; ***Fait :** FO2517 ; ***ENS :** SFO2064 ; ***TR :** 29 ; ***Type :** composite (combl. + creus.) ; ***ID :** fossé ; ***Tech. :** non fouillé ; ***Z. sup. :** 82,60 ; ***Dim. en m (Ø ou L / l et/ou P) :** 3,2 ; 1,2 ; ***Forme :** linéaire
***Combl. :** LA brun gris, pierres silico-calcaires erratiques ;
***Egal. :** 2064

***Hz / Us :** 2518 ; ***Fait :** FT2518 ; ***TR :** 29 ; ***Type :** composite (combl. + creus.) ; ***ID :** creusement indéterminé ; ***Tech. :** non fouillé ; ***Z. sup. :** 82,60 ; ***Dim. en m (Ø ou L / l et/ou P) :** 8 ; > 3 ; ***Forme :** indéterminée, partiellement décapé
***Combl. :** LA gris hydromorphe bariolé manganèse

***Hz / Us :** 2519 ; ***Fait :** PO2519 ; ***TR :** 29 ; ***Type :** composite (combl. + creus.) ; ***ID :** trou de poteau ; ***Loc :** Fenêtre 29-B ; ***Tech. :** non fouillé ; ***Z. sup. :** 82,60 ; ***Dim. en m (Ø ou L / l et/ou P) : *Forme :** circulaire
***Combl. :** LA gris brun, petits charbons erratiques

***Hz / Us :** 2520 ; ***Fait :** FO2520 ; ***TR :** 29 ; ***Type :** composite (combl. + creus.) ; ***ID :** fossé ; ***Tech. :** non fouillé ;

***Z. sup. :** 82,40 ; ***Dim. en m (Ø ou L / l et/ou P) :** > 5,5 ; 1,75 ; ***Forme :** linéaire
***Combl. :** LA brun beige bariolé manganèse ; ***Synch. :** 2680 ? ; ***Egal. :** 2680 ? ***Rel. indét. :** 2521

***Hz / Us :** 2521 ; ***Fait :** FO2521 ; ***ENS :** SFO2036 ; ***TR :** 05 et 29 ; ***Type :** composite (combl. + creus.) ; ***ID :** fossé ; ***Tech. :** non fouillé ; ***Z. sup. :** 82,50 ; ***Dim. en m (Ø ou L / l et/ou P) :** 30,6 ; 1,3 ; ***Forme :** linéaire
***Combl. :** LA brun ; ***Synch. :** 2036 ; 2170 ? ; ***Egal. :** 2054 ***Rel. indét. :** 2520

***Hz / Us :** 2522 ; ***Fait :** FO2522 ; ***ENS :** SFO2056 ; ***TR :** 29 ; ***Type :** composite (combl. + creus.) ; ***ID :** fossé ; ***Tech. :** non fouillé ; ***Z. sup. :** 82,40 ; ***Dim. en m (Ø ou L / l et/ou P) :** 3,2 ; 1,2 ; ***Forme :** linéaire
***Combl. :** LA brun beige à gris clair bariolé manganèse ; ***Egal. :** 2056 2670 ?

***Hz / Us :** 2523 ; ***Fait :** PO2523 ; ***TR :** 05 ; ***Type :** composite (combl. + creus.) ; ***ID :** trou de poteau ; ***Tech. :** non fouillé ; ***Z. sup. :** 82,55 ; ***Dim. en m (Ø ou L / l et/ou P) :** 0,4 ; ***Forme :** circulaire
***Combl. :** LA gris brun

***Hz / Us :** 2524 ; ***Fait :** PO2524 ; ***TR :** 05 ; ***Type :** composite (combl. + creus.) ; ***ID :** trou de poteau ; ***Tech. :** non fouillé ; ***Z. sup. :** 82,60 ; ***Dim. en m (Ø ou L / l et/ou P) :** 0,35 ; ***Forme :** circulaire
***Combl. :** LA gris brun

***Hz / Us :** 2525 ; ***Fait :** PO2525 ; ***TR :** 05 ; ***Type :** composite (combl. + creus.) ; ***ID :** trou de poteau ; ***Loc :** Ensemble de poteaux de la fenêtre 05-A ; ***Tech. :** non fouillé ; ***Z. sup. :** 82,65 ; ***Dim. en m (Ø ou L / l et/ou P) :** 0,3 ; ***Forme :** circulaire
***Combl. :** LA gris brun

***Hz / Us :** 2526 ; ***Fait :** PO2526 ; ***TR :** 05 ; ***Type :** composite (combl. + creus.) ; ***ID :** trou de poteau ; ***Loc :** Ensemble de poteaux de la fenêtre 05-A ; ***Tech. :** non fouillé ; ***Z. sup. :** 82,65 ; ***Dim. en m (Ø ou L / l et/ou P) :** 0,35 ; ***Forme :** circulaire
***Combl. :** LA gris brun

***Hz / Us :** 2527 ; ***Fait :** PO2527 ; ***TR :** 05 ; ***Type :** composite (combl. + creus.) ; ***ID :** trou de poteau ; ***Loc :** Ensemble de poteaux de la fenêtre 05-A ; ***Tech. :** non fouillé ; ***Z. sup. :** 82,70 ; ***Dim. en m (Ø ou L / l et/ou P) :** 0,35 ; ***Forme :** circulaire
***Combl. :** LA gris brun, charbons et nod. rubéfiés erratiques à épars

***Hz / Us :** 2528 ; ***Fait :** PO2528 ; ***TR :** 05 ; ***Type :** composite (combl. + creus.) ; ***ID :** trou de poteau ; ***Loc :** Ensemble de poteaux de la fenêtre 05-A ; ***Tech. :** non fouillé ; ***Z. sup. :** 82,70 ; ***Dim. en m (Ø ou L / l et/ou P) :** 0,4 ; ***Forme :** circulaire
***Combl. :** LA gris brun, charbons et nod. rubéfiés erratiques

***Hz / Us :** 2529 ; ***Fait :** PO2529 ; ***TR :** 05 ; ***Type :** composite (combl. + creus.) ; ***ID :** trou de poteau ; ***Loc :** Ensemble de poteaux de la fenêtre 05-A ; ***Tech. :** non fouillé ; ***Z. sup. :** 82,70 ; ***Dim. en m (Ø ou L / l et/ou P) :** 0,3 ; ***Forme :** circulaire
***Combl. :** LA gris brun, charbons et nod. rubéfiés erratiques

***Hz / Us :** 2530 ; ***Fait :** PO2530 ; ***TR :** 05 ; ***Type :** composite (combl. + creus.) ; ***ID :** trou de poteau ; ***Loc :** Ensemble de poteaux de la fenêtre 05-A ; ***Tech. :** non fouillé ; ***Z. sup. :** 82,70 ; ***Dim. en m (Ø ou L / l et/ou P) :** 0,4 ; ***Forme :** circulaire
***Combl. :** LA gris brun, nod. rubéfiés erratiques

***Hz / Us :** 2531 ; ***Fait :** PO2531 ; ***TR :** 05 ; ***Type :** composite (combl. + creus.) ; ***ID :** trou de poteau ; ***Loc :** Ensemble de poteaux de la fenêtre 05-A ; ***Tech. :** non fouillé ; ***Z. sup. :** 82,70 ; ***Dim. en m (Ø ou L / l et/ou P) :** 0,4 ; ***Forme :** circulaire
***Combl. :** LA gris brun, nod. rubéfiés erratiques

***Hz / Us :** 2532 ; ***Fait :** PO2532 ; ***TR :** 05 ; ***Type :** composite (combl. + creus.) ; ***ID :** trou de poteau ; ***Loc :** Ensemble de poteaux de la fenêtre 05-A ; ***Tech. :** non fouillé ; ***Z. sup. :** 82,70 ; ***Dim. en m (Ø ou L / l et/ou P) :** 0,45 ; ***Forme :** circulaire
***Combl. :** LA gris brun, nod. rubéfiés erratiques

***Hz / Us :** 2533 ; ***Fait :** PO2533 ; ***TR :** 05 ; ***Type :** composite (combl. + creus.) ; ***ID :** trou de poteau ; ***Loc :** Ensemble de poteaux de la fenêtre 05-A ; ***Tech. :** non fouillé ; ***Z. sup. :** 82,70 ; ***Dim. en m (Ø ou L / l et/ou P) :** 0,4 ; ***Forme :** circulaire
***Combl. :** LA brun gris, nod. rubéfiés erratiques

***Hz / Us :** 2534 ; ***Fait :** PO2534 ; ***TR :** 05 ; ***Type :** composite (combl. + creus.) ; ***ID :** trou de poteau ; ***Loc :** Ensemble de poteaux de la fenêtre 05-A ; ***Tech. :** non fouillé ; ***Z. sup. :** 82,75 ; ***Dim. en m (Ø ou L / l et/ou P) :** 0,4 ; ***Forme :** circulaire
***Combl. :** LA gris brun, charbons erratiques

***Hz / Us :** 2535 ; ***Fait :** PO2535 ; ***TR :** 05 ; ***Type :** composite (combl. + creus.) ; ***ID :** trou de poteau ; ***Loc :** Ensemble de poteaux de la fenêtre 05-A ; ***Tech. :** non fouillé ; ***Z. sup. :** 82,70 ; ***Dim. en m (Ø ou L / l et/ou P) :** 0,55 ; ***Forme :** circulaire
***Combl. :** LA gris brun sombre, pierre de grès

***Hz / Us :** 2536 ; ***Fait :** PO2536 ; ***TR :** 05 ; ***Type :** composite (combl. + creus.) ; ***ID :** trou de poteau ; ***Loc :** Ensemble de poteaux de la fenêtre 05-A ; ***Tech. :** non fouillé ; ***Z. sup. :** 82,75 ; ***Dim. en m (Ø ou L / l et/ou P) :** 0,4 ; ***Forme :** circulaire
***Combl. :** LA brun gris, petits charbons erratiques

***Hz / Us :** 2537 ; ***TR :** 30 ; ***Type :** ramassage mobilier ; ***ID :** pièce lithique ; ***Z. sup. :** 82,80 ;
***Combl. :**

***Hz / Us :** 2538 ; ***Fait :** PO2538 ; ***TR :** 30 ; ***Type :** composite (combl. + creus.) ; ***ID :** trou de poteau ; ***Loc :** Ensemble de poteaux de la fenêtre 30-A ; ***Tech. :** non fouillé ; ***Z. sup. :** 82,80 ; ***Dim. en m (Ø ou L / l et/ou P) :** 0,65 ; ***Forme :** circulaire
***Combl. :** LA gris sombre à gris brun, petits charbons épars

***Hz / Us :** 2539 ; ***Fait :** PO2539 ; ***TR :** 30 ; ***Type :** composite (combl. + creus.) ; ***ID :** trou de poteau ; ***Loc :** Ensemble de poteaux de la fenêtre 30-A ; ***Tech. :** non fouillé ; ***Z. sup. :** 82,80 ; ***Dim. en m (Ø ou L / l et/ou P) :** 0,3 ; ***Forme :** circulaire
***Combl. :** LA brun gris

***Hz / Us :** 2540 ; ***Fait :** PO2540 ; ***TR :** 30 ; ***Type :** composite (combl. + creus.) ; ***ID :** trou de poteau ; ***Loc :** Ensemble de poteaux de la fenêtre 30-A ; ***Tech. :** non fouillé ;

***Z. sup. :** 82,80 ; ***Dim. en m (Ø ou L / l et/ou P) :** 0,35 ;
***Forme :** circulaire
***Combl. :** LA brun gris, petits tessons modelés erratiques

***Hz / Us :** 2541 ; ***Fait :** FS2541 ; ***TR :** 30 ; ***Type :** composite (combl. + creus.) ; ***ID :** fosse ; ***Loc :** Liée à l'ensemble de poteaux de la fenêtre 30-A ? ; ***Tech. :** non fouillé ; ***Z. sup. :** 82,95 ; ***Dim. en m (Ø ou L / l et/ou P) :** 1,4 ; 0,75 ; ***Forme :** ovalaire
***Combl. :** LA beige et frags de soles et rubéfiés épars. Limites peu visibles

***Hz / Us :** 2542 ; ***Fait :** FS2542 ; ***TR :** 30 ; ***Type :** composite (combl. + creus.) ; ***ID :** fosse ; ***Loc :** Liée à l'ensemble de poteaux de la fenêtre 30-A ? ; ***Tech. :** non fouillé ; ***Z. sup. :** 82,95 ; ***Dim. en m (Ø ou L / l et/ou P) :** 1 ; 0,75 ; ***Forme :** ovalaire
***Combl. :** LA beige et frags de soles et rubéfiés épars. Limites peu visibles

***Hz / Us :** 2543 ; ***Fait :** PO2543 ; ***TR :** 30 ; ***Type :** composite (combl. + creus.) ; ***ID :** trou de poteau ; ***Loc :** Ensemble de poteaux de la fenêtre 30-A ; ***Tech. :** non fouillé ; ***Z. sup. :** 82,90 ; ***Dim. en m (Ø ou L / l et/ou P) :** 0,4 ;
***Forme :** circulaire
***Combl. :** LA gris brun, petits charbons erratiques

***Hz / Us :** 2544 ; ***Fait :** PO2544 ; ***TR :** 30 ; ***Type :** composite (combl. + creus.) ; ***ID :** trou de poteau ; ***Loc :** Ensemble de poteaux de la fenêtre 30-A ; ***Tech. :** non fouillé ; ***Z. sup. :** 82,85 ; ***Dim. en m (Ø ou L / l et/ou P) :** 0,7 ;
***Forme :** circulaire, tronquée
***Combl. :** LA gris brun sombre, petits charbons et tessons modelés erratiques à épars

***Hz / Us :** 2545 ; ***Fait :** PO2545 ; ***TR :** 30 ; ***Type :** composite (combl. + creus.) ; ***ID :** trou de poteau ; ***Loc :** Ensemble de poteaux de la fenêtre 30-A ; ***Tech. :** non fouillé ; ***Z. sup. :** 82,85 ; ***Dim. en m (Ø ou L / l et/ou P) :** 0,7 ;
***Forme :** circulaire
***Combl. :** LA gris brun sombre, charbons et tessons modelés épars

***Hz / Us :** 2546 ; ***Fait :** PO2546 ; ***TR :** 30 ; ***Type :** composite (combl. + creus.) ; ***ID :** trou de poteau ; ***Loc :** Ensemble de poteaux de la fenêtre 30-A ; ***Tech. :** non fouillé ; ***Z. sup. :** 82,85 ; ***Dim. en m (Ø ou L / l et/ou P) :** 0,35 ;
***Forme :** circulaire
***Combl. :** LA gris brun sombre

***Hz / Us :** 2547 ; ***Fait :** PO2547 ; ***TR :** 30 ; ***Type :** composite (combl. + creus.) ; ***ID :** trou de poteau ; ***Loc :** Ensemble de poteaux de la fenêtre 30-A ; ***Tech. :** non fouillé ; ***Z. sup. :** 82,85 ; ***Dim. en m (Ø ou L / l et/ou P) :** 0,45 ;
***Forme :** circulaire, tronquée
***Combl. :** LA gris brun sombre

***Hz / Us :** 2548 ; ***Fait :** PO2548 ; ***TR :** 30 ; ***Type :** composite (combl. + creus.) ; ***ID :** trou de poteau ; ***Loc :** Ensemble de poteaux de la fenêtre 30-A ; ***Tech. :** non fouillé ; ***Z. sup. :** 82,80 ; ***Dim. en m (Ø ou L / l et/ou P) :** 0,45 ;
***Forme :** circulaire
***Combl. :** LA gris brun sombre

***Hz / Us :** 2549 ; ***Fait :** PO2549 ; ***TR :** 30 ; ***Type :** composite (combl. + creus.) ; ***ID :** trou de poteau ; ***Loc :** Ensemble de poteaux de la fenêtre 30-A ; ***Tech. :** non fouillé ; ***Z. sup. :** 82,85 ; ***Dim. en m (Ø ou L / l et/ou P) :** 0,4 ;
***Forme :** circulaire
***Combl. :** LA gris brun

***Hz / Us :** 2550 ; ***Fait :** PO2550 ; ***TR :** 30 ; ***Type :** composite (combl. + creus.) ; ***ID :** trou de poteau ; ***Loc :** Ensemble de poteaux de la fenêtre 30-A ; ***Tech. :** non fouillé ; ***Z. sup. :** 82,80 ; ***Dim. en m (Ø ou L / l et/ou P) :** 0,45 ;
***Forme :** circulaire
***Combl. :** LA brun gris

***Hz / Us :** 2551 ; ***Fait :** PO2551 ; ***TR :** 30 ; ***Type :** composite (combl. + creus.) ; ***ID :** trou de poteau ; ***Loc :** Ensemble de poteaux de la fenêtre 30-A ; ***Tech. :** non fouillé ; ***Z. sup. :** 82,80 ; ***Dim. en m (Ø ou L / l et/ou P) :** 0,45 ;
***Forme :** circulaire
***Combl. :** LA gris brun

***Hz / Us :** 2552 ; ***Fait :** PO2552 ; ***TR :** 30 ; ***Type :** composite (combl. + creus.) ; ***ID :** trou de poteau ; ***Loc :** Ensemble de poteaux de la fenêtre 30-A ; ***Tech. :** non fouillé ; ***Z. sup. :** 82,80 ; ***Dim. en m (Ø ou L / l et/ou P) :** 0,5 ;
***Forme :** circulaire
***Combl. :** LA brun gris

***Hz / Us :** 2553 ; ***Fait :** PO2553 ; ***TR :** 30 ; ***Type :** composite (combl. + creus.) ; ***ID :** trou de poteau ; ***Loc :** Ensemble de poteaux au centre de la tranchée 30 ; ***Tech. :** non fouillé ; ***Z. sup. :** 82,75 ; ***Dim. en m (Ø ou L / l et/ou P) :** 0,5 ; ***Forme :** circulaire
***Combl. :** LA gris brun à noirâtre, charbons et nod. rubéfiés erratiques

***Hz / Us :** 2554 ; ***Fait :** PO2554 ; ***TR :** 30 ; ***Type :** composite (combl. + creus.) ; ***ID :** trou de poteau ; ***Loc :** Ensemble de poteaux au centre de la tranchée 30 ; ***Tech. :** non fouillé ; ***Z. sup. :** 82,75 ; ***Dim. en m (Ø ou L / l et/ou P) :** 0,5 ; ***Forme :** circulaire
***Combl. :** LA gris brun à noirâtre, charbons et nod. rubéfiés erratiques

***Hz / Us :** 2555 ; ***Fait :** PO2555 ; ***TR :** 30 ; ***Type :** composite (combl. + creus.) ; ***ID :** trou de poteau ; ***Loc :** Ensemble de poteaux au centre de la tranchée 30 ; ***Tech. :** non fouillé ; ***Z. sup. :** 82,75 ; ***Dim. en m (Ø ou L / l et/ou P) :** 0,45 ; ***Forme :** circulaire
***Combl. :** LA brun gris, charbons et nod. rubéfiés épars

***Hz / Us :** 2556 ; ***Fait :** PO2556 ; ***TR :** 30 ; ***Type :** composite (combl. + creus.) ; ***ID :** trou de poteau ; ***Loc :** Ensemble de poteaux au centre de la tranchée 30 ; ***Tech. :** non fouillé ; ***Z. sup. :** 82,75 ; ***Dim. en m (Ø ou L / l et/ou P) :** 0,6 ; ***Forme :** circulaire
***Combl. :** LA gris brun à noirâtre, charbons et nod. rubéfiés erratiques

***Hz / Us :** 2557 ; ***Fait :** PO2557 ; ***TR :** 30 ; ***Type :** composite (combl. + creus.) ; ***ID :** trou de poteau ; ***Loc :** Ensemble de poteaux au centre de la tranchée 30 ; ***Tech. :** non fouillé ; ***Z. sup. :** 82,80 ; ***Dim. en m (Ø ou L / l et/ou P) :** 0,4 ; ***Forme :** circulaire
***Combl. :** LA gris brun à noirâtre, charbons et nod. rubéfiés erratiques

***Hz / Us :** 2558 ; ***Fait :** PO2558 ; ***TR :** 30 ; ***Type :** composite (combl. + creus.) ; ***ID :** trou de poteau ; ***Loc :** Ensemble de poteaux au centre de la tranchée 30 ; ***Tech. :** non fouillé ; ***Z. sup. :** 82,80 ; ***Dim. en m (Ø ou L / l et/ou P) :** 0,4 ; ***Forme :** circulaire
***Combl. :** LA brun gris

***Hz / Us :** 2559 ; ***Fait :** PO2559 ; ***TR :** 30 ; ***Type :** composite (combl. + creus.) ; ***ID :** trou de poteau ; ***Loc :** Ensemble de poteaux au centre de la tranchée 30 ; ***Tech. :** non fouillé ; ***Z. sup. :** 82,75 ; ***Dim. en m (Ø ou L / l et/ou P) :** 0,35 ; ***Forme :** circulaire
***Combl. :** LA brun gris, charbons et nod. rubéfiés épars

***Hz / Us :** 2560 ; ***Fait :** PO2560 ; ***TR :** 30 ; ***Type :** composite (combl. + creus.) ; ***ID :** trou de poteau ; ***Loc :** Ensemble de poteaux au centre de la tranchée 30 ; ***Tech. :** non fouillé ; ***Z. sup. :** 82,80 ; ***Dim. en m (Ø ou L / l et/ou P) :** 0,55 ; ***Forme :** circulaire, tronquée
***Combl. :** LA brun gris, charbons et nod. rubéfiés épars

***Hz / Us :** 2561 ; ***Fait :** PO2561 ; ***TR :** 30 ; ***Type :** composite (combl. + creus.) ; ***ID :** trou de poteau ; ***Loc :** Ensemble de poteaux au centre de la tranchée 30 ; ***Tech. :** non fouillé ; ***Z. sup. :** 82,80 ; ***Dim. en m (Ø ou L / l et/ou P) :** 0,4 ; ***Forme :** circulaire
***Combl. :** LA brun gris, charbons et nod. rubéfiés épars

***Hz / Us :** 2562 ; ***Fait :** PO2562 ; ***TR :** 30 ; ***Type :** composite (combl. + creus.) ; ***ID :** trou de poteau ; ***Loc :** Ensemble de poteaux au centre de la tranchée 30 ; ***Tech. :** non fouillé ; ***Z. sup. :** 82,80 ; ***Dim. en m (Ø ou L / l et/ou P) :** 0,35 ; ***Forme :** circulaire
***Combl. :** LA brun gris

***Hz / Us :** 2563 ; ***Fait :** PO2563 ; ***TR :** 30 ; ***Type :** composite (combl. + creus.) ; ***ID :** trou de poteau ; ***Loc :** Ensemble de poteaux au centre de la tranchée 30 ; ***Tech. :** non fouillé ; ***Z. sup. :** 82,75 ; ***Dim. en m (Ø ou L / l et/ou P) :** 0,5 ; ***Forme :** circulaire
***Combl. :** LA brun gris, charbons et nod. rubéfiés épars

***Hz / Us :** 2564 ; ***Fait :** PO2564 ; ***TR :** 30 ; ***Type :** composite (combl. + creus.) ; ***ID :** trou de poteau ; ***Loc :** Ensemble de poteaux au centre de la tranchée 30 ; ***Tech. :** non fouillé ; ***Z. sup. :** 82,80 ; ***Dim. en m (Ø ou L / l et/ou P) :** 0,4 ; ***Forme :** circulaire
***Combl. :** LA gris brun

***Hz / Us :** 2565 ; ***Fait :** PO2565 ; ***TR :** 30 ; ***Type :** composite (combl. + creus.) ; ***ID :** trou de poteau ; ***Loc :** Ensemble de poteaux au centre de la tranchée 30 ; ***Tech. :** non fouillé ; ***Z. sup. :** 82,75 ; ***Dim. en m (Ø ou L / l et/ou P) :** 0,4 ; ***Forme :** circulaire
***Combl. :** LA brun gris

***Hz / Us :** 2566 ; ***Fait :** PO2566 ; ***TR :** 30 ; ***Type :** composite (combl. + creus.) ; ***ID :** trou de poteau ; ***Loc :** Ensemble de poteaux au centre de la tranchée 30 ; ***Tech. :** non fouillé ; ***Z. sup. :** 82,70 ; ***Dim. en m (Ø ou L / l et/ou P) :** 0,5 ; ***Forme :** circulaire
***Combl. :** LA brun gris

***Hz / Us :** 2567 ; ***Fait :** PO2567 ; ***TR :** 30 ; ***Type :** composite (combl. + creus.) ; ***ID :** trou de poteau ; ***Loc :** Ensemble de poteaux au centre de la tranchée 30 ; ***Tech. :** non fouillé ; ***Z. sup. :** 82,80 ; ***Dim. en m (Ø ou L / l et/ou P) :** 0,3 ; ***Forme :** circulaire
***Combl. :** LA brun gris

***Hz / Us :** 2568 ; ***Fait :** PO2568 ; ***TR :** 30 ; ***Type :** composite (combl. + creus.) ; ***ID :** trou de poteau ; ***Loc :** Ensemble de poteaux de la fenêtre 30-B ; ***Tech. :** non fouillé ; ***Z. sup. :** 82,60 ; ***Dim. en m (Ø ou L / l et/ou P) :** 0,35 ; ***Forme :** circulaire
***Combl. :** LA brun gris

***Hz / Us :** 2569 ; ***Fait :** PO2569 ; ***TR :** 30 ; ***Type :** composite (combl. + creus.) ; ***ID :** trou de poteau ; ***Loc :** Ensemble de poteaux de la fenêtre 30-B ; ***Tech. :** non fouillé ; ***Z. sup. :** 82,55 ; ***Dim. en m (Ø ou L / l et/ou P) :** 0,35 ; ***Forme :** circulaire
***Combl. :** LA brun gris

***Hz / Us :** 2570 ; ***Fait :** PO2570 ; ***TR :** 30 ; ***Type :** composite (combl. + creus.) ; ***ID :** trou de poteau ; ***Loc :** Ensemble de poteaux de la fenêtre 30-B ; ***Tech. :** manuelle ; *** % :** 100 ; ***Z. sup. :** 82,55 ; ***Dim. en m (Ø ou L / l et/ou P) :** 0,6 ; 0,2 ; ***Forme :** circulaire ; ***Profil :** cuvette
***Combl. :** LA brun gris, tessons modelés épars

***Hz / Us :** 2571 ; ***Fait :** PO2571 ; ***TR :** 30 ; ***Type :** composite (combl. + creus.) ; ***ID :** trou de poteau ; ***Loc :** Ensemble de poteaux de la fenêtre 30-B ; ***Tech. :** non fouillé ; ***Z. sup. :** 82,50 ; ***Dim. en m (Ø ou L / l et/ou P) :** 0,3 ; ***Forme :** circulaire
***Combl. :** LA brun gris

***Hz / Us :** 2572 ; ***Fait :** PO2572 ; ***TR :** 30 ; ***Type :** composite (combl. + creus.) ; ***ID :** trou de poteau ; ***Loc :** Ensemble de poteaux de la fenêtre 30-B ; ***Tech. :** non fouillé ; ***Z. sup. :** 82,50 ; ***Dim. en m (Ø ou L / l et/ou P) :** 0,5 ; ***Forme :** circulaire
***Combl. :** -2572-a : négatif (Ø : 0,35), LA brun à gris noir, charbons épars
-2572-b : avant-trou (Ø : 0,5), LA brun gris, petits frgas de céramique modelée et de faune épars

***Hz / Us :** 2573 ; ***Fait :** EX2573 ; ***TR :** 31 ; ***Type :** composite (combl. + creus.) ; ***ID :** excavation ; ***Loc :** Proche du bord occidental de la mare du Champtier du Chêne Mort ; ***Tech. :** mécanique ; *** % :** ? ; ***Z. sup. :** 83,60 ; ***Dim. en m (Ø ou L / l et/ou P) :** ? ; 6 ? ; > 0,9 ; ***Forme :** indéterminée, partiellement décapé
***Combl. :** Excavation contemporaine, partiellement vidangée à la pelle mécanique en TR31 ; Sous terre végétale :
-2573-1 : LA brun beige, frags de tuiles contemporaines épars
-2573-2 : Vrac de pierres silico-calcaires et de grès, limon noirâtre, poches d'air, frags. de tuiles contemporaines erratiques

***Hz / Us :** 2574 ; ***Fait :** FD2574 ; ***TR :** 31 et 32 ; ***Type :** composite (combl. + creus.) ; ***ID :** fondation de mur ; ***Tech. :** mécanique ; *** % :** ? ; ***Z. sup. :** 83,50 ; ***Dim. en m (Ø ou L / l et/ou P) :** 108 ? ; 0,5 ; 0,4 ; ***Forme :** linéaire ; ***Profil :** vertical fond plat
***Combl. :** Fondation du mur d'enclos occidental de la mare du Champtier du Chêne Mort ; Sous labours. Reprend le tracé du fossé 2575.
2574-1 : Récupération, LA brun
2574-2 : Double rangée de moëllons de grès conservée sur une assise (H : 0,2 m), LA brun et frags de calcaire blanc / mortier épars
***Sur :** 2575

***Hz / Us :** 2575 ; ***Fait :** FO2575 ; ***TR :** 31 et 32 ; ***Type :** composite (combl. + creus.) ; ***ID :** fossé ; ***Tech. :** non fouillé ; ***Z. sup. :** 83,50 ; ***Dim. en m (Ø ou L / l et/ou P) :** > 43 ; 5,5 ; ***Forme :** linéaire
***Combl. :** Large fossé antérieur au mur d'enclos occidental de la mare du Champtier du Chêne Mort ; LA beige à brun beige, petites pierres et frags de tuiles épars à erratiques
***Sous :** 2574 ; ***Synch. :** 2492 ? ; 2493 ?

***Hz / Us :** 2576 ; ***Fait :** FS2576 ; ***TR :** 31 ; ***Type :** composite (combl. + creus.) ; ***ID :** fosse ; ***Tech. :** non fouillé ;

***Z. sup. :** 83,25 ; ***Dim. en m (Ø ou L / l et/ou P) :** 0,9 ;
***Forme :** circulaire
***Combl. :** LA brun, frags de grès épars à abondants (Ø < 0,2 m), plage charbonneuse au centre

***Hz / Us :** 2577 ; ***Fait :** FS2577 ; ***TR :** 33 ; ***Type :** composite (combl. + creus.) ; ***ID :** fosse ; ***Tech. :** non fouillé ; ***Z. sup. :** 83,30 ; ***Dim. en m (Ø ou L / l et/ou P) :** 2,3 ; > 0,3 ; ***Forme :** circulaire ?
***Combl. :** LA brun à brun charbonneux, frags rubéfiés épars à erratiques ; ***Sous :** 2685

***Hz / Us :** 2578 ; ***Fait :** FS2578 ; ***TR :** 33 ; ***Type :** composite (combl. + creus.) ; ***ID :** fosse ; ***Tech. :** non fouillé ; ***Z. sup. :** 82,80 ; ***Dim. en m (Ø ou L / l et/ou P) :** 1,2 ; ***Forme :** circulaire ?
***Combl. :** Vrac de petites pierres de grès et LA brun

***Hz / Us :** 2579 ; ***Fait :** EX2579 ; ***TR :** 23 ; ***Type :** composite (combl. + creus.) ; ***ID :** excavation ; ***Tech. :** non fouillé ; ***Z. sup. :** 83,10 ; ***Dim. en m (Ø ou L / l et/ou P) :** > 3 ; 3,15 ; ***Forme :** irrégulière
***Combl. :** LA brun ; ***Sous :** 2261

***Hz / Us :** 2580 ; ***Fait :** FO2580 ; ***TR :** 23 ; ***Type :** composite (combl. + creus.) ; ***ID :** fossé ; ***Tech. :** non fouillé ; ***Z. sup. :** 83,15 ; ***Dim. en m (Ø ou L / l et/ou P) :** > 3,5 ; 1 ; ***Forme :** linéaire
***Combl. :** LA beige

***Hz / Us :** 2581 ; ***Fait :** EX2581 ; ***TR :** 23 ; ***Type :** composite (combl. + creus.) ; ***ID :** Excavation / fossé ? ; ***Tech. :** mécanique ; *** % :** ? ; ***Z. sup. :** 83,40 ; ***Dim. en m (Ø ou L / l et/ou P) :** > 3 ; 2,3 ; 0,5 ; ***Forme :** linéaire ; ***Profil :** cuvette
***Combl. :** Sous talus d'effondrement de l'angle SO de l'enclos empierré de la mare du Champtier du Chêne Mort ; Bande de vrac de pierres de grès et silico-calcaires, LA brun interstitiel

***Hz / Us :** 2582 ; ***Fait :** EX2582 ; ***TR :** 23 ; ***Type :** composite (combl. + creus.) ; ***ID :** excavation ; ***Loc :** Fen23-F ; ***Tech. :** non fouillé ; ***Z. sup. :** 83,10 ; ***Dim. en m (Ø ou L / l et/ou P) :** > 5 ; > 5 ; ***Forme :** indéterminée, partiellement décapé
***Combl. :** LA brun, cailloutis / petites pierres silico-calcaires et de grès, frgs de tuiles mod. / contemp. erratiques à épars

***Hz / Us :** 2583 ; ***Fait :** EX2583 ; ***TR :** 23 ; ***Type :** composite (combl. + creus.) ; ***ID :** excavation ; ***Loc :** Fen23-C ; ***Tech. :** non fouillé ; ***Z. sup. :** 82,90 ; ***Dim. en m (Ø ou L / l et/ou P) :** 6,3 ; 3,9 ; ***Forme :** ovalaire
***Combl. :** LA beige gris, cailloutis erratique ; ***Sur :** 2350

***Hz / Us :** 2584 ; ***Fait :** FS2584 ; ***TR :** 23 ; ***Type :** composite (combl. + creus.) ; ***ID :** fosse ; ***Loc :** Fen23-C ; ***Tech. :** non fouillé ; ***Z. sup. :** 82,85 ; ***Dim. en m (Ø ou L / l et/ou P) :** 1,2 ; 1 ; ***Forme :** ovalaire
***Combl. :** LA brun gris, tessons modelés et charbons erratiques

***Hz / Us :** 2585 ; ***Fait :** FS2585 ; ***TR :** 23 ; ***Type :** composite (combl. + creus.) ; ***ID :** fosse ; ***Loc :** Fen23-C ; ***Tech. :** non fouillé ; ***Z. sup. :** 82,85 ; ***Dim. en m (Ø ou L / l et/ou P) :** 0,8 ; ***Forme :** circulaire
***Combl. :** LA gris brun, nodules de céramique modelée et charbons erratiques

***Hz / Us :** 2586 ; ***Fait :** PO2586 ; ***TR :** 07 ; ***Type :** composite (combl. + creus.) ; ***ID :** trou de poteau ; ***Loc :** Fen07-A ; ***Tech. :** non fouillé ; ***Z. sup. :** 82,90 ; ***Dim. en m (Ø ou L / l et/ou P) :** 0,25 ; ***Forme :** circulaire
***Combl. :** LA gris

***Hz / Us :** 2587 ; ***Fait :** PO2587 ; ***TR :** 23 ; ***Type :** composite (combl. + creus.) ; ***ID :** trou de poteau ; ***Loc :** Ensemble de poteaux de la Fen23-A ; ***Tech. :** non fouillé ; ***Z. sup. :** 83,15 ; ***Dim. en m (Ø ou L / l et/ou P) :** 0,4 ; ***Forme :** circulaire
***Combl. :** LA brun (calage ?) à charbonneux au centre (négatif ?)

***Hz / Us :** 2588 ; ***Fait :** PO2588 ; ***TR :** 23 ; ***Type :** composite (combl. + creus.) ; ***ID :** trou de poteau ; ***Loc :** Ensemble de poteaux de la Fen23-A ; ***Tech. :** non fouillé ; ***Z. sup. :** 83,10 ; ***Dim. en m (Ø ou L / l et/ou P) :** 0,45 ; ***Forme :** circulaire
***Combl. :** LA gris brun, pierres de grès éparses, charbons et nodules rubéfiés erratiques

***Hz / Us :** 2589 ; ***Fait :** PO2589 ; ***TR :** 06 ; ***Type :** composite (combl. + creus.) ; ***ID :** trou de poteau ; ***Loc :** Ensemble de poteaux de la Fen06-B ; ***Tech. :** non fouillé ; ***Z. sup. :** 82,90 ; ***Dim. en m (Ø ou L / l et/ou P) :** 0,4 ; ***Forme :** circulaire
***Combl. :** LA brun beige, petits charbons erratiques

***Hz / Us :** 2590 ; ***Fait :** PO2590 ; ***TR :** 06 ; ***Type :** composite (combl. + creus.) ; ***ID :** trou de poteau ; ***Loc :** Ensemble de poteaux de la Fen06-B ; ***Tech. :** non fouillé ; ***Z. sup. :** 82,90 ; ***Dim. en m (Ø ou L / l et/ou P) :** 0,4 ; ***Forme :** circulaire
***Combl. :** LA brun beige, petits charbons erratiques

***Hz / Us :** 2591 ; ***Fait :** PO2591 ; ***TR :** 06 ; ***Type :** composite (combl. + creus.) ; ***ID :** trou de poteau ; ***Loc :** Ensemble de poteaux de la Fen06-B ; ***Tech. :** non fouillé ; ***Z. sup. :** 82,90 ; ***Dim. en m (Ø ou L / l et/ou P) :** 0,5 ; ***Forme :** circulaire
***Combl. :** LA brun beige, petits charbons erratiques

***Hz / Us :** 2592 ; ***Fait :** PO2592 ; ***TR :** 06 ; ***Type :** composite (combl. + creus.) ; ***ID :** trou de poteau ; ***Loc :** Ensemble de poteaux de la Fen06-B ; ***Tech. :** non fouillé ; ***Z. sup. :** 82,90 ; ***Dim. en m (Ø ou L / l et/ou P) :** 0,45 ; ***Forme :** circulaire
***Combl. :** LA brun beige, petits charbons erratiques

***Hz / Us :** 2593 ; ***Fait :** PO2593 ; ***TR :** 06 ; ***Type :** composite (combl. + creus.) ; ***ID :** trou de poteau ; ***Loc :** Ensemble de poteaux de la Fen06-B ; ***Tech. :** non fouillé ; ***Z. sup. :** 82,95 ; ***Dim. en m (Ø ou L / l et/ou P) :** 0,8 ; 0,6 ; ***Forme :** ovalaire
***Combl. :** LA brun beige, petits charbons et nod. rubéfiés erratiques

***Hz / Us :** 2594 ; ***Fait :** PO2594 ; ***TR :** 06 ; ***Type :** composite (combl. + creus.) ; ***ID :** trou de poteau ; ***Loc :** Ensemble de poteaux de la Fen06-B ; ***Tech. :** non fouillé ; ***Z. sup. :** 82,95 ; ***Dim. en m (Ø ou L / l et/ou P) :** 0,45 ; ***Forme :** circulaire
***Combl. :** LA brun beige, petits charbons et nod. rubéfiés erratiques

***Hz / Us :** 2595 ; ***Fait :** PO2595 ; ***TR :** 23 ; ***Type :** composite (combl. + creus.) ; ***ID :** trou de poteau ; ***Loc :** Ensemble de poteaux de la Fen23-B ; ***Tech. :** non fouillé ; ***Z. sup. :** 82,95 ; ***Dim. en m (Ø ou L / l et/ou P) :** 0,35 ; ***Forme :** circulaire

***Combl. :** LA gris brun, petits charbons erratiques

***Hz / Us :** 2596 ; ***Fait :** PO2596 ; ***TR :** 23 ; ***Type :** composite (combl. + creus.) ; ***ID :** trou de poteau ; ***Loc :** Ensemble de poteaux de la Fen23-B ; ***Tech. :** non fouillé ; ***Z. sup. :** 83,00 ; ***Dim. en m (Ø ou L / l et/ou P) :** 0,3 ; ***Forme :** circulaire
***Combl. :** LA gris brun

***Hz / Us :** 2597 ; ***Fait :** FC2515 ; ***TR :** 29 ; ***Type :** composite (combl. + creus.) ; ***ID :** fosse ; ***Tech. :** manuelle ; *** % :** 50 ; ***Z. sup. :** 82,75 ; ***Dim. en m (Ø ou L / l et/ou P) :** 1 ; 0,6 ; ***Forme :** circulaire
***Combl. :** Subdivision de la fosse complexe 2515 (partie nord ; voir 2515) ; ***Egal. :** 2515

***Hz / Us :** 2598 ; ***Fait :** FC2515 ; ***TR :** 29 ; ***Type :** composite (combl. + creus.) ; ***ID :** fosse ; ***Tech. :** manuelle ; *** % :** 30 ? ; ***Z. sup. :** 82,75 ; ***Dim. en m (Ø ou L / l et/ou P) :** 2,3 ; 1,6 ? ; 0,55 ; ***Forme :** ovalaire
***Combl. :** Subdivision de la fosse complexe 2515 (partie sud ; voir 2515) ; ***Egal. :** 2515

***Hz / Us :** 2599 ; ***Fait :** FO2599 ; ***TR :** 07 ; ***Type :** composite (combl. + creus.) ; ***ID :** fossé ; ***Loc :** Fen07-B ; ***Tech. :** non fouillé ; ***Z. sup. :** 83,00 ; ***Dim. en m (Ø ou L / l et/ou P) :** >11,6 ; 1,2 ; ***Forme :** linéaire
***Combl. :** Forme un angle avec le fossé 2088 ? ; LA beige ; ***Synch. :** 2088 ? ; ***Rel. indét. :** 2087

***Hz / Us :** 2600 ; ***Fait :** FS2600 ; ***TR :** 07 ; ***Type :** composite (combl. + creus.) ; ***ID :** fosse ; ***Loc :** Fen07-B ; ***Tech. :** non fouillé ; ***Z. sup. :** 83,00 ; ***Dim. en m (Ø ou L / l et/ou P) :** 1,8 ; 1,2 ; ***Forme :** ovalaire
***Combl. :** LA brun sombre, frags rubéfiés et cailloutis erratiques ; ***Sur :** 2087

***Hz / Us :** 2601 ; ***Fait :** PO2601 ; ***ENS :** BAT2199 ; ***TR :** 16 ; ***Type :** composite (combl. + creus.) ; ***ID :** fosse ; ***Loc :** Fen16-A ; ***Tech. :** non fouillé ; ***Z. sup. :** 82,85 ; ***Dim. en m (Ø ou L / l et/ou P) :** 0,35 ; ***Forme :** circulaire
***Combl. :** LA brun, nodules de trerre chauffée épars

***Hz / Us :** 2602 ; ***Fait :** PO2602 ; ***ENS :** BAT2199 ; ***TR :** 16 ; ***Type :** composite (combl. + creus.) ; ***ID :** fosse ; ***Loc :** Fen16-A ; ***Tech. :** manuelle ; *** % :** 50 ; ***Z. sup. :** 82,90 ; ***Dim. en m (Ø ou L / l et/ou P) :** 0,3 ; 0,35 ; ***Forme :** circulaire ; ***Profil :** vertical fond arrondi
***Combl. :** LA brun, nodules de trerre chauffée épars

***Hz / Us :** 2603 ; ***Fait :** FT2603 ; ***TR :** 16 ; ***Type :** composite (combl. + creus.) ; ***ID :** creusement indéterminé ; ***Loc :** Fen16-B ; ***Tech. :** non fouillé ; ***Z. sup. :** 83,10 ; ***Dim. en m (Ø ou L / l et/ou P) :** 2 ; 0,9 ; ***Forme :** ovalaire
***Combl. :** LA beige, tessons tournés erratiques (GR ?)

***Hz / Us :** 2604 ; ***Fait :** FT2604 ; ***TR :** 16 ; ***Type :** composite (combl. + creus.) ; ***ID :** creusement indéterminé ; ***Loc :** Fen16-E ; ***Tech. :** non fouillé ; ***Z. sup. :** 83,10 ; ***Dim. en m (Ø ou L / l et/ou P) :** 1,4 ; 0,7 ; ***Forme :** ovalaire
***Combl. :** LA beige, tessons tournés erratiques (GR ?)

***Hz / Us :** 2605 ; ***Fait :** PO2605 ; ***ENS :** BAT2208 ; ***TR :** 16 ; ***Type :** composite (combl. + creus.) ; ***ID :** trou de poteau ; ***Loc :** Ensemble de poteaux de la Fen16-E ; ***Tech. :** non fouillé ; ***Z. sup. :** 83,10 ; ***Dim. en m (Ø ou L / l et/ou P) :** 0,5 ; ***Forme :** circulaire
***Combl. :** LA brun, petits frags de terre chauffée épars

***Hz / Us :** 2606 ; ***Fait :** PO2606 ; ***ENS :** BAT2208 ; ***TR :** 16 ; ***Type :** composite (combl. + creus.) ; ***ID :** trou de poteau ; ***Loc :** Ensemble de poteaux de la Fen16-E ; ***Tech. :** manuelle ; *** % :** 50 ; ***Z. sup. :** 83,15 ; ***Dim. en m (Ø ou L / l et/ou P) :** 0,65 ; 0,4 ; ***Forme :** circulaire ; ***Profil :** vertical fond arrondi
***Combl. :** LA gris brun, petits frags de terre chauffée épars, petits charbons et nodules de céramique modelée erratiques

***Hz / Us :** 2607 ; ***Fait :** PO2607 ; ***ENS :** BAT2208 ; ***TR :** 16 ; ***Type :** composite (combl. + creus.) ; ***ID :** trou de poteau ; ***Loc :** Ensemble de poteaux de la Fen16-E ; ***Tech. :** manuelle ; *** % :** 50 ; ***Z. sup. :** 83,15 ; ***Dim. en m (Ø ou L / l et/ou P) :** 0,65 ; 0,4 ; ***Forme :** circulaire ; ***Profil :** vertical fond arrondi
***Combl. :** LA gris brun, petits frags de terre chauffée épars, petits charbons et nodules de céramique modelée erratiques

***Hz / Us :** 2608 ; ***Fait :** PO2608 ; ***TR :** 16 ; ***Type :** composite (combl. + creus.) ; ***ID :** trou de poteau ? ; ***Loc :** Ensemble de poteaux de la Fen16-E ; ***Tech. :** non fouillé ; ***Z. sup. :** 83,00 ; ***Dim. en m (Ø ou L / l et/ou P) :** 0,4 ; ***Forme :** circulaire
***Combl. :** LA brun gris, petits frags de terre chauffée et charbons erratiques

***Hz / Us :** 2609 ; ***Fait :** PO2609 ; ***TR :** 16 ; ***Type :** composite (combl. + creus.) ; ***ID :** trou de poteau ? ; ***Loc :** Ensemble de poteaux de la Fen16-E ; ***Tech. :** non fouillé ; ***Z. sup. :** 83,10 ; ***Dim. en m (Ø ou L / l et/ou P) :** 0,55 ; ***Forme :** circulaire
***Combl. :** LA brun gris, petits frags de terre chauffée et charbons erratiques

***Hz / Us :** 2610 ; ***Fait :** PO2610 ; ***TR :** 16 ; ***Type :** composite (combl. + creus.) ; ***ID :** trou de poteau ? ; ***Loc :** Ensemble de poteaux de la Fen16-E ; ***Tech. :** non fouillé ; ***Z. sup. :** 83,00 ; ***Dim. en m (Ø ou L / l et/ou P) :** 0,45 ; ***Forme :** circulaire
***Combl. :** LA brun gris, petits frags de terre chauffée erratiques

***Hz / Us :** 2611 ; ***Fait :** FS2611 ; ***ENS :** FOS2611 ; ***TR :** 16 ; ***Type :** composite (combl. + creus.) ; ***ID :** fosse ; ***Loc :** Fen16-E ; ***Tech. :** méc. + man ; *** % :** 10 ? ; ***Z. sup. :** 83,20 ; ***Dim. en m (Ø ou L / l et/ou P) :** 6 ; 3,8 ; 0,75 ; ***Forme :** ovalaire ; ***Profil :** bord NE : évasé à fond plat
***Combl. :** Lobe NO de la grande fosse allongée néolithique FOS2611, le long du côté SO du bâtiment sur poteaux 2208 ; En surface, sous labours, limites peu visibles. ; Sur bord SO : Us2611-B.
-2611-A1 : Limon argileux brun beige lessivé, lég. bariolé, frags de terre chauffée noirs à rouges erratiques
-2611-A2 : Limon argileux gris lessivé, charbons, frags de terre chauffée noirs à rouges, frags lithiques taillés, tessons modelés et frags de faune épars à abondants.
-2611-A3 : Petites mottes de limons argileux gris et beige jaunâtre
-2611-B : Limon argileux beige blanchi, lèg. bariolé.
Encaissants :
Ia : Limon argileux brun orangé
Ib : Limon argileux jaunâtre
II : Petites pierres silico-calcaires anguleuses dans argile brun jaunâtre
***Sous :** 2616 ; ***Egal. :** 2617

***Hz / Us :** 2612 ; ***Fait :** PO2612 ; ***ENS :** BAT2208 ? ; ***TR :** 16 ; ***Type :** composite (combl. + creus.) ; ***ID :** trou de poteau ; ***Loc :** Ensemble de poteaux de la Fen16-E ; ***Tech. :** non fouillé ; ***Z. sup. :** 83,10 ; ***Dim. en m (Ø ou L / l et/ou P) :** 0,7 ; ***Forme :** circulaire
***Combl. :** LA brun gris, petits frags de terre chauffée erratiques

***Hz / Us :** 2613 ; ***Fait :** PO2613 ; ***ENS :** BAT2208 ? ; ***TR :** 16 ; ***Type :** composite (combl. + creus.) ; ***ID :** trou de poteau ; ***Loc :** Ensemble de poteaux de la Fen16-E ; ***Tech. :** non fouillé ; ***Z. sup. :** 83,15 ; ***Dim. en m (Ø ou L / l et/ou P) :** 0,55 ; ***Forme :** circulaire
***Combl. :** LA brun gris, petits frags de terre chauffée et charbons erratiques

***Hz / Us :** 2614 ; ***Fait :** FS2614 ; ***TR :** 10 ; ***Type :** composite (combl. + creus.) ; ***ID :** fosse ; ***Loc :** Fen10-A ; ***Tech. :** non fouillé ; ***Z. sup. :** 83,25 ; ***Dim. en m (Ø ou L / l et/ou P) :** > 1,5 ; 1,4 ; ***Forme :** ovalaire ?
***Combl. :** LA brun foncé, cailloutis, pièces lithiques et tessons erratiques ; ***Sous :** colluvions

***Hz / Us :** 2615 ; ***Fait :** FS2615 ; ***TR :** 11 ; ***Type :** composite (combl. + creus.) ; ***ID :** fosse ; ***Loc :** Fen11-E ; ***Tech. :** non fouillé ; ***Z. sup. :** 82,95 ; ***Dim. en m (Ø ou L / l et/ou P) :** 1,2 ; ***Forme :** circulaire
***Combl. :** Fosse apparu après vidange de l'Us 2151, dans la partie centrale de l'excavation ; LA brun bariolé, charbons erratiques, tessons modelés épars ; ***Sous :** 2151 ; ***Synch. :** 2151 ?

***Hz / Us :** 2616 ; ***Fait :** PO2616 ; ***TR :** 16 ; ***Type :** composite (combl. + creus.) ; ***ID :** trou de poteau ; ***Loc :** Fen16-E ; ***Tech. :** manuelle ; *** % :** 50 ; ***Z. sup. :** 82,70 ; ***Dim. en m (Ø ou L / l et/ou P) :** 0,45 ; 0,25 ; ***Forme :** circulaire ; ***Profil :** évasé fond plat
***Combl. :** Vu dans le sondage 2637, après vidange partielle de l'Us2611. Recoupe le comblement inférieur de la fosse 2611. Niveau d'apparition originel inconnu ; LA gris brun à gris, gros charbons épars au centre (négatif ?). ; Fond sur affleurement naturel de petites pierres silico-calcaires
***Sur :** 2611

***Hz / Us :** 2617 ; ***Fait :** FS2617 ; ***ENS :** FOS2611 ; ***TR :** 16 ; ***Type :** composite (combl. + creus.) ; ***ID :** fosse ; ***Loc :** Fen16-L ; ***Tech. :** mécanique ; *** % :** ? ; ***Z. sup. :** 83,20 ; ***Dim. en m (Ø ou L / l et/ou P) :** 8,25 ; 3,6 ; ? ; ***Forme :** bilobée ; ***Profil :** évasé fond plat
***Combl. :** Partie SE bilobée de la grande fosse néolithique FOS2611, le long du côté SO du bâtiment sur poteaux 2208. Testée en partie supérieure seulement (SD2636)
-Sous labours : (à partie de 83,20 m NGF environ)
-0-20 cm : Limites peu visibles de LA brun à beige, avec pièces lithiques et frags. de terre chauffée erratiques
-20-30 cm : LA beige, avec pièces lithiques et frags. de terre chauffée erratiques.
+ 30 cm : LA beige et plages grises charbonneuses, avec pièces lithiques et frags. de terre chauffée erratiques
-45 cm : Fond du sondage 2636 ; ***Egal. :** 2611

***Hz / Us :** 2618 ; ***Fait :** FS2618 ; ***TR :** 12 ; ***Type :** composite (combl. + creus.) ; ***ID :** fosse ; ***Loc :** Fen12-A ; ***Tech. :** mécanique ; *** % :** ? ; ***Z. sup. :** 82,90 ; ***Dim. en m (Ø ou L / l et/ou P) :** 4,2 ; 2,5 ; > 0,3 ; ***Forme :** ovalaire ; ***Profil :** ?
***Combl. :** Grande fosse ovalaire avec surcreusement circulaire en partie SE ; Limites peu visibles en surface sous les colluvions. ; LA brun avec plages de frags rubéfiés épars ; ***Sous :** colluvions

***Hz / Us :** 2619 ; ***Fait :** SD2619 ; ***TR :** 12 ; ***Type :** technique ; ***ID :** sondage ; ***Loc :** Fen12-A ; ***Tech. :** mécanique ; ***Z. sup. :** 82,90 ; ***Dim. en m (Ø ou L / l et/ou P) :** 0,3 ; ***Forme :** ovalaire ; ***Profil :** ?
***Combl. :** Sondage partiel sur la FS2618 ; ***Sur :** 2618

***Hz / Us :** 2620 ; ***Fait :** FS2620 ; ***TR :** 12 ; ***Type :** composite (combl. + creus.) ; ***ID :** fosse ; ***Loc :** Ensemble de fosses et poteaux de la Fen12-B ; ***Tech. :** non fouillé ; ***Z. sup. :** 82,90 ; ***Dim. en m (Ø ou L / l et/ou P) :** 1,5 ; 0,8 ; ***Forme :** ovalaire
***Combl. :** LA brun gris, petits charbons épars à erratiques, tessons modelés et pièces lithiques erratiques ; Correspond à la zone de ramassage de mobilier 2156. ; ***Sous :** colluvions

***Hz / Us :** 2621 ; ***Fait :** PO2621 ; ***TR :** 12 ; ***Type :** composite (combl. + creus.) ; ***ID :** trou de poteau ? ; ***Loc :** Ensemble de fosses et poteaux de la Fen12-B ; ***Tech. :** non fouillé ; ***Z. sup. :** 82,90 ; ***Dim. en m (Ø ou L / l et/ou P) :** 0,4 ; ***Forme :** circulaire
***Combl. :** LA brun, petits charbons épars à erratiques ; Correspond à la zone de ramassage de mobilier 2156. ; ***Sous :** colluvions

***Hz / Us :** 2622 ; ***Fait :** FS2622 ; ***TR :** 12 ; ***Type :** composite (combl. + creus.) ; ***ID :** fosse ; ***Loc :** Ensemble de fosses et poteaux de la Fen12-B ; ***Tech. :** non fouillé ; ***Z. sup. :** 82,90 ; ***Dim. en m (Ø ou L / l et/ou P) :** 2 ; 1 ; ***Forme :** ovalaire
***Combl. :** LA brun gris, petits charbons épars à erratiques petits tessons modelés erratiques ; Correspond à la zone de ramassage de mobilier 2156. ; ***Sous :** colluvions

***Hz / Us :** 2623 ; ***Fait :** PO2623 ; ***TR :** 12 ; ***Type :** composite (combl. + creus.) ; ***ID :** trou de poteau ? ; ***Loc :** Ensemble de fosses et poteaux de la Fen12-B ; ***Tech. :** non fouillé ; ***Z. sup. :** 82,90 ; ***Dim. en m (Ø ou L / l et/ou P) :** 0,4 ; ***Forme :** circulaire
***Combl. :** LA brun, petits charbons épars à erratiques ; Correspond à la zone de ramassage de mobilier 2156. ; ***Sous :** colluvions

***Hz / Us :** 2624 ; ***Fait :** FS2624 ; ***TR :** 12 ; ***Type :** composite (combl. + creus.) ; ***ID :** fosse ; ***Loc :** Ensemble de fosses et poteaux de la Fen12-B ; ***Tech. :** non fouillé ; ***Z. sup. :** 82,90 ; ***Dim. en m (Ø ou L / l et/ou P) :** 0,9 ; 0,7 ; ***Forme :** ovalaire
***Combl. :** LA brun à brun orangé, charbons épars à erratiques ; Correspond à la zone de ramassage de mobilier 2156. ; ***Sous :** colluvions

***Hz / Us :** 2625 ; ***Fait :** FO2625 ; ***ENS :** SFO2137 ; ***TR :** 11 ; ***Type :** composite (combl. + creus.) ; ***ID :** fossé ; ***Loc :** Fen11-C et B ; ***Tech. :** non fouillé ; ***Z. sup. :** 83,00 ; ***Dim. en m (Ø ou L / l et/ou P) :** 28,5 ; 1,2 ; ***Forme :** linéaire
***Combl. :** LA beige, 1 frag. de tegula ; ***Egal. :** 2137 2190 2191

***Hz / Us :** 2626 ; ***Fait :** FS2626 ; ***TR :** 11 ; ***Type :** composite (combl. + creus.) ; ***ID :** fosse ; ***Loc :** Fen11-B ; ***Tech. :** non fouillé ; ***Z. sup. :** 82,95 ; ***Dim. en m (Ø ou L / l et/ou P) :** 1,1 ; ***Forme :** circulaire
***Combl. :** LA brun gris et plages gris brun, petits chabons épars à erratiques

***Hz / Us :** 2627 ; ***Fait :** FS2627 ; ***TR :** 16 ; ***Type :** composite (combl. + creus.) ; ***ID :** fosse ; ***Loc :** Fen16-F ; ***Tech. :** non fouillé ; ***Z. sup. :** 82,80 ; ***Dim. en m (Ø ou L / l et/ou P) :** > 5,7 ; > 4,5 ; ***Forme :** indéterminée, partiellement décapé
***Combl. :** LA brun gris, plages de frags. de terre chauffée rouges à noirâtres épars à abondants. Tessons modélés et pièces lithiques erratiques ; ***Sous :** 2628 ; ***Synch. :** 2198 ; ***Egal. :** 2198 ?

***Hz / Us :** 2628 ; ***Fait :** FS2628 ; ***TR :** 16 ; ***Type :** composite (combl. + creus.) ; ***ID :** fosse ; ***Loc :** Fen16-F ; ***Tech. :** non fouillé ; ***Z. sup. :** 82,70 ; ***Dim. en m (Ø ou L / l et/ou P) :** 2,2 ; ***Forme :** circulaire ?
***Combl. :** LA gris brun à sombre, petits charbons épars, frags rubéfiés erratiques à épars ; ***Sur :** 2627

***Hz / Us :** 2629 ; ***Fait :** FT2629 ; ***TR :** 16 ; ***Type :** composite (combl. + creus.) ; ***ID :** creusement indéterminé ; ***Loc :** Fen16-F ; ***Tech. :** non fouillé ; ***Z. sup. :** 82,80 ; ***Dim. en m (Ø ou L / l et/ou P) :** 1,6 ; 1 ; ***Forme :** ovalaire ?
***Combl. :** LA brun à brun gris, petits charbons épars à erratiques

***Hz / Us :** 2630 ; ***Fait :** PO2630 ; ***TR :** 16 ; ***Type :** composite (combl. + creus.) ; ***ID :** trou de poteau ? ; ***Loc :** Fen16-G ; ***Tech. :** non fouillé ; ***Z. sup. :** 82,90 ; ***Dim. en m (Ø ou L / l et/ou P) :** 0,4 ; ***Forme :** circulaire
***Combl. :** LA brun beige

***Hz / Us :** 2631 ; ***Fait :** FS2631 ; ***TR :** 16 ; ***Type :** composite (combl. + creus.) ; ***ID :** fosse ; ***Loc :** Fen16-G ; ***Tech. :** non fouillé ; ***Z. sup. :** 82,85 ; ***Dim. en m (Ø ou L / l et/ou P) :** 2,8 ; 1,5 ; ***Forme :** oblong(ue)
***Combl. :** LA brun gris bariolé, petits charbons erratiques à épars

***Hz / Us :** 2632 ; ***Fait :** PO2632 ; ***TR :** 16 ; ***Type :** composite (combl. + creus.) ; ***ID :** trou de poteau ? ; ***Loc :** Fen16-G ; ***Tech. :** non fouillé ; ***Z. sup. :** 82,95 ; ***Dim. en m (Ø ou L / l et/ou P) :** 0,6 ; ***Forme :** circulaire
***Combl. :** LA brun beige

***Hz / Us :** 2633 ; ***Fait :** PO2633 ; ***TR :** 16 ; ***Type :** composite (combl. + creus.) ; ***ID :** trou de poteau ? ; ***Loc :** Fen16-G ; ***Tech. :** non fouillé ; ***Z. sup. :** 83,00 ; ***Dim. en m (Ø ou L / l et/ou P) :** 0,55 ; ***Forme :** circulaire
***Combl. :** LA brun beige, petits charbons erratiques

***Hz / Us :** 2634 ; ***Fait :** FO2634 ; ***ENS :** SFO2142 ; ***TR :** 16 ; ***Type :** composite (combl. + creus.) ; ***ID :** fossé ; ***Loc :** Fen16-G ; ***Tech. :** non fouillé ; ***Z. sup. :** 83,00 ; ***Dim. en m (Ø ou L / l et/ou P) :** 4 ; 1 ; ***Forme :** linéaire
***Combl. :** LA gris beige à gris brun bariolé ; ***Egal. :** 2142, 2193, 2203

***Hz / Us :** 2635 ; ***Fait :** PO2635 ; ***TR :** 16 ; ***Type :** composite (combl. + creus.) ; ***ID :** trou de poteau ? ; ***Loc :** Fen16-H ; ***Tech. :** non fouillé ; ***Z. sup. :** 83,00 ; ***Dim. en m (Ø ou L / l et/ou P) :** 0,5 ; ***Forme :** circulaire
***Combl. :** LA brun gris, petits charbons erratiques

***Hz / Us :** 2636 ; ***Fait :** SD2636 ; ***TR :** 16 ; ***Type :** technique ; ***ID :** sondage ; ***Loc :** Fen16-L ; ***Tech. :** mécanique ; ***Z. sup. :** 83,45 ; ***Dim. en m (Ø ou L / l et/ou P) :** 0,7
***Combl. :** Sondage partiel sur la fosse néolithique 2617 ; ***Sur :** 2617

***Hz / Us :** 2637 ; ***Fait :** SD2637 ; ***TR :** 16 ; ***Type :** technique ; ***ID :** sondage ; ***Loc :** Fen16-E ; ***Tech. :** méc. + man ; ***Z. sup. :** 83,45 ; ***Dim. en m (Ø ou L / l et/ou P) :** 1
***Combl. :** Sondage mécanique partiel sur les comblements supérieurs de la fosse néolithique 2611 sur une trentaine de centimètres depuis la niveau de décapage.
*Sondage manuel d'environ 1,5 m2 sur 0,25 m de profondeur sur les comblements inférieurs du bord NE de la fosse (voir 2611)
*Log2637 sur paroi NO du sondage, bord SO de la fosse 2611 :
-0-30 cm : Labours
-30-60 cm : LA beige blanchi (2611-B1)
-60-80 cm : LA brun beige (2611-B2)
-80 cm : Fond du sondage
***Sur :** 2611

***Hz / Us :** 2638 ; ***Fait :** PO2638 ; ***TR :** 30 ; ***Type :** composite (combl. + creus.) ; ***ID :** trou de poteau ? ; ***Loc :** Fen30-B ; ***Tech. :** non fouillé ; ***Z. sup. :** 82,55 ; ***Dim. en m (Ø ou L / l et/ou P) :** 0,45 ; ***Forme :** circulaire
***Combl. :** LA gris

***Hz / Us :** 2639 ; ***TR :** 11 ; ***Type :** ramassage mobilier ; ***ID :** colluvions ; ***Tech. :** mécanique ;
***Combl. :** Ramassage de mobilier erratique dans les colluvions de la TR11 = 2153-1

***Hz / Us :** 2640 ; ***TR :** 12 ; ***Type :** ramassage mobilier ; ***Tech. :** mécanique ;
***Combl. :** Pièce lithique isolée. Sud de la TR12

***Hz / Us :** 2641 ; ***TR :** 10 ; ***Type :** DOUBLON ; ***Loc :** Fen10-D ; ***Tech. :** mécanique ;
***Combl. :** Ramassage de mobilier = 2654 ; ***Egal. :** 2654

***Hz / Us :** 2642 ; ***TR :** 14 ; ***Type :** ramassage mobilier ; ***Tech. :** mécanique ;
***Combl. :** pièce lithique dans limons de plateau, extrémité sud de la TR14 ; ***Egal. :** 2183

***Hz / Us :** 2643 ; ***TR :** 07 ; ***Type :** ramassage mobilier ; ***Tech. :** mécanique ;
***Combl. :** pièce lithique dans limons de plateau, partie nord de la TR07, à 0,6 m de profondeur

***Hz / Us :** 2644 ; ***TR :** 15 ; ***Type :** ramassage mobilier ; ***Tech. :** mécanique ;
***Combl. :** Pièce-s lithique-s dans limons de plateau, partie sud de la TR15

***Hz / Us :** 2645 ; ***TR :** 13 ; ***Type :** ramassage mobilier ; ***Tech. :** mécanique ;
***Combl. :** Pièce lithique, sous labours, partie nord de la TR15

***Hz / Us :** 2646 ; ***TR :** 12 ; ***Type :** DOUBLON ; ***Tech. :** mécanique ;
***Combl. :** Ramassage = 2656 ; ***Egal. :** 2656

***Hz / Us :** 2647 ; ***TR :** 10 ; ***Type :** ramassage mobilier ; ***Tech. :** mécanique ;
***Combl. :** Pièce lithique dans limons de plateau entre blocs de grès, nord de la TR10

***Hz / Us :** 2648 ; ***TR :** 17 ; ***Type :** ramassage mobilier ; ***Tech. :** mécanique ;
***Combl. :** Pièces lithiques erratiques dans colluvions de la TR17

***Hz / Us :** 2649 ; ***TR :** 10 ; ***Type :** ramassage mobilier ; ***Loc :** Fen-10-C ; ***Tech. :** mécanique ;
***Combl. :** Pièces lithiques erratiques dans colluvions de la fenêtre 10-C

***Hz / Us :** 2650 ; ***TR :** 10 ; ***Type :** DOUBLON ; ***Loc :** Fen-10-B ; ***Tech. :** mécanique ;
***Combl. :** Mobilier dans colluvions de la fenêtre 10-B = 2655 ; ***Egal. :** 2655

***Hz / Us :** 2651 ; ***TR :** 10 ; ***Type :** ramassage mobilier ; ***Loc :** Fen-10-A ; ***Tech. :** mécanique ;

***Combl. :** Mobilier dans colluvions de la fenêtre 10-A, -10-40 cm sous labours

***Hz / Us :** 2652 ; ***TR :** 12 ; ***Type :** ramassage mobilier ; ***Loc :** Fen-12-B ; ***Tech. :** mécanique ;
***Combl. :** Mobilier dans colluvions de la fenêtre 12-B, -0-30 cm sous labours = Us 2157-1 ; ***Sur :** 2156 ; ***Synch. :** 2156 ?

***Hz / Us :** 2653 ; ***TR :** 08 ; ***Type :** ramassage mobilier ; ***Tech. :** mécanique ;
***Combl. :** Mobilier dans colluvions de la TR08

***Hz / Us :** 2654 ; ***TR :** 10 ; ***Type :** ramassage mobilier ; ***Loc :** Fen10-D ; ***Tech. :** mécanique ;
***Combl. :** Mobilier dans colluvions de la fenêtre 10-D

***Hz / Us :** 2655 ; ***TR :** 10 ; ***Type :** ramassage mobilier ; ***Loc :** Fen10-B ; ***Tech. :** mécanique ;
***Combl. :** Mobilier dans colluvions de la fenêtre 10-B

***Hz / Us :** 2656 ; ***TR :** 12 ; ***Type :** ramassage mobilier ; ***Tech. :** mécanique ;
***Combl. :** Mobilier dans colluvions de la TR12, au sud du SD2161

***Hz / Us :** 2657 ; ***TR :** 12 ; ***Type :** ramassage mobilier ; ***Tech. :** mécanique ;
***Combl. :** Mobilier dans colluvions de la TR10 = 2129-1

***Hz / Us :** 2658 ; ***TR :** 03 ; ***Type :** ramassage mobilier ; ***Loc :** Fen03-B ; ***Tech. :** mécanique ;
***Combl. :** Ceramique gallo-romaine dans drain de la fenêtre 03-B

***Hz / Us :** 2659 ; ***TR :** 23 ; ***Type :** ramassage mobilier ; ***Loc :** Fen23-B ; ***Tech. :** mécanique ;
***Combl. :** Pièce lithique dans limons de plateau de la fenêtre 23-B

***Hz / Us :** 2660 ; ***TR :** 10 ; ***Type :** DOUBLON ; ***Tech. :** mécanique ;
***Combl. :** 2657 ; ***Egal. :** 2657

***Hz / Us :** 2661 ; ***Fait :** SD2661 ; ***TR :** 12 ; ***Type :** technique ; ***ID :** sondage ; ***Tech. :** mécanique ; ***Z. sup. :** 85,2 ; ***Dim. en m (Ø ou L / l et/ou P) :** 1,3
***Combl. :** Sondage profond sur bord sud de la FS2165, non relevé

***Hz / Us :** 2662 ; ***Fait :** SD2662 ; ***TR :** 12 ; ***Type :** technique ; ***ID :** sondage ; ***Tech. :** mécanique ; ***Z. sup. :** 83,7 ; ***Dim. en m (Ø ou L / l et/ou P) :** 1
***Combl. :** Sondage partiel sur FS2160 ; ***Sur :** 2160

***Hz / Us :** 2663 ; ***Fait :** PO2663 ; ***TR :** 15 ; ***Type :** composite (combl. + creus.) ; ***ID :** trou de poteau ? ; ***Tech. :** non fouillé ; ***Z. sup. :** 83 ; ***Dim. en m (Ø ou L / l et/ou P) :** 0,2 ; ***Forme :** circulaire
***Combl. :** LA gris brun

***Hz / Us :** 2664 ; ***Fait :** PO2664 ; ***TR :** 11 ; ***Type :** composite (combl. + creus.) ; ***ID :** trou de poteau ; ***Loc :** Fen11-A ; ***Tech. :** non fouillé ; ***Z. sup. :** 83 ; ***Dim. en m (Ø ou L / l et/ou P) :** 0,2 ; ***Forme :** circulaire
***Combl. :** LA gris, charbons épars ; ***Sous :** 2142

***Hz / Us :** 2665 ; ***Fait :** SD2665 ; ***TR :** 29 ; ***Type :** technique ; ***ID :** sondage ; ***Loc :** Fen29-A ; ***Tech. :** mécanique ; ***Z. sup. :** 83,3 ; ***Dim. en m (Ø ou L / l et/ou P) :** 1,55
***Combl. :** -0-25 cm : Labours
-25-35 cm : LA brun ; I : (-40-60 cm) LA brun orangé. ; II : (60-75 cm) AL brun jaunâtre ; III : (75-105 cm) ALS jaunâtre et cailloutis pierres silico-calcaires éparses. ; IV : (105-155) SA blanchâtre et plages de rouille, cailloutis/concrétions calcaires éparses
-155 cm : fond sondage 2665 ; ***Sur :** 2514

***Hz / Us :** 2666 ; ***Fait :** FT2666 ; ***TR :** 25 ; ***Type :** composite (combl. + creus.) ; ***ID :** fossé ? ; ***Tech. :** non fouillé ; ***Z. sup. :** 82,80 ; ***Dim. en m (Ø ou L / l et/ou P) :** > 3 ; 3,8 ? ; ***Forme :** linéaire
***Combl. :** Bande de LA blanchi ; ***Egal. :** 2013 ?

***Hz / Us :** 2667 ; ***Fait :** FO2667 ; ***TR :** 28 ; ***Type :** composite (combl. + creus.) ; ***ID :** fossé ; ***Tech. :** non fouillé ; ***Z. sup. :** 82,70 ; ***Dim. en m (Ø ou L / l et/ou P) :** > 4 ; 0,7 ; ***Forme :** linéaire
***Combl. :** LA gris beige ; ***Egal. :** 2028 ?

***Hz / Us :** 2668 ; ***Fait :** FO2668 ; ***ENS :** SFO2032 ? ; ***TR :** 27 ; ***Type :** composite (combl. + creus.) ; ***ID :** fossé ; ***Tech. :** non fouillé ; ***Z. sup. :** 83,10 ; ***Dim. en m (Ø ou L / l et/ou P) :** > 5,8 ; 1,3 ; ***Forme :** linéaire
***Combl. :** LA beige bariolé ; ***Egal. :** 2032 ?

***Hz / Us :** 2669 ; ***Fait :** SD2669 ; ***TR :** 04 ; ***Type :** technique ; ***ID :** sondage ; ***Tech. :** mécanique ; ***Z. sup. :** 83,00 ; ***Dim. en m (Ø ou L / l et/ou P) :** 1,4
***Combl. :** Sondage profond partiel sur la mare 2057 ; ***Sur :** 2057

***Hz / Us :** 2670 ; ***Fait :** FO2670 ; ***ENS :** SFO2056 ? ; ***TR :** 28 ; ***Type :** composite (combl. + creus.) ; ***ID :** fossé ; ***Tech. :** non fouillé ; ***Z. sup. :** 82,50 ; ***Dim. en m (Ø ou L / l et/ou P) :** > 3,5 ; 1,8 ; ***Forme :** linéaire
***Combl. :** LA beige blanchi ; ***Egal. :** 2056 ?

***Hz / Us :** 2671 ; ***Fait :** PO2671 ; ***TR :** 05 ; ***Type :** composite (combl. + creus.) ; ***ID :** trou de poteau ; ***Tech. :** non fouillé ; ***Z. sup. :** 82,50 ; ***Dim. en m (Ø ou L / l et/ou P) :** 0,3 ; ***Forme :** circulaire
***Combl. :** LA gris brun

***Hz / Us :** 2672 ; ***Fait :** PO2672 ; ***TR :** 13 ; ***Type :** composite (combl. + creus.) ; ***ID :** fossé ; ***Tech. :** non fouillé ; ***Z. sup. :** 82,85 ; ***Dim. en m (Ø ou L / l et/ou P) :** 3,8 ; 0,5 ; ***Forme :** linéaire
***Combl. :** LA beige

***Hz / Us :** 2673 ; ***Fait :** CP2673 ; ***TR :** 14 ; ***Type :** technique ; ***ID :** coupe ; ***Loc :** Extrémité nord de la TR14, paroi NO ; ***Tech. :** mécanique ; ***Z. sup. :** 82,85 ; ***Dim. en m (Ø ou L / l et/ou P) :** 1
***Combl. :** -0-40 cm : Labours
-2673-1 (40-60 cm) : LA beige (colluvions)
-2673-2 (60-80 cm) : LA brun blanchi
-2673-3 (80-100 cm) : AL brun orangé
-100 cm : Fond du sondage

***Hz / Us :** 2674 ; ***Fait :** OR2674 ; ***TR :** 19 ; ***Type :** composite (combl. + creus.) ; ***ID :** ornière ; ***Loc :** Entre les fossé 2225 et 2227 ; ***Tech. :** non fouillé ; ***Z. sup. :** 83,10 ; ***Dim. en m (Ø ou L / l et/ou P) :** 3,4 ; 0,35 ; ***Forme :** oblong(ue)
***Combl. :** LA brun et cailloutis épars

***Hz / Us :** 2675 ; ***Fait :** EX2675 ; ***TR :** 20 ; ***Type :** composite (combl. + creus.) ; ***ID :** excavation ; ***Tech. :** non fouillé ; ***Z. sup. :** 83,00 ; ***Dim. en m (Ø ou L / l et/ou P) :** > 5 ; > 3 ; ***Forme :** indéterminée, partiellement décapé
***Combl. :** LA brun à noirâtre, frags de tuiles plates mod. / contemp. épars

***Hz / Us :** 2676 ; ***Fait :** FT2676 ; ***TR :** 24 ; ***Type :** composite (combl. + creus.) ; ***ID :** creusement indéterminé ; ***Tech. :** non fouillé ; ***Z. sup. :** 82,85 ; ***Dim. en m (Ø ou L / l et/ou P) :** > 2,5 ; 3,3 ; ***Forme :** indéterminée, partiellement décapé
***Combl. :** LA beige blanchi

***Hz / Us :** 2677 ; ***Fait :** FO2677 ; ***TR :** 25 ; ***Type :** composite (combl. + creus.) ; ***ID :** fossé ; ***Tech. :** non fouillé ; ***Z. sup. :** 82,90 ; ***Dim. en m (Ø ou L / l et/ou P) :** 3,5 ; 0,7 ; ***Forme :** linéaire
***Combl. :** LA gris beige ; ***Synch. :** 2467 ? ; ***Egal. :** 2467 ?

***Hz / Us :** 2678 ; ***Fait :** FS2678 ; ***TR :** 25 ; ***Type :** composite (combl. + creus.) ; ***ID :** fosse de plantation ; ***Tech. :** non fouillé ; ***Z. sup. :** 82,80 ; ***Dim. en m (Ø ou L / l et/ou P) :** 1,25 ; 1,15 ; ***Forme :** quadrangulaire
***Combl. :** Limons gris à noirâtres récents

***Hz / Us :** 2679 ; ***Fait :** FS2679 ; ***TR :** 25 ; ***Type :** composite (combl. + creus.) ; ***ID :** fosse de plantation ; ***Tech. :** non fouillé ; ***Z. sup. :** 82,95 ; ***Dim. en m (Ø ou L / l et/ou P) :** 1,2 ; > 1 ; ***Forme :** quadrangulaire ?
***Combl. :** Limons gris à noirâtres récents ; ***Rel. indét. :** 2494

***Hz / Us :** 2680 ; ***Fait :** FO2680 ; ***TR :** 28 ; ***Type :** composite (combl. + creus.) ; ***ID :** fossé ; ***Tech. :** non fouillé ; ***Z. sup. :** 82,55 ; ***Dim. en m (Ø ou L / l et/ou P) :** 5,8 ; 0,75 ; ***Forme :** linéaire
***Combl. :** LA beige blanchi ; ***Synch. :** 2520 ? ; ***Egal. :** 2520 ?

***Hz / Us :** 2681 ; ***Fait :** FT2681 ; ***TR :** 05 ; ***Type :** composite (combl. + creus.) ; ***ID :** creusement indéterminé ; ***Tech. :** non fouillé ; ***Z. sup. :** 82,35 ; ***Dim. en m (Ø ou L / l et/ou P) :** 3,5 ; 2 ; ***Forme :** ovalaire ?
***Combl. :** Chablis ? Plages de LA gris beige et d'encaissants remaniés. Plage de charbons épars à erratiques

***Hz / Us :** 2682 ; ***Fait :** SD2682 ; ***TR :** 29 ; ***Type :** technique ; ***ID :** sondage ; ***Tech. :** mécanique ; ***Z. sup. :** 82,90 ; ***Dim. en m (Ø ou L / l et/ou P) :** 0,7
***Combl. :** Sondage dans limons de plateaux blanchis (altération hydromorphe)

***Hz / Us :** 2683 ; ***Fait :** FS2683 ; ***TR :** 30 ; ***Type :** composite (combl. + creus.) ; ***ID :** fosse ; ***Tech. :** non fouillé ; ***Z. sup. :** 82,55 ; ***Dim. en m (Ø ou L / l et/ou P) :** 1,2 ; ***Forme :** circulaire
***Combl. :** LA gris à gris blanchi, charbons épars ; ***Sur :** 2064

***Hz / Us :** 2684 ; ***TR :** 31, 33 et 34 ; ***Type :** comblement-s (positive) ; ***ID :** remblai-s ; ***Tech. :** non fouillé ; ***Z. sup. :** 83,00 ; ***Dim. en m (Ø ou L / l et/ou P) :** 2,5
***Combl. :** Remblai-s de nivellement en arrière du parement de pierres de la mare du Champtier du Chêne Mort. LA brun avec cailloutis / petites pierres épars

***Hz / Us :** 2685 ; ***Fait :** MR2685 ; ***TR :** 33 et 34 ; ***Type :** construite ; ***ID :** mur ; ***Tech. :** mécanique ; *** % :** ? ; ***Z. sup. :** 84,00 ; ***Dim. en m (Ø ou L / l et/ou P) :** 76,5 ; 0,7 ; 0,6 ; ***Forme :** linéaire ; ***Profil :** vertical fond plat
***Combl. :** Mur oriental encore partiellement en élevation de l'enclos de la mare du Champtier du Chêne Mort. Conservé sous talus d'effondrement. Moellons de grès et silico-calcaires sur 2 rangées, liés au mortier maigre et tranchée de fondation sur une assise ; ***Sur :** 2577

***Hz / Us :** 2686 ; ***Fait :** FS2686 ; ***TR :** 11 ; ***Type :** comblement-s (positive) ; ***ID :** fosse ; ***Loc :** Fen11-C ; ***Tech. :** mécanique ; *** % :** ? ; ***Z. sup. :** 83,25 ; ***Dim. en m (Ø ou L / l et/ou P) :** 2,2 ; 1,7 ; ***Forme :** indéterminée, partiellement décapé ; ***Profil :** fond plat
***Combl. :** a-Remblai récent de bois brûlés, cendre, frags rubéfiés, limons bruns ; b-Sole de LA rubéfié

4.2 LISTE DES ENSEMBLES STRATIGRAPHIQUES PAR TYPE

Ensemble	fait	Hz/Us	n° TR	Identification
BAT2199	PO2199	2199	16	trou de poteau
	PO2200	2200	16	trou de poteau
	PO2601	2601	16	trou de poteau
	PO2602	2602	16	trou de poteau
BAT2208	PO2208	2208	16	trou de poteau
	PO2209	2209	16	trou de poteau
	PO2210	2210	16	trou de poteau
	PO2211	2211	16	trou de poteau
	PO2212	2212	16	trou de poteau
	PO2213	2213	16	trou de poteau
	PO2605	2605	16	trou de poteau
	PO2606	2606	16	trou de poteau
	PO2607	2607	16	trou de poteau
BAT2208 ?	PO2612	2612	16	trou de poteau
	PO2613	2613	16	trou de poteau
BAT2296 ?	TR2296	2296	22	tranchée de récupération
	FD2300	2300	22	fondation de mur
FOS2611	FS2611	2611	16	fosse
	FS2617	2617	16	fosse
MUR2004	FD2004	2004	1	fondation de mur
	FD2019	2019	2	fondation de mur
	FD2482	2482	25	fondation de mur
MUR2007	FD2007	2007	1	fondation de mur / (canalisation ?)
	FD2067	2067	6	fondation de mur
	FD2360	2360	24	fondation de mur
	FD2486	2486	25	fondation de mur
MUR2077	FD2077	2077	6	fondation de mur
	FD2084	2084	7	fondation de mur
	FD2349	2349	23	fondation de mur
	FD2364	2364	24	fondation de mur
MUR2113	FD2113	2113	9	fondation de mur
	FD2126	2126	10	fondation de mur
	FD2218	2218	17	fondation de mur
SFO2003	FO2003	2003	1	fossé
	FO2481	2481	25	fossé
SFO2005	FO2005	2005	1	fossé
	FO2020	2020	2	fossé
	FO2356	2356	24	fossé
	FO2483	2483	25	fossé
	FO2499	2499	27	fossé
SFO2006	FO2006	2006	1	fossé
	FO2024	2024	2	fossé
	FO2035	2035	3	fossé
	FO2507	2507	28	fossé

Ensemble	fait	Hz/Us	n° TR	Identification
SFO2009	FO2009	2009	1	fossé
	FO2022	2022	2	fossé
	FO2484	2484	25	fossé
SFO2010	FO2010	2010	1	fossé
	FO2023	2023	2	fossé
	FO2485	2485	25	fossé
	FO2497	2497	27	fossé
SFO2011	FO2011	2011	1	fossé
	FO2363	2363	24	fossé
	FO2487	2487	25	fossé
SFO2013	FO2013	2013	1	fossé
	FO2365	2365	24	fossé
SFO2018	FO2018	2018	2	fossé
	FO2470	2470	25	fossé
SFO2026	FO2026	2026	2	fossé
	FO2494	2494	25	fossé
	FO2502	2502	27	fossé
SFO2028 ?	FO2028	2028	2	fossé
	FO2667	2667	28	fossé
SFO2032	FO2032	2032	3	fossé
	FO2668	2668	27	fossé
SFO2036	FO2036	2036	3	fossé
	FO2054	2054	4	fossé
	FO2521	2521	05 et 29	fossé
SFO2038	FO2038	2038	03 et 28	fossé
	FO2504	2504	27	fossé
SFO2049	FO2049	2049	4	fossé
	FO2508	2508	28	fossé
SFO2051	FO2051	2051	4	fossé
	FO2509	2509	28	fossé
	FO2512	2512	29	fossé
SFO2052	FO2052	2052	4	fossé
	FO2066	2066	5	fossé
SFO2056	FO2056	2056	4	fossé
	FO2522	2522	29	fossé
SFO2056 ?	FO2670	2670	28	fossé
SFO2064	FO2064	2064	05 et 30	fossé
	FO2517	2517	29	fossé
SFO2073	FO2073	2073	6	fossé
	FO2359	2359	24	fossé
SFO2076	FO2076	2076	6	fossé
	FO2087	2087	07 et 21	fossé
	FO2350	2350	23	fossé
	FO2362	2362	24	fossé

Ensemble	fait	Hz/Us	n° TR	Identification
SFO2079	FO2079	2079	6	fossé
	FO2083	2083	7	fossé
	FO2351	2351	23	fossé
SFO2081	FO2081	2081	6	fossé / fondation de mur ?
	FO2089	2089	7	fossé / fondation de mur ?
	FO2243	2243	21	fossé
	FO2352	2352	23	fossé
	FO2466	2466	24	fossé / fondation de mur ?
SFO2088	FO2088	2088	7	fossé
	FO2246	2246	21	fossé
SFO2093	FO2093	2093	8	fossé
	FO2223	2223	18	fossé
SFO2095	FO2095	2095	8	fossé
	FO2117	2117	9	fossé
	FO2221	2221	18	fossé
SFO2104	FO2104	2104	8	fossé
	FO2225	2225	19	fossé
SFO2109	FO2109	2109	8	fossé
	FO2227	2227	19	fossé

Ensemble	fait	Hz/Us	n° TR	Identification
SFO2114	FO2114	2114	9	fossé
	FO2135	2135	10	fossé
	FO2220	2220	17	fossé
SFO2122	FO2122	2122	9	fossé
	FO2222	2222	18	fossé
SFO2124	FO2124	2124	10	fossé
	FO2149	2149	11	fossé
	FO2204	2204	16	fossé
SFO2137	FO2137	2137	11	fossé
	FO2190	2190	15	fossé
	FO2191	2191	15	fossé
	FO2625	2625	11	fossé
SFO2142	FO2142	2142	11	fossé
	FO2193	2193	15	fossé
	FO2203	2203	16	fossé
	FO2634	2634	16	fossé
SFO2150	FO2150	2150	11	fossé
	FO2206	2206	16	fossé
SFO2163	FO2163	2163	12	fossé
	FO2184	2184	14	fossé
SFO2164	FO2164	2164	12	fossé
	FO2185	2185	14	fossé

4.3 TABLEAU D'INVENTAIRE DES MOBILIERS PAR N° D'HZ / US

SECT	ID	n° Hz / Us	remarque	n° TR	CERAM		Lithique		FAUNE		Parure		TCA				METAL				
													Tuil./Tub./ Bri.		Torchis/ TRub		Mo	Cuiv.		Ferreux	
					NR	g	NR	g	Frags	g	NR	g	NR	g	NR	g	NR	NR	g	NR	g
	FO	2020		2									1	58							
	FS	2021		2	183	2391															
	FO	2028		2									6	174							
	FO	2035		3									2	221							
	FO	2037		3	8	74							1	71							
	FO	2038		3					4	94											
	MA	2057		4													1				
	FO	2064		5									3	427							
	FO	2066		5									2	276							
O	FS	2074		6	8	21															
O	FO	2087		7	13	166							5	257							
O	FO	2088		7	4	7	1	6													
O	EX	2091		7					4	35			2	185							
O	EX	2092		7	3	49															
O	FS	2102		8									1	103							
O	FO	2104		8									1	79							
SE	Ram	2118	colluvions	9	3	7	1	46													
	FO	2124		10	6	17															
SE	SD	2125	à -0,10 m sous labours, dans limons	10			3	92													
SE	FS	2130		10			6	61							1	2					
SE	FS	2131	décapage ; 1 fgt bracelet schiste	10	4	5	45	427			1	4									
SE	Ram	2139		11	2	32	8	309													
SE	FS	2144	1 bracelet (5 g) et 1 épingle (13 g) en "bronze"	11	1531	18181	7	325	3	3								2	18		
SE	FS	2145	1 hache polie (quartz?)	11			8	34													
SE	FS/PO	2146		11	24	136															
	FO ?	2149		11	3	41															
SE	FS	2151		11	126	925															
SE	FS	2154		11	2	28															
S	SD	2155	à -1 m	11			2	6													
S	SD	2155	à -1,50 m	11			2	166													
S	SD	2155		11			10	450													
SE	Ram	2156		12	73	361	5	54													

SECT	ID	n° Hz / Us	remarque	n° TR	CERAM		Lithique		FAUNE		Parure		TCA				METAL				
													Tuil./Tub./ Bri.		Torchis/ TRub		Mo	Cuiv.		Ferreux	
					NR	g	NR	g	Frags	g	NR	g	NR	g	NR	g	NR	NR	g	NR	g
SE	Ram	2158		12	32	185	1	10													
SE	FS	2159		12	4	27	6	23							2	92					
	FO	2163		12	5	31															
	FO	2169		13	2	35							1	44							
SE	FT	2176		13			1	12													
SE	FT	2179	prélèvements os brûlés. INCI. ???	13					?	1202											
SE	Ram	2180		13			5	64													
SE	Ram	2183		14	47	348	2	28													
SE	FS	2186		15	2	12															
SE	Ram	2188		15	146	1015	6	96													
SE	FS	2198		16			1	3													
SE	FS	2201	SD A	16	44	151	28	70	4	2					16	809					
SE	FS	2201	SD B	16	14	23	34	40													
SE	FS	1101	SD C	16	51	216	9	78	24	24					4	62					
SE	FS	2201	décapage	16	9	20	1	4							3	267					
	MA	2214	SD 2215 à -1m	16	1	4															
SE	Ram	2217		16			17	288													
O	EX	2224		19	1	1							3	579							
	FO	2225		19									4	202							
O	FS	2231		19	21	69															
O	Ram	2241		21	55	153															
	FO	2245		21									2	100							
	FO	2246		21	1	31							2	218							
O	FS	2253		21	11	108			89	127											
O	FS	2254		21	8	33															
O	PO	2256		21					3	88											
O	FS	2259	1 pierre à aiguiser	21	3	18	1	66													
O	FS	2265		21	7	48							2	140							
O	EX	2267		21									3	222						1	144
O	FS	2274		22	13	16															
O	FS	2276		22	2	40															
O	FS	2285		22	2	3															
O	PO	2294		22	14	73															
O	PO	2299		22	1	3															
O	FS	2303		22													1				

SECT	ID	n° Hz / Us	remarque	n° TR	CERAM		Lithique		FAUNE		Parure		TCA				METAL				
													Tuil./Tub./ Bri.		Torchis/ TRub		Mo	Cuiv.		Ferreux	
					NR	g	NR	g	Frags	g	NR	g	NR	g	NR	g	NR	NR	g	NR	g
O	EX	2304		22													2				
O	FS	2306		22	2	27															
O	FS	2312		22	12	59															
O	FS	2327		22	1	3															
O	PO	2331		22									1	2							
O	FS	2341		22	3	12															
O	PO	2343		23											4	245					
O	FS	2344		23	2	5															
O	PO	2345		23	10	306															
O	FO	2350		23	97	1895															
	PO	2474		2	2	26															
	FO	2481		25	6	105							2	26							
	FO	2483		25	1	12															
S	SD	2488	à -1,20 m	11			5	70													
S	SD	2488	à -1,80 m	11			5	38													
S	SD	2489	à -1 m	26			1	13													
S	SD	2490		12			1	4													
	FO	2494		25	3	36	1	3													
	FO	2497		27									2	34							
	MI	2498		27			1	14													
NE	Ram	2505		28			1	42													
NE	Ram	2506		28			1	57													
NE	FS	2510		29	150	2500															
NE	MI	2511		29			1	56													
NE	FS	2513		29	90	394			10	11											
NE	FS	2514		29	155	1356	1	20	120	401											
NE	FC	2515	fosse complexe	29	29	200	1	5													
NE	PO ?	2516		29			1	11													
NE	FO	2517		29	1	11															
NE	PO	2523		5	1	3															
NE	MI	2537	à -0,36 m	30			1	72													
NE	PO	2545		30	32	264															
NE	PO ?	2570		30	84	347															
O	EX	2383		23	1	27															
O	FS	2584		23	6	44															
	FS	2603		16	3	16															

SECT	ID	n° Hz / Us	remarque	n° TR	CERAM		Lithique		FAUNE		Parure		TCA				METAL				
													Tuil./Tub./ Bri.		Torchis/ TRub		Mo	Cuiv.		Ferreux	
					NR	g	NR	g	Frags	g	NR	g	NR	g	NR	g	NR	NR	g	NR	g
	FS	2604		16	4	28															
SE	PO	2606		16	7	3	1	5							5	7					
SE	PO	2607		16	4	4															
SE	FS	2611	SD manuel	16	206	523	249	598	24	17					23	233					
SE	FS	2611	décapage	16	67	164									100	1210					
SE	FS	2611	décapage de 0,50 à 0,70 m	16			34	271													
SE	FS	2611	décapage de 0,70 à 0,80 m ; 1 fgt bracelet schiste	16			116	294			1	3									
SE	FS	2614		10	2	5	6	14													
SE	FS	2617		16	3	2	6	22							18	392					
SE	FS	2618		12A											2	52					
SE	FS	2620		12	1	5	1	13													
SE	FS	2624		12	1	5	1	6													
SE	EX	2627		16	2	1	2	4													
SE	SD	2636	FS 2617 (sondage)	16	2	4	19	56													
NE	PO	2638		30	2	16															
SE	Ram	2639		11	1	12	2	22													
SE	Ram	2640		12			1	17													
SE	Ram	2642		14			1	15													
	Ram	2643		7			1	17													
	Ram	2644		15			1	10													
NE	Ram	2645		13			1	23													
SE	Ram	2647		10			1	20													
SE	Ram	2648		17			2	22													
SE	Ram	2651		10-A			4	50													
SE	Ram	2652		12B	42	249	1	16													
	Ram	2653		8	8	64															
SE	Ram	2654		10-D	2	13	8	162													
SE	Ram	2655		10-B	6	64	7	116													
SE	Ram	2656		12	3	128	1	15													
SE	Ram	2657	1 fgt bracelet schiste	10	11	49	16	144			1	4									
O	Ram	2659		23			1	15													
			TOTAL :		3554	34091	714	5110	285	2004	3	11	46	3418	178	3371	4	2	18	1	144

4.4 INVENTAIRE DE LA DOCUMENTATION DE L'OPERATION

4.4.1 Documentation écrite (cahiers et carnets d'enregistrement)

-2 cahiers d'enregistrement A4 de fiches d'Horizons et Unités stratigraphiques (Hz / Us).
-1 carnet A4 d'enregistrement d'Horizons et Unités stratigraphiques (Hz / Us).

4.4.2 Documents graphiques (inventaire des relevés A3)

n°inv pl	Hz / Us en coupe	Hz / Us en plan	Hz / Us en mention	auteur
1	2253	2253		Gilles Desrayaud
	2252	2252		Gilles Desrayaud
			2259	Mohammad Rayati
			2513	Mohammad Rayati
			2474	Mohammad Rayati
			2017	Mohammad Rayati
			2015	Mohammad Rayati
			2014	Mohammad Rayati
	2514	2514		François-Xavier Cassan
2			2570	François-Xavier Cassan
	2606	2606		Cécile Ollivier
	2607	2607		Cécile Olilvier
	2515 2597 2598	2515 2597 2598		Mohammad Rayati
	2616	2616		Mohammad Rayati
3	2208	2208		François-Xavier Cassan
	2144	2144		François-Xavier Cassan
4	2611 2637			Cécile Ollivier

4.4.3 Documents photographiques (inventaire des clichés)

n°	Hz / Us	TR	vue depuis	résumé	auteur	date prise
1			NO	Vue générale du terrain le 16/01/2017	Gilles Desrayaud	16/01/2017
2			NO	Vue générale du terrain le 16/01/2017	Gilles Desrayaud	16/01/2017
3			NO	Vue générale du terrain le 16/01/2017	Gilles Desrayaud	16/01/2017
4	2001	TR01	NO	Sondage profond 2001	Gilles Desrayaud	16/01/2017
5	2001	TR01	NO	Sondage profond 2001	Gilles Desrayaud	16/01/2017
6	2021	TR02	SO	Fosse néolithique 2021 : céramique.	Emmanuelle Saron	17/01/2017
7	2021	TR02	SO	Fosse néolithique 2021 : céramique.	Emmanuelle Saron	17/01/2017
8	2021	TR02	NO	Fosse néolithique 2021 : céramique.	Emmanuelle Saron	17/01/2017
9	2021	TR02	NO	Fosse néolithique 2021 : céramique.	Emmanuelle Saron	17/01/2017
10	2021	TR02	NE	Fosse néolithique 2021 : céramique.	Emmanuelle Saron	17/01/2017
11	2021	TR02	NE	Fosse néolithique 2021 : céramique.	Emmanuelle Saron	17/01/2017
12	2029	TR02	NE	Sondage profond 2029, coupe SO.	Gilles Desrayaud	17/01/2017
13	2029	TR02	NE	Sondage profond 2029, coupe SO.	Gilles Desrayaud	17/01/2017
14	2068	TR06	NE	Sondage profond 2068, coupe SO.	Gilles Desrayaud	20/01/2017
15	2068	TR06	E	Sondage profond 2068, coupe SO.	Gilles Desrayaud	20/01/2017
16	2090	TR07	E	Sondage profond 2090, coupe SO.	Gilles Desrayaud	23/01/2017
17	2090	TR07	NE	Sondage profond 2090, coupe SO.	Gilles Desrayaud	23/01/2017
18	2101	TR08	NO	Sondage profond 2101, coupe SE.	Gilles Desrayaud	25/01/2017
19	2101	TR08	NO	Sondage profond 2101, coupe SE.	Gilles Desrayaud	25/01/2017
20	2112	TR08	NE	Sondage profond 2112, vue générale.	Gilles Desrayaud	25/01/2017
21	2112	TR08	SE	Sondage profond 2112, coupe NO.	Gilles Desrayaud	25/01/2017
22	2112	TR08	SE	Sondage profond 2112, coupe NO.	Gilles Desrayaud	25/01/2017

n°	Hz / Us	TR	vue depuis	résumé	auteur	date prise
23	2113	TR09	SE	Fondation de mur 2113.	Emmanuelle Saron	25/01/2017
24	2113	TR09	SE	Fondation de mur 2113.	Emmanuelle Saron	25/01/2017
25	2116	TR09	SE	Sondage profond 2116, coupe NO.	Gilles Desrayaud	25/01/2017
26	2116	TR09	SE	Sondage profond 2116, coupe NO.	Gilles Desrayaud	25/01/2017
27	2119	TR09	NO	Sondage profond 2119, coupe SE.	Gilles Desrayaud	26/01/2017
28	2119	TR09	NO	Sondage profond 2119, coupe SE.	Gilles Desrayaud	26/01/2017
29	2123	TR09	N	Sondage profond 2123-a, coupe SE.	Gilles Desrayaud	26/01/2017
30	2123	TR09	NO	Sondage profond 2123-a, coupe SE.	Gilles Desrayaud	26/01/2017
31	2125	TR10	SE	Sondage profond 2125, coupe NO.	Gilles Desrayaud	26/01/2017
32	2125	TR10	SE	Sondage profond 2125, coupe NO.	Gilles Desrayaud	26/01/2017
33	2129	TR10	NO	Sondage profond 2129, coupe SE.	Emmanuelle Saron	27/01/2017
34	2129	TR10	NO	Sondage profond 2129, coupe SE.	Emmanuelle Saron	27/01/2017
35	2136	TR10	SE	Sondage profond 2136, coupe NO.	Gilles Desrayaud	30/01/2017
36	2136	TR10	SE	Sondage profond 2136, coupe NO.	Gilles Desrayaud	30/01/2017
37	2140	TR11	NO	Sondage profond 2140, coupe SE.	Gilles Desrayaud	30/01/2017
38	2140	TR11	NO	Sondage profond 2140, coupe SE.	Gilles Desrayaud	30/01/2017
39	2145	TR11		FS2145. Hache polie miniature en pierre blanche "marbrée".	Gilles Desrayaud	31/01/2017
40	2145	TR11		FS2145. Hache polie miniature en pierre blanche "marbrée".	Gilles Desrayaud	31/01/2017
41	2145	TR11		FS2145. Hache polie miniature en pierre blanche "marbrée".	Gilles Desrayaud	31/01/2017
42	2145	TR11		FS2145. Hache polie miniature en pierre blanche "marbrée".	Gilles Desrayaud	31/01/2017
43	2153	TR11	NO	Sondage profond 2153, coupe SE.	Emmanuelle Saron	31/01/2017
44	2153	TR11	NO	Sondage profond 2153, coupe SE.	Emmanuelle Saron	31/01/2017
45	2155	TR11	NO	Sondage profond 2155, coupe SE.	Emmanuelle Saron	31/01/2017
46	2155	TR11	NO	Sondage profond 2155, coupe SE.	Emmanuelle Saron	31/01/2017
47	2155	TR11	NO	Sondage profond 2155, coupe SE.	Emmanuelle Saron	31/01/2017
48	2144	TR11	SSO	FS2144, angle sud en cours de fouille. Bracelet complet en alliage cuivreux in situ. Vue sommitale.	Gilles Desrayaud	31/01/2017
49	2144	TR11	SSO	FS2144, angle sud en cours de fouille. Bracelet complet en alliage cuivreux in situ. Vue sommitale.	Gilles Desrayaud	31/01/2017
50	2144	TR11	S	FS2144, angle sud en cours de fouille. Bracelet complet en alliage cuivreux in situ. Vue générale.	Gilles Desrayaud	31/01/2017
51	2157	TR12	NO	Sondage profond 2157, coupe SE.	Emmanuelle Saron	31/01/2017
52	2157	TR12	NO	Sondage profond 2157, coupe SE.	Emmanuelle Saron	31/01/2017
53	2157	TR12	NO	Sondage profond 2157, coupe SE.	Emmanuelle Saron	31/01/2017
54	2142 2144 2146 2664	TR11	ESE	FS2144, angles SE et NE vidés. Vue générale.	Gilles Desrayaud	31/01/2017
55	2142 2144 2146 2664	TR11	ESE	FS2144, angles SE et NE vidés. Vue générale.	Gilles Desrayaud	31/01/2017
56	2144	TR11	SSE	FS2144, angles SE et NE vidés. Vue des coupes de l'angle SE.	Gilles Desrayaud	31/01/2017
57	2144	TR11	SSE	FS2144, angles SE et NE vidés. Vue des coupes de l'angle SE.	Gilles Desrayaud	31/01/2017
58	2144	TR11	ENE	FS2144, angles SE et NE vidés. Vue des coupes de l'angle NE.	Gilles Desrayaud	31/01/2017
59	2144	TR11	ENE	FS2144, angles SE et NE vidés. Vue des coupes de l'angle NE.	Gilles Desrayaud	31/01/2017
60	2161	TR12	NNO	Sondage profond 2161, coupe SE.	Emmanuelle Saron	01/02/2017
61	2161	TR12	NO	Sondage profond 2161, coupe SE.	Emmanuelle Saron	01/02/2017
62	2161	TR12	NO	Sondage profond 2161, coupe SE.	Emmanuelle Saron	01/02/2017
63	2165	TR12	NO	Grande fosse 2165, amas de gros éclats de grès sur bord NE.	Emmanuelle Saron	01/02/2017
64	2165	TR12	SO	Grande fosse 2165, amas de gros éclats de grès sur bord NE.	Emmanuelle Saron	01/02/2017
65	2165	TR12	SE	Grande fosse 2165, amas de gros éclats de grès sur bord NE.	Emmanuelle Saron	01/02/2017
66	2144	TR11		Bracelet en alliage cuivreux complet de la fosse 2144.	Gilles Desrayaud	03/02/2017
67	2179	TR13	SE	FT2179. Concentration de petits fragments d'os brûlés dans limon argileux. Niveau de décapage.	Gilles Desrayaud	03/02/2017
68	2179	TR13	SE	FT2179. Concentration de petits fragments d'os brûlés dans limon argileux. Niveau de décapage.	Gilles Desrayaud	03/02/2017
69	2179	TR13	SE	FT2179. Concentration de petits fragments d'os brûlés dans limon argileux. Fouillé à 50 %.	Gilles Desrayaud	03/02/2017
70	2179	TR13	E	FT2179. Concentration de petits fragments d'os brûlés dans limon argileux. Fouillé à 50 %.	Gilles Desrayaud	03/02/2017
71	2181	TR13	ONO	Sondage profond 2181, coupe ESE.	Gilles Desrayaud	06/02/2017
72	2181	TR13	ONO	Sondage profond 2181, coupe ESE.	Gilles Desrayaud	06/02/2017
73	2144	TR11		FS2144. Epingle en alliage cuivreux complète, trouvée dans la moitié SO de la fosse au détecteur à métaux (à env. 0,1 m de prof. depuis le niveau de décapage).	Gilles Desrayaud	06/02/2017

n°	Hz / Us	TR	vue depuis	résumé	auteur	date prise
74	2144	TR11		FS2144. Epingle en alliage cuivreux complète, trouvée dans la moitié SO de la fosse au détecteur à métaux (à env. 0,1 m de prof. depuis le niveau de décapage).	Gilles Desrayaud	06/02/2017
75	2201 2202	TR16	NE	Grande fosse néolithique 2201 entièrement décapée, fenêtre 16-a, vue générale.	Gilles Desrayaud	07/02/2017
76	2201 2202	TR16	NE	Grande fosse néolithique 2201 entièrement décapée, fenêtre 16-a, vue générale.	Gilles Desrayaud	07/02/2017
77	2201 2202	TR16	S	Grande fosse néolithique 2201 entièrement décapée, fenêtre 16-a, vue générale.	Gilles Desrayaud	07/02/2017
78	2144	TR11	ESE	FS2144. Moitié orientale vidée.	Mohammad Rayati	08/02/2017
79	2144	TR11	ESE	FS2144. Moitié orientale vidée.	Mohammad Rayati	08/02/2017
80	2144	TR11	ESE	FS2144. Moitié orientale vidée.	Mohammad Rayati	08/02/2017
81	2144	TR11	SSO	FS2144. Moitié orientale vidée.	Mohammad Rayati	08/02/2017
82	2144	TR11	ONO	FS2144. Moitié orientale vidée.	Mohammad Rayati	08/02/2017
83	2267 2268	TR21	NE	Grande excavation moderne à contemporaine 2267. Sondage 2268, coupe SO.	Gilles Desrayaud	10/02/2017
84	2267 2268	TR21	NO	Vue de la partie sud de la tranchée 21.	Gilles Desrayaud	10/02/2017
85	2246 2247 2248 2249 2250 2251 2252 2253	TR21	O	Vue de la fenêtre 21a, trous de poteau et fosses.	Gilles Desrayaud	10/02/2017
86	2254 2255 2261	TR21	NO	Vue de la partie centrale de la tranchée 21.	Gilles Desrayaud	10/02/2017
87	2256 2257 2261	TR21	NO	Vue de la moitié sud de la tranchée 21.	Gilles Desrayaud	10/02/2017
88	2269 2270 2271	TR21	NO	Extrémité sud de la tranchée 21. Four/foyer 2269.	Gilles Desrayaud	10/02/2017
89	2269 2270 2271	TR21	NO	Extrémité sud de la tranchée 21. Four/foyer 2269.	Gilles Desrayaud	10/02/2017
90	2267 2268 2269 2270 2271	TR21	SE	Vue générale de la tranchée 21. Four/foyer 2269.	Gilles Desrayaud	10/02/2017
91	2274 2277 2286	TR22	SE	Vue de l'extrémité nord de la tranchée 22, fosses et trous de poteaux supposés.	Emmanuelle Saron	10/02/2017
92	2277 2286	TR22	OSO	Vue de la fenêtre 22c, fosses et trous de poteaux supposés.	Emmanuelle Saron	10/02/2017
93	2287 2290	TR22	NO	Vue de la partie centrale de la TR22, fosses et fossés.	Emmanuelle Saron	10/02/2017
94	2295 2296	TR22	NO	Vue de la partie sud de la TR22, fosses.	Emmanuelle Saron	10/02/2017
95	2305 2307	TR22	NO	Vue de la partie sud de la TR22, fosses et excavations.	Emmanuelle Saron	10/02/2017
96	2272 2273	TR22	NO	Vue de l'extrémité nord de la TR22.	Emmanuelle Saron	10/02/2017
97	2272 2273	TR22	NO	Vue générale de la TR22.	Emmanuelle Saron	10/02/2017
98	2123	TR09	NE	Sondage profond 2123-b, coupe SO.	Sophie Clément	14/02/2017
99	2123	TR09	NE	Sondage profond 2123-b, coupe SO.	Sophie Clément	14/02/2017
100	2155	TR11	NE	Sondage profond 2155-b, coupe SO.	Sophie Clément	14/02/2017
101	2155	TR11	NE	Sondage profond 2155-b, coupe SO.	Sophie Clément	14/02/2017
102	2488	TR11	NE	Sondage profond 2488, coupe SO.	Sophie Clément	15/02/2017
103	2488	TR11	NE	Sondage profond 2488, coupe SO.	Sophie Clément	15/02/2017
104	2488	TR11	NE	Sondage profond 2488, coupe SO.	Sophie Clément	15/02/2017
105	2489	TR26	SE	Sondage profond 2489, coupe NO.	Sophie Clément	15/02/2017
106	2489	TR26	SE	Sondage profond 2489, coupe NO.	Sophie Clément	15/02/2017
107	2489	TR26	SE	Sondage profond 2489, coupe NO.	Sophie Clément	15/02/2017
108	2490	TR12	NE	Sondage profond 2490, coupe SO.	Sophie Clément	15/02/2017

n°	Hz / Us	TR	vue depuis	résumé	auteur	date prise
109	2490	TR12	NE	Sondage profond 2490, coupe SO.	Sophie Clément	15/02/2017
110	2490	TR12	NE	Sondage profond 2490, coupe SO.	Sophie Clément	15/02/2017
111	2491	TR10	NE	Sondage profond 2491, coupe SO.	Sophie Clément	15/02/2017
112	2491	TR10	NE	Sondage profond 2491, coupe SO.	Sophie Clément	15/02/2017
113	2491	TR10	NE	Sondage profond 2491, coupe SO.	Sophie Clément	15/02/2017
114	2252 2253	TR21	SE	PO2252 et FS2253 fouillés à 50 %.	Gilles Desrayaud	15/02/2017
115	2252 2253	TR21	SSO	PO2252 et FS2253 fouillés à 50 %.	Gilles Desrayaud	15/02/2017
116	2259	TR21	NO	PO2259 partiellement fouillé.	Mohammad Rayati	15/02/2017
117		TR25	NO	Vue générale de l'emprise et de la TR25.	Gilles Desrayaud	17/02/2017
118			SSO	Vue du pont à deux arches de la mare du Champtier du Chêne Mort.	Gilles Desrayaud	17/02/2017
119			S	Vue du pont à deux arches de la mare du Champtier du Chêne Mort.	Gilles Desrayaud	17/02/2017
120			E	Vue du ponceau de l'angle SO de la mare du Champtier du Chêne Mort.	Gilles Desrayaud	17/02/2017
121	2474	TR02	SO	PO2474 fouillé à 50%.	Mohammad Rayati	17/02/2017
122	2474	TR02	SO	PO2474 fouillé à 50%.	Mohammad Rayati	17/02/2017
123	2017	TR02	SO	PO2017 testé à 50%.	Mohammad Rayati	17/02/2017
124	2017	TR02	SO	PO2017 testé à 50%.	Mohammad Rayati	17/02/2017
125	2016	TR02	NO	Vue partielle de la fenêtre 02a.	Mohammad Rayati	17/02/2017
126	2479	TR02	NE	Vue partielle de la fenêtre 02a.	Mohammad Rayati	17/02/2017
127	2513	TR29	SE	FS2513 fouillée à 50 %.	Mohammad Rayati	21/02/2017
128	2513	TR29	SE	FS2513 fouillée à 50 %.	Mohammad Rayati	21/02/2017
129	2514 2665	TR29	NO	Sondage 2665, coupe partielle de la fosse profonde 2514.	François-Xavier Cassan	22/02/2017
130	2514 2665	TR29	NO	Sondage 2665, coupe partielle de la fosse profonde 2514.	François-Xavier Cassan	22/02/2017
131	2515 2597 2598	TR29	NNO	Fosse complexe 2515, quart NO fouillé.	Mohammad Rayati	22/02/2017
132	2515 2597 2598	TR29	NNO	Fosse complexe 2515, quart NO fouillé.	Mohammad Rayati	22/02/2017
133	2515 2597 2598	TR29	SSE	Fosse complexe 2515, quart NO fouillé.	Mohammad Rayati	22/02/2017
134	2515 2597 2598	TR29	ENE	Fosse complexe 2515, quart NO fouillé.	Mohammad Rayati	22/02/2017
135	2515 2597 2598	TR29	OSO	Fosse complexe 2515, quart NO fouillé.	Mohammad Rayati	22/02/2017
136	2515 2597 2598	TR29	OSO	Fosse complexe 2515, quart NO fouillé. Coupe partielle NNE-SSO.	Mohammad Rayati	22/02/2017
137	2515 2597	TR29	OSO	Fosse complexe 2515, quart NO fouillé. Coupe partielle NNE-SSO.	Mohammad Rayati	22/02/2017
138	2515 2597	TR29	OSO	Fosse complexe 2515, quart NO fouillé. Coupe partielle NNE-SSO.	Mohammad Rayati	22/02/2017
139	2515 2598	TR29	NNO	Fosse complexe 2515, quart NO fouillé. Coupe partielle ENE-OSO.	Mohammad Rayati	22/02/2017
140	2515 2598	TR29	NNO	Fosse complexe 2515, quart NO fouillé. Coupe partielle ENE-OSO.	Mohammad Rayati	22/02/2017
141	2515 2598	TR29	NNO	Fosse complexe 2515, quart NO fouillé. Coupe partielle ENE-OSO.	Mohammad Rayati	22/02/2017
142	2510	TR29	SO	Fosse 2510, nettoyage de surface.	Mohammad Rayati	23/02/2017
143	2510	TR29	S	Fosse 2510, nettoyage de surface.	Mohammad Rayati	23/02/2017
144	2510	TR29	O	Fosse 2510, nettoyage de surface.	Mohammad Rayati	23/02/2017
145	2510	TR29	O	Fosse 2510, nettoyage de surface. Détail de la céramique.	Mohammad Rayati	23/02/2017
146	2510	TR29	OSO	Fosse 2510, après prélèvement de la céramique.	Mohammad Rayati	23/02/2017
147	2510	TR29	OSO	Fosse 2510, après prélèvement de la céramique.	Mohammad Rayati	23/02/2017
148	2611	TR16		Elements lithiques taillés du premier décapage de la fosse 2611.	Gilles Desrayaud	24/02/2017
149	2607	TR16	SE	PO2607 fouillé à 50 %.	Mohammad Rayati	24/02/2017
150	2607	TR16	SE	PO2607 fouillé à 50 %.	Mohammad Rayati	24/02/2017
151	2607	TR16	SE	PO2607 fouillé à 50 %.	Mohammad Rayati	24/02/2017
152	2607	TR16	SE	PO2607 fouillé à 50 %.	Mohammad Rayati	24/02/2017
153	2606	TR16	ESE	PO2606 fouillé à 50 %.	Mohammad Rayati	24/02/2017

n°	Hz / Us	TR	vue depuis	résumé	auteur	date prise
154	2606	TR16	ESE	PO2606 fouillé à 50 %.	Mohammad Rayati	24/02/2017
155	2616	TR16	ONO	PO2616 fouillé à 50 %.	Mohammad Rayati	24/02/2017
156	2616	TR16	ONO	PO2616 fouillé à 50 %.	Mohammad Rayati	24/02/2017
157		TR31	OSO	Vue générale de la tranchée 31.	Gilles Desrayaud	23/02/2017
158	2574 2575	TR31	OSO	Vue de la moitié orientale de la tranchée 31.	Gilles Desrayaud	23/02/2017
159	2574 2575	TR32	OSO	Vue de la tranchée 32.	Gilles Desrayaud	23/02/2017
160	2607 2608 2610 2611	TR16	OSO	Vue de la fenêtre 16-e en cours de décapage.	Emmanuelle Saron	23/02/2017
161	2607 2608 2610 2611	TR16	OSO	Vue de la fenêtre 16-e en cours de décapage.	Emmanuelle Saron	23/02/2017
162	2607 2608 2610 2611	TR16	OSO	Vue de la fenêtre 16-e en cours de décapage.	Emmanuelle Saron	23/02/2017
163	2607 2608 2610 2611	TR16	OSO	Vue de la fenêtre 16-e en cours de décapage.	Emmanuelle Saron	23/02/2017
164	2607 2608 2610 2611	TR16	OSO	Vue de la fenêtre 16-e en cours de décapage.	Emmanuelle Saron	23/02/2017
165	2607 2608 2610 2611	TR16	OSO	Vue de la fenêtre 16-e en cours de décapage.	Emmanuelle Saron	23/02/2017
166	2607 2608 2610 2611	TR16	OSO	Vue de la fenêtre 16-e en cours de décapage.	Emmanuelle Saron	23/02/2017
167	2605 2607 2608 2610 2612 2613	TR16	ONO	Vue de la fenêtre 16-e après décapage.	Emmanuelle Saron	23/02/2017
168	2605 2607 2608 2610 2612 2613	TR16	ONO	Vue de la fenêtre 16-e après décapage.	Emmanuelle Saron	23/02/2017
169	2212 2213 2605 2607 2608 2610 2611 2612 2613 2637	TR16	N	Vue de la fenêtre 16-e après décapage.	Emmanuelle Saron	23/02/2017
170	2212 2213 2605 2607 2608 2610 2611 2612 2613 2637	TR16	N	Vue de la fenêtre 16-e après décapage.	Emmanuelle Saron	23/02/2017

n°	Hz / Us	TR	vue depuis	résumé	auteur	date prise
171	2208 2212 2213 2605 2607 2610 2611	TR16	N	Vue de la fenêtre 16-e après décapage.	Emmanuelle Saron	23/02/2017
172	2611 2637	TR16	SO	Vue de la fenêtre 16-e après décapage.	Emmanuelle Saron	23/02/2017
173	2611 2637	TR16	SO	Vue de la fenêtre 16-e après décapage.	Emmanuelle Saron	23/02/2017
174	2206 2208 2209 2210 2211 2610	TR16	E	Vue de la fenêtre 16-e après décapage.	Emmanuelle Saron	23/02/2017
175	2206 2208 2209 2210 2211 2610	TR16	E	Vue de la fenêtre 16-e après décapage.	Emmanuelle Saron	23/02/2017
176	2611 2637	TR16	NE	Fenêtre 16-e, sondage 2637 en cours sur la fosse néolithique 2611.	Emmanuelle Saron	23/02/2017
177	2611 2637	TR16	NO	Fenêtre 16-e, sondage 2637 en cours sur la fosse néolithique 2611.	Emmanuelle Saron	23/02/2017
178	2611 2637	TR16	NO	Fenêtre 16-e, sondage 2637 en cours sur la fosse néolithique 2611.	Emmanuelle Saron	23/02/2017
179	2611 2637	TR16	NE	Fenêtre 16-e, sondage 2637 en cours sur la fosse néolithique 2611.	Emmanuelle Saron	23/02/2017
180	2611 2637	TR16	SE	Fenêtre 16-e, sondage 2637 en cours sur la fosse néolithique 2611.	Emmanuelle Saron	23/02/2017
181	2611 2637	TR16	SO	Fenêtre 16-e, sondage 2637 en cours sur la fosse néolithique 2611.	Emmanuelle Saron	23/02/2017
182	2611 2637	TR16	SE	Fen16-e, SD2637, sondage manuel en cours sur la fosse néolithique 2611 : céramique, vue sommitale.	Cécile Ollivier	27/02/2017
183	2611 2637	TR16	SE	Fen16-e, SD2637, sondage manuel en cours sur la fosse néolithique 2611 : céramique, vue sommitale.	Cécile Ollivier	27/02/2017
184	2611 2637	TR16	SO	Fen16-e, SD2637, sondage manuel en cours sur la fosse néolithique 2611 : céramique.	Cécile Ollivier	27/02/2017
185	2611 2637	TR16	SO	Fen16-e, SD2637, sondage manuel en cours sur la fosse néolithique 2611 : céramique.	Cécile Ollivier	27/02/2017
186	2611 2637	TR16	NO	Fen16-e, SD2637, sondage manuel en cours sur la fosse néolithique 2611 : céramique, détail.	Cécile Ollivier	27/02/2017
187	2611 2637	TR16	SO	Fen16-e, SD2637, sondage manuel en cours sur la fosse néolithique 2611 : céramique, détail.	Cécile Ollivier	27/02/2017
188	2611 2637	TR16	SE	Fen16-e, SD2637, sondage manuel en cours sur la fosse néolithique 2611 : céramique, détail.	Cécile Ollivier	27/02/2017
189	2611 2637	TR16	SE	Fen16-e, SD2637, sondage manuel en cours sur la fosse néolithique 2611 : céramique, détail.	Cécile Ollivier	27/02/2017
190	2611 2637	TR16	NE	Fen16-E, SD2637, sondage manuel en cours sur la fosse néolithique 2611 : céramique, détail.	Cécile Ollivier	27/02/2017
191	2611 2637	TR16	SE	Fen16-e, SD2637, sondage manuel en cours sur la fosse néolithique 2611 : céramique, vue sommitale.	Cécile Ollivier	27/02/2017
192	2611 2616 2637	TR16	NE	Fen16-e, SD2637, sondage manuel en cours sur la fosse néolithique 2611.	Cécile Ollivier	27/02/2017
193	2611 2616 2637	TR16	SO	Fen16-e, SD2637, sondage manuel en cours sur la fosse néolithique 2611 : céramique.	Cécile Ollivier	27/02/2017
194	2208	TR16	SE	PO2208 fouillé à 50 %.	François-Xavier Cassan	27/02/2017
195	2208	TR16	SE	PO2208 fouillé à 50 %.	François-Xavier Cassan	27/02/2017
196	2611 2637	TR16	SE	Fen16-e, SD2637, sondage manuel en cours sur la fosse néolithique 2611 : céramique. CLOUS TOPO. Vue sommitale.	Cécile Ollivier	27/02/2017
197	2611 2637	TR16	SE	Fen16-e, SD2637, sondage manuel en cours sur la fosse néolithique 2611 : céramique. CLOUS TOPO.	Cécile Ollivier	27/02/2017

n°	Hz / Us	TR	vue depuis	résumé	auteur	date prise
198	2611 2637	TR16	S	Fen16-e, SD2637, sondage manuel en cours sur la fosse néolithique 2611 : céramique. CLOUS TOPO.	Cécile Ollivier	27/02/2017
199	2611 2637	TR16	SO	Fen16-e, SD2637, sondage manuel en cours sur la fosse néolithique 2611 : céramique. CLOUS TOPO.	Cécile Ollivier	27/02/2017
200	2611 2637	TR16	O	Fen16-e, SD2637, sondage manuel en cours sur la fosse néolithique 2611 : céramique. CLOUS TOPO.	Cécile Ollivier	27/02/2017
201	2611 2637	TR16	NO	Fen16-e, SD2637, sondage manuel en cours sur la fosse néolithique 2611 : céramique. CLOUS TOPO.	Cécile Ollivier	27/02/2017
202	2611 2637	TR16	N	Fen16-e, SD2637, sondage manuel en cours sur la fosse néolithique 2611 : céramique. CLOUS TOPO.	Cécile Ollivier	27/02/2017
203	2611 2637	TR16	NE	Fen16-e, SD2637, sondage manuel en cours sur la fosse néolithique 2611 : céramique. CLOUS TOPO.	Cécile Ollivier	27/02/2017
204	2611 2637	TR16	SE	Fen16-e, SD2637, sondage manuel en cours sur la fosse néolithique 2611 : céramique. CLOUS TOPO.	Cécile Ollivier	27/02/2017
205	2206 2617 2636	TR16	NO	Fen16-L, SD2636, décapage de la fosse néolithique 2617.	Gilles Desrayaud	28/02/2017
206	2206 2617 2636	TR16	NO	Fen16-L, SD2636, décapage de la fosse néolithique 2617.	Gilles Desrayaud	28/02/2017
207	2206 2617 2636	TR16	SO	Fen16-L, SD2636, décapage de la fosse néolithique 2617.	Gilles Desrayaud	28/02/2017
208	2206 2617 2636	TR16	SO	Fen16-L, SD2636, décapage de la fosse néolithique 2617.	Gilles Desrayaud	28/02/2017
209	2617 2636	TR16	SE	Fen16-L, SD2636, décapage de la fosse néolithique 2617.	Gilles Desrayaud	28/02/2017
210	2617 2636	TR16	SE	Fen16-L, SD2636, décapage de la fosse néolithique 2617.	Gilles Desrayaud	28/02/2017
211	2617 2636	TR16	NE	Fen16-L, SD2636, décapage de la fosse néolithique 2617.	Gilles Desrayaud	28/02/2017
212	2617 2636	TR16	NE	Fen16-L, SD2636, décapage de la fosse néolithique 2617.	Gilles Desrayaud	28/02/2017
213	2201	TR16	NE	Fen16-A, fosse néolithique 2201, sondage manuel B (partiel).	Emmanuelle Saron	01/03/2017
214	2201	TR16	NE	Fen16-A, fosse néolithique 2201, sondage manuel B (partiel).	Emmanuelle Saron	01/03/2017
215	2201	TR16	SO	Fen16-A, fosse néolithique 2201, sondage manuel A.	Gilles Desrayaud	01/03/2017
216	2201	TR16	SO	Fen16-A, fosse néolithique 2201, sondage manuel A.	Gilles Desrayaud	01/03/2017
217	2201	TR16	O	Fen16-A, fosse néolithique 2201, sondage manuel A.	Gilles Desrayaud	01/03/2017
218	2201	TR16	NO	Fen16-A, fosse néolithique 2201, sondage manuel A.	Gilles Desrayaud	01/03/2017
219	2201	TR16	SE	Fen16-A, fosse néolithique 2201, sondage manuel C.	Olivier Roncin	01/03/2017
220	2201	TR16	SE	Fen16-A, fosse néolithique 2201, sondage manuel C.	Olivier Roncin	01/03/2017
221	2636	TR16	ENE	Fen16-L, sondage 2636, FS2617 inondés.	Emmanuelle Saron	02/03/2017
222	2636	TR16	E	Fen16-L, sondage 2636, FS2617 inondés.	Emmanuelle Saron	02/03/2017
223	2637	TR16	NE	Fen16-E, sondage 2637, FS2611 inondés.	Emmanuelle Saron	02/03/2017
224	2611	TR16	SO	Fen16-E, sondage 2637, test manuel dans la fosse néolithique 2611 : FAUNE	Cécile Ollivier	02/03/2017
225	2611	TR16	SO	Fen16-E, sondage 2637, test manuel dans la fosse néolithique 2611 : FAUNE	Cécile Ollivier	02/03/2017
226	2611	TR16	SO	Fen16-E, sondage 2637, test manuel dans la fosse néolithique 2611 : FAUNE	Cécile Ollivier	02/03/2017
227	2611 2637	TR16	NO	Fen16-E, sondage 2637, test manuel, fosse néolithique 2611.	Emmanuelle Saron	02/03/2017
228	2611 2637	TR16	NO	Fen16-E, sondage 2637, test manuel, fosse néolithique 2611.	Emmanuelle Saron	02/03/2017
229	2611 2637	TR16	NO	Fen16-E, sondage 2637, test manuel, fosse néolithique 2611 : coupe partielle.	Emmanuelle Saron	02/03/2017
230	2611 2637	TR16	NE	Fen16-E, sondage 2637, test manuel, fosse néolithique 2611.	Emmanuelle Saron	02/03/2017
231	2611 2637	TR16	NE	Fen16-E, sondage 2637, test manuel, fosse néolithique 2611.	Emmanuelle Saron	02/03/2017
232	2611 2637	TR16	NE	Fen16-E, sondage 2637, test manuel, fosse néolithique 2611.	Emmanuelle Saron	02/03/2017
233	2611 2637	TR16	NO	Fen16-E, sondage 2637, test manuel, fosse néolithique 2611.	Emmanuelle Saron	02/03/2017
234	2611 2637	TR16	NO	Fen16-E, sondage 2637, test manuel, fosse néolithique 2611 : COUPE partielle.	Emmanuelle Saron	02/03/2017
235	2611 2637	TR16	NO	Fen16-E, sondage 2637, test manuel, fosse néolithique 2611 : COUPE partielle.	Emmanuelle Saron	02/03/2017

n°	Hz / Us	TR	vue depuis	résumé	auteur	date prise
236	2611 2637	TR16	NO	Fen16-E, sondage 2637, test manuel, fosse néolithique 2611 : COUPE partielle.	Emmanuelle Saron	02/03/2017
237	2611 2637	TR16	NO	Fen16-E, sondage 2637, test manuel, fosse néolithique 2611 : COUPE partielle.	Emmanuelle Saron	02/03/2017
238	2611 2637	TR16	NE	Fen16-E, sondage 2637, test manuel, fosse néolithique 2611.	Emmanuelle Saron	02/03/2017
239	2611 2637	TR16	NE	Fen16-E, sondage 2637, test manuel, fosse néolithique 2611.	Emmanuelle Saron	02/03/2017
240	2611 2637	TR16	NE	Fen16-E, sondage 2637, test manuel, fosse néolithique 2611.	Emmanuelle Saron	02/03/2017
241	2611 2637	TR16	NE	Fen16-E, sondage 2637, test manuel, fosse néolithique 2611.	Emmanuelle Saron	02/03/2017
242	2611 2637	TR16	NE	Fen16-E, sondage 2637, test manuel, fosse néolithique 2611 : coupe partuelle.	Emmanuelle Saron	02/03/2017
243	2611 2637	TR16	NE	Fen16-E, sondage 2637, test manuel, fosse néolithique 2611 : coupe partuelle.	Emmanuelle Saron	02/03/2017
244	2611 2637	TR16	NE	Fen16-E, sondage 2637, test manuel, fosse néolithique 2611 : coupe partuelle.	Emmanuelle Saron	02/03/2017
245	2611 2617 2636 2637	TR16	SO	Vue des fenêtres 16-E et 16-L (partiellement inondées), sondages 2636 et 2637, fosses néolithiques 2611-2617, bâtiment sur poteaux.	Emmanuelle Saron	02/03/2017
246	2611 2617 2636 2637	TR16	SO	Vue des fenêtres 16-E et 16-L (partiellement inondées), sondages 2636 et 2637, fosses néolithiques 2611-2617, bâtiment sur poteaux.	Emmanuelle Saron	02/03/2017
247	2611 2637	TR16	SE	Fen16-E, sondage 2637 coupe NO, Log2637 sur Us 2611-b.	Emmanuelle Saron	02/03/2017
248	2611 2637	TR16	NE	Fen16-E, COUPE berme SO, bord SE du SD2637, Us 2611-b sur bord SO de la fosse néolithique 2611.	Emmanuelle Saron	02/03/2017
249	2611 2637	TR16	NE	Fen16-E, COUPE berme SO, bord SE du SD2637, Us 2611-b sur bord SO de la fosse néolithique 2611.	Emmanuelle Saron	02/03/2017
250	2609 2617	TR16	SO	Fen16-L, COUPE berme NE, bord NE de la fosse néolithique 2617.	Emmanuelle Saron	02/03/2017
251	2609 2617	TR16	SO	Fen16-L, COUPE berme NE, bord NE de la fosse néolithique 2617.	Emmanuelle Saron	02/03/2017
252	2609	TR16	SO	Trou de poteau supposé 2609.	Emmanuelle Saron	02/03/2017
253	2198	TR16	NO	Fosse 2198 après nettoyage manuelle de surface à la rasette.	Olivier Roncin	02/03/2017
254	2198 2627	TR16	NO	Fen16-F, fosses 2198-2627 après nettoyage manuelle de surface à la rasette.	Olivier Roncin	02/03/2017
255	2198	TR16	SO	Fosse 2198 après nettoyage manuelle de surface à la rasette.	Olivier Roncin	02/03/2017
256	2198	TR16	N	Détail du comblement de la fosse 2198 après nettoyage manuelle de surface à la rasette.	Olivier Roncin	02/03/2017
257	2627	TR16	ENE	Fen 16-F, vue partielle de la fosse 2627 après nettoyage manuelle de surface à la rasette.	Olivier Roncin	02/03/2017
258	2627	TR16	ENE	Fen 16-F, vue partielle de la fosse 2627 après nettoyage manuelle de surface à la rasette.	Olivier Roncin	02/03/2017
259	2627	TR16	ENE	Fen 16-F, vue de détail du comblement de la fosse 2627 après nettoyage manuelle de surface à la rasette. Recoupée par drain contemporain.	Olivier Roncin	02/03/2017
260	2627	TR16	SSO	Fen 16-F, vue de détail du comblement de la fosse 2627 après nettoyage manuelle de surface à la rasette.	Olivier Roncin	02/03/2017
261	2627 2628	TR16	ENE	Fen 16-F, vue de la fosse 2628 après nettoyage manuelle de surface à la rasette.	Olivier Roncin	02/03/2017
262	2627 2628	TR16	SSO	Fen 16-F, vue de la fosse 2628 après nettoyage manuelle de surface à la rasette.	Olivier Roncin	02/03/2017
263	2627 2628	TR16	SSE	Fen 16-F, vue des fosses 2627 et 2628 après nettoyage manuelle de surface à la rasette.	Olivier Roncin	02/03/2017
264			SSO	Vue générale du secteur sud est du diagnostic, néolithique et âge du Bronze, avant rebouchage des tranchées.	Gilles Desrayaud	02/03/2017
265			SSO	Vue générale du secteur sud est du diagnostic, néolithique et âge du Bronze, avant rebouchage des tranchées.	Gilles Desrayaud	02/03/2017
266	2274	TR22	O	Sondage manuel dans la fosse 2274.	Gilles Desrayaud	03/03/2017
267	2293	TR22	SO	Trou de poteau supposé 2293 fouillé à 50 %.	Cécile Ollivier	03/03/2017
268	2331	TR22	S	Trou de poteau supposé 2331 fouillé à 50 %.	Cécile Ollivier	03/03/2017
269	2331	TR22	S	Trou de poteau supposé 2331 fouillé à 50 %.	Cécile Ollivier	03/03/2017
270	2278	TR22	O	Sondage manuel dans la fosse 2278.	Gilles Desrayaud	03/03/2017
271	2325	TR22	SE	Sondage manuel dans la fosse 2325.	Gilles Desrayaud	03/03/2017
272	2285	TR22	S	Fosse 2285 fouillée à 50 %.	Cécile Ollivier	03/03/2017

n°	Hz / Us	TR	vue depuis	résumé	auteur	date prise
273	2337 2338 2341	TR22	OSO	Test manuel partiel sur les fosses 2337, 2338 et 2341.	Emmanuelle Saron	03/03/2017
274	2337 2338 2341	TR22	SE	Test manuel partiel sur les fosses 2337, 2338 et 2341.	Emmanuelle Saron	03/03/2017
275	2337 2338 2341	TR22	SE	Test manuel partiel sur les fosses 2337, 2338 et 2341.	Emmanuelle Saron	03/03/2017
276 à 356				COUVERTURE PHOTOGRAPHIQUE DU PONT ET DE LA MARE PAREMENTEE DU CHAMPTIER DU CHENE MORT.	Philippe Lenhardt	21/03/2017

4.4.4 Documents numériques

Rapport :
-Texte et tableaux : Microsoft Office Word 2003 et PDF.
-Tableaux : Microsoft Office Excel 2003.
-Figures : Adobe Illustrator CS4 et Jpeg.
-Version PDF.

Inventaires :
-File Maker Pro 5.
-Microsoft Office Excel 2003.
-Version PDF.

Scans et Photographies :
-PDF.
-Jpeg.

Planches illustrées :
-Adobe Illustrator CS4.
-Version PDF.

Plan général et topographie :
-Microsoft Office Excel 2003.
-DWG (Autocad / Draftsight)
-Adobe Illustrator CS4.

Liste des figures

Fig 1 : Localisation de l'intervention sur le fond de carte IGN au 1/25000 (© IGN Paris 2004)
Fig 2 : Localisation de l'intervention sur le fond cadastral (© cadastre.gouv.fr 2017)
Fig 3 : Localisation des opérations archéologiques Afan / Inrap 2000-2017 sur le fond de carte IGN au 1/25000 (© IGN Paris 2004).
Fig 4 : Localisation et contexte géographique du diagnostic (© INRAP)
Fig 5 : Contexte géologique du diagnostic (extrait de la *CARTE GÉOLOGIQUE À 1/50000* 1969 ; source : *Info Terre*)
Fig 6 : Profil pédo-géologique SSO/NNE schématique de l'emprise de diagnostic (© INRAP : G. Desrayaud)
Fig 7 : Plan général du diagnostic (© INRAP : G. Desrayaud, Ph. Lenhardt, R. Touquet)
Fig 8 : Coupe synthétique des relevés des logs "paléolithiques". NGF moyen. (© INRAP ; DAO Sophie Clément)
Fig 9 : Eclats caractéristiques du débitage Levallois des sondages 2155, 2488 et 2489 (© INRAP ; Dessins par Eve Boitard-Bidaut, Inrap)
Fig 10 : Secteur sud, extension potentielle du site paléolithique moyen au sein de l'emprise de diagnostic (© INRAP : S. Clément, G. Desrayaud, Ph. Lenhardt, R. Touquet)
Fig 11 : Inventaire des pièces paléolithiques (© INRAP : S. Clément)
Fig 12a : Plan du SECTEUR SUD EST 1/2 (© INRAP : G. Desrayaud, Ph. Lenhardt, R. Touquet)
Fig 12b : Plan du SECTEUR SUD EST 2/2 (© INRAP : G. Desrayaud, Ph. Lenhardt, R. Touquet)
Fig 13 : SECTEUR SUD EST, inventaire des mobiliers néolithiques (© INRAP : G. Desrayaud, C. Ollivier)
Fig 14 : Sect. SE, TR16, maison du Néolithique ancien supposée n°1 (© INRAP : G. Desrayaud, Ph. Lenhardt, R. Touquet)
Fig 15 : Sect. SE, TR16, fosse latérale du Néolithique ancien 2201 depuis le SSO (mire de 4 m ; bords détourés à la peinture orange ; © INRAP : G. Desrayaud)
Fig 16 : Sect. SE, TR16, sondage partiel B dans la fosse latérale du Néolithique ancien 2201, depuis le NE. Rejets de fragments de terre chauffée/rubéfiées (© INRAP : E. Saron)
Fig 17 : Sect. SE, TR16, maison du Néolithique ancien supposée n°2 (© INRAP : G. Desrayaud, Ph. Lenhardt, R. Touquet)
Fig 18 : Sect. SE, TR16, FOS2611, sondage 2637 coupe SE (© INRAP : G. Desrayaud, C. Ollivier, E. Saron)
Fig 19 : Fosse latérale 2611, sondage manuel 2637 en cours, Us 2611-A2, fragments de céramiques et de faune (© INRAP : C. Ollivier)
Fig 20 : SECTEUR SUD EST, tranchées positives non rebouchées, vu depuis le SO, 02/03/2017 (© INRAP : G. Desrayaud)
Fig 21 : Sect. SE, TR11, fosse du Bronze final 2144, coupe longitudinale (© INRAP : G. Desrayaud, F.-X. Cassan, M. Rayati)
Fig 22 : Fosse 2144, bracelet en alliage cuivreux *in situ* (© INRAP : G. Desrayaud, F.-X. Cassan)
Fig 23 : Sect. SE, TR11, fosse du Bronze final 2144 en cours de fouille, depuis l'ESE (© INRAP : G. Desrayaud, F.-X. Cassan)
Fig 24 : Plan du SECTEUR NORD EST (© INRAP : G. Desrayaud, Ph. Lenhardt, R. Touquet)
Fig 25 : SECTEUR NORD EST, inventaire des mobiliers (© INRAP : G. Desrayaud, C. Ollivier)
Fig 26 : Sect. NE, TR29, fosse 2510, nettoyage de surface, tessons modelés grossiers (© INRAP : M. Rayati)
Fig 27 : Sect. NE, TR29, fosse 2514, coupe partielle (© INRAP : G. Desrayaud, F.-X. Cassan, C. Ollivier)
Fig 28 : Sect. NE, TR29, fosse complexe 2515, coupes partielles (© INRAP : G. Desrayaud, M. Rayati)
Fig 29 : Sect. NE, TR29, FS2513, en cours de fouille, depuis le SSE (© INRAP : M. Rayati)
Fig 30 : Plan du secteur nord ouest (© INRAP : G. Desrayaud, Ph. Lenhardt, R. Touquet)
Fig 31 : Fosse du Néolithique moyen 2021, nettoyage de surface (© INRAP : E. Saron)
Fig 32 : Fenêtre 02-A, poteau 2017 en cours de fouille (© INRAP : M. Rayati)
Fig 33 : Fenêtre 02-A, poteau 2474 fouillé à 50 % (© INRAP : M. Rayati)
Fig 34 : Plan de la partie septentrionale du SECTEUR OUEST (© INRAP : G. Desrayaud, Ph. Lenhardt, R. Touquet)
Fig 35 : Plan de la partie méridionale du SECTEUR OUEST (© INRAP : G. Desrayaud, Ph. Lenhardt, R. Touquet)
Fig 36 : SECTEUR OUEST, inventaire des mobiliers collectés (© INRAP : G. Desrayaud, C. Ollivier)
Fig 37 : Sect. OUEST, inventaire des mobiliers gallo-romains collectés (© INRAP : C. Claude, G. Desrayaud)
Fig 38 : Sect. OUEST, TR 21, four/foyer 2269 et excavation 2271, depuis le NNO (© INRAP : G. Desrayaud)
Fig 39 : Sect. OUEST, Inventaire de la céramique médiévale à moderne collectée (© INRAP : C. Claude)
Fig 40 : Sect. OUEST, TR19, FS2231, bord de cruche des XIe-XIIe s. ap. J.-C. (© INRAP : C. Claude)
Fig 41 : Sect. OUEST, TR19, EX2267, fragments de tuile plate à crochet moderne (© INRAP : C. Claude)
Fig 42 : Sect. OUEST, vue de la partie sud de la TR22 (© INRAP : E. Saron)
Fig 43 : Sect. OUEST, fouille manuelle partielle de la fosse 2274 (© INRAP : G. Desrayaud)
Fig 44 : Sect. OUEST, TR21, coupes du poteau 2252 et du silo probable 2253 (*TPQ* : XIe-XIIe s. ap. J.-C.) ; 2253-c : **cf. § 3.4**, BAYLE (© INRAP : G. Desrayaud)
Fig 45 : Cadastre napoléonien de 1823, récolement des fossés, fondations de mur et mares modernes / contemporains et non datés (© INRAP : G. Desrayaud, Ph. Lenhardt, R. Touquet)
Fig 46 : Plan terrier du XVIIIe s., récolement approximatif des fossés, fondations de mur et mares modernes / contemporains et non datés (© INRAP : G. Desrayaud, Ph. Lenhardt, R. Touquet)
Fig 47 : Mobiliers collectés des fossés modernes à contemporains et non datés (© INRAP : G. Desrayaud, C. Ollivier)
Fig 48 : Localisation de la ferme de Tournenfil sur les cartes de l'abbé Lebeuf et de Cassini, XVIIIe s. (© INRAP : Ph. Lenhardt)

Fig 49 : Localisation de la ferme de Tournanfy / Tournenfils sur le Plan d'intendance et le Cadastre napoléonien (© INRAP : Ph. Lenhardt)
Fig 50 : Evolution des abords de la ferme de Tournenfils depuis le milieu du XVIIIe s. à nos jours (© INRAP : Ph. Lenhardt)
Fig 51 : Plan du secteur de la mare parementée et du pont à deux arches du *Champtier du Chêne Mort* (© INRAP : G. Desrayaud, Ph. Lenhardt, R. Touquet)
Fig 52 : « Plan du fief de Tournenphis », plan terrier de Tournenfils du XVIIIe s. – AN N4158- (© INRAP : Ph. Lenhardt)
Fig 53 : *Tournenfils* / *Le Champtier du Chêne Mort*, localisation des anciennes installations, aujourd'hui disparues, sur le cadastre actuel (© INRAP : Ph. Lenhardt)
Fig 54: Vues du pont à deux arches du *Champtier du Chêne Mort* et des fermes de Tournenfils (© INRAP : Ph. Lenhardt)
Fig 55: Vues du pont à deux arches de la mare du *Champtier du Chêne Mort*, février et mars 2017 (© INRAP : G. Desrayaud, Ph. Lenhardt)
Fig 56: Vues du pont à deux arches et des aménagements de la mare parementée du *Champtier du Chêne Mort*, 21 mars 2017 (© INRAP : Ph. Lenhardt)
Fig 57: Plan de répartition des indices de datation et secteurs archéologiques (© INRAP : G. Desrayaud)

Fig. 3.1.1 : Silex secondaire, fosse 2611 (© INRAP : Romana Blaser)
Fig. 3.1.2 : Lame, ram. 2639, colluvions 2153-1, TR11 (© INRAP : Laurent Petit, Eve Boitard)
Fig. 3.1.3 : Lames, fosse latérale 2611, TR16 (© INRAP : Laurent Petit)
Fig. 3.1.4 : Lame à crête, fosse latérale 2611, TR16 (© INRAP : Laurent Petit)
Fig. 3.1.5 : Micro-burins, secteur sud-est (© INRAP : Eve Boitard)
Fig. 3.1.6 : Armatures, secteur sud-est (© INRAP : Eve Boitard)
Fig. 3.1.7 : Armatures tranchantes, en cours de fabrication, FS2145 (© INRAP : Romana Blaser)
Fig. 3.1.8 : Lames et nucléus, ramassage 2139, TR11 (© INRAP : Romana Blaser)
Fig. 3.1.9 : Hache miniature de la fosse 2145 (© INRAP, Laurent Petit, Eve Boitard)
Fig. 3.1.10 : Fragments de haches 2118 et 2537 (© INRAP, Laurent Petit)
Fig. 3.1.11 : Carte des sites Rubané final / VSG ancien dans le secteur proche du Coudray-Montceaux (© INRAP, Romana Blaser)
Fig. 3.1.12 : Carte des sites Cerny dans le secteur proche du Coudray-Montceaux (© INRAP, Romana Blaser)

Fig. 3.2.1 : Mobilier céramique néolithique par période chronologique (© INRAP, Stéphane Durand)
Fig. 3.2.2 : Secteur SE, quantité et provenance des torchis prélevés (© INRAP, Stéphane Durand)
Fig. 3.2.3 : Matière ferreuse en surface et sur la tranche d'un tesson de la céramique de la fosse 2021 (© INRAP, Stéphane Durand)
Fig. 3.2.4 : Fragment d'anse de la céramique de la fosse 2021 (© INRAP, Stéphane Durand)
Fig. 3.2.5 : Fragments d'anse de la céramique de la fosse 2021 (© INRAP, Stéphane Durand)
Planche 3.2.1 : Tranchée 16, céramique décorée de la fosse latérale 2611 ; 1 à 3 : sondage manuel 2637 ; 4 à 6 : décapage (© INRAP, Stéphane Durand)
Planche 3.2.2 : Tranchée 16, céramique de la fosse latérale 2611 ; sd : sondage manuel 2637 ; d : décapage (© INRAP, Stéphane Durand)
Planche 3.2.3 : Tranchée 16, céramique de la fosse latérale 2201 ; sd : sondage et son numéro ; d : décapage (© INRAP, Stéphane Durand)
Planche 3.2.4 : Tranchée 29, céramique de la fosse 2510 (© INRAP, Stéphane Durand)

Fig. 3.3.1 : Inventaire général de la céramique protohistorique (© INRAP, Hélène Civalleri)
Fig. 3.3.2 : Gros fragments de chamotte visibles dans la tranche de la céramique 2144-36 (© INRAP, cliché H. Civalleri)
Fig. 3.3.3 : Inclusions de quartz visibles en surface de la céramique 2144-27 (© INRAP, cliché H. Civalleri)
Fig. 3.3.4 : Inclusions de silex visibles en surface de la céramique 2144-35 (© INRAP, cliché H. Civalleri)
Fig. 3.3.5 : Fosse 2144, inventaire général de la céramique (© INRAP, Hélène Civalleri)
Fig. 3.3.6 : FS2144, graphiques comparatifs des pourcentages observés en fonction des poids et NMI par type de pâtes (© INRAP, Hélène Civalleri)
Fig. 3.2. 7 : Altération de la surface externe de l'individu 2144-13 (© INRAP, cliché H. Civalleri)
Fig. 3.3.8 : Altération de surface de l'individu 2144-13 (© INRAP, cliché H. Civalleri)
Fig. 3.3.9 : Décor de cannelures plus ou moins visible en fonction des tessons sur l'individu 2144-7 (© INRAP, cliché H. Civalleri)
Fig. 3.3.10 : Décor de cannelures sur l'individu 2144-10 (© INRAP, cliché H. Civalleri)
Fig. 3.3.11 : Conservation différenciée de la surface interne de l'individu 2144-44 (© INRAP, cliché H. Civalleri)
Fig. 3.3.12 : Conservation différenciée de la surface externe de l'individu 2144-44 (©INRAP, cliché H. Civalleri)
Fig. 3.3.13 : Gros nodules de dégraissant de quartz et de chamotte utilisés dans la confection de l'individu 2144-21 (© INRAP, cliché H. Civalleri)
Fig. 3.3.14 : Traces d'égalisation au doigt observables en dépit de la mauvaise conservation de la surface externe du récipient 2144-17 (© INRAP, cliché H. Civalleri)
Fig. 3.3.15 : Traces de façonnage à la jonction col panse de l'individu 2144-37 ? (© INRAP, cliché H. Civalleri)
Fig. 3.3.16 : Individu 2144-46. Face interne des trois fragments pouvant appartenir à un moule et vue de profil d'un des fragments (© INRAP, cliché H. Civalleri)
Fig. 3.3.17 : L'individu 2144-47. Les restes d'un creuset ? (© INRAP, cliché H. Civalleri)
Fig. 3.3.18 : Bracelet en alliage cuivreux provenant de la fosse 2144 (© INRAP, cliché H. Civalleri)
Fig. 3.3.19 : Epingle en alliage cuivreux provenant de la fosse 2144 (© INRAP, cliché H. Civalleri)

Fig. 3.3.20 : Fosse 2151. Inventaire général de la céramique (© INRAP, H. Civalleri)
Fig. 3.3.21 : Face externe de l'individu 2151-47 (© INRAP, cliché H. Civalleri)
Fig. 3.3.22 : Face interne de l'individu 2151-47 (© INRAP, cliché H. Civalleri)
Fig. 3.3.23 : EX2151. Fréquence du type de pâte en fonction du nombre de reste (© INRAP, H. Civalleri)
Fig. 3.3.24 : Individu 2151-52. Détail des dégraissants (© INRAP, cliché H. Civalleri)
Fig. 3.3.25 : Fosse 2154 inventaire de la céramique (© INRAP, H. Civalleri)
Fig. 3.3.26 : PO2474, inventaire de la céramique (© INRAP, H. Civalleri)
Fig. 3.3.27 : SECT. OUEST. Inventaire de la céramique modelée des Us 2241, 2312 et 2345 (© INRAP, H. Civalleri)
Fig. 3.3.28 : Fosse 2514, inventaire de la céramique (© INRAP, H. Civalleri)
Fig. 3.3.29 : Fosse complexe 2515, inventaire de la céramique (© INRAP, H. Civalleri)
Fig. 3.3.30 : Fosse 2513, inventaire de la céramique (© INRAP, H. Civalleri)
Fig. 3.3.31 : Poteau 2545, inventaire de la céramique (© INRAP, H. Civalleri)
Fig. 3.3.32 : Poteau 2570, inventaire de la céramique (© INRAP, H. Civalleri)
Planche 3.3.1 : Secteur sud est, céramique de la fosse 2144, 1/4 (© INRAP, H. Civalleri)
Planche 3.3.2 : Secteur sud est, céramique de la fosse 2144, 2/4 (© INRAP, H. Civalleri)
Planche 3.3.3 : Secteur sud est, céramique de la fosse 2144, 3/4 (© INRAP, H. Civalleri)
Planche 3.3.4 : Secteur sud est, céramique de la fosse 2144, 4/4 (© INRAP, H. Civalleri)
Planche 3.3.5 : Secteur sud est, EX2151 et FS2154 ; secteur NO, PO2474 (© INRAP, H. Civalleri)
Planche 3.3.6 : Secteur ouest, céramique modelée des Us 2241, 2312, 2344 et 2345 (© INRAP, H. Civalleri)
Planche 3.3.7 : Secteur nord est, céramique de la fosse 2514 (© INRAP, H. Civalleri)
Planche 3.3.8 : Secteur nord est, céramique des faits 2515, 2513, 2570 et 2545 (© INRAP, H. Civalleri)

Fig. 3.4.1 : Répartition des restes osseux par fait (hors squelette de chien et restes calcinés des Us 2253 et 2179 ; © INRAP, G. Bayle).
Fig. 3.4.2 : Secteur sud est, TR16, fosse du Néolithique ancien 2611, restes fauniques en cours de fouille dans le sondage manuel 2637 (© INRAP, Cécile Ollivier)
Fig. 3.4.3 : Secteur sud est, TR13, fait non daté 2179 avant fouille (© INRAP, G. Desrayaud)
Fig. 3.4.4 : Inventaire des restes osseux par secteur et fait (© INRAP, G. Bayle).

Chronologie

Paléolithique moyen
Néolithique
Age du Bronze
Age du Fer
Gallo-romain
Médiéval
Moderne
Contemporain

Liberté • Égalité • Fraternité
RÉPUBLIQUE FRANÇAISE

Ministère
Culture
Communication

Le projet de construction d'une plateforme par la société *Panhard Developpement* sur la ZAC des Haies Blanches, dans la partie occidentale de la commune du Coudray-Montceaux (Essonne), a motivé la prescription d'une vingtaine d'hectares au lieudit "Le Champtier du Chêne Mort". Le terrain diagnostiqué est sis sur le rebord septentrional du plateau limoneux de Beauce et du Hurepoix, légèrement en retrait de la confluence Seine-Essonne. Le sud de l'emprise borde une butte stampienne érodée. Environ 500 faits et Us ont été mis au jour. Les terrains ont été sondés à hauteur de 12,4 %.

Au sud de l'emprise, une demi-douzaine de sondages profonds ont permis de mettre en relation la présence d'unités sédimentaires du Pléistocène et d'une vingtaine de vestiges lithiques, indiquant l'existence d'un site du Paléolithique moyen, d'une extension potentielle d'environ 0,5 ha au sein de la prescription de diagnostic.

Au sud est des parcelles, des vestiges en creux et ramassages de mobiliers, sur environ 4,5 ha, témoignent de l'existence d'occupations du Néolithique ancien, moyen et final, ainsi que de l'âge du Bronze final.
Pour la période du Rubané final / VSG ancien, la présence d'unités d'habitation à fosses latérales revêt un caractère exceptionnel et constitue un pôle de données archéologiques de première importance pour l'étude de la néolithisation de la région. Le site des Haies Blanches est un des rares sites découverts en plateau, les autres ensembles contemporains étant régionalement implantés dans la plaine alluviale.
Pour le Bronze final, la richesse de l'assemblage céramique découvert et la présence de deux parures en alliage cuivreux laissent envisager l'existence d'une occupation domestique d'un statut tout à fait singulier dont on ne connaît pas encore d'équivalent dans le département de l'Essonne.

Au nord est, une fosse du Néolithique final et quelques fragments lithiques, ainsi que des fosses utilitaires associées à des groupements de poteaux, attribuables à la fin du Ier âge du Fer, se répartissent sur environ 1,5 ha.

A l'ouest des parcelles, des concentrations plus ou moins denses de vestiges en creux, sur environ 2 ha, correspondent à deux occupations diachroniques protohistorique et médiévale à moderne.
Au nord de ce secteur, des groupes de trous de poteaux (une vingtaine de faits au total) et une douzaine de fosses plus ou moins charbonneuses, attribuables à la Protohistoire, se répartissent sur plus d'1 hectare
Au sud de ce secteur, sur environ 1 ha, de nombreux faits correspondent à l'extension orientale de l'ancienne ferme de Tournenfils, attestée par les textes depuis le XVIIe s. et abandonnée au début des années 1970.
La présence de tessons XIe-XIIe s. suggère une création de l'habitat dès le Moyen Âge classique. Un tesson IXe-IXe s., collecté dans un fossé pendant le diagnostic de 2008, évoque une fondation remontant même à la fin de la période carolingienne. Les éléments des XIIIe-XIVe et XVe-XVIe s. semblent indiquer une continuité d'occupation jusqu'à la période moderne.

Au centre de l'emprise, la construction du pont d'agrément à deux arches et des aménagements annexes de la mare du *Champtier du Chêne Mort* a pu être attribuée à l'intervalle 1823-1899.

Inrap Centre / Île-de-France
Immeuble "Les Diammants" - Bâtiment B
41, rue Delizy, 93692 Pantin Cedex
Tél. 01 41 83 75 30 / Fax 01 48 10 97 55
centre-ile-de-france@inrap.fr

www.inrap.fr

Code Inrap	D114409
Numéro de l'entité archéologique	non communiqué
Numéro de l'arrêté de prescription	SRA 2016-579 le 11/10/2016
Numéro de l'arrêté de désignation du responsable	SRA 2017-013 le 03/01/2017
Code INSEE	91179